

ОО "УКРАИНСКАЯ НАЦИОНАЛЬНАЯ  
АКАДЕМИЯ ЕСТЕСТВОЗНАНИЯ"

ЕВРОПЕЙСКИЙ ЦЕНТР ПОСЛЕДИПЛОМНОГО  
ОБРАЗОВАНИЯ ВРАЧЕЙ (ЕЦПОВ)

"UKRAINIAN NATIONAL ACADEMY OF  
NATURAL SCIENCES"

EUROPEAN CENTRE OF POSTGRADUATE  
EDUCATION OF DOCTORS (ECPED)

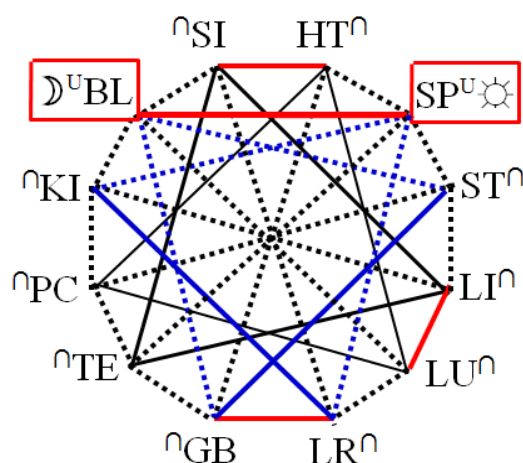


В.Г.МАКАЦ  
Е.Ф.МАКАЦ

V.G.MAKATS  
E.F.MAKATS

# НЕИЗВЕСТНАЯ ЧЖЕНЬ-ЦЗЮ ТЕРАПИЯ (РЕАЛЬНОСТЬ, ОШИБКИ, ПРОБЛЕМЫ) ТОМ I

## UNKNOWN ZHENJIU THERAPY (REALITY, ERRORS, PROBLEMS) VOLUME I



УКРАИНА – ВИННИЦА – 2016  
UKRAINE – VINNYTSIA – 2016

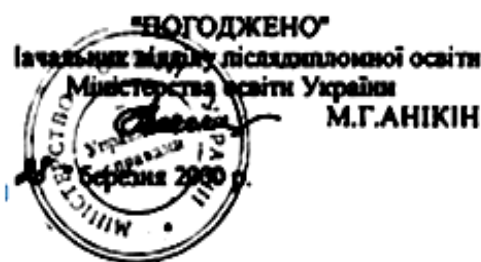
УДК: 615.83:615.89

М 94

Авторы: В.Макац, Е.Макац

Перевод на английский: ЯН ПЕТИНОВ

Рекомендовано как учебник для медицинских ВУЗ-ов и колледжей на основании выводов научных семинаров, проведенных по поручению Департамента науки и технологий Министерства науки и образования Украины (№13/5 -100 от 11.12.2000р.).



М 94 Неизвестная Чжень-цзю терапия (реальность, ошибки, проблемы). – Винница: Издательство "Научная инициатива", Редакция Нилан-ЛТД, 2016. – 276 с.

ISBN 978-966-2932-80-5

Учебник не имеет аналогов. Его второе переработанное и дополненное издание обусловлено открытием неизвестных ранее "Функционально-вегетативной системы человека" и "Функционально-вегетативной Матрицы". Открытые феномены указывают на биофизическую реальность акупунктурных каналов Чжень-цзю терапии и её вегетативную сущность. Идентификация матричной системной и комплексной зависимости выявила теоретические и практические ошибки традиционного направления и вносит существенные коррективы в основы Восточной и Западной терапевтических философий.

Книга (биофизический атлас) адресована желающим получить неординарные знания по новой фундаментальной основе биологии, способным критически осмыслить механистические постулаты европейской терапевтической школы.

УДК: 615.83:615.89

*Авторские права защищены современным международным законодательством. Ни одна часть монографии не может быть воссоздана без письменного согласия автора. Нарушение авторских прав будет преследоваться в судебном порядке.*

© В.Г.Макац, Е.Ф.Макац., 2016. Наследственные права на интеллектуальную собственность принадлежат Макацу Алексею Дмитриевичу и Макац Дарье Денисовне.

ISBN 978-966-2932-80-5

© В.Макац, Е.Макац, 2016

Makats V.G. Makats E.F

Translation into English: IAN PETINOV

The textbook is recommended as the main book for medical colleges and higher educational institutions on the basis of the conclusions of seminars that were conducted according to the order of the Department of science and technologies of the Ministry of science and education of Ukraine (№13/5 -100, 11.12.2000).



М 94 Unknown Zhenjiu therapy (reality, errors, problems). – Vinnytsia: "Naukova Initsiatyva", Editorial office "Nilan Ltd.", 2016. – 276

ISBN 978-966-2932-80-5

The textbook had no analogues. Its second and revised edition is conditioned by the previously unknown "Human functional-vegetative system" and "Functional-vegetative Matrix". The discovered phenomena point to biophysical reality of acupuncture channels of the Zhenjiu therapy and its vegetative essence. Identification of matrix systemic and complex dependency revealed theoretical and practical errors of the traditional trend and introduced substantial correction into the bases of the Eastern and Western therapeutic philosophies...

The book (biophysical atlas) is addressed to those who are willing to get uncommon knowledge about the new fundamental basis in biology, and who are capable of critical assessment of the mechanistic postulates of the European therapeutic school.

UDC: 615.83:615.89

*All rights reserved. The authorship is protected by the international law. None of the parts of the book can be copied without the written approval of the authors. Violation of the rights of the authors will be persecuted according to the law.*

© Legal successors of intellectual property are Makats Oleksij Dmytrovych and Makats Darja Denysivna.

SBN 978-966-2932-80-2

© V.Makats , E Makats, 2016

**ПРИОРИТЕТ ОТКРЫТИЯ ФУНКЦИОНАЛЬНО-ВЕГЕТАТИВНОЙ СИСТЕМЫ ЧЕЛОВЕКА ПРИНАДЛЕЖИТ НАРОДУ УКРАИНЫ!**

Относится к фундаментальным проблемам физиология человека и непосредственно касается традиционной Чжень-цзю терапии и вегетативного гомеостаза!

**THE PRIORITY OF THE DISCOVERY OF THE HUMAN FUNCTIONAL-VEGETATIVE SYSTEM BELONGS TO THE UKRAINIAN NATION.**

The discovery belongs to the fundamental issues of the human physiology and directly relates to the traditional Zhenjiu therapy and vegetative homeostasis.

Диплом на открытие НВ№18 от 07.11.2000р.  
"ФУНКЦИОНАЛЬНО-ЭНЕРГЕТИЧЕСКАЯ СИСТЕМА БИОЛОГИЧЕСКИХ ОБЪЕКТОВ (ЭФФЕКТЫ .МАКАЦА)"

Diploma on the opening of НВ №18, 07.11.2000р.  
"FUNCTIONAL-POWER SYSTEM OF BIOLOGICAL OBJECTS (EFFECTS OF V.MAKATS)"



**АВТОРСКИЙ КОЛЛЕКТИВ**

**AUTHORS**



Макац В.  
Makats V.



Макац Є.  
Makats E.



Макац Дм.  
Makats Dm.



Макац Ден.  
Makats Den.



## ФОРМУЛА ОТКРЫТИЯ:

На значительном экспериментальном материале (14.348 наблюдения) открытая неизвестна раньше функционально-вегетативная система биологических объектов - биофизический аналог акупунктурных систем Восточной Чжень-цзю терапии.

Мировых аналогов не имеет.

Доказана её энергоинформационная сущность и непосредственное отношение к вегетативному гомеостазу. Выявлены биофизические механизмы функционального контроля, регуляции и влияния на активность симпатического и парасимпатического отделов вегетативной нервной системы (западных аналогов традиционных ИНЬ и ЯН синдромов). Установлены ранговые значения активности отдельных систем и механизмы формирования функционально-вегетативных уровней.

Открыты взаимозависимые комплексы функционально-вегетативных систем, базовые биофизические механизмы вегетативной регуляции и особенности зависимости между отдельными функциональными системами организма. Открытые взаимозависимости формируют новое реабилитационное направление - "Функциональная вегетология", которая требует своего места в системной физиологии.

Открытие зарегистрировано с начальным названием "Функционально-энергетическая система биологических объектов (эффекты В.Макаца)".

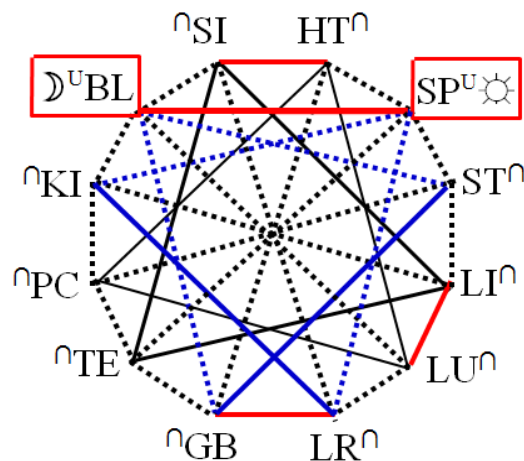
## DISCOVERY PATTERN:

The previously unknown functional-vegetative system of biological objects has been discovered on the basis of substantial experimental data. The discovered system is the biophysical analogue of the acupunctural systems of the eastern Zhenjiu therapy and has now world analogues.

The discovery includes proofs of its power-informational essence and direct relation to vegetative homeostasis. It also includes revealed biophysical mechanisms of functional control, regulation and the influence on the activity of sympathetic and parasympathetic divisions of vegetative nervous system (western counterparts of the traditional *yin* and *yang* syndromes). The discovery allowed establishing rank values of the activity of separate systems and the formation of functional-vegetative levels.

Another aspect of the discovery that has been revealed is interdependent complexes of functional-vegetative systems and basic biophysical mechanisms of vegetative regulation, and peculiarities of the dependency between separate functional systems of the organism. The interdependencies form new rehabilitation trend – "Functional vegetology", which requires its place within systemic physiology.

The discovery is registered under the initial name "Functional-power system of biological objects (effects of V. Makats)"



Нет чудес, которые противоречат законам Природы. Чудеса противоречат только нашим представлениям об этих Законах...

*Блаженный Августин.*

There are no wonders that would contradict the laws of Nature. Wonders contradict only our understanding of these Laws...

*St. Augustine*

Экспериментальное открытие функционально-вегетативной системы человека и её биофизических феноменов позволило выявить Вегетативную Матрицу Живого - объективную геометрию внутреннего энергетического поля. Последняя однозначно свидетельствует о реальности традиционных основ классической Чжень-цзю терапии и сближает теоретические концепции Восточной и Западной терапевтических философий.

*Александр Пентиук - академик АТН Украины, доктор медицинских наук, профессор Винницкого Национального медицинского университета им. Н.И.Пирогова*

The experimental discovery of the human functional-vegetative system and its biophysical phenomena allowed to discover Vegetative Matrix of Alive - objective geometry of the internal power-informational field. The latter directly testifies to the reality of the traditional bases of the classical Zhenjiu therapy and brings closer the theoretical concepts of the Eastern and Western therapeutic philosophies.

*Alexander Pentiuk - academician of the ATS of Ukraine, MD, professor of Vinnytsia National medical university named after M.I. Pyrogov.*

Прочитав книгу, еще раз убеждаешься в существовании неизвестного западным специалистам особенного уровня тонкой биоэнергетической структуры. И только осознав её уникальное значение, начинаешь понимать универсальную логику Живого: от бесконечности Космоса к функциональному здоровью человека.

*Михаил Курик - эксперт высшего уровня НАН Украины, доктор физ-мат наук, профессор, руководитель отдела молекулярной фотоэлектроники Института физики Национальной Академии Наук Украины.*

After reading the book, one may again be persuaded that there is something unknown to the western experts of the special level of a fine biopower structure. Only after the comprehension of its unique value, one may understand the logic of Alive: from the eternity of the Universe to the human functional health.

*Mykhailo Kuryk - expert of the highest level of NAS of Ukraine, Doctor of Physics, head of the department of molecular photo-electronics of the Institute of Physics of National Academy of Sciences of Ukraine.*

Центральной идеей книги является концепция о системе с безграничной разновидностью энергетических частот и биофизических форм. Все мы состоим из вещества Вселенной, которое в действительности является застывшим Светом. И только сейчас наука начинает постигать всю глубину этого утверждения.

*Владимир Кожем'яко - академик АИН Украины, доктор технических наук, профессор, заслуженный деятель науки и техники Украины, главный редактор Международного научного журнала "Опτικο-электронные информационно-энергетические технологии" Винницкого Национального технического университета.*

The central idea of the book is the conception of the system with unlimited variety of energy frequencies and biophysical forms. We are all composed of the matter of the Universe, which is a solidified Light. And only now science begins to understand the depth of this statement.

*Vladymyr Kozhemiako - academician of the AIS of Ukraine, Doctor of Technical Sciences, Honored worker in Science and Technology of Ukraine, chief editor of the International scientific journal "Optyko-elektronni informatsiyno-energetychni tekhnologii" of the Vinnytsia National Technical university.*



Учебник "Неизвестна Чжень-цзю терапия (реальность, ошибки, проблемы)" написан в пределах Поручений КМ Украины №1861/4 и №12010/87 для профессионального обеспечения Государственной программы "Двух этапная система реабилитации вегетативных нарушений у детей, проживающих в зоне радиационного (экологического) контроля".

Имея в виду, что разработанное направление является биофизическим аналогом традиционной Чжень-цзю терапии, стоит обратить внимание на отношение медицинского мирового сообщества к её теоретическому и практическому значению.

1) Согласно рекомендации ВОЗ "Одной из основ медицины на современном этапе должны стать электропунктурная диагностика и "рефлексотерапия" (Международное совещание ВОЗ, Ереван, 19-21.09.2003).

2) 16.11.2010 на заседании V-го съезда ВОЗ официально признано научно-практическое значение традиционной Чжень-цзю терапии и обнародована информация о её официальной регистрации в ООН, как мирового нематериального наследия - драгоценного ресурса для сохранения жизни и здоровья общества.

3) 11.01.2014 на Всемирной Ассамблее здравоохранения ВОЗ объявила о стратегии в области комплементарной медицины на 2014-2033 годы и обратилась к государствам-участникам с рекомендацией адаптировать её в национальные программы здравоохранения.

4) Неудовлетворительное состояние медицинской реабилитации официально отмечено в Концепции развития системы здравоохранения РФ к 2020р. Как следствие, на экспертном Совете по медицине Совета Федерации России обсуждался вопрос о необходимости введения в профессиональную номенклатуру новой специальности: "Традиционная медицина", или "Медицинская реабилитация".

Наша информация о неизвестной раньше функционально-вегетативной системе человека оказалась, к сожалению, несвоевременной. Официальные структуры заняли позицию "умолчания", которая в некоторой степени нам понятна. Вступать в спор с биофизической реальностью плохо, а признать её - еще хуже. В этом случае возникает необходимость пересмотра современных терапевтических и реабилитационных концепций и проведения соответствующей коррекции учебных программ. И что в этом случае делать с кучей запланированных, написанных и защищенных кандидатских и докторских диссертаций?

Сегодня Генеральная ассамблея ВОЗ на-

The textbook "Unknown zhenjiu therapy (reality, errors, problems)" is created within the frames of the orders of the Cabinet of Ministers of Ukraine №1861/4 and №12010/87 for the maintenance of the State program "Two-stage systemic rehabilitation of vegetative disorders in children, who live within the zone of radiation (ecological) control".

Having in mind that the elaborated trend is the biophysical analogue of the traditional Zhenjiu therapy, we should take into account the way that medical community of the contemporary world treats its theoretical and practical provisions...

1) According to the recommendations of WHO "Electropunctural diagnostics and reflex therapy should be among the bases of medicine at the contemporary stage" (International WHO conference, Yerevan, 19-21.09.2003)

2) On 16.11.2010, during the V-th WHO meeting scientific-practical value of the traditional Zhenjiu therapy was recognized and the information about its registration in UN was revealed as of the world non-material legacy - valuable resource for the preservation of life and health of the society.

3) On 11.01.2014, at the World Health Protection Assembly, the WHO announced about the strategy in the field of complementary medicine for the period of 2014-2033 and addressed member states with the recommendation to adapt the strategy into their health protection programs.

4) Unsatisfactory state of medical rehabilitation was marked in the Concept of the development of health protection system in Russian Federation by 2020. As the result, expert Council on medicine of the Federal Council of Russia discussed the issue of the necessity to integrate new subjects "Traditional medicine" or "Medical rehabilitation" into professional nomenclature...

Our information about the previously unknown human functional-vegetative system turned out, unfortunately, untimely. The official agencies have taken the position of "non-disclosure", which to certain extent is understandable. It may be unreasonable to argue with the biophysical reality, while to recognize it - is even worse. In this case, evolves the necessity of revision of the contemporary therapeutic and rehabilitational conceptions, and the implementation of the corresponding correction of the educational programs... And, what must be done with the number of planned, written and defended candidate's and doctoral theses?

Today, the General assembly of the WHO

стойчиво предлагает всем государствам-участникам включить в национальные программы здравоохранения достижения традиционной китайской Чжень-цзю (акупунктурную диагностику и "рефлексотерапию"). И в этом есть смысл, но как быть в следующей ситуации?

1. Открытая "Функционально-вегетативная система человека" является биофизическим аналогом традиционной Чжень-цзю терапии.

2. Впервые за тысячелетнюю историю развития, разработанная нами методология позволила идентифицировать гипотетические "акупунктурные каналы" Чжень-цзю терапии, биофизически досказать её вегетативную сущность и системную зависимость.

3. Изучение системной зависимости "акупунктурных каналов" указало на ошибки традиционного направления, которые развалили его теоретическую базу и создали Проблему международного значения.

Этой проблеме посвящена наша информация, в целесообразном при данных условиях объеме. Она касается критического анализа существующей теоретической базы традиционной Чжень-цзю терапии и поиска её биофизически поддержанного аналога.

Тщательный анализ полученных данных выявил поразжающий факт: открытые закономерности оказались биофизической основой традиционной Чжень-цзю терапии! Универсальная логичность и завершённость открытой системы свидетельствует о реальности Восточной терапевтической философии и ставит точку в тысячелетнем противостоянии. При этом ряд традиционных положений не получили биофизической поддержки и требуют критического анализа.

Понимая, что критика апологетов без весомых аргументов дело неблагодарное, мы обращаем внимание читателя на следующее.

1) Наши выводы обусловлены экспериментальным материалом, доступным любому контролю.

2) Выявленные закономерности свидетельствуют о биофизической реальности "акупунктурных" каналов и их системную функционально-комплексную организацию.

3) Экспериментальные данные указывают на непосредственное отношение открытой системы к вегетативному гомеостазу и его функционально-вегетативные Законы.

4) Открытие, рано или поздно окажется в центре внимания системной физиологии и обусловит ревизию терапевтических и реабилитационных канонов, построенных на принципах Ньютоновской механики.

*insistently proposes to all member-states to include in their national health programs the achievements of the traditional Chinese Zhenjiu therapy (acupuncture diagnostics and "reflex therapy"). And this make sense, but how must the following situation be addressed?...*

1. The discovered "Human functional-vegetative system" is the biophysical analogue of the traditional Zhenjiu therapy.

2. For the first time in the millennia-long historical development, the developed, by us, methodology has allowed to identify the hypothetical "acupuncture channels" of the Zhenjiu therapy, and biophysically prove its vegetative essence and systemic dependency.

3. The study of the systemic dependency of "acupuncture channels" has pointed to the errors of the traditional trend, which have ruined its theoretical basis, and created an Issue of an international value...

We devoted our information to the issue in reasonable, for current conditions, volume... It is related to the critical analysis of the existing theoretical basis of the traditional Zhenjiu therapy and to the search of its (biophysically supported) analogue...

Thorough analysis of the received data has revealed an interesting fact: the discovered laws turned out to be the biophysical basis of the traditional Zhenjiu therapy! The universal logic and completeness of the discovered system testify to the reality of the Eastern therapeutic philosophy and resolves the millennia-long opposition. At the same time, a range of traditional provisions have not received biophysical support and require critical analysis.

Understanding that the criticism of apologists without substantial arguments is an ungrateful business, we draw the readers' attention to the following.

1) Our conclusions are conditioned by the experimental material (18.454 observations), which are available for any control and analysis.

2) The discovered laws testify to the biophysical reality of "acupuncture" channels and their functional-complex organization.

3) The experimental data point to the direct relation of the discovered system to the vegetative homeostasis and its functional-vegetative Laws.

The discovery, sooner or later, will appear in the center of attention of systemic physiology and will condition the revision of therapeutic and rehabilitation canons, based on the principles of Newton's mechanics.

5) Принципиальные первоисточники Восточной терапевтической философии теряются в глубине предыдущих цивилизаций. На это указывает универсальная логичность и системная завершенность открытой структуры, которая оставалась неизвестной до последнего времени.

6) Западная теория "паннервизма" и "рефлекторная терапия" не имеют никакого отношения к традиционной Чжень-цзю терапии, информационно-вегетативная сущность которой сегодня биофизически аргументирована.

7) Графологическая структура "Функционально-вегетативной Матрицы Живого" фактически становится современной теоретической основой традиционной Чжень-цзю терапии и требует дальнейшего осмысления...

8) Знание о Функционально-вегетативной системе человека логично заполняет обусловленную временем теоретическую нишу природоведения. Она указывает на необходимость разработки современной биологической парадигмы о сущности Живого и значение полевых взаимодействий в системе функционально-информационного управления биологическими процессами.

9) Представленная информация открывает новую страницу информационно-профилактической медицины будущего - "Функциональная (клиническая) вегетология".

*В.Г.Макац*  
- эксперт высшего уровня НАН Украины  
доктор медицинских наук, профессор

*Е.Ф.Макац*  
- доктор философии, доцент

Украина, г. Винница, апрель 2016р.

5) The primary sources of the Eastern therapeutic philosophy are getting lost in the depth of the previous civilizations. This is pointed by the universal logic and systemic completeness of the discovered structure, which had remained unknown until the recent days.

6) The Western theory "pan-nervism" and "reflex therapy" have no relation to the traditional Zhenjiu therapy, information-vegetative essence of which has been biophysically reasoned today.

7) The graphological structure of "Functional-vegetative Matrix of Alive", in fact, becomes the contemporary theoretical basis of the traditional Zhenjiu therapy and requires further comprehension.

8) The knowledge about the Human functional-vegetative system fills, the conditioned by time, the theoretical niche of the natural science. It points to the necessity of elaboration of the contemporary biological paradigm of the essence of the Alive and the meaning of the field interactions within the system of functional-informational management over the biological processes.

9) The represented information opens a new page in information-prevention medicine of the future - Functional (clinical) vegetology.

*Makats V.G.*  
MD, professor, expert of the highest level of  
NAS of Ukraine

*Makats E.F.*  
candidate of biological science,  
associate professor

Ukraine - Vinnytsia, april, 2016







Цикл научных семинаров по неизвестной раньше Функционально-вегетативной системе человека проведенных по официальному предложению Департамента науки и технологий Министерства образования и науки Украины №13/5-100 от 11.12.2000 (на основе поручения КМ Украины №12010/87).



The cycle of scientific seminars on the previously unknown Human functional-vegetative system has been conducted under the official proposition of the Department of science and technology of the Ministry of education and science of Ukraine №13/5-100 on 11.12.2000 on the basis of the Order of the Cabinet of Ministers of Ukraine №12010/87.

**ВЫВОДЫ НАУЧНЫХ СЕМИНАРОВ  
ПО ОТКРЫТОЙ ФУНКЦИОНАЛЬНО-  
ВЕГЕТАТИВНОЙ СИСТЕМЕ**

**CONCLUSIONS OF SCIENTIFIC SEMNARS ARE  
ON FUNCTIONALLY-VEGETATIVE OPEN  
SYSTEM**

О теоретическом значении сделанного открытия, его клинической и реабилитационной эффективности свидетельствуют следующие отзывы международных научных семинаров, проведенных по предложению Министерства науки и образования Украины.

The following feedbacks from international scientific seminars that were conducted on the recommendation of the Ministry of science and education of Ukraine testify to the theoretical value of the discovery and its clinical and rehabilitational efficiency.



**19.03.1988.** Научный семинар Республиканского центра рефлексотерапии МОЗ УССР и кафедры нервных болезней №1 КГИУВ.

**ПРИНЯТОЕ РЕШЕНИЕ.** 1) Считать "Биоактивацию без использования внешних источников тока" перспективным направлением. 2) Информировать Ученые совета МОЗ УССР и СССР о перспективности развития направления. 3) Рекомендовать научным организациям планирование НИР по этому направлению (Киев).



**19.03.1988.** Scientific seminar of Republican center of reflex therapy of Ministry of Health of the Ukrainian SSR and the department of nervous diseases №1 KGIUV. Report – "Rehabilitation effectiveness of biostimulation without traditional external sources of electrical current (Makats's effects)".

**DECISION: 1)** To consider "Bioactivation without usage of external source of power" as the new perspective trend. **2)** To inform the Scientific councils of HM of Ukrainian SSR and HM of USSR about the perspective of NIR according to the trend and its further development.



**25.12.1991.** Заседание РПК "Новая медицинская техника и методы диагностики, профилактики и реабилитации" МОЗ Украины.

**ПРИНЯТОЕ РЕШЕНИЕ.** Комиссия рекомендует компьютеризованную систему биодиагностики "ВИТАТЕСТ-12М" и "ВИТА-01М" к серийному производству и использованию в медицинской практике (протокол №5 от 25.12.91).



**25.12.1991.** Scientific conference "New medical technology and innovative methods of diagnostics, prevention and rehabilitation" of Ministry of Health of Ukraine.

**DECISION:** Commission recommends the computerized system of diagnostics VITATEST-12M and VITA-01M for series manufacturing and usage in medical practice (protocol №5, 25.12.1991).



**14.12.1993.** Совместное заседание РПК МОЗ Украины (Педиатрия, Акушерство и гинекология, Квантовая медицина, Гематология и трансфузиология, Новая медицинская техника и методы диагностики).

**ПРИНЯТОЕ РЕШЕНИЕ.** 1) Одобрить направление. Определить нозологические формы и критерии оценки клинической эффективности. 2) Включить метод в комплексную физиотерапию и рефлексотерапию. Согласовать с Проблемными комиссиями МОЗ Украины вопрос использования метода.



**14.12.1993.** Joint meeting of RPC of HM of Ukraine (Pediatrics, Obstetrics and gynecology, Quantum medicine, Hematology and transfusiology, New medical technology and new methods of diagnostics).

**DECISION. 1)** To approve the introduced trend. Clearly identify nosological forms or complex of syndromes with identification of the criterion for evaluation of clinical efficiency. **2)** To include the trend into complex physiotherapy and reflex therapy. Approve the usage of the method with the appropriate councils of HM of Ukraine.



**06.07.2001, 25.01.2003.** Научный семинар Инженерно-технической организации "Новое в медицине" (Киев).

**ПРИНЯТОЕ РЕШЕНИЕ.** 1) Функционально-вегетативную систему человека признать биофизической реальностью. 2) Материалы научной работы сформировать в проблему "Основы биоактивационной реабилитации" и



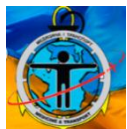
**06.07.2001, 25.01.2003.** Scientific seminar of Engineer-scientific organization "New in medicine" (Kyiv).

**DECISION. 1)** To recognize the discovered functional-vegetative system as biophysical reality. **2)** Materials of scientific work "Functional-vegetative system of biological objects" transform into the issue "Bases of bioactivational rehabilita-

включить в учебные программы ВУЗ для подготовки специалистов семейной медицины. 3) Обратиться к департаменту образования и науки Украины с предложением о финансовой поддержке научно-исследовательских разработок школы профессора В.Макаца.



**22.XI.2003.** Научный семинар отдела молекулярной фото электроники НИИ физики НАН Украины (Киев). **ПРИНЯТОЕ РЕШЕНИЕ.** Материалы по открытой системе опубликованы в специальных монографиях и принадлежат к современным информационным технологиям в медицине и биологии.



**19.09.2003.** Семинар Пленума научного общества патофизиологов Украины (Одесса). **ПРИНЯТОЕ РЕШЕНИЕ.** 1) Представленные материалы свидетельствуют о биофизической реальности открытых закономерностей и необходимости развития принципиально нового направления вегетологии - "Оценка вегетативного здоровья детского населения, как проблема функционально-экологической экспертизы регионов радиационного контроля Украины".



**24.04.2005.** Научный семинар Международного конгресса "Народная медицина как современное направление оздоровления человека" (Алушта). **ПРИНЯТОЕ РЕШЕНИЕ.** Семинар считает рассмотренные материалы открытием, которое требует своего места в практической медицине XXI века.



**27-28.04.2005.** Научный семинар III-й Международной конференции по оптоэлектронным информационным технологиям (Винница). **ПРИНЯТОЕ РЕШЕНИЕ.** Конференция признает доказательность биофизической реальности открытой функционально-вегетативной системы человека и считает её достаточно аргументированной для разработки нового поколения оптоэлектронной биотехнологии.



**23-26.09.2015.** Научный семинар V-го Всеукраинского съезда экологов с международным участием (Винница). **ПРИНЯТОЕ РЕШЕНИЕ.** Научный семинар признает доказательность биофизической реальности неизвестной ранее системы, средств её вегетативной идентификации и целесообразность внедрения "Функционально-экологической экспертизы" с целью экологической паспортизации детского населения Украины.



**23.11.1981.** Научный семинар Московского ЦНИИ рефлексотерапии МОЗ СССР (Москва). **ПРИНЯТОЕ РЕШЕНИЕ.** Выявленная "Феномен направленной кожной проводимости между точками акупунктуры" представляет несомненный интерес и требует дальнейших целенаправленных исследований.

tion" and include it to curriculum for higher education for the specialists of family medicine. 3) To apply to the department of education and science of Ukraine with the proposition of financial support for scientific researches of the school of doctor of medicine – professor Makats V. G.



**22.11.2003.** Scientific seminar of the department of molecular photo-electronics of Institute of Physics of National Academy of Sciences of Ukraine (Kyiv). **DECISION.** Material on the discovered system is published in special monographs and is related to modern informational technologies in medicine and biology.



**19.09.2003.** Scientific seminar of the Plenum of scientific society of pathophysiologists of Ukraine (Odessa, Ukraine). **DECISION.** Discussion of presented experimental materials testify to biophysical reality of the discovered laws, necessity of further study of the phenomena and development of absolutely new trend of vegetology - "Evaluation of vegetative health of children, as the issue of functional-ecological expertise of the regions of radiation control of Ukraine.



**24.04.2005.** Scientific seminar of International Congress "Folk medicine as the modern scientific trend of human health improvement" (Alu-shta). **DECISION.** To consider the materials as the discovery, this needs further study and determination of its place in practical medicine of the XXI century.



**27-28.04.2005.** Scientific seminar of the III-rd International conference on optoelectronic informational technologies (Vinnytsia). **DECISION.** To recognize the proofs of biophysical reality of discovered functional-vegetative system of human and to consider it to be well grounded for elaboration of new generation of optoelectronic biotechnology of the XXI century.



**23-26.09.2015.** Scientific seminar of the V-th All-Ukrainian congress of ecologists with international participation (Vinnytsia). **DECISION.** The scientific seminar recognizes the proofs of the biophysical reality of the previously unknown system, means of its vegetative identification and the reasonability of the integration "Functional-vegetative expertise" with the purpose to provide an ecological registry of the child population of Ukraine.



**23.11.1981** Scientific seminar of the Moscow CSRI of reflex therapy of HM of USSR (Moscow). **DECISION.** The discovered "Phenomenon of directed dermal conductivity between the acupuncture points" holds a substantial interest and requires further purposeful research.



**19.03.1988.** Научный семинар Республиканского центра рефлексотерапии МОЗ УССР и кафедры нервных болезней №1 КГИУВ (Киев). **ПРИНЯТОЕ РЕШЕНИЕ.** 1) Считать "Биоактивацию без использования внешних источников тока" новым перспективным направлением. 2) Информировать Ученые советы МОЗ УССР и МОЗ СССР о перспективности нового направления. 3) Рекомендовать заинтересованным организациям и лицам планирования и выполнения НИР по указанному направлению.



**17.09.1992.** Заседание специализированного Ученого совета Пятигорского НИИ курортологии и физиотерапии (Россия). **ПРИНЯТОЕ РЕШЕНИЕ.** Работа "Биогальванизация в физио- и рефлексотерапии" является оригинальным научным трудом, в котором обосновано новое реабилитационное направление имеющее важное значение для практического здравоохранения.



**14.12.1993.** Совместное заседание Республиканских проблемных комиссий МОЗ Украины Педиатрия, Акушерство и гинекология, Квантовая медицина, Гематология и трансфизиология, Новая медицинская техника и новые методы диагностики (Киев). **ПРИНЯТОЕ РЕШЕНИЕ.** Одобрить предложенный метод "Биодиагностика и биоактивация в гинекологии", так как он может быть эффективным в использовании. Согласовать с существующими Проблемными комиссиями МОЗ вопрос об использовании метода.



**25.12.1991(Киев).** Заседание РПК "Новая медицинская техника и новые методы диагностики, профилактики и реабилитации" (протокол № 5). **ПРИНЯТОЕ РЕШЕНИЕ.** По вопросу "Технического обеспечения биоактивации в физио- и рефлексотерапии" комиссия рекомендует компьютеризованную систему функциональной диагностики "ВИТАТЕСТ-24" и "ВИТА-01-М" к серийному производству и использованию в медицинской практике



**11.10.1994** (Киев). Заседание Проблемной комиссии "Акушерство и гинекология" МОЗ Украины (протокол №3). **ПРИНЯТОЕ РЕШЕНИЕ.** Вне очереди напечатать методические рекомендации "Активационная терапия, функциональная биодиагностика и биоэнергокоррекция при воспалительных заболеваниях женских половых органов" в связи с их большим практическим значением как нового направления в реабилитации воспалительных заболеваний женских половых органов.



**14-18.10.1988.** V-я НАЦИОНАЛЬНАЯ КОНФЕРЕНЦИЯ ПО БИОМЕДИЦИНСКОЙ ФИЗИКЕ И ТЕХНИКЕ С МЕЖДУНАРОДНЫМ УЧАСТИЕМ (БОЛГАРИЯ, СОФИЯ). **ПРИНЯТОЕ РЕШЕНИЕ.** Разработанное направление "Биоактивация без использования



**19.03.1988.** Scientific seminar of Republican center of reflex therapy of Ministry of Health of the Ukrainian SSR and the department of nervous diseases №1 KGIUV. Report – "Rehabilitation effectiveness of biostimulation without traditional external sources of electrical current (Makats's effects)". **DECISION.1)** To consider "Bioactivation without usage of external source of power" as the new perspective trend. **2)** To inform the Scientific councils of HM of Ukrainian SSR and HM of USSR about the perspective of NIR according to the trend and its further development.



**17.09.1992.** Meeting of specialized academic council of SRI of balneology physiotherapy (Pyatigorsk, Russian Federation). **DECISION. 1)** The work is the original scientific research, which contains grounded perspective of scientific-practical trend ..., of national value...



**14.12.1993.** Joint meeting of RPC of HM of Ukraine (Pediatrics, Obstetrics and gynecology, Quantum medicine, Hematology and transfusiology, New medical technology and new methods of diagnostics). **DECISION.1)** To approve the introduced trend. Clearly identify nosological forms or complex of syndromes with identification of the criterion for evaluation of clinical efficiency. **2)** To include the trend into complex physiotherapy and reflex therapy. Approve the usage of the method with the appropriate councils of HM of Ukraine.



**25.12.1991.** Scientific conference "New medical technology and innovative methods of diagnostics, prevention and rehabilitation" of Ministry of Health of Ukraine. **DECISION.** Commission recommends the computerized system of diagnostics "VITATEST-12M" and "VITA-01M" for series manufacturing and usage in medical practice (protocol №5, 25.12.1991).



**11.10.1994.** (Kyiv). Meeting of the Committee on Issues "Obstetrics and gynecology" of HM of Ukraine (protocol №3). **DECISION.** To publish the methodological recommendations "Activational therapy, functional biodiagnosics and biopowercorrection during inflammatory diseases of female genitals" out of order, taking into account their practical value, as of a new trend in the rehabilitation of inflammatory diseases of female genitals.



**14-18.10.1988** V-TH NATIONAL CONFERENCE ON BIOMEDICAL PHYSICS AND TECHNOLOGY WITH INTERNATIONAL PARTICIPATION (BULGARIA, SOFIA) **CONCLUSION.** THE CONFERENCE RECOMMENDS TO INCLUDE THE ELABORATED TREND "BIOACTIVATION

внешних источников тока" конференция рекомендует для включения в программу международных исследований по биофизике радиационных влияний на окружающую среду.



МОЗ РСФСР (Письмо № 085/105 - 025567 от 16.06.1988). "Проведенные в Башкирском государственном университете и Башкирском медицинском институте исследования эффективности направления и вывод экспертной комиссии по оценке новых средств диагностики и лечения ожоговых больных, подтвердили целесообразность широкого использования разработок д.м.н. Макаца В.Г. (Украина)" (Министр здравоохранения РСФСР, чл.-кор. АМН СССР, профессор А.Потапов).



МОЗ РЕСПУБЛИКИ КАЗАХСТАН (Письмо №5-1-22-2895 от 07.09.1993р. к комиссии ВС Украины по проблемам катастрофы на ЧАЭС). Рассмотрев предложения Украинской делегации, МОЗ Республики Казахстан выражает заинтересованность в оперативном внедрении направления функциональной биодиагностики и коррекции вегетативных нарушений у детей по методу д.м.н. В.Г.Макаца (заместитель Министра А.К.Макшеев).



СОВЕТ ФЕДЕРАЦИИ ПРОФСОЮЗОВ КАЗАХСКОЙ ССР (Лист №297 от 07.09.1993р. к комиссии ВР Украины по проблемам катастрофы на ЧАЭС). Имея в виду сходство экологической ситуации, Совет федерации считает целесообразным оперативное внедрение "Двух этапной системы реабилитации вегетативных нарушений у детей" по методу д.м.н. В.Г.Макаца (Украина). Мы благодарны за Вашу инициативу и рассчитываем на дальнейшее сотрудничество (заместитель Председателя Совета федерации А.В.Зеленков).



БАШКИРСКИЙ ГОСУДАРСТВЕННЫЙ УНИВЕРСИТЕТ (Письмо №085/165 от 16.07.1984р к МОЗ Украины). Выполняя Поручение Министра здравоохранения РСФСР, кафедрой физиологии Башкирского государственного университета установлено: биоактивационная реабилитация ожоговых потерпевших по методу д.м.н. В.Макаца (Украина), нормализующее влияет на функцию калий-натриевых насосов эритроцитов крови, что указывает на важное значение клеточных мембран в механизме положительно влияния разработанного метода (д.б.н., проф. В.А.Бароненко).

WITHOUT EXTERNAL SOURCES OF POWER" IN TO THE PROGRAM OF INTERNATIONAL RESEARCHES ON BIOPHYSICS OF RADIATION IMPACTS ON THE ENVIRONMENT.



МН РРФСР (Letter № 085/105 - 025567, 16.06.1988). "The researches on effectiveness of the trend, conducted in Bashkir State University and in Bashkir Medical Institute, and conclusion of expert committee of evaluation of new means of diagnostics and treatment of burn patients, confirmed its reasonable usage in general practice..." (Minister of Health RRFSSR, corresponding member of AMS of SRSR, Doctor of Medicine, professor A. Potapov).



MINISTRY OF HEALTH OF THE REPUBLIC OF KAZAKHSTAN (LETTER №5-1-22-2895, ON 07.09.1993 TO THE COMMITTEE OF THE VERKHOV-NA RADA OF UKRAINE ON THE ISSUES OF CHOR-NOBYL NPP CATARTROPHE). Having reviewed the propositions of the Ukrainian delegation, HM of the Republic of Kazakhstan is interested in operative implementation of the trend of functionl biodiagnosics and correction of child vegetative disorders according to the method of MD V.G. Makats (minister deputy A.K. Mashkejev).



THE COUNCIL OF THE LABOR UNIONS FEDERATION OF KAZAKHSTAN SSR (LETTER №297, ON 07.09.1993, TO THE COMMITTEE OF VR OF UKRAINE ON THE ISSUES OF CHORNOBYL NPP CATASTROPHE). Taking account of the similarity of environmentl situation, the council of the federation finds operative implementation of the "Two-stge system of rehblittion of child vegetative disorders" according to the trend of MD V.G.Makats (Ukraine) reasonable. We appreciate Your initiative and count on further cooperation (chief deputy of the federation A.V. Zalenkov).



BASHKIRIAN STATE UNIVERSITY (LETTER №085/165, ON 16.07.1984, TO МН OF UKRAINE). Implementing the Assignment of the Minister of health of RSSFR, the department of physiology of Bashkirian state university has established: bioactivational rehabilitation of burning patients, according to the method of MD V.G. Makats (Ukraine), influences the function of potassium-sodium pumps of blood erythro-cytes with normalizing effect, which points to the importance of the cellular membranes in the mechanism of a positive infuence of the elaborated method (Doctor of Biology, professor B.A. Baronenko).





*1-я проблема традиционной Чжень-цзю терапии*

ФУНКЦИОНАЛЬНО-ВЕГЕТАТИВНАЯ ДИАГНОСТИКА  
КАК БИОФИЗИЧЕСКАЯ ПРОБЛЕМА

*1-st issue of traditional Zhenjiu Therapy*

FUNCTIONAL DIAGNOSTICS AS VEGETATIVE BIOPHYSICAL  
PROBLEM

Перед рассмотрением проблемных вопросов традиционной Чжень-цзю терапии нам нужно ознакомиться с технологией вегетативной диагностики, которая позволила открыть неизвестные биофизические феномены и реальности.

До сегодняшнего дня общепризнанным методом интегральной оценки вегетативного гомеостаза был вегетативный анамнез с использованием опросных таблиц. При этом оставалась исторически обусловленная обособленная оценка симпатических и парасимпатических реакций базовых отделов ВНС, что противоречит современному представлению о их функционально-зависимой организации. К тому же, сложность изучения над сегментарного и сегментарного уровней вегетативной регуляции ограничивала необходимую клиницистам информацию.

Важно помнить и о неоднородности симпатических и парасимпатических реакций, нелинейность параметров вегетативного статуса при изменении активности одного из отделов ВНС и их зависимость от ряда регулирующих факторов. При этом признаётся (Вейн, 2000; Ноздрачов, 2003), что показатели инструментального обследования ВНС характеризуют только отдельные механизмы вегетативной регуляции.

Таким образом, табличные методы вегетативной диагностики субъективны, а инструментальные отражают функциональное состояние отдельных подсистем ВНС и отдельные механизмы вегетативной регуляции. Поэтому для создания общей картины нужны многочисленные, одновременные и трудоемкие исследования, при которых отдельные показате-

Before we discuss the issues of traditional Zhenjiu Therapy, we need to get acquainted with the technique of vegetative diagnostics, which allowed discovering the previously unknown biophysical phenomena and realities...

Till the recent days, vegetative anamnesis with the usage of questionnaire tables has been generally accepted as the means of integral evaluation of vegetative homeostasis. At the same time, historically preserved detached evaluation of sympathetic and parasympathetic reactions of the basic divisions of vegetative nervous system (VNS) contradicts contemporary ideas of their functional-dependent composition. Additionally, complexity of study of supersegmental and segmental levels of vegetative regulation restricts necessary information for clinicians.

It is necessary to remember about heterogeneity of sympathetic and parasympathetic reactions, nonlinearity of parameters of vegetative status during the change of activity of one of the divisions of VNS and their dependency on a range of regulating factors. At the same time, it has been defined (Wane 2000; Nozdrachov, 2003), that the indications of instrumental examination of VNS characterize only separate mechanisms of vegetative regulation.

Thus, table methods of vegetative diagnostics are subjective, and instrumental reflect functional state of separate subsystems of VNS and separate mechanisms of vegetative regulations. That is why, in order to see the full picture we need enormous, simultaneous and complex researches, during which, separate indications lose features of system evaluation of general

ли теряют признаки системной оценки общего вегетативного гомеостаза (ВГ).

Разработанная нами методология функционально-вегетативной диагностики (ФВД) позволила идентифицировать акупунктурные каналы и открыть неизвестную раньше Функционально-вегетативную систему человека. На сегодня это единственная "электропунктурная" диагностика, результаты которой стабильны и сопоставимы во времени. Она обоснована неизвестными раньше биофизическими феноменами, собственной нормативной базой и непосредственно направлена на оценку функционально-вегетативного гомеостаза: соотношение синдромов симпатической (ЯН) и парасимпатической (Инь) активности.

Начнем с того, что любая электропунктурная диагностика имеет право на существование при трёх условиях:

1)наличию тестирующего (диагностического) сигнала, энергоинформационные характеристики которого не превышают биофизических параметров системы внимания;

2)чёткого понимания функциональной специфики предмета внимания и ареала его биофизического влияния;

3)возможности получения результатов функциональной диагностики, сопоставимых при повторном (через 5-10-20 мин.) обследовании.

При этом следует обратить внимание на существенную ошибку официально признанных электропунктурных технологий, которые "обуславливают диагнозы" отдельного органа, или отдельной функциональной системы!

В нашем случае речь идет о динамическом постоянстве межсистемной зависимости, то есть о функционально-вегетативном гомеостазе и формах его функциональных отклонений. Любая другая интерпретация переводит нас из области восточной метафизики в западную. Иными словами современная интерпретация электропунктурных диагностик

vegetative homeostasis (VH).

Our elaborated methodology of functional-vegetative diagnostics (FVD) allowed identifying acupunctural channels, and discovers previously unknown functional-vegetative system of human. For today, this is the only "electropunctural" diagnostics, results of which are stable and comparable in time. It is grounded on the previously unknown biophysical phenomena, with original standardization and directed at evaluation of functional-vegetative homeostasis: correlation of syndromes of sympathetic (YANG) and parasympathetic (YIN) activity.

We start with the statement, that every electropunctural diagnostics has the right to exist, at least under three conditions:

1) presence of testing (diagnostic) signal, power-informational characteristics of which do not exceed biophysical parameters of the system under attention;

2) concrete understanding of the functional specifics of the subject and the area of its biophysical influence;

3) availability of comparable results of functional diagnostics during repeated (in 5-10-20 min.) examination.

At the same time, we should pay attention to significant mistake of the officially recognized electropunctural technologies, that "condition diagnoses" of a separate organ or separate functional system!

In our case the talk is about dynamic stability of intersystem dependency, i.e. about functional-vegetative homeostasis, forms and measures of its functional deflections. Any other interpretation of received information from representative acupunctural zones leads us from the Eastern metaphysics to the Western one. In other words, contemporary interpretation of the

биофизический не корректна.

И последнее. С разработчиками электропунктурных диагностик спорить бесполезно (хотя нужно признать, что открытые нами биофизические реальности сегодня не могут быть корректно описаны в рамках классической физиологии). Однако любой оппонент может самостоятельно проверить любую технологию тестом на сопоставимость повторных результатов. В подобных случаях наш опыт предусматривает быстрое прекращение словесных баталий.

Методология ФВД детально описана в наших монографиях, потому мы рассмотрим лишь ее технические и биофизические особенности.

consequences of electropunctural diagnostics is biophysically incorrect.

And the last one. It is unreasonable and useless to argue with the developers of various electropunctural modifications (but, it should be admitted, that discovered biophysical realities, today, cannot be correctly described in the frames of classical biophysics and clinical physiology). Anyway, any opponent can individually check and challenge any technology by testing its comparability of repeated results... In such cases, our experience tells us, that it is the best way to omit verbal battles.

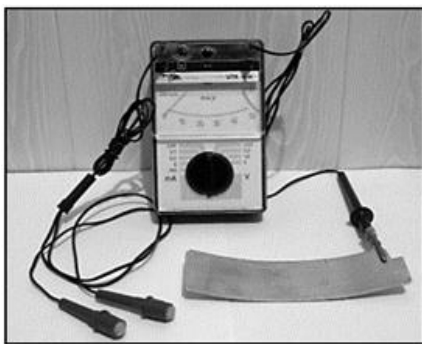
The methodology of functional-vegetative diagnostics (FVD) is described in details in the monographs [1-5], that is why we are going observe only its technical and biophysical peculiarities.

#### ТЕХНИЧЕСКИЕ ОСОБЕННОСТИ ФВД

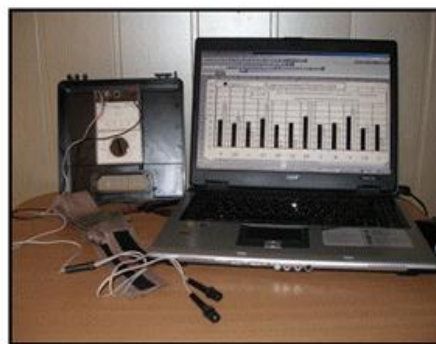
#### TECHNICAL PECULIARITIES OF FVD

Диагностические комплексы ВИТА-01-М и компьютеризованная система ВИТА-01-Биотест (рис.1.1) рекомендованные для практической медицине РПК МОЗ Украины "Новая медицинская техника и новые средства диагностики и реабилитации" (прот. №5 от 25.12.91), и Учёным советом МОЗ Украины (прот. №1.08-01 от 11.01.94).

**Diagnostic complexes VITA-01-M and computerized system VITA-01-Biotest** (fig. 1.1) are recommended for usage in practical medicine RPC HM of Ukraine "New medical technology and new means for diagnostics, prevention and rehabilitation" (record №5, 25.12.91) and Scientific council of HM of Ukraine (record №1.08-01, 11.01. 94).



Система ВИТА-01-М  
System VITA-01-M



Комплекс ВИТА-01-БИОТЕСТ  
Complex VITA-01-BIOTEST

Рис.1.1 Аппаратура для ФВД по В.Макацу

Fig.1.1 Equipment for FVD According to V. Makats

Целесообразность функционально-вегетативного обследования детей подтверждена Программой "Двух этапная система реабилитации вегетативных нарушений у детей, проживающих в зоне экологического (радиационного) контроля Украины" (выполняется согласно

Reasonability of functional-vegetative examination of children is confirmed by the program "Two-stage system of rehabilitation of vegetative disorders of children, that live in the zone of ecological control of Ukraine" (executed according to the Assignment of Cabinet of Ministers of Uk-

Поручениям КМ Украины №1861/4 от 4.04.1997 и №12010/87 от 01.06.1999).

Системы ВИТА-01-м периодической метрологической стандартизации не подлежат по следующим причинам:

1) методология ФВД не предусматривает использования внешних источников энергии;

2) напряжение замкнутого индивидуально-диагностического контура не превышает уровня мембранных потенциалов (0,03-0,6 В);

3) анализу подлежат не абсолютные значения показателей, а их относительное соотношение в суммарной активности функциональных систем ЯН/Инь групп (синдромов симпатической / парасимпатической активности).

**Фактор внимания ФВД** – способность биологических систем генерировать ток во внешний контур "электрод донор электронов (ДЭ) – биологический объект – электрод акцептор электронов (АЭ)". При этом надо помнить, что электромагнитные факторы внешних источников превышают биофизический уровень клеточных мембран и обуславливают прогнозируемое возбуждение (угнетение) акупунктурных зон. Уже поэтому говорить о функциональной достоверности результатов не корректно. К тому же, биодинамика каждой зоны имеет собственный колебательный профиль, который ошибочно трактуют с "диагностической" точки зрения.

**Нормативная база ФВД** специфична, касается оценки уровней функционально-вегетативного равновесия и обусловлена статистически достоверным количеством наблюдений (14.304 детей разных возрастно-половых групп).

raine №1861/4, 4.04.1997 and №12010/87, 01.06.1999).

Systems VITA-01-M do not require metrological standardization because:

1) methodology FVD does not require external sources of power;

2) voltage of closed individually-diagnostic circuit does not exceed the level of membrane potential (0,03-0,6 V);

3) analysis is needed not for absolute values of diagnostic indices, but for relative correlation of total activity of functional systems *YANG/YIN* groups (syndromes of sympathetic / parasympathetic activity).

**Factor of attention of FVD** is ability of biological system to generate current into external closed circuit "electrode-donor of electrons (**DE**) – biological object – electrode acceptor of electrons (**AE**)". At the same time, it should be remembered, that electromagnetic factors of external sources significantly exceed biophysical level of cellular membranes and condition expected excitation (oppression) of acupunctural zones. It is incorrect to take the reason as the basis to talk about the functional probability of results. Additionally, biodynamics of every acupunctural zone has individual frequency profile, which by mistake is interpreted from "diagnostic" point of view.

**Standardization framework of FVD** is specific. It is related to evaluation of functional-vegetative equilibrium and is conditioned by statistically probable amount of observations (14. 304 examined children of different age and gender groups).

**МЕТОДОЛОГИЧЕСКИЕ  
ОСОБЕННОСТИ ФВД**

**METHODOLOGICAL  
PECULIARITIES OF FVD**

Методологические особенности ФВД обусловлены:

а) коротким (3 сек.) одновременным

Methodological peculiarities of FVD are conditioned by:

а) short (3 sec.) contact of paired diag-



контактом парного диагностического электрода ДЭ с симметричными репрезентативными зонами и сокращением количества тестирований с 24 до 12;

б) влажным электродным контактом с акупунктурными зонами (нивелирует вегето-сосудистые реакции кожи);

в) использованием для электрода АЭ централизованной "опорной зоны" (пупочная область, равноудалённая от зон репрезентативного контакта).

При этом внимание ФВД сосредоточено на биоэлектрической активности симметричных зон-пособников (Да-лн, Тай-юань, Шэнь-мэнь, Вань-гу, Ян-чї, Ян-си, Тай-бай, Тай-чун, Тай-сі, Шу-гу, Цю-суй и Чун-ян). Их индивидуальное сопротивление постоянному току эквивалентно среднему сопротивлению одноканальных зон (J.Nakatani).

Полученные в mV (mkA) данные переводят в относительные значения. Определяется суммарная биоэлектрическая активность функциональных систем ЯН и ИНЬ групп и вегетативный коэффициент их зависимости ( $k = \sum \text{ЯН} : \sum \text{ИНЬ}$ ). С точки зрения вегетативного гомеостаза, последний указывает на соотношение симпатичной (ЯН) и парасимпатической (ИНЬ) функциональной активности.

**Функционально-вегетативные принципы ФВД.** С биофизической точки зрения активность отдельным акупунктурных зон не является носителем базовой информации. Но соотношение ЯН/ИНЬ синдромов указывает на преимущество системного возбуждения (симпатичная направленность функционально-вегетативной активности), или её угнетение (парасимпатическая направленность).

Это обуславливает следующие принципы ФВД:

- суммарная биоэлектрическая активность репрезентативных зон группы ЯН сопоставима с симпатичной активностью, а группы ИНЬ - с парасимпатической;

nostic electrode DE with symmetric representative zones and limitation of number of tests from 24 to 12;

b) wet electrode contact with acupunctural zones (neutralizes vegetative-vascular reactions of skin);

c) usage for electrode AE of the centralized "basic zone" (navel region, equidistant from the zones of representative contact).

At the same time, attention of FVD is concentrated on bioelectrical activity of symmetrical zones-accomplices (tai-yuan, da-ling, shen-men, wan-gu, yang-chi, yang-xi, tai-bai, tai-chong, tai-xi, shu-gu, qiu-xu and chong-yang). Their individual resistance to direct current is equivalent to average resistance of other single-channel zones (J.Nakatani).

The received in mV (mkA) data of FVD is transformed into average values. We determine overall bioelectric activity of functional systems *YANG* and *YIN* groups, and vegetative coefficient of their interdependency ( $k = \sum \text{YANG} : \sum \text{YIN}$ ). From the point of view of vegetative homeostasis, the latter points to correlation of sympathetic (*YANG*) and parasympathetic (*YIN*) functional activity.

**Functional-vegetative principles of FVD.** From biophysical point of view, functional activity of separate acupunctural zones is not a carrier of basic information. However, interrelation *YANG/YIN* syndromes directly shows the prevalence of systemic excitation (sympathetic orientation of functional-vegetative activity), or oppression (parasympathetic orientation of functional-vegetative activity).

This conditions the following principles of FVD:

- overall bioelectrical activity of representative zones of group *YANG* is comparable with sympathetic activity, and of group *YIN* – with parasympathetic;

- симпатический и парасимпатический отделы ВНС на органном уровне обеспечивают биохимический контроль за системным вегетативным равновесием (последний в обычных условиях динамично стабильный; нарушение равновесия обусловлено преимуществом активности одного из отделов ВНС);

- соотношение ЯН и ИНЬ синдромов на биофизическом уровне характеризует функциональное вегетативное равновесие, то есть взаимозависимость функционального возбуждения и угнетения (последняя в обычных условиях динамично стабильная; нарушение функционального равновесия обусловлено преимуществом одного из синдромов);

- за своим функциональным назначением органы (системы) ЯН являются органами активного действия, а органы (системы) ИНЬ - органами накопления (спокойствию);

- динамически-стабильное соотношение ЯН и ИНЬ синдромов достоверно коррелирует с динамически-стабильным функциональным соотношением симпатической и парасимпатической активности, то есть функционально-вегетативным равновесием;

- преимущество ЯН над ИНЬ синдромом свидетельствует о нарушении вегетативного равновесия с преимуществом симпатической активности;

- преобладание ИНЬ над ЯН синдромом свидетельствует о нарушении вегетативного равновесия с преимуществом парасимпатической активности.

И логический вывод: симпатический и парасимпатический отделы ВНС на органном уровне выступают исполнителями функционально-информационной программы вегетативного контроля, которая обеспечена вегетативными коэффициентами.

**Вегетативные коэффициенты.** Разработанные вегетативные коэффициенты (**k**) указывают на соотношение симпатической и парасимпатической актив-

- sympathetic and parasympathetic divisions of VNS at organ level ensure biochemical control over systemic vegetative equilibrium (the latter under ordinary conditions is dynamically stable; disorder of equilibrium is conditioned by prevalence of activity of one of divisions of VNS);

- correlation of YANG and YIN syndromes at biophysical level characterizes functional vegetative equilibrium, i. e. interdependency of functional excitation and oppression (the latter under ordinary conditions is dynamically stable; disorder of functional equilibrium is conditioned by prevalence of one of syndromes);

- according to functional peculiarities, YANG organs (systems) are active, whereas YIN organs (systems) – accumulative (tranquility) organs;

- dynamically-stable correlation of YANG and YIN syndromes, probably correlates with dynamically-stable functional correlation of sympathetic and parasympathetic activity, i.e. with functional-vegetative equilibrium;

- prevalence of YANG syndrome over YIN syndrome testifies to disorder of vegetative equilibrium with prevalence of sympathetic activity;

- prevalence of YIN syndrome over YANG syndrome testifies to disorder of vegetative equilibrium with prevalence of parasympathetic activity.

And, the following logical conclusion: Sympathetic and parasympathetic divisions of VNS at organ level act as the executives of functional-informational program of vegetative control. At the same time, the latter is conditioned by vegetative coefficients.

**Vegetative coefficients.** The developed on the mentioned principles vegetative coefficients (**k**) point to correlation of sympathetic and parasympathetic activity (tab.

ности. Они рассчитанные на материалах обследования 14.304 дети и формируют заключительные функциональные диагнозы (табл.1.1).

Таблица 1.1

ЗОНА УВАГИ ВЕГЕТАТИВНИХ КОЕФІЦІЄНТІВ		
ЗНАЧЕННЯ k	ЗОНА ФУНКЦІОНАЛЬНОЇ УВАГИ	СИМВОЛ ЗОНИ
до 0,75	Зона значної парасимпатичної активності;	ПА-з
0,76-0,86	Зона вираженої парасимпатичної активності;	ПА-в
0,87-0,94	Зона функціональної компенсації парасимпатичної активності	ФкП
0,95-1,05	Зона функціонально-вегетативної рівноваги;	ВР
1,06-1,13	Зона функціональної компенсації симпатичної активності;	ФкС
1,14-1,26	Зона вираженої симпатичної активності;	СА-в
1,26 і >	Зона значної симпатичної активності.	СА-з

1.1). They have been calculated according to the data of examination of 14.304 children and form final functional diagnoses.

Table 1.1

ZONE OF ATTENTION OF VEGETATIVE COEFFICIENTS		
VALUE of k	ZONE OF FUNCTIONAL ATTENTION	SYMBOL OF ZONE
to 0,75	syndrome of significant parasympathetic prevalence	PA-s
0,76-0,86	syndrome of significant parasympathetic prevalence;	PA-e
0,87-0,94	zone of functional compensation of parasympathetic activity	FcP
0,95-1,05	zone of functional-vegetative equilibrium	VE
1,06-1,13	zone of functional compensation of sympathetic activity	FcS
1,14-1,26	syndrome of expressed sympathetic prevalence	SA-e
1,26 and >	syndrome of significant sympathetic prevalence	SA-s

#### БИОФИЗИЧЕСКИЕ ОСОБЕННОСТИ ФВД

Теперь обратим внимание на неизвестные раньше биофизические феномены, которые обеспечивают стабильность ФВД. И начнем со следующего.

**Реальность естественных генераторов энергии** обусловлена следующим.

1.Биоэлектрические явления (процессы распределения и транспорта электрических зарядов) обусловлены наличием в живых тканях большого количества фиксированных (заряженные группы биомолекул) и подвижных (свободные электроны и ионы) электрических зарядов.

2.Биологические системы это естественные генераторы, способные обеспечить транспорт свободных зарядоносителей во внешний контур.

Для реализации биологического источника энергии нужно три составляющие: а) биологическая система (есте-

#### BIOPHYSICAL PECULIARITIES OF FVD

Now lets us draw your attention to previously unknown biophysical phenomena that ensure stability of FVD. And we start with the following.

**Reality of natural generators of energy** is conditioned by two basic positions.

1.Bioelectrical phenomena (processes of distribution and transport of electric charges) are conditioned by the presence in living tissues of a great number of fixed (charged groups of bio macromolecules) and mobile (free electrons and ions) electric charges.

2.Biological systems are natural generators, able to provide transport of free charge carriers into artificially created external circuit.

For realization of biological source of energy, only three components are needed: а) biological system (natural generator of

ственный генератор энергии); б) химически инертные электроды донор электронов (ДЭ) - поставщик зарядоносителей в функциональные системы через акупунктурные зоны и акцептор электронов (АЭ) - приемник свободных зарядоносителей через акупунктурные зоны; в) внешний контур, контактирующий с электродами ДЭ и АЭ.

**Источник энергии для ФВД** – способность биологических систем генерировать слабые токи в замкнутый контур. То есть, в качестве диагностического фактора ФВД выступает направленный транспорт свободных зарядоносителей (электронов), перераспределение которых обуславливает энергоинформационные трансформации. Это требует объяснения, которое мы начнем с роли ФАЗ кожи в биогенной генерации энергии.

Исследование их функциональной активности дало возможность оценить биофизический феномен и ответить на поставленный вопрос. Да, имеют, и самое непосредственное! Что же свидетельствует в пользу этого?

1) Движение энергоносителей через биологический объект (рис.1.2б) осуществляется от электрода ДЭ (+) к электроду АЭ (-), не нарушая во внешнем контуре известную направленность от (-) к (+). Если в цепь добавить внешний источник тока (батарею, рис.1.2а), то транспорт зарядов становится зависимым от его полярности и через объект ток проходит в "узаконенном физикой" направлении от (-) к (+).

energy); b) chemically inert electrode donor of electrons (DE) – supplier of charge carriers into functional systems through acupunctural zones, and acceptor of electrons (AE) – receiver of free charge carriers through acupunctural zones; c) external circuit with device for control, contacting with electrodes DE and AE.

**Source of energy for FVD** is the ability of biological systems to generate weak currents into closed circuit. Thus, diagnostic factor for FVD is directed transport of free charge carriers (electrons), redistribution of which conditions power-informational transformations. This part requires additional explanation, which we will begin with the question whether there is a relation of functionally active zones (FAZ) of skin to biogenic generation of energy.

Research of their functional activity allowed taking a fresh look at this biophysical phenomenon, and giving answer to the question. They *do* have, and even direct relation! What testifies in favor to this?

1) Movement of charge carriers through biological object (fig.1.2b) from electrode DE (+) to electrode AE (-), without violation of known direction from (-) to (+) in external circuit. If we add external source of power (battery, fig.1.2a) to the circuit, then the transport of charges becomes dependent on its polarity and it is streaming through the object according to "physical law" from (-) to (+).

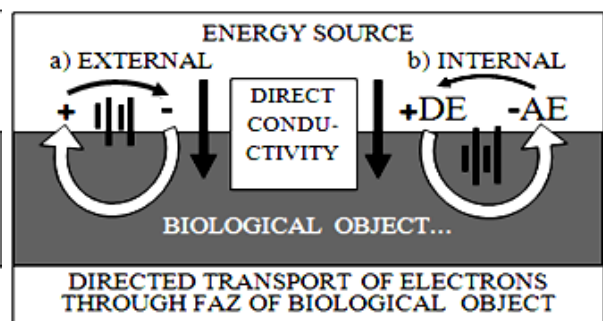
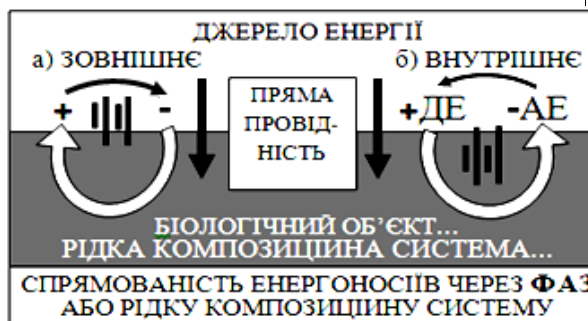


Рис.1.2 Направленность энергоносителей через ФАЗ

Fig.1.2 Direction of charge carriers through FAZ

3) В контуре между двумя однока-  
нальными ФАЗ биоэлектрическая ак-  
тивность на 73,4% больше, чем в конту-  
ре из ФАЗ разных функциональных си-  
стем.

Возникает вопрос: есть ли иные  
феномены ФАЗ, имеющие отношение к  
вегетативной диагностике?

Да, и давайте их рассмотрим!

3) In the circuit between two single-  
channel FAZ bioelectrical activity of cir-  
cuit is in 73,4% higher, than during the  
contact with FAZ of different functional  
systems.

Question: do unknown phenomena of  
FAZ that have direct meaning for vegeta-  
tive diagnostics exist?

Yes, and let us observe them!

**ФЕНОМЕН АСИНХРОННОСТИ ФАЗ,  
ИЛИ БИОФИЗИЧЕСКОЙ  
ФРАКТАЛЬНОСТИ**

**PHENOMENON OF ASYNCHRONICITY  
OF FAZ OR BIOPHYSICAL  
FRACTALITY**

Мы идентифицировали пять типов  
симметричной асинхронности (рис.1.3):

- уравновешенный, когда на протя-  
жении времени биоэлектрическая ак-  
тивность двух симметричных ФАЗ прак-  
тически сопоставима (рис.1.3.1);

- билатеральный, когда биоэлектри-  
ческая активность одной из симметрич-  
ных ФАЗ периодически превышает дру-  
гую (рис.1.3.2);

- правосторонний, когда наблюдается  
преобладание биоэлектрической ак-  
тивности правой симметричной ФАЗ  
(рис.1.3.3);

- левосторонний, когда на протяже-  
нии определенного времени наблюдает-  
ся преобладание биоэлектрической ак-  
тивности левой симметричной ФАЗ  
(рис.1.3.4), и

- смешанный, когда на протяжении  
времени видим чередование предыду-  
щих типов симметричной асинхронно-  
сти

We identified five types of temporary  
symmetrical asynchronicity (fig.1.3):

- balanced, when during a certain period,  
bioelectrical activity of two symmetrical  
FAZ is practically comparable (fig.1.3.1);

- bilateral, when during a certain period,  
bioelectrical activity of one of symmetrical  
FAZ occasionally prevails (fig.1.3.2);

- dextral, when during certain period,  
prevalence of bioelectrical activity of right  
symmetric FAZ is observed (fig.1.3.3);

- sinistral, when during certain period,  
prevalence of bioelectrical activity of left  
symmetric FAZ is observed (fig.1.3.4), and

- mixed, when during a certain period,  
sequence of previous types of symmetric  
asynchronicity are met...

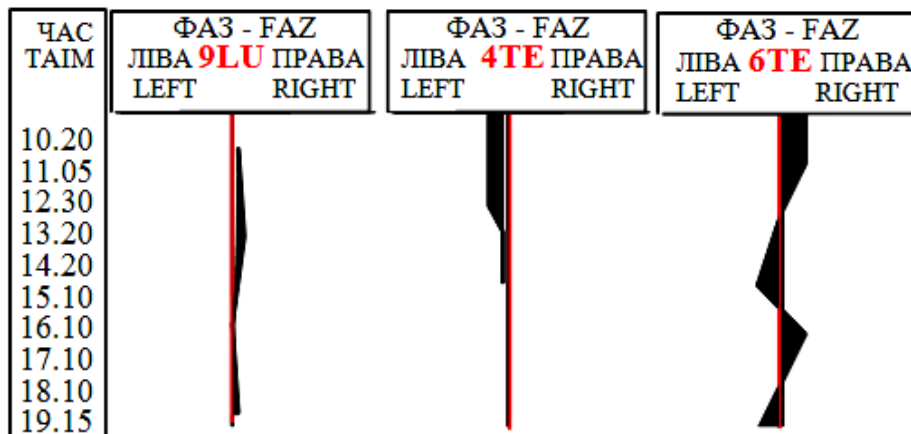


Рис. 1.3.1  
Fig. 1.3.1

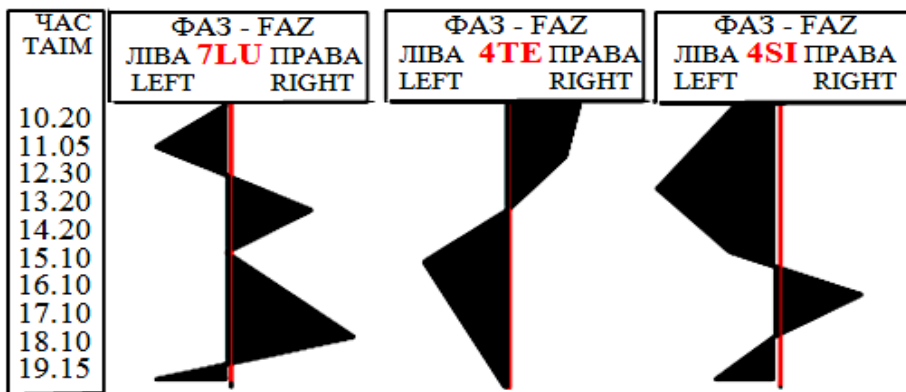


Рис. 1.3.2  
Fig. 1.3.2

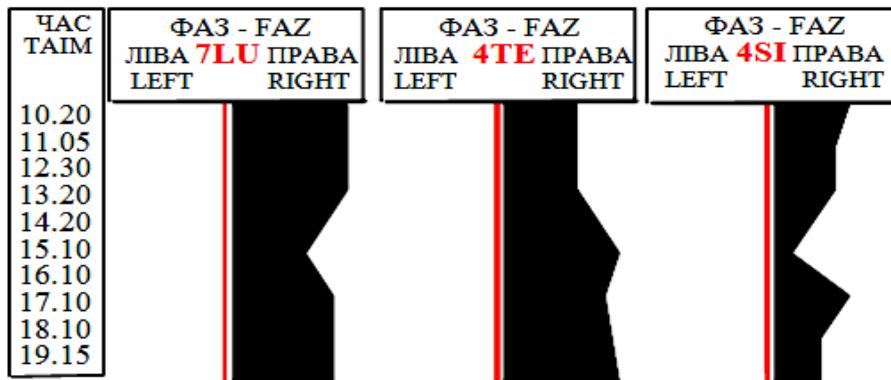


Рис. 1.3.3  
Fig. 1.3.3

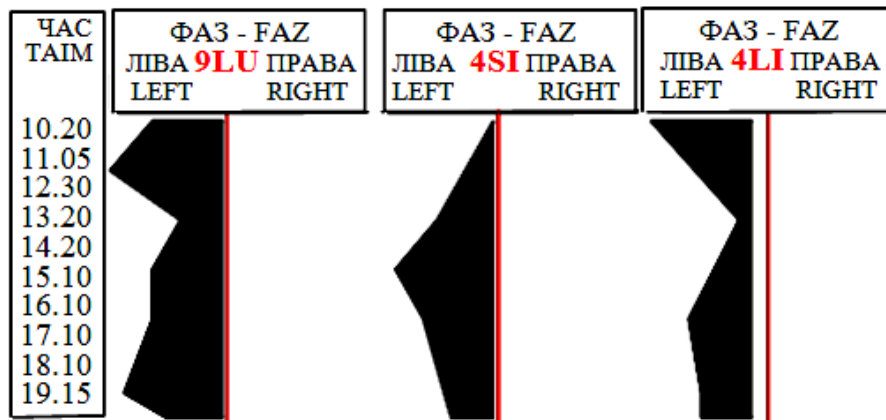


Рис. 1.3.4  
Fig. 1.3.4

При этом феномен биоэлектрической симметричной асинхронности сохраняется также в парных функциональных системах (рис. 1.4).

At the same time, phenomenon of symmetrical asynchronicity remains also in paired functional systems (fig.1.4).

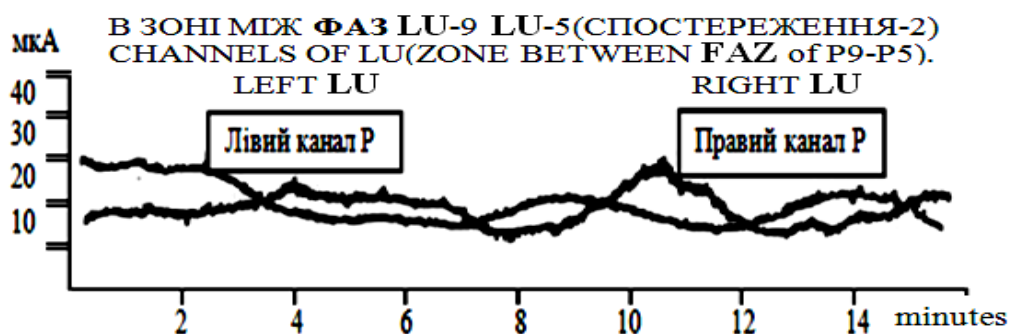


Рис.1.4 Феномен симметричной асинхронности функциональных систем.  
Fig.1.4 Phenomenon of symmetrical asynchronicity of functional systems.

Следует отметить, что одновременные наблюдения за симметричной асин-

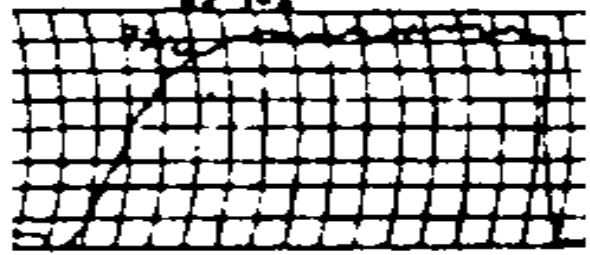
It should be noted, that simultaneous observations of symmetric asynchronicity

хронностью в парах ФАЗ различных каналов устанавливали иногда различные типы взаимоотношений (ТС=зона подачи Тест-сигнала; рис.1.5).

in pairs of FAZ of different channels disclosed occasion of different types of interrelations (TS=zone of Test-signal feeding fig.1.5).



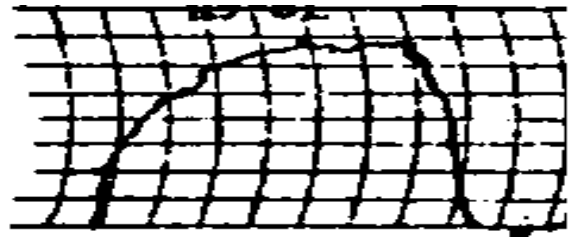
Сигнал: от правой 7ST к 7ST левой  
Signal from right 7ST to 7ST left



Сигнал: от левой 7 ST к 7 ST правой  
Signal from left 7ST to 7ST right



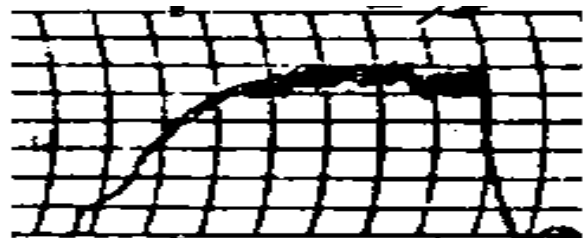
Сигнал: з левой 7 ST до 6 ST левой  
Signal from left 7ST to 6 ST left



Сигнал: з левой 6 ST до 7 ST левой  
Signal from left 6 ST to 7ST left



Сигнал: от 7 ST левой к 5 ST левой  
Signal from left 7ST to 5 ST left



Сигнал: от 5E левой к 7 ST левой  
Signal from left 5 ST to 7 ST left

Рис.1.5 Вентильный эффект между односторонними ФАЗ системы ST  
Fig.1.5 Valvular effect between one-sided FAZ of system ST

**ФЕНОМЕН СУММАРНОЙ АКТИВНОСТИ СИММЕТРИЧНЫХ ФАЗ**

**PHENOMENON OF TOTAL ACTIVITY OF SYMMETRICAL FAZ**

Феномен суммарной биоэлектрической активности симметричных ФАЗ - один из базовых принципов ФВД. Он возникает в симметричных парах ФАЗ при их одновременном тестировании спаренным электродом ДЭ с одним общим выходом на прибор контроля.

Phenomenon of total bioelectrical activity of symmetrical FAZ – is one of basic principles if FVD. It appears in symmetric pairs of FAZ during their simultaneous testing by paired electrode DE with one common output to the controlling device.

Так, например, трехразовое (в течение 15-20 мин.) тестирование правой и левой симметричных ФАЗ покажет различные значения симметричной асинхронности. При этом если правая ФАЗ условно покажет волну спада (15-10-5 мкА), то её левый аналог, наоборот, покажет волну подъема (условно обратные значения 5-

Thus, for example, triple (during 15-20 minutes) testing of right and left symmetrical FAZ is likely to indicate different values of symmetrical asynchrony. At the same time, if right FAZ will show, for instance, decreasing wave (15-10-5 mcA), then its left analogue, on the contrary, will show rising wave (provisionally opposite

10-15мкА; рис.1.6, мал.1.7; табл.1.2).

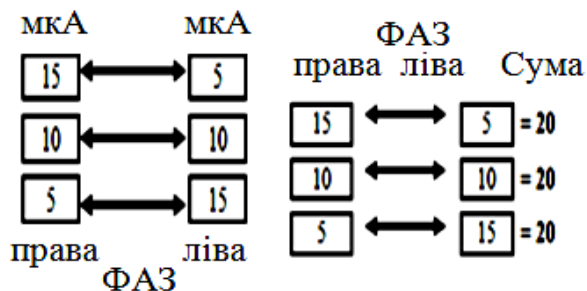


Рис.1.6

Рис.1.7

Если же две симметричные ФАЗ одновременно протестировать специальным электродом ДЭ с одним общим выходом на измерительный блок, мы получим стабильно суммарные результаты: 20-20-20 мкА (рис.1.7, табл.1.2). При этом следует отметить чёткую закономерность открытого явления. И хотя последнее не имеет корректного биофизического объяснения, его использование в практике функционально-вегетативной диагностики имеет существенное значение: мы впервые получаем стабильные во времени показатели и вдвое уменьшаем количество тестирования (вместо 24 ФАЗ контролируем суммарную активность 12-ти симметричных пар).

values 5-10-15 mcA; fig.1.6, fig.1.7; table 1.2).

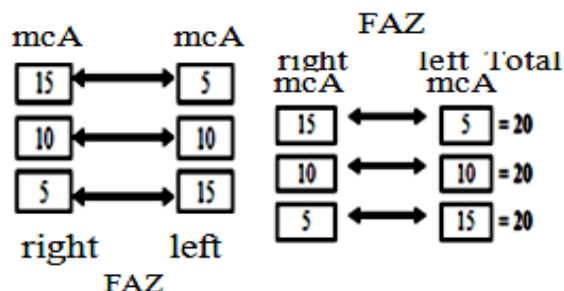


Fig.1.6

Fig.1.7

If two symmetrical FAZs are simultaneously tested with special electrode DE with one common output to gaging unit, we will get stable total results 20-20-20 mcA (fig. 1,7, tab.1.2). At the same time, discrete regularity of the discovered phenomenon should be noted. And, though the latter has no biophysical explanation, its usage in practice of functional-vegetative diagnostics has significant value: for the first time we get stable in time data and twice reduce the number of testings (instead of 24 FAZ, we control total activity of 12 symmetrical pairs).

Таблица 1.2 Table 1.2

Индивидуальная и суммарная биоэлектрическая активность симметричных ФАЗ (в мкА)  
Individual and total bioelectrical activity of symmetrical FAZ (in mcA)

СТОРОНА SIDE	ИНДИВІДУАЛЬНА І СУМАРНА АКТИВНІСТЬ СИМЕТРИЧНИХ ФАЗ INDIVIDUAL AND TOTAL ACTIVITY OF SYMMETRIC FAZ												
	BL	SP	LI	TE	SI	LU	PC	HT	ST	KI	GB	LR	
<i>СПОСТЕРЕЖЕННЯ - SUPERVISION 12.10.2005 (№1)</i>													
ЛІВА - LEFT	1,6	4,4	15	5,0	7,0	0,3	1,0	3,9	2,6	9,0	9,5	1,8	
ПРАВА-RIGHT	5,2	3,0	10	5,0	12,0	1,4	12,5	3,0	6,0	11,0	0,8	1,4	
Σ	6,8	7,4	24,5	10,0	19,0	1,7	29,5	7,0	8,6	20,0	10,1	3,2	
<i>СПОСТЕРЕЖЕННЯ - SUPERVISION 12.10.2005 (№2)</i>													
ЛІВА - LEFT	7,4	10	3,8	2,8	8,5	7,0	6,3	4,0	5,2	2,6	3,5	6,0	
ПРАВА-RIGHT	4,2	6,8	6,5	3,3	4,0	7,0	10,5	7,2	2,6	2,0	7,4	3,5	
Σ	11,6	16,8	10,3	6,1	12,5	14,0	17,0	11,2	7,8	4,6	11,0	9,5	
<i>СПОСТЕРЕЖЕННЯ - SUPERVISION 12.10.2005 (№3)</i>													
ЛІВА - LEFT	1,0	0,9	6,0	0,5	0,8	0,9	0,8	2,5	3,0	3,3	0,8	2,6	
ПРАВА-RIGHT	0,7	0,7	6,3	1,5	1,6	0,3	0,5	0,5	1,7	1,6	0,5	2,2	
Σ	1,7	1,6	12,0	2,0	2,4	1,2	1,3	3,0	4,7	5,0	1,3	4,8	



### ФЕНОМЕН ФУНКЦИОНАЛЬНО НАПРАВЛЕННОГО ТРАНСПОРТА ЭНЕРГОНОСИТЕЛЕЙ

Феномен энергетической направленности между одноканальными ФАЗ в системе “Легкие” (LU), биофизически поддерживает каноническое утверждение о его центробежности.

Установлено, что в условиях совпадения гипотетического и инициированного направления энергоносителей активность канала значительно возрастает. Феномен указывает на реальность вентильного механизма, то есть о природной центробежной активности системы (рис.1.8).

Феномен направленного транспорта отмечен и при использовании электродной пары ДЭ-АЭ. В данном случае максимальная проводимость была при позиции электрода ДЭ на ФАЗ LU3 а АЭ - последовательно от LU4 к LU11. При этом следует обратить внимание, что изучение вентильных канальных эффектов имеет значительную перспективу (наши работы следует рассматривать как методологический аспект проблемы).



Рис.1.8 Центристремительная (1) и центробежная (2) электропроводность канала LU

### PHENOMENON OF FUNCTIONALLY DIRECTED TRANSPORT OF CHARGE CARRIERS

Phenomenon of energy direction between single-channel FAZ in the system Lungs (LU), biophysically supports canonical statement of its centrifugal character.

It has been established, that traditionally centrifugal, or artificially centripetal direction of charge carriers increases significantly under conditions of concurrency of hypothetical and initiated directions. Phenomenon testifies to the reality of valvular mechanism, in other words to natural centrifugal activity of the mentioned system (fig.1.8).

Phenomenon of directed transport is also detected during the usage of electrode pair DE-AE. Here maximal conductivity was during the position of electrode DE on FAZ LU3 and AE – by turn from LU4 to LU11. At the same time, it should be noted, that study of valvular-channel effects has significant perspective (our works should be viewed as methodological aspect of the problem). Thus, doors for people with inquiring nature are open.

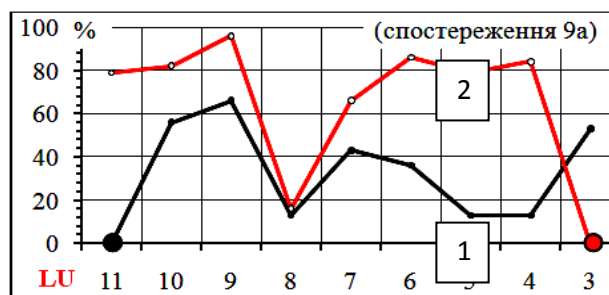


Fig.1.8 Centripetal (1) and centrifugal (2) electro conductivity of the channel LU

### ФЕНОМЕН СИСТЕМОЙ ЗАВИСИМОСТИ ОТ АКТИВНОСТИ КАНАЛОВ BL-SP

Установлена специфика влияния каналов BL-SP на направленную активность других систем: их возбуждения обуславливает угнетение других каналов (и, наоборот) и обуславливает значение позы при проведении ФВД (рис. 1.9, на примере BL).

### PHENOMENON OF SYSTEMIC DEPENDENCY ON ACTIVITY OF CHANNELS BL-SP

Specifics of influence of the channels BL-SP on directed activity of other systems has been identified: their excitation conditions oppression of other channels (and vice versa) and conditions value of posture during FVD (1.9, example of BL).

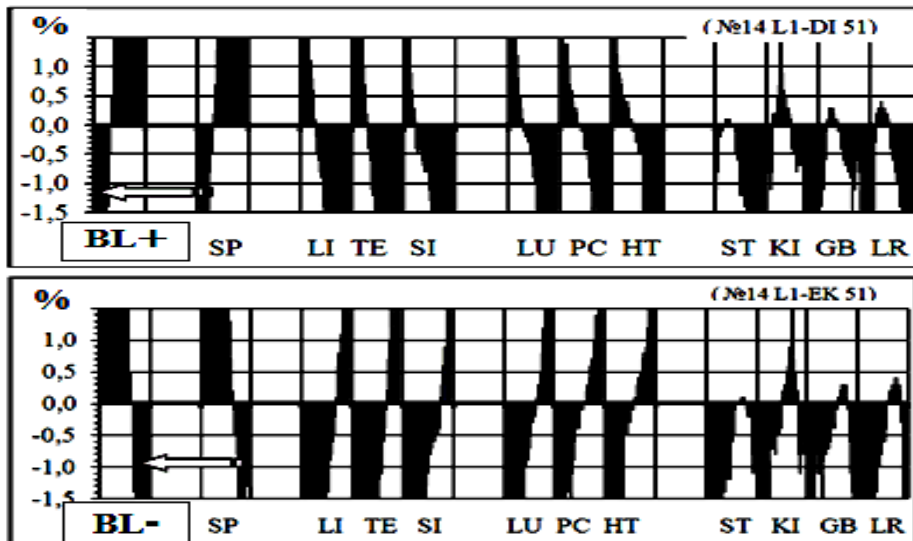


Рис.1.9 Системные реакции на возбуждение и угнетение BL

Fig.1.9 Systemic reactions on excitation and oppression of BL

**ФЕНОМЕН ПОЗЫ. ЗНАЧЕНИЕ ОРТО- И КЛИНОСТАТИКИ В ФВД**

**PHENOMENON OF POSTURE. ORTHO- AND CLINOSTATICS FOR FVD**

По нашим данным в 73% случаев изменение положения с ортостатики (стоя -↑) на клиностатику (лежа -→) обуславливает направленность вегетативного гомеостаза в сторону парасимпатической активности. При этом возрастает активность BL-SP, что обуславливает преимущественное угнетение других каналов. Изменение позы с клиностатики на ортостатику, наоборот, обуславливает угнетение активности указанных систем и преимущественное возбуждение других каналов (рис.1.10).

According to our data in 73,2% cases change of posture from orthostatics (standing - ↑) to clinostatics (lying - → ) conditions direction of vegetative homeostasis to parasympathetic activity. At the same time, change of body position is accompanied with the increment in activity of BL-SP, which conditions prevailed oppression of other channels. Change of posture from clinostatics to orthostatics, on the contrary, conditions oppression of BL-SP and prevailed excitation of other channels (fig.1.10).

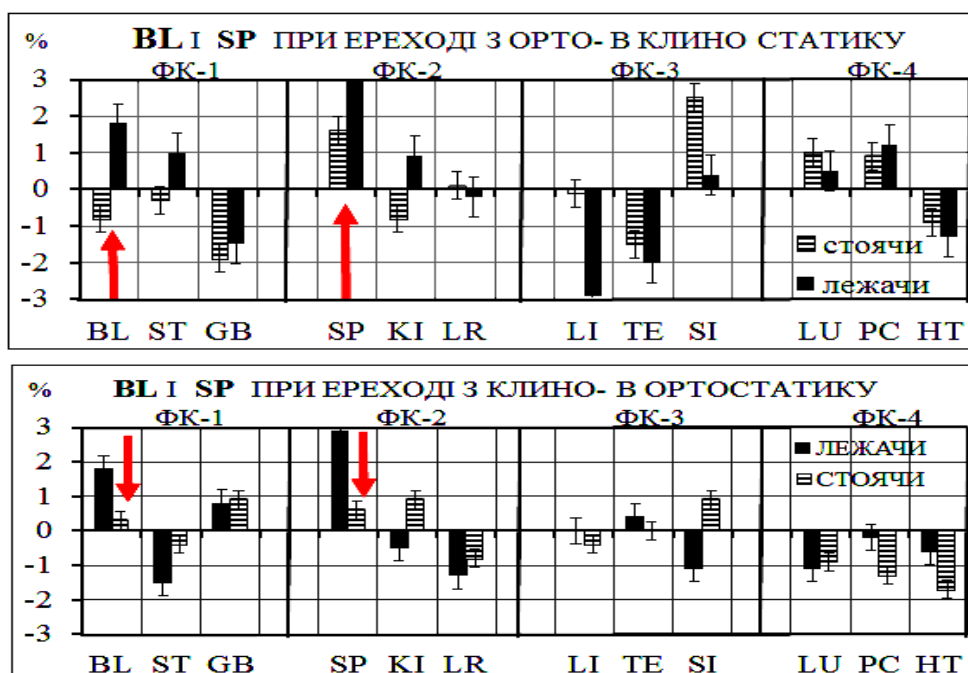


Рис.1.10 Активность BL-SP при орто- и клиноста- тике (феномен позы). Переход с орто- в клиноста- тики (1), и с клино- в ортостатику (2).

Fig.1.10 Activity of BL-SP during ortho- and clinostatics (phenomenon of posture). Change from ortho- to clinostatics (1), from clino- to orthostatics (2).

Обнаруженный “феномен позы” стал аргументом в пользу проведения ФВД в положении “стоя”. Имея в виду, что практически все функциональные диагностики (ЭКГ, ЭЭГ и ряд других) проводятся в клиностатическом положении, нужно учитывать его последствия ...

Более детальный анализ обнаруженного феномена показал, что функционально-парасимпатическую направленность контролирует функциональная система BL (рост ее активности сопровождается уменьшением парасимпатической напряженности и, наоборот).

The discovered phenomenon of posture became an argument in favour of standing position while conducting FVD. Taking into account, that nearly all functional diagnostics (ECG, EEG and others) are conducted in clinostatic position, consequences must be, at least, taken into consideration...

More detailed analysis of the discovered phenomenon has testified, that functionally-parasympathetic direction is controlled by functional system BL (increment in activity is accompanied with the decrease of parasympathetic tension and vice versa).

### **ПОЛОВОЗРАСТНЫЕ ОСОБЕННОСТИ ВЕГЕТАТИВНЫХ НОРМАТИВОВ**

Важнейшей проблемой любой диагностики является достоверность её нормативной базы, которая для каждой половозрастной группы должна иметь среднестатистические и региональные показатели. Что касается ФВД, то здесь ситуация особая. Дело в том, что функционально-вегетативный гомеостаз автоматически направлен на поддержку собственной динамической устойчивости (в пределах “Функциональная компенсация ПА - вегетативное равновесие - функциональная компенсация СА”). Выход за указанные пределы формирует уровни вегетативных нарушений.

Наша нормативная база разработана на достаточном количестве наблюдений (8,416 девушек и 5,875 мальчиков разных половозрастных групп). В группу нормативного наблюдения отобраны 2.208 практически здоровых детей с исходным вегетативным равновесием ( $k = 0,95-1,05$ ).

На этом мы акцентируем особое внимание, потому что некоторые половозрастные особенности системной активности никаким образом не влияют на конечный результат!

Полученные данные свидетельствуют об идентичности вариационных рядов и

### **GANDER-AGE PECILIARITIES OF VEGETATIVE STANDARDS**

The most important problem of every diagnostic technology is related to credibility of its standardization framework, which for every gender-age group must have specific average-statistical and regional indices. As for FVD, here situation is very specific. The thing is that under any condition functionally-vegetative homeostasis is automatically directed to maintain its own dynamic stability (within the frames of “functional compensation of PA – vegetative equilibrium – and functional compensation of SA”). Overrunning of these frames causes vegetative disorders of various levels.

Standardization base is elaborated according to sufficient number of observations (8,416 girls and 5,875 boys of various age-gender groups). At the same time, 2.208 of practically healthy children with initial state of vegetative equilibrium ( $k=0,95-1,05$ ) were selected for observations in standard group.

We accentuate attention on this, because some gender-age peculiarities of system activity that were detected, do not affect the final result!

The received results testify to high identity of received values of variational range

средней ошибки средней арифметической величины. Мы практически не обнаружили достойных внимания отклонений [как в женских (Д) и мужских (Х), так и в смешанных по полу и возрасту (СПВ) группах]. Рассмотрим диаграммы различных половозрастных групп.

and average error of arithmetic mean value. Practically, we haven't found any attention worthy deviation in every gender-age groups [female (Д), male (Х) and mixed by gender and age (MGA)]. Let us observe the diagrams of various gender-age groups.

**НОРМАТИВНЫЕ ДИАГРАММЫ  
ДОШКОЛЬНОГО ВОЗРАСТА  
(К-ВР=0,94-1,06)**

**NORMATIVE FIGURES SCHOOL AGE  
(K-VR = 0,94-1,06)**

В группу экспериментального внимания было отобрано 102 ребенка 3-6 лет (девочек 57, мальчиков 45). У всех детей начальный к-ВР был 0,95-1,05 (зона вегетативного равновесия). В женской (рис.1.11.1) и мужской (рис.1.11.2) группах нормативный анализ свидетельствует о нестандартном характере системной функционально-вегетативной зависимости в пределах физиологической нормы.

The experimental group included 102 children of 3-6 years of age (57 girls, 45 boys). All children demonstrated k-VE 0,95-1,05 (zone of vegetative equilibrium). In the female group (fig. 1.11.1) and the male group (fig. 1.11.2) the normative analysis testifies to non-standard character of functional-vegetative dependency within the margins of physiological norm.

Базовым критерием функционального здоровья детей дошкольного возраста выступает коэффициент вегетативного равновесия (к-ВР), указывающий на удовлетворительное (или неудовлетворительное) соотношение "симпатической – парасимпатической активности". Отклонение влево от зоны нормы (менее 0,95) указывает на соответствующую парасимпатическую направленность, а вправо (более 1,05) - на симпатическую.

The basic criterion of functional health of children of the pre-school age is the coefficient of vegetative equilibrium (k-VE), which points to the satisfactory (or poor) correlation "sympathetic-parasympathetic activity". Its deviation to the left from the zone of norm (less than 0,95) points to the corresponding sympathetic orientation, while deviation to the right (more than 1,05) – points to the parasympathetic activity.

Нормативы ФВД в женской группе дошкольного возраста (рис.1.11.1) по годам жизни (Примечание: М - средние данные смешанной по возрасту женской дошкольной группы (57 детей).

The norms of FVD for children of female group of the pre-school age (fig. 1.11.1) through ages (*Note: M – average data of mixed age female group (57 children)*)

Возраст AGE	ФУНКЦИОНАЛЬНО-ВЕГЕТАТИВНЫЕ СИСТЕМЫ (АКТИВНОСТЬ в %) FUNCTIONALLY AUTONOMIC SYSTEMS (ACTIVITY IN %)											
	LU	PC	HT	SI	TE	LI	SP	LR	KI	BL	GB	ST
3 p	8,12	8,64	7,99	9,32	8,09	8,09	9,60	7,42	8,41	9,71	7,37	7,25
4 p	9,73	8,25	8,58	8,36	7,54	10,4	8,82	7,29	7,43	8,82	6,31	8,43
(5 p)	9,64	8,26	8,39	9,70	8,13	10,4	9,55	7,19	7,29	8,56	5,59	7,27
6 p	8,43	7,77	7,92	8,53	6,67	8,39	10,2	7,60	7,90	11,6	7,20	7,83
<b>M</b>	8,89	8,21	8,17	9,06	7,60	9,21	9,65	7,38	7,79	9,80	6,64	7,59

Рис.1.11.1 Fig.1.11.1

Нормативы ФВД в мужской группе дошкольного возраста (рис.1.11.2) по годам жизни (Примечание: М - средние данные смешанной по возрасту женской дошкольной группы (57 детей).

The norms of FVD for children of male group of the pre-school age (fig. 1.11.2) through ages (*Note: M – average data of mixed age male group (45 children)*)

Возраст AGE	ФУНКЦИОНАЛЬНО-ВЕГЕТАТИВНЫЕ СИСТЕМЫ (АКТИВНОСТЬ В %) FUNCTIONALLY AUTONOMIC SYSTEMS (ACTIVITY IN %)											
	LU	PC	HT	SI	TE	LI	SP	LR	KI	BL	GB	ST
3 p	11,3	12,7	11,3	14,1	14,1	11,3	5,63	5,63	2,82	5,63	1,41	4,23
4 p	8,19	8,88	8,16	8,24	8,55	7,92	9,94	7,07	8,15	10,3	7,57	7,03
5 p	10,2	8,71	8,86	9,20	8,03	10,8	8,59	6,58	7,32	9,00	6,19	6,53
6 p	9,23	8,20	8,38	10,2	7,53	8,82	9,85	6,89	7,59	10,2	5,91	7,27
<b>М</b>	9,33	8,62	8,54	9,48	8,08	9,27	9,38	6,81	7,54	9,74	6,30	6,91

Рис.1.11.2 Fig.1.11.2

Сравнение диаграмм женской (рис. 1.11.3) и мужской (рис.1.11.4) групп не выявило достоверных половозрастных особенностей в зоне нормы.

Comparison of diagrams of female (fig.1.11.3) and male (fig.1.11.4) groups has not allowed to detect valid gender-age peculiarities within the zone of norm.

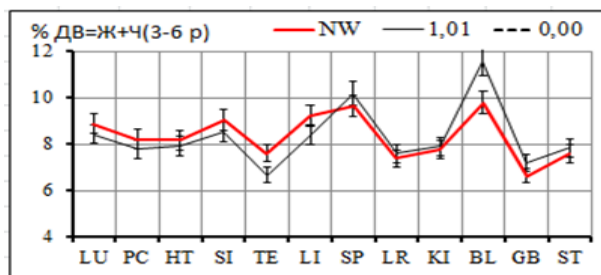


Рис.1.11.3 Fig.1.11.3

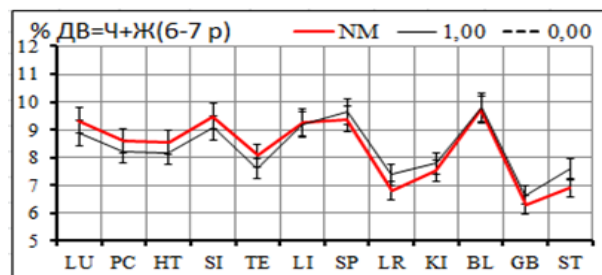


Рис. 1.11.4 Fig.1.11.4

Но возникает принципиальный вопрос: может ли быть стабильной нормативная диаграмма при оценке динамической активности функционально-вегетативного гомеостаза в дошкольном возрасте? Ответ: Нет! Потому что системное соотношение зависит от переменных функциональных потребностей биологической системы...

However, there is a principle question: can the normative diagram be stable during the assessment of the dynamic activity of functional-vegetative homeostasis in children of the pre-school age? The answer is No! The systemic correlation depends on every minute functional needs of biological system and, by nature, cannot be stable.

Динамично стабильным остается только уровень вегетативного равновесия: соотношение симпатической и парасимпатической (ЯН-ИНЬ) активности, которую отражает коэффициент вегетативного равновесия ( $k=BP$ ). Об этом свидетельствуют диаграммы нормативных показателей при  $k=1$  по отдельным годам жизни (рис.1.12) и их отношение к зоне системной функциональной нормы (0-зона).

Dynamically stable remains only the level of vegetative equilibrium: correlation of sympathetic and parasympathetic (YANG-YIN) activity, which is reflected in the coefficient of vegetative equilibrium ( $k=VE$ ). This is testified by the diagrams of the normative indices under  $k=1$  through separate ages of life of children of pre-school age (fig. 1.12) and their relation to the zone of systemic functional norm (0-zone).

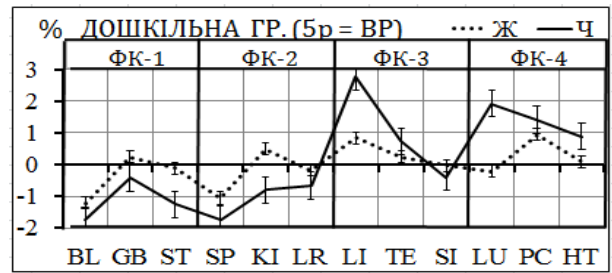
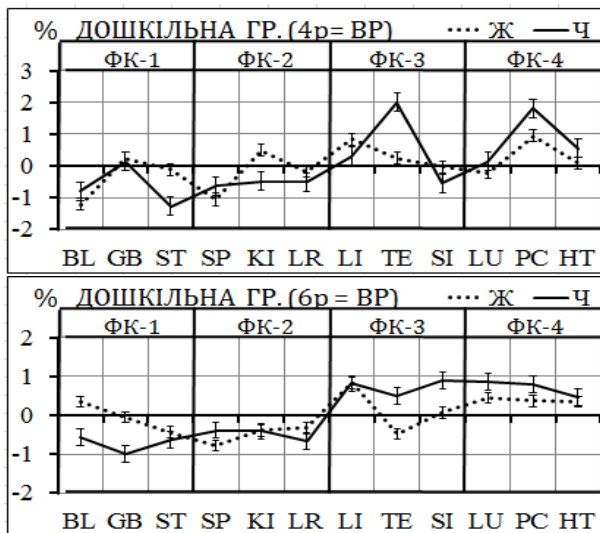


Рис.1.12 Соотношение системной зависимости в женской и мужской дошкольных группах при вегетативной равновесии ( $k = 1$ ).

Fig.1.12 Correlation of systemic dependency in female and male pre-school groups under vegetative equilibrium ( $k=1$ ).

### Выводы.

1. В дошкольном возрасте функционально-вегетативные диаграммы по отдельным годам жизни существенно не отличаются от выведенных среднестатистических нормативов. Отмеченные колебания в пределах функциональной нормы практически не влияют на вегетативную трансформацию, что разрешает использование приведенных среднестатистических нормативов.

2. При этом следует помнить, что коэффициент вегетативного равновесия ( $k=BP$ ) единственный показатель, который имеет диагностическое значение и системная функциональная коррекция должна проходить под его контролем.

### CONCLUSION.

1. In the pre-school age observations, functional-vegetative diagrams through separate ages do not significantly differ from the deduced average norms. The outlined deviations within the frames of functional norm do not practically influence the vegetative transformation, which allows the usage of the represented statistically average norms.

2. At the same time, it should be remembered that the coefficient of vegetative equilibrium ( $k=VE$ ) is the only indicator that holds the diagnostic value, and systemic functional correction should be performed under its control.

### НОРМАТИВНЫЕ ДИАГРАММЫ МЛАДШЕГО ШКОЛЬНОГО ВОЗРАСТА ( $k-BP=0,94-1,06$ )...

Для нормативного анализа отобрано 4464 детей младшего школьного возраста. Из них 2312 детей составляли женскую группу, 2152 ребенка - мужскую. Общим признаком обеих групп было состояние исходного вегетативного равновесия ( $k-BP = 0,95-1,05$ ) ...

Нормативы ФВД у детей женской группы младшего школьного возраста (мал.1.12.1) по годам жизни (7-11 лет). Примечание: М - средние данные смешанной по возрасту женской группы (581 ребенок)

### REGULATORY CHART PRIMARY SCHOOL AGE ( $k-VB = 0,94-1,06$ ) ...

For the 4.464 regulatory analysis of selected primary school children. Of these, 2.312 children made up the female group, 2.152 children - male. A common feature of both groups was the state of the initial autonomic balance ( $k-VB = 0,95-1,05$ ) ...

FVD ratios in female children of primary school age (mal.1.12.1) years to life (7-11 years). Note: M - medium mixed data on female age group (581 children).

Возраст AGE	ФУНКЦИОНАЛЬНО-ВЕГЕТАТИВНЫЕ СИСТЕМЫ (АКТИВНОСТЬ В %) FUNCTIONALLY AUTONOMIC SYSTEMS (ACTIVITY IN %)											
	LU	PC	HT	SI	TE	LI	SP	LR	KI	BL	GB	ST
7 p	7,35	7,31	7,34	8,06	7,15	7,89	10,8	8,09	9,18	11,2	7,28	8,32
8 p	7,80	7,02	7,23	9,04	6,58	7,68	10,8	8,11	9,08	10,8	7,50	8,54
9 p	8,33	7,06	7,37	10,4	6,33	7,69	11,2	7,51	8,47	11,6	6,12	7,80
10 p	8,35	7,52	7,78	9,44	6,91	7,92	11,8	7,06	7,49	11,9	6,37	7,41
11 p	8,11	7,07	8,11	9,30	6,66	7,55	12,4	6,57	8,07	12,4	6,23	7,39
<b>M</b>	8,10	7,21	7,62	9,43	6,69	7,74	11,5	7,34	8,28	11,7	6,58	7,78

Мал.1.12.1 Fig.1.12.1

Нормативы ФВД у детей мужской группы младшего школьного возраста (рис.1.12.2) по годам жизни. Примечание: М - средние данные смешанной по возрасту мужской группы (539 детей).

The norms of FVD in male children of the junior school age (fig. 1.12.2) through the ages. Note: **M** – average data of mixed by age male group (539 children).

Возраст AGE	ФУНКЦИОНАЛЬНО-ВЕГЕТАТИВНЫЕ СИСТЕМЫ (АКТИВНОСТЬ В %) FUNCTIONALLY AUTONOMIC SYSTEMS (ACTIVITY IN %)											
	LU	PC	HT	SI	TE	LI	SP	LR	KI	BL	GB	ST
7 p	8,50	7,93	7,87	8,31	6,85	7,94	9,99	7,44	8,32	10,6	7,79	8,50
8 p	7,76	7,30	7,71	9,28	6,48	7,45	10,6	7,95	8,69	11,0	7,40	8,36
9 p	8,41	7,38	7,53	10,5	6,52	7,79	11,3	7,36	8,13	11,3	5,92	7,89
10 p	8,70	8,08	8,19	9,31	7,37	8,35	10,9	6,73	7,52	11,6	6,02	7,18
11 p	8,77	7,45	8,04	8,96	7,14	7,75	10,6	7,37	7,95	11,7	6,59	7,69
<b>M</b>	8,47	7,61	7,88	9,35	6,91	7,86	10,7	7,33	8,06	11,3	6,60	7,83

Рис.1.12.2 Fig.1.12.2

В младшем школьном возрасте нормативы по отдельным годам жизни существенно не отличаются от выведенных средне статистических показателей для возрастной группы 7-11 лет. В женской (рис.1.12.3) и мужской (рис.1.12.4) нормативных группах половозрастные колебания не достоверны и не влияют на трансформацию функционально-вегетативных уровней (по сравнению с зоной средней функционально-вегетативной нормы).

In junior school age, the norms of separate years of age do not substantially differ from the statistical average indices for the age group of 7-11 years. In female (fig. 1.12.3) and male (fig.1.12.4) normative groups we have noticed gender-age changes. These changes were of low validity and did not influence the transformation of functional-vegetative levels (in comparison with the zone of the average functional-vegetative norm).

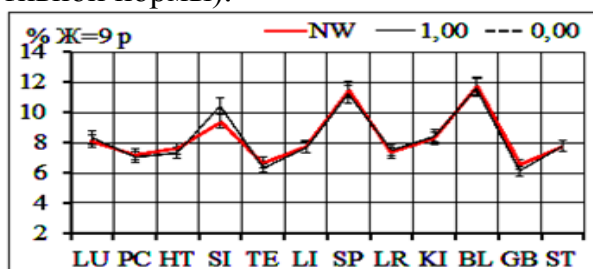


Рис.1.12.3. Fig.1.12.3.

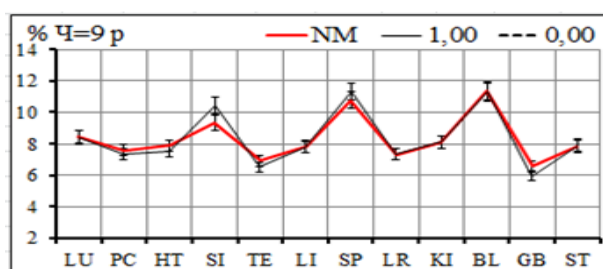
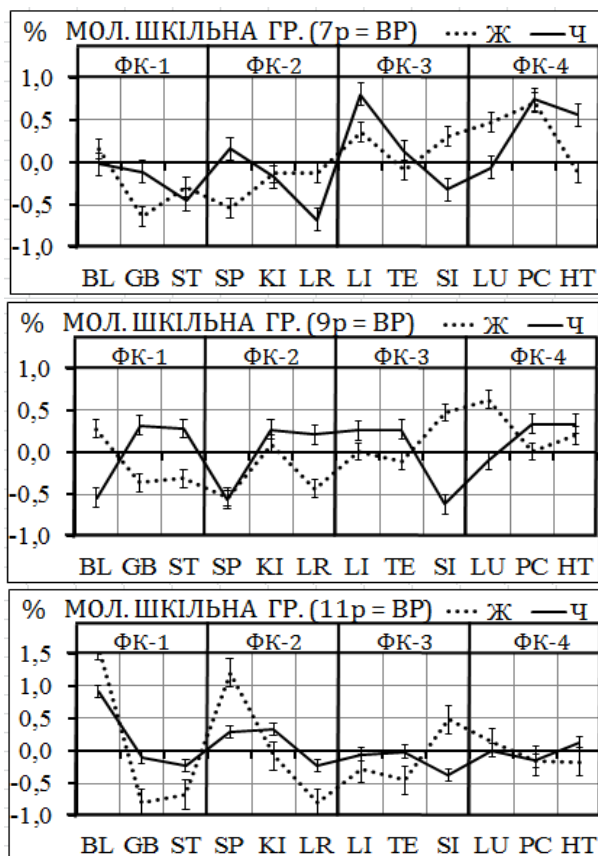


Рис.1.12.4. Fig.1.12.4

Возникает принципиальный вопрос: может ли быть стабильной нормативная диаграмма при оценке динамической активности функционально-вегетативного гомеостаза у детей младшего школьного возраста? Ответ: Нет! Потому что системное соотношение зависит от переменных функциональных потребностей биологической системы...

Динамично стабильным остается только уровень вегетативного равновесия: соотношение симпатической и парасимпатической (ЯН-ИНЬ) активности, которое отражает коэффициент вегетативного равновесия ( $k=BP$ ). Об этом свидетельствуют приведенные диаграммы нормативных показателей при  $k=1$  по отдельным годам жизни детей (рис.1.12.5) и их отношение к зоне системной функциональной нормы (0-зона).



### Выводы

1. В младшем школьном возрасте нормативы по отдельным годам жизни аналогичны среднестатистическим и не влияют на трансформацию функциона-

However, there is again a principle question: can the normative diagram be stable during the assessment of the dynamic activity of functional-vegetative homeostasis in children of junior school age? The answer is – NO! The point is that, the systemic correlation depends on continuous functional needs of the biological system and cannot be stable.

The only thing that remains stable is the level of vegetative equilibrium: correlation of sympathetic and parasympathetic (YANG-YIN) activity, which is reflected through the coefficient of vegetative equilibrium ( $k=VE$ ). This has been testified by the diagrams of the normative indices under  $k=1$  through separate ages of life of pre-school age children (fig. 1.12.5) and their relation to the zone of systemic functional norm (0-zone).

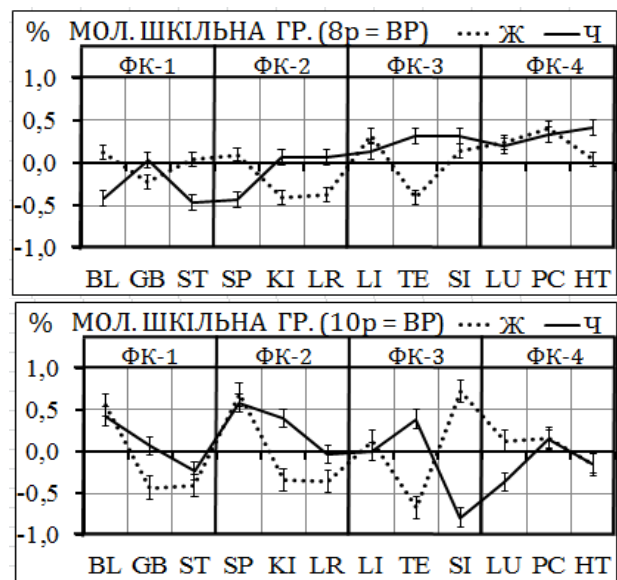


Рис.1.12.5 Соотношение системной зависимости в женской и мужской младших школьных группах при вегетативной равновесии ( $k = 1$ ).

Fig.1.12.5 Correlation of systemic dependency in female and male groups of pre-school age children under the vegetative equilibrium ( $k=1$ ).

### CONCLUSION.

1. In junior school age the norms in separate age groups are similar with the average statistical data and do not influence the transformation of functional-vegetative



льно-вегетативных уровней.

2. При этом следует помнить, что коэффициент вегетативного равновесия ( $k=BP$ ) единственный показатель, который имеет диагностическое значение, и системная функциональная коррекция должна проходить под его контролем.

levels in age-normative groups.

2. At the same time, it should be remembered that the coefficient of vegetative equilibrium ( $k=VE$ ) is the only indicator that holds the diagnostic value, and systemic functional correction should be performed under its control.

**НОРМАТИВНЫЕ ДИАГРАММЫ  
ПОДРОСТКОВОГО ВОЗРАСТА 12-16 ЛЕТ  
( $k-BP = 0,95-1,05$ )**

**NORMATIVE DIAGRAMS OF THE JUVENILE  
AGE 12-16 YEARS ( $k-VE=0,95-1,05$ )**

В группу нормативной внимания было отобрано 1740 детей с исходным состоянием вегетативного равновесия ( $k-BP=0,95-1,05$  – крайние границы абсолютной нормы "зоны вегетативного равновесия"). Из них 939 в женскую группу и 801 в мужскую.

Нормативы ФВД у детей женской группы подросткового школьного возраста (рис.1.13.1) по годам жизни (12-16 лет). Примечание: *M* - средние данные смешанной по возрасту женской группы (939 детей).

The observation group included 1740 teenagers with the initial state of vegetative equilibrium ( $k-VE=0,95-1,05$  – borders of the absolute norm "zone of vegetative equilibrium"). The total number of participants included 939 female and 801 male representatives.

The norms for FVD for the female group of the juvenile age (fig. 1.13.1) through the ages of 12-16 years. *Note: M* – average data of the mixed by age female group (939 children).

Возраст AGE	ФУНКЦИОНАЛЬНО-ВЕГЕТАТИВНЫЕ СИСТЕМЫ (АКТИВНОСТЬ в %) FUNCTIONALLY AUTONOMIC SYSTEMS (ACTIVITY IN %)											
	LU	PC	HT	SI	TE	LI	SP	LR	KI	BL	GB	ST
12 p	8,68	7,55	7,94	8,30	7,25	9,09	10,6	7,44	7,90	11,4	6,56	7,32
13 p	8,46	7,21	7,57	7,36	6,66	9,19	11,4	7,36	8,12	12,3	6,66	7,75
14 p	8,76	7,49	7,63	7,67	7,18	9,40	10,7	7,43	8,01	10,9	6,97	7,92
15 p	9,15	7,47	7,95	7,51	7,22	9,72	11,1	7,19	7,40	11,6	6,11	7,57
16 p	8,78	7,96	8,03	8,03	7,48	9,42	10,3	7,21	7,70	10,5	6,46	8,06
<b>M</b>	8,74	7,52	7,80	7,76	7,14	9,34	10,8	7,34	7,87	11,3	6,61	7,73

Рис.1.13.1 Fig.1.13.1

Нормативы ФВД у детей мужского группы подросткового школьного возраста (рис.1.13.2) по годам жизни (12-16 лет). Примечание: *M* - средние данные смешанной по возрасту женской группы (801 ребенок).

Детальный анализ нормативных диаграмм женской (рис.1.13.3) и мужской (рис.1.13.4) групп подросткового возраста по отдельным годам жизни свидетельствует об их полной сопоставимости с базовыми (смешанными по возраст-

The norms for FVD for the male group of the juvenile age (fig. 1.13.2) through the ages of 12-16 years. *Note: M* – average data of the mixed by age male group (801 children).

The detailed analysis and the comparison of the normative diagrams of female (fig.1.13.3) and male (fig. 1.13.4) groups of the juvenile age through separate years testify to their complete comparability with the basic (mixed by age) normative histo-

ту) нормативными гистограммами (на примере 12 летних групп) ...

grams (on the example of the groups of 12 years of age)...

Возраст AGE	ФУНКЦИОНАЛЬНО-ВЕГЕТАТИВНЫЕ СИСТЕМЫ (АКТИВНОСТЬ В %) FUNCTIONALLY AUTONOMIC SYSTEMS (ACTIVITY IN %)											
	LU	PC	HT	SI	TE	LI	SP	LR	KI	BL	GB	ST
12 p	8,66	7,45	8,17	7,76	7,24	9,49	10,4	7,31	8,19	11,1	6,74	7,55
13 p	8,22	7,10	7,68	7,81	6,84	8,87	10,9	7,28	8,93	11,9	6,67	7,84
14 p	8,38	7,44	7,65	7,68	6,83	9,43	9,93	7,83	8,78	10,5	7,01	8,56
15 p	8,61	7,09	7,52	7,74	6,81	9,50	10,6	7,66	8,69	10,7	6,53	8,49
16 p	8,40	7,14	7,91	8,03	6,62	9,62	10,1	7,52	8,94	10,5	6,78	8,50
<b>М</b>	8,44	7,26	7,76	7,78	6,87	9,36	10,4	7,55	8,71	10,9	6,77	8,20

Рис. 1.13.2 Fig. 1.13.2

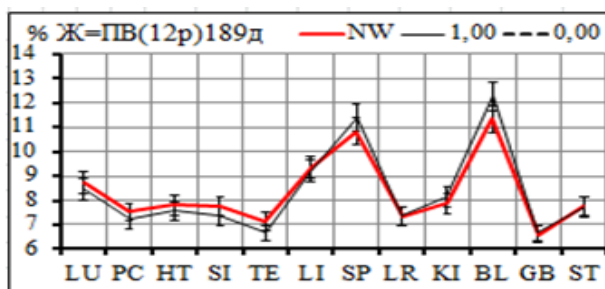


Рис 1.13.3 Fig. 1.13.3

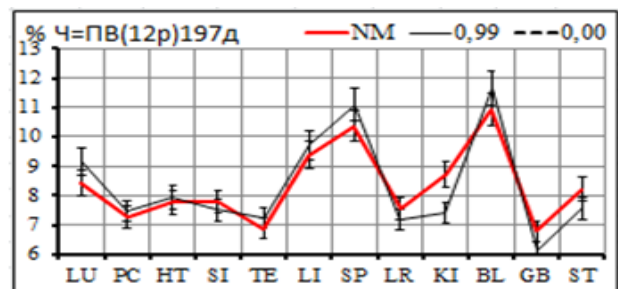


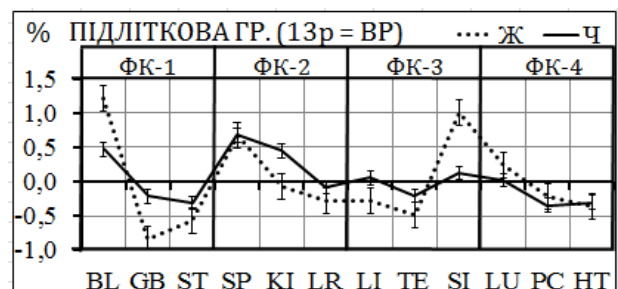
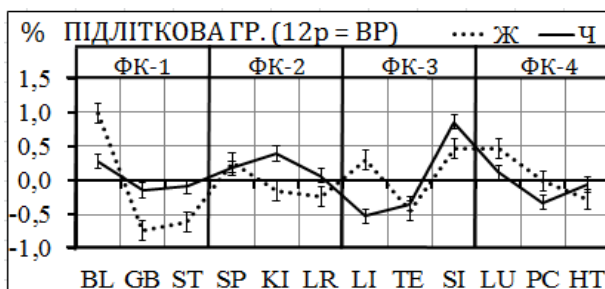
Рис. 1.13.4 Fig. 1.13.4

Возникает принципиальный вопрос: может ли быть стабильной нормативная диаграмма при оценке динамической активности функционально-вегетативного гомеостаза у детей подросткового школьного возраста? Ответ: Нет! Потому что системное соотношение зависит от переменных функциональных потребностей биологической системы...

But again there is a fundamental question: can be stable regulatory chart in assessing functional and dynamic activity of vegetative homeostasis in adolescent school children? The answer is categorical - No! System value depends on the momentary needs functional biological system, by its nature cannot be stable.

Динамично стабильным остается только вегетативный уровень, отображенный коэффициентом вегетативного равновесия ( $k = VP$ ). Об этом свидетельствуют приведенные диаграммы при  $k = 1$  по отдельным годам подросткового школьного возраста (рис.1.13.5) и их отношение к зоне системной функциональной нормы (0-зона) ..

Dynamically stable vegetative level is only displayed autonomic balance ratio ( $k = VB$ ). This is evidenced by the chart at  $k = 1$  to separate the teenage years of school age (fig.1.13.5) and their relationship to functional areas of system rules (Zone 0) ..



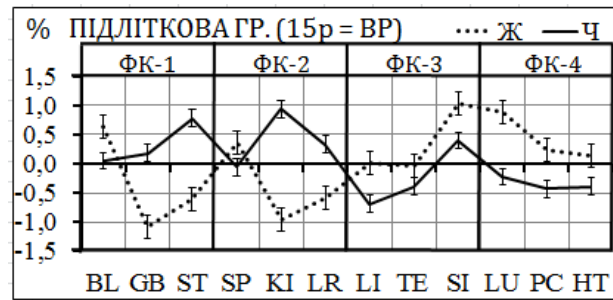
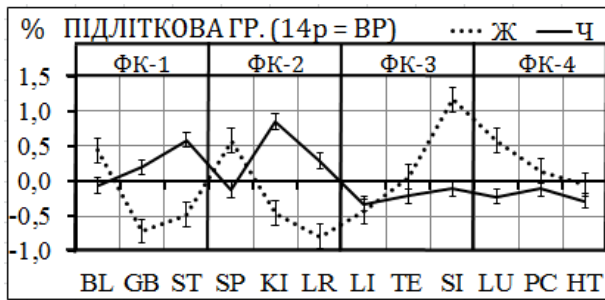


Рис.1.13.5 Соотношение системной зависимости по отдельным годам жизни в женской и мужской подростковых группах при вегетативной равновесии ( $k = 1$ ).  
 Fig.1.13.5 Correlation of systemic dependency through separate years of life in female and male groups of juvenile age under the vegetative equilibrium ( $k=1$ ).

**ВЫВОДЫ.**

1. В подростковом возрасте нормы по годам жизни существенно не отличаются от выведенных средне статистических показателей для возрастной группы 12-16 лет. Отмеченные колебания не достоверны и не влияют на трансформацию функционально-вегетативных уровней.

2. При этом следует помнить, что коэффициент вегетативного равновесия ( $k = VP$ ) это единственный показатель, который имеет диагностическое значение и системная функциональная коррекция должна проходить под его контролем.

**CONCLUSION.**

1. In the juvenile age the norms through separate ages do not significantly differ from the average statistical indices for the age group of 12-16 years. The marked deviations are of low validity and do not influence the transformation of functional-vegetative levels in the represented normative groups of children.

2. At the same time, it should be remembered that the coefficient of vegetative equilibrium ( $k=VE$ ) is the only indicator that holds the diagnostic value, and systemic functional correction should be performed under its control.

**НОРМАТИВНЫЕ ДИАГРАММЫ ЮНОШЕСКОГО ВОЗРАСТА ( $k=VP=0,95-1,05$ )...**

В возрастную юношескую группу для научно-нормативного анализа отобрано 1.352 девушки (16-20 лет) и 37 детей мужского пола (17-21 год). Их выбор обусловлен исходным состоянием функционально-вегетативного равновесия в пределах вегетативных коэффициентов 0,95-1,05 (функциональное здоровье).

Среднестатистические показатели системной функционально-вегетативной зависимости в смешанной по возрасту женской группе (16-20 лет) формируют характер гистограммы (рис.1.14.1), который практически не отличается от ранее установленной нормы (выделенной красным) ...

Среднестатистические показатели системной функционально-вегетативной

**NORMATIVE DIAGRAMS OF THE PREADULT AGE ( $k=VE=0,95-1,05$ )**

The preadult age group included 1.352 female representative (16-20 years) and 37 male representatives (17-21 years). They were selected according to the initial state of functional-vegetative equilibrium within the frames of vegetative coefficients 0,95-1,05, that indicated the state of vegetative equilibrium (state of functional health).

The average statistical indices of the systemic functional-vegetative dependency in the mixed by age female group (16-20 years) form the character of the histogram (fig. 1.14.1), which practically does not differ from the previously established norm (marked with red)...

The average statistical indices of the systemic functional-vegetative dependency in

зависимости в смешанной по возрасту мужской группе (17-21 год) формируют специфический характер гистограммы (рис.1.14.2), который существенно отличается от ранее установленной нормы (выделенной красным) ...

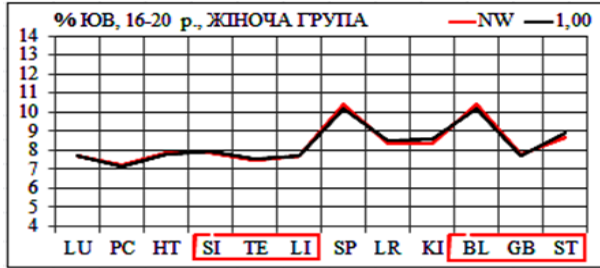


Рис.1.14.1 Fig.1.14.1

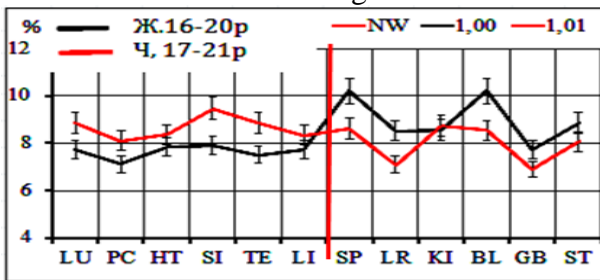


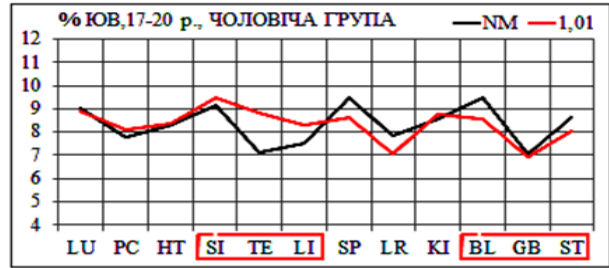
Рис.1.14.3 Fig.1.14.3

Сравнение системных функционально-вегетативных нормативов для женской и мужской юношеских групп (рис.1.14.3) указывает на их существенное отличие. Обращает на себя внимание правое и левое крыло гистограмм: где системы LU, PC, HT и SI, TE, LI (левое крыло мужской группы, выделено красным) превышают значение женских нормативов, а SP, LR, KI и BL, GB, ST (правое крыло мужской группы, выделено красным) наоборот ... что требует принципиальной внимания при анализе результатов ФВД.

На сегодня выведены следующие нормативы ФВД для женской группы юношеского возраста (рис.1.14.4) по годам жизни 17-21 лет. *Примечание:* М - средние данные смешанной по возрасту женской группы (1.352 детей).

Выведены нормативы ФВД и для детей мужской юношеской группы (рис.1.14.5) по годам жизни. *Примечание:* М - средние данные смешанной по возрасту мужской группы (37 детей).

the mixed by age male group (17-21 years) form specific character of the histogram (fig. 1.14.2), which significantly differs from the previously established norm (marked with red)...



Мал.1.14.2 Fig.1.14.2

Рис.1.14 (1-3) Специфика системной динамики при вегетативной равновесии в женской и мужской группах юношеского возраста.

Fig. 1.14 (1-3) Specificity of the systemic dynamics during vegetative equilibrium in female and male groups of the preadult age.

The comparison of the systemic functional-vegetative norms for the female and male preadult groups (fig. 1.14.3) points to their substantial difference. At the same time, it should be noted that there is specific difference in the right and left side of the histograms: systems LU,PC,HT and SI,TE,LI (left side of the male group marked with red) exceed the values of the female norms, while SP,LR,KI and BL,GB,ST (right side of the male group, marked with red) show the opposite activity..., which requires principle attention during the analysis of FVD.

For now, we have drawn the following norms for FVD for the female group of the preadult age (fig. 1.14.4) through the years of life (17-21). *Note:* М – average data of mixed by age female group (1352 individuals).

The drawn norms of the FVD for the individuals of the male group of the preadult age (fig.1.14.5) through the years of life. *Note:* М – average data of mixed by age male group (37 children).

Воз- раст AGE	ФУНКЦИОНАЛЬНО-ВЕГЕТАТИВНЫЕ СИСТЕМЫ (АКТИВНОСТЬ В %) FUNCTIONALLY AUTONOMIC SYSTEMS (ACTIVITY IN %)											
	LU	PC	HT	SI	TE	LI	SP	LR	KI	BL	GB	ST
16 p	8,56	7,7	7,81	9,42	7,55	7,63	10,6	7,63	7,87	10,5	6,42	8,35
17 p	7,62	7,06	7,86	7,77	7,39	7,65	10,3	8,7	8,53	10,4	7,98	8,82
18 p	7,42	6,85	7,65	7,45	7,43	7,69	10,2	9,05	8,92	9,9	8,11	9,35
19 p	7,7	7,21	8,12	7,75	7,7	7,91	10,2	8,17	8,54	10,1	7,86	8,74
20 p	9,26	7,55	7,37	9,51	7,79	7,86	10	7,99	7,71	10,6	6,71	7,62
<b>M</b>	7,74	7,13	7,83	7,92	7,52	7,74	10,2	8,53	8,56	10,2	7,75	8,89

Рис. 1.14.4 Fig. 1.14.4

Воз- раст AGE	ФУНКЦИОНАЛЬНО-ВЕГЕТАТИВНЫЕ СИСТЕМЫ (АКТИВНОСТЬ В %) FUNCTIONALLY AUTONOMIC SYSTEMS (ACTIVITY IN %)											
	LU	PC	HT	SI	TE	LI	SP	LR	KI	BL	GB	ST
17 p	8,91	8,14	8,66	9,32	9,18	8,33	8,74	6,91	8,52	8,62	6,97	7,7
18 p	10,0	5,0	4,33	8,33	4,0	6,67	11,7	10	8,33	11,7	10,0	10,0
19 p	7,69	8,66	8,66	9,62	10,6	8,66	6,73	8,66	9,62	6,73	5,77	8,66
20 p	8,28	7,69	6,51	10,7	4,73	7,69	7,69	8,28	11,2	8,28	7,1	11,8
<b>M</b>	8,89	8,11	8,37	9,47	8,85	8,33	8,62	7,09	8,76	8,55	6,91	8,06

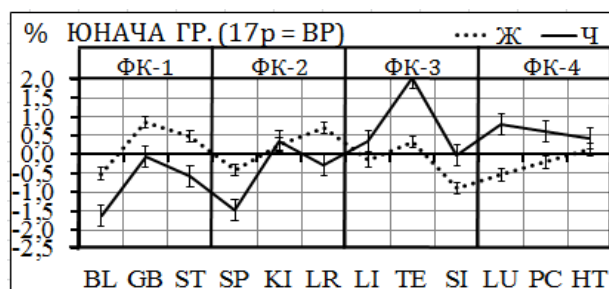
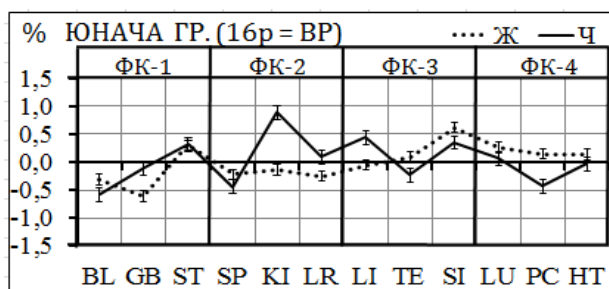
Рис. 1.14.5 Fig. 1.14.5

Но остается принципиальный вопрос: может ли быть стабильной нормативная диаграмма при оценке динамической активности функционально-вегетативного гомеостаза у детей юношеского возраста? Ответ: Нет! Потому что системное соотношение зависит от переменных функциональных потребностей биологической системы...

Динамично стабильным остается только уровень вегетативного равновесия: соотношение симпатической и парасимпатической (ЯН-ИНЬ) активности, которую отражает коэффициент вегетативного равновесия ( $k=BP$ ). Об этом свидетельствуют приведенные диаграммы нормативных показателей при  $k=1$  по отдельным годам жизни детей юношеского возраста (рис.1.14.6).

However, there is again a principle question: can the normative diagram be stable during the assessment of the dynamic activity of functional-vegetative homeostasis in children of preadult age? The answer is – NO!

The point is that, the systemic correlation depends on continuous functional needs of the biological system and, according to its nature, cannot be stable. The only thing that remains stable is the level of vegetative equilibrium: correlation of sympathetic and parasympathetic (YANG-YIN) activity, which is reflected through the coefficient of vegetative equilibrium ( $k=VE$ ). This has been testified by the diagrams of the normative indices under  $k=1$  through separate ages of life of preadult age children (fig. 1.14.6).



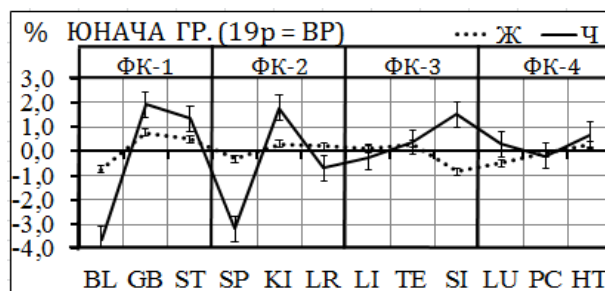
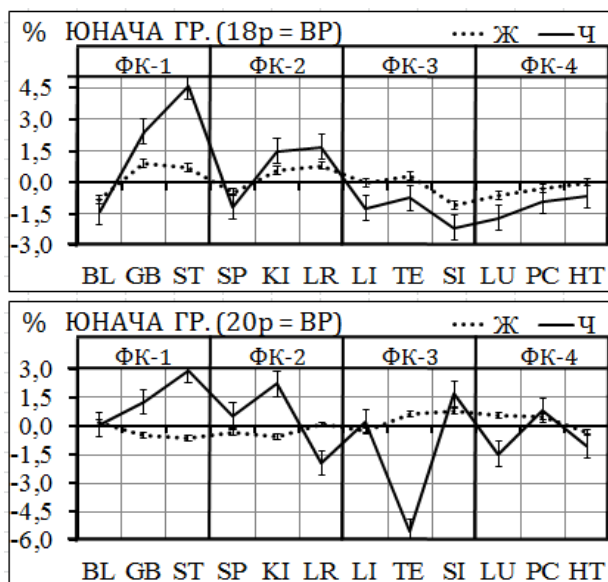


Рис.1.14.6 Соотношение системной зависимости женской и мужской юношеских групп при вегетативной равновесии ( $k = 1$ ).

Fig. 1.14.6 Correlation of systemic dependency of female and male preadult groups under vegetative equilibrium ( $k=1$ ).

### Выводы.

1. Отдельные половозрастные нормы юношеских групп (16-20 лет) практически не отличаются между собой по уровням функционально-вегетативного равновесия (BP). При этом системная зависимость может иметь специфические функциональные различия.

2. Системная зависимость в смешанной по возрасту мужской юношеской группе (17-21 год) отличается от нормативов женской группы. Их анализ по отдельным годам жизни указывает на противоположно направленную динамику левого (возбуждение LU, PC, HT - SI, TE, LI) и правого (угнетение SP, LR, KI - BL, GB, ST) крылья нормативной среднестатистической диаграммы. Установленная половозрастная специфичность нормативных показателей обращает внимание на принципиальное значение  $k$ -BP (указывает уровень функционально-вегетативного гомеостаза). Следующим ориентиром выступает активность комплексных систем (по отношению к зоне их функциональной нормы) ...

3. При этом следует запомнить, что коэффициент вегетативного равновесия ( $k=BP$ ) - это единственный показатель, который имеет базовое диагностическое значение (системная функциональная коррекция должна проходить под его контролем).

### CONCLUSION.

1. Separate gender-age norms of preadult groups (16-20 years) do not practically differ from one another according to their levels of functional-vegetative equilibrium (VE). At the same time, systemic dependency may have specific functional differences.

2. Systemic dependency in mixed by age male preadult group (17-21 years) differs from the norms of the female groups. Their analysis through the years of age points to the opposite directed dynamic of the left (excitation of LU, PC, HT - SI, TE, LI) and the right (oppression of SP, LR, KI - BL, GB, ST) side of the normative statistically average diagram. The revealed gender-age specificity of normative indices points to the principle diagnostic value of  $k$ -VE, which shows the level of functional-vegetative homeostasis.

The next diagnostic landmark is the activity of the complex systems (with relation to the zone of their functional norm)...

3. At the same time, it should be remembered that the coefficient of vegetative equilibrium ( $k=VE$ ) - is the only indicator, which has basic diagnostic value (systemic functional correction must be conducted under its control).

**НОРМАТИВНЫЕ ГИСТОГРАММ ЗРЕЛОГО И ПОЖИЛОГО ВОЗРАСТА**

**NORMATIVE HISTOGRAMS OF ADULTHOOD**

В группы нормативного наблюдения отобран контингент с исходным состоянием функционально-вегетативного равновесия в пределах вегетативных коэффициентов 0,95-1,05, что указывало на состояние вегетативного равновесия (функционального здоровья) обследованных. В женскую группу зрелого возраста (21-50 лет) попало 124 человека, пожилого (51год и более) – 14. В мужскую зрелую группу (22-60 лет) попало 73 человека, пожилую (61 и >) – 18 .

Специфика системной зависимости в женской и мужской группах с исходным состоянием функционально-вегетативного равновесия имеет свои особенности. Её среднестатистическую динамику характеризуют пять пиков активности функциональных систем (LU-легкие, SI-тонкий кишечник, SP-селезенка-поджелудочная железа, BL-мочевой пузырь и ST-желудок). На это указывают женские и мужские диаграммы зрелого (рис. 1.15.1,рис.1.15.2)и пожилого (рис.1.15.3, рис.1.15.4) возраста.

Понятно, что системная зависимость в этих группах (даже с исходным состоянием вегетативного равновесия) имеет особенности. В этом возрасте функциональные нарушения приобретают свои клинически выраженных форм. Имея в виду их разнообразия, обратим внимание лишь на системное соотношение в условиях вегетативного равновесия указанных групп наблюдения (рис.1.15.5).

The groups of observation included adult individuals with the initial state of functional-vegetative equilibrium within the frames of the vegetative coefficients 0,95-1,05 that pointed to the state of vegetative equilibrium (functional health) of the individuals. The female group included 124 adults with 21-50 years of age, and 14 adults with 51 and more years of age. The male group included 73 individuals with 22-60 years of age, and 18 individuals with 61 and more years of age.

The specificity of systemic interdependency in female and male groups of the adult groups with the initial state of functional-vegetative equilibrium has its peculiarities. Its statistically average interdependency is vividly displayed by five upper points of the prevailed activity of the following functional systems (LU – lungs, SI – small intestine, SP – spleen-pancreas, BL – urinary bladder and ST - stomach). The female and male diagrams of the adult age group point to it (fig. 1.15.1, fig. 1.15.2, fig. 1.15.3, fig. 1.15.4).

It is clear that the systemic dependency in the adult groups (even with the initial state of vegetative equilibrium) has its peculiarities. In this age pathogenically conditioned functional disorders acquire their clinically expressed forms. Taking into account their combinative variety, let us pay attention only to systemic correlation in the conditions of vegetative equilibrium of the mentioned groups of observation (fig. 1.15.5).

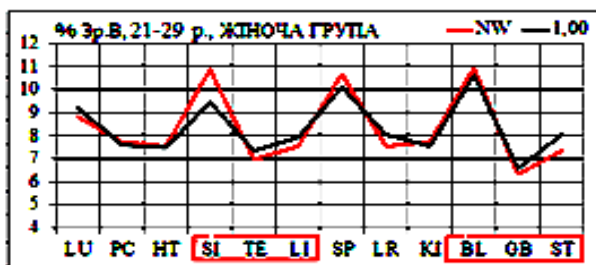


Рис.1.15.1 Fig.1.15.1  
Женская группа (смешанная по возрасту) Women's Group (mixed by age)

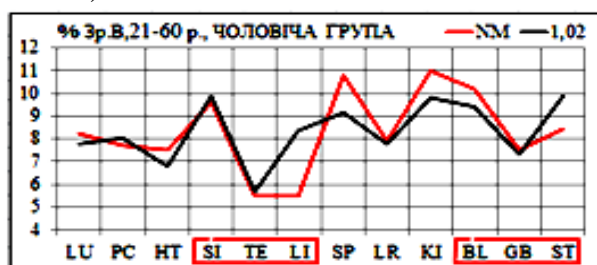


Рис.1.15.2 Fig.1.15.2  
Мужская группа (смешанная по возрасту) Men's Group (mixed by age)

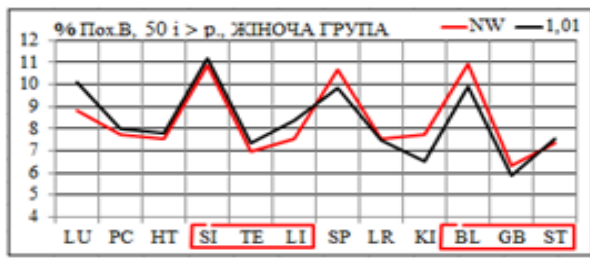


Рис.1.15.3 Fig.1.15.3

В общем становится очевидным следующее (рис.1.15.5) :

- контрастность комплексно-системного соотношения более выражена в мужских группах наблюдения (черная сплошная линия)
- комплексно-системное соотношение в женских группах больше сглажено и указывает на преимущество активности канала SI (тонкий кишечник).

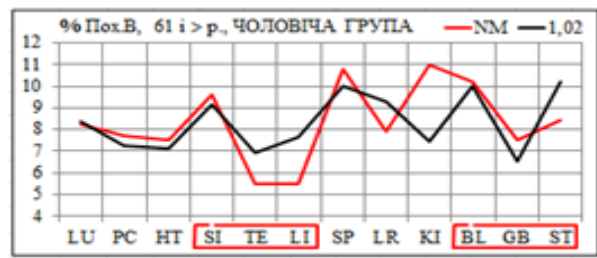


Рис.1.15.4 Fig.1.15.4

Generally, the following is becoming obvious:

- the contrast of complex-systemic correlation is more expressed in male groups of observation (black line);
- complex-systemic correlation in female groups of observation is more smooth and points to the prevalence of the activity of the channel SI (small intestine).

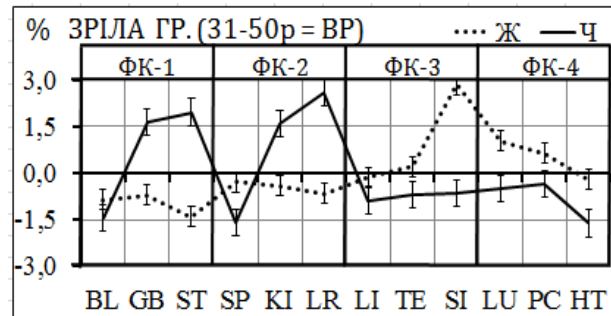
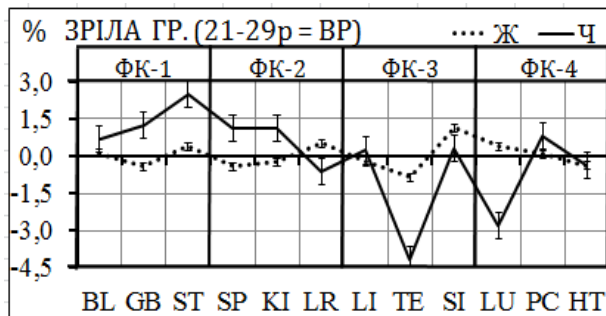


Рис.1.15.5 Соотношение системной помощи в женской и мужской группах зрелого и пожилого возраста при вегетативной равновесии (k = 1).

Fig.1.15.5 Correlation of systemic dependency in female and male groups of the adult age under vegetative equilibrium (k=1).

## Выводы.

1. Реальность неудовлетворительного функционального здоровья в зрелом и пожилом возрасте не позволяет говорить о его нормативной характеристике. Это обуславливает принципиальную ориентацию на определение индивидуальных уровней вегетативных нарушений (по k-ВР).

2. При этом следует помнить, что коэффициент вегетативного равновесия (k=ВР) - единственный показатель, который имеет базовое диагностическое зна-

## CONCLUSION.

1. The reality of poor functional health of in the adulthood does not allow speaking about its normative characteristics. This conditions principle orientation to the determination of the individual levels of vegetative disorders (according to k-VE).

2. At the same time, it should be remembered that the coefficient of vegetative equilibrium (k=VE) is the only indicator that holds the diagnostic value, and system-



чение и системная функциональная коррекция должна проходить под его контролем.

Но не обошлось без неожиданностей! В женской и мужской смешанных по возрасту группах обнаружена специфическая особенность функциональных систем первого и второго комплексов: диаметрально противоположная направленность функциональной активности BL-SP и KI-GB (рис.1.15.6). К ней мы еще вернемся, но опять обращаем внимание на однотипность групповых функциональных диагнозов: вегетативное равновесие ( $k = 0,95-1,05$ ) ...

ic functional correction should be performed under its control.

But surprises did happen! In female and male groups of mixed age we found specific peculiarity of functional systems of first and fourth complexes: diametrically opposite direction of functional activity of BL-SP and KI-GB (fig.1.15.6). We will return to the phenomenon, but we are to turn our attention again to uniformity of group functional diagnoses: vegetative equilibrium ( $k=0, 95-1, 05$ ) ...

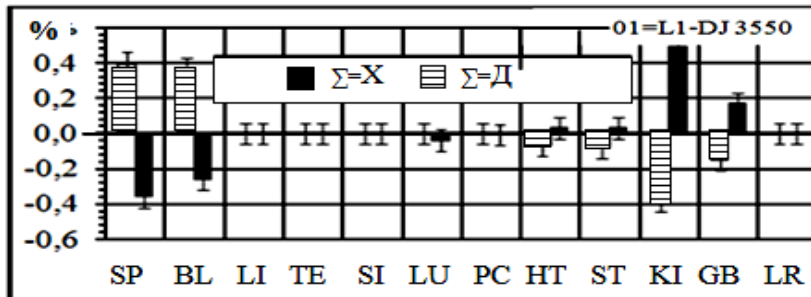


Рис.1.15.6 Активность SP-BL и KIGB в женской (Д) и мужской (X) группах при вегетативной равновесии.

Fig.1.15.6 Activity of SP-BL and KI-GB in female (D) and male (X) groups during vegetative equilibrium.

Рассматривая проблему ФВД стоит обратить внимание на её официальный прототип - вариационную пульсометрию по Р.Баевскому.

Observing the issue of FVD, we should pay attention to its official prototype – variational pulsometry, according to R. Bajevskij.

**ВАРИАЦИОННАЯ ПУЛЬСОМЕТРИЯ КАК ПРОТОТИП "ФВД"**

**VARIATIONAL PULSOMETRY AS THE PROTOTYPE OF "FVD"**

Существующие электропунктурные прототипы ФВД не стоят внимания по следующей причине: они не дают сопоставимые результатов при повторных (через 5-10-15 мин) обследованиях. Исключение сделаем для вариационной пульсометрии, которую официально считают диагностическим тестом западной вегетологии (Вейн, 2000).

Existing electropunctural prototypes of FVD are unworthy of attention because of the following reasons: they are unable to provide comparable results during repeated (in 5-10-15 minutes) examinations. Exception is for variational pulsometry, which is officially considered as diagnostic test in Western vegetology (Wane, 2000).

В её основе лежит концепция нервизма, которая связывает функциональную патологию с нарушением динамической устойчивости симпатической и парасимпатической активности ВНС. Базовыми показателями вариационной пульсометрии считают Q - между системные отношения - МСВ (в наших наблюдени-

It is based on the conception of nervism, which binds functional pathology with disorder of dynamic stability of sympathetic and parasympathetic activity of VNS. Basic indicators of variational pulsometry are considered to be: Q – intersystem relations (ISR) (in our observations first column (-), second (+); VI – vegetative index Kerdo;

ях первая колонка (-), вторая (+); **ВІ** - вегетативный индекс Кердо; **ХО** - минутный объем крови; **QVm** - индекс минутного объема крови; **Мо** - мода; **ВР** - вариационный размах; **Амо** - амплитуда моды и **ІН** - индекс напряжения регуляторных систем.

Для диагностической оценки вариационной пульсометрии мы выбрали сопоставимость результатов математических расчетов (указанные показатели сравнивали между собой в семи группах наблюдения, сформированных на основе исходных функционально-вегетативных уровней..

Группы формировались на основе ФВД, результаты которой принимались за 100% (первая колонка диаграмм - 189 случаев) и отражали исходные состояния значительной (ПА-зн) и выраженной парасимпатической активности (ПА-в), зоны ее функциональной компенсации (ФкП) и вегетативного равновесия (ВР), зоны функциональной компенсации симпатической активности (ФкС) и её выраженного (СА-в) и значительного (СА-зн) уровней.

Полученные данные удивляют разной направленностью официально признанных показателей. Они обуславливают вывод о диагностической некорректности и свидетельствует о нецелесообразности использования вариационной пульсометрии (ВП) для интегральной оценки функционально-вегетативного гомеостаза. При этом настораживает, что даже по отношению к сердечно-сосудистой системе в её показателях нет однозначности (рис. 1.16 ... 1-3).

**MV** – minute's blood volume; **QVm** – minute's blood volume index; **Mo** – mode; **VR** – variational range; **Amo** – amplitude of mode and **VI** – voltage index of regulatory systems).

For estimation of biophysical efficiency of variational pulsometry we selected comparability of results of mathematical calculations (indications were compared between each other in seven groups of observations, based on general initial functional-vegetative level).

Groups were formed according to FVD, resulted of which were taken as 100% (first column of diagrams – 189 observations) and reflected initial states of significant PA (PA-s) (ПА-зн) and expressed PA (PA-e) (ПА-в), zone of its functional compensation (FcP) (ФкП) and vegetative equilibrium (VE) (ВР), zone of functional compensation (FcS) of SA (ФкС), its expressed (SA-e) (СА-в) and significant (SA-s) (СА-зн) levels.

Received data *do* impress with its different direction of officially recognized indexes, which conditions conclusion about diagnostic inconsistency and testifies to uselessness of variational pulsometry (VP) for integral estimation of functional-vegetative homeostasis. Additionally, alerts the fact, that even in relation to cardiovascular system its indications lack certainty (fig. 1.16...1-3).

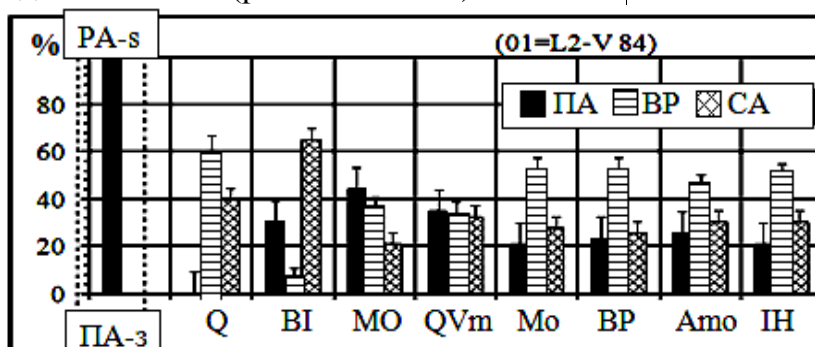


Рис.1.16.1 Вегетативная некорректность вариационной пульсометрии в группах значительной и выраженной парасимпатической активности

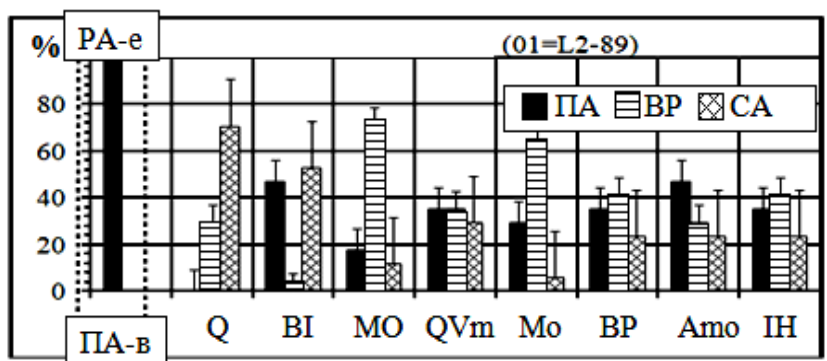


Fig.1.16.1 Vegetative inconsistency of indices of variational pulsometry in the groups of significant and expressed parasympathetic activity

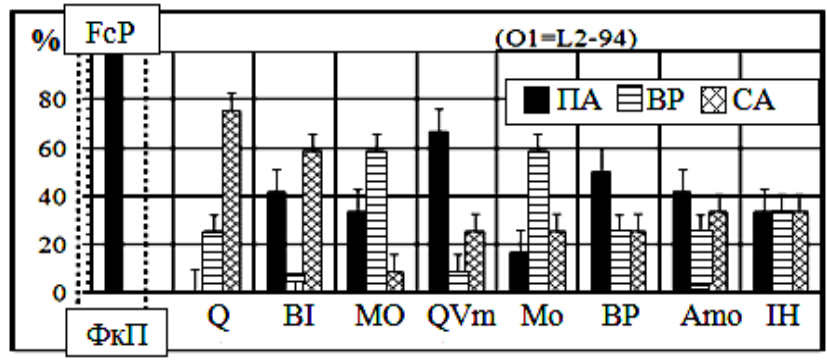


Рис.1.16.2 Вегетивная некорректность показателей вариационной пульсометрии в группах функциональной компенсации ПА и вегетативного равновесия.

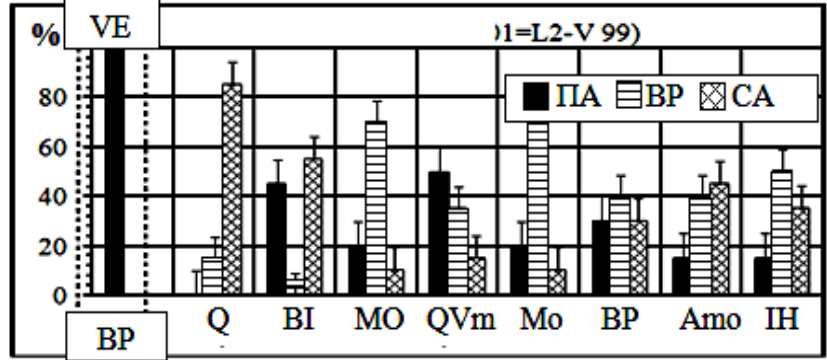


Fig.1.16.2 Vegetative inconsistency of indices of variational pulsometry in groups of functional compensation of PA and vegetative equilibrium .

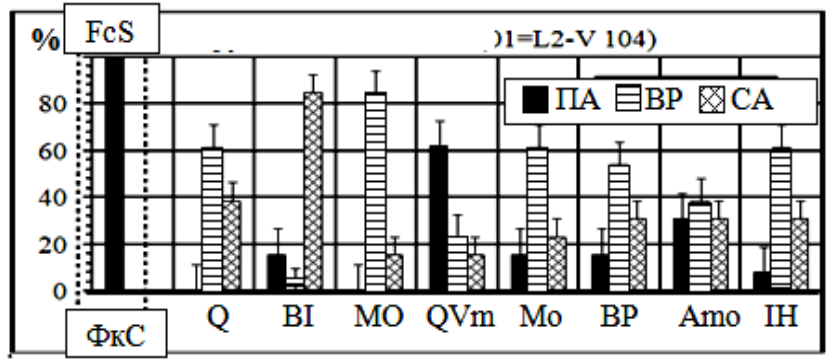


Рис.1.16.3 Вегетивная некорректность показателей вариационной пульсометрии в группах выраженной и значительной СА.

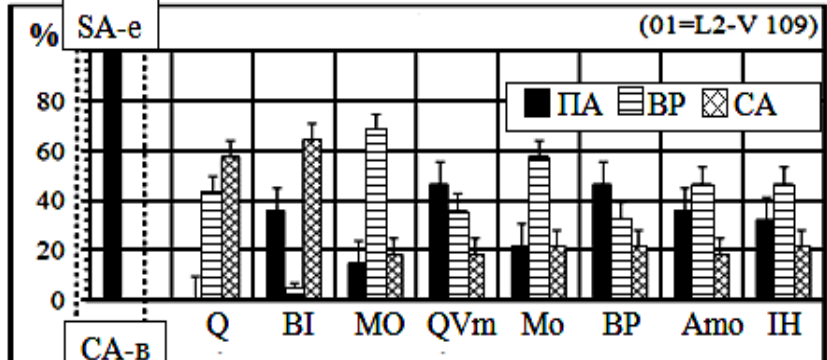


Fig.1.16.3 Vegetative inconsistency of indices of variational pulsometry in groups of expressed and significant SA.

Приведенные биофизические особенности ФВД свидетельствуют о её специфической оригинальности, которая позволила идентифицировать гипотетические акупунктурные каналы, сформировать уровне вегетативных нарушений, открыть вегетативные законы и обосновать целесообразность её использования. При этом заметим, что слепое использование "акупунктурных рецептов" традиционной Чжень-цзю терапии (без предварительной функциональной диагностики) свидетельствует за профессиональную неготовность ...

The presented biophysical peculiarities of FVD testify to its specific originality, which allowed identifying hypothetical acupunctural channels, forming levels of vegetative disorders, discovering vegetative laws and grounding effectiveness of its practical usage. In this case, we note that the blind use "recipes acupuncture" traditional Acupuncture treatment (with no previous functional diagnostics) indicates unavailability for professional ...

<b>ВЫВОДЫ, НА КОТОРЫЕ СЛЕДУЕТ ОБРАТИТЬ ВНИМАНИЕ</b>	<b>GENERAL CONCLUSIONS TO PAY ATTENTION TO</b>
<p>Специфической особенностью функционально-вегетативной диагностики (ФВД) по методу В.Макаца является следующее.</p> <ol style="list-style-type: none"> <li>1)Отсутствие внешних источников питания (тока) при её проведении;</li> <li>2)Биофизическая идентичность тест-сигналов, активность которых не превышает уровней мембранных потенциалов (0,03-0,6В)</li> <li>3)Реальность технических, методологических и биофизических особенностей ФВД;</li> <li>4)Использование неизвестных ранее феноменов асинхронности и суммарной активности симметричных функционально активных зон (ФАЗ)</li> <li>5)Предметом диагностического внимания выступают уровне вегетативного гомеостаза и их функциональная продолжительность;</li> <li>6)Возможность получения стабильных диагностических результатов при повторных обследованиях;</li> <li>7)Наличие собственной нормативной базы;</li> <li>8)Отсутствие аналогов ФВД, обусловленных открытием неизвестной ранее функционально-вегетативной системы;</li> </ol>	<p>Specific peculiarities of functional vegetative diagnostics (FVD) according to Makats V. are:</p> <ol style="list-style-type: none"> <li>1)Absence of external sources of power;</li> <li>2)Biophysical relation of diagnostic signals, that do not exceed the levels of membrane potentials (0,03-0,06 V);</li> <li>3) Reality of technological, methodological and biophysical peculiarities FVD;</li> <li>4) Usage of previously unknown phenomena of asynchronicity and total activity of symmetrical functionally active zones (FAZ);</li> <li>5) The main focus of the diagnostics are the levels of vegetative homeostasis and their functional duration;</li> <li>6) Possibility to receive stable diagnostic results during repeated examinations;</li> <li>7) availability of authentic standardization framework;</li> <li>8) Absence of analogues of FVD, conditioned by discovery of previously unknown functional-vegetative system;</li> </ol>

9)Биофизическая альтернативность  
традиционной пульсовой диагностике ...

9) Biophysical alternative to traditional  
pulse diagnostics...





**2-я проблема традиционной Чжень-цзю терапии  
МЕТОДОЛОГИЯ АКУПУНКТУРНОЙ ДИАГНОСТИКИ**

**2-nd issue of traditional Zhenjiu Therapy  
METHODOLOGY OF ACUPUNCTURE DIAGNOSTICS**

Внедрение в практическую медицину методологии ФВД соответствует рекомендациям Международного совещания ВОЗ по традиционной медицине (Ереван, 19-21.09.2003), приказам МЗ Украины (№360 от 19.12.1997) и МЗ РФ (№ 364 от 10.12.1997) по разделу "народная и нетрадиционная медицина".

Поэтому следует еще раз вспомнить международную классификацию репрезентативных акупунктурных ФАЗ (рис.2.1).

Традиционный канал	МАН *	ФН	Традиционный канал	МАН *	ФН
Легені	LU	P	Сечовий міхур	BL	V
Товстий кишковик	LI	GI	Нирки	KI	R
Шлунок	ST	E	Перикард	PC	MC
Селезінка - підшлункова залоза	SP	RP	Трійний об'єднаний	TE	TR
Серце	HT	C	Жовчний міхур	GB	VB
Тонкий кишковик	SI	IG	Печінка	LR	F

\*МАН – міжнародна номенклатура ВООЗ;  
ФН – її французький аналог.

Рис.2.1

Для реализации ФВД в амбулаторных и стационарных условиях необходимо сделать несколько последовательных шагов.

**ШАГ-1.** Локализовать топографию репрезентативных ФАЗ (табл. 2.1);

Таблица 2.1

ТОПОГРАФИЯ РЕПРЕЗЕНТАТИВНЫХ ФАЗ	ТОПОГРАФИЯ РЕПРЕЗЕНТАТИВНЫХ ФАЗ
<b>Репрезентативные ФАЗ руки.</b>	<b>Representative FAZ of hands</b>



**H1 = LU-9 ТАЙ-ЮАНЬ ▼** - в углублении на конце поперечной кожной складки лучезапястного сустава, у лучевого края лучевой артерии.

**H1= LU<sup>9</sup> TAI-YUAN ▼** – in the recess at the end of diametrical skin fold of wrist joint, at radial edge of radial artery.

Integration into practical medicine of the methodology of FVD corresponds to the recommendations of the International meeting of WHO on traditional medicine (Yerevan, 19-21.09.2003), assignments of HM of Ukraine (№360, 19.12.1997.) and HM of RF (№ 364, 10.12.1997) on the division "folk and alternative medicine".

Thus, the international classification of acupunctural channels should be remembered (fig.2.1).

Traditional channel	IAN *	FN	Traditional channel	IAN *	FN
Lungs	LU	P	Urinary bladder	BL	V
Large intestine	LI	GI	Kidney	KI	R
Stomach	ST	E	Pericardium	PC	MC
Spleen – Pancreas	SP	RP	Triple energizer	TE	TR
Heart	HT	C	Gall bladder	GB	VB
Small intestine	SI	IG	Liver	LR	F

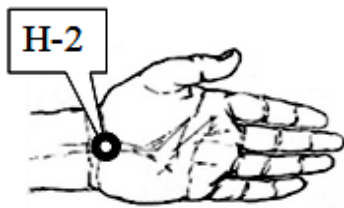
\*IAN - International Acupuncture Nomenclature (WHO);  
FN - its French analogue.

Fig.2.1

For the performance of FVD in the outpatient setting and stationary conditions, several steps should be made.

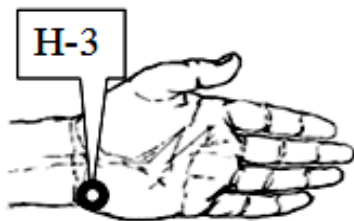
**STEP-1.** Locate the topography of representative FAZ (tab.2.1)

Table 2.1



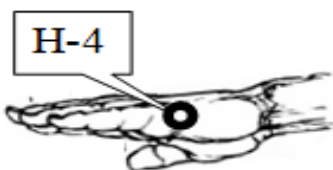
**H2 = PC-7 ДА-ЛИН** ◆ - на поперечной кожной складке лучезапястного сустава, между сухожилиями длинной ладонной мышцы и лучевого сгибателя запястья.

**H2=PC<sup>-7</sup> DA-LING** ◆ – on diametrical skin fold of wrist joint, between tendons of long palmar muscle and radial flexor muscle of wrist.



**H3 = HT-7 ШЭНЬ-Мень** ◆ - на поперечной кожной складке лучезапястного сустава в углублении между гороховидной и локтевой костями (в лучевого края сухожилия локтевого сгибателя запястья).

**H3=HT<sup>-7</sup> SHEN-MEN** ◆ – on diametrical skin fold of wrist joint in the recess between pisiform and ulnar bones (at radial edge of the tendon of radial flexor muscle of wrist.)



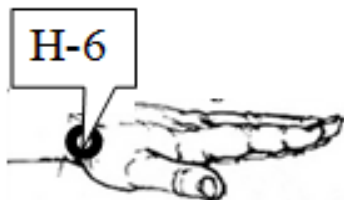
**H4 = SI-4 Вань-ГУ** ◆ - на локтевом краю ладони, между основой V пястной кости и костями запястья.

**H4=SI<sup>-4</sup> WAN-GU** ◆ – on ulnar palmar edge, between the base of v metacarpal bone and wrist bones.



**H5 = TE-4 ЯН-ЧИ** ◆ - на локтевом краю ладони, между основой V пястной кости и костями запястья

**H5=TE<sup>-4</sup> YANG-CHI** ◆ – on dorsal surface of wrist joint, in the recess between tendons of extensor muscle of fingers and extensor muscle of v finger.

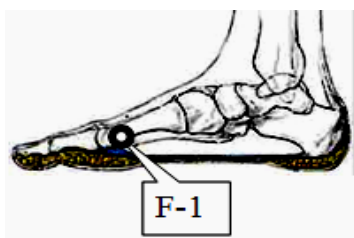


**H6 = LI-5 ЯН-СИ** ◆ - у лучевого края запястья, между сухожилиями короткого и длинного разгибателей большого пальца (в центре анатомической табакерки).

**H6=LI<sup>-5</sup> YANG-XI** ◆ – at radial edge of wrist joint, between tendons of short and long extensor muscles of thumb (in the centre of anatomic snuffbox).

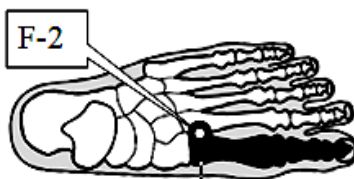
### Репрезентативные ФАЗ ноги.

### Representative faz of feet



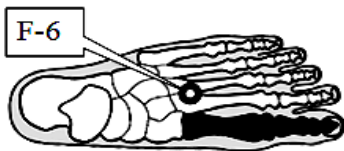
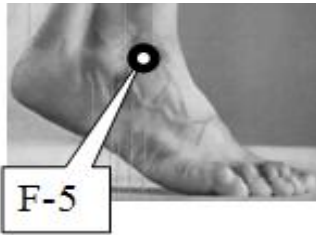
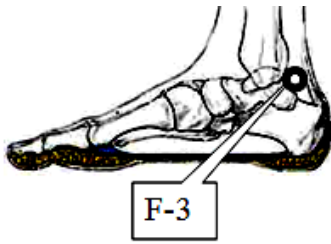
**F1 = SP3 ТАЙ-БАЙ** ◆ - по медиальному краю, в углублении позади и снизу от головки I плюсневой кости.

**F1=SP<sup>-3</sup> TAI-BAI** ◆ – on medial edge, in the recess, behind and below the head of I metatarsal bone.



**F2 = LR3 ТАЙ-ЧУН** ◆ - на тыльной поверхности стопы, в самом узком месте между I-II плюсневой кости.

**F2=LR<sup>-3</sup> TAI-CHONG** ◆ – on the dorsal surface of foot, in the most narrow area between I-II metatarsal bones.



**F3 = KI-3 ТАЙ-СИ** ◆ - посередине горизонтального расстояния между сухожилием пяты и медиальной лодыжкой (на уровне ее центра).

**F3=KI<sup>3</sup> TAI-XI** ◆ – in the middle of horizontal distance between heel string and medial malleolus (in centre of it).

**F4 = BL-65 ШУ-ГУ** ▼ - по латеральному краю стопы, в углублении, позади и снизу от головки V плюсневой кости.

**F4=BL<sup>65</sup> SHU-GU** ▼ – on the lateral foot edge, in the recess, behind and below the head of v metatarsal bone.

**F5 = GB-40 ЭТУ-Сюй** ◆ - впереди и снизу от латеральной лодыжки, в углублении, с внешнего края сухожилия длинного разгибателя пальцев.

**F5=GB<sup>40</sup> QIU-XU** ◆ – in front and below of the lateral malleolus, in the recess, at the external edge of the tendon of long extensor muscle of toes.

**F6 = ST-42 ЧУН-ЯН** ◆ - на самой возвышенной части тыла стопы, между суставами II-III клиновидных и II-III плюсневых костей.

**F6=ST<sup>42</sup> CHONG-YANG** ▼◆ – on the upper rear area of foot, between the joints of II-III cuneiform and II-III metatarsal bones.

2) Подготовить прибор ВИТА-01М и диагностические электроды ДЭ и АЭ. Базовый электрод АЭ (выпуклая пластина из специального сплава 5x10 см) через смоченную теплой водой или физиологическим раствором прокладку, располагается в центральной мезогастральной (пупочной) области и фиксируется ремнем на репейном замке.

3) Поролон (что укрывает электроды ДЭ в эбонитовых чашках) перед ФВД увлажняются с помощью шприца теплой водой. Он должен выступать за пределы чашек на 1-2 мм для мягкого контакта с ФАЗ.

4) В процессе тестирования электроды ДЭ под прямым углом легким прикосновения одновременно контактируют с каждой парой симметричных репрезентативных ФАЗ в течение 3-4 секунд. Через каждые три контакта электрода повторно смачиваются в подготовленном теплом растворе.

2) Prepare the device VITA-01-M and diagnostic electrodes DE and AE. Basic electrode AE (dished plate of a special alloy 5x10 cm) should be located with a wet pad (use warm water or saline) in the central mesogastral (navel) region and fixed it with a belt or strap without metal parts.

3) The wadding (that covers electrodes DE within ebonite cups) before FVD should be moistened with the help of syringe and warm water. It should protrude above the surface of the cups by 1-2 mm for soft contact with FAZ.

4) In the process of examination the electrodes DE must orthogonally with a soft touch contact simultaneously with every pair of symmetric representative FAZ during 3-4 seconds. In every three contacts the electrodes are additionally moistened in pre-prepared warm water or saline.



5) Учитывая орто- и клиностатические особенности функциональных систем SP-BL, ФВД проводят в положении пациентов стоя на деревянной подставке высотой 35-40 см. Сначала тестируем симметричные репрезентативные ФАЗ верхних конечностей (Н), затем нижних (F). Измерения начинают с Н-1, Н-2 и Н-3 (позиция "ладони к оператору"). В следующей позиции (тыл ладоней к оператору) тестируют зоны Н-4, Н-5 и Н-6. Особенно тщательно следует локализовать ФАЗ Н-5, поскольку она едва смещена от оси четвертого пальца к мизинцу. Аналогично тестируют ФАЗ стопы (F-1 ... F-6).

**ШАГ-2.** Полученные данные переносим в компьютер (при автоматическом трансфере гальваническая развязка существенно искажает показатели естественной биоэлектрической активности ФАЗ).

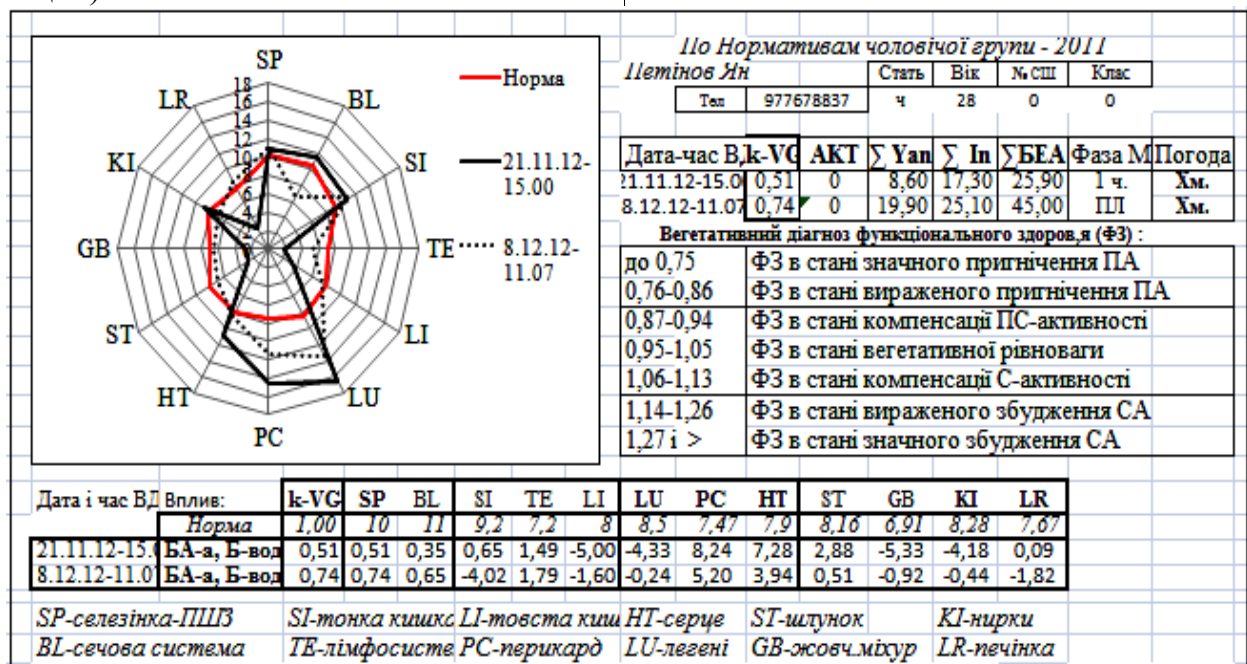
Программное обеспечение ФВД:

1) сокращает анализ до 5-6 минут и выдает индивидуальные рекомендации по реабилитационной стратегии и тактике (рис.2.2); 2) предусматривает создание банка функционального здоровья детей (их экологической паспортизации) ...

5) Taking into account ortho- and clinostatic peculiarities of the functional systems SP-BL, FVD should be performed in patient's standing position on a wooden pedestal with height 35-40 cm. Start with testing the symmetric representative FAZ of hands (H), and then of feet (F). The testings should begin with H-1, H-2 and H-3 (position "palms to operator"). In the next position (back side of palms to operator) the following zones are to be tested H-4, H-5 and H-6. Special attention must be devoted to localization of the FAZ H-5, since it is a bit shifted from the axis of the fourth finger to the little finger. In the same way FAZ of feet should be tested (F1...F-6).

**STEP-2.** The received data we transfer to a computer (during automatic transferring galvanic interchange significantly distorts the indexes of natural bioelectric activity of FAZ)... Software of FVD:

1) reduces time of the analysis to 5-6 minutes and allows providing individual recommendations on rehabilitation strategy and tactics; 2) provides visualization of the analysis (fig.2.2); 3) provides creation of electronic data base of child functional health (their ecological registry)...



Мал.2.2

Fig.2.2

На первом этапе ФВД целесообразно провести 2-3 тестирования с интервалом 10-15 минут. Это дает возможность выявить устойчивые (патологические) и функциональные отклонения биоэлектрической активности (БЭА) отдельных систем, что обуславливает тактику дальнейшей вегетативной реабилитации.

### ШАГ-3.

Анализ результатов ФВД можно провести в упрощенном формате (рис.2.3). Полученные двенадцать показателей заносят в строку "мкА" анкеты и определяют их сумму "Σ".

At the first stage of FVD it is reasonable to conduct 2-3 testings with intervals of 10-15 minutes. It will allow identifying stable (pathological) and functional deviations of BEA of separate systems, which will condition tactics of further vegetative rehabilitation.

### СТЕП-3.

Analysis of the results of FVD may be conducted in a simplified format (fig. 2.3). The twenty received indexes are placed into the line "mcA" of the work sheet and their sum "Σ" should be determined.

		H= ИЬ(YIN)			H= ЯН(YANG)			F= ИЬ(YIN)			F= ЯН(YANG)			Σ
		LU	PC	HT	SI	TE	LI	SP	LR	KI	BL	GB	ST	
мкА														
%														
11														11
10														10
09														09
08														08
07														07
06														06

Рис.2.3 Анкета ФВД

Fig.2.3 Worksheet of VBD

### ВЕГЕТАТИВНЫЙ ДИАГНОЗ ПО КОЭФФИЦИЕНТАМ ВР VEGETATIVE DIAGNOSIS ON COEFFICIENTS OF VEGETATIVE EQUILIBRIUM

ПА-з	ПА-в	ФкП	ВР	ФкС	СА-в	СА-з
PA-s	PA-e	FkP	VE	FkS	SA-e	SA-s
0,75(<)	0,76-0,86	0,87-0,94	0,95-1,05	1,06-1,13	1,14-1,25	1,26(>)

© В.Макац, Е.Макац, Д.Макац, Д.Макац

По таблицам относительных значений (табл.2.2) определяем удельный вес каждого измерения в суммарной биоэлектрической активности (принятой за 100%), заносим в строку анкеты "%" и отмечаем в ячейках координатной сетки в пределах 6-11%. Тонированные участки сетки указывают системную зону вегетативного равновесия (ВР), выше которой находится область симпатической, а ниже - парасимпатической активности.

Пример. Суммарная активность каналов составляет 45 мкА, а двух искомым каналов 4 и 11 мкА. В таблице с порядковым номером 45 находим относительное значение для 4 мкА 8,8% и для 11 мкА - 24,4% (рис.2.4).

After consulting the tables of relative values of FAZ (tabl.2.2) determine specific value of every examination in total bioelectric activity (taken as 100%), transfer in to the line of the worksheet "%" and mark in the table cell of the grid with the limits of 6-11%. Black areas of the grid show the zone of vegetative equilibrium (VE) of the system, higher of which the area of sympathetic is, and lower - parasympathetic activity.

Example. Total activity of channels is 45 mcA, a of two sought channels 4 and 11 mcA. In the table with the ordinal number 45 find relative value for 4 mcA 8,8% and for 11 mcA - 24,4% (fig.2.4).

д/од	0	1	2	3	4	5	6	7	8	9
0		2,2	4,4	6,6	8,8	11,1	13,3	15,5	17,7	20,0
1	22,2	24,4	26,6	28,8	31,1	33,3	35,5	37,7	40,0	42,2

Рис.2.4  
Fig.2.4

Если суммарная активность функциональных систем превышает максимальный номер таблицы, полученные данные, соответственно, уменьшаются вдвое (на процентное соотношение это не влияет). При значениях, превышающих целые числа (на 1/2 или 1/4), в расчет вводится соответствующий коэффициент поправки ...

Расчетные таблицы (табл.2.2) составлены с целью оперативного расчета относительных значений анализируемых показателей. В них использованы сокращения: "д" (десятки) и "ед" (единицы). Сначала выбираем таблицу, порядковый номер которой соответствует суммарной активности обследованных ФАЗ. Относительное значение каждого канала в% определяем на пересечении граф "д" и "ед" ...

If the total activity of functional system exceeds the maximal number in a table, the received data, accordingly, must be half decreased (*it does not affect the percentage ratio*). When values exceed integers (to 1/2 and 1/4), appropriate coefficient of correction should be added to the calculation...

Calculation tables (tabl.2.2) are designed for efficient determination of relative values of analyzed indexes. The following abbreviations are used in them: "д" (decimal) and "ед" (unit). At first, select table, order number of which corresponds to the total activity of examined FAZ. Relative value of every channel in % is determined at the crossing of the lines "d" and "un"...

Таблица 2.2 Table 2.2

Таблицы относительных значений репрезентативных ФАЗ.

Tables of relative values of representative FAZ.

Σ 5	0,5	1	1,5	2	2,5	3	3,5	4	4,5	5	5,5	6	6,5	7	7,5	8	8,5	9	9,5	10
1...%	10,0	20,0	30,0	40,0	50,0	60,0	70,0	80,0	90,0	100,0										
10...%																				
Σ 5,5	0,5	1	1,5	2	2,5	3	3,5	4	4,5	5	5,5	6	6,5	7	7,5	8	8,5	9	9,5	10
1...%	9,1	18,2	27,3	36,4	45,5	54,5	63,6	72,7	81,8	90,9	100,0									
10...%																				
Σ 6	0,5	1	1,5	2	2,5	3	3,5	4	4,5	5	5,5	6	6,5	7	7,5	8	8,5	9	9,5	10
1...%	8,3	16,7	25,0	33,3	41,7	50,0	58,3	66,7	75,0	83,3	91,7	100,0								
10...%																				
Σ 6,5	0,5	1	1,5	2	2,5	3	3,5	4	4,5	5	5,5	6	6,5	7	7,5	8	8,5	9	9,5	10
1...%	7,7	15,4	23,1	30,8	38,5	46,2	53,8	61,5	69,2	76,9	84,6	92,3	100,0							
10...%																				
Σ 7	0,5	1	1,5	2	2,5	3	3,5	4	4,5	5	5,5	6	6,5	7	7,5	8	8,5	9	9,5	10
1...%	7,1	14,3	21,4	28,6	35,7	42,9	50,0	57,1	64,3	71,4	78,6	85,7	92,9	100,0						
10...%																				
Σ 7,5	0,5	1	1,5	2	2,5	3	3,5	4	4,5	5	5,5	6	6,5	7	7,5	8	8,5	9	9,5	10
1...%	6,7	13,3	20,0	26,7	33,3	40,0	46,7	53,3	60,0	66,7	73,3	80,0	86,7	93,3	100,0					
10...%																				
Σ 8	0,5	1	1,5	2	2,5	3	3,5	4	4,5	5	5,5	6	6,5	7	7,5	8	8,5	9	9,5	10
1...%	6,3	12,5	18,8	25,0	31,3	37,5	43,8	50,0	56,3	62,5	68,8	75,0	81,3	87,5	93,8	100,0				
10...%																				

<b>Σ 8,5</b>	<b>0,5</b>	<b>1</b>	<b>1,5</b>	<b>2</b>	<b>2,5</b>	<b>3</b>	<b>3,5</b>	<b>4</b>	<b>4,5</b>	<b>5</b>	<b>5,5</b>	<b>6</b>	<b>6,5</b>	<b>7</b>	<b>7,5</b>	<b>8</b>	<b>8,5</b>	<b>9</b>	<b>9,5</b>	<b>10</b>
<b>1...-%</b>	5,9	11,8	17,6	23,5	29,4	35,3	41,2	47,1	52,9	58,8	64,7	70,6	76,5	82,4	88,2	94,1	100,0			
<b>10...-%</b>																				
<b>Σ 9</b>	<b>0,5</b>	<b>1</b>	<b>1,5</b>	<b>2</b>	<b>2,5</b>	<b>3</b>	<b>3,5</b>	<b>4</b>	<b>4,5</b>	<b>5</b>	<b>5,5</b>	<b>6</b>	<b>6,5</b>	<b>7</b>	<b>7,5</b>	<b>8</b>	<b>8,5</b>	<b>9</b>	<b>9,5</b>	<b>10</b>
<b>1...-%</b>	5,6	11,1	16,7	22,2	27,8	33,3	38,9	44,4	50,0	55,6	61,1	66,7	72,2	77,8	83,3	88,9	94,4	100,0		
<b>10...-%</b>																				
<b>Σ 9,5</b>	<b>0,5</b>	<b>1</b>	<b>1,5</b>	<b>2</b>	<b>2,5</b>	<b>3</b>	<b>3,5</b>	<b>4</b>	<b>4,5</b>	<b>5</b>	<b>5,5</b>	<b>6</b>	<b>6,5</b>	<b>7</b>	<b>7,5</b>	<b>8</b>	<b>8,5</b>	<b>9</b>	<b>9,5</b>	<b>10</b>
<b>1...-%</b>	5,3	10,5	15,8	21,1	26,3	31,6	36,8	42,1	47,4	52,6	57,9	63,2	68,4	73,7	78,9	84,2	89,5	94,7	100,0	
<b>10...-%</b>																				
<b>Σ 10</b>	<b>0,5</b>	<b>1</b>	<b>1,5</b>	<b>2</b>	<b>2,5</b>	<b>3</b>	<b>3,5</b>	<b>4</b>	<b>4,5</b>	<b>5</b>	<b>5,5</b>	<b>6</b>	<b>6,5</b>	<b>7</b>	<b>7,5</b>	<b>8</b>	<b>8,5</b>	<b>9</b>	<b>9,5</b>	<b>10</b>
<b>1...-%</b>	5,0	10,0	15,0	20,0	25,0	30,0	35,0	40,0	45,0	50,0	55,0	60,0	65,0	70,0	75,0	80,0	85,0	90,0	95,0	100,0
<b>10...-%</b>																				
<b>Σ 10,5</b>	<b>0,5</b>	<b>1</b>	<b>1,5</b>	<b>2</b>	<b>2,5</b>	<b>3</b>	<b>3,5</b>	<b>4</b>	<b>4,5</b>	<b>5</b>	<b>5,5</b>	<b>6</b>	<b>6,5</b>	<b>7</b>	<b>7,5</b>	<b>8</b>	<b>8,5</b>	<b>9</b>	<b>9,5</b>	<b>10</b>
<b>1...-%</b>	4,8	9,5	14,3	19,0	23,8	28,6	33,3	38,1	42,9	47,6	52,4	57,1	61,9	66,7	71,4	76,2	81,0	85,7	90,5	95,2
<b>10...-%</b>	100,0																			
<b>Σ 11</b>	<b>0,5</b>	<b>1</b>	<b>1,5</b>	<b>2</b>	<b>2,5</b>	<b>3</b>	<b>3,5</b>	<b>4</b>	<b>4,5</b>	<b>5</b>	<b>5,5</b>	<b>6</b>	<b>6,5</b>	<b>7</b>	<b>7,5</b>	<b>8</b>	<b>8,5</b>	<b>9</b>	<b>9,5</b>	<b>10</b>
<b>1...-%</b>	4,5	9,1	13,6	18,2	22,7	27,3	31,8	36,4	40,9	45,5	50,0	54,5	59,1	63,6	68,2	72,7	77,3	81,8	86,4	90,9
<b>10...-%</b>	95,5																			
<b>Σ 11,5</b>	<b>0,5</b>	<b>1</b>	<b>1,5</b>	<b>2</b>	<b>2,5</b>	<b>3</b>	<b>3,5</b>	<b>4</b>	<b>4,5</b>	<b>5</b>	<b>5,5</b>	<b>6</b>	<b>6,5</b>	<b>7</b>	<b>7,5</b>	<b>8</b>	<b>8,5</b>	<b>9</b>	<b>9,5</b>	<b>10</b>
<b>1...-%</b>	4,3	8,7	13,0	17,4	21,7	26,1	30,4	34,8	39,1	43,5	47,8	52,2	56,5	60,9	65,2	69,6	73,9	78,3	82,6	87,0
<b>10...-%</b>	91,3																			
<b>Σ 12</b>	<b>0,5</b>	<b>1</b>	<b>1,5</b>	<b>2</b>	<b>2,5</b>	<b>3</b>	<b>3,5</b>	<b>4</b>	<b>4,5</b>	<b>5</b>	<b>5,5</b>	<b>6</b>	<b>6,5</b>	<b>7</b>	<b>7,5</b>	<b>8</b>	<b>8,5</b>	<b>9</b>	<b>9,5</b>	<b>10</b>
<b>1...-%</b>	4,2	8,3	12,5	16,7	20,8	25,0	29,2	33,3	37,5	41,7	45,8	50,0	54,2	58,3	62,5	66,7	70,8	75,0	79,2	83,3
<b>10...-%</b>	87,5	91,7	95,8	100,0																
<b>Σ 12,5</b>	<b>0,5</b>	<b>1</b>	<b>1,5</b>	<b>2</b>	<b>2,5</b>	<b>3</b>	<b>3,5</b>	<b>4</b>	<b>4,5</b>	<b>5</b>	<b>5,5</b>	<b>6</b>	<b>6,5</b>	<b>7</b>	<b>7,5</b>	<b>8</b>	<b>8,5</b>	<b>9</b>	<b>9,5</b>	<b>10</b>
<b>1...-%</b>	4,0	8,0	12,0	16,0	20,0	24,0	28,0	32,0	36,0	40,0	44,0	48,0	52,0	56,0	60,0	64,0	68,0	72,0	76,0	80,0
<b>10...-%</b>	84,0	88,0	92,0	96,0																
<b>Σ 12,5</b>	<b>0,5</b>	<b>1</b>	<b>1,5</b>	<b>2</b>	<b>2,5</b>	<b>3</b>	<b>3,5</b>	<b>4</b>	<b>4,5</b>	<b>5</b>	<b>5,5</b>	<b>6</b>	<b>6,5</b>	<b>7</b>	<b>7,5</b>	<b>8</b>	<b>8,5</b>	<b>9</b>	<b>9,5</b>	<b>10</b>
<b>1...-%</b>	4,0	8,0	12,0	16,0	20,0	24,0	28,0	32,0	36,0	40,0	44,0	48,0	52,0	56,0	60,0	64,0	68,0	72,0	76,0	80,0
<b>10...-%</b>	84,0	88,0	92,0	96,0	100,0															
<b>Σ 13</b>	<b>0,5</b>	<b>1</b>	<b>1,5</b>	<b>2</b>	<b>2,5</b>	<b>3</b>	<b>3,5</b>	<b>4</b>	<b>4,5</b>	<b>5</b>	<b>5,5</b>	<b>6</b>	<b>6,5</b>	<b>7</b>	<b>7,5</b>	<b>8</b>	<b>8,5</b>	<b>9</b>	<b>9,5</b>	<b>10</b>
<b>1...-%</b>	3,8	7,7	11,5	15,4	19,2	23,1	26,9	30,8	34,6	38,5	42,3	46,2	50,0	53,8	57,7	61,5	65,4	69,2	73,1	76,9
<b>10...-%</b>	80,8	84,6	88,5	92,3	96,2	100,0														
<b>Σ 13,5</b>	<b>0,5</b>	<b>1</b>	<b>1,5</b>	<b>2</b>	<b>2,5</b>	<b>3</b>	<b>3,5</b>	<b>4</b>	<b>4,5</b>	<b>5</b>	<b>5,5</b>	<b>6</b>	<b>6,5</b>	<b>7</b>	<b>7,5</b>	<b>8</b>	<b>8,5</b>	<b>9</b>	<b>9,5</b>	<b>10</b>
<b>1...-%</b>	3,7	7,4	11,1	14,8	18,5	22,2	25,9	29,6	33,3	37,0	40,7	44,4	48,1	51,9	55,6	59,3	63,0	66,7	70,4	74,1
<b>10...-%</b>	77,8	81,5	85,2	88,9	92,6	96,3	100,0													
<b>Σ 14</b>	<b>0,5</b>	<b>1</b>	<b>1,5</b>	<b>2</b>	<b>2,5</b>	<b>3</b>	<b>3,5</b>	<b>4</b>	<b>4,5</b>	<b>5</b>	<b>5,5</b>	<b>6</b>	<b>6,5</b>	<b>7</b>	<b>7,5</b>	<b>8</b>	<b>8,5</b>	<b>9</b>	<b>9,5</b>	<b>10</b>
<b>1...-%</b>	3,6	7,1	10,7	14,3	17,9	21,4	25,0	28,6	32,1	35,7	39,3	42,9	46,4	50,0	53,6	57,1	60,7	64,3	67,9	71,4
<b>10...-%</b>	75,0	78,6	82,1	85,7	89,3	92,9	96,4	100,0												
<b>Σ 14,5</b>	<b>0,5</b>	<b>1</b>	<b>1,5</b>	<b>2</b>	<b>2,5</b>	<b>3</b>	<b>3,5</b>	<b>4</b>	<b>4,5</b>	<b>5</b>	<b>5,5</b>	<b>6</b>	<b>6,5</b>	<b>7</b>	<b>7,5</b>	<b>8</b>	<b>8,5</b>	<b>9</b>	<b>9,5</b>	<b>10</b>
<b>1...-%</b>	3,4	6,9	10,3	13,8	17,2	20,7	24,1	27,6	31,0	34,5	37,9	41,4	44,8	48,3	51,7	55,2	58,6	62,1	65,5	69,0
<b>10...-%</b>	72,4	75,9	79,3	82,8	86,2	89,7	93,1	96,6	100,0											
<b>Σ 15</b>	<b>0,5</b>	<b>1</b>	<b>1,5</b>	<b>2</b>	<b>2,5</b>	<b>3</b>	<b>3,5</b>	<b>4</b>	<b>4,5</b>	<b>5</b>	<b>5,5</b>	<b>6</b>	<b>6,5</b>	<b>7</b>	<b>7,5</b>	<b>8</b>	<b>8,5</b>	<b>9</b>	<b>9,5</b>	<b>10</b>
<b>1...-%</b>	3,3	6,7	10,0	13,3	16,7	20,0	23,3	26,7	30,0	33,3	36,7	40,0	43,3	46,7	50,0	53,3	56,7	60,0	63,3	66,7
<b>10...-%</b>	70,0	73,3	76,7	80,0	83,3	86,7	90,0	93,3	96,7	100,0										
<b>Σ 15,5</b>	<b>0,5</b>	<b>1</b>	<b>1,5</b>	<b>2</b>	<b>2,5</b>	<b>3</b>	<b>3,5</b>	<b>4</b>	<b>4,5</b>	<b>5</b>	<b>5,5</b>	<b>6</b>	<b>6,5</b>	<b>7</b>	<b>7,5</b>	<b>8</b>	<b>8,5</b>	<b>9</b>	<b>9,5</b>	<b>10</b>
<b>1...-%</b>	3,2	6,5	9,7	12,9	16,1	19,4	22,6	25,8	29,0	32,3	35,5	38,7	41,9	45,2	48,4	51,6	54,8	58,1	61,3	64,5
<b>10...-%</b>	67,7	71,0	74,2	77,4	80,6	83,9	87,1	90,3	93,5	96,8	100,0									

<b>Σ 16</b>	<b>0,5</b>	<b>1</b>	<b>1,5</b>	<b>2</b>	<b>2,5</b>	<b>3</b>	<b>3,5</b>	<b>4</b>	<b>4,5</b>	<b>5</b>	<b>5,5</b>	<b>6</b>	<b>6,5</b>	<b>7</b>	<b>7,5</b>	<b>8</b>	<b>8,5</b>	<b>9</b>	<b>9,5</b>	<b>10</b>
<b>1...-%</b>	3,1	6,3	9,4	12,5	15,6	18,8	21,9	25,0	28,1	31,3	34,4	37,5	40,6	43,8	46,9	50,0	53,1	56,3	59,4	62,5
<b>10...-%</b>	65,6	68,8	71,9	75,0	78,1	81,3	84,4	87,5	90,6	93,8	96,9	100,0								
<b>Σ 16,5</b>	<b>0,5</b>	<b>1</b>	<b>1,5</b>	<b>2</b>	<b>2,5</b>	<b>3</b>	<b>3,5</b>	<b>4</b>	<b>4,5</b>	<b>5</b>	<b>5,5</b>	<b>6</b>	<b>6,5</b>	<b>7</b>	<b>7,5</b>	<b>8</b>	<b>8,5</b>	<b>9</b>	<b>9,5</b>	<b>10</b>
<b>1...-%</b>	3,0	6,1	9,1	12,1	15,2	18,2	21,2	24,2	27,3	30,3	33,3	36,4	39,4	42,4	45,5	48,5	51,5	54,5	57,6	60,6
<b>10...-%</b>	63,6	66,7	69,7	72,7	75,8	78,8	81,8	84,8	87,9	90,9	93,9	97,0	100,0							
<b>Σ 17</b>	<b>0,5</b>	<b>1</b>	<b>1,5</b>	<b>2</b>	<b>2,5</b>	<b>3</b>	<b>3,5</b>	<b>4</b>	<b>4,5</b>	<b>5</b>	<b>5,5</b>	<b>6</b>	<b>6,5</b>	<b>7</b>	<b>7,5</b>	<b>8</b>	<b>8,5</b>	<b>9</b>	<b>9,5</b>	<b>10</b>
<b>1...-%</b>	2,9	5,9	8,8	11,8	14,7	17,6	20,6	23,5	26,5	29,4	32,4	35,3	38,2	41,2	44,1	47,1	50,0	52,9	55,9	58,8
<b>10...-%</b>	61,8	64,7	67,6	70,6	73,5	76,5	79,4	82,4	85,3	88,2	91,2	94,1	97,1	100,0						
<b>Σ 17,5</b>	<b>0,5</b>	<b>1</b>	<b>1,5</b>	<b>2</b>	<b>2,5</b>	<b>3</b>	<b>3,5</b>	<b>4</b>	<b>4,5</b>	<b>5</b>	<b>5,5</b>	<b>6</b>	<b>6,5</b>	<b>7</b>	<b>7,5</b>	<b>8</b>	<b>8,5</b>	<b>9</b>	<b>9,5</b>	<b>10</b>
<b>1...-%</b>	2,9	5,7	8,6	11,4	14,3	17,1	20,0	22,9	25,7	28,6	31,4	34,3	37,1	40,0	42,9	45,7	48,6	51,4	54,3	57,1
<b>10...-%</b>	60,0	62,9	65,7	68,6	71,4	74,3	77,1	80,0	82,9	85,7	88,6	91,4	94,3	97,1	100,0					
<b>Σ 18</b>	<b>0,5</b>	<b>1</b>	<b>1,5</b>	<b>2</b>	<b>2,5</b>	<b>3</b>	<b>3,5</b>	<b>4</b>	<b>4,5</b>	<b>5</b>	<b>5,5</b>	<b>6</b>	<b>6,5</b>	<b>7</b>	<b>7,5</b>	<b>8</b>	<b>8,5</b>	<b>9</b>	<b>9,5</b>	<b>10</b>
<b>1...-%</b>	2,8	5,6	8,3	11,1	13,9	16,7	19,4	22,2	25,0	27,8	30,6	33,3	36,1	38,9	41,7	44,4	47,2	50,0	52,8	55,6
<b>10...-%</b>	58,3	61,1	63,9	66,7	69,4	72,2	75,0	77,8	80,6	83,3	86,1	88,9	91,7	94,4	97,2	100,0				
<b>Σ 18,5</b>	<b>0,5</b>	<b>1</b>	<b>1,5</b>	<b>2</b>	<b>2,5</b>	<b>3</b>	<b>3,5</b>	<b>4</b>	<b>4,5</b>	<b>5</b>	<b>5,5</b>	<b>6</b>	<b>6,5</b>	<b>7</b>	<b>7,5</b>	<b>8</b>	<b>8,5</b>	<b>9</b>	<b>9,5</b>	<b>10</b>
<b>1...-%</b>	2,7	5,4	8,1	10,8	13,5	16,2	18,9	21,6	24,3	27,0	29,7	32,4	35,1	37,8	40,5	43,2	45,9	48,6	51,4	54,1
<b>10...-%</b>	56,8	59,5	62,2	64,9	67,6	70,3	73,0	75,7	78,4	81,1	83,8	86,5	89,2	91,9	94,6	97,3	100,0			
<b>Σ 19</b>	<b>0,5</b>	<b>1</b>	<b>1,5</b>	<b>2</b>	<b>2,5</b>	<b>3</b>	<b>3,5</b>	<b>4</b>	<b>4,5</b>	<b>5</b>	<b>5,5</b>	<b>6</b>	<b>6,5</b>	<b>7</b>	<b>7,5</b>	<b>8</b>	<b>8,5</b>	<b>9</b>	<b>9,5</b>	<b>10</b>
<b>1...-%</b>	2,6	5,3	7,9	10,5	13,2	15,8	18,4	21,1	23,7	26,3	28,9	31,6	34,2	36,8	39,5	42,1	44,7	47,4	50,0	52,6
<b>10...-%</b>	55,3	57,9	60,5	63,2	65,8	68,4	71,1	73,7	76,3	78,9	81,6	84,2	86,8	89,5	92,1	94,7	97,4	100,0		
<b>Σ 19,5</b>	<b>0,5</b>	<b>1</b>	<b>1,5</b>	<b>2</b>	<b>2,5</b>	<b>3</b>	<b>3,5</b>	<b>4</b>	<b>4,5</b>	<b>5</b>	<b>5,5</b>	<b>6</b>	<b>6,5</b>	<b>7</b>	<b>7,5</b>	<b>8</b>	<b>8,5</b>	<b>9</b>	<b>9,5</b>	<b>10</b>
<b>1...-%</b>	2,6	5,1	7,7	10,3	12,8	15,4	17,9	20,5	23,1	25,6	28,2	30,8	33,3	35,9	38,5	41,0	43,6	46,2	48,7	51,3
<b>10...-%</b>	53,8	56,4	59,0	61,5	64,1	66,7	69,2	71,8	74,4	76,9	79,5	82,1	84,6	87,2	89,7	92,3	94,9	97,4	100,0	
<b>Σ 20</b>	<b>0,5</b>	<b>1</b>	<b>1,5</b>	<b>2</b>	<b>2,5</b>	<b>3</b>	<b>3,5</b>	<b>4</b>	<b>4,5</b>	<b>5</b>	<b>5,5</b>	<b>6</b>	<b>6,5</b>	<b>7</b>	<b>7,5</b>	<b>8</b>	<b>8,5</b>	<b>9</b>	<b>9,5</b>	<b>10</b>
<b>1...-%</b>	2,5	5,0	7,5	10,0	12,5	15,0	17,5	20,0	22,5	25,0	27,5	30,0	32,5	35,0	37,5	40,0	42,5	45,0	47,5	50,0
<b>10...-%</b>	52,5	55,0	57,5	60,0	62,5	65,0	67,5	70,0	72,5	75,0	77,5	80,0	82,5	85,0	87,5	90,0	92,5	95,0	97,5	100,0
<b>Σ 20,5</b>	<b>0,5</b>	<b>1</b>	<b>1,5</b>	<b>2</b>	<b>2,5</b>	<b>3</b>	<b>3,5</b>	<b>4</b>	<b>4,5</b>	<b>5</b>	<b>5,5</b>	<b>6</b>	<b>6,5</b>	<b>7</b>	<b>7,5</b>	<b>8</b>	<b>8,5</b>	<b>9</b>	<b>9,5</b>	<b>10</b>
<b>1...-%</b>	2,4	4,9	7,3	9,8	12,2	14,6	17,1	19,5	22,0	24,4	26,8	29,3	31,7	34,1	36,6	39,0	41,5	43,9	46,3	48,8
<b>10...-%</b>	51,2	53,7	56,1	58,5	61,0	63,4	65,9	68,3	70,7	73,2	75,6	78,0	80,5	82,9	85,4	87,8	90,2	92,7	95,1	97,6
<b>Σ 21</b>	<b>0,5</b>	<b>1</b>	<b>1,5</b>	<b>2</b>	<b>2,5</b>	<b>3</b>	<b>3,5</b>	<b>4</b>	<b>4,5</b>	<b>5</b>	<b>5,5</b>	<b>6</b>	<b>6,5</b>	<b>7</b>	<b>7,5</b>	<b>8</b>	<b>8,5</b>	<b>9</b>	<b>9,5</b>	<b>10</b>
<b>1...-%</b>	2,4	4,8	7,1	9,5	11,9	14,3	16,7	19,0	21,4	23,8	26,2	28,6	31,0	33,3	35,7	38,1	40,5	42,9	45,2	47,6
<b>10...-%</b>	50,0	52,4	54,8	57,1	59,5	61,9	64,3	66,7	69,0	71,4	73,8	76,2	78,6	81,0	83,3	85,7	88,1	90,5	92,9	95,2
<b>Σ 21,5</b>	<b>0,5</b>	<b>1</b>	<b>1,5</b>	<b>2</b>	<b>2,5</b>	<b>3</b>	<b>3,5</b>	<b>4</b>	<b>4,5</b>	<b>5</b>	<b>5,5</b>	<b>6</b>	<b>6,5</b>	<b>7</b>	<b>7,5</b>	<b>8</b>	<b>8,5</b>	<b>9</b>	<b>9,5</b>	<b>10</b>
<b>1...-%</b>	2,3	4,7	7,0	9,3	11,6	14,0	16,3	18,6	20,9	23,3	25,6	27,9	30,2	32,6	34,9	37,2	39,5	41,9	44,2	46,5
<b>10...-%</b>	48,8	51,2	53,5	55,8	58,1	60,5	62,8	65,1	67,4	69,8	72,1	74,4	76,7	79,1	81,4	83,7	86,0	88,4	90,7	93,0
<b>Σ 22</b>	<b>0,5</b>	<b>1</b>	<b>1,5</b>	<b>2</b>	<b>2,5</b>	<b>3</b>	<b>3,5</b>	<b>4</b>	<b>4,5</b>	<b>5</b>	<b>5,5</b>	<b>6</b>	<b>6,5</b>	<b>7</b>	<b>7,5</b>	<b>8</b>	<b>8,5</b>	<b>9</b>	<b>9,5</b>	<b>10</b>
<b>1...-%</b>	2,3	4,5	6,8	9,1	11,4	13,6	15,9	18,2	20,5	22,7	25,0	27,3	29,5	31,8	34,1	36,4	38,6	40,9	43,2	45,5
<b>10...-%</b>	47,7	50,0	52,3	54,5	56,8	59,1	61,4	63,6	65,9	68,2	70,5	72,7	75,0	77,3	79,5	81,8	84,1	86,4	88,6	90,9
<b>Σ 22,5</b>	<b>0,5</b>	<b>1</b>	<b>1,5</b>	<b>2</b>	<b>2,5</b>	<b>3</b>	<b>3,5</b>	<b>4</b>	<b>4,5</b>	<b>5</b>	<b>5,5</b>	<b>6</b>	<b>6,5</b>	<b>7</b>	<b>7,5</b>	<b>8</b>	<b>8,5</b>	<b>9</b>	<b>9,5</b>	<b>10</b>
<b>1...-%</b>	2,2	4,4	6,7	8,9	11,1	13,3	15,6	17,8	20,0	22,2	24,4	26,7	28,9	31,1	33,3	35,6	37,8	40,0	42,2	44,4
<b>10...-%</b>	46,7	48,9	51,1	53,3	55,6	57,8	60,0	62,2	64,4	66,7	68,9	71,1	73,3	75,6	77,8	80,0	82,2	84,4	86,7	88,9
<b>Σ 23</b>	<b>0,5</b>	<b>1</b>	<b>1,5</b>	<b>2</b>	<b>2,5</b>	<b>3</b>	<b>3,5</b>	<b>4</b>	<b>4,5</b>	<b>5</b>	<b>5,5</b>	<b>6</b>	<b>6,5</b>	<b>7</b>	<b>7,5</b>	<b>8</b>	<b>8,5</b>	<b>9</b>	<b>9,5</b>	<b>10</b>
<b>1...-%</b>	2,2	4,3	6,5	8,7	10,9	13,0	15,2	17,4	19,6	21,7	23,9	26,1	28,3	30,4	32,6	34,8	37,0	39,1	41,3	43,5
<b>10...-%</b>	45,7	47,8	50,0	52,2	54,3	56,5	58,7	60,9	63,0	65,2	67,4	69,6	71,7	73,9	76,1	78,3	80,4	82,6	84,8	87,0
<b>Σ 23,5</b>	<b>0,5</b>	<b>1</b>	<b>1,5</b>	<b>2</b>	<b>2,5</b>	<b>3</b>	<b>3,5</b>	<b>4</b>	<b>4,5</b>	<b>5</b>	<b>5,5</b>	<b>6</b>	<b>6,5</b>	<b>7</b>	<b>7,5</b>	<b>8</b>	<b>8,5</b>	<b>9</b>	<b>9,5</b>	<b>10</b>
<b>1...-%</b>	2,1	4,3	6,4	8,5	10,6	12,8	14,9	17,0	19,1	21,3	23,4	25,5	27,7	29,8	31,9	34,0	36,2	38,3	40,4	42,6
<b>10...-%</b>	44,7	46,8	48,9	51,1	53,2	55,3	57,4	59,6	61,7	63,8	66,0	68,1	70,2	72,3	74,5	76,6	78,7	80,9	83,0	85,1

<b>Σ 24</b>	<b>0,5</b>	<b>1</b>	<b>1,5</b>	<b>2</b>	<b>2,5</b>	<b>3</b>	<b>3,5</b>	<b>4</b>	<b>4,5</b>	<b>5</b>	<b>5,5</b>	<b>6</b>	<b>6,5</b>	<b>7</b>	<b>7,5</b>	<b>8</b>	<b>8,5</b>	<b>9</b>	<b>9,5</b>	<b>10</b>
<b>1...%</b>	2,1	4,2	6,3	8,3	10,4	12,5	14,6	16,7	18,8	20,8	22,9	25,0	27,1	29,2	31,3	33,3	35,4	37,5	39,6	41,7
<b>10...%</b>	43,8	45,8	47,9	50,0	52,1	54,2	56,3	58,3	60,4	62,5	64,6	66,7	68,8	70,8	72,9	75,0	77,1	79,2	81,3	83,3
<b>Σ 24,5</b>	<b>0,5</b>	<b>1</b>	<b>1,5</b>	<b>2</b>	<b>2,5</b>	<b>3</b>	<b>3,5</b>	<b>4</b>	<b>4,5</b>	<b>5</b>	<b>5,5</b>	<b>6</b>	<b>6,5</b>	<b>7</b>	<b>7,5</b>	<b>8</b>	<b>8,5</b>	<b>9</b>	<b>9,5</b>	<b>10</b>
<b>1...%</b>	2,0	4,1	6,1	8,2	10,2	12,2	14,3	16,3	18,4	20,4	22,4	24,5	26,5	28,6	30,6	32,7	34,7	36,7	38,8	40,8
<b>10...%</b>	42,9	44,9	46,9	49,0	51,0	53,1	55,1	57,1	59,2	61,2	63,3	65,3	67,3	69,4	71,4	73,5	75,5	77,6	79,6	81,6
<b>Σ 25</b>	<b>0,5</b>	<b>1</b>	<b>1,5</b>	<b>2</b>	<b>2,5</b>	<b>3</b>	<b>3,5</b>	<b>4</b>	<b>4,5</b>	<b>5</b>	<b>5,5</b>	<b>6</b>	<b>6,5</b>	<b>7</b>	<b>7,5</b>	<b>8</b>	<b>8,5</b>	<b>9</b>	<b>9,5</b>	<b>10</b>
<b>1...%</b>	2,0	4,0	6,0	8,0	10,0	12,0	14,0	16,0	18,0	20,0	22,0	24,0	26,0	28,0	30,0	32,0	34,0	36,0	38,0	40,0
<b>10...%</b>	42,0	44,0	46,0	48,0	50,0	52,0	54,0	56,0	58,0	60,0	62,0	64,0	66,0	68,0	70,0	72,0	74,0	76,0	78,0	80,0
<b>Σ 25,5</b>	<b>0,5</b>	<b>1</b>	<b>1,5</b>	<b>2</b>	<b>2,5</b>	<b>3</b>	<b>3,5</b>	<b>4</b>	<b>4,5</b>	<b>5</b>	<b>5,5</b>	<b>6</b>	<b>6,5</b>	<b>7</b>	<b>7,5</b>	<b>8</b>	<b>8,5</b>	<b>9</b>	<b>9,5</b>	<b>10</b>
<b>1...%</b>	2,0	3,9	5,9	7,8	9,8	11,8	13,7	15,7	17,6	19,6	21,6	23,5	25,5	27,5	29,4	31,4	33,3	35,3	37,3	39,2
<b>10...%</b>	41,2	43,1	45,1	47,1	49,0	51,0	52,9	54,9	56,9	58,8	60,8	62,7	64,7	66,7	68,6	70,6	72,5	74,5	76,5	78,4
<b>Σ 26</b>	<b>0,5</b>	<b>1</b>	<b>1,5</b>	<b>2</b>	<b>2,5</b>	<b>3</b>	<b>3,5</b>	<b>4</b>	<b>4,5</b>	<b>5</b>	<b>5,5</b>	<b>6</b>	<b>6,5</b>	<b>7</b>	<b>7,5</b>	<b>8</b>	<b>8,5</b>	<b>9</b>	<b>9,5</b>	<b>10</b>
<b>1...%</b>	1,9	3,8	5,8	7,7	9,6	11,5	13,5	15,4	17,3	19,2	21,2	23,1	25,0	26,9	28,8	30,8	32,7	34,6	36,5	38,5
<b>10...%</b>	40,4	42,3	44,2	46,2	48,1	50,0	51,9	53,8	55,8	57,7	59,6	61,5	63,5	65,4	67,3	69,2	71,2	73,1	75,0	76,9
<b>Σ 26,5</b>	<b>0,5</b>	<b>1</b>	<b>1,5</b>	<b>2</b>	<b>2,5</b>	<b>3</b>	<b>3,5</b>	<b>4</b>	<b>4,5</b>	<b>5</b>	<b>5,5</b>	<b>6</b>	<b>6,5</b>	<b>7</b>	<b>7,5</b>	<b>8</b>	<b>8,5</b>	<b>9</b>	<b>9,5</b>	<b>10</b>
<b>1...%</b>	1,9	3,8	5,7	7,5	9,4	11,3	13,2	15,1	17,0	18,9	20,8	22,6	24,5	26,4	28,3	30,2	32,1	34,0	35,8	37,7
<b>10...%</b>	39,6	41,5	43,4	45,3	47,2	49,1	50,9	52,8	54,7	56,6	58,5	60,4	62,3	64,2	66,0	67,9	69,8	71,7	73,6	75,5
<b>Σ 27</b>	<b>0,5</b>	<b>1</b>	<b>1,5</b>	<b>2</b>	<b>2,5</b>	<b>3</b>	<b>3,5</b>	<b>4</b>	<b>4,5</b>	<b>5</b>	<b>5,5</b>	<b>6</b>	<b>6,5</b>	<b>7</b>	<b>7,5</b>	<b>8</b>	<b>8,5</b>	<b>9</b>	<b>9,5</b>	<b>10</b>
<b>1...%</b>	1,9	3,7	5,6	7,4	9,3	11,1	13,0	14,8	16,7	18,5	20,4	22,2	24,1	25,9	27,8	29,6	31,5	33,3	35,2	37,0
<b>10...%</b>	38,9	40,7	42,6	44,4	46,3	48,1	50,0	51,9	53,7	55,6	57,4	59,3	61,1	63,0	64,8	66,7	68,5	70,4	72,2	74,1
<b>Σ 27,5</b>	<b>0,5</b>	<b>1</b>	<b>1,5</b>	<b>2</b>	<b>2,5</b>	<b>3</b>	<b>3,5</b>	<b>4</b>	<b>4,5</b>	<b>5</b>	<b>5,5</b>	<b>6</b>	<b>6,5</b>	<b>7</b>	<b>7,5</b>	<b>8</b>	<b>8,5</b>	<b>9</b>	<b>9,5</b>	<b>10</b>
<b>1...%</b>	1,8	3,6	5,5	7,3	9,1	10,9	12,7	14,5	16,4	18,2	20,0	21,8	23,6	25,5	27,3	29,1	30,9	32,7	34,5	36,4
<b>10...%</b>	38,2	40,0	41,8	43,6	45,5	47,3	49,1	50,9	52,7	54,5	56,4	58,2	60,0	61,8	63,6	65,5	67,3	69,1	70,9	72,7
<b>Σ 28</b>	<b>0,5</b>	<b>1</b>	<b>1,5</b>	<b>2</b>	<b>2,5</b>	<b>3</b>	<b>3,5</b>	<b>4</b>	<b>4,5</b>	<b>5</b>	<b>5,5</b>	<b>6</b>	<b>6,5</b>	<b>7</b>	<b>7,5</b>	<b>8</b>	<b>8,5</b>	<b>9</b>	<b>9,5</b>	<b>10</b>
<b>1...%</b>	1,8	3,6	5,4	7,1	8,9	10,7	12,5	14,3	16,1	17,9	19,6	21,4	23,2	25,0	26,8	28,6	30,4	32,1	33,9	35,7
<b>10...%</b>	37,5	39,3	41,1	42,9	44,6	46,4	48,2	50,0	51,8	53,6	55,4	57,1	58,9	60,7	62,5	64,3	66,1	67,9	69,6	71,4
<b>Σ 28,5</b>	<b>0,5</b>	<b>1</b>	<b>1,5</b>	<b>2</b>	<b>2,5</b>	<b>3</b>	<b>3,5</b>	<b>4</b>	<b>4,5</b>	<b>5</b>	<b>5,5</b>	<b>6</b>	<b>6,5</b>	<b>7</b>	<b>7,5</b>	<b>8</b>	<b>8,5</b>	<b>9</b>	<b>9,5</b>	<b>10</b>
<b>1...%</b>	1,8	3,5	5,3	7,0	8,8	10,5	12,3	14,0	15,8	17,5	19,3	21,1	22,8	24,6	26,3	28,1	29,8	31,6	33,3	35,1
<b>10...%</b>	36,8	38,6	40,4	42,1	43,9	45,6	47,4	49,1	50,9	52,6	54,4	56,1	57,9	59,6	61,4	63,2	64,9	66,7	68,4	70,2
<b>Σ 29</b>	<b>0,5</b>	<b>1</b>	<b>1,5</b>	<b>2</b>	<b>2,5</b>	<b>3</b>	<b>3,5</b>	<b>4</b>	<b>4,5</b>	<b>5</b>	<b>5,5</b>	<b>6</b>	<b>6,5</b>	<b>7</b>	<b>7,5</b>	<b>8</b>	<b>8,5</b>	<b>9</b>	<b>9,5</b>	<b>10</b>
<b>1...%</b>	1,7	3,4	5,2	6,9	8,6	10,3	12,1	13,8	15,5	17,2	19,0	20,7	22,4	24,1	25,9	27,6	29,3	31,0	32,8	34,5
<b>10...%</b>	36,2	37,9	39,7	41,4	43,1	44,8	46,6	48,3	50,0	51,7	53,4	55,2	56,9	58,6	60,3	62,1	63,8	65,5	67,2	69,0
<b>Σ 29,5</b>	<b>0,5</b>	<b>1</b>	<b>1,5</b>	<b>2</b>	<b>2,5</b>	<b>3</b>	<b>3,5</b>	<b>4</b>	<b>4,5</b>	<b>5</b>	<b>5,5</b>	<b>6</b>	<b>6,5</b>	<b>7</b>	<b>7,5</b>	<b>8</b>	<b>8,5</b>	<b>9</b>	<b>9,5</b>	<b>10</b>
<b>1...%</b>	1,7	3,4	5,1	6,8	8,5	10,2	11,9	13,6	15,3	16,9	18,6	20,3	22,0	23,7	25,4	27,1	28,8	30,5	32,2	33,9
<b>10...%</b>	35,6	37,3	39,0	40,7	42,4	44,1	45,8	47,5	49,2	50,8	52,5	54,2	55,9	57,6	59,3	61,0	62,7	64,4	66,1	67,8
<b>Σ 30</b>	<b>0,5</b>	<b>1</b>	<b>1,5</b>	<b>2</b>	<b>2,5</b>	<b>3</b>	<b>3,5</b>	<b>4</b>	<b>4,5</b>	<b>5</b>	<b>5,5</b>	<b>6</b>	<b>6,5</b>	<b>7</b>	<b>7,5</b>	<b>8</b>	<b>8,5</b>	<b>9</b>	<b>9,5</b>	<b>10</b>
<b>1...%</b>	1,7	3,3	5,0	6,7	8,3	10,0	11,7	13,3	15,0	16,7	18,3	20,0	21,7	23,3	25,0	26,7	28,3	30,0	31,7	33,3
<b>10...%</b>	35,0	36,7	38,3	40,0	41,7	43,3	45,0	46,7	48,3	50,0	51,7	53,3	55,0	56,7	58,3	60,0	61,7	63,3	65,0	66,7
<b>Σ 30,5</b>	<b>0,5</b>	<b>1</b>	<b>1,5</b>	<b>2</b>	<b>2,5</b>	<b>3</b>	<b>3,5</b>	<b>4</b>	<b>4,5</b>	<b>5</b>	<b>5,5</b>	<b>6</b>	<b>6,5</b>	<b>7</b>	<b>7,5</b>	<b>8</b>	<b>8,5</b>	<b>9</b>	<b>9,5</b>	<b>10</b>
<b>1...%</b>	1,6	3,3	4,9	6,6	8,2	9,8	11,5	13,1	14,8	16,4	18,0	19,7	21,3	23,0	24,6	26,2	27,9	29,5	31,1	32,8
<b>10...%</b>	34,4	36,1	37,7	39,3	41,0	42,6	44,3	45,9	47,5	49,2	50,8	52,5	54,1	55,7	57,4	59,0	60,7	62,3	63,9	65,6
<b>Σ 31</b>	<b>0,5</b>	<b>1</b>	<b>1,5</b>	<b>2</b>	<b>2,5</b>	<b>3</b>	<b>3,5</b>	<b>4</b>	<b>4,5</b>	<b>5</b>	<b>5,5</b>	<b>6</b>	<b>6,5</b>	<b>7</b>	<b>7,5</b>	<b>8</b>	<b>8,5</b>	<b>9</b>	<b>9,5</b>	<b>10</b>
<b>1...%</b>	1,6	3,2	4,8	6,5	8,1	9,7	11,3	12,9	14,5	16,1	17,7	19,4	21,0	22,6	24,2	25,8	27,4	29,0	30,6	32,3
<b>10...%</b>	33,9	35,5	37,1	38,7	40,3	41,9	43,5	45,2	46,8	48,4	50,0	51,6	53,2	54,8	56,5	58,1	59,7	61,3	62,9	64,5

<b>Σ 31,5</b>	<b>0,5</b>	<b>1</b>	<b>1,5</b>	<b>2</b>	<b>2,5</b>	<b>3</b>	<b>3,5</b>	<b>4</b>	<b>4,5</b>	<b>5</b>	<b>5,5</b>	<b>6</b>	<b>6,5</b>	<b>7</b>	<b>7,5</b>	<b>8</b>	<b>8,5</b>	<b>9</b>	<b>9,5</b>	<b>10</b>
<b>1...-%</b>	1,6	3,2	4,8	6,3	7,9	9,5	11,1	12,7	14,3	15,9	17,5	19,0	20,6	22,2	23,8	25,4	27,0	28,6	30,2	31,7
<b>10...-%</b>	33,3	34,9	36,5	38,1	39,7	41,3	42,9	44,4	46,0	47,6	49,2	50,8	52,4	54,0	55,6	57,1	58,7	60,3	61,9	63,5
<b>Σ 32</b>	<b>0,5</b>	<b>1</b>	<b>1,5</b>	<b>2</b>	<b>2,5</b>	<b>3</b>	<b>3,5</b>	<b>4</b>	<b>4,5</b>	<b>5</b>	<b>5,5</b>	<b>6</b>	<b>6,5</b>	<b>7</b>	<b>7,5</b>	<b>8</b>	<b>8,5</b>	<b>9</b>	<b>9,5</b>	<b>10</b>
<b>1...-%</b>	1,6	3,1	4,7	6,3	7,8	9,4	10,9	12,5	14,1	15,6	17,2	18,8	20,3	21,9	23,4	25,0	26,6	28,1	29,7	31,3
<b>10...-%</b>	32,8	34,4	35,9	37,5	39,1	40,6	42,2	43,8	45,3	46,9	48,4	50,0	51,6	53,1	54,7	56,3	57,8	59,4	60,9	62,5
<b>Σ 32,5</b>	<b>0,5</b>	<b>1</b>	<b>1,5</b>	<b>2</b>	<b>2,5</b>	<b>3</b>	<b>3,5</b>	<b>4</b>	<b>4,5</b>	<b>5</b>	<b>5,5</b>	<b>6</b>	<b>6,5</b>	<b>7</b>	<b>7,5</b>	<b>8</b>	<b>8,5</b>	<b>9</b>	<b>9,5</b>	<b>10</b>
<b>1...-%</b>	1,5	3,1	4,6	6,2	7,7	9,2	10,8	12,3	13,8	15,4	16,9	18,5	20,0	21,5	23,1	24,6	26,2	27,7	29,2	30,8
<b>10...-%</b>	32,3	33,8	35,4	36,9	38,5	40,0	41,5	43,1	44,6	46,2	47,7	49,2	50,8	52,3	53,8	55,4	56,9	58,5	60,0	61,5
<b>Σ 33</b>	<b>0,5</b>	<b>1</b>	<b>1,5</b>	<b>2</b>	<b>2,5</b>	<b>3</b>	<b>3,5</b>	<b>4</b>	<b>4,5</b>	<b>5</b>	<b>5,5</b>	<b>6</b>	<b>6,5</b>	<b>7</b>	<b>7,5</b>	<b>8</b>	<b>8,5</b>	<b>9</b>	<b>9,5</b>	<b>10</b>
<b>1...-%</b>	1,5	3,0	4,5	6,1	7,6	9,1	10,6	12,1	13,6	15,2	16,7	18,2	19,7	21,2	22,7	24,2	25,8	27,3	28,8	30,3
<b>10...-%</b>	31,8	33,3	34,8	36,4	37,9	39,4	40,9	42,4	43,9	45,5	47,0	48,5	50,0	51,5	53,0	54,5	56,1	57,6	59,1	60,6
<b>Σ 33,5</b>	<b>0,5</b>	<b>1</b>	<b>1,5</b>	<b>2</b>	<b>2,5</b>	<b>3</b>	<b>3,5</b>	<b>4</b>	<b>4,5</b>	<b>5</b>	<b>5,5</b>	<b>6</b>	<b>6,5</b>	<b>7</b>	<b>7,5</b>	<b>8</b>	<b>8,5</b>	<b>9</b>	<b>9,5</b>	<b>10</b>
<b>1...-%</b>	1,5	3,0	4,5	6,0	7,5	9,0	10,4	11,9	13,4	14,9	16,4	17,9	19,4	20,9	22,4	23,9	25,4	26,9	28,4	29,9
<b>10...-%</b>	31,3	32,8	34,3	35,8	37,3	38,8	40,3	41,8	43,3	44,8	46,3	47,8	49,3	50,7	52,2	53,7	55,2	56,7	58,2	59,7
<b>Σ 34</b>	<b>0,5</b>	<b>1</b>	<b>1,5</b>	<b>2</b>	<b>2,5</b>	<b>3</b>	<b>3,5</b>	<b>4</b>	<b>4,5</b>	<b>5</b>	<b>5,5</b>	<b>6</b>	<b>6,5</b>	<b>7</b>	<b>7,5</b>	<b>8</b>	<b>8,5</b>	<b>9</b>	<b>9,5</b>	<b>10</b>
<b>1...-%</b>	1,5	2,9	4,4	5,9	7,4	8,8	10,3	11,8	13,2	14,7	16,2	17,6	19,1	20,6	22,1	23,5	25,0	26,5	27,9	29,4
<b>10...-%</b>	30,9	32,4	33,8	35,3	36,8	38,2	39,7	41,2	42,6	44,1	45,6	47,1	48,5	50,0	51,5	52,9	54,4	55,9	57,4	58,8
<b>Σ 34,5</b>	<b>0,5</b>	<b>1</b>	<b>1,5</b>	<b>2</b>	<b>2,5</b>	<b>3</b>	<b>3,5</b>	<b>4</b>	<b>4,5</b>	<b>5</b>	<b>5,5</b>	<b>6</b>	<b>6,5</b>	<b>7</b>	<b>7,5</b>	<b>8</b>	<b>8,5</b>	<b>9</b>	<b>9,5</b>	<b>10</b>
<b>1...-%</b>	1,4	2,9	4,3	5,8	7,2	8,7	10,1	11,6	13,0	14,5	15,9	17,4	18,8	20,3	21,7	23,2	24,6	26,1	27,5	29,0
<b>10...-%</b>	30,4	31,9	33,3	34,8	36,2	37,7	39,1	40,6	42,0	43,5	44,9	46,4	47,8	49,3	50,7	52,2	53,6	55,1	56,5	58,0
<b>Σ 35</b>	<b>0,5</b>	<b>1</b>	<b>1,5</b>	<b>2</b>	<b>2,5</b>	<b>3</b>	<b>3,5</b>	<b>4</b>	<b>4,5</b>	<b>5</b>	<b>5,5</b>	<b>6</b>	<b>6,5</b>	<b>7</b>	<b>7,5</b>	<b>8</b>	<b>8,5</b>	<b>9</b>	<b>9,5</b>	<b>10</b>
<b>1...-%</b>	1,4	2,9	4,3	5,7	7,1	8,6	10,0	11,4	12,9	14,3	15,7	17,1	18,6	20,0	21,4	22,9	24,3	25,7	27,1	28,6
<b>10...-%</b>	30,0	31,4	32,9	34,3	35,7	37,1	38,6	40,0	41,4	42,9	44,3	45,7	47,1	48,6	50,0	51,4	52,9	54,3	55,7	57,1
<b>Σ 35,5</b>	<b>0,5</b>	<b>1</b>	<b>1,5</b>	<b>2</b>	<b>2,5</b>	<b>3</b>	<b>3,5</b>	<b>4</b>	<b>4,5</b>	<b>5</b>	<b>5,5</b>	<b>6</b>	<b>6,5</b>	<b>7</b>	<b>7,5</b>	<b>8</b>	<b>8,5</b>	<b>9</b>	<b>9,5</b>	<b>10</b>
<b>1...-%</b>	1,4	2,8	4,2	5,6	7,0	8,5	9,9	11,3	12,7	14,1	15,5	16,9	18,3	19,7	21,1	22,5	23,9	25,4	26,8	28,2
<b>10...-%</b>	29,6	31,0	32,4	33,8	35,2	36,6	38,0	39,4	40,8	42,3	43,7	45,1	46,5	47,9	49,3	50,7	52,1	53,5	54,9	56,3
<b>Σ 36</b>	<b>0,5</b>	<b>1</b>	<b>1,5</b>	<b>2</b>	<b>2,5</b>	<b>3</b>	<b>3,5</b>	<b>4</b>	<b>4,5</b>	<b>5</b>	<b>5,5</b>	<b>6</b>	<b>6,5</b>	<b>7</b>	<b>7,5</b>	<b>8</b>	<b>8,5</b>	<b>9</b>	<b>9,5</b>	<b>10</b>
<b>1...-%</b>	1,4	2,8	4,2	5,6	6,9	8,3	9,7	11,1	12,5	13,9	15,3	16,7	18,1	19,4	20,8	22,2	23,6	25,0	26,4	27,8
<b>10...-%</b>	29,2	30,6	31,9	33,3	34,7	36,1	37,5	38,9	40,3	41,7	43,1	44,4	45,8	47,2	48,6	50,0	51,4	52,8	54,2	55,6
<b>Σ 36,5</b>	<b>0,5</b>	<b>1</b>	<b>1,5</b>	<b>2</b>	<b>2,5</b>	<b>3</b>	<b>3,5</b>	<b>4</b>	<b>4,5</b>	<b>5</b>	<b>5,5</b>	<b>6</b>	<b>6,5</b>	<b>7</b>	<b>7,5</b>	<b>8</b>	<b>8,5</b>	<b>9</b>	<b>9,5</b>	<b>10</b>
<b>1...-%</b>	1,4	2,7	4,1	5,5	6,8	8,2	9,6	11,0	12,3	13,7	15,1	16,4	17,8	19,2	20,5	21,9	23,3	24,7	26,0	27,4
<b>10...-%</b>	28,8	30,1	31,5	32,9	34,2	35,6	37,0	38,4	39,7	41,1	42,5	43,8	45,2	46,6	47,9	49,3	50,7	52,1	53,4	54,8
<b>Σ 37</b>	<b>0,5</b>	<b>1</b>	<b>1,5</b>	<b>2</b>	<b>2,5</b>	<b>3</b>	<b>3,5</b>	<b>4</b>	<b>4,5</b>	<b>5</b>	<b>5,5</b>	<b>6</b>	<b>6,5</b>	<b>7</b>	<b>7,5</b>	<b>8</b>	<b>8,5</b>	<b>9</b>	<b>9,5</b>	<b>10</b>
<b>1...-%</b>	1,4	2,7	4,1	5,4	6,8	8,1	9,5	10,8	12,2	13,5	14,9	16,2	17,6	18,9	20,3	21,6	23,0	24,3	25,7	27,0
<b>10...-%</b>	28,4	29,7	31,1	32,4	33,8	35,1	36,5	37,8	39,2	40,5	41,9	43,2	44,6	45,9	47,3	48,6	50,0	51,4	52,7	54,1
<b>Σ 37,5</b>	<b>0,5</b>	<b>1</b>	<b>1,5</b>	<b>2</b>	<b>2,5</b>	<b>3</b>	<b>3,5</b>	<b>4</b>	<b>4,5</b>	<b>5</b>	<b>5,5</b>	<b>6</b>	<b>6,5</b>	<b>7</b>	<b>7,5</b>	<b>8</b>	<b>8,5</b>	<b>9</b>	<b>9,5</b>	<b>10</b>
<b>1...-%</b>	1,3	2,7	4,0	5,3	6,7	8,0	9,3	10,7	12,0	13,3	14,7	16,0	17,3	18,7	20,0	21,3	22,7	24,0	25,3	26,7
<b>10...-%</b>	28,0	29,3	30,7	32,0	33,3	34,7	36,0	37,3	38,7	40,0	41,3	42,7	44,0	45,3	46,7	48,0	49,3	50,7	52,0	53,3
<b>Σ 38</b>	<b>0,5</b>	<b>1</b>	<b>1,5</b>	<b>2</b>	<b>2,5</b>	<b>3</b>	<b>3,5</b>	<b>4</b>	<b>4,5</b>	<b>5</b>	<b>5,5</b>	<b>6</b>	<b>6,5</b>	<b>7</b>	<b>7,5</b>	<b>8</b>	<b>8,5</b>	<b>9</b>	<b>9,5</b>	<b>10</b>
<b>1...-%</b>	1,3	2,7	4,0	5,3	6,7	8,0	9,3	10,7	12,0	13,3	14,7	16,0	17,3	18,7	20,0	21,3	22,7	24,0	25,3	26,7
<b>10...-%</b>	27,6	29,3	30,7	32,0	33,3	34,7	36,0	37,3	38,7	40,0	41,3	42,7	44,0	45,3	46,7	48,0	49,3	50,7	52,0	53,3
<b>Σ 38,5</b>	<b>0,5</b>	<b>1</b>	<b>1,5</b>	<b>2</b>	<b>2,5</b>	<b>3</b>	<b>3,5</b>	<b>4</b>	<b>4,5</b>	<b>5</b>	<b>5,5</b>	<b>6</b>	<b>6,5</b>	<b>7</b>	<b>7,5</b>	<b>8</b>	<b>8,5</b>	<b>9</b>	<b>9,5</b>	<b>10</b>
<b>1...-%</b>	1,3	2,6	3,9	5,2	6,5	7,8	9,1	10,4	11,7	13,0	14,3	15,6	16,9	18,2	19,5	20,8	22,1	23,4	24,7	26,0
<b>10...-%</b>	27,3	28,6	29,9	31,2	32,5	33,8	35,1	36,4	37,7	39,0	40,3	41,6	42,9	44,2	45,5	46,8	48,1	49,4	50,6	51,9

<b>Σ 39</b>	<b>0,5</b>	<b>1</b>	<b>1,5</b>	<b>2</b>	<b>2,5</b>	<b>3</b>	<b>3,5</b>	<b>4</b>	<b>4,5</b>	<b>5</b>	<b>5,5</b>	<b>6</b>	<b>6,5</b>	<b>7</b>	<b>7,5</b>	<b>8</b>	<b>8,5</b>	<b>9</b>	<b>9,5</b>	<b>10</b>
<b>1...-%</b>	1,3	2,6	3,8	5,1	6,4	7,7	9,0	10,3	11,5	12,8	14,1	15,4	16,7	17,9	19,2	20,5	21,8	23,1	24,4	25,6
<b>10...-%</b>	26,9	28,2	29,5	30,8	32,1	33,3	34,6	35,9	37,2	38,5	39,7	41,0	42,3	43,6	44,9	46,2	47,4	48,7	50,0	51,3

<b>Σ 39,5</b>	<b>0,5</b>	<b>1</b>	<b>1,5</b>	<b>2</b>	<b>2,5</b>	<b>3</b>	<b>3,5</b>	<b>4</b>	<b>4,5</b>	<b>5</b>	<b>5,5</b>	<b>6</b>	<b>6,5</b>	<b>7</b>	<b>7,5</b>	<b>8</b>	<b>8,5</b>	<b>9</b>	<b>9,5</b>	<b>10</b>
<b>1...-%</b>	1,3	2,5	3,8	5,1	6,3	7,6	8,9	10,1	11,4	12,7	13,9	15,2	16,5	17,7	19,0	20,3	21,5	22,8	24,1	25,3
<b>10...-%</b>	26,6	27,8	29,1	30,4	31,6	32,9	34,2	35,4	36,7	38,0	39,2	40,5	41,8	43,0	44,3	45,6	46,8	48,1	49,4	50,6

<b>Σ 40</b>	<b>0,5</b>	<b>1</b>	<b>1,5</b>	<b>2</b>	<b>2,5</b>	<b>3</b>	<b>3,5</b>	<b>4</b>	<b>4,5</b>	<b>5</b>	<b>5,5</b>	<b>6</b>	<b>6,5</b>	<b>7</b>	<b>7,5</b>	<b>8</b>	<b>8,5</b>	<b>9</b>	<b>9,5</b>	<b>10</b>
<b>1...-%</b>	1,3	2,5	3,8	5,0	6,3	7,5	8,8	10,0	11,3	12,5	13,8	15,0	16,3	17,5	18,8	20,0	21,3	22,5	23,8	25,0
<b>10...-%</b>	26,3	27,5	28,8	30,0	31,3	32,5	33,8	35,0	36,3	37,5	38,8	40,0	41,3	42,5	43,8	45,0	46,3	47,5	48,8	50,0

<b>Σ 40,5</b>	<b>0,5</b>	<b>1</b>	<b>1,5</b>	<b>2</b>	<b>2,5</b>	<b>3</b>	<b>3,5</b>	<b>4</b>	<b>4,5</b>	<b>5</b>	<b>5,5</b>	<b>6</b>	<b>6,5</b>	<b>7</b>	<b>7,5</b>	<b>8</b>	<b>8,5</b>	<b>9</b>	<b>9,5</b>	<b>10</b>
<b>1...-%</b>	1,2	2,5	3,7	4,9	6,2	7,4	8,6	9,9	11,1	12,3	13,6	14,8	16,0	17,3	18,5	19,8	21,0	22,2	23,5	24,7
<b>10...-%</b>	25,9	27,2	28,4	29,6	30,9	32,1	33,3	34,6	35,8	37,0	38,3	39,5	40,7	42,0	43,2	44,4	45,7	46,9	48,1	49,4

<b>Σ 41</b>	<b>0,5</b>	<b>1</b>	<b>1,5</b>	<b>2</b>	<b>2,5</b>	<b>3</b>	<b>3,5</b>	<b>4</b>	<b>4,5</b>	<b>5</b>	<b>5,5</b>	<b>6</b>	<b>6,5</b>	<b>7</b>	<b>7,5</b>	<b>8</b>	<b>8,5</b>	<b>9</b>	<b>9,5</b>	<b>10</b>
<b>1...-%</b>	1,2	2,4	3,7	4,9	6,1	7,3	8,5	9,8	11,0	12,2	13,4	14,6	15,9	17,1	18,3	19,5	20,7	22,0	23,2	24,4
<b>10...-%</b>	25,6	26,8	28,0	29,3	30,5	31,7	32,9	34,1	35,4	36,6	37,8	39,0	40,2	41,5	42,7	43,9	45,1	46,3	47,6	48,8

<b>Σ 41,5</b>	<b>0,5</b>	<b>1</b>	<b>1,5</b>	<b>2</b>	<b>2,5</b>	<b>3</b>	<b>3,5</b>	<b>4</b>	<b>4,5</b>	<b>5</b>	<b>5,5</b>	<b>6</b>	<b>6,5</b>	<b>7</b>	<b>7,5</b>	<b>8</b>	<b>8,5</b>	<b>9</b>	<b>9,5</b>	<b>10</b>
<b>1...-%</b>	1,2	2,4	3,6	4,8	6,0	7,2	8,4	9,6	10,8	12,0	13,3	14,5	15,7	16,9	18,1	19,3	20,5	21,7	22,9	24,1
<b>10...-%</b>	25,3	26,5	27,7	28,9	30,1	31,3	32,5	33,7	34,9	36,1	37,3	38,6	39,8	41,0	42,2	43,4	44,6	45,8	47,0	48,2

<b>Σ 42</b>	<b>0,5</b>	<b>1</b>	<b>1,5</b>	<b>2</b>	<b>2,5</b>	<b>3</b>	<b>3,5</b>	<b>4</b>	<b>4,5</b>	<b>5</b>	<b>5,5</b>	<b>6</b>	<b>6,5</b>	<b>7</b>	<b>7,5</b>	<b>8</b>	<b>8,5</b>	<b>9</b>	<b>9,5</b>	<b>10</b>
<b>1...-%</b>	1,2	2,4	3,6	4,8	6,0	7,1	8,3	9,5	10,7	11,9	13,1	14,3	15,5	16,7	17,9	19,0	20,2	21,4	22,6	23,8
<b>10...-%</b>	25,0	26,2	27,4	28,6	29,8	31,0	32,1	33,3	34,5	35,7	36,9	38,1	39,3	40,5	41,7	42,9	44,0	45,2	46,4	47,6

<b>Σ 42,5</b>	<b>0,5</b>	<b>1</b>	<b>1,5</b>	<b>2</b>	<b>2,5</b>	<b>3</b>	<b>3,5</b>	<b>4</b>	<b>4,5</b>	<b>5</b>	<b>5,5</b>	<b>6</b>	<b>6,5</b>	<b>7</b>	<b>7,5</b>	<b>8</b>	<b>8,5</b>	<b>9</b>	<b>9,5</b>	<b>10</b>
<b>1...-%</b>	1,2	2,4	3,5	4,7	5,9	7,1	8,2	9,4	10,6	11,8	12,9	14,1	15,3	16,5	17,6	18,8	20,0	21,2	22,4	23,5
<b>10...-%</b>	24,7	25,9	27,1	28,2	29,4	30,6	31,8	32,9	34,1	35,3	36,5	37,6	38,8	40,0	41,2	42,4	43,5	44,7	45,9	47,1

<b>Σ 43</b>	<b>0,5</b>	<b>1</b>	<b>1,5</b>	<b>2</b>	<b>2,5</b>	<b>3</b>	<b>3,5</b>	<b>4</b>	<b>4,5</b>	<b>5</b>	<b>5,5</b>	<b>6</b>	<b>6,5</b>	<b>7</b>	<b>7,5</b>	<b>8</b>	<b>8,5</b>	<b>9</b>	<b>9,5</b>	<b>10</b>
<b>1...-%</b>	1,2	2,3	3,5	4,7	5,8	7,0	8,1	9,3	10,5	11,6	12,8	14,0	15,1	16,3	17,4	18,6	19,8	20,9	22,1	23,3
<b>10...-%</b>	24,4	25,6	26,7	27,9	29,1	30,2	31,4	32,6	33,7	34,9	36,0	37,2	38,4	39,5	40,7	41,9	43,0	44,2	45,3	46,5

<b>Σ 43,5</b>	<b>0,5</b>	<b>1</b>	<b>1,5</b>	<b>2</b>	<b>2,5</b>	<b>3</b>	<b>3,5</b>	<b>4</b>	<b>4,5</b>	<b>5</b>	<b>5,5</b>	<b>6</b>	<b>6,5</b>	<b>7</b>	<b>7,5</b>	<b>8</b>	<b>8,5</b>	<b>9</b>	<b>9,5</b>	<b>10</b>
<b>1...-%</b>	1,1	2,3	3,4	4,6	5,7	6,9	8,0	9,2	10,3	11,5	12,6	13,8	14,9	16,1	17,2	18,4	19,5	20,7	21,8	23,0
<b>10...-%</b>	24,1	25,3	26,4	27,6	28,7	29,9	31,0	32,2	33,3	34,5	35,6	36,8	37,9	39,1	40,2	41,4	42,5	43,7	44,8	46,0

<b>Σ 44</b>	<b>0,5</b>	<b>1</b>	<b>1,5</b>	<b>2</b>	<b>2,5</b>	<b>3</b>	<b>3,5</b>	<b>4</b>	<b>4,5</b>	<b>5</b>	<b>5,5</b>	<b>6</b>	<b>6,5</b>	<b>7</b>	<b>7,5</b>	<b>8</b>	<b>8,5</b>	<b>9</b>	<b>9,5</b>	<b>10</b>
<b>1...-%</b>	1,1	2,3	3,4	4,5	5,7	6,8	8,0	9,1	10,2	11,4	12,5	13,6	14,8	15,9	17,0	18,2	19,3	20,5	21,6	22,7
<b>10...-%</b>	23,9	25,0	26,1	27,3	28,4	29,5	30,7	31,8	33,0	34,1	35,2	36,4	37,5	38,6	39,8	40,9	42,0	43,2	44,3	45,5

<b>Σ 44,5</b>	<b>0,5</b>	<b>1</b>	<b>1,5</b>	<b>2</b>	<b>2,5</b>	<b>3</b>	<b>3,5</b>	<b>4</b>	<b>4,5</b>	<b>5</b>	<b>5,5</b>	<b>6</b>	<b>6,5</b>	<b>7</b>	<b>7,5</b>	<b>8</b>	<b>8,5</b>	<b>9</b>	<b>9,5</b>	<b>10</b>
<b>1...-%</b>	1,1	2,2	3,4	4,5	5,6	6,7	7,9	9,0	10,1	11,2	12,4	13,5	14,6	15,7	16,9	18,0	19,1	20,2	21,3	22,5
<b>10...-%</b>	23,6	24,7	25,8	27,0	28,1	29,2	30,3	31,5	32,6	33,7	34,8	36,0	37,1	38,2	39,3	40,4	41,6	42,7	43,8	44,9

<b>Σ 45</b>	<b>0,5</b>	<b>1</b>	<b>1,5</b>	<b>2</b>	<b>2,5</b>	<b>3</b>	<b>3,5</b>	<b>4</b>	<b>4,5</b>	<b>5</b>	<b>5,5</b>	<b>6</b>	<b>6,5</b>	<b>7</b>	<b>7,5</b>	<b>8</b>	<b>8,5</b>	<b>9</b>	<b>9,5</b>	<b>10</b>
<b>1...-%</b>	1,1	2,2	3,3	4,4	5,6	6,7	7,8	8,9	10,0	11,1	12,2	13,3	14,4	15,6	16,7	17,8	18,9	20,0	21,1	22,2
<b>10...-%</b>	23,3	24,4	25,6	26,7	27,8	28,9	30,0	31,1	32,2	33,3	34,4	35,6	36,7	37,8	38,9	40,0	41,1	42,2	43,3	44,4

**ШАГ-4.** По формуле  $k-VP = \sum YN : \sum IN$  определяем вегетативный коэффициент, указывающий на соотношение симпатической и парасимпатической активности функционально-вегетативной системы, и ставим функционально-вегетативный диагноз (табл.2.3).

**STEP-4.** According to the pattern  $k-VR = \sum YANG : \sum YIN$  define vegetative coefficient, which points to correlation of sympathetic and parasympathetic activity of functional-vegetative system, and state functional-vegetative diagnosis (tab.2.3).



Таблица 2.3

## Варианты ФВД

<b>k=BP</b>	<b>ФУНКЦІОНАЛЬНЕ ЗДОРОВ'Я (ФЗ) В СТАНІ:</b>
0,75 и <	<b>ЗНАЧНОГО ПРИГНІЧЕННЯ ПА</b>
0,76-0,86	<b>ВИРАЖЕНОГО ПРИГНІЧЕННЯ ПА</b>
0,87-0,94	<b>ФУНКЦІОНАЛЬНОЇ КОМПЕНСАЦІЇ ПА</b>
0,95-1,05	<b>ВЕГЕТАТИВНОЇ РІВНОВАГИ</b>
1,06-1,13	<b>ФУНКЦІОНАЛЬНОЇ КОМПЕНСАЦІЇ СА</b>
1,14-1,26	<b>ВИРАЖЕНОГО ЗБУДЖЕННЯ СА</b>
1,27 и >	<b>ЗНАЧНОГО ЗБУДЖЕННЯ СА</b>

Таким образом.

1.ФВД, вместо внешних источников питания, использует способность организма генерировать слабые токи во внешней замкнутой контур.

2.Показатели ФВД указывают на соотношение симпатической и парасимпатической активности функционально-вегетативного гомеостаза и дают сопоставимые при повторном тестировании результаты.

3.Диагностическая устойчивость ФВД обусловлена:

а) феноменами симметричной асинхронности репрезентативных ФАЗ и суммации их биоэлектрической активности;

б) биофизически идентичным тест-сигналом, не превышающим уровень мембранных потенциалов (1-5мкА; 0,03-0,6В)

в) уменьшением количества ФАЗ с 24 обособленных до 12 парных.

г) анализом относительных показателей ФВД.

4.Вегетативная суть ФВД обусловлена:

а) биофизической реальностью взаимозависимости между ФАЗ;

б) абсолютной идентичностью ЯН-ИНЬ синдромов с симпатической и парасимпатической активностью ВНС;

в) интегральным значением функционально-вегетативной оценки.

5.Нормативы ФВД разработаны на более чем достаточной статистической основе (14.403 наблюдений) и не имеют

Table 2.3

## Variants of FVD

<b>k=VE</b>	<b>FUNCTIONAL HEALTH (FH) IN THE STATE OF:</b>
0,75 and <	<b>SIGNIFICANT OPPRESSION OF PA</b>
0,76-0,86	<b>EXPRESSED OPPRESSION OF PA</b>
0,87-0,94	<b>FUNCTIONAL COMPENSATION OF PA</b>
0,95-1,05	<b>VEGETATIVE EQUILIBRIUM</b>
1,06-1,13	<b>FUNCTIONAL COMPENSATION OF SA</b>
1,14-1,26	<b>EXPRESSED EXCITATION OF SA</b>
1,27 and >	<b>SIGNIFICANT EXCITATION SA</b>

Hereby.

1.FVD, instead of external sources of power, uses the ability of organism to generate weak currents into external circuit.

2.Indexes of FVD point to the correlation between sympathetic and parasympathetic activity of functional vegetative homeostasis and provide comparable results during repeated examination.

3.Diagnostic stability of FVD is conditioned by:

a) phenomena of symmetric asynchronicity of representative FAZ and summation of their bioelectric activity;

b) the value of the diagnostic signal, which does not exceed the level of membrane potentials (1-5mcA; 0,03-0,6V);

c) decrease of the number of representative FAZ from separate 24 to paired 12;

d) analysis of comparable relative indexes.

4.Vegetative essence of FVD is conditioned by:

a) biophysical reality of the previously unknown functional-vegetative system;

b) direct relation of YANG-YIN syndromes of the traditional Zhenjiu therapy to vegetative homeostasis;

c) integral properties of systemic assessment of functional dependency.

5.Norms of FVD are developed according to significant statistical basis (14.403 observations) and have no age peculiarities

возрастных особенностей (ибо основой здоровья выступает функционально-вегетативная равновесие).

**6.** Функциональное здоровья детского населения экологично зависимо, выступает биоиндикатором места компактного проживания и формирует основу функционально экологической паспортизации населения.

**7.** Мониторинг вегетативного здоровья детей является основой современной функциональной диспансеризации и базовым фрагментом Программы "Двух этапная система реабилитации вегетативных нарушений у детей, проживающих в зоне радиационного контроля Украины" (выполняется по поручению Кабинета Министров Украины №12010 / 87 ).

**8.** Полученные нами результаты сегодня могут стать первой конкретным ответом Украины на её обязательства по реализации Европейской программы "Окружающая среда и здоровье детей" (СЕНАРЕ). Информация об этом умалчивается, хотя к международному проекту Украина присоединилась еще в 2007г.

(for the basis of practical health – functional-vegetative equilibrium).

**6.** Functional-vegetative child health is ecologically dependent, is a bioindicator of the habitat and is the basis of functional expertise of the regions of radiation (ecological) control.

**7.** Monitoring of vegetative health of children is the basis of the contemporary functional prophylactic medical examination and the basic fragment of the Program "Two-stage system of rehabilitation of child vegetative disorders, who live in the zone of radiation control of Ukraine" (provided according to the assignment of the Cabinet of Ministers of Ukraine №12010/87).

**8.** Available data can already become the first concrete answer of Ukraine to the commitments in the integration of the Children's Environment and Health Action Plan for Europe (СЕНАРЕ). The information about this has been suppressed, but Ukraine joined the international project in far 2007...





### 3-я проблема традиционной Чжень-цзю терапии

## ГИПОТЕТИЧЕСКИЕ ОСНОВЫ ЧЖЕНЬ-ЦЗЮ ТЕРАПИИ КАК ТЕОРЕТИЧЕСКАЯ ПРОБЛЕМА

### 3-th issue of traditional Zhenjiu Therapy

## HYPOTHETICAL BASES OF THE ZHENJIU THERAPY AS A THEORETICAL ISSUE

Понимание архаичных положений китайской Чжень-цзю терапии (основы "функциональной вегетологии") нам нужно для биофизического анализа её теоретической базы и экспериментального доказательства допущенных на протяжении веков ошибок. При этом обращаем внимание, что Восточная терапевтическая философия - это уникальная система сохранившихся знаний предыдущих цивилизаций, материалистическая суть которых только сейчас начинает осознаваться.

Давайте их рассмотрим и обратим внимание на специфическую логику и сложность построения теоретических концепций, которые скрыты за эзотерической простотой. И ещё раз вспомним традиционные символы акупунктурных каналов (табл.3.1), которыми будем постоянно оперировать.

Таблица 3.1

Традиционный канал	МАН *	ФН	Традиционный канал	МАН *	ФН
Легені	LU	P	Сечовий міхур	BL	V
Товстий кишковик	LI	GI	Нирки	KI	R
Шлунок	ST	E	Перикард	PC	MC
Селезінка - підшлункова залоза	SP	RP	Трійний об'єднувач	TE	TR
Серце	HT	C	Жовчний міхур	GB	VB
Тонкий кишковик	SI	IG	Печінка	LR	F

\*МАН - міжнародна номенклатура ВООЗ;  
ФН - її французький аналог.

Традиційна школа розглядає біологічну систему як Мікрокосмос, підпорядкований загальним принципам існування матерії (одні і ті ж закони регулюють внутрішню діяльність організму і енергоінформаційні потоки Всесвіту). При цьому

We need to understand the archaic positions of the Chinese Zhenjiu therapy the (basis of "Functional vegetology") for the biophysical analysis of its theoretical basis and experimental proof of the mistakes that were made throughout centuries. At the same time, it should be taken into account that Eastern therapeutic philosophy - is the unique system of the knowledge of the previous generations, materialistic essence of which we start to be aware of.

Let us observe them and pay attention to its specific logic and complexity of formation of theoretical concepts that are hidden behind comparatively esoteric simplicity. Additionally, let us remember the traditional symbols of acupunctural channels (tab.3.1) that we are going to use in the book.

Table 3.1

Traditional channel	IAN *	FN	Traditional channel	IAN *	FN
Lungs	LU	P	Urinary bladder	BL	V
Large intestine	LI	GI	Kidney	KI	R
Stomach	ST	E	Pericardium	PC	MC
Spleen - Pancreas	SP	RP	Triple energizer	TE	TR
Heart	HT	C	Gall bladder	GB	VB
Small intestine	SI	IG	Liver	LR	F

\*IAN - International Acupuncture Nomenclature (WHO);  
FN - its French analogue.

Traditional school observes biological system as a Micro universe, which is regulated by the general principles of existence of Matter (same laws regulate internal activity of an organism and power-informational fluxes of the Universe). At the same time, hypothetical interdepend-

гипотетическую взаимозависимость обеспечивают системы невидимых на теле человека акупунктурных точек и специфические "каналы циркуляции энергии ЧИ" (меридианы). Функциональная целостность гипотетической системы обусловлена архаичными концепциями и правилами, составляющими теоретическую основу Восточной терапевтической философии.

ence is maintained by the system of invisible on human body acupuncture points and specific "channels of QI "vital energy" circulation" (meridians). Functional unity of the hypothetical system is conditioned by archaic concepts and laws, which compose theoretical basis of the Eastern therapeutic philosophy.

**КОНЦЕПЦИЯ "У - СИН"  
(ТЕОРИЯ ПЯТИ ЭЛЕМЕНТОВ)**

**CONCEPTION "WU XING"  
(THEORY OF FIVE ELEMENTS)**

Первым принципиальным положением Восточной философии является идея о пяти первоэлементах (рис.3.2). Согласно традиционной философии, реальность Бытия символизируют Вода, Огонь, Металл, Земля и Дерево, взаимозависимость которых создает условия для возникновения множества материальных явлений в окружающей среде. Человек, как часть природы, зависит от общих законов её существования и по принципу функциональной упорядоченности каждый орган (система) сопоставим с определенным элементом.

First principle statement of the Eastern philosophy is the idea about five elements (fig.3.2). According to traditional philosophy Water, Fire, Metal, Earth and Wood symbolize the reality of Existence. Additionally, interdependence of these elements creates conditions for occurrence of a variety of material phenomena in the environment. Human being is a part of Nature, depends on general Laws of its existence, and according to the principle functional subordinacy every organ (system) is correlated to a certain Element.

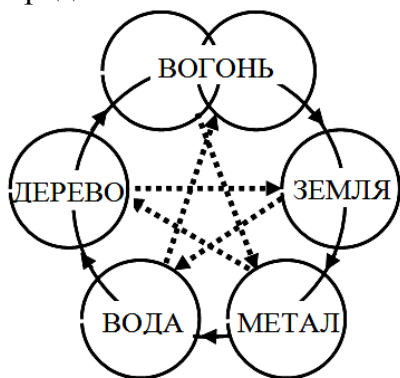


Рис.3.2 Традиционные Элементы

Между ними проходит постоянное взаимодействие, которое обеспечивает функциональную целостность организма. Эти взаимосвязи существуют в виде двух разнонаправленных сил: стимуляции (активация) и деструкции (угнетение) и формируют традиционные триады цикла ЗВЕЗДА (рис.3.3).

При этом характер стимулирующих

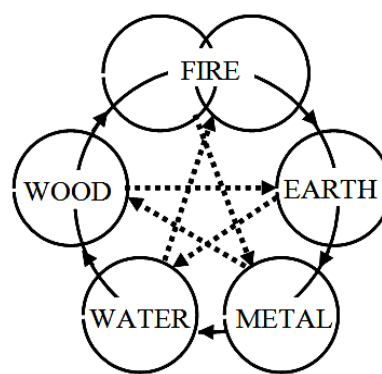
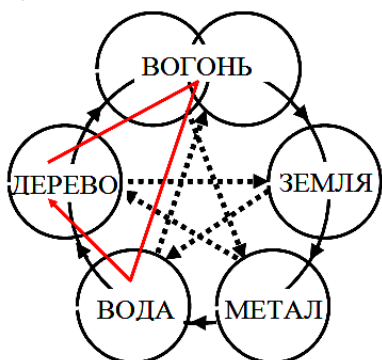


Fig.3.2 Traditional Elements

They are always in constant interaction, which maintains functional integrity of organism. This interaction is performed in the way of two differently directed forces: stimulation (activation) and destruction (inhibition), and form the traditional cycle of STAR. (fig.3.3).

At the same time the character of stimu-

связей в эмпирическом смысле представлен следующим образом: Вода дает жизнь Дереву, Дерево дает жизнь Огню, Огонь дает жизнь (образует пепел) Земле, Земля дает жизнь (рождает) Металл, Металл дает жизнь (добывает) Воде и так далее по циклу. То есть, начальная активность предыдущего элемента обуславливает следственную активность следующего.



Мал.3.3 Триады цикла ЗВЕЗДА

Чтобы понять традиционную взаимозависимость между Элементами рассмотрим любую последовательность из трех символов (триад), которые объединены двумя стимулирующими и одной деструктивной связями (рис.3.3).

Считается, что в отношении поврежденного элемента его предшественник будет ОТЦОМ (согласно направленности активирующих связей), а преемник - Сыном. Например, по отношению к элементу ДЕРЕВО (триада Вода-ДЕРЕВО-Огонь) элемент Вода будет одновременно ОТЦОМ элемента Дерево и ДЕДОМ элемента Огонь. Одновременно элемент Огонь по отношению к Дереву считается его сыном и внуком Воды, согласно направлению деструктивной связи (угнетение).

Теория утверждает, что коррекция функциональных нарушений по правилу ДЕД-ВНУК дает возможность комплексного использования связей активации и угнетения в указанной триаде.

Рассмотрим два примера.

1) Элемент Дерево унетён. Стимуля-

lating connections (that promote growth), in empirical understanding, are described in the following way: Water promotes Wood, Wood promotes Fire, Fire promotes Earth, Earth promotes Metal and Metal in turn promotes Water. Notably, activity of the previous element conditions consequent activity of the following element.

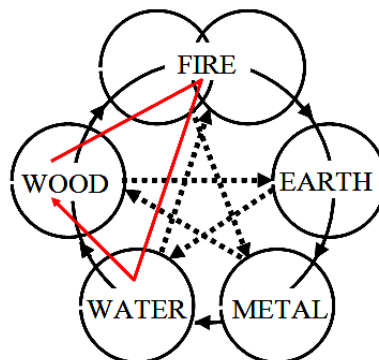


Fig. 3.3 Triads of the STAR Cycle

In order to understand traditional interdependence between the Elements, let us observe any sequence with three symbols (triads) that are combined by two stimulating and one destructive connection (fig.3.3).

It is considered, that in relation to the destructed element its predecessor will be FATHER (according to the direction of activating connections), and its successor - SON. For example, in relation to the element WOOD (triad Water-WOOD-Fire) element Water will be simultaneously FATHER of the element Wood and GRANDFATHER for the element Fire. At the same time element Fire, in relation to Wood is considered to be its Son and GRANDSON of Water, according to the direction of destructive connection (inhibition).

The theory states, that correction of functional disorders according to the principle GRANDFATHER-GRAND-SON gives the opportunity for the complex use of connections of activations and inhibition in the mentioned triad. Let us observe two examples.

1) **Element Wood – oppressed.** Stimu-

ция элемента ВОДА одновременно активирует элемент Дерево (возбуждение по правилу Отец Сын) и угнетает элемент Огонь (усиление деструктивной связи по правилу ДЕД-ВНУК). При этом угнетение Огня уменьшает его энергетическую потребность за счет элемента Дерево, что в свою очередь приводит к энергетическому накоплению в последнем.

2) Элемент Дерево возбужден. Угнетение активности элемента ВОДА обуславливает уменьшение энергоснабжения Дереву (по правилу Отец Сын) и возбуждение Огня (за счет уменьшения деструктивного воздействия по правилу ДЕД-ВНУК). При этом возбуждение элемента Огонь обуславливает угнетение элемента Дерево (по правилу Отец Сын).

3) Чрезмерное деструктивное влияние обуславливает угнетение активности зависимого Элемента по правилу ДЕД-ВНУК;

4) Ослабление деструктивное влияние обуславливает возбуждения активности зависимого Элемента по правилу ДЕД-ВНУК.

Согласно концепции У-СИН, взаимозависимость по правилу ДЕД-ВНУК существует в следующих триадах элементов: ВОДА-Дерево-Огонь, ДЕРЕВО-Огонь-Земля, ОГОНЬ-Земля-Металл, ЗЕМЛЯ-Металл-Вода и МЕТАЛЛ-Вода-Дерево. Следует подчеркнуть, что согласно традиционным законам глубокой циркуляции энергии (концепции ЧЖАН-ФУ, ИНЬ-ЯН, ЦЗИН-ЛО) указанные взаимосвязи отдельно существуют между органами (системами) ИНЬ и ЯН.

Чтобы проверить биофизическую реальность концепции У-СИН, необходимо ознакомиться с традиционным учением ЧЖАН-ФУ, в котором на месте пяти Элементов расположены соответствующие функциональные системы (акупунктурные каналы).

lation of the element Water simultaneously activates element Wood (excitation according to the principle Father-Son) and oppresses element Fire (increase of destructive connection according to the principle Grandfather-Grandson). At the same time, oppression of Fire decreases its energy needs at the expense of element Wood, which in its turn leads to energy accumulation in the latter.

2) **Element Wood – excited.** Oppression of activity of the element Water conditions the decrease of energy supply to the element Wood (according to the principle Father-Son) and excitation of Fire (at the expense of decrease of destructive influence, according to the principle Grandfather-grandson). At the same time, excitation of element Fire conditions oppression of the element Wood (according to the principle father-son).

3) Exceeding destructive influence conditions inhibition of the depending Element according to the principle GRANDFATHER-GRANDSON;

4) Weakened destructive influence conditions excitation of the activity of the depending Element according to the principle Grandfather-Grandson.

According to the conception WU XING, the described interdependence according to the principle Grandfather-Grandson exists in the following triads of elements: WATER-Wood-Fire, WOOD-Fire-Earth, FIRE-Earth-Metal, EARTH-Metal-Water and METAL-Water-Wood. It is necessary to note, that according to traditional laws of deep circulation of energy (ZANG-FU, YIN-YANG, JING-LUO) the mentioned interconnections exist separately between YIN and YANG organs (systems).

In order to review the biophysical reality of the conception of WU XING we need to get acquainted with the traditional doctrine of ZANG-FU, where, at the place of the Five elements, we find corresponding functional systems (acupunctural channels).

**КОНЦЕПЦИЯ ЧЖАН-ФУ  
(ТЕОРИЯ О ГЛАВНЫХ ОРГАНАХ)**

Вторым принципиальным положением Восточной философии является идея о Главных органах. Традиционная медицина идентифицировала с каждым элементом теории У-СИН конкретные органы человеческого тела. При этом отмечается, что органы являются функциональными структурами и находятся в динамично зависимом равновесии, в том числе с психической функцией.

Органы ЧЖАН относятся к системе ИНЬ, характеризуются плотностью, являются паренхиматозными и накапливают энергию (Легкие -LU, Селезёнка и поджелудочная железа -SP, Сердце -HT, Печень -LR и Почки -KI). К этой группе относится условный орган Перикард (PC), который вместе с сердцем (HT) контролирует кровообращение, дыхание и половую функцию (рис.3.4).

Органы ФУ относятся к системе ЯН. Они полые, предназначенные для приема пищи, всасывание и пищеварения, имеют пути контакта с внешней средой (Толстый кишечник-LI, Желудок-ST, Тонкий кишечник -SI, Желчный (GB) и Мочевой пузырь-BL). К этой же группе относят условный орган тройной обогреватель (TE), который объединяет функции органов грудной, брюшной и тазовой зоны.

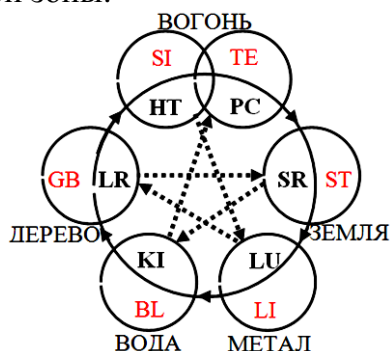


Рис.3.4 Соотношение Элементов и главных органов

ИНЬ и ЯН органы взаимосвязаны между собой законами цикла У-СИН. При этом их связи обусловлены специфическими каналами, образующими за-

**CONCEPTION "ZANG-FU"  
(THEORY OF MAIN ORGANS)**

The second principle position of the Eastern philosophy is the idea about the Main Organs. Traditional medicine identified every specific organ of human body with every element of the conception WU XING. At the same time, it is important to note, that the latter are functional structures and are in dynamic interdependent equilibrium, including psychic function.

ZANG organs are related to the system YIN, characterized with density, are parenchymatous and accumulate energy: (Lungs-LU, Spleen and Pancreas SP, Heart-HT, Liver-LR and Kidney-KI). To this group conventional organ Pericardium (PC) is also related, which together with Heart (HT) control circulation of blood, breathing, ability to work and sexual function (fig.3.4).

FU organs are related to the system YANG. They are hollow, receive and digest food, absorb nutrient substances, have tracts of direct contact with external environment: (Large intestine-LI, Stomach-ST, Small intestine-SI, Gall bladder-GB and Urinary bladder-BL). To this group also related conventional organ Lymphatic system, or triple energizer (TE), which combines functions of the organs of thoracic cavity, abdomen and hypogastrium.

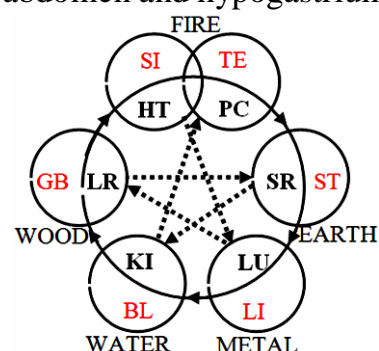


Fig.3.4 Correlation of Elements and Main Organs

YIN and YANG organs are correlated with each other by the laws of the cycle WU XING. At the same time, their connections are conditioned by specific channels

мкнутую систему энергетического обеспечения. В неё входят также системы не имеющие традиционной органной привязки: Передний срединный (CV), Задний срединный (GV), Перикард (PC) и лимфатический (TE) каналы.

that form closed system of energy supply of an organism. The system also includes functional systems that have no traditional organ linkage: [Front medial] Conception vessel (CV), [Rear medial] Governor vessel (GV), Pericardium (PC) and Lymphatic (TE) channels.

<b>Практические положения концепции ЧЖАН-ФУ</b>	<b>Practical positions of ZANG-FU conception</b>
---	--

Концепция ЧЖАН-ФУ указывает на зависимость Главных органов и является архаичной базой традиционных правил “Большой круг энергии ЧИ”, “Внутренние биологические часы”, “Мать-Сын”, “Дед-Внук”, “Полдень-Полночь”, “Левый-правый [Мужчина-женщина]”, “Спаренные каналы” и “Канальная энергетическая направленность”.

Thus, ZHANG-FU conception points out a specific interdependence of Main organs and is archaic theoretical basis for traditional laws (Big cycle of QI circulation, Internal biological clock, Mother-Son in the Big cycle, Grandfather-Grandson, Midday-midnight, Left-Right [Man-Woman], Paired channels and Channel energy direction).

Следует отметить, что указанные традиционные правила обусловлены специфической зависимостью между ИНЬ-ЯН группами Главных органов, голословно приняты “на веру” и используются в терапевтической практике. Указанные зависимости, согласно традиционным представлениям, обеспечивают динамическое постоянство ЯН-ИНЬ синдромов и взаимоотношение с окружающей средой. Для понимания их механизмов традиционная теория предложила концепцию энергии (ЧИ), систему акупунктурных зон и энергетических каналов (ЦЗИН-ЛЮ).

It should be noted, that the mentioned positions and traditional laws condition specifically detached dependency between YIN and YANG groups of Main organs, which were accepted by specialists without any proof and have been still used in therapeutic practice. The mentioned dependencies, according to traditional beliefs, provide dynamic stability of YANG-YIN syndrome and relationship with environment. In order to understand their mechanisms, traditional theory suggested the conception of energy (QI), system of acupuncture zones and energy (power) channels (meridians) (JING-LUO).

<b>КОНЦЕПЦИЯ "ИНЬ-ЯН" (ТЕОРИЯ ДИНАМИЧЕСКОГО РАВНОВЕСИЯ)</b>	<b>CONCEPTION "YIN-YANG " (THEORY OF DYNAMIC EQUILIBRIUM)</b>
---	---

Третьим важным положением Восточной философии является идея энергетической полярности, выраженная принципу ИНЬ-ЯН. С её позиции ИНЬ-ЯН это две взаимосвязанные противоположности, отражающие постоянную борьбу за гармонию (функциональное динамическое равновесие внутренней и внешней среды). При этом ЯН (мужское, активное и творческое начало) связан с

The third principle position of the Eastern philosophy is the idea of energy polarity, which is represented by the principle YIN-YANG. The position is the following: YIN-YANG are two interdependent antipodes, that reflects constant fight for harmony (functional dynamic equilibrium of external and internal environments). At the same time, YANG (masculine, active and creative source) related to the Sun, light



Солнцем, светом и жизнью, а ИНЬ (женское, пассивное, деструктивное) связан с Луной, темнотой и смертью.

Дуалистический принцип ИНЬ-ЯН распространяется на все стороны жизни и космические процессы, что необходимо для достижения устойчивой динамического равновесия во Вселенной.

По мнению древних теософов нарушение равновесия ведет к функциональной патологии. Последняя выражена в преобладании ИНЬ или ЯН синдрома (то есть процессов угнетения или возбуждения). Любой уровень возбуждения органа относят к состоянию ЯН, а угнетение - к ИНЬ.

Исходя из принципа сохранения динамического равновесия, восточные терапевты оценивают ИНЬ-ЯН синдром и восстанавливают нарушенную гармонию, которая по современным представлениям является проявлением вегетативной равновесия (гомеостаза). На практике концепцию ИНЬ-ЯН и сегодня используется в различных диагностических техниках (пульсовая диагностика) и методах акупунктурной коррекции.

По большому счёту Восточная философия не противоречит современным представлениям о принципах организации живого. Ей присущ холистический (англ. Whole - целый) подход, рассматривающий человека в неразрывном единстве внешних и внутренних взаимосвязей, который отражен в Великой монаде (греч. Monados - единица; рис.3.5).



Рис.3.5

Монады в философии Лейбница и древнекитайской Тай-Цзи-Ту символизируют первоэлемент всего сущего.

Зашифрованные в них закономерности, с точки зрения научной методологии, отражают единство и борьбу противоположностей, переход количественных изменений в качественные (и наоборот), сохранения энергии и вещества, теорию относительности и концепцию голографического построения Все-

and life and YIN (feminine, passive, destructive) related to the Moon, darkness and death.

Dualistic principle of YIN-YANG covers all spheres of life and universal processes, which is necessary for obtaining of stable equilibrium in constantly changing Universe.

According to ancient theosophists, disorder of equilibrium leads to functional pathology. The latter is represented as preference either YIN or YANG syndrome (i. e. in prevalence of processes of oppression or excitation). Any state of excited organ is related to YANG, and oppressed – to YIN.

Eastern therapists estimate YIN-YANG syndrome according to the principle of dynamic equilibrium and recover the disordered harmony, which according to the contemporary conception is the display of vegetative equilibrium (homeostasis). In practice, ideology of the conception YIN-YANG is still being used in various diagnostic techniques (pulse diagnostics) and methodology of acupuncture correction.

In principle, traditional Eastern philosophy does not contradict modern conceptions of universal principles of organization of Alive. It possesses holistic approach, which observes human being as the unity of internal and external relations and reflected in Big Monad (from Greek μονάς monas, "unit"; fig.3.5).



Fig.3.5

In Leibniz philosophy monads and old-Chinese TAIJITU symbolize the primary element of Existence.

The encrypted, in them, energy laws (from the point of view of general methodology) are adequately interpreted as integrated expression of laws of unity and struggle of the opposites, the whole and the part, transition of quantitative changes to qualitative (and vice versa), preservation of energy and substance, theory of relativity

ленной. Монаду можно интерпретировать и как графическую модель волнового процесса, динамика которого (ИНЬ-ЯН, угнетение-возбуждение) присуща природным явлениям независимо от среды их организации.

**Практические положения концепции ИНЬ-ЯН** отражает правило спаренных КАНАЛЫ (рис.1.6).

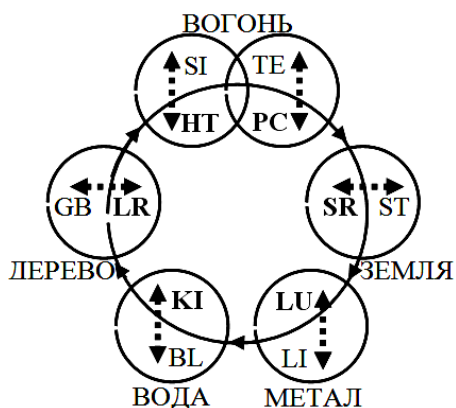


Рис.1.6

Это ИНЬ-ЯН комплексы в виде функциональных групп LU-LI, SP-ST, PC-TE, LR-GB и KI-BL. Специфическая активность каждого комплекса заключается в двух часовой асинхронной (контрастно-противоположной) зависимости между парными функциональными системами.

and conception of holographic composition of Universe. Monads can be interpreted also as holographic model of wave process, dynamics of which (YIN-YANG, oppression - excitation) is inherent in natural processes, independently from the environment of their organization.

**Practical positions of the conception YIN-YANG** (fig.1.6). is used as the laws of PAIRED CHANNELS (meridians).

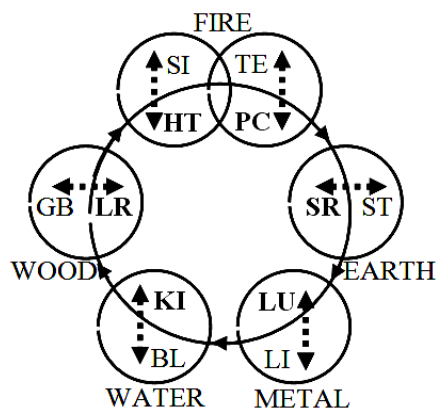


Fig.1.6

These are yin-yang complexes represented in the form of functional groups LU-LI, SP-ST, PC-TE, LR-GB i KI-BL. Specific activity of every complex consists in two-hour asynchronous (contrast-opposite) dependency between paired functional systems.

**КОНЦЕПЦИЯ "ЧИ" (ТЕОРИЯ ЭНЕРГЕТИЧЕСКОГО ОБЕСПЕЧЕНИЯ)**

Четвёртым важным положением Восточной философии является идея энергии ЧИ, которая традиционно считается тонкой энергией внутренних органов, формирует клеточные структуры организма. Индийские трактаты называют её Праной и указывают на источник - Солнечное излучение неощутимого нами спектра. Большой толковый словарь китайских иероглифов приводит 30 значений ЧИ и представляет её универсальным активатором энергоинформационных принципов организации Природы.

Таким образом, древние материалисты признавали природные источники

**CONCEPTION OF "QI" (THEORY OF ENERGY SUPPLY)**

The fourth principle position of the Eastern philosophy is the idea of energy QI (vital energy), which is traditionally considered being the energy of internal organs that forms cellular structures of organism. Ancient Indian treatises call it Prana and specify its source – Solar radiation of imperceptible spectrum. The Glossary of Han (Chinese) characters provides 30 meanings of energy QI and represents it as the universal activator of power-informational principles of organization of Nature.

Thus, ancient materialists recognized natural sources of energy, major of which

энергии, главными из которых считали "энергию Вселенной, воздух и питание". При этом имели в виду не орган, а системно-функциональное влияние ...

were considered "energy of Universe, air and nutrition". At the same time, they meant not organ, but system-functional influence ...

**Практические положения концепции "ЭНЕРГИЯ ЧИ"**

**Practical positions of the conception "ENERGY QI"**

Философская сторона теории, к сожалению, не заинтересовала современных "рефлексотерапевтов". И они слепо используют в практике положение о "циркуляции энергии ЧИ по большому кругу" (LU-LI-ST-SP-HT-SI-BL-KI-PC-TE-GB-LR-LU) и соответствующее правило МАТЬ-СЫН (рис.3.7).

Unfortunately, contemporary followers of the traditional trend are not interested in philosophical part of the theory. They blindly use in their practice the principles of circulation of energy QI through the Big Cycle (LU-LI-ST-SP-HT-SI-BL-KI-PC-TE-GB-LR-LU) and the corresponding rule MOTHER-SON (fig.3.7).

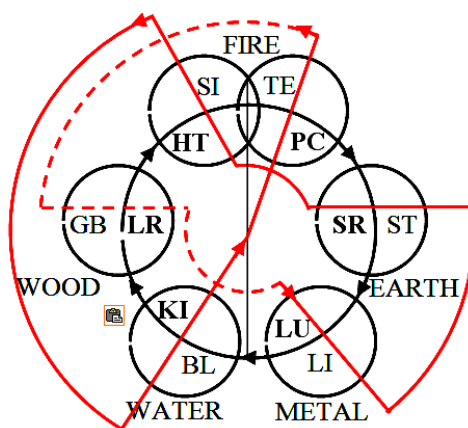
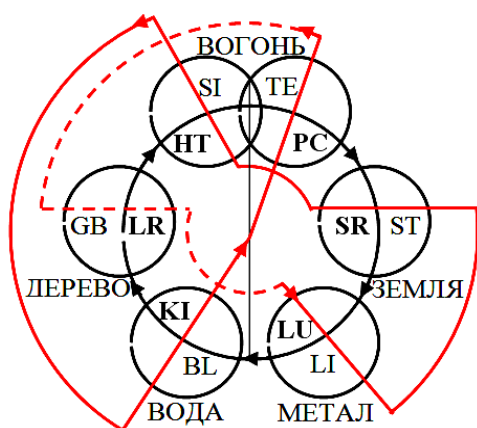


Рис.3.7 Большой круг циркуляции энергии ЧИ

Fig.3.7 Big Cycle of energy QI circulation

Принимают во внимание, что энергетика спаренных каналов подчинена двухчасовому биологическому ритму и характеризуется последовательностью максимальной и минимальной активности (Внутренний биологические часы) ...

They take into consideration, that energy of complexes of paired channels is subordinated to the two-hour biological rhythm and is characterized by sequence of maximal and minimal activity (Internal biological clock)...

Верят, что в переднем (CV) и заднем (GV) срединных каналах энергия всегда движется снизу вверх, в первом случае регулируя энергию всех ЯН, а во втором всех ИНЬ каналов. При этом энергетический дисбаланс на физическом уровне возникает вследствие нарушения синхронной активности меридианов и обуславливает патологию.

They believe that within front (CV) and rear (GV) medial channels energy always moves in down-up direction, in the first case regulating the energy of all YANG, and in the second – of all YIN channels. At the same time, power (energy) disbalance at physical level appears as the result of disorder of synchronous activity of meridians and conditions pathology.

**КОНЦЕПЦИЯ ЦЗИН-ЛО (ЗОНЫ И ЭНЕРГЕТИЧЕСКИЕ КАНАЛЫ)**

**CONCEPTION "JING LUO" (ZONES AND ENERGY CHANNELS)**

Пятым положением Восточной философии является идея о акупунктурных

The fifth principle position of the Eastern philosophy is the idea of acupunctural

зоны и объединяющие их акупунктурных каналах (меридианах). Традиционная теория для каждого акупунктурного канала выделяет группу стандартных пунктов, отражающих и корректирующих их функциональное состояние. Это точки канала входа и выхода, угнетения, активации, пособиики (Ю-пункты), сочувствующие (Шу-пункты), тревоги (Мо-пункты) и противоболевые.

Практическое значение в акупунктурной практике имеют стабилизирующие зоны (Ло-пункты), которые являются вторичными каналами связи между спаренными (ИНЬ-ЯН) каналами и групповые Ло-пункты. Они контролируют энергетическое равновесие в отдельных группах каналов.

Расположены по конкретной схеме, они отличаются от смежных участков своими динамическими и функциональными особенностями ...

**Энергетические каналы (меридианы).** Согласно традиционным представлениям, ЧИ (жизненная сила, энергия, жизненные соки, кровь и т.д.) циркулирует по организму всегда в одном направлении и за 24 часа последовательно проходит по каждому каналу и органа. При этом каждый орган имеет свою ЧИ, как выражение обмена и функции в конкретный момент времени.

Традиционную суть эмпирического учения о энергетических каналах (меридианах) представляет современная монография Хоанг-Бао-Тяу и Ла-Куанг-Ниеп (Иглоукалывание [перевод с вьетнамского] / М., 1988, 672с). Современные адепты утверждают

"Скрупулёзные наблюдения за активностью организма позволили в прошлом обнаружили систему непонятных до сих пор каналов, которые локализируются на поверхности и в глубине тела и обеспечивают циркуляцию гипотетической энергии ЧИ (табл.3.8) ... Она включает в себя 12 главных меридианов, 12 вторичных и 8 необычных (чудесных).

zones and acupunctural channels (meridians) that connect them. Traditional theory for every acupunctural channel distinguishes the group of standard points that reflect and correct specific functional state. These are points of channel entry and exit, oppression, activation, accomplices (ju-point), sympathizers (shu-points), alert (mo-point) and analgesic.

In addition, practical meaning in acupunctural practice have stabilizing zones (luo-points), that are secondary channels of connection between paired (YIN-YANG) channels, and group stabilizing zones (group luo-points). They control equilibrium of energy in separate groups of functional channels.

Located according to specific scheme, they differ from adjacent parts by their dynamic and functional peculiarities ...

**Energy channels (meridians).** According to traditional idea, QI (vital energy, vital juices, blood etc.) circulate through organism always in one direction and in 24 hours sequentially passes every channel and organ. At the same time every organ has its own qi, as the demonstration of exchange and function in every specific moment.

Traditional essence of empirical studies of energy channels (meridians) represents the monographs Hoang Bao Tyau and La Kuang Niep (Acupuncture [translation from Vietnamese] / Moscow, 1988). Modern followers of the Eastern therapeutic philosophy state that:

"Scrupulous observations of organism activity allowed finding in the past the system of unknown channels, which are located on the surface and inside the body and maintain circulation of hypothetical energy QI (tab.3.8)... It includes 12 main meridians, 12 secondary and 8 extraordinary (wonderful).

Таблица 3.8

ТРАДИЦІЙНА СИСТЕМА МЕРИДІАНІВ І КОЛАТЕРАЛЬНИХ ЛІНІЙ			
СИСТЕМА МЕРИДІАНІВ	ОСНОВНІ	ПОДОВЖНІ	12 ГОЛОВНИХ (ПРОХОДЯТЬ МІЖ М'ЯЗАМИ ВЗДОВЖ ТІЛА); 12 ЇХ ВІДГАЛУЖЕНЬ; 8 ЧУДЕСНИХ.
		ВТОРИННІ	15 ВТОРИННИХ СЕРЕДНІ, МІЛКІ, ПОВЕРХНЕВІ МІЛКІ ВІДГАЛУЖЕННЯ ВТОРИННИХ МЕРИДІАНІВ
	ДОПОМІЖНІ	СЕРЕДИННІ	ВНУТРІШНІ ОРГАНИ, ЗВ'ЯЗАНІ З МЕРИДІАНАМИ
		ЗОВНІШНІ	12 СУХОЖИЛЬНИХ І 12 ШКІРНИХ ЗОН ІНДИВІДУАЛЬНИЙ ЗВ'ЯЗОК З ОДНИМ З ГОЛОВНИХ МЕРИДІАНІВ

Не отстают от традиционного творчества и современные "специалисты - рефлексотерапевты". Сегодня описаны так называемые "мини акупунктурные системы (МАС)" скальпа (MS), ушной раковины (МА), ладони и ступни (Су Джок), ротовой и носовой полостей и (!) Влагалища ... А в каждой МАС находят еще более мелкие "микро акупунктурные" системы. Как, например, принять на веру сообщение, что "МАС ладони содержит в себе *биоэмбриоинформационную* систему ECIWO, представленную второй пястной кости" (выделено нами) ...

Разработана международная акупунктурная номенклатура (МАН), которой ВОЗ предлагает пользоваться "с целью единого современного понимания теории и практики рефлексотерапии". При этом обращает на себя внимание её рекомендации, согласно которым "... одной из основ медицины на современном этапе должны стать электропунктурная диагностика и рефлексотерапия" (Международное совещание ВОЗ по традиционной медицине, Ереван, 19-21.09.2003).

И не видно конца "научному творчеству современных рефлексотерапевтов". При этом никого не смущает отсутствие доказательности теоретической и практической базы Восточной терапевтической философии, а отдельные критические работы дружно замалчиваются ...

По мнению восточных адептов, ме-

Table 3.8

TRADITIONAL SYSTEM OF MAIN MERIDIANS AND COLLATERAL LINES			
SYSTEM OF MERIDIANS	MAIN MERIDIANS	LONGITUDINAL MERIDIANS	12 MAIN MERIDIANS, THAT ARE BETWEEN MUSCLES ALONG THROUGH THE BODY; 12 BRANCHES OF MAIN MERIDIANS, 8 EXTRAORDINARY MERIDIANS.
		SECONDARY MERIDIANS	15 COLLATERAL (SECONDARY) MERIDIANS. MEDIUM, SMALL AND SURFACE SMALL BRANCHES OF MAIN SECONDARY MERIDIANS
	AUXILIARY	MEDIAL MERIDIANS	INTERNAL ORGANS, INSEPARABLY CONNECTED WITH MERIDIANS
		EXTERNAL MERIDIANS	12 TENDINOUS MERIDIANS AND 12 SKIN ZONES INDIVIDUAL CONNECTION WITH ONE OF MAIN MERIDIANS

Contemporary "specialists – reflex therapists" are also creative in traditional ideas. Today described the so called "*mini* acupunctural systems (MAS)" of scalp (MS), internal auricle (MA), palm and foot (Su Jok), oral cavity and nasal cavity, vagina (!) etc... And, in the center of every MAS are much smaller "*micro* acupunctural" systems. For instance, how shall we view the statement, that "MAS of hand contain *bioembryoinformational* system ECIWO, represented by the second wrist bone" (italicized by us)...

Elaborated even international acupuncture nomenclature (IAN), which is proposed by WHO in order to provide "the only modern understanding of theory and practice of reflex therapy (acupuncture)"... At the same time, we should take into account the recommendation, according to which "electropunctural diagnostics and reflex therapy must be among all other the bases of medicine at modern stage" (International conference of WHO on traditional medicine, Yerevan, 19-21.09.2003).

There is no end to be seen in the creativeness of contemporary reflex therapists. At the same time, no one cares about the absence of proofs of theoretical and practical base of the Eastern therapeutic philosophy, and single critical works are friendly ignored or suppressed...

According to the ideas of the Eastern

ридианы в совокупности создают сеть путей по которым циркулирует “энергия и кровь”. Их оборот в 12 главных меридианах выглядит следующим образом:

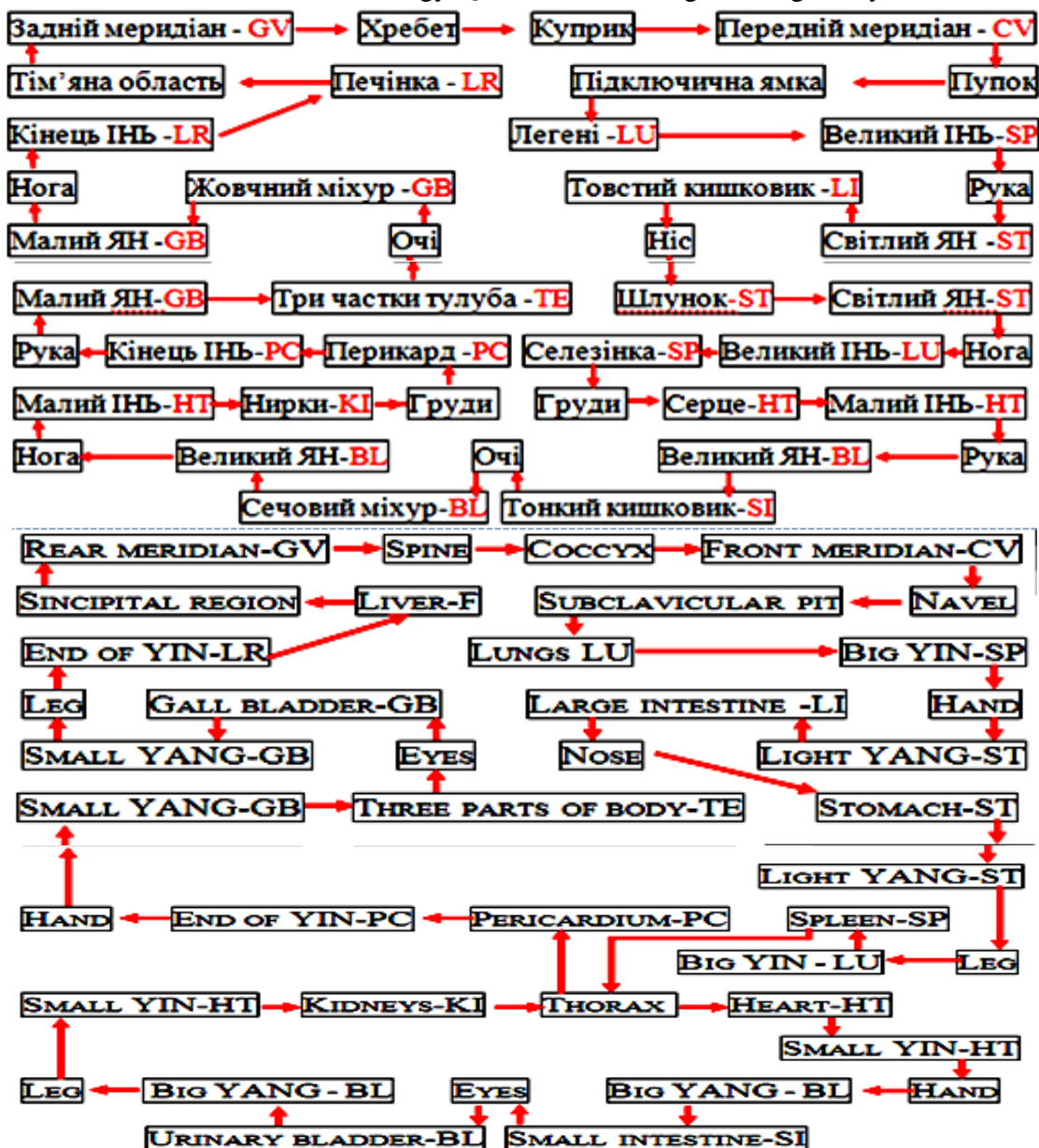
- 1) в трёх ручных ИНЬ меридианах от плотных органов к ладони;
- 2) в трёх ручных ЯН меридианах от ладони к голове;
- 3) в трёх ножных ЯН меридианах от головы до ступни;
- 4) в трёх ножных ИНЬ меридианах от ступни к животу и груди (табл.3.9) ...

adepts, meridians, in their totality, create a network of tracts, through which energy and blood circulate. Their circulation in 12 main meridians may be described in the following way:

- 1) in three hand YIN meridians from dense organs to palm;
- 2) in three hand YANG meridians from palm to head;
- 3) in three leg YANG meridians from head to foot;
- 4) in three leg YIN meridians from foot to abdomen and thorax (tab.3.9)...

Таблица 3.9 Table 3.9

Традиционная схема циркуляции энергии и в биологической системе  
Traditional scheme of energy QI circulation thought biological system.



## "КАРТА-СХЕМА" ТРАДИЦИОННЫЕ ОСНОВЫ ЧЖЕНЬ-ЦЗЮ ТЕРАПИИ

Для ориентации в архаических концепциях Восточной философии и её практических положениях мы разработали на теоретической основе У-СИН, ИНЬ-ЯН, ЧЖАН-ФУ, ЧИ и Цзин-ЛО "Карту-схему традиционных основ Чжень-цзю терапии". Её структура даёт визуальную возможность понять и запомнить архаичную логику гипотетических связей и правил (рис.3.10).

1) На Карте выделено пять кругов-элементов (Огонь-Земля-Металл-Вода-Дерево) объединённых между собой общим большим кругом. Большой круг разделяет каждый элемент на две половины (внутреннюю и внешнюю), которые разделяют пары функциональных каналов по принципу ИНЬ-ЯН.

Группа каналов в середине круга относится к системе Инь (LU-SP-PC-HT-LR-KI). Вторая часть расположена за кругом и относится к системе Ян (LI-ST-TE-SI-GB-BL).

2) Вертикаль, делящая Большой круг и элемент Огонь на левую и правую половины, указывает на соотношение между группами каналов по правилу "Левый-правый (мужчина-женщина)". Для наглядности в центре есть "символ ладони" и три широкие стрелки, которые указывают на контрастно-противоположную (асинхронную) связь между отдельными парами каналов. Указанные связи взаимно противоположны и относятся к отдельным парам ИНЬ-ИНЬ (SP-LR, LU-HT, KI-PC), или ЯН-ЯН (ST-GB, LI-SI, BL-TE).

3) Символы Элементов (малые круги) содержат информацию о ИНЬ-ЯН комплексах, в которых применяют правило СПАРЕННЫЕ КАНАЛЫ: ЗЕМЛЯ (SP-ST) МЕТАЛЛ (LU-LI) ВОДА (KI-BL) ДЕРЕВО (LR-GB). Исключением выступает элемент ОГОНЬ, разделённый большим кругом и вертикальной линией на четыре части (в левой половине расположена

## "MAP-SCHEME" OF TRADITIONAL BASES OF ZHENJIU THERAPY

For orientation in archaic conceptions of the Eastern philosophy and its practical positions we elaborated on theoretical basis of WU XING, YIN-YANG, ZANG-FU, QI and JING LUO "Map-scheme of traditional bases of Zhenjiu therapy." Its structure gives a visual possibility to understand and remember archaic logic of hypothetical connections and rules (fig.3.10).

1) There are five cycle-Elements distinguished in the Map (Fire-Earth-Metal-Water-Wood) connected between each other by general big cycle. The Big cycle divides every Element into two parts (internal and external), that divide pairs of functional channels according to the principle YIN-YANG.

Group of channels inside the cycle is related to the system YIN (LU-SP-PC-HT-LR-KI). Second part, which is located outside the cycle, is related to the system YANG (LI-ST-TE-SI-GB-BL).

2) Vertical line, which divides the Big cycle and the element Fire into left and right parts, points out the correlation between groups of channels according to the rule Left-Right (Man-Woman). For clear demonstration, there are palms and three wide arrows in the center, which show the contrast-opposite connection between separate pairs of channels. According to the theory, the influences are mutually opposite, simultaneous and pertain to separate pairs YIN-YIN (SP-LR, LU-HT, KI-PC), or YANG-YANG (ST-GB, LI-SI, BL-TE).

3) Symbols of Elements (small cycles) contain information about yin-yang complexes, to which the rule PAIRED CHANNELS is imposed (EARTH=SP-ST; METAL=LU-LI; WATER=KI-BL; WOOD=LR-GB). Exception is the element FIRE, divided by the Big cycle and vertical line into four parts (in the left part the pair of channels LI

пара каналов SI-HT, в правой TE-PC). К ним также применяется правило СПА-РЕННЫЕ КАНАЛЫ.

and HT is located, in the right part - TE and PC). The rule PAIRED CHANNELS is also imposed to them.

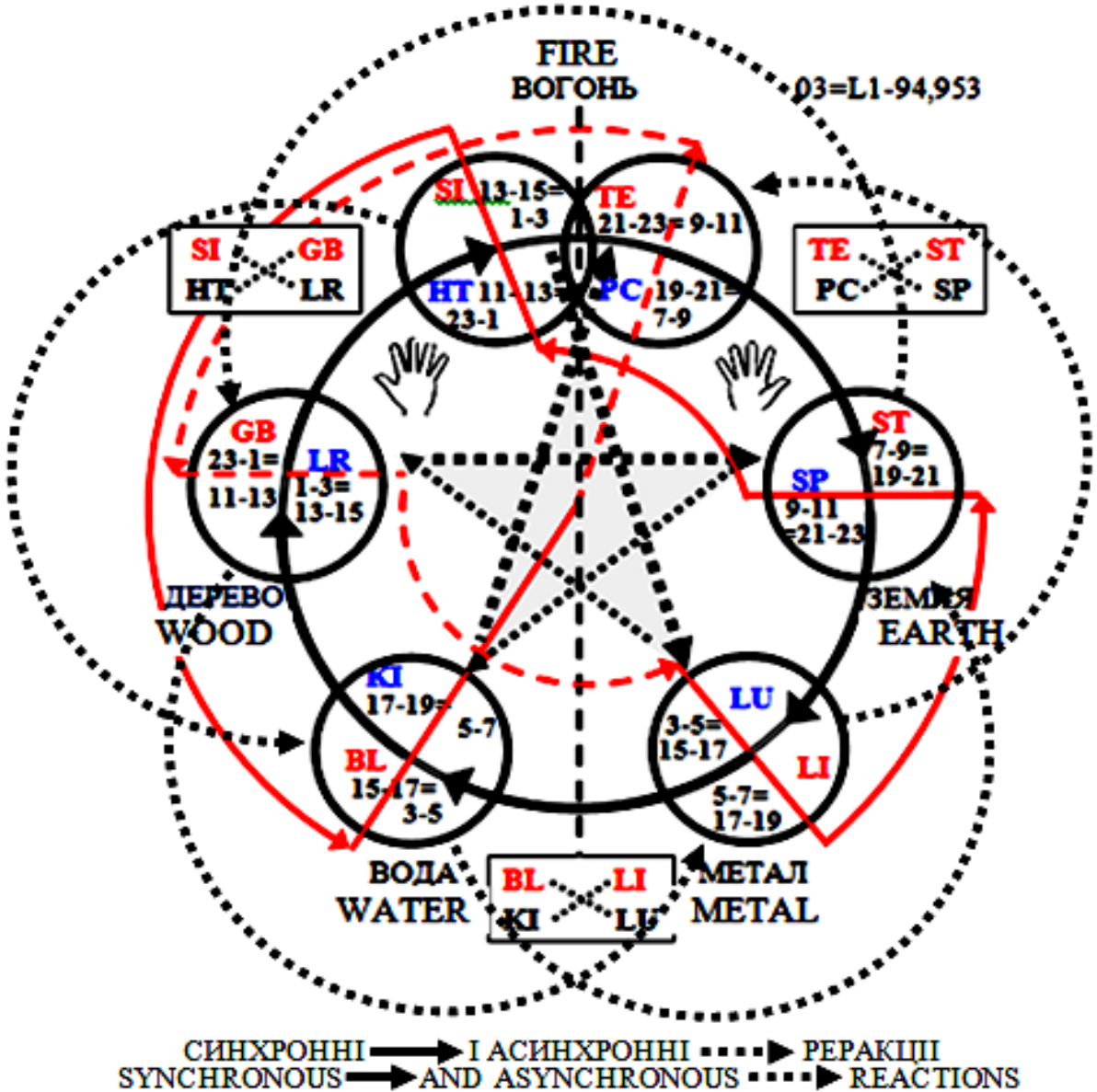


Рис.3.10 Карта-схема традиційних основ Чжень-цзю терапії (по В.Макацу)  
Fig.1.10 Map-scheme of traditional bases of Zhenjiu therapy

4)В половинках каждого Элемента размещена информация о названии канала и периоды его "максимально-минимальной" активности [например, Элемент ВОДА (KI 17-19 = 5-7; BL 15-17 = 3-5; смотри правило Внутренние биологические часы)]. Срок максимальной активности каждого канала одновременно указывает на срок минимальной активности противоположного канала по правилу ПОЛДЕНЬ-ПОЛНОЧЬ, а срок ми-

4)Within the parts of every Element, you can see the name of channel and the periods of its "maximal=minimal" activity [for example, Element WATER (KI 17-19=5-7; BL 15-17=3-5; see the rule Internal biological clock)]. The term of maximal activity of every channel simultaneously shows the term of minimal activity of the opposite channel according to the rule MIDDAY-MIDNIGHT, and the term of minimal activity, is vice versa – shows maximal.



нимальной, наоборот, - на максимальной.

5) Сплошная ломаная линия через каналы LU-LI-ST-SP-HT-SI-BL-KI и пунктирная через PC-TE-GB-LR-LU указывают на большой круг традиционной энергетической циркуляции (продолжительность цикла 24 часа, с двухчасовой максимальной активностью в каждом канале). С ним связаны традиционные правила МАТЬ-СЫН (по большому кругу), СПАРЕННЫЕ КАНАЛЫ (в кругах Элемент) и внутренние биологические часы.

6) Черными пунктирными стрелками ЗВЕЗДЫ указаны асинхронные связи угнетения (деструкции), которые действуют по законам глубинной циркуляции энергии между отдельными каналами ИНЬ-ИНЬ или ЯН-ЯН по правилу ДЕД-ВНУК (LU-LR ... LI-GB; KI-PC ... BL-TE; LR-SR ... GB-ST; HT-LU ... SI-LI). Толстые пунктирные стрелки ЗВЕЗДЫ дополнительно указывают направление асинхронного (контрастно-деструктивного) воздействия по правилу ЛЕВЫЙ-ПРАВЫЙ (мужчина-женщина) между отдельными каналами группы ИНЬ (KI-PC, LR-SP, HT-LU), или ЯН (BL-TE, GB-ST, SI-LI).

7) В трех прямоугольниках между кругами Элементами перекрещенные пунктирные линии указывают на пары контрастно-противоположных каналов по правилу ПОЛДЕНЬ-ПОЛНОЧЬ (SI-LR, GB-HT; TE-SP, ST-PC; BL-LU, LI-KI). К указанным связям имеют отношение каналы, расположенные в соответствующих Элементах справа и слева от прямоугольников.

8) Внешние пунктирные линии в виде лепестков указывают на традиционную взаимозависимость по правилу "Против угнетения".

Разработанная Карта-схема дает возможность оперативно ориентироваться в архаических основах теории и практики традиционной Чжень-цзю терапии ...

5) The unsplit curve through the channels LU-LI-ST-SP-HN-SI-BL-KI and dotted line through PC-TE-GB-LR-LU point out the Big Cycle of traditional energy circulation (duration of the cycle is 24 hours, with two-hour maximal activity within every channel). Traditional rules MOTHER-SON (through the Big cycle), PAIRED CHANNELS (in cycles-Elements) and INTERNAL BIOLOGICAL CLOCK are connected with it.

6) Black dotted arrows of the STAR show asynchronous connections of oppression (destruction), which act according to the laws of deep circulation of energy between separate channels YIN-YIN or YANG-YANG according to the rule GRANDFATHER-GRAND-SON (LU-LR ...LI-GB; KI-PC...BL-TE; LR-SR...GB-ST; HT-LU...SI-LI). Bold dotted arrows of the STAR additionally show the direction of asynchronous (contrast-destructive) influence according to the rule LEFT-RIGHT (MAN-WOMAN) between separate channels of the group YIN (KI-PC, LR-SP, HT-LU), or YANG (BL-TE, GB-ST, SI-KI).

7) In three rectangles between cycles-Elements crossed dotted lines that show the pairs of contrast-opposite channels according to the rule MIDDAY-MIDNIGHT (SI-LR, GB-HT; TE-SP, ST-PC; BL-LU, LI-KI). To the mentioned connections have relation channels that are located in corresponding Elements in the right and left from the rectangles.

8) External dashed lines in the form of leaves point to the traditional interdependency according to the rule "Anti oppression".

The elaborated Map-scheme gives the ability for quick self-orientation in archaic bases of theory and practice of traditional Zhenjiu therapy ...

**Вывод.** Мы далеки от огульной критики эмпирических положений хотя и признаем, что сразу принять на веру всё вышесказанное трудно. Но сегодня есть веские аргументы считать гипотетическую акупунктурную систему биофизической реальностью. При этом заметим, что обнаруженные нами феномены, их логическая упорядоченность и чрезвычайная сложность системной взаимозависимости свидетельствуют, скорее всего, о сплошном пакете доисторических знаний предыдущих цивилизаций, полученных и сохранённых в эмпирической форме нашими китайскими Учителями .

А если все вышесказанное действительно реально, но не совсем так, как нас продолжают учить?!

Давайте приступим к неблагодарной, но крайне необходимой работе - биофизической ревизии традиционных положений китайской Чжень-цзю терапии.

**И пусть наступит час Истины!**

**CONCLUSION.** We are far from ungrounded criticism of empirical positions, however we admit that to take everything above as truth is rather hard. But today, there are significant arguments to consider the hypothetical acupunctural system being a biophysical reality. At the same time, the discovered phenomena, their logical order and extreme complexity of systemic interdependency testify rather to the entire layer of prehistoric knowledge of the previous civilizations, received and saved in empirical form by our Chinese Teachers...

What if everything above stated is truth, but not in the way we are being taught?!

Let us, at first, start with ungrateful but very important work – biophysical revision of traditional positions of Chinese Zhenjiu therapy...

**LET THE TIME OF VERITY COME!**



**ТЕОРЕТИЧЕСКИЕ ПРОБЛЕМЫ  
"ФУНКЦИОНАЛЬНОЙ ВЕГЕТОЛОГИИ" И  
ТРАДИЦИОННОЙ "ЧЖЕНЬ-ЦЗЮ ТЕРАПИИ"**

**THEORETICAL ISSUES OF "FUNCTIONAL  
VEGETOLOGY" AND THE TRADITIONAL  
"ZHENJIU THERAPY"**

*Сегодня традиционная Чжень-цзю терапия стоит перед ревизией собственной теоретической и практической базы и причины для её проведения более чем весомые.*

*Во-первых, пользоваться в начале III-го тысячелетия эмпирической теоретической базой Восточной терапевтической философии некорректно (западные специалисты её не понимают, не воспринимают и не используют)...*

*Во-вторых, работами школы профессора В.Г.Макаца (Украина, Винница) создана база для инновационного прорыва в направлении нетрадиционной терапии.*

*В частности:*

*- Разработана методология идентификации акупунктурных каналов и доказана их биофизическая реальность,*

*- Установлено непосредственное отношение Чжень-цзю терапии к вегетативному гомеостазу человека,*

*- Экспериментально показано теоретические и практические ошибки гипотетических положений Чжень-цзю терапии,*

*- Открыты неизвестные ранее биофизические феномены и функционально-вегетативные Законы (системно-комплексная взаимозависимость, парадоксальные патогенетические реакции, вегетативная Матрица Живого ...),*

*- Разработаны основы функционально-вегетативной диагностики по зонам акупунктуры (которая не имеет аналогов, производится без использования традиционных источников тока и даёт сопоставимые результаты при повторных обследованиях),*

*- И, наконец, открыта "Функционально-вегетативная система человека", в основе которой лежит биофизическая реальность "акупунктурных каналов" и "традиционных точек акупунктуры".*

Обучение начнем с базового вопроса:  
"БИОФИЗИЧЕСКАЯ РЕАЛЬНОСТЬ (ИДЕНТИФИКАЦИЯ) ТРАДИЦИОННЫХ АКУПУНКТУРНЫХ КАНАЛОВ".

*Today the traditional Zhenjiu faces the revision of its own theoretical and practical basis, and the reasons for it are quite significant.*

*First of all, it is incorrect to use the empirical theoretical basis of the Eastern therapeutic philosophy (the western experts do not understand it, do not perceive it and do not use it)...*

*Second, the works of the school of professor Makats V.G. (Ukraine, Vinnytsia) have composed the basis for the innovational breakthrough in the trend of non-traditional therapy, such as:*

*- elaborated methodology for the identification of acupunctural channels, with biophysical proofs;*

*- identified direct relation of Zhenjiu therapy to the human vegetative homeostasis;*

*- experimentally proved the theoretical and practical mistakes of the hypothetical positions of Zhenjiu therapy;*

*- discovered a range of previously unknown biophysical phenomena and functionally-vegetative Laws (systemic-complex interdependency, paradoxical pathogenic reactions, vegetative Matrix of the alive...);*

*- elaborated the bases of functional-vegetative diagnostics according to the laws of acupuncture (which has no analogues, is used without the traditional sources of power and provides analogical results after repetitive examinations);*

*- finally, discovered "Human functional-vegetative system", which is based on the biophysical reality of "acupunctural channels" and "traditional points of acupuncture".*

Let us start our studying from the basic issue:  
"BIOPHYSICAL REALITY (IDENTIFICATION) OF THE TRADITIONAL ACUPUNCTURAL CHANNELS".



**4-я проблема традиционной Чжень-цзю терапии**

**ИДЕНТИФИКАЦИЯ АКУПУНКТУРНЫХ КАНАЛОВ,  
КАК ПРОБЛЕМА ВОСТОЧНОЙ ЧЖЕНЬ-ЦЗЮ ТЕРАПИИ**

**4-th issue of traditional Zhenjiu Therapy**

**IDENTIFICATION OF ACUPUNCTURAL CHANNELS,  
AS A PROBLEM OF EASTERN ZHENJIU THERAPY**

Легенды о гипотетических акупунктурных каналах, на протяжении веков разделявшие терапевтическую философию Востока и Запада, сегодня перестали быть экзотической тайной! Методология идентификации на основе функционально-вегетативной диагностики методом В.Макаца (Украина, Винница) позволила доказать их биофизическую реальность и выявить неизвестную раньше функционально-вегетативную систему человека.

Научно-практическое значение поднятой проблемы трудно переоценить. Эмпирические положения Восточной Чжень-цзю терапии "a priori" приняты западным обществом. "Рефлексотерапия" официально признана медицинской специальностью и введена в учебные программы ВУЗ-ов государственного последипломного образования. Мы готовим "врачей - рефлексотерапевтов" на основе эмпирических теорий, терапевтическая логика которых для западного понимания не обоснована, непонятна и не приемлема. При этом, кстати, никто из "рефлексотерапевтов» не задается вопросом: а о каких, собственно, рефлексах идет речь?

Но Бог с ними, с рефлексами... Давайте по существу. И в первую очередь поднимем проблемный вопрос о реальности акупунктурных каналов: их биофизическая идентификация обуславливает в недалеком будущем непредсказуемые последствия ... Тем более, что традиционную Чжень-цзю терапию на уровне ВОЗ и ООН сегодня настоятельно рекомендуют для использования в национальных программах здравоохранения государств - участников ООН.

Legends about hypothetical acupunctural channels, which during centuries separated therapeutic philosophies of the East and the West have been disclosed! Methodology of identification, based on functional-vegetative diagnostics according to the method of V. Makats (Ukraine, Vinnytsia) allowed to prove their biophysical reality and to reveal previously unknown functional-vegetative system of human.

There is no doubt in scientific and practical value of the raised problem. Ancient positions of the Eastern *Zhenjiu* therapy are 'a priori' accepted by the western society. "Reflex therapy" is officially recognized by the medical craft and integrated into curriculum of state institutions for post-graduate education. We prepare "doctors – reflex therapists" on the basis of empirical theories, therapeutic logic of which, for the Western understanding is groundless and incomprehensible. At the same time, none of "therapists" questions: what reflexes the talk is about?

But, let us leave reflexes alone and get down to business.

First of all, let us raise the issue of the reality of the acupunctural channels: their biophysical identification conditions in the nearest future unpredictable consequences... More than that, the traditional *Zhenjiu* therapy is being persistently recommended at the level of WHO and UN for the use in practical health protection programs within states-founders of UN...

Перед знакомством с разработанной методологией идентификации акупунктурных каналов, прежде всего изучим их аббревиатуру (табл.4.1), которой в последующем мы будем постоянно пользоваться, и обратим внимание на их топографию в структуре традиционного Большого круга (рис.4.1).

Таблица 4.1

Традиційний канал	МАН *	ФН	Традиційний канал	МАН *	ФН
Легені	LU	P	Сечовий міхур	BL	V
Товстий кишковик	LI	GI	Нирки	KI	R
Шлунок	ST	E	Перикард	PC	MC
Селезінка - підшлункова залоза	SP	RP	Трійний обігривач	TE	TR
Серце	HT	C	Жовчний міхур	GB	VB
Тонкий кишковик	SI	IG	Печінка	LR	F

\*МАН – міжнародна номенклатура ВООЗ;  
ФН – її французький аналог.

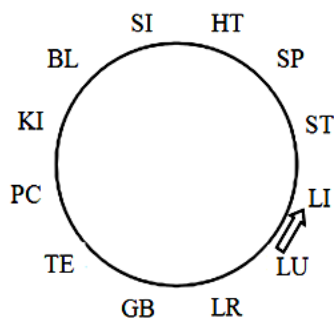


Рис.4.1. Традиційний БОЛЬШОЙ КРУГ циркуляції енергії Чи

Для понимания методологии "Идентификации акупунктурных каналов", рассмотрим результаты 12-ти функционально-вегетативных диагностик (ФВД), проведенных по методу В.Г.Макаца. Последовательность их размещения в таблице 4.2 хаотична, с соответствующим сопровождением сопутствующих значений активности отдельных каналов.

Принципиальным моментом идентификации акупунктурных каналов выступает вертикально упорядоченная динамика (по возбуждению или угнетению) активности выбранного для анализа канала, которая обуславливает соответствующее горизонтальное расположение зависимых системных рядов.

Before you get acquainted with the elaborated methodology for the identification of acupunctural channels, let us first of all learn the abbreviations of the acupunctural channels (tab 4.1). We will further use the abbreviations, and please note their topography within the structure of the traditional Big circle (fig.4.1).

Table 4.1

Traditional channel	IAN *	FN	Traditional channel	IAN *	FN
Lungs	LU	P	Urinary bladder	BL	V
Large intestine	LI	GI	Kidney	KI	R
Stomach	ST	E	Pericardium	PC	MC
Spleen – Pancreas	SP	RP	Triple energizer	TE	TR
Heart	HT	C	Gall bladder	GB	VB
Small intestine	SI	IG	Liver	LR	F

\*IAN -International Acupuncture Nomenclature (WHO);  
FN - its French analogue.

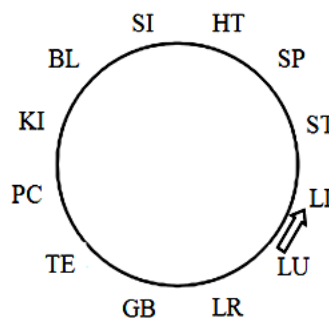


Fig.4.1 Big Cycle of energy Qi circulation

In order to understand the methodology for the "Identification of acupunctural channels", let us observe the results of 12 functional diagnostics (FVD) that were conducted according to the method of V.G. Makats. The sequence of their location within the table 4.2 is random, with the corresponding value of the activity of separate channels.

The principle moment in the identification of acupunctural channels is in the vertically arranged dynamics (with regard to excitation or oppression) of the activity of the selected channel for the analysis, which conditions corresponding horizontal arrangement of the dependent systemic rows.

Теперь на отдельных примерах разберемся с последствиями использования разработанной методологии ...

**Пример-1.**

Рассмотрим базовую таблицу 4.2. Активность её акупунктурных каналов (LU-LI-ST-SR-HT-SI-BL-KI-PC-TE-GB-LR) представлена в порядке проведенных ФВД №1-12. На примере активности канала LU видим неупорядоченную (хаотическую) последовательность проведенных ФВД. В этих условиях каналы идентифицировать невозможно (рис.4.2).

Let us use examples to clarify the outcomes of the elaborated methodology.

**Example-1.**

Let us observe basic table. Activity of its acupunctural channels (LU-LI-ST-SR-HT-SI-BL-KI-PC-TE-GB-LR) is re-presented in the series of performed diagnostics №1-12. Table 4.2 is random, disordered by LU. ... Acupunctural channels are not identified (fig.4.2).

LR	LU±	LI	ST	SP	HT	SI	BL	KI	PC	TE	GB
0,31	-4,94	-1,70	0,71	4,48	-1,31	-0,80	5,07	0,98	-2,31	-1,50	1,03
-1,49	4,48	0,49	-1,96	-0,75	1,12	0,52	-0,92	-1,44	2,04	-0,20	-1,80
0,78	-2,68	-0,74	0,99	1,74	-0,67	-1,24	1,51	0,80	-1,06	-0,27	0,94
-1,00	2,81	0,16	-1,17	-0,54	0,68	0,57	-0,65	-0,85	1,36	-0,05	-1,26
-0,33	0,61	-0,02	-0,27	0,14	0,20	0,14	-0,13	-0,07	0,39	-0,34	-0,36
0,97	-3,32	-0,67	0,91	1,75	-0,56	-1,35	1,94	1,12	-1,11	-0,41	0,76
-0,67	1,88	-0,05	-0,85	-0,15	0,64	0,09	-0,35	-0,36	1,09	-0,27	-0,91
-0,06	-0,99	-0,34	-0,02	0,75	0,13	-0,51	0,77	0,33	-0,09	-0,11	0,23
-0,75	2,27	0,29	-0,98	-0,29	0,62	0,72	-0,69	-0,78	1,12	-0,33	-1,13
0,48	-2,21	-0,64	0,69	1,49	-0,31	-1,01	1,40	1,19	-0,97	-0,73	0,67
-1,27	3,51	0,37	-1,68	-0,76	0,99	0,67	-0,48	-1,14	1,40	-0,08	-1,51
0,15	-1,84	-0,43	0,30	0,96	-0,12	-0,61	1,13	0,84	-0,54	-0,16	0,47

Таблица 4.2 Результаты вегетативной диагностики неупорядоченные (хаотические) по активности акупунктурного канала LU.

Table 4.2 Data of individual diagnostics disordered (random) by LU activity.



Рис.4.2 Идентификация акупунктурных каналов невозможна.

Fig.4.2 Identification of acupunctural channels is impossible.

**Пример-2.**

На основе базовой табл.4.2, активность канала LU упорядочена по росту его активности (табл.4.3). В данном случае наступает идентификация акупунктурных каналов (рис.4.3)! Возникает вопрос о реальности межсистемной зависимости и возможность её дальнейшей идентификации.

**Example-2.**

On the basis of the main table 4.2, the activity of the channel LU is ordered according to the growth of its activity (tab.4.3). In this case appears the identification of acupunctural channels (fig.4.3)! Here, question appears about the reality of intersystem dependency and possibility of its further identification...

LR	LU+	LI	ST	SP	HT	SI	BL	KI	PC	TE	GB
0,31	-4,94	-1,70	0,71	4,48	-1,31	-0,80	5,07	0,98	-2,31	-1,50	1,03
-1,49	4,48	0,49	-1,96	-0,75	1,12	0,52	-0,92	-1,44	2,04	-0,20	-1,80
0,78	-2,68	-0,74	0,99	1,74	-0,67	-1,24	1,51	0,80	-1,06	-0,27	0,94
-1,00	2,81	0,16	-1,17	-0,54	0,68	0,57	-0,65	-0,85	1,36	-0,05	-1,26
-0,33	0,61	-0,02	-0,27	0,14	0,20	0,14	-0,13	-0,07	0,39	-0,34	-0,36
0,97	-3,32	-0,67	0,91	1,75	-0,56	-1,35	1,94	1,12	-1,11	-0,41	0,76
-0,67	1,88	-0,05	-0,85	-0,15	0,64	0,09	-0,35	-0,36	1,09	-0,27	-0,91
-0,06	-0,99	-0,34	-0,02	0,75	0,13	-0,51	0,77	0,33	-0,09	-0,11	0,23
-0,75	2,27	0,29	-0,98	-0,29	0,62	0,72	-0,69	-0,78	1,12	-0,33	-1,13
0,48	-2,21	-0,64	0,69	1,49	-0,31	-1,01	1,40	1,19	-0,97	-0,73	0,67
-1,27	3,51	0,37	-1,68	-0,76	0,99	0,67	-0,48	-1,14	1,40	-0,08	-1,51
0,15	-1,84	-0,43	0,30	0,96	-0,12	-0,61	1,13	0,84	-0,54	-0,16	0,47

Таблица 4.3 Результаты таблицы 4.2, упорядоченные по росту активности акупунктурного канала LU.

Table 4.3 Data of the table 4.2 arranged according to the growth of the activity of the acupunctural channel LU.



Рис.4.3 Идентификация акупунктурных каналов при упорядоченном возбуждении LU.

Fig.4.3 Identification of acupunctural channels during the excitation of LU

Возникает вопрос о реальности идентификации системной зависимости в случае угнетения активности канала LU .

Question appears about the reality of identification of system dependency in the case of oppression of activity of the mentioned channel LU.

**Пример-3.**

**Example-3.**

На основе базовой табл. 4.2, активность канала LU упорядоченная по угнетению активности (табл.4.4). В данном случае наступает идентификация акупунктурных каналов (рис.4.4)! Возникает вопрос о реальности межсистемной зависимости и возможность её дальнейшей идентификации ...

On the basis of the basic table 4.2. the activity of the channel LU is ordered according to the growth of its activity (tab.4.4). In this case appears the identification of acupunctural channels (fig.4.4)! Here, question appears about the reality of intersystem dependency and possibility of its further identification...

LR	LU-	LI	ST	SP	HT	SI	BL	KI	PC	TE	GB
-1,52	6,39	0,41	-1,83	-1,26	1,21	-0,73	-1,51	-0,56	1,87	-0,27	-1,39
-1,30	4,30	0,58	-1,89	-0,80	1,13	0,33	-1,28	-0,98	1,77	0,02	-1,10
-1,05	3,45	0,25	-1,48	-0,84	1,18	-0,01	-1,59	-0,16	1,59	0,13	-0,87
-0,72	2,86	0,31	-1,23	-0,76	1,01	-0,37	-1,26	0,15	1,43	-0,08	-0,76
-0,42	2,41	0,03	-0,91	-0,68	0,65	0,07	-0,62	-0,27	1,22	-0,14	-0,70
-0,47	1,06	-0,15	-0,62	-0,36	0,66	0,12	-0,37	0,54	0,72	-0,27	-0,43
0,64	-1,05	-1,09	0,42	0,83	0,29	-0,66	0,33	1,29	-0,05	-0,82	0,20
0,39	-1,94	-1,04	0,40	1,34	0,24	-0,69	1,22	1,65	-0,65	-0,75	0,25
1,11	-2,36	-1,33	0,81	1,65	-0,77	-1,31	1,56	1,92	-0,83	-0,81	0,67
0,76	-2,86	-1,41	0,89	2,12	-0,79	-1,65	1,90	2,14	-1,13	-0,62	0,95
0,86	-3,55	-1,76	1,14	2,63	-0,90	-2,00	2,64	2,15	-1,21	-0,79	1,06
0,93	-4,96	-2,47	0,80	4,18	-0,99	-1,85	4,64	2,09	-1,91	-1,56	1,42

Таблица 4.4 Результаты таблицы 4.2, упорядоченные по подавлению активности акупунктурного канала LU.

Table 4.4 Data of the table 4.2 is arranged according to the activity regression of LU.

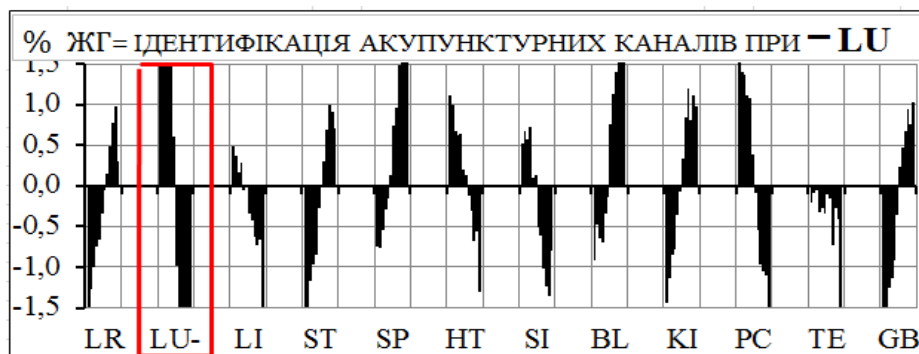


Рис.4.4 Идентификация акупунктурных каналов при последовательно упорядоченном подавлению LU.

Fig.4.4 Identification of the acupunctural channels under sequential oppression.

Представленный материал свидетельствует о экспериментальной идентификации системной зависимости гипотетических акупунктурных каналов. Иными словами, отныне они стали биофизической реальностью и тысячелетняя проблема закономерно требует своего места в классической физиологии и доказательной медицине!

Но давайте на основе базовой таблицы 4.2 дополнительно проанализируем возможность идентификационной методологии других акупунктурных каналов.

Рассмотрим три варианта её реальности на примерах неупорядоченной активности, возбуждении и угнетении традиционного акупунктурного канала SI...

#### Пример-4.

**Вариант-1.** На основе базовой таблицы 4.2, рассмотрим акупунктурный канал SI (табл.4.5). Его активность хаотична, неупорядоченная и представлена в порядке проведенных ФВД. В данном случае акупунктурные каналы не идентифицируются (рис.4.5).

The represented materials directly testify to the probability of experimental identification of systemic interdependency of the hypothetical acupunctural channels. In other words, from now on, they have become a biophysical reality and the millennium-long issue fairly requires its place in classical physiology and empirical medicine!

Meanwhile, let us make additional analysis of the probability of identificational methodology trying another acupunctural channel, using the basic table 4.2.

Let us have a look at three variants of its reality in the examples of disordered, rising activity of the channel SI and its oppression...

#### Example-4.

**Variant 1.** Using the basic table 4.2, we will observe the acupunctural channel SI (tab.4.5). Its activity is chaotic, unordered and is represented in the order of the conducted FVD. In this case, acupunctural channels cannot be identified (fig. 4.5).

HT	SI±		BL	KI	PC	TE	GB	LR	LU	LI	ST	SP
-0,32	-5,64		4,84	1,45	-0,03	-2,44	0,08	0,08	-0,70	-1,49	0,12	4,06
0,05	6,73		0,61	-1,59	0,18	-0,82	-1,99	-1,97	0,78	-0,44	-2,15	0,73
-0,25	-3,44		1,61	0,85	-0,10	-0,90	0,94	0,66	-0,56	-0,78	0,64	1,46
0,50	3,23		0,04	-0,79	0,46	0,01	-1,49	-1,24	0,82	-0,15	-1,49	0,15
0,39	0,63		-0,40	-0,19	0,55	0,02	-0,43	-0,44	0,66	0,17	-0,49	-0,44
-0,26	-4,13		2,31	1,11	0,07	-1,36	0,60	0,51	-0,36	-1,22	0,36	2,30
0,32	2,12		-0,40	-0,56	0,31	-0,23	-1,13	-0,54	0,74	0,15	-0,66	-0,08
0,09	-1,50		0,36	0,19	0,13	0,21	0,19	-0,05	-0,21	-0,01	0,12	0,59
0,49	2,62		-0,38	-0,74	0,52	0,15	-1,24	-1,22	1,04	0,08	-1,28	-0,03
-0,12	-2,92		0,70	1,08	-0,15	-0,51	0,75	0,62	-0,57	-0,49	0,71	0,94
0,72	4,13		-0,74	-1,11	0,86	-0,26	-1,51	-1,29	1,21	-0,15	-1,72	-0,04
-0,04	-2,49		0,77	0,98	-0,10	-0,75	0,62	0,47	-0,24	-0,36	0,38	0,88

Таблица 4.5 Результаты таблицы 4.2 неупорядоченные по активности акупунктурного канала SI.

Table 4.5 Data of the table 4.2 is unordered according to the activity of the acupunctural channel SI.



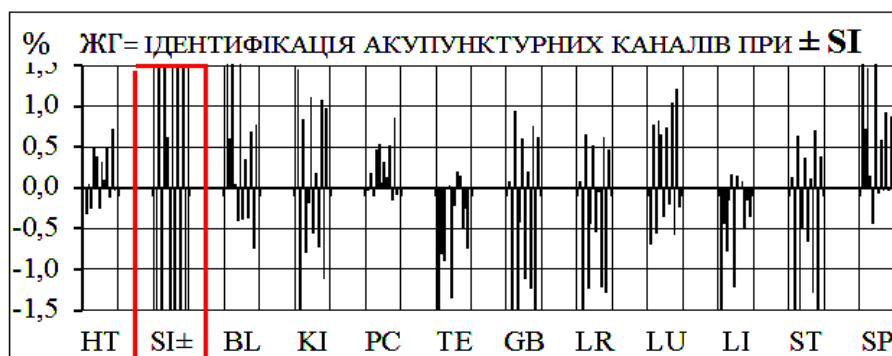


Рис.4.5 Идентификация акупунктурных каналов невозможна ..

Fig.4.5 Identification of acupunctural channels is impossible.

**Вариант-2.** Активность канала SI упорядоченная по росту его активности (табл.4.6). В данном случае идентификация акупунктурных каналов возможна (рис.4.6)!

**Variant-2.** Activity of the channel SI is ordered according to the degree of growth of activity (tab.4.6). In this case appears identification of acupunctural channels (fig.4.6)!

HT	SI+	BL	KI	PC	TE	GB	LR	LU	LI	ST	SP
-0,32	-5,64	4,84	1,45	-0,03	-2,44	0,08	0,08	-0,70	-1,49	0,12	4,06
-0,26	-4,13	2,31	1,11	0,07	-1,36	0,60	0,51	-0,36	-1,22	0,36	2,30
-0,25	-3,44	1,61	0,85	-0,10	-0,90	0,94	0,66	-0,56	-0,78	0,64	1,46
-0,12	-2,92	0,70	1,08	-0,15	-0,51	0,75	0,62	-0,57	-0,49	0,71	0,94
-0,04	-2,49	0,77	0,98	-0,10	-0,75	0,62	0,47	-0,24	-0,36	0,38	0,88
0,09	-1,50	0,36	0,19	0,13	0,21	0,19	-0,05	-0,21	-0,01	0,12	0,59
0,39	0,63	-0,40	-0,19	0,55	0,02	-0,43	-0,44	0,66	0,17	-0,49	-0,44
0,32	2,12	-0,40	-0,56	0,31	-0,23	-1,13	-0,54	0,74	0,15	-0,66	-0,08
0,49	2,62	-0,38	-0,74	0,52	0,15	-1,24	-1,22	1,04	0,08	-1,28	-0,03
0,50	3,23	0,04	-0,79	0,46	0,01	-1,49	-1,24	0,82	-0,15	-1,49	0,15
0,72	4,13	-0,74	-1,11	0,86	-0,26	-1,51	-1,29	1,21	-0,15	-1,72	-0,04
0,05	6,73	0,61	-1,59	0,18	-0,82	-1,99	-1,97	0,78	-0,44	-2,15	0,73

Таблица 4.6 Результаты таблицы 4.2, упорядоченные по росту активности канала SI.

Table 4.6 Data of the table 4.2 is ordered according to the growth of activity of the channel SI.

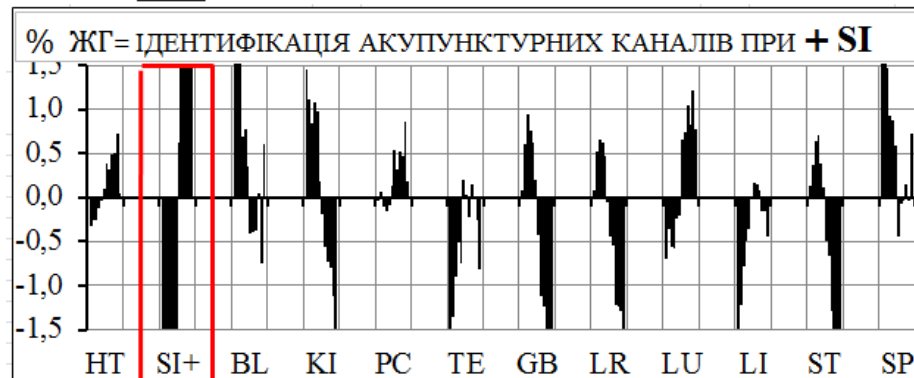


Рис.4.6 Идентификация системной зависимости при возбуждении SI.

Fig.4.6 Identification of acupunctural channels during excitation of SI.

Возникает вопрос о реальности идентификации системной зависимости в случае угнетения активности канала SI ..

Question appears about the reality of identification of system dependency in the case of oppression of activity of the mentioned channel SI..

**Вариант-3.** Активность канала SI упорядоченная по мере его угнетения (табл.4.7). В этом случае идентификация акупунктурных каналов указывает на обратную системную зависимость (рис. 4.7)!

**Variant-3.** Activity of channel SI is ordered according to the degree of oppression of activity (tab.4.7). In this case appears identification of backward activity of acupunctural channels (fig.4.7)!

HT	SI-	BL	KI	PC	TE	GB	LR	LU	LI	ST	SP
0,05	6,73	0,61	-1,59	0,18	-0,82	-1,99	-1,97	0,78	-0,44	-2,15	0,73
0,72	4,13	-0,74	-1,11	0,86	-0,26	-1,51	-1,29	1,21	-0,15	-1,72	-0,04
0,50	3,23	0,04	-0,79	0,46	0,01	-1,49	-1,24	0,82	-0,15	-1,49	0,15
0,49	2,62	-0,38	-0,74	0,52	0,15	-1,24	-1,22	1,04	0,08	-1,28	-0,03
0,32	2,12	-0,40	-0,56	0,31	-0,23	-1,13	-0,54	0,74	0,15	-0,66	-0,08
0,39	0,63	-0,40	-0,19	0,55	0,02	-0,43	-0,44	0,66	0,17	-0,49	-0,44
0,09	-1,50	0,36	0,19	0,13	0,21	0,19	-0,05	-0,21	-0,01	0,12	0,59
-0,04	-2,49	0,77	0,98	-0,10	-0,75	0,62	0,47	-0,24	-0,36	0,38	0,88
-0,12	-2,92	0,70	1,08	-0,15	-0,51	0,75	0,62	-0,57	-0,49	0,71	0,94
-0,25	-3,44	1,61	0,85	-0,10	-0,90	0,94	0,66	-0,56	-0,78	0,64	1,46
-0,26	-4,13	2,31	1,11	0,07	-1,36	0,60	0,51	-0,36	-1,22	0,36	2,30
-0,32	-5,64	4,84	1,45	-0,03	-2,44	0,08	0,08	-0,70	-1,49	0,12	4,06

Таблица 4.7 Результаты таблицы 4.2, упорядоченные по подавлению активности канала SI.

Table 4.7 Data of individual (4.2) diagnostics (ordered by SI activity)

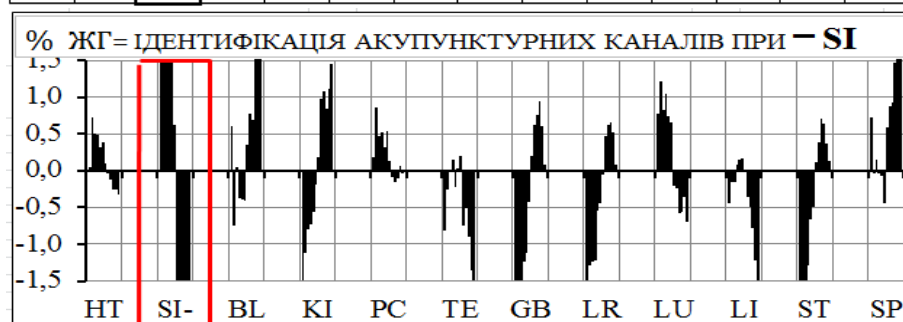


Рис 4.7 Идентификация зависимой активности акупунктурных каналов от угнетения SI.

Fig.4.7 Identification of acupunctural channels during oppression of SI

Анализ гистограмм (рис.4.2-7) указывает на отдельные группы акупунктурных каналов с однотипной реакцией (BL-SP, LI-TE-SI, LU-PC-HT, ST-GB-KI-LR). Последнее однозначно свидетельствует о возможности идентификации системной и межсистемной зависимости.

#### ОБЩИЕ ВЫВОДЫ.

1.Разработанная методология идентификации традиционных акупунктурных каналов не имеет мировых аналогов. Она переводит гипотетическую Чжень-цзю терапии в биофизически обусловленную клиническую дисциплину и впервые сближает теоретические концепции Восточной и Западной терапевтических философий ...

2.Судя по реальности идентификации каналов, проблема китайской Чжень-цзю терапии выходит за пределы схоластики и требует внимания как сторонников традиционной терапевтической философии, так и её противников. При этом следует заметить следующее: если признать акупунктурные каналы биофизической реальностью, современную системную физиологию ждут непростые времена "перестройки"....

Analysis of the histograms (fig.4.2-7) points out separate groups of acupunctural channels with homotypic reaction (BL-SP, LI-TE-SI, LU-PC-HT, ST-GB-KI-LR). The latter directly testifies to the possibility of identification of systemic and intersystemic dependency.

#### GENERAL CONCLUSIONS.

1.The elaborated methodology of identification of traditional acupunctural channels has no world analogues. It transforms hypothetical Zhenjiu therapy into biophysically conditioned clinical discipline and for the first time brings closer theoretical conceptions of the Eastern and Western therapeutic philosophies...

2.Judging by the reality of identification of acupunctural channels, the issue of the Chinese Zhenjiu therapy goes beyond the borders of scholasticism and requires capitious attention of supporters of traditional therapeutic philosophy as well as of its opponents. At the same time there should be noted the following: if acupunctural channels turn out to be a biophysical reality, contemporary system physiology will expect uneasy times of "reconstruction"...

А теперь откроем

**"Украинский ящик Пандоры" ...**

и ознакомимся с биофизической реальностью базовых теоретических положений китайской Чжень-цзю терапии! Забегая вперёд предупредим: *ни одно из известных традиционных положений и правил не получило биофизической поддержки. Это свидетельствует о существовании других биофизических законов системной зависимости!*

При этом обратим внимание на методологические особенности проведенных научно-исследовательских работ (НИР), которые свидетельствуют о адекватности и достоверности экспертных исследований.

1. Экспертный анализ проводился отдельно по материалам женской (9.947 случаев) и мужской (5.492) групп.

2. При анализе системной зависимости между отдельными акупунктурными каналами, в зоне внимания была направленная активность каналов каждой проведенной (по методу В.Г.Макаца) функционально-вегетативной диагностики

3. По каждому экспертному случаю (правилу) во внимание брались результаты отдельных исследований в женской и мужской группах. Их сопоставление подтверждало выявленные закономерности и сделанные выводы.

4. Экспертный анализ системной зависимости приводился на примерах нарастающего возбуждения системы внимания (при этом заметим, что её нарастающее угнетение обуславливает противоположную системную зависимость).

5. Каждое проблемное положение рассматривалось в сопровождении полного комплекса доказательных гистограмм (атласом биофизической вероятности...).

6. Каждый проблемный вопрос рассматривался с двух позиций: эмпирические основы положения и его биофизическая реальность (на основе идентификации системной зависимости)

А теперь познакомимся с содержанием **"Украинского ящика Пандоры" ...**

And now, let us open

**"The Ukrainian Pandora's Box"**

and get acquainted with the biophysical reality of the basic theoretical positions of the Chinese *Zhenjiu* therapy! But before we start, the following should be mentioned in advance as a warning: *none of the known traditional positions and laws has received biophysical support. Eventually, this testifies to the existence of other biophysical Laws of systemic dependency!*

At the same time, please, note the methodological peculiarities of the conducted scientific-research works (SRW) that testify to the adequacy and possibility of experimental researches.

1. Experimental analysis was conducted separately, using the materials of female (9.947 observations) and male (5.492 observations) groups.

2. During the analysis of systemic dependency between separate acupunctural channels, we took into account dependently directed activity of all channels of every functional-vegetative diagnostics (using the method of V.G. Makats).

3. Under every experimental case, we took into account the results of separate examinations in female and male groups. Their comparisons confirmed the discovered laws and our conclusions.

4. The experimental analysis of systemic dependency was conducted using the examples of growing excitation of the target system (it should be noted that its growing oppression conditions the opposite systemic dependency).

5. Every issue is observed with the supporting materials in the form of histograms (atlas of biophysical validity...).

6. Every issue has been also viewed from two perspectives: the empirical bases of the provision and its biophysical reality (on the basis of identification of systemic dependency).

And now, let us get acquainted with the content of **"The Ukrainian Pandora's Box"...**



5-я проблема традиционной Чжень-цзю терапии

БИОФИЗИЧЕСКАЯ РЕАЛЬНОСТЬ ТРАДИЦИОННОГО ПОЛОЖЕНИЯ "БОЛЬШОЙ ЭНЕРГЕТИЧЕСКИЙ КРУГ"

5-th issue of traditional Zhenjiu Therapy

BIOPHYSICAL REALITY OF THE TRADITIONAL PROVISION OF THE "BIG CYCLE"

ЭМПИРИЧЕСКИЕ ОСНОВЫ ТРАДИЦИОННОГО ПРАВИЛА "БОЛЬШОЙ КРУГ ЭНЕРГИИ"

EMPIRICAL BASES OF THE TRADITIONAL RULE "BIG ENERGY CYCLE"

Имея в виду проблемный характер вопроса, биофизическую реальность БОЛЬШОГО КРУГА рассмотрим в виде системной зависимости при возбуждении отдельных каналов (их угнетение обуславливает обратную системную зависимость).

Известно, что большой круг циркуляции энергии ЧИ предусматривает последовательную энергетическую направленность по упорядоченной системе каналов LU-LI-ST-SP-HT-SI-BL-KI-PC-TE-GB-LR-LU, последовательность которой указывают сплошные и пунктирные стрелки (рис.5.1). На его основе сформированы два гипотетических правила: "МАТЬ-СЫН по Большому кругу" и "Внутренние биологические часы".

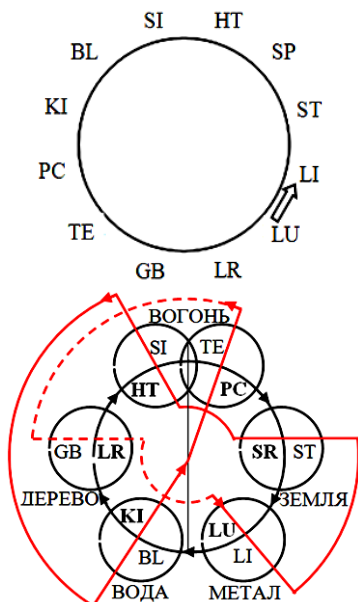


Рис.5.1 Традиционный Большой круг циркуляции энергии Чи

Правомерность указанного правила мы рассмотрим позже, а сейчас нас интересует два конкретных вопроса;

Taking into account the problematic character of the issue, we will observe the biophysical reality of the "Big Cycle" in the form of systemic dependency under **excitation** of separate channels (their oppression conditions the opposite systemic dependency).

Traditional rule BIG CYCLE OF ENERGY *QI* CIRCULATION implies sequentially directed migration of "energy *QI*" through ordered system "LU-LI-ST-SP-HT-SI-BL-KI-PC-TE-GB-LR-LU", which is demonstrated by the arrows (fig.5.1). On its basis two next rules are formed: MOTHER-SON through the Big cycle and INTERNAL BIOLOGICAL CLOCK.

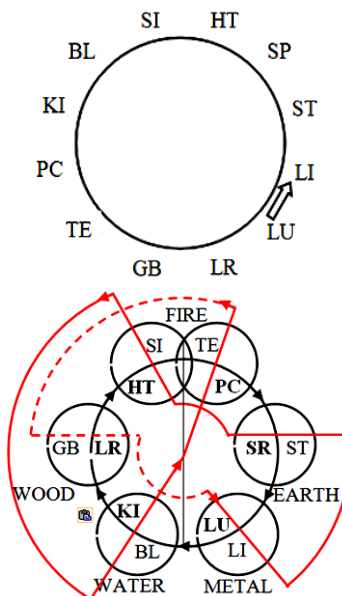


Fig.5.1 Big Cycle of energy *QI* circulation

We will observe the rightfulness of the mentioned rules later, while now we are interested in two specific issues:

- Что нам дает идентификация акупунктурных каналов при нарастающем возбуждении одного из них в системе традиционного Большого круга (?) и
- Реальная энергетическая последовательность по "Большому кругу"?

- what we get from the identification of the acupunctural channels during the growing excitation of one of them within the system of the traditional "Big Cycle"?, and
- is the directed sequence of energy flow through the "Big Cycle" real?

**БИОФИЗИЧЕСКИЙ РЕАЛЬНОСТЬ "БОЛЬШОГО КРУГА" ЦИРКУЛЯЦИИ ЭНЕРГИИ**

**BIOPHYSICAL REALITY OF THE "BIG CYCLE" OF ENERGY CIRCULATION**

Проведенный биофизический анализ (рис.5.2-13) свидетельствует, что нарастающее возбуждение одного из каналов обуславливает разнонаправленную системную зависимость, которая проявляется в виде комплексов синхронных, асинхронных и парадоксальных реакций. Независимо от топографии канала в системе Большого круга, направленность его активности не стабильна и по разному зависит от возбуждения различных каналов. О чем это говорит?

The conducted biophysical analysis (fig. 5.2-13) testifies that the growing excitation of one of the channels conditions Multidirected systemic dependency, which occurs in the form of repeated complexes of synchronous, asynchronous and paradoxical reactions. It rather significant that independently from the topographic location of a channel within the "Big Cycle", the orientation of its activity is unstable and differently depends on the activity of other channels. What does it tell us?

В первую очередь это указывает на биофизическую реальность системной зависимости, постоянно контролирующей функционально-динамический гомеостаз. Иными словами эмпирика о суточных периодах с максимальной и минимальной двух часовой активностью в Большом круге – сомнительна...

First of all, it points to the biophysical reality of systemic dependency that continuously controls functionally-dynamic homeostasis. In other words, the hypothetical provision of certain daily periods with maximal and minimal two-hour activity through the "Big Cycle" is questionable...

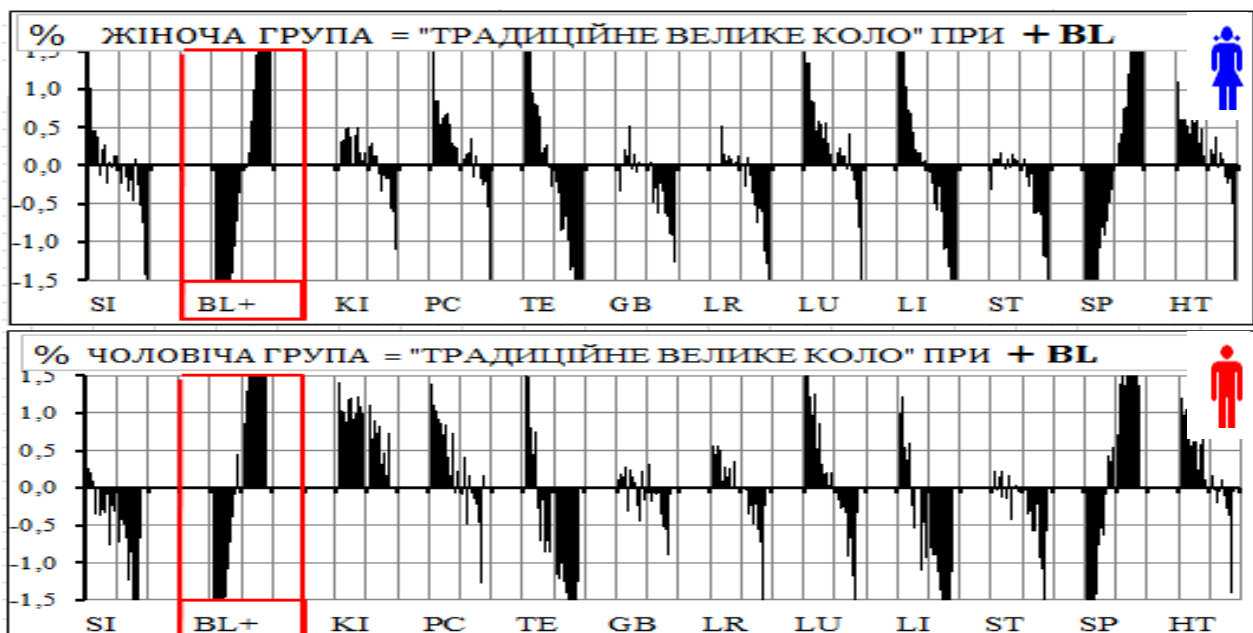


Рис.5.2 Разнонаправленная активность каналов по Большому кругу при + BL  
 Fig.5.2 Multidirected activity of channels through the Big Cycle under the excitation of BL



Рис.5.3 Разнонаправленная активность каналов по Большому кругу при +КІ  
 Fig.5.3 Multidirected activity of channels through the Big Cycle under the excitation of KI



Рис.5.4 Разнонаправленная активность каналов по Большому кругу при +РС  
 Fig.5.4 Multidirected activity of channels through the Big Cycle under the excitation of PC





Рис.5.5 Разнонаправленная активность каналов по Большому кругу при +TE  
 Fig.5.5 Multidirected activity of channels through the Big Cycle under the excitation of TE



Рис.5.6 Разнонаправленная активность каналов по Большому кругу при +GB  
 Fig.5.6 Multidirected activity of channels through the Big Cycle under the excitation of GB

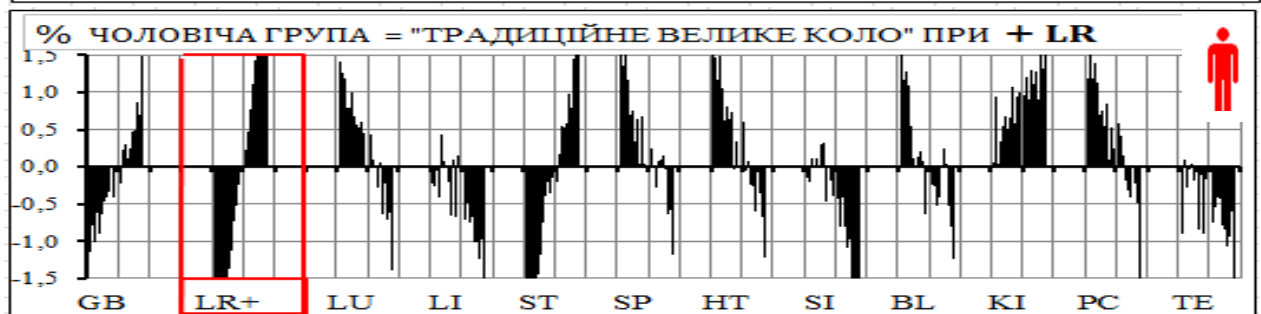


Рис.5.7 Разнонаправленная активность каналов по Большому кругу при +LR  
 Fig.5.7 Multidirected activity of channels through the Big Cycle under the excitation of LR

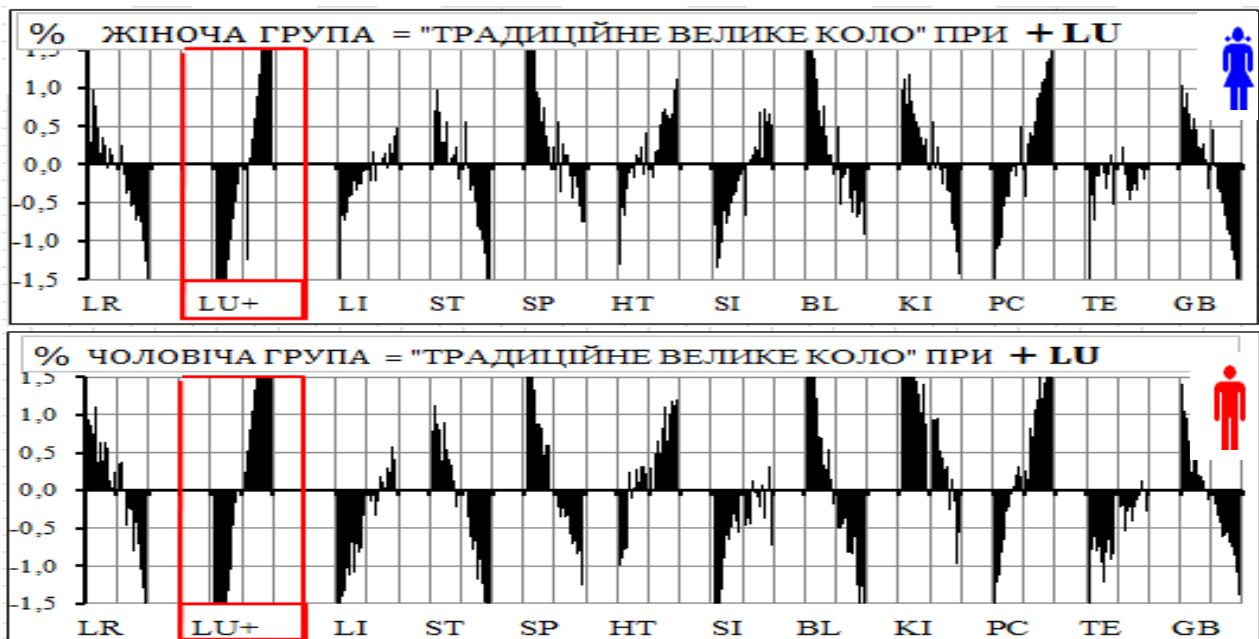


Рис.5.8 Разнонаправленная активность каналов по Большому кругу при +LU  
 Fig.5.8 Multidirected activity of channels through the Big Cycle under the excitation of LU



Рис.5.9 Разнонаправленная активность каналов по Большому кругу при +LI  
 Fig.5.9 Multidirected activity of channels through the Big Cycle under the excitation of LI







Рис.5.10 Разнонаправленная активность каналов по Большому кругу при +ST  
 Fig.5.10 Multidirected activity of channels through the Big Cycle under the excitation of ST



Рис.5.11 Разнонаправленная активность каналов по Большому кругу при +SP  
 Fig.5.11 Multidirected activity of channels through the Big Cycle under the excitation of SP



Рис.5.12 Разнонаправленная активность каналов по Большому кругу при в+HT  
 Fig.5.12 Multidirected activity of channels through the Big Cycle under the excitation of HT



Рис.5.13 Разнонаправленная активность каналов по Большому кругу при + SI  
 Fig.5.13 Multidirected activity of channels through the Big Cycle under the excitation of SI

Разнонаправленная системная активность при возбуждении отдельных каналов указывает на разные механизмы функциональной зависимости (рис.5.14). Последние противоречат традиционной концепции о направленной энергетической циркуляции по Большому кругу и ставят под сомнение ряд теоретических правил (в частности "Мать-Сын по Большому кругу", "Дед-Внук", "Спаренные каналы", "Биологические часы").

Multidirected systemic activity under the excitation of separate channels points to different mechanisms of functional dependency (fig. 3.14). The latter contradicts the traditional conception of directed energy circulation through the Big Cycle and put a number of theoretical rules of *Zhenjiu* therapy under question (including Mother-Son through the Big Cycle, Grandfather-Grandson, Collaterals, Biological Clock)...

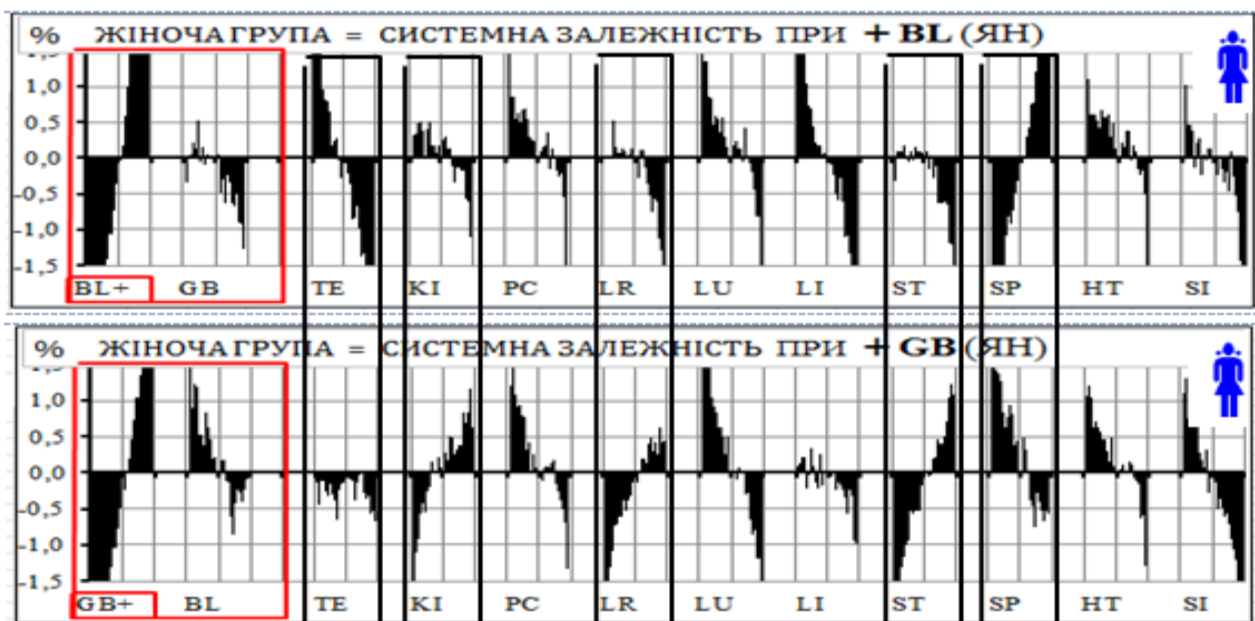


Рис.5.14 Разнонаправленная активность каналов по Большому кругу при + BL i GB  
 Fig.5.14 Multidirected activity of channels through the Big Cycle under the excitation BL and GB

## ВЫВОДЫ

1. Проведенная идентификация акупунктурных каналов показала их биофизическую реальность и системную зависимость.

2. Реальность традиционного БОЛЬШОГО КРУГА не имеет биофизических возражений, но требует современной интерпретации. Об этом свидетельствует топографическая упорядоченность неизвестных ранее функциональных комплексов в структуре Большого круга и биофизическая реальность "ВЕГЕТАТИВНОЙ МАТРИЦЫ Макаца" (см соответствующие разделы).

3. Ризнонаправленная системная зависимость при возбуждении отдельных каналов указывает на различные механизмы функционального влияния. Последние противоречат традиционной концепции о направленной энергетической циркуляции по Большому кругу и ставят под сомнение ряд теоретических правил Чжень-цзю терапии (в частности "Мать-Сын по Большому кругу", "Дед-Внук", "Спаренные каналы, "Биологические часы") ...

4. Обращает на себя внимание идентичная динамика функциональной зависимости в женской и мужской группах, что указывает на сходные механизмы системной биофизической регуляции.

## GENERAL CONCLUSIONS.

1. The conducted identification of acupunctural channels has testified to their biophysical reality and systemic dependency.

2. The reality of the traditional "Big Cycle" has no biophysical negations, but needs contemporary interpretation. This has been proved by the topographic arrangement of the previously unknown functional-vegetative complexes within the structure of the "Big Cycle" and the biophysical reality of the "Makats' Vegetative Matrix" (see corresponding chapters).

3. The multidirected systemic dependency during the excitation of separate channels points various mechanisms of functional dependency. The latter contradict the traditional conception of the directed circulation of energy through the "Big Cycle" and put a number of theoretical rules of *Zhenjiu* therapy under question (including Mother-Son through the Big Cycle, Grandfather-Grandson, Collaterals, Biological Clock)...

4. It should be noted that there is an identical dynamics of functional dependency in female and male groups, which points to congenial mechanisms of systemic biophysical regulation.





**6-я проблема традиционной Чжень-цзю терапии**

**БИОФИЗИЧЕСКАЯ РЕАЛЬНОСТЬ ТРАДИЦИОННОГО ПРАВИЛА "МАТЬ-СЫН (ПО БОЛЬШОМУ КРУГУ)"**

**6-th issue of traditional Zhenjiu Therapy**

**BIOPHYSICAL REALITY OF THE RULE "MOTHER-SON (THROUGH THE BIG CYCLE)"**

**Эмпирические основы ПРАВИЛА "МАТЬ-СЫН (по большому кругу)"**

**EMPIRICAL BASES OF THE RULE "MOTHER-SON (THROUGH THE BIG CYCLE)"**

Второе традиционное правило МАТЬ-СЫН по большому кругу предусматривает следующее. Согласно правилу, возбуждение любого акупунктурного канала обусловлено угнетением предыдущего [который является его "Матерью"], возбуждение следующего по кругу [который является его "Сыном"] и, наоборот. Иными словами правило должно быть реальным для следующих системных комбинаций: LU-LI-ST, LI-ST-SP, ST-SP-HT, SP-HT-SI, HT-SI-BL, SI-BL-KI, BL-KI-PC, KI-PC-TE, PC-TE-GB, TE-GB-LR, GB-LR-LU и LR-LU-LI.

**Traditional rule MOTHER-SON THROUGH THE BIG CYCLE OF ENERGY CIRCULATION** implies the following. According to the rule MOTHER-SON, excitation of any of the Main organs conditions oppression of the previous one [which is its Mother], excitation of the next one through the cycle [which is its Son] and vice versa. In other words the rule must be real for the following system combinations: LU-LI-ST, LI-ST-SP, ST-SP-HT, SP-HT-SI, HT-SI-BL, SI-BL-KI, BL-KI-PC, KI-PC-TE, PC-TE-GB, TE-GB-LR, GB-LR-LU and LR-LU-LI.

**БИОФИЗИЧЕСКАЯ РЕАЛЬНОСТЬ ПРАВИЛА "МАТЬ-СЫН (ПО БОЛЬШОМУ КРУГУ)"**

**BIOPHYSICAL REALITY OF RULE "MOTHER-SON (THROUGH THE BIG CYCLE)"**

Имея в виду проблемный характер вопроса, биофизическую реальность Правила рассмотрим в виде системной зависимости при возбуждении отдельных каналов (их угнетение обуславливает обратную системную зависимость).

Проведенный биофизический анализ говорит о следующем (рис.6.1-12) ...

Традиционное правило МАТЬ-СЫН по Большому кругу в комплексе SI-BL-KI по всем группам наблюдения *биофизически не поддержано*. Возбуждение BL обуславливает угнетение предыдущего (SI) и последующего (KI) каналов (рис.6.1).

Традиционное правило МАТЬ-СЫН по Большому кругу в комплексе BL-KI-PC по всем группам наблюдения *биофизически не поддержано*. Возбуждение KI обуславливает угнетение предыду-

Keeping in mind the problematic character of the issue, let us observe the biophysical reality of the Rule in the form of systemic dependency under **excitation** of separate channels (their oppression conditions reverse systemic dependency).

Biophysical analysis testifies to the following (fig.6.1-12).....

The traditional rule "Mother-Son (through the Big Cycle)" in the complex SI-BL-KI through all groups of observation *has not been biophysically approved*. Excitation of **BL** conditions oppression of the previous (**SI**) and the following (**KI**) channels (fig. 6.1).

Traditional rule "Mother-Son (through the Big Cycle)" in the complex BL-KI-PC through all groups of observation *has not been biophysically approved*. Excitation of **KI** conditions oppression of the previous

щего (BL) и последующего (PC) каналов (рис.6.2).

(BL) and the following (PC) channels (fig. 6.2).

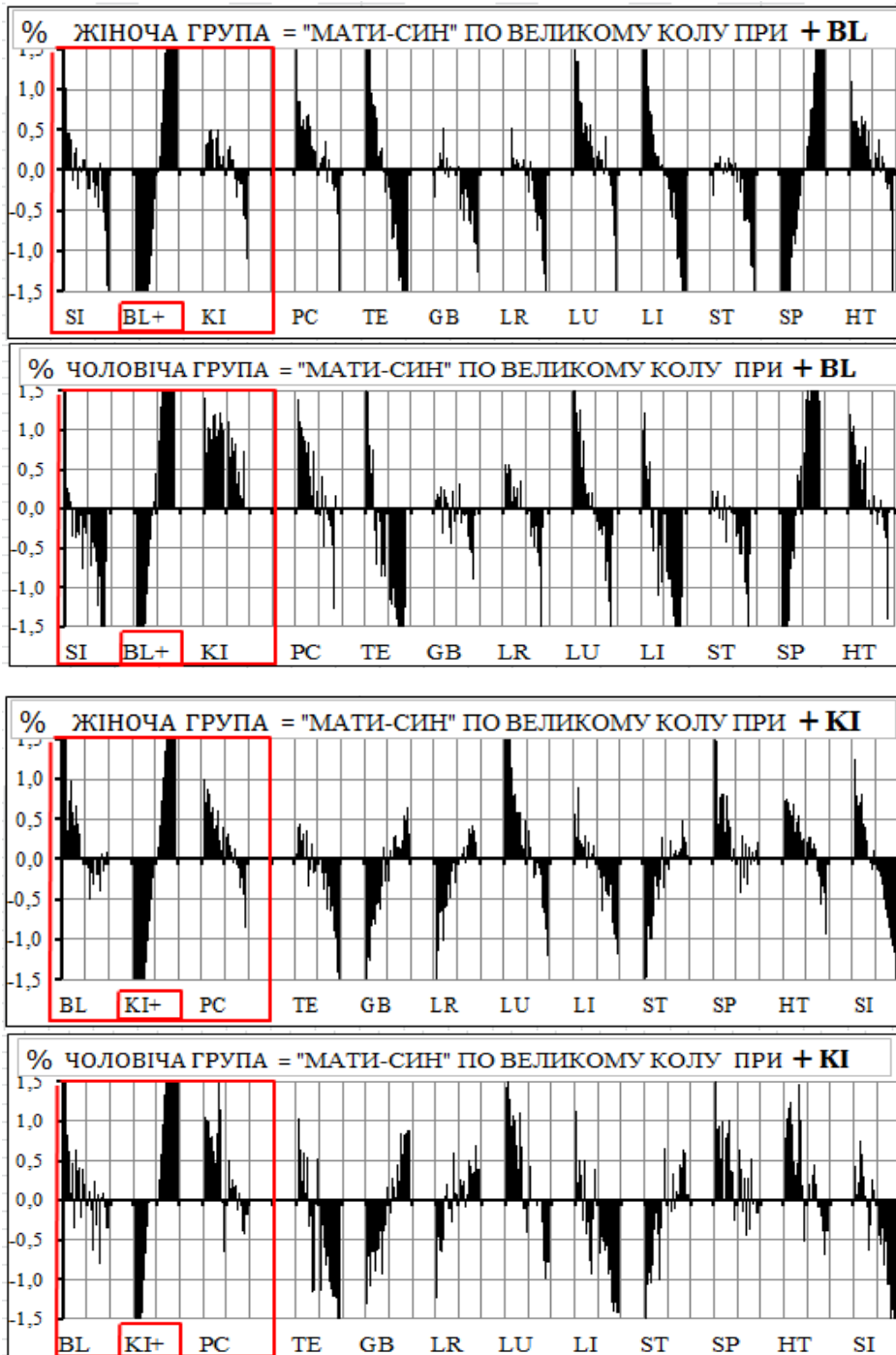


Рис.6.1 Биофизическая реальность правила МАТЬ-СЫН по Большому кругу при возбуждении канала BL



Fig. 6.1. Biophysical reality of the rule "Mother-Son (through the Big Cycle)" during the excitation of the channel BL.



Рис.6.2 Биофизическая реальность правила МАТЬ-СЫН по Большому кругу при возбуждении канала KI.



Fig. 6.2. Biophysical reality of the rule "Mother-Son (through the Big Cycle)" during the excitation of the channel KI.



Традиционное правило МАТЬ-СЫН по Большому кругу в комплексе KI-PC-TE по всем группам наблюдения *биофизически не поддержано*. Возбуждение PC обуславливает угнетение предыдущего (KI) и парадоксальную реакцию следующего (TE) каналов (рис.6.3).

Traditional rule "Mother-Son (through the Big Cycle)" in the complex KI-PC-TE through all groups of observation *has not been biophysically approved*. Excitation of PC conditions oppression of the previous (KI) and expressed paradoxical reaction of the following (TE) channels (fig.6.3).

Традиционное правило МАТЬ-СЫН по Большому кругу в комплексе PC-TE-GB по всем группам наблюдения *био-*

Traditional rule "Mother-Son (through the Big Cycle)" in the complex PC-TE-GB through all groups of observation *has not*

*физически не поддержано.* Возбуждение TE обуславливает угнетение предыдущего (PC) и парадоксальную реакцию следующего (GB) каналов (рис.6.4).

*been biophysically approved.* Excitation of TE conditions oppression of the previous (PC) and expressed paradoxical reaction of the following (GB) channels (fig. 6.4).

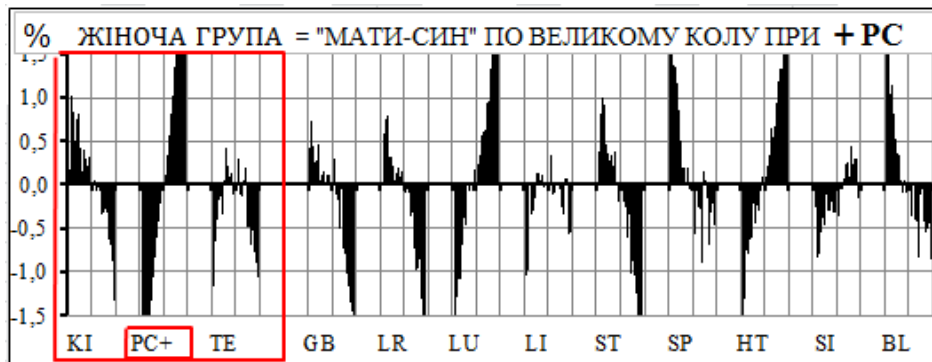


Рис.6.3 Биофизическая реальность правила МАТЬ-СЫН по Большому кругу при возбуждении канала PC.



Fig. 6.3. Biophysical reality of the rule "Mother-Son (through the Big Cycle)" during the excitation of the channel PC.

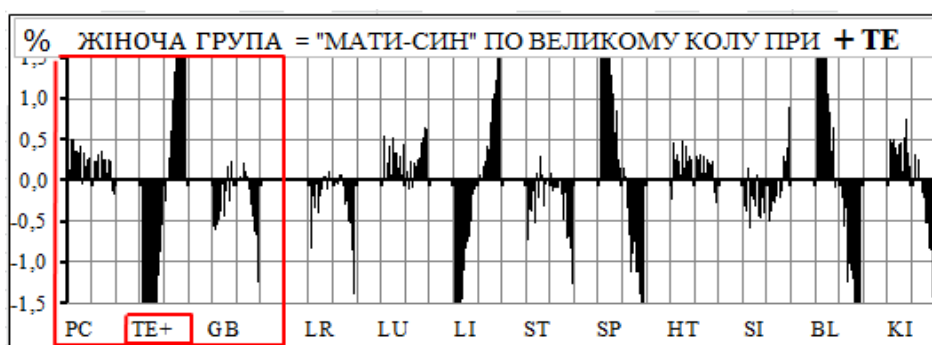


Рис.6.4 Биофизическая реальность правила МАТЬ-СЫН по Большому кругу при возбуждении канала TE

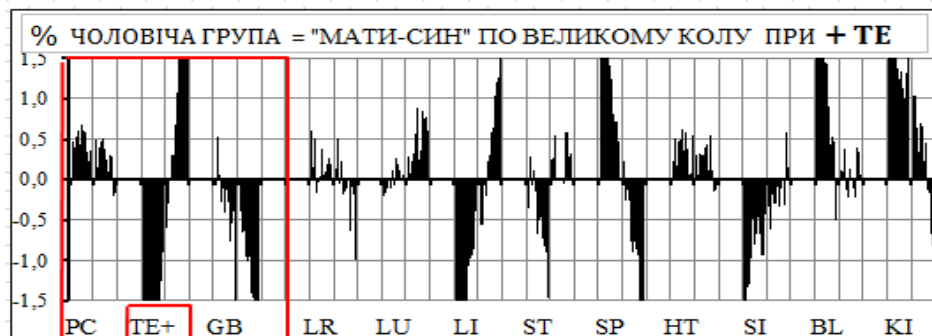


Fig. 6.4. Biophysical reality of the rule "Mother-Son (through the Big Cycle)" during the excitation of the channel TE.



Традиционное правило МАТЬ-СЫН по Большому кругу в комплексе TE-GB-LR по всем группам *наблюдения биофизически реально.* Возбуждение GB обуславливает угнетение предыдущего (TE) и возбуждением следующего (LR) каналов (рис.6.5).

Traditional rule "Mother-Son (through the Big Cycle)" in the complex TE-GB-LR through all groups of observation is *biophysically real.* Excitation of GB conditions oppression of the previous (TE) and excitation of the following (LR) channels (fig. 6.5).



Рис.6.5 Биофизическая реальность правила МАТЬ-СЫН по Большому кругу при возбуждении канала GB

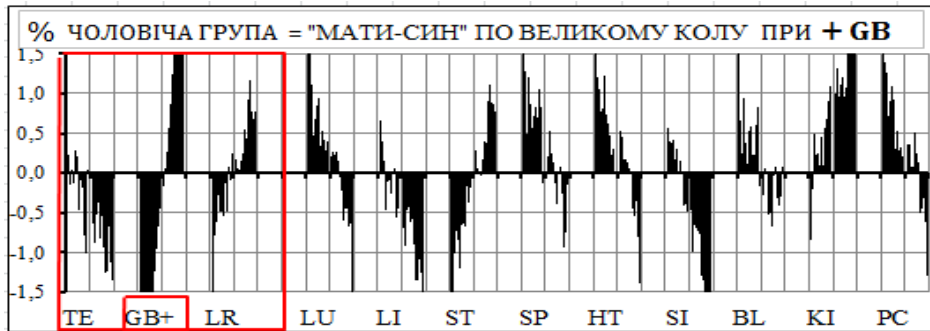


Fig. 6.5. Biophysical reality of the rule "Mother-Son (through the Big Cycle)" during the excitation of the channel GB.



Традиционное правило МАТЬ-СЫН по Большому кругу в комплексе GB-LR-LU по всем группам наблюдения *биофизически не поддержано* (рис.6.6). Возбуждение LR идет в сопровождении возбуждения предыдущего канала (GB) и угнетения следующего (LU).

Traditional rule "Mother-Son (through the Big Cycle)" in the complex GB-LR-LU through all groups of observation *has not been biophysically approved*. Excitation of LR follows the excitation of the previous channel (GB) and conditions oppression the following (LU) channel (fig. 6.6).



Рис.6.6 Биофизическая реальность правила МАТЬ-СЫН по Большому кругу при возбуждении канала LR

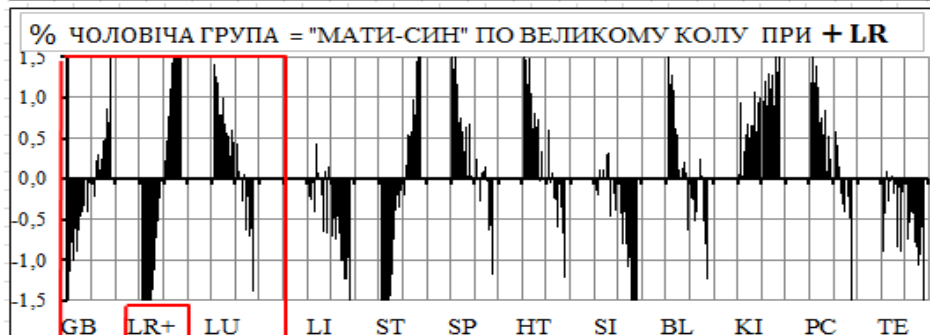


Fig.12.6. Biophysical reality of the rule "Mother-Son (through the Big Cycle)" during the excitation of the channel LR.



Традиционное правило МАТЬ-СЫН по Большому кругу в комплексе LR-LU-LI по всем группам наблюдения *биофизически реально*. Возбуждение LU обуславливает угнетение предыдущего (LR)

Traditional rule "Mother-Son (through the Big Cycle)" in the complex LR-LU-LI through all groups of observation *is biophysically real*. Excitation of LU conditions oppression of the previous (LR) and

и возбуждение следующего (LI) каналов (рис.6.7).

excitation of the following (LI) channels (fig. 6.7).

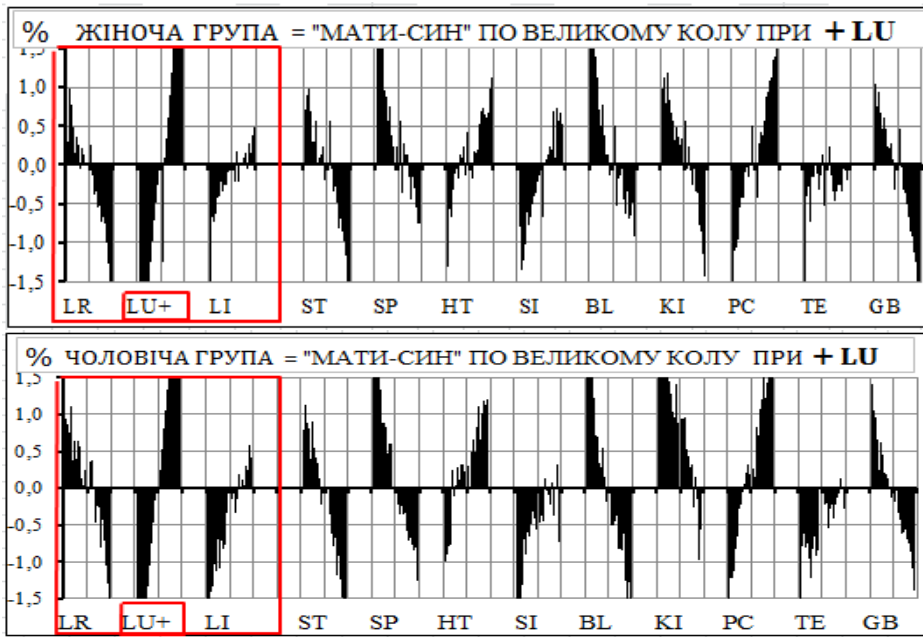


Рис.6.7 Биофизическая реальность правила МАТЬ-СЫН по Большому кругу при возбуждении канала LU



Fig.6.7. Biophysical reality of the rule “Mother-Son (through the Big Cycle)” during the excitation of the channel LU.



Традиционное правило МАТЬ-СЫН по Большому кругу в комплексе LU-LI-ST по всем группам наблюдения *биофизически не поддержано* (мал.6.8). Возбуждение LI идет в сопровождении возбуждения предыдущего канала (LU) и угнетением следующего (ST).

Traditional rule “Mother-Son (through the Big Cycle)” in the complex LU-LI-ST through all groups of observation *has not been biophysically approved*. Excitation of LI follows the excitation of the previous (LU) and oppression of the following (ST) channel (fig. 6.8).

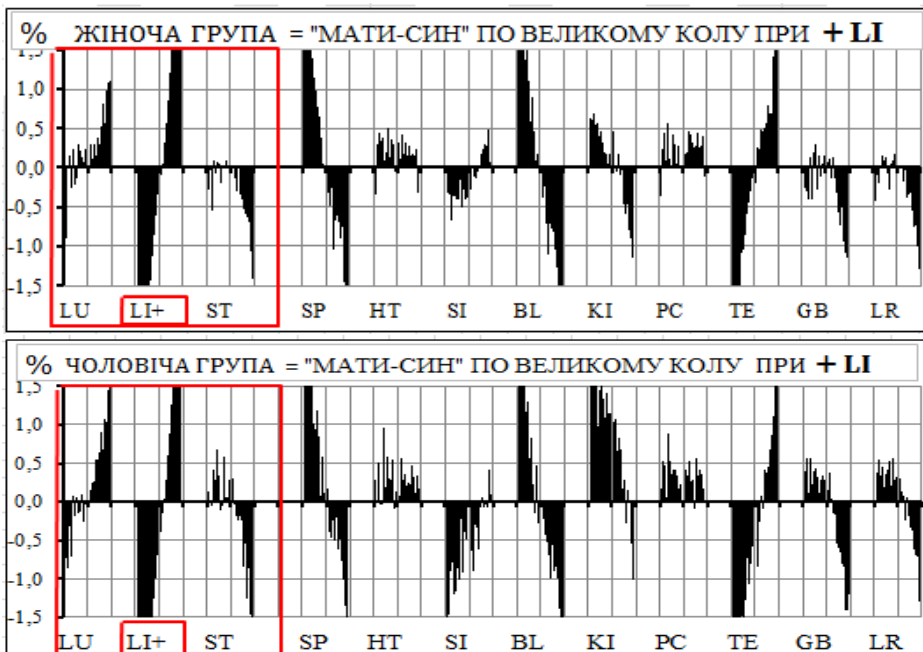


Рис.6.8 Биофизическая реальность правила МАТЬ-СЫН по Большому кругу при возбуждении канала LI



Fig.6.8. Biophysical reality of the rule “Mother-Son (through the Big Cycle)” during the excitation of the channel LI.



Традиционное правило МАТЬ-СЫН по Большому кругу в комплексе LI-ST-SP по всем группам наблюдения *биофизически не поддержано*. Возбуждение

Traditional rule “Mother-Son (through the Big Cycle)” in the complex LI-ST-SP through all groups of observation *has not been biophysically approved*. Excitation of



ST обуславливает угнетение предыдущего (LI) и последующего (SP) каналов (рис.6.9).

ST conditions oppression of the previous (LI) and the following (SP) channels (fig. 6.9).

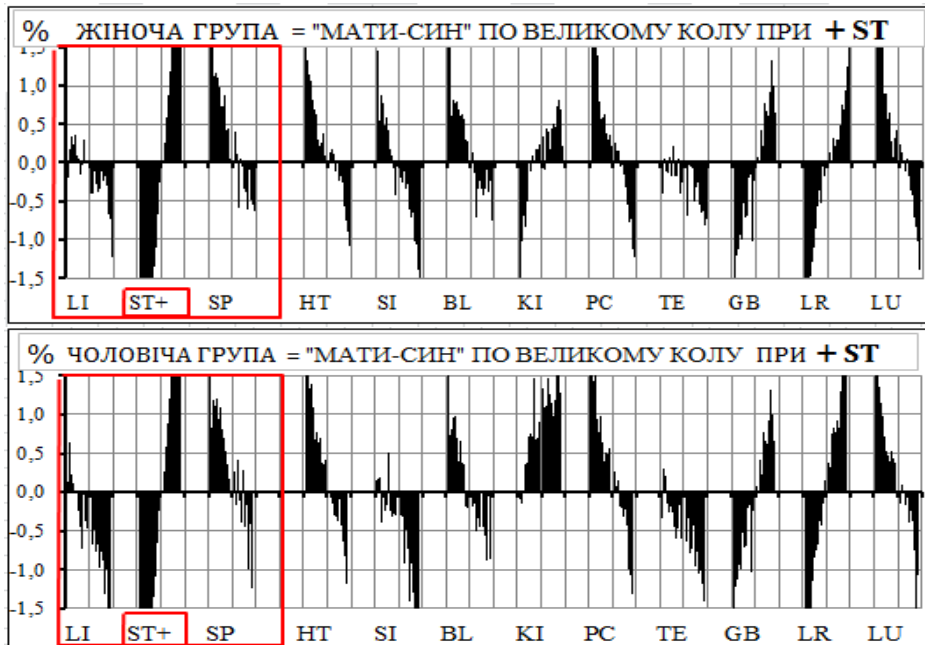


Рис.6.9 Биофизическая реальность правила МАТЬ-СЫН по Большому кругу при возбуждении канала ST



Fig. 6.9. Biophysical reality of the rule “Mother-Son (through the Big Cycle)” during the excitation of the channel ST.



Традиционное правило МАТЬ-СЫН по Большому кругу в комплексе ST-SP-HT по всем группам наблюдения *биофизически не поддержано*. Возбуждение SP обуславливает угнетение предыдущего (ST) и последующего (HT) каналов (рис.6.10).

Traditional rule “Mother-Son (through the Big Cycle)” in the complex ST-SP-HT through all groups of observation *has not been biophysically approved*. Excitation of SP conditions oppression of the previous (ST) and the following (HT) channels (fig. 6.10).

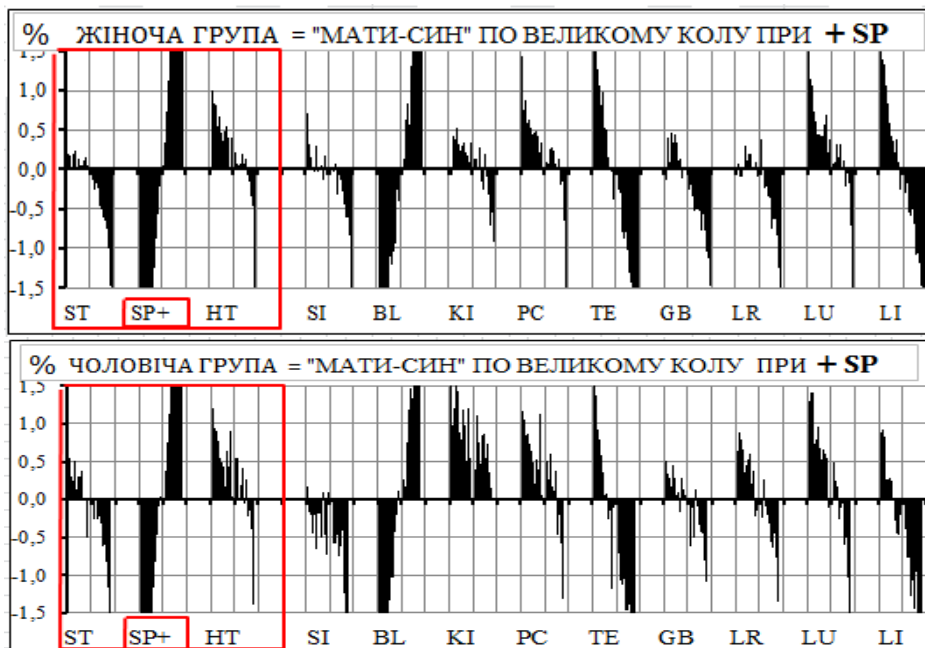


Рис.6.10 Биофизическая реальность правила МАТЬ-СЫН по Большому кругу при возбуждении канала SP



Fig. 4.10. Biophysical reality of the rule “Mother-Son (through the Big Cycle)” during the excitation of the channel SP.



Традиционное правило МАТЬ-СЫН по Большому кругу в комплексе SP-HT-SI по всем группам наблюдения *биофизически не поддержано*. Возбуждение

Traditional rule “Mother-Son (through the Big Cycle)” in the complex SP-HT-SI through all groups of observation *has not been biophysically approved*. Excitation of

HT обуславливает подавления предыдущего (SI) и возбуждением следующего (SI) каналов (мал.6.11).

HT conditions oppression of the previous (SI) and excitation of the following (SI) channels (fig. 6.11).

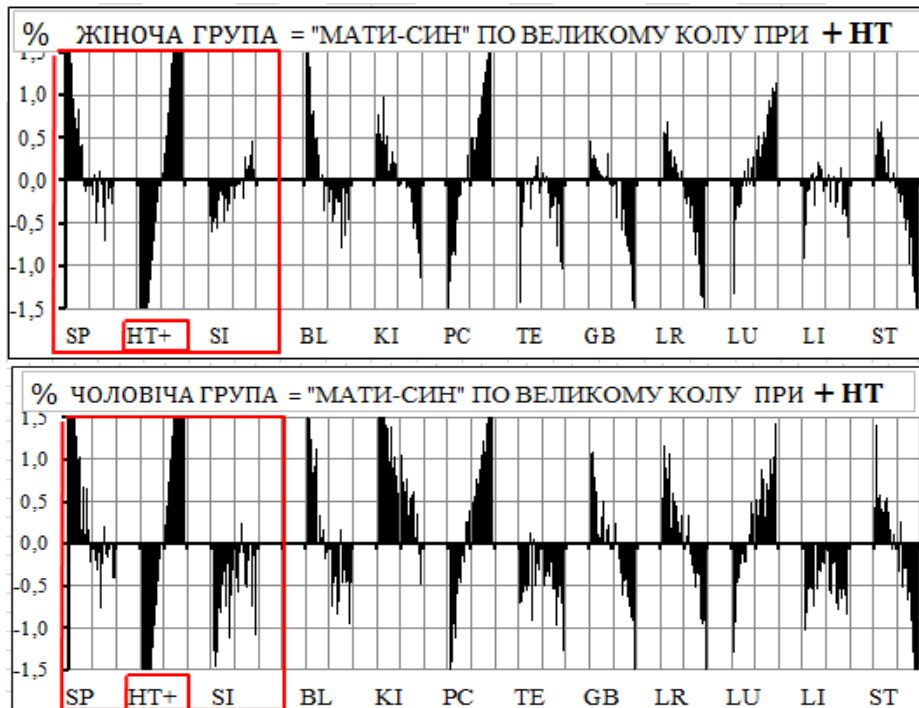


Рис.6.11 Биофизическая реальность правила МАТЬ-СЫН по Большому кругу при возбуждении канала HT



Fig. 4.11. Biophysical reality of the rule "Mother-Son (through the Big Cycle)" during the excitation of the channel HT.



Традиционное правило МАТЬ-СЫН по Большому кругу в комплексе HT-SI-BL по всем группам наблюдения *биофизически не поддержано* (рис.6.12). Возбуждение SI идет в сопровождении возбуждения предыдущего канала (HT) и угнетением следующего

Traditional rule "Mother-Son (through the Big Cycle)" in the complex HT-SI-BL through all groups of observation *has not been biophysically approved*. Excitation of SI follows excitation of the previous channel (HT) and conditions oppression of the following (BL) channel (fig. 6.12).

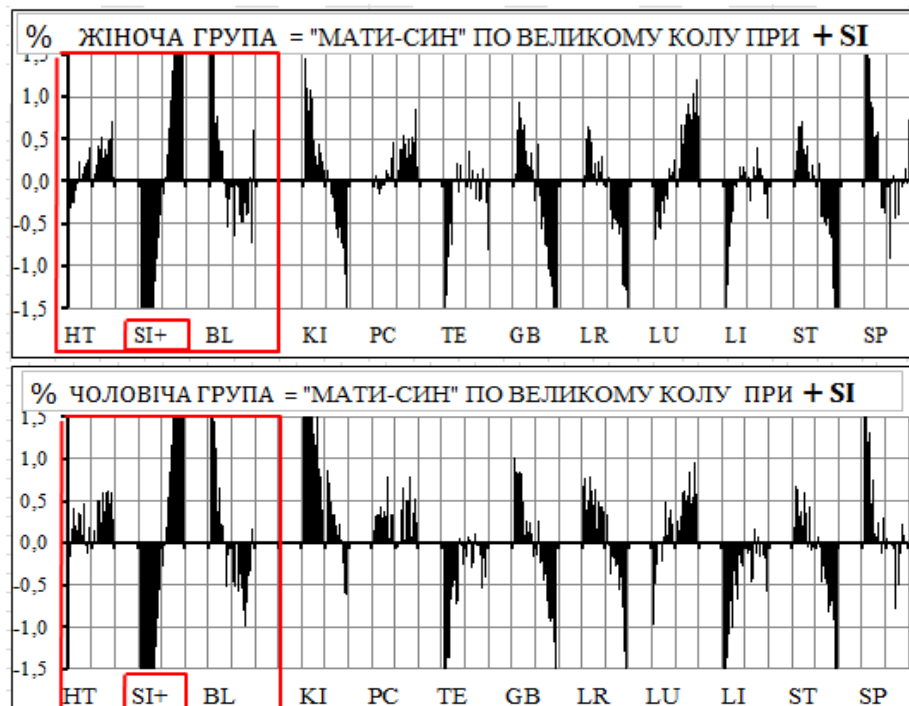


Рис.6.12 Биофизическая реальность правила МАТЬ-СЫН по Большому кругу при возбуждении канала SI



Fig. 4.12. Biophysical reality of the rule "Mother-Son (through the Big Cycle)" during the excitation of the channel SI.



### **Выводы:**

1. Биофизическая реальность традиционного правила МАТЬ-СЫН по Большому кругу в 83,3% наблюдений биофизических не поддержано. Исключением являются комплексы TE-GB + LR±, LR-LU + LI± (16,7%)

2. Экспертный анализ правила указывает на наличие других принципов системной взаимозависимости.

### **GENERAL CONCLUSION:**

1. Biophysical reality of the traditional rule "Mother-Son (through the Big Cycle)" has not been approved in 83,3% of observations. The exception included the complexes TE-GB+LR±, LR-LU+LI± (16,7%).

2. The experimental analysis of the rule points to the presence of other principles of systemic interdependency.





7-я проблема традиционной Чжень-цзю терапии

БИОФИЗИЧЕСКАЯ РЕАЛЬНОСТЬ ТРАДИЦИОННОГО ПРАВИЛА "БИОЛОГИЧЕСКИЕ ЧАСЫ"

7-th issue of traditional Zhenjiu Therapy

BIOPHYSICAL REALITY TRADITIONAL RULES "BIOLOGICAL CLOCK"

ЭМПИРИЧЕСКИЕ ОСНОВЫ ПРАВИЛА "БИОЛОГИЧЕСКИЕ ЧАСЫ"

На традиционном представлении о Большом круге и двух часовой системной активности ЯН-ИНЬ комплексов базируется следующее правило - "Внутренние биологические часы".

Третье традиционное правило "ВНУТРЕННИЕ БИОЛОГИЧЕСКИЕ ЧАСЫ" по Большому кругу циркуляции энергии ЧИ (рис.7.1) декларирует следующее. Энергия ЧИ в парных ветвях 12-ти каналов (меридианов) подчинена двухчасовому биологическому "застою" в "Спаренных каналах" (LU-LI, BL-KI, GB-LR, SI-HT, TE-PC и ST-SP). Последнее обуславливает чередование максимальной и минимальной активности их отдельных элементов (органов).

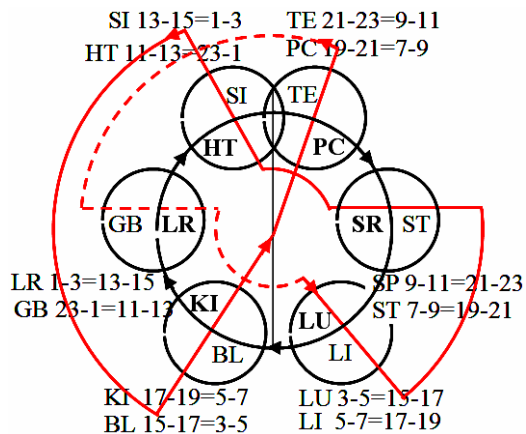


Рис.7.1 Биологические часы

Согласно биологическим часам "максимально-минимальна" системная активность представлена в следующей последовательности. Легкие (LU) 3-5=15-17ч., Толстый кишечник (LI) 5-7=17-19 ч., Толстый кишечник (LI) 5-7=17-19 ч., Желудок (ST) 7-9=19-21ч., Селезенка-поджелудочная железа (SP) 9-11=21-23 ч., Сердце (HT) 11-12=23-1ч., Тонкий

RULES EMPIRICAL BASIS "BIOLOGICAL CLOCK"

Traditional idea about the Big cycle and two-hour activity of systemic yin-yang complexes conditions hypothetical reality of the next traditional rule – Internal biological clock

Traditional rule INTERNAL BIOLOGICAL CLOCK through the Big cycle of energy *QI* circulation (fig.7.1). According to the rule, circulation of energy in two paired branches of twelve channels (*meridians*) is subordinated to two-hour's biological rhythm (*delay*) in the complexes of PAIRED CHANNELS (LU-LI, BL-KI, GB-LR, SI-HT, TE-PC and ST-SP), which conditions characteristic sequence of maximal and minimal activity of separate elements (organs).

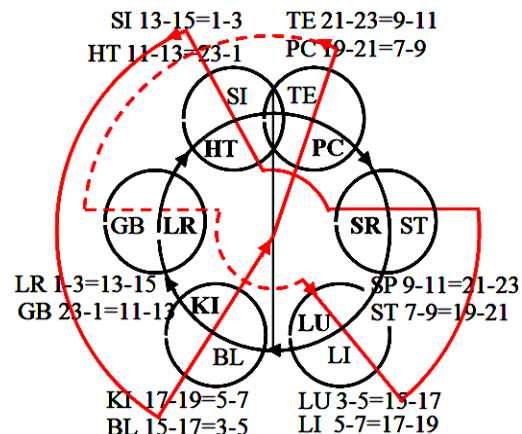


Fig.7.1 Biological clock

According to Biological clock "maximal-minimal" system activity is represented by the following: Lungs (LU) 3-5=15-17 hrs., Large Intestine (LI) 5-7=17-19 hrs., Stomach (ST) 7-9= 19-21 hrs., Spleen-Pancreas (SP) 9-11=21-23 hrs., Heart (HT) 11-12= 23-1 hrs., Small Intestine (SI) 13-15=1-3 hrs., Urinary Bladder

кишечник (SI) 13-15=1-3ч., Мочевой пузырь (BL) 15-17=3-5ч., Почки (KI) 17-19=5-7ч., Перикард (PC) 19-21=7-9ч., Тройной обогреватель (TE) 21-23=9-11ч., Желчный пузырь (GB) 23-1=11-13ч. и Печень (LR) 1-3=13-15ч. (табл.7.1).

Таблица 7.1

**АКТИВНІСТЬ ФУНКЦІОНАЛЬНИХ СИСТЕМ (ФС) ПО ГОДИНАМ ДОБИ**

ФС	АКТИВНІСТЬ		ФС	АКТИВНІСТЬ	
	макс.	мін.		макс.	мін.
LU	3-5	15-17	BL	15-17	3-5
LI	5-7	17-19	KI	17-19	5-7
ST	7-9	19-21	PC	19-21	7-9
SP	9-11	21-23	TE	21-23	9-11
HT	11-13	23-1	GB	23-1	11-13
SI	13-15	1-3	LR	1-3	13-15

Таким образом теория утверждает последовательную энергетическую циркуляцию ЧИ с двух часовым застоём в спаренных каналах, что в целом формирует замкнутый суточный цикл.

Указанное правило частично используют в хронобиологии, находя определенную аналогию с циркадными биологическими ритмами. Последние, с точки зрения космобиологии, являются резонансным отражением Больших космических циклов, ведь многие биологические события совпадают с максимумом и минимумом солнечной активности ...

(BL) 15- 17=3-5 hrs., Kidneys (KI) 17-19= 5-7 hrs., Pericardium (PC) 19-21=7-9 hrs., Lymphatic system-Triple Energizer (TE) 21-23=9-11 hrs., Gall Bladder (GB) 23-1=11-13 hrs., and Liver (LR) 1-3=13-15 hrs. (tab.7.1).

Table 7.1

**ACTIVITY OF FUNCTIONAL SYSTEMS (FS) ACCORDING TO DAY HOURS**

FS	ACTIVITY		FS	ACTIVITY	
	max	min		max	min
LU	3-5	15-17	BL	15-17	3-5
LI	5-7	17-19	KI	17-19	5-7
ST	7-9	19-21	PC	19-21	7-9
SP	9-11	21-23	TE	21-23	9-11
HT	11-13	23-1	GB	23-1	11-13
SI	13-15	1-3	LR	1-3	13-15

Canonical theory states, that sequence-dependent energy transition with two-hour's delay of energy activity in complexes of Paired channels forms closed daily cycle.

It should be noted, that the rule is being partially used today in practical chronobiology, finding certain analogy with cicada's biological rhythms. The latter, from the point of view of cosmobiology, are resonance reflection of Big cosmic cycles, because many biological events concur with maximum and minimum of solar activity...

**БИОФИЗИЧЕСКИЙ РЕАЛЬНОСТЬ ПРАВИЛА "БИОЛОГИЧЕСКИЕ ЧАСЫ"**

Имея в виду известную функциональную зависимость от фазы Луны и проблемный характер вопроса, рассмотрим суточную системную зависимость в женской группе в период её Новой и Полной фазы. Количество суточных наблюдений составило 3.363 случая.

Проведенный биофизический анализ свидетельствует (рис.7.2-13) ...

**BIOPHYSICAL REALITY RULES "BIOLOGICAL CLOCK"**

Bearing in mind the known functional dependence of the monthly activity and problematic issues, consider the daily systemic dependence during its New and Complete periods. Number of daily observations in the women's group was 3363 cases.

Biophysical analysis testifies to the following (fig.7.2-13)...

**СУТОЧНАЯ СИСТЕМНАЯ АКТИВНОСТЬ В ФАЗУ НОВОЙ И ПОЛНОЙ ЛУНЫ**

Согласно традиционному правилу, суточный максимум функциональной активности **BL** наблюдается в 15-17 ча-

**Daily systemic activity during the phase of the New and Full Moon**

According to the traditional rule, a daily maximum of the functional activity of **BL** is observed at 15-17 o'clock, and a minimal

сов, а минимальной в 3-5 (рис.7.2). Данное положение *биофизически не под-держано*. Обращает на себя внимание типичное сходство графиков активности по различным фазам Луны.

one at 3-5 o'clock (fig.7.2). This provision has not been biophysically supported. At the same time, there is a typical similarity of the activity graphs throughout different phases of the Moon.

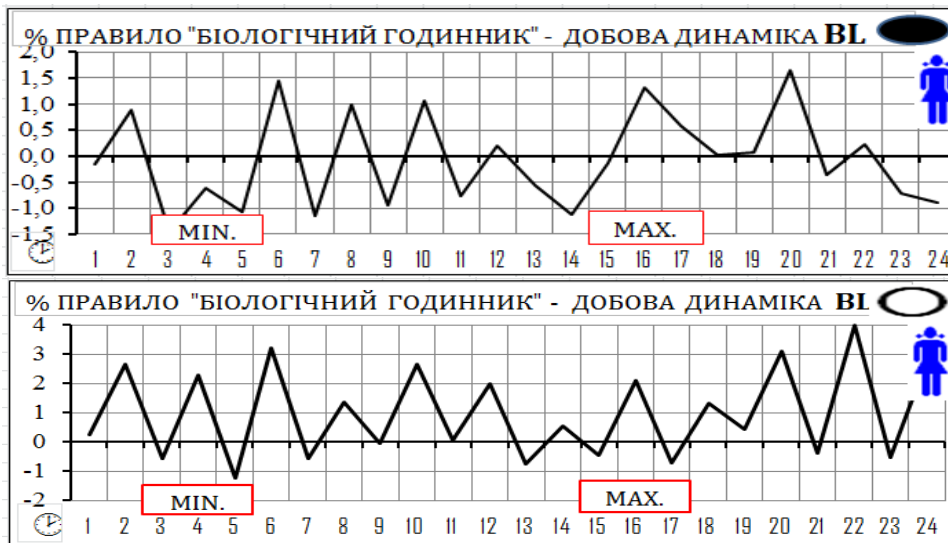


Рис.7.2 Динамика суточной активности BL во время фазы Нового и полной Луны.

Fig.7.2 Dynamics of daily activity of BL during the phases of the new and full Moon.

Согласно традиционному правилу, суточный максимум функциональной активности KI наблюдается в 17-19 часов, а минимальной в 5-7 (рис.7.3). Данное положение *биофизически не под-держано*. Обращает на себя внимание типичное сходство графиков активности по различным фазам Луны.

According to the traditional rule, a daily maximum of functional activity of KI is observed at 17-19 o'clock, and a minimum at 5-7 o'clock (fig.7.3). This provision has not been biophysically supported. At the same time, there is a typical similarity in the activity graphs in different phases of the Moon.

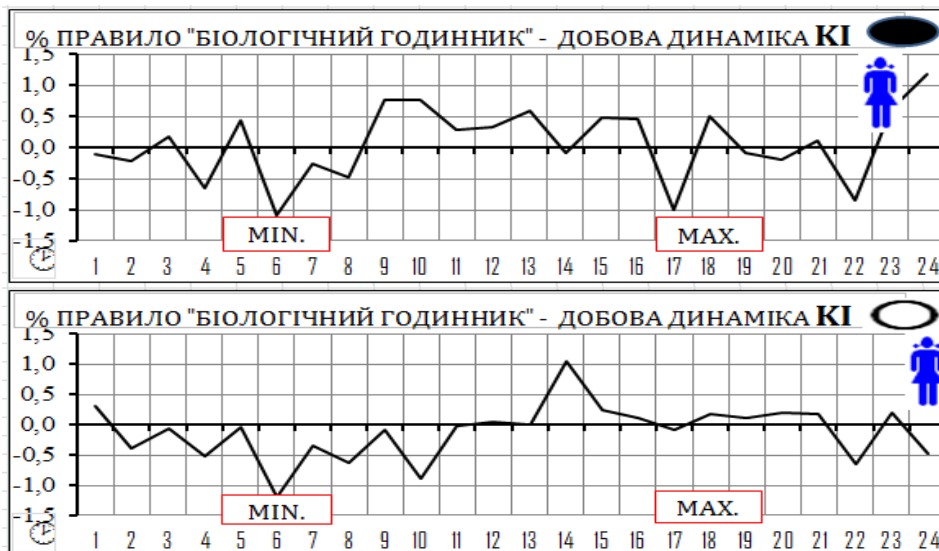


Рис.7.3 Суточная динамика активности KI в период Нового и полной Луны.

Fig.7.3 Dynamics of daily activity of KI during the phases of the new and full Moon.

Согласно традиционному правилу, суточный максимум функциональной активности PC наблюдается в 19-21 часов, а минимальной в 7-9 (рис.7.4). Данное положение *биофизически не под-держано*. Обращает на себя внимание

According to the traditional rule, a daily maximum of functional activity of PC is observed at 19-21 o'clock, and a minimum activity at 7-9 o'clock (fig.7.4). This provision has not been biophysically supported. At the same time, there is a typical similari-

типичное сходство графиков активности по различным фазам Луны.

ty in the activity graphs in different phases of the Moon.

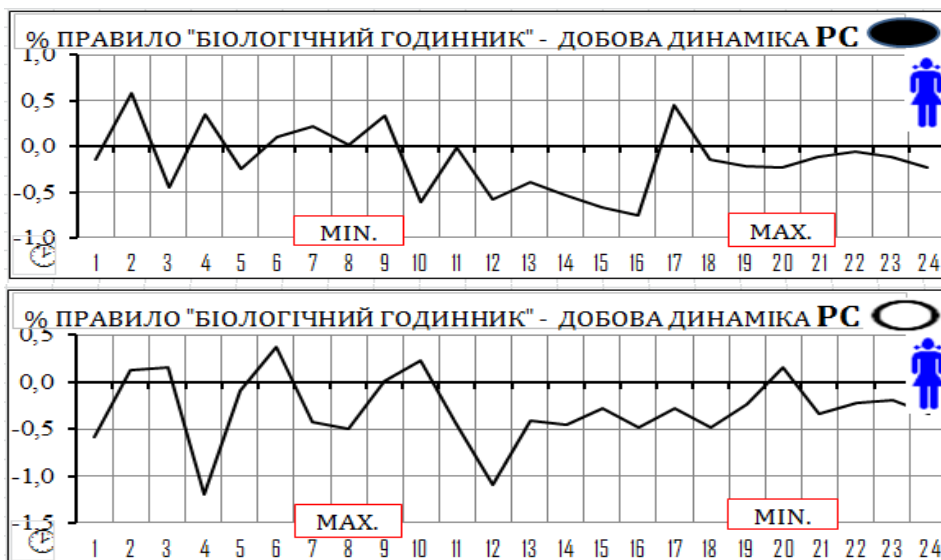


Рис.7.4 Суточная динамика активности PC в период Нового и Полной Луны.

Fig.7.4 Dynamics of daily activity of PC during the phases of the new and full Moon.

Согласно традиционному правилу, суточный максимум функциональной активности TE наблюдается в 21-23 часов, а минимальной в 9-11 (рис.7.5). Данное положение *биофизически не поддержано*. Обращает на себя внимание типичное сходство графиков активности по различным фазам Луны.

According to the traditional rule, a daily maximum of functional activity of TE is observed at 21-23 o'clock, and the minimum at 9-11 o'clock (fig.7.5). This provision has not been biophysically supported. At the same time, there is a typical similarity in the activity graphs in different phases of the Moon.

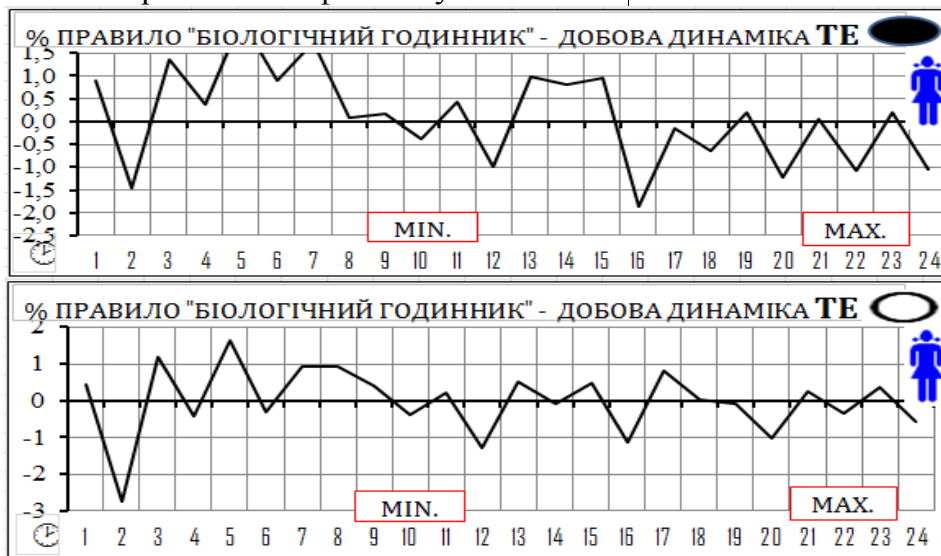


Рис.7.5 Суточная динамика активности TE в период Нового и Полной Луны.

Fig.7.5 Dynamics of daily activity of TE during the phases of the new and full Moon.

Согласно традиционному правилу, суточный максимум функциональной активности GB наблюдается в 23-1 часов, а минимальной в 11-13 (рис.7.6). Данное положение *биофизически не поддержано*. Обращает на себя внимание типичное сходство графиков активности по различным фазам Луны.

According to the traditional rule, a daily maximum of functional activity of GB is observed at 23-1 o'clock, and the minimum at 11-13 o'clock (fig.7.6). This provision has not been biophysically supported. At the same time, there is a typical similarity in the activity graphs in different phases of the Moon.

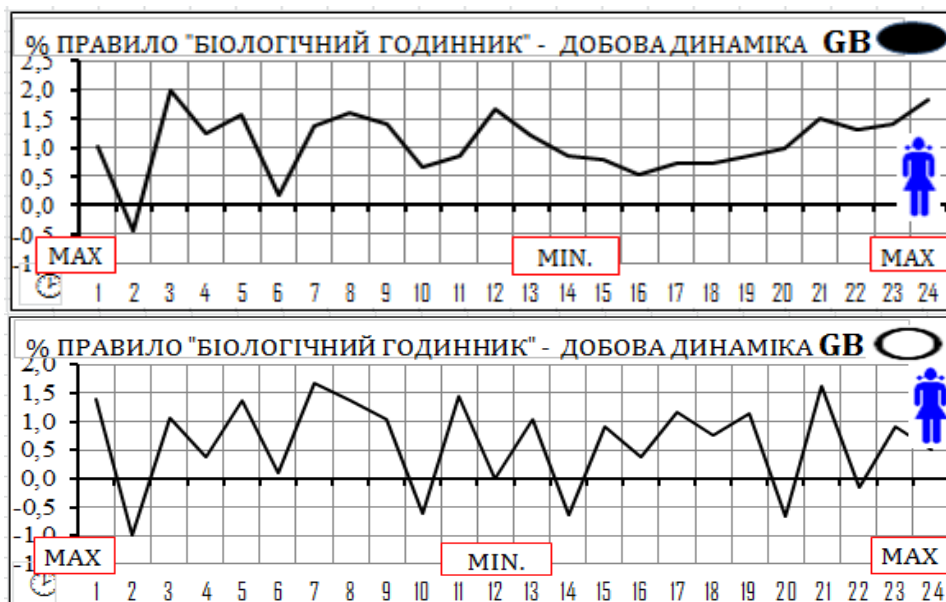


Рис.7.6 Суточная динамика активности GB в период Нового и полной Луны.

Fig.7.6 Dynamics GB daily activity during the phase of the new and full Moon.

Согласно традиционному правилу, суточный максимум функциональной активности LR наблюдается в 15-17 часов, а минимальной в 3-5 (рис.7.7). Данное положение *биофизически не под-держано*. Обращает на себя внимание типичное сходство графиков активности по различным фазам Луны.

According to the traditional rule, a daily maximum of functional activity of LR is observed at 15-17 o'clock, and a minimum at 3-5 o'clock (fig.7.7). This provision has not been biophysically supported. At the same time, there is a typical similarity in the activity graphs in different phases of the Moon.

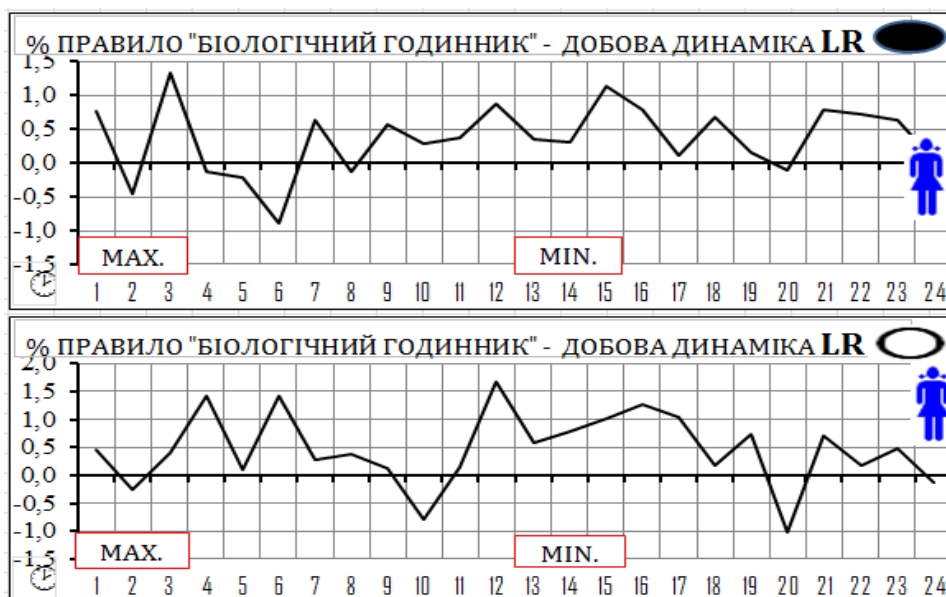


Рис.7.7 Суточная динамика активности LR в период Нового и полной Луны.

Fig.7.7 Dynamics of daily activity of LR during the phases of the new and full Moon.

Согласно традиционному правилу, суточный максимум функциональной активности LU наблюдается в 3-5 часов, а минимальной в 15-17 (рис.7.8). Данное положение *биофизически не под-держано*. Обращает на себя внимание типичное сходство графиков активности по различным фазам Луны.

According to the traditional rule, a daily maximum of functional activity of LU is observed at 3-5 o'clock, and the minimum at 15-17 o'clock (fig.7.8). This provision has not been biophysically supported. At the same time, there is a typical similarity in the activity graphs in different phases of the Moon.





Рис.7.8 Суточная динамика активности LU в период Нового и Полной Луны.

Fig.7.8 Dynamics of daily activity of LU during the phases of the new and full Moon.

Согласно традиционному правилу, суточный максимум функциональной активности **LI** наблюдается в 5-7 часов, а минимальной в 17-19 (рис.7.9). Данное положение *биофизически не поддержано*. Обращает на себя внимание типичное сходство графиков активности по различным фазам Луны.

According to the traditional rule, a daily maximum of functional activity of **LI** is observed at 5-7 o'clock, and the minimum at 17-19 o'clock (fig.7.9). This provision has not been biophysically supported. At the same time, there is a typical similarity in the activity graphs in different phases of the Moon.

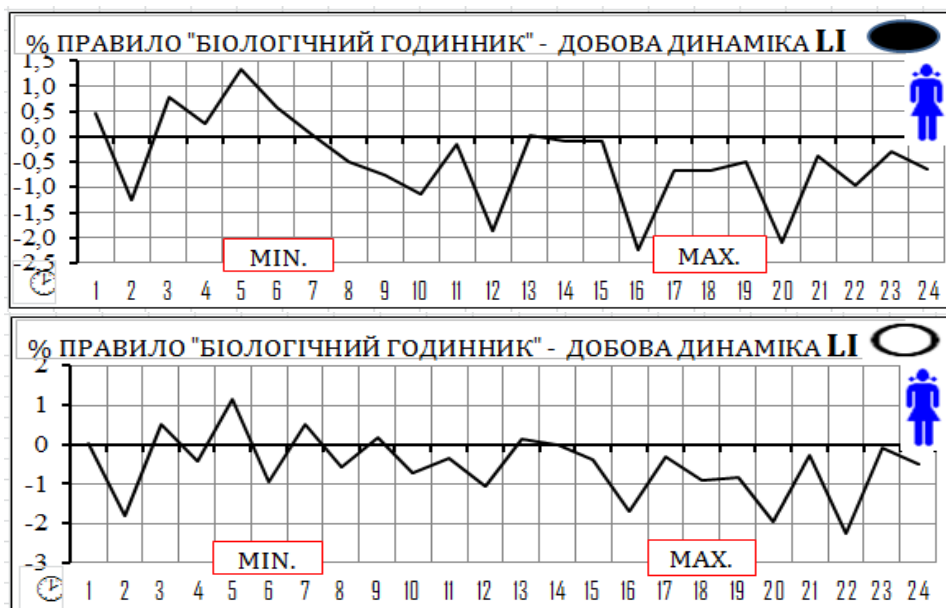


Рис.7.9 Суточная динамика активности LI в период Нового и полной Луны.

Fig.7.9 Dynamics of daily activity of LI during the new and full Moon.

Согласно традиционному правилу, суточный максимум функциональной активности **ST** наблюдается в 7-9 часов, а минимальной в 19-21 (рис.7.10). Данное положение биофизически не поддержано. Обращает на себя внимание типичное сходство графиков активности по различным фазам Луны.

According to the traditional rule, a daily maximum of functional activity of **ST** is observed at 7-9 o'clock, and the minimum at 19-21 o'clock (fig.7.10). This provision has not been biophysically supported. At the same time, there is a typical similarity in the activity graphs in different phases of the Moon.

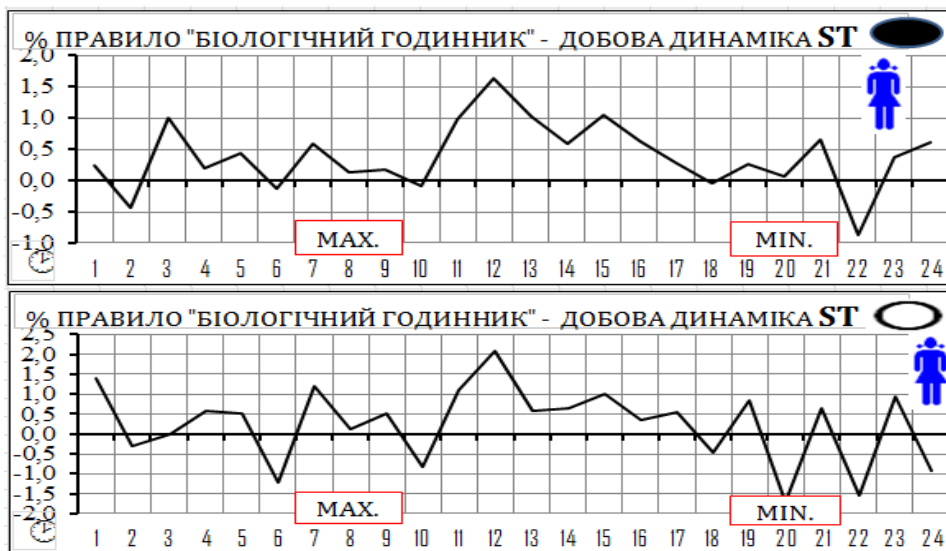


Рис.7.10 Суточная динамика активности ST в период Нового и Полной Луны.

Fig.7.10 Dynamics of daily activity of ST during the phases of the new and full Moon.

Согласно традиционному правилу, суточный максимум функциональной активности **SP** наблюдается в 9-11 часов, а минимальной в 21-23 (рис.7.11). Данное положение *биофизически не поддержано*. Обращает на себя внимание типичное сходство графиков активности по различным фазам Луны.

According to the traditional rule, a daily maximum of functional activity of **SP** is observed at 9-11 hours, and a minimum at 21-23 o'clock (fig.7.11). This provision has not been biophysically supported. At the same time, there is a typical similarity in the activity graphs in different phases of the Moon.



Рис.7.11 Суточная динамика активности SP в период Нового и полной Луны.

Fig.7.11 Dynamics of daily activity of SP during the phases of the new and full Moon.

Согласно традиционному правилу, суточный максимум функциональной активности **HT** наблюдается в 11-13 часов, а минимальной в 23-1 (рис.7.12). Данное положение *биофизически не поддержано*. Обращает на себя внимание типичное сходство графиков активности по различным фазам Луны.

According to the traditional rule, a daily maximum of functional activity of **HT** is observed at 11-13 o'clock, and the minimum at 23-1 o'clock (fig.7.12). This provision has not been biophysically supported. At the same time, there is a typical similarity in the activity graphs in different phases of the Moon.

Согласно традиционному правилу, суточный максимум функциональной активности **SI** наблюдается в 15-17 ча-

According to the traditional rule, a daily maximum of functional activity of **SI** is observed at 15-17 o'clock, and a minimum

сов, а минимальной в 3-5 (мал.7.13). Данное положение *биофизически не поддержано*. Обращает на себя внимание типичное сходство графиков активности по различным фазам Луны.

at 3-5 o'clock (fig.7.13). This provision has not been biophysically supported. At the same time, there is a typical similarity in the activity graphs in different phases of the Moon.



Рис.7.12 Суточная динамика активности HT в период Нового и полной Луны.



Fig.7.12 Dynamics of daily activity of SP during the phases of the new and full Moon.



Рис.7.13 Суточная динамика активности SI в период Нового и полной Луны.



Fig.7.13 Dynamics of daily activity of SI during the phases of the new and full Moon.

### СПЕЦИФИКА ФУНКЦИОНАЛЬНОГО СУТОЧНОГО БИОРИТМА

При анализе суточного биоритма была обнаружена специфическая активность базовых систем **BL** и **SP** первого и второго функциональных комплексов. Последняя проявилась в их синхронном угнетении по нечётным часам суток и возбуждении по чётным часам. Обнаруженный двухчасовой биоритм оказался функциональным системным пейсмейкером (водителем вегетативного ритма), стабильным во времени и наиболее вы-

### SPECIFICITY OF FUNCTIONAL DAILY BIORHYTHM

During the analysis of daily biorhythm, we found specific activity of the basic systems, **SP** and **BL**, of the first and second functional complexes. The latter manifested in their synchronous oppression during the odd hours of the day, and the excitation during the even hours. The discovered two-hour biorhythm turned out to be a functional systemic pacemaker (**driver of the rhythm**), stable in time and in the most vivid during the phase of the full Moon (fig.

раженным в фазу полной Луны (рис. 7.14).

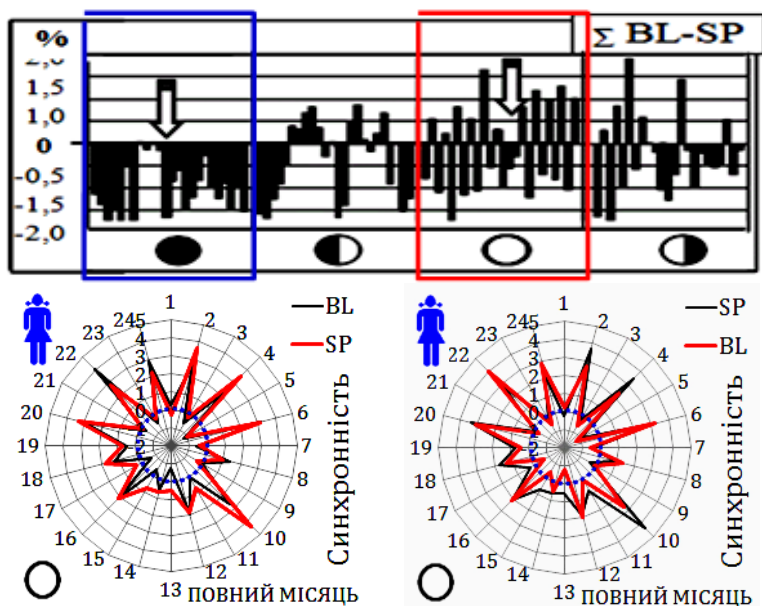


Рис.7.14 Особенности синхронного суточного биоритма комплексов BL-SP и SP-BL по четным и нечетным часам в фазу полной Луны

Fig.7.14 Peculiarities during the synchronous circadian biorhythm of the complexes BL-SP and SP-BL during even and odd hours of the full Moon phase.

Обращает на себя внимание следующее: в фазу Новолуния активность BL-SP находится в зоне парасимпатической активности; при Полной луне их динамика приобретает четкий ритм вокруг зоны вегетативного равновесия, а по фазам первой и второй четверти - переходных форм.

Феномен указывает на специфическую активность BL-SP, которая в течение суток по "нечетным часам" угнетается, а по "четным часам" - возбуждается.

Специфическим выглядит и колебания указанных систем вокруг зоны их функциональной нормы (рис.7.15)

The following is notable: during the phase of the New Moon, the activity of BL-SP is in the zone of parasympathetic activity; during the Full Moon, their dynamics acquires a vivid rhythm around the zone of vegetative equilibrium, while during the phases of the first and the fourth quarters - transitive forms.

The phenomenon points to the specific activity of BL-SP, which during a day in "odd hours" are being oppressed, while in "paired hours" – excited.

There is also certain specificity in the fluctuations of the mentioned systems around the area of their functional norm (fig.7.15).

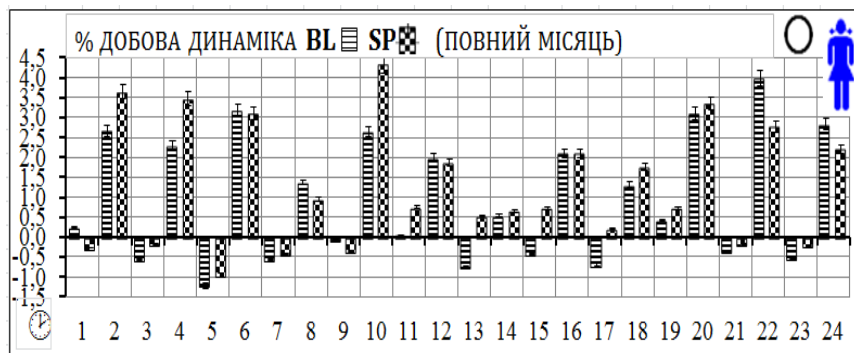


Рис .7.15 Динамика BL и SP по четным и нечетным часам суток (Полнолуние)

Fig.7.15 Dynamics of BL and SP during even and odd hours of the day (Phase of the full Moon)

Установлено, что ряд функциональных систем организма находятся в противоположной зависимости от базового ритма ведущих каналов, что видно на

It has been established that a number of functional systems are in opposite dependency on the basic rhythm of the leading channels, which is seen in the example of

примере асинхронной активности в системных парах BL-GB и SP-TE (мал.7.16). При этом заметим, что обнаруженная проблема имеет непосредственное отношение к механизмам вегетативного патогенеза и будет рассмотрена в соответствующем разделе.

asynchronous activity in the systemic pairs of BL-GB and SP-TE (fig.7.16). At the same time, we note that the identified issue has a direct relation to the mechanisms of autonomic pathogenesis and will be discussed in the appropriate section.

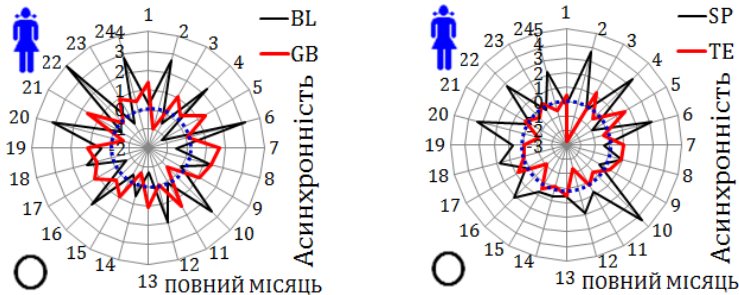


Рис.7.16 Асинхронный суточный биоритм BL-GB и SP-TE (фаза полной Луны)

Fig.7.16 Asynchronous circadian biorhythm of BL-GB and SP-TE (full Moon phase)

### Выводы.

1. Традиционное правило "Биологические часы" биофизически не поддержано и не должно использоваться в медицинской и реабилитационной практике.

2.Суточный системно-функциональный двух часовой биоритм зависит от космофизических факторов (в частности, Лунной активности) и формирует по чётным и нечётным часам системно-противоположную активность (возбуждение - угнетение) ведущих систем первого (BL) и второго (SP) функциональных комплексов .. Последняя, в виде синхронно-асинхронной зависимости, направлена на обеспечение динамической устойчивости вегетативного гомеостаза и процессов адаптации.

### CONCLUSION.

1.The traditional rule "BIOLOGICAL CLOCK" has no biophysical support and should not be used in medical and rehabilitation practices.

2.Circadian systemic-functional two-hour biorhythm depends on the cosmophysical factors (Moon activity) and forms, according to even and odd hours, the opposite-system activity (excitation - oppression) of the leading systems of the first (BL) and the second (SP) functional complexes. The latter, in the form of synchronous-asynchronous dependency, is aimed at the maintenance of the dynamic sustainability of vegetative homeostasis and the processes of adaptation.





**8-я проблема традиционной Чжень-цзю терапии**

**БИОФИЗИЧЕСКАЯ РЕАЛЬНОСТЬ СИСТЕМНОЙ ЗАВИСИМОСТИ ПО ЦИКЛУ "ПЯТЬ ЭЛЕМЕНТОВ (ЦИКЛ ЗВЕЗДЫ)"**

**8-th issue of traditional Zhenjiu Therapy**

**BIOFIFIZYCHNA REALITY SYSTEM DEPENDING ON CYCLE "THE FIFTH ELEMENT (CYCLE STARS)"**

Пришло время рассмотреть традиционное положение "ПЯТЬ ЭЛЕМЕНТОВ" и Правила, связанные с данной теорией.

Now it's time to consider the position of the traditional five elements and rules associated with this theory ...

**ЭМПИРИЧЕСКИЕ ОСНОВЫ ТРАДИЦИОННОГО ПОЛОЖЕНИЯ "ПЯТЬ ЭЛЕМЕНТОВ"**

**TRADITIONAL EMPIRICAL BASIS PROVISIONS "FIFTH ELEMENT"**

**Традиционное положение ПЯТЬ ЭЛЕМЕНТОВ** (теория У-СИН, концепция ЧЖАН-ФУ). "Законами глубинной циркуляции энергии ЧИ" предусмотрено наличие связей активации и угнетения (деструкции) в системных триадах цикла ЗВЕЗДА (рис.8.1). При этом их элементы (рис.8.2) представлены отдельными системами ЯН (внешняя часть круга) и Инь (внутренняя часть круга).

**Traditional rule "FIFTH ELEMENT"** according to the laws of deep circulation of energy QI involves complex use of connections of activation, oppression and anti oppression in every subsequent triad of functional systems according to the cycle of Star (fig.8.1) and conception ZANG-FU about Main organs (fig. 8.2).

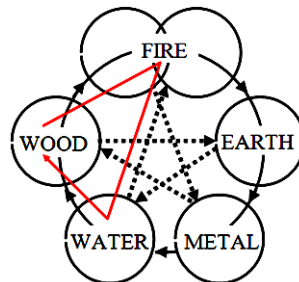
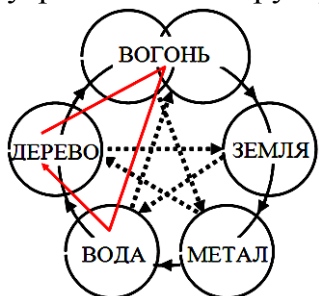


Рис.8.1 Цикл Звезды: системное возбуждения следующего элемента (→) и угнетение последующего (.....→) в избранных триадах.

Fig.8.1. Star Cycle: systemic excitation of the following element (→) and oppression of the subsequent element (.....→) in selected triads

Согласно циклу ЗВЕЗДА указанная системная зависимость существует в следующих триадах Элементов: ВОДА-Дерево-Огонь, ДЕРЕВО-Огонь-Земля, Огонь-Земля-Металл, ЗЕМЛЯ-Металл-Вода и МЕТАЛ-Вода-Дерево.

According to the conception WU XING, the mentioned interdependency according to the rule Grandfather-Grandson exists in the following triads of elements: WATER-Wood-Fire, WOOD-Fire-Earth, FIRE-Earth-Metal, EARTH-Metal-Water and METAL-Water-Wood.

Согласно концепции ЧЖАН-ФУ комплексные триады формируют следующие Главные органы (рис.8.2). В системе группе ЯН это BL-GB-SI, GB-SI-TE, SI-TE-ST, TE-ST-LI, ST-LI-BL и LI-BL-GB. В системе ИНЬ группы это SP-LU-KI, LU-KI-LR, KI-LR-HT, LR-HT-PC, HT-PC-SP и PC-SP-LU. Напомним, что согласно тра-

According to the conception ZHANG-FU triads are formed by the following Main organs (fig. 8.2). In system of group YANG are BL-GB-SI, GB-SI-TE, SI-TE-ST, TE-ST-LI, ST-LI-BL and LI-BL-GB. In the system of group YIN are SP-LU-KI, LU-KI-LR, KI-LR-HT, LR-HT-PC, HT-PC-SP and

диционным законам глубинной циркуляции энергии (концепции ЧЖАН-ФУ, ИНЬ-ЯН, ЦЗИН-ЛО) указанные взаимосвязи отдельно существуют между органами (системами) ИНЬ и ЯН.

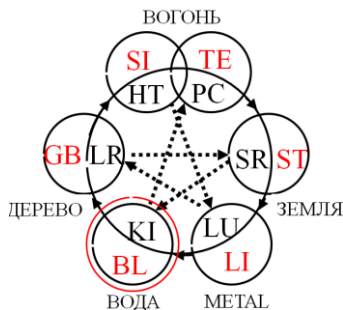


Рис.8.2

PC-SP-LU. It should be noted, that according to the traditional laws of deep energy circulation (conceptions ZANG-FU, YIN-YANG, JING LUO) the interconnections exist separately between organs (systems) YIN-YANG.

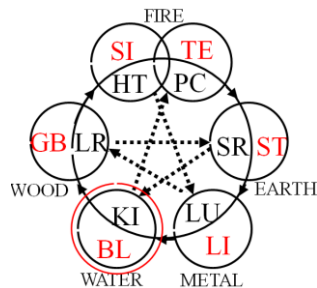


Fig.8.2

**БИОФИЗИЧЕСКАЯ РЕАЛЬНОСТЬ  
ТРАДИЦИОННОГО ПОЛОЖЕНИЕ "ПЯТЬ  
ЭЛЕМЕНТОВ (ЦИКЛ ЗВЕЗДА)"**

**BIOPHYSICAL REALITY OF THE TRADITIONAL  
PROVISION ABOUT "FIVE ELEMENTS  
(STAR CYCLE)"**

А теперь откроем "Украинский ящик Пандоры"... Он принесёт поклонникам традиционной Чжень-цзю терапии много неожиданностей (в том числе и нашим китайским Учителям, к которым мы относимся с глубоким уважением)! Рассмотрим биофизическую реальность традиционных связей цикла ЗВЕЗДА в соответствующих ЯН и ИНЬ триадах (рис.8.3-17).

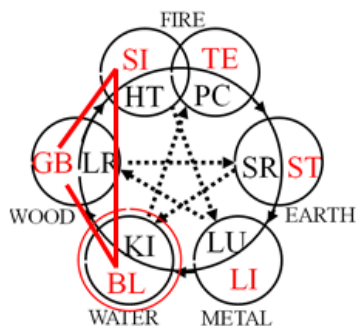
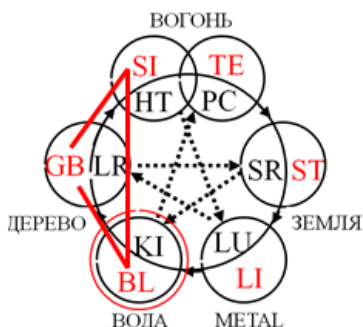
Now let us open the "Ukrainian Pandora's box" that will bring many surprises to the admirers of traditional *Zhenjiu* therapy (including our Chinese teachers, for whom we have sincere and deep respect) ... and observe the biophysical reality of the traditional connections in the STAR cycle in the corresponding *YANG* and *YIN* triads (fig. 8.3-17).

Биофизический анализ свидетельствует о следующем.

Biophysical analysis testifies to the following.

Согласно теории, возрастание активности **BL** обеспечивает следующую системную зависимость:  $+BL = +GB - TE$  (в реальности мы имеем  $+BL = -GB - TE$ ). В данном случае традиционное правило *не имеет биофизической поддержки* и свидетельствует о существовании иных закономерностей (рис. 8.3).

According to theory, the increase in activity of **BL** should provide the following systemic dependency:  $+BL = +GB - TE$  (in reality we have  $+BL = -GB - TE$ ). In this case, the traditional rule is not supported by biophysical evidence and testifies to the existence of other laws (fig.8.3).



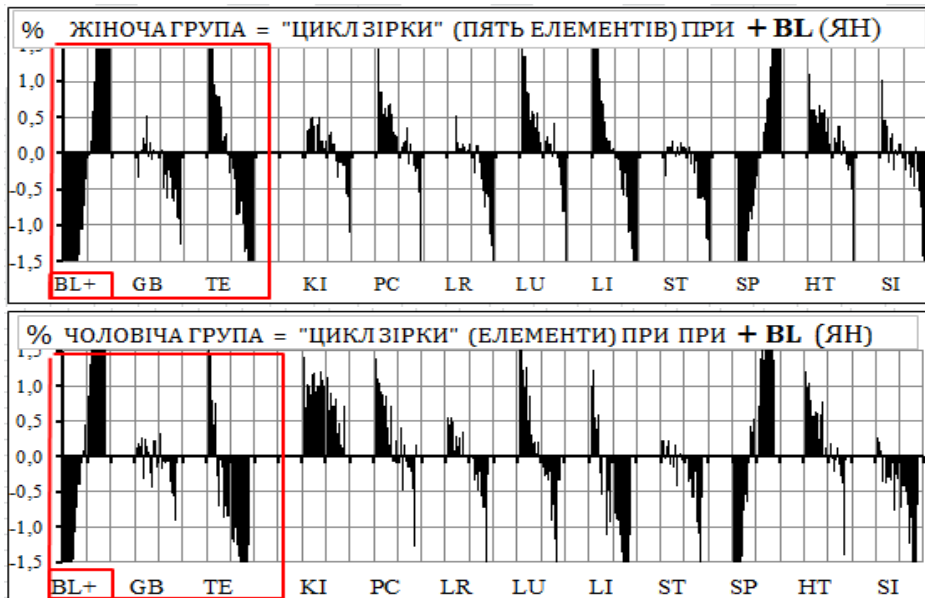


Рис.8.3 Традиционное правило в триаде BL-GB-SI биологически не поддержано.



Fig.8.3 Traditional rule in the triad of BL-GB-SI is biophysically unsupported.



Согласно теории, возрастание активности **GB** должно обеспечить следующую системную зависимость:  $+GB = +SI -ST$  (в реальности мы имеем  $+GB = -SI + ST$ ). В данном случае традиционное правило *не имеет биологической поддержки* и свидетельствует о существовании других закономерностей (рис.8.4).

According to the theory, the increase in **GB** activity should provide the following systemic dependency:  $+GB = +SI -ST$  (in reality we have  $+GB = -SI + ST$ ). In this case, the traditional rule is not supported by biophysical evidence and testifies to the existence of other laws (fig.8.4).

Согласно теории, возрастание активности **GB** должно обеспечить следующую системную зависимость:  $+GB = +TE -ST$  (в реальности мы имеем  $+GB = \cap -TE + SI$ , рис.8.5). В данном случае традиционное правило *не имеет биологической поддержки* и свидетельствует о других закономерностях.

According to the theory, the increase in **GB** activity should provide the following systemic dependency:  $+GB = +TE -ST$  (in reality we have  $+GB = \cap -TE + SI$ ). In this case, the traditional rule is not supported by biophysical evidence and testifies to the existence of other laws (fig.8.5).

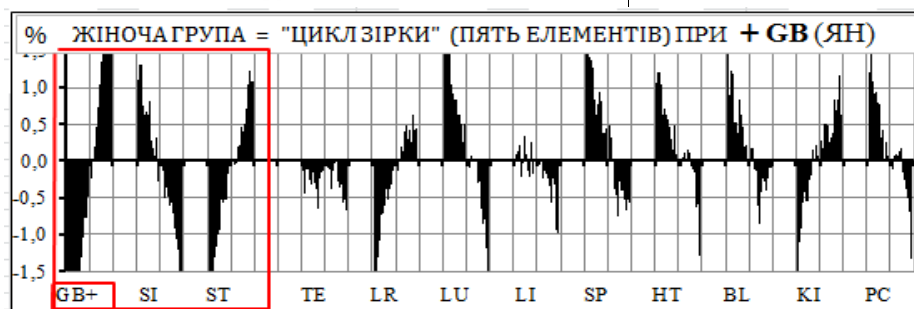
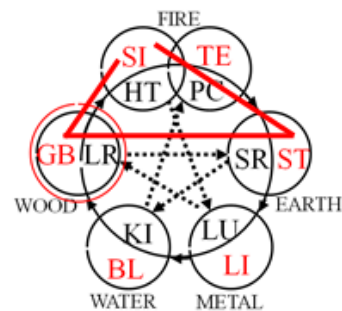
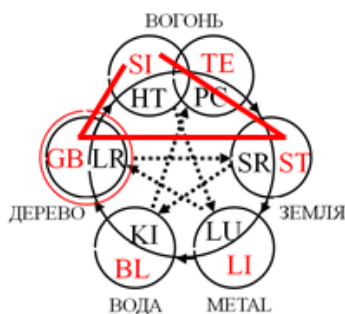


Рис.8.4 Традиционное правило в триаде GB-SI-ST биологически не поддержано.







Fig.8.4 Traditional rule in the triad of **GB-SI-ST** is biophysically unsupported.

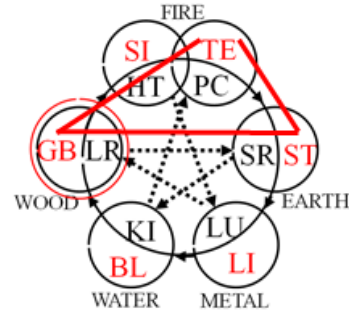
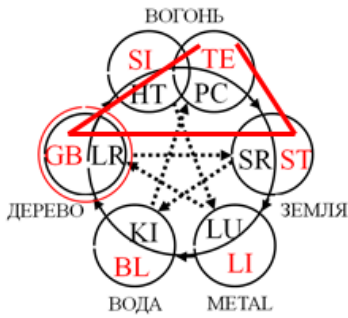


Рис.8.5 Традиционное правило в триаде **GB-TE-ST** биофизически не под-держано.

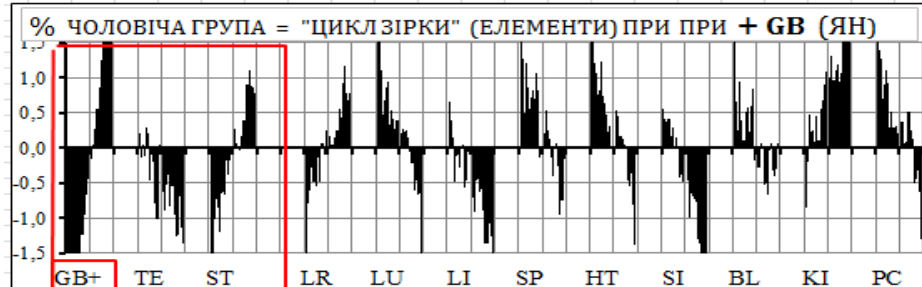
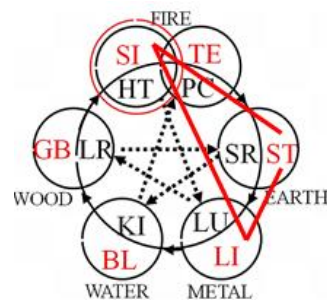
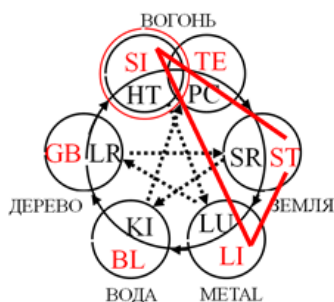


Fig.8.5 Traditional rule in the triad of **GB-TE-ST** is biophysically unsupported.



Согласно теории, возрастание активности **SI** должно обеспечить следующую системную зависимость:  $+SI = +ST -LI$  (в реальности мы имеем  $+SI = -ST +LI$ ). В данном случае традиционное правило *не имеет биофизической поддержки* и свидетельствует о существовании других закономерностей (рис.8.6).

According to the theory, the increase in **SI** activity should provide the following systemic dependency:  $+SI = +ST -LI$  (in reality we have  $+SI = -ST +LI$ ). In this case, the traditional rule is not supported by biophysical evidence and testifies to the existence of other laws (fig.8.6).



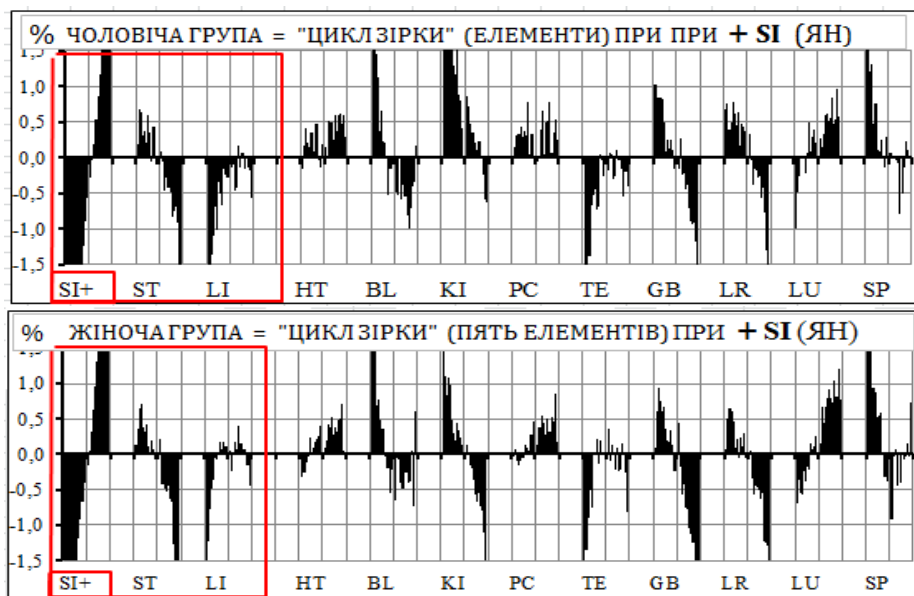


Рис.8.6 Традиційне правило в триаді **SI-ST-LI** біофізически не підтримано.



Fig.8.6 Traditional rule in the triad of **SI-ST-LI** is biophysically unsupported.



Согласно теории, возрастание активности **TE** должно обеспечить следующую системную зависимость:  $+TE = +ST -LI$  (в реальности мы имеем  $+TE = \cap ST +LI$ , рис. 8.7). В данном случае традиционное правило *не имеет биофизической поддержки* и свидетельствует о существовании других закономерностей.

According to the theory, the increase in **TE** activity should provide the following systemic dependency:  $+TE = +ST -LI$  (in reality we have  $+TE = \cap ST +LI$ ). In this case, the traditional rule is not supported by biophysical evidence and testifies to the existence of other laws (fig.8.7).

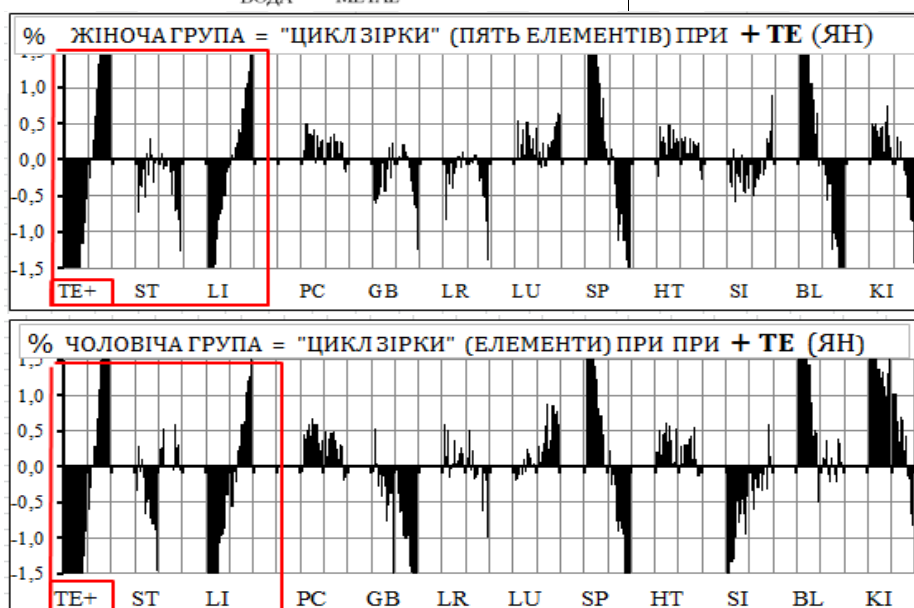
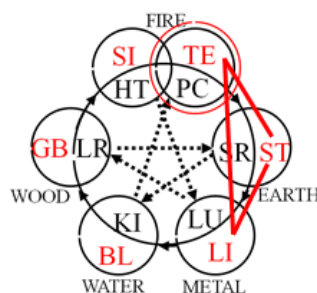
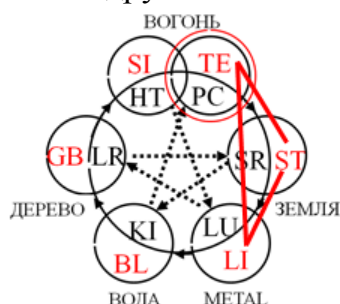


Рис.8.7 Традиційне правило в триаді **TE-ST-LI** біофізически не підтримано.



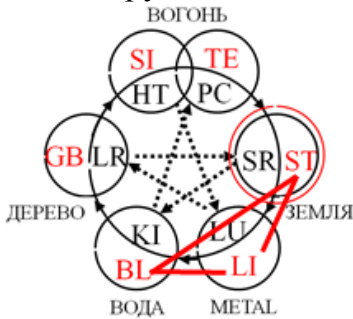
Fig.8.7 Traditional rule in the triad of **TE-ST-LI** is biophysically unsupported.



Согласно теории, возрастание актив-

According to the theory, the increase in

ности **ST** должно обеспечить следующую системную зависимость:  $+ST = +LI - BL$  (в реальности мы имеем  $+ST = -LI - BL$ , рис. 8.8). В данном случае традиционное правило *не имеет биофизической поддержки* и свидетельствует о существовании других закономерностей.



**ST** activity should provide the following systemic dependency:  $+ST = +LI - BL$  (in reality we have  $+ST = -LI - BL$ ). In this case, the traditional rule is not supported by biophysical evidence and testifies to the existence of other laws (fig.8.8).

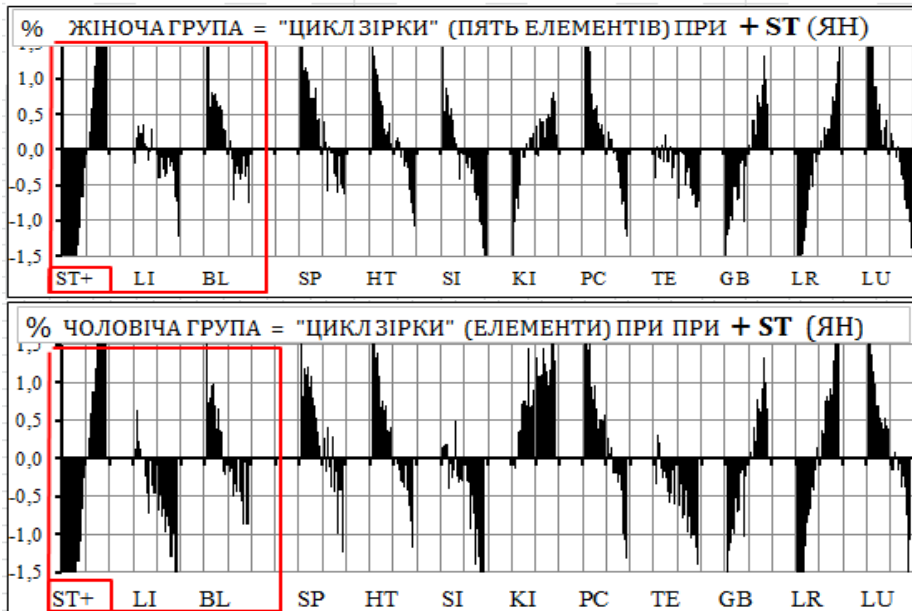
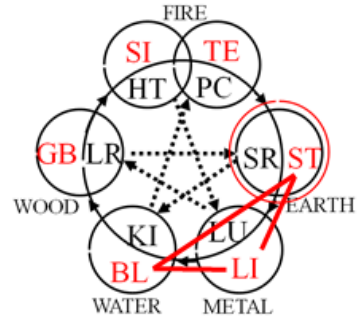


Рис.8.8 Традиционное правило в триаде **ST-LI-BL** биофизически не поддерживается.

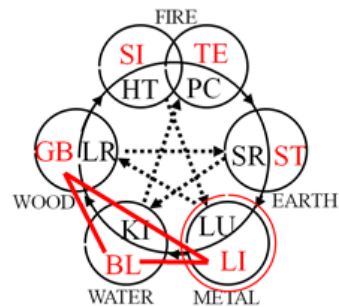
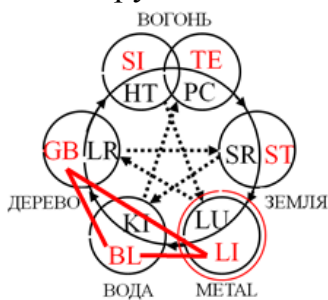


Fig.8.8 Traditional rule in the triad of **ST-LI-BL** is biophysically unsupported.



Согласно теории, возрастание активности **LI** должно обеспечить следующую системную зависимость:  $+LI = +BL - GB$  (в реальности мы имеем  $+LI = -BL - GB$ , рис.8.9). В данном случае традиционное правило *не имеет биофизической поддержки* и свидетельствует о существовании других закономерностей.

According to the theory, the increase in **LI** activity should provide the following systemic dependency:  $+LI = +BL - GB$  (in reality we have  $+LI = -BL - GB$ ). In this case, the traditional rule is not supported by biophysical evidence and testifies to the existence of other laws (fig.8.9).



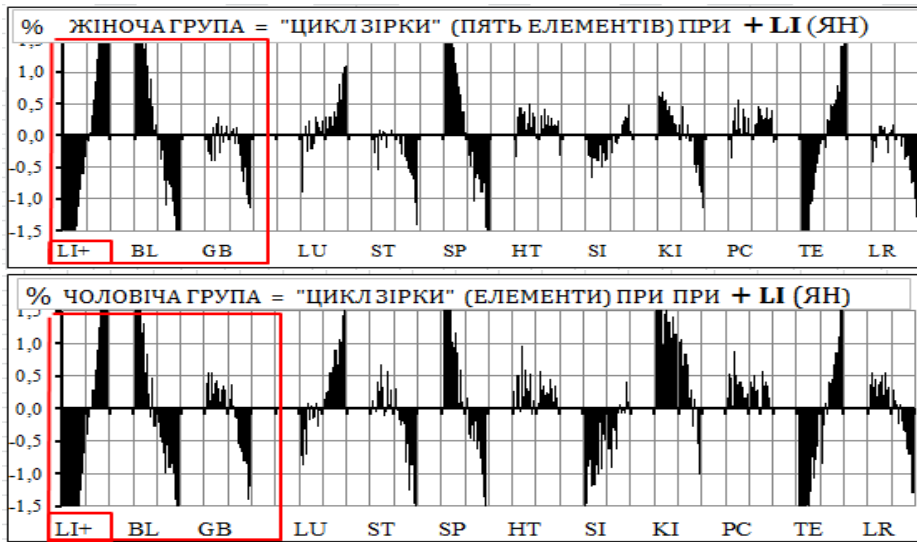


Рис.8.9 Традиционное правило в триаде **LI-BL-GB** биофизически не поддерживается.



Fig.8.9 Traditional rule in the triad of **LI-BL-GB** is biophysically unsupported.



**БИОФИЗИЧЕСКАЯ РЕАЛЬНОСТЬ АКТИВИРУЮЩИХ И ДЕСТРУКТИВНЫХ СВЯЗЕЙ В ИНЬ - ТРИАДАХ ЦИКЛА ЗВЕЗДА**

**BIOPHYSICAL REALITY OF THE ACTIVATING AND DESTRUCTING CONNECTIONS IN YIN TRIADS OF THE STAR CYCLE**

Согласно теории, возрастание активности **KI** должно обеспечить следующую системную зависимость:  $+KI = +LR -HT$  (в реальности мы имеем  $+KI = +LR -HT$ , рис.8.10). В данном случае традиционное правило *биофизически реально*.

According to the theory, the increase in **KI** activity should provide the following systemic dependency:  $+KI = +LR -HT$  (in reality we have  $+KI = +LR -HT$ ). In this case, the traditional rule is biophysically real (fig.8.10).

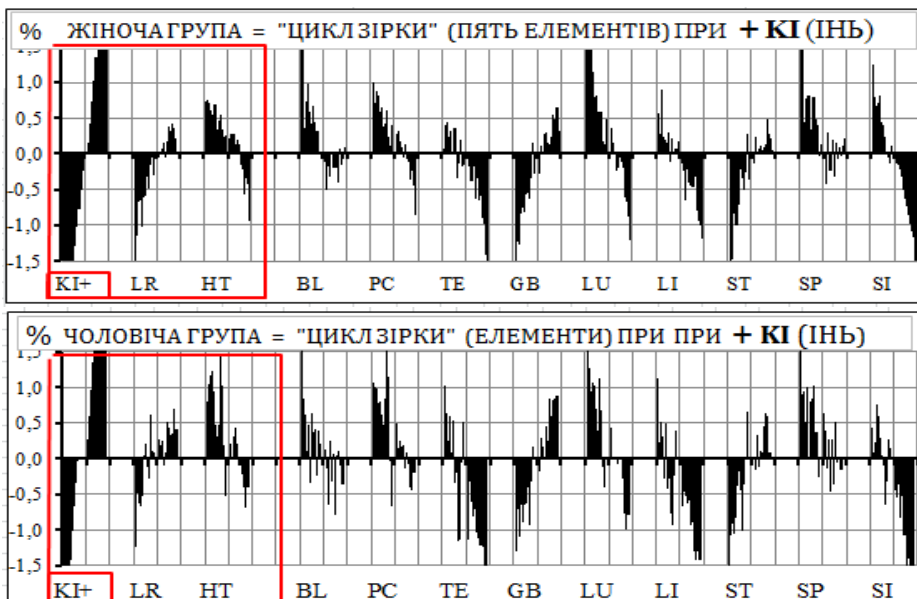
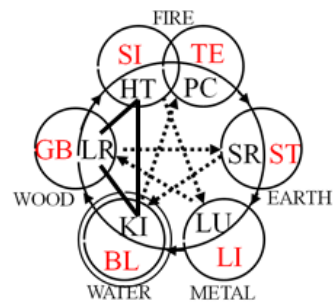
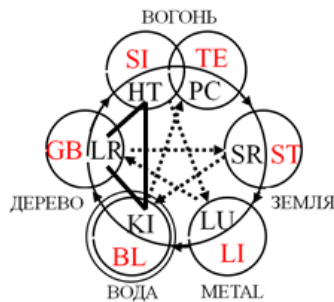


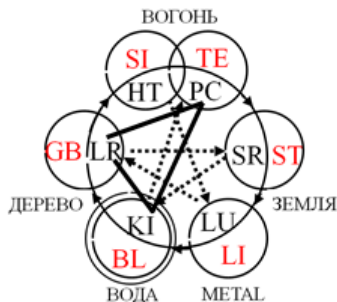
Рис.8.10 Традиционное правило в триаде **KI-LR-HT** биофизически реально



Fig.8.10 Traditional rule in the triad of **KI-LR-HT** is biophysically real.



Согласно теории, возрастание активности **KI** обеспечивает следующую системную зависимость:  $+KI = +LR - PC$  (в реальности мы имеем  $+KI = +LR - PC$ ). В данном случае традиционное правило **биофизически реально** (рис. 8.11).



According to the theory, the increase in **KI** activity should provide the following systemic dependency:  $+KI = +LR - PC$  (in reality we have  $+KI = +LR - PC$ ). In this case, the traditional rule is biophysically real (fig.8.11).

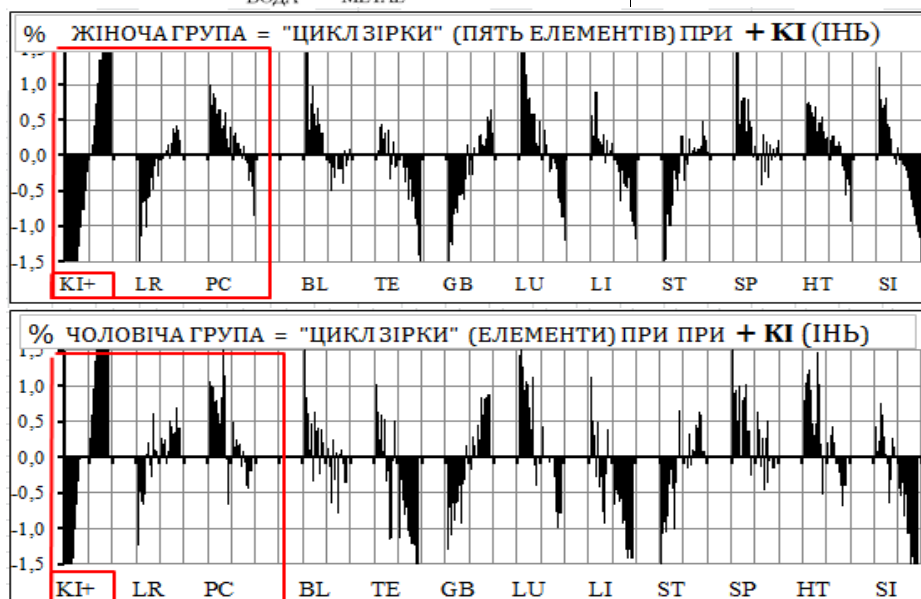
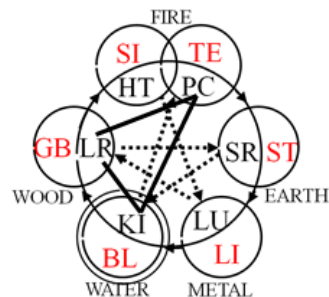


Рис.8.11 Традиционное правило в триаде **KI-LR-PC** биофизически реально



Fig.8.11 Traditional rule in the triad of **KI-LR-PC** is biophysically real.



Согласно теории, возрастание активности **LR** должно обеспечить следующую системную зависимость:  $+LR = +HT - SP$  (в реальности мы имеем  $+LR = -HT - SP$ , рис.8.12). В данном случае традиционное правило **не имеет биофизической поддержки** и свидетельствует о существовании других закономерностей.

According to the theory, the increase in **LR** activity should provide the following systemic dependency:  $+LR = +HT - SP$  (in reality we have  $+LR = -HT - SP$ ). In this case, the traditional rule is not supported by biophysical evidence and testifies to the existence of other laws (fig.8.12).

Согласно теории, возрастание активности **LR** должно обеспечить следующую системную зависимость:  $+LR = +PC - SP$  (в реальности мы имеем  $+LR = -PC - SP$ , рис.8.13). В данном случае традиционное правило не имеет биофизической поддержки и указывает на существовании других закономерностей.

According to the theory, the increase in **LR** activity should provide the following systemic dependency:  $+LR = +PC - SP$  (in reality we have  $+LR = -PC - SP$ ). In this case, the traditional rule is not supported by biophysical evidence and testifies to the existence of other laws (fig.8.13).

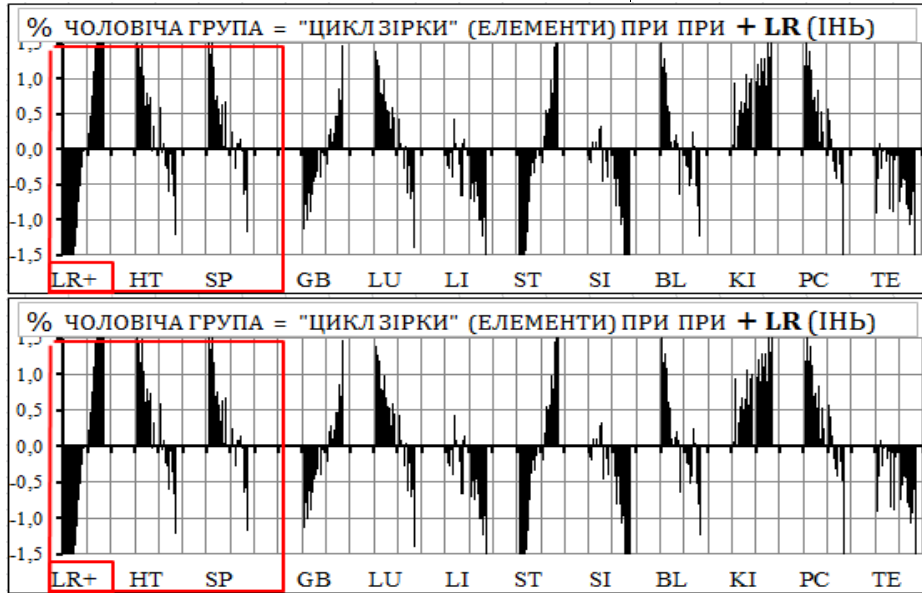
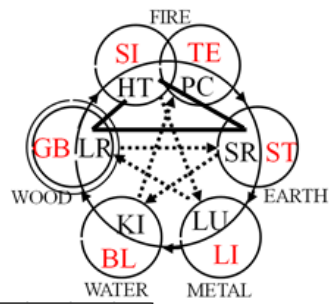
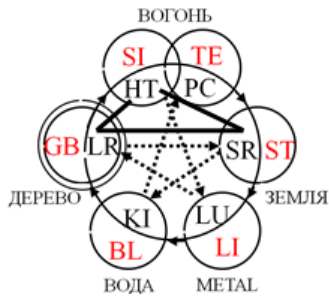


Рис.8.12 Традиційне правило в триаді LR-HT-SP біофізически не підтримано.



Fig.8.9 Traditional rule in the triad of LR-HT-SP is bio-physically un-supported.

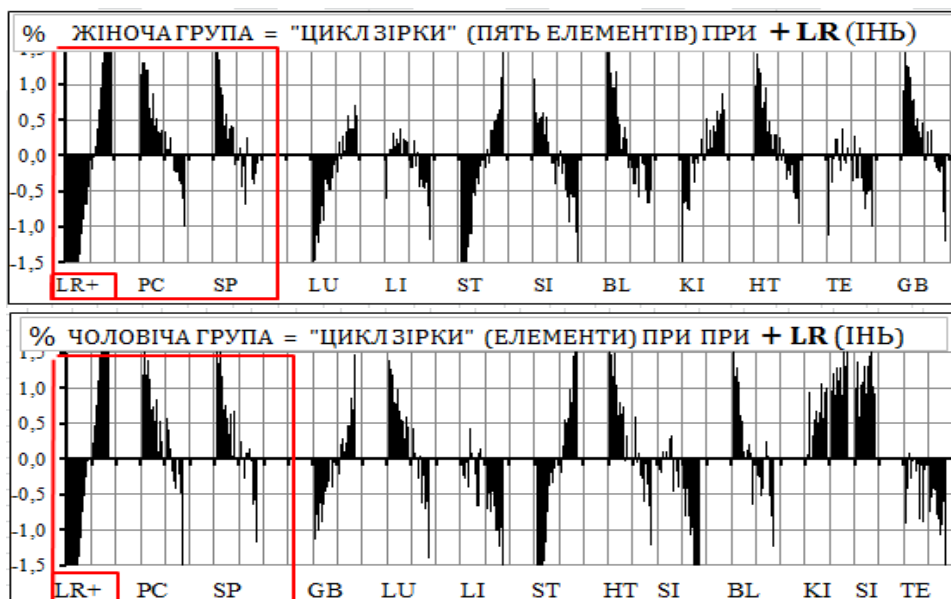
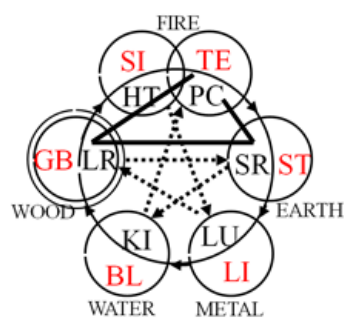
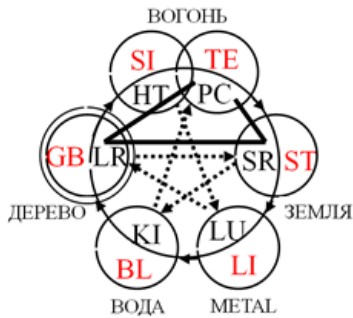


Рис.8.13 Традиційне правило в триаді LR-PC-SP біофізически не підтримано.



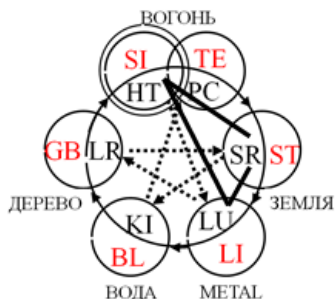
Fig.8.13 Traditional rule in the triad of LR-PC-SP is bio-physically un-supported.



Согласно теории, возрастание актив-

According to the theory, the increase in

ности **HT** должно обеспечить следующую системную зависимость:  $+HT = +SP - LU$  (в реальности мы имеем  $+HT = U - SP + LU$ , рис.8.14). В данном случае традиционное правило *не имеет биофизической поддержки* и свидетельствует о существовании других закономерностей.



**HT** activity should provide the following systemic dependency:  $+HT = +SP - LU$  (in reality we have  $+HT = -SP + LU$ ). In this case, the traditional rule is not supported by biophysical evidence and testifies to the existence of other laws (fig.8.14).

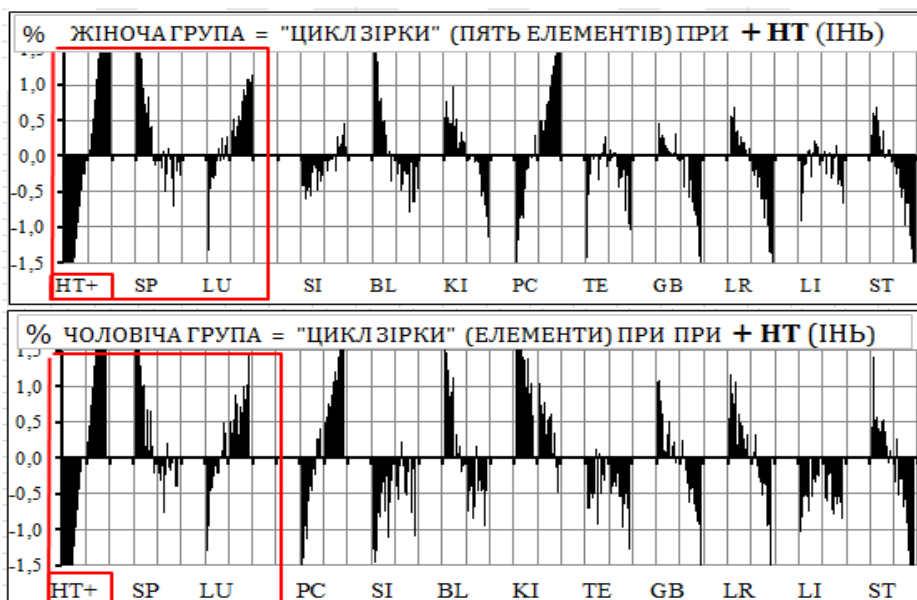
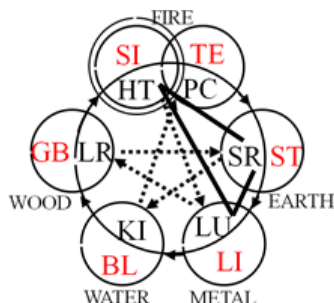


Рис.8.14 Традиционное правило в триаде **HT-SP-LU** биофизически не поддержано.

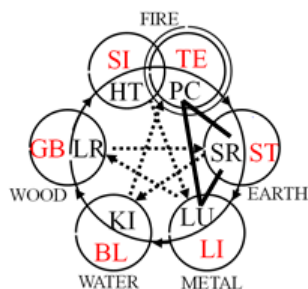
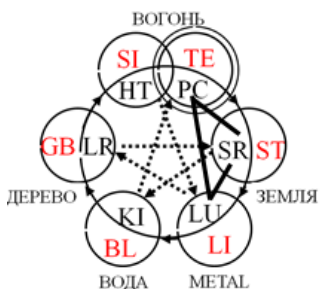


Fig.8.13 Traditional rule in the triad of **HT-SP-LU** is biophysically unsupported.



Согласно теории, возрастание активности **PC** должно обеспечить следующую системную зависимость:  $+PC = +SP - LU$  (в реальности мы имеем  $+PC = U - SP + LU$ , рис.8.15). В данном случае традиционное правило *не имеет биофизической поддержки* и свидетельствует о существовании других закономерностей.

According to the theory, the increase in **PC** activity should provide the following systemic dependency:  $+PC = +SP - LU$  (in reality we have  $+PC = -SP + LU$ ). In this case, the traditional rule is not supported by biophysical evidence and testifies to the existence of other laws (fig.8.15).



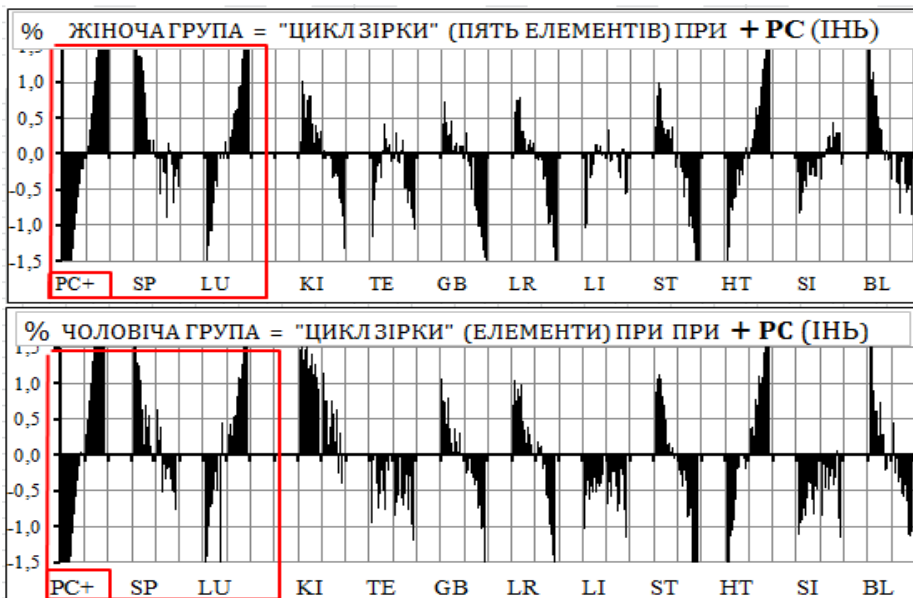


Рис.8.15 Традиционное правило в триаде PC-SP-LU биофизически не поддерживается.



Fig.8.15 Traditional rule in the triad of PC-SP-LU is biophysically unsupported.



Согласно теории, возрастание активности SP должно обеспечить следующую системную зависимость: +SP= +LU -KI (в реальности мы имеем +SP= -LU -KI, рис.8.16). В данном случае традиционное правило *не имеет биофизической поддержки* и свидетельствует о существовании других закономерностей.

According to the theory, the increase in SP activity should provide the following systemic dependency: +SP= +LU -KI (in reality we have +SP= -LU -KI). In this case, the traditional rule is not supported by biophysical evidence and testifies to the existence of other laws (fig.8.16).

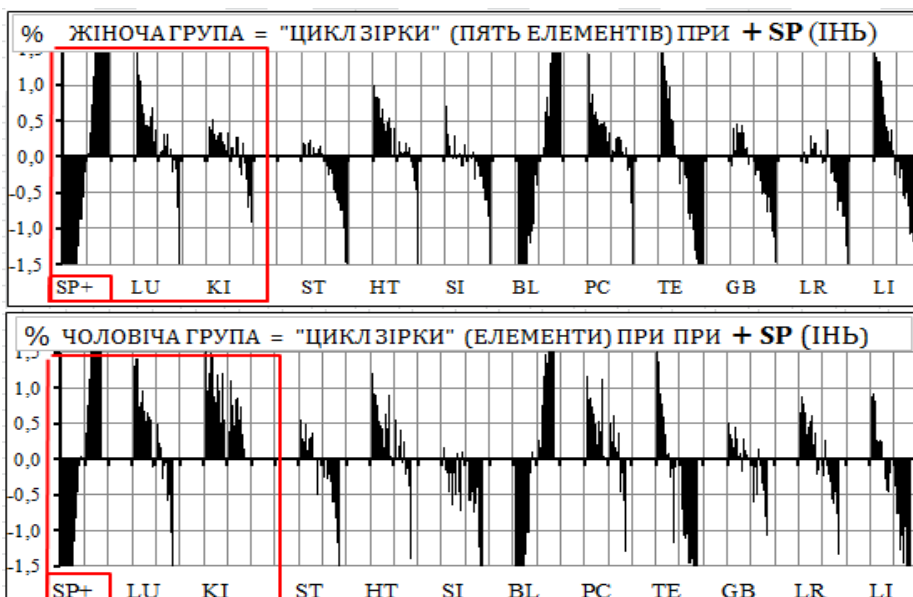
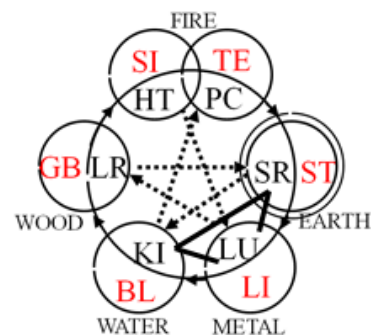
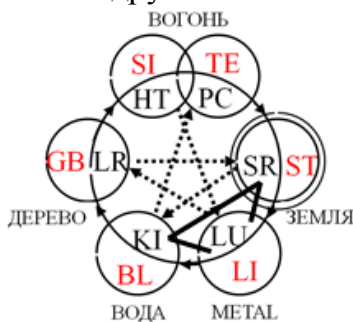


Рис.8.16 Традиционное правило в триаде SP-LU-KI биофизически не поддерживается.



Fig.8.16 Traditional rule in the triad of SP-LU-KI is biophysically unsupported.





Согласно теории, возрастание активности **LI** должно обеспечить следующую системную зависимость:  $+LI = +KI -LR$  (в реальности мы имеем  $+LI = -KI -LR$ , рис.8.17). В данном случае традиционное правило *не имеет биофизической поддержки* и свидетельствует о существовании других закономерностей.

According to the theory, the increase in **LI** activity should provide the following systemic dependency:  $+LI = +KI -LR$  (in reality we have  $+LI = -KI -LR$ ). In this case, the traditional rule is not supported by biophysical evidence and testifies to the existence of other laws (fig.8.17).

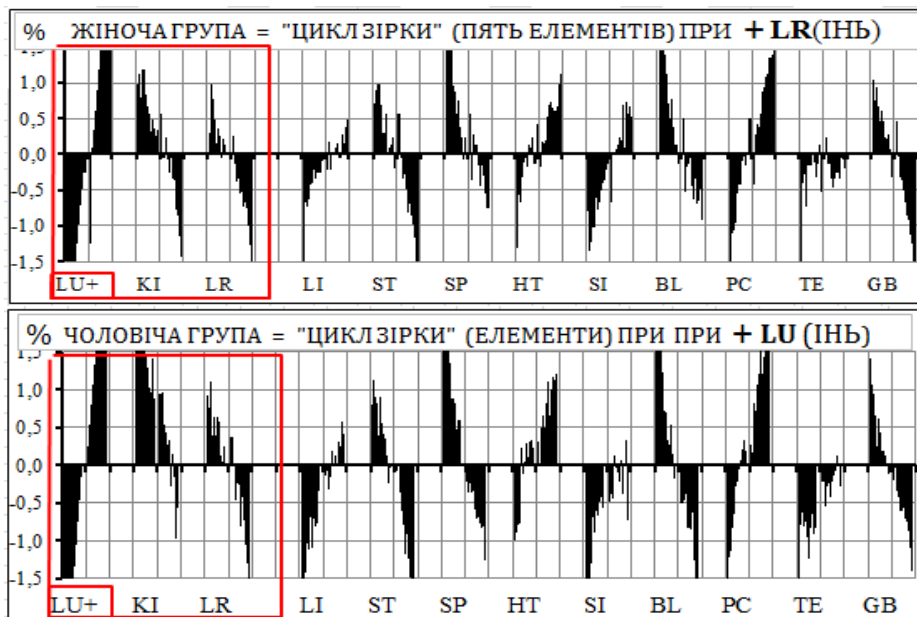
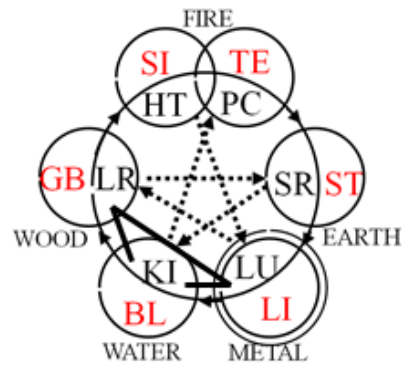
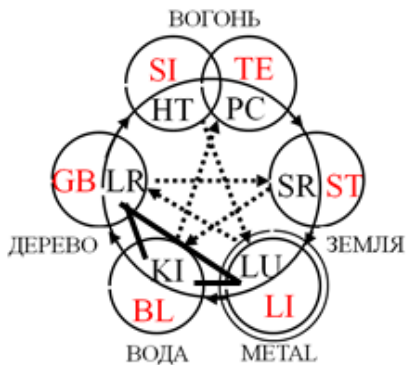


Рис.8.17 Традиционное правило в триаде **LI-KI-LR** биофизически не поддерживается.



Fig.8.17 Traditional rule in the triad of **LI-KI-LR** is biophysically unsupported.



### Выводы.

1. Традиционное положение "ПЯТЬ ЭЛЕМЕНТОВ (ЦИКЛ ЗВЕЗДА)", обусловлено теорией У-СИН и концепцией ЧЖАН-ФУ, не имеет биофизической поддержки и не должно использоваться в медицинской и реабилитационной практике. Исключением, где прослеживается тенденция гипотетически-традиционной взаимозависимости (16,3%), выступает ИНЬ-триада KI-LR-PC (KI-LR-HT) ...

2. Виявленное биофизическое несоответствие указывает на существование

### CONCLUSION.

1. The traditional provision about "Five elements (STAR cycle)", conditioned by the theory *WU-XING* and the concept *ZHANG-FU*, has no biophysical support and should not be used in medical and rehabilitational practices. The exception, where the tendency of hypothetical-traditional interdependency is traced (16,3%), is the YIN-triad KI-LR-PC (KI-LR-HT) ...

2. The discovered biophysical discrepancy points to the existence of other laws

других законов системной зависимости, что требует соответствующей переподготовки специалистов.

of systemic dependency, which requires appropriate retraining of experts.





9-я проблема традиционной Чжень-цзю терапии

БИОФИЗИЧЕСКАЯ РЕАЛЬНОСТЬ ТРАДИЦИОННОГО ПРАВИЛА  
"ДЕД-ВНУК (ОТЕЦ-СЫН)"

9-th issue of traditional Zhenjiu Therapy

BIOPHYSICAL REALITY OF THE TRADITIONAL RULE  
"GRANDFATHER-GRANDSON (FATHER-SON)"

ЭМПИРИЧЕСКИЕ ОСНОВЫ ПРАВИЛА  
"ДЕД-ВНУК (ОТЕЦ-СЫН)"

Четвертое традиционное правило ДЕД-ВНУК (ОТЕЦ-СЫН) по законам глубинной циркуляции ЧИ предусматривает наличие связей активации и угнетения в системных триадах цикла ЗВЕЗДЫ. При этом её элементы, согласно концепции ЧЖАН-ФУ (Главные органы) представлены зависимыми системами ЯН и ИНЬ групп (рис.9.1).

Согласно концепции У-СИН указанная взаимозависимость по правилу ДЕД-ВНУК существует в следующих триадах элементов: ВОДА-Дерево-Огонь, ДЕРЕВО-Огонь-Земля, Огонь-Земля-Металл, ЗЕМЛЯ-Металл Вода и МЕТАЛЛ-Вода-Дерево. Следует отметить, что согласно традиционным законам глубинной циркуляции энергии (концепции ЧЖАН-ФУ, ИНЬ-ЯН, ЦЗИН-ЛЮ) указанные взаимосвязи отдельно существуют между органами (системами) ИНЬ и ЯН.

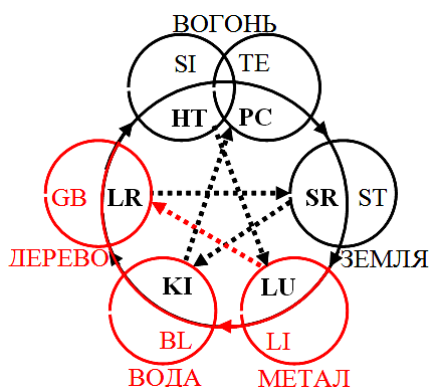


Рис.9.1 Правило ДЕД-ВНУК (ОТЕЦ-СЫН). Синхронные—→и асинхронные.....→реакции.

Согласно концепции ЧЖАН-ФУ комплексные триады формируют следующие Главные органы. В системе группы

EMPIRICAL BASES OF THE RULE "GRANDFATHER-GRANDSON (FATHER-SON)"

Traditional rule GRANDFATHER-GRANDSON according to the laws of deep circulation of energy QI involves complex use of connections of activation, oppression and anti oppression in every subsequent triad of functional systems according to the cycle of Star and conception ZANG-FU about Main organs (fig.9.1).

According to the conception WU XING, the mentioned interdependency according to the rule Grandfather-Grandson exists in the following triads of elements: WATER-Wood-Fire, WOOD-Fire-Earth, FIRE-Earth-Metal, EARTH-Metal-Water and METAL-Water-Wood. It should be noted, that according to the traditional laws of deep energy circulation (conceptions ZANG-FU, YIN-YANG, JING LUO) the interconnections exist separately between organs (systems) YIN-YANG.

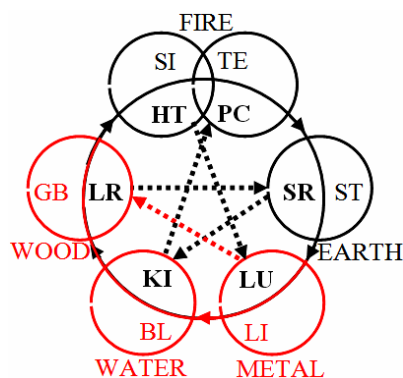


Fig.9.1 Rule GRANDFATHER-GRANDSON (FATHER-SON). Synchronous—→and asynchronous.....→reaction.

According to the conception ZHANG-FU triads are formed by the following Main organs. In system of group YANG

ЯН это **BL-GB-SI, GB-SI-TE, SI-TE-ST, TE-ST-LI, ST-LI-BL** и **LI-BL-GB**. В системе ИНЬ группы это **SP-LU-KI, LU-KI-LR, KI-LR-HT, LR-HT-PC, HT-PC-SP** и **PC-SP-LU**. При этом напомним, что традиционное правило предусматривает наличие двух противоположных действий (см. концепцию У-СИН) ...

are **BL-GB-SI, GB-SI-TE, SI-TE-ST, TE-ST-LI, ST-LI-BL** and **LI-BL-GB**. In the system of group YIN are **SP-LU-KI, LU-KI-LR, KI-LR-HT, LR-HT-PC, HT-PC-SP** and **PC-SP-LU**. At the same time we remind, that traditional rule involves two opposite influences (see conception WU XING)...

**БИОФИЗИЧЕСКАЯ РЕАЛЬНОСТЬ ПРАВИЛА "ДЕД-ВНУК (ОТЕЦ-СЫН)"**

**BIOPHYSICAL REALITY OF THE RULE "GRAND-FATHER-GRANDSON (FATHER-SON)"**

Имея в виду проблемный характер вопроса, биофизическую реальность Правила рассмотрим в виде системной зависимости при возбуждении отдельных каналов (их угнетение обуславливает обратную системную зависимость).

Keeping in mind the problematic character of the issue, the biophysical reality of the Rule will be observed in the form of systemic dependency under excitation of separate channels (their oppression will condition the opposite systemic dependency).

Биофизический анализ свидетельствует о следующем (рис.9.2-13) ...

The conducted biophysical analysis testifies to the following (fig.9.2–13)...

Согласно правилу, рост активности **BL** в группе **BL-GB-SI** должен обеспечить возбуждение **GB** (по линии ОТЕЦ-СЫН) и угнетение **SI** (по линии ДЕД-ВНУК). В реальности мы имеем следующую системную зависимость:  $+BL = -GB - SI$ . В данном случае традиционное правило *не имеет биофизической поддержки* и свидетельствует о других закономерностях (рис.9.2).

According to the rule, increased activity of **BL** (in the group **BL-GB-SI**) must provide excitation of **GB** (Father-Son relation) and oppression of **SI** (Grandfather-Grandson relation). In reality, we have the following system dependency:  $+BL = -GB - SI$ . In this case, the traditional rule is not biophysically supported and testifies to the existence of other laws (fig .9.2).

Вывод: Использование правила ДЕД-ВНУК в указанной триаде не целесообразно.

Conclusion: The usage of the rule GRANDFATHER-GRANDSON is not appropriate in the triad.

Согласно правилу, рост активности **KI** в группе **KI-LR-HT** должно обеспечить возбуждение **LR** (по линии ОТЕЦ-СЫН) и угнетение **HT** (по линии ДЕД-ВНУК). В реальности мы имеем следующую системную зависимость:  $+KI = +LR - HT$ . В данном случае традиционное правило *не имеет биофизической поддержки* и свидетельствует о других закономерностях (рис.9.3).

According to the rule, increased activity of **KI** (in the group **KI-LR-HT**) must provide excitation of **LR** (Father-Son relation) and oppression of **HT** (Grandfather-Grandson relation). In reality, we have the following system dependency:  $+KI = +LR - HT$ . In this case, the traditional rule is not biophysically supported and testifies to the existence of other laws (fig .9.3).

Вывод: Использование правила ДЕД-ВНУК в указанной триаде не целесообразно.

Conclusion: The usage of the rule GRANDFATHER-GRANDSON is not appropriate in the triad.

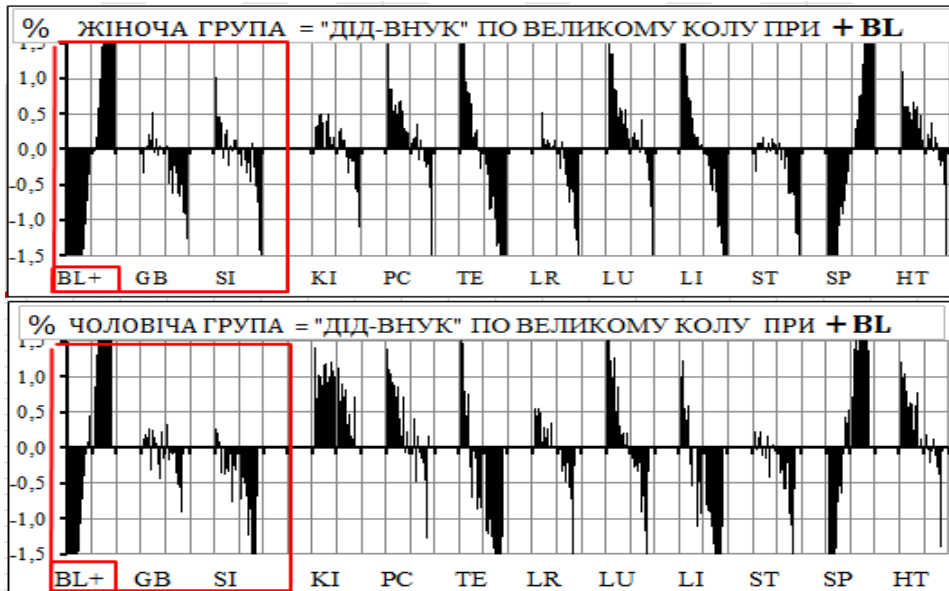


Рис.9.2 Функціональна залежність в триаді BL-GB-SI



Fig.9.2 Functional dependence in the triad of BL-GB-SI

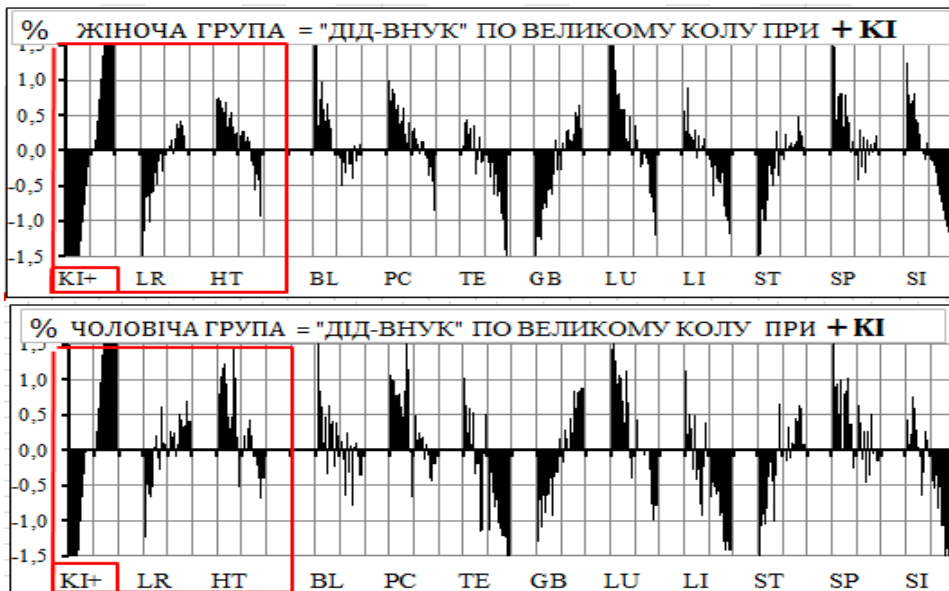


Рис.9.3 Функціональна залежність в триаді KI-LR-HT



Fig.9.3 Functional dependence in the triad of KI-LR-HT



Согласно правилу, рост активности **GB** в группе GB-SI-ST должно обеспечить возбуждение SI (по линии ОТЕЦ-СЫН) и угнетение ST (по линии ДЕД-ВНУК). В реальности мы имеем следующую системную зависимость:  $+GB = -SI + HT$ . В данном случае традиционное правило *не имеет биофизической поддержки* и свидетельствует о других закономерностях (рис.9.4).

**Вывод:** Использование правила ДЕД-ВНУК в указанной триаде не целесообразно.

Согласно правилу, рост активности **LR** в группе LR-HT-SP должно обеспечить возбуждение HT (по линии ОТЕЦ-

According to the rule, increased activity of **GB** (in the group GB-SI-ST) must provide excitation of SI (Father-Son relation) and oppression of ST (Grandfather-Grandson relation). In reality, we have the following system dependency:  $+GB = -SI + HT$ . In this case, the traditional rule is not biophysically supported and testifies to the existence of other laws (fig .9.4).

**Conclusion:** The usage of the rule GRANDFATHER-GRANDSON is not appropriate in the triad.

According to the rule, increased activity of **LR** (in the group LR-HT-SP) must provide excitation of HT (Father-Son relation)

СЫН) и угнетение SP (по линии ДЕД-ВНУК). В реальности мы имеем следующую системную зависимость: +LR= -HT -SP. В данном случае традиционное правило *не имеет биофизической поддержки* и свидетельствует о других закономерностях (рис.9.5).

**Вывод:** Использование правила ДЕД-ВНУК в указанной триаде не целесообразно.

and oppression of SP (Grandfather-Grandson relation). In reality, we have the following system dependency: +LR= -HT -SP. In this case, the traditional rule is not biophysically supported and testifies to the existence of other laws (fig .9.5).

**Conclusion:** The usage of the rule GRANDFATHER-GRANDSON is not appropriate in the triad.



Рис.9.4 Функциональная зависимость в триаде GB-SI-ST



Fig.9.4 Functional dependence in the triad of GB-SI-ST



Рис.9.5 Функциональная зависимость в триаде LR-HT-SP

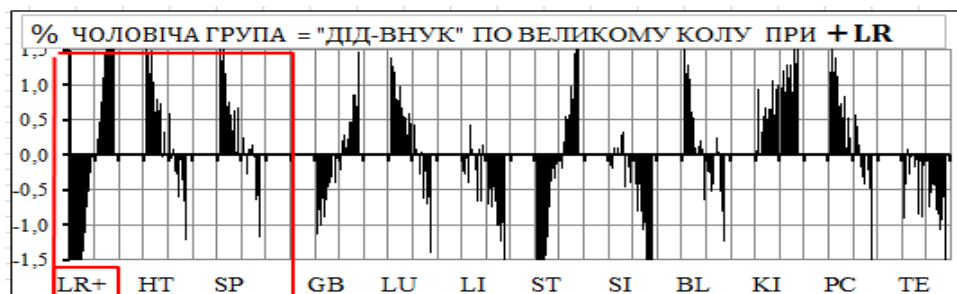


Fig.9.5 Functional dependence in the triad of LR-HT-SP



Согласно правилу, рост активности SI в группе SI-ST-LI должно обеспечить возбуждение ST (по линии ОТЕЦ-СЫН) и угнетение LI (по линии ДЕД-ВНУК). В реальности мы имеем следующую си-

According to the rule, increased activity of SI (in the group SI-ST-LI) must provide excitation of ST (Father-Son relation) and oppression of LI (Grandfather-Grandson relation). In reality, we have the following

стемную зависимость:  $+SI = -HT - SP$ . В данном случае традиционное правило *не имеет биофизической поддержки* и свидетельствует о других закономерностях (рис.9.6).

Вывод: Использование правила ДЕД-ВНУК в указанной триаде не целесообразно.

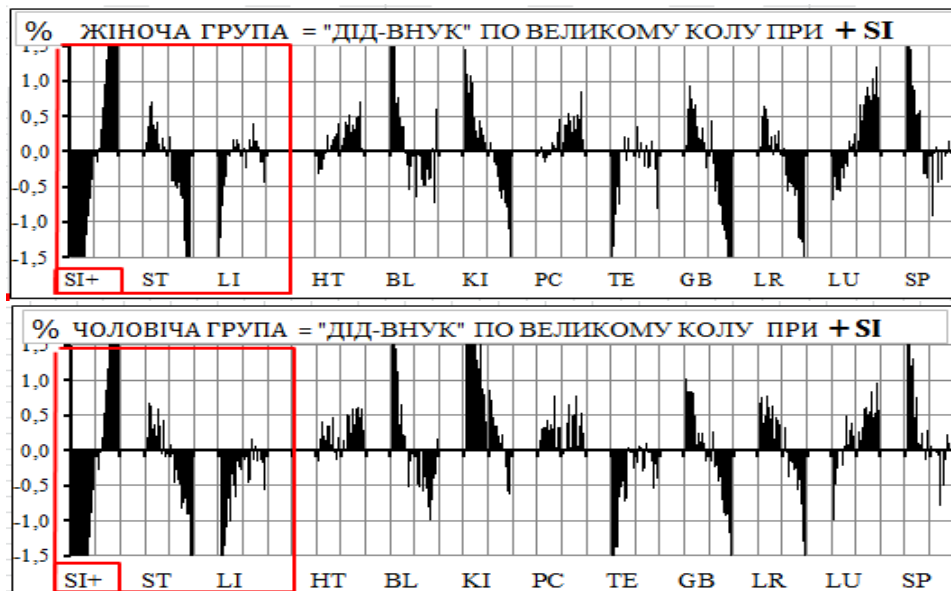


Рис.9.6 Функциональная зависимость в триаде SI-ST-LI



Fig.9.6 Functional dependence in the triad of SI-ST-LI



Согласно правилу, рост активности **GB** в группе GB-SI-ST должно обеспечить возбуждение GB (по линии ОТЕЦ-СЫН) и угнетение ST (по линии ДЕД-ВНУК). В реальности мы имеем следующую системную зависимость:  $+GB = -SI + ST$ . В данном случае традиционное правило *не имеет биофизической поддержки* и свидетельствует о других закономерностях (рис. 9.7).

Вывод: Использование правила ДЕД-ВНУК в указанной триаде не целесообразно.

Согласно правилу, рост активности **TE** в группе TE-ST-LI должно обеспечить возбуждение ST (по линии ОТЕЦ-СЫН) и угнетение LI (по линии ДЕД-ВНУК). В реальности мы имеем следующую системную зависимость:  $+TE = -ST + LI$ . В данном случае традиционное правило *не имеет биофизической поддержки* и свидетельствует о других закономерностях (рис. 9.8).

Вывод: Использование правила ДЕД-

system dependency:  $+LR = -HT - SP$ . In this case, the traditional rule is not biophysically supported and testifies to the existence of other laws (fig .9.6).

Conclusion: The usage of the rule GRANDFATHER-GRANDSON is not appropriate in the triad.

According to the rule, increased activity of **GB** (in the group GB-SI-ST) must provide excitation of SI (Father-Son relation) and oppression of ST (Grandfather-Grandson relation). In reality, we have the following system dependency:  $+GB = -SI + ST$ . In this case, the traditional rule is not biophysically supported and testifies to the existence of other laws (fig .9.7)

Conclusion: The usage of the rule GRANDFATHER-GRANDSON is not appropriate in the triad.

According to the rule, increased activity of **TE** (in the group TE-ST-LI) must provide excitation of ST (Father-Son relation) and oppression of LI (Grandfather-Grandson relation). In reality, we have the following system dependency:  $+TE = -ST + LI$ . In this case, the traditional rule is not biophysically supported and testifies to the existence of other laws (fig. 9.8)

Conclusion: The usage of the rule

ВНУК в указанной триаде не целесообразно.

GRANDFATHER-GRANDSON is not appropriate in the triad.



Рис.9.7 Функциональная зависимость в триаде GB-SI-ST



Fig.9.7 Functional dependence in the triad of GB-SI-ST



Рис.9.8 Функциональная зависимость в триаде TE-ST-LI

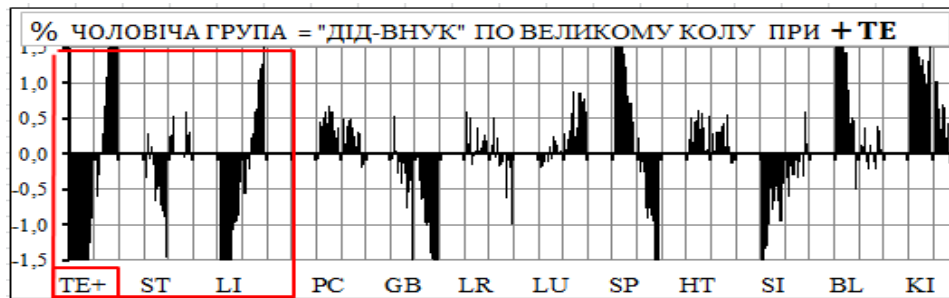


Fig.9.8 Functional dependence in the triad of TE-ST-LI



Согласно правилу, рост активности **HT** в группе HT-SP-LU должно обеспечить возбуждение SP (по линии ОТЕЦ-СЫН) и угнетение LU (по линии ДЕД-ВНУК). В реальности мы имеем следующую системную зависимость:  $+TE = \Omega - SP + LU$ . В данном случае традиционное правило *не имеет биофизической поддержки* и свидетельствует о других закономерностях (рис. 9.9).

**Вывод:** Использование правила ДЕД-ВНУК в указанной триаде не целесообразно.

According to the rule, increased activity of **HT** (in the group HT-SP-LU) must provide excitation of SP (Father-Son relation) and oppression of LU (Grandfather-Grandson relation). In reality, we have the following system dependency:  $+TE = -SP + LU$ . In this case, the traditional rule is not biophysically supported and testifies to the existence of other laws (fig. 9.9).

**Conclusion:** The usage of the rule GRANDFATHER-GRANDSON is not appropriate in the triad.



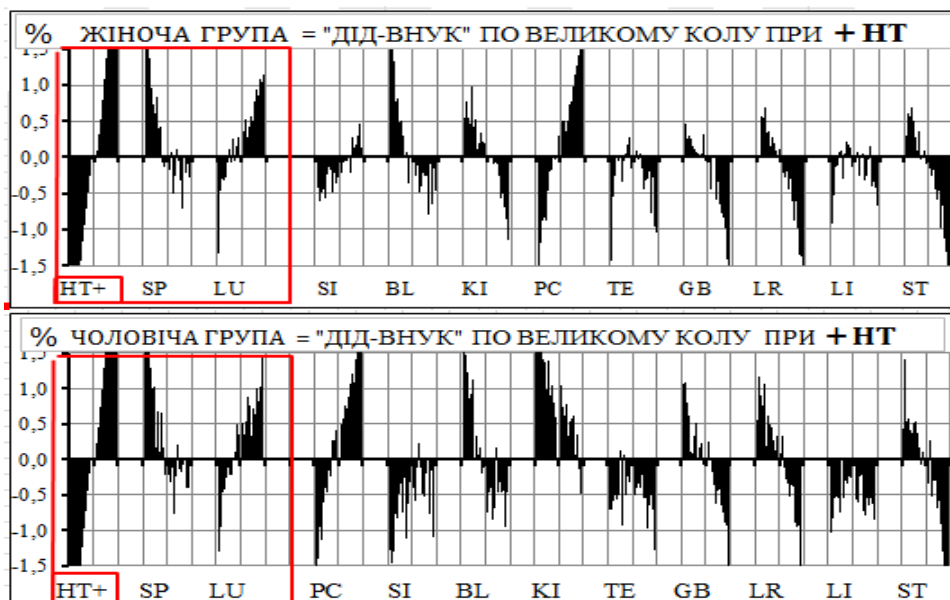


Рис.9.9 Функциональная зависимость в триаде HT-SP-LU



Fig.9.9 Functional dependence in the triad of HT-SP-LU



Согласно правилу, рост активности PC в группе PC-SP-LU должно обеспечить возбуждение SP (по линии ОТЕЦ-СЫН) и угнетение LU (по линии ДЕД-ВНУК). В реальности мы имеем следующую системную зависимость:  $+PC = \Omega - SP + LU$ . В данном случае традиционное правило *не имеет биофизической поддержки* и свидетельствует о других закономерностях (рис. 9.10).

Вывод: Использование правила ДЕД-ВНУК в указанной триаде не целесообразно.

According to the rule, increased activity of PC (in the group PC-SP-LU) must provide excitation of SP (Father-Son relation) and oppression of LU (Grandfather-Grandson relation). In reality, we have the following system dependency:  $+PC = -SP + LU$ . In this case, the traditional rule is not biophysically supported and testifies to the existence of other laws (fig. 9.10).

Conclusion: The usage of the rule GRANDFATHER-GRANDSON is not appropriate in the triad.

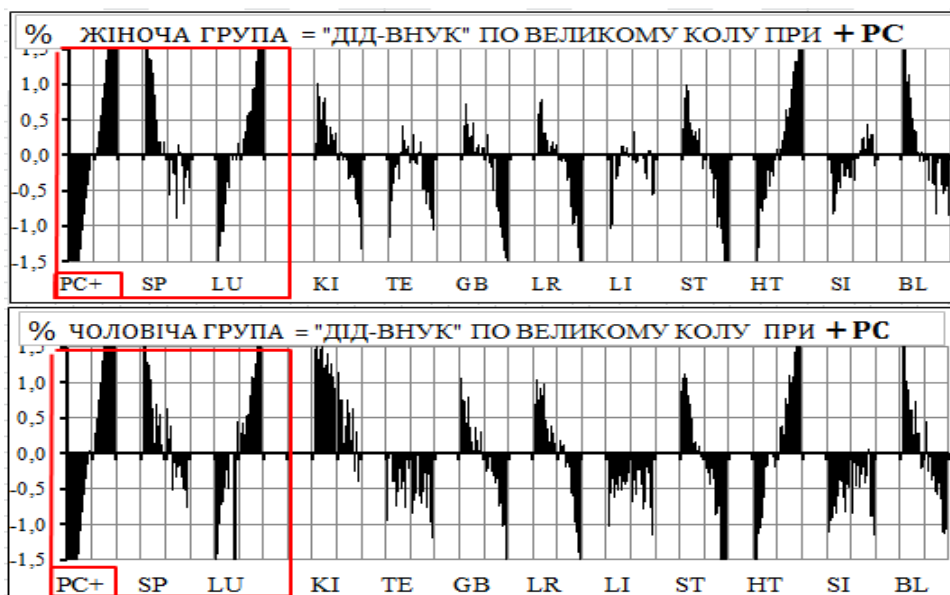


Рис.9.10 Функциональная зависимость в триаде PC-SP-LU



Fig.9.10 Functional dependence in the triad of PC-SP-LU



Согласно правилу, рост активности ST в группе ST-LI-BL должно обеспечить возбуждение LI (по линии ОТЕЦ-СЫН) и угнетение BL (по линии ДЕД-

According to the rule, increased activity of ST (in the group ST-LI-BL) must provide excitation of LI (Father-Son relation) and oppression of BL (Grandfather-

ВНУК). В реальности мы имеем следующую системную зависимость:  $+ST = -LI + BL$ . В данном случае традиционное правило *не имеет биофизической поддержки* и свидетельствует о других закономерностях (рис. 9.11).

**Вывод:** Использование правила ДЕД-ВНУК в указанной триаде не целесообразно.

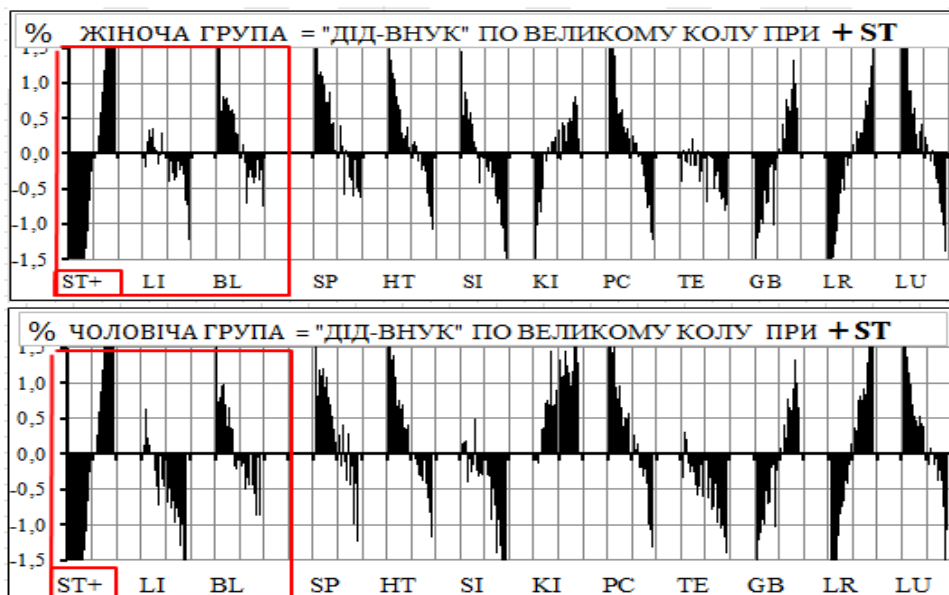


Рис.9.11 Функциональная зависимость в триаде ST-LI-BL.



Fig.9.11 Functional dependence in the triad of ST-LI-BL



Согласно правилу, рост активности SP в группе SP-LU-KI должно обеспечить возбуждение LU (по линии ОТЕЦ-СЫН) и угнетение KI (по линии ДЕД-ВНУК). В реальности мы имеем следующую системную зависимость:  $+SH = -LU - KI$ . В данном случае традиционное правило *не имеет биофизической поддержки* и свидетельствует о других закономерностях (рис. 9.12).

**Вывод:** Использование правила ДЕД-ВНУК в указанной триаде не целесообразно.

Согласно правилу, рост активности LI в группе LI-BL-GB должно обеспечить возбуждение LI (по линии ОТЕЦ-СЫН) и угнетение BL (по линии ДЕД-ВНУК). В реальности мы имеем следующую системную зависимость:  $+LI = -LI \cap -GB$ . В данном случае традиционное правило *не имеет биофизической поддержки* и свидетельствует о других закономерностях (рис. 9.13).

Grandson relation). In reality, we have the following system dependency:  $+ST = -LI + BL$ . In this case, the traditional rule is not biophysically supported and testifies to the existence of other laws (fig. 9.11).

**Conclusion:** The usage of the rule GRANDFATHER-GRANDSON is not appropriate in the triad.

According to the rule, increased activity of SP (in the group SP-LU-KI) must provide excitation of LU (Father-Son relation) and oppression of KI (Grandfather-Grandson relation). In reality, we have the following system dependency:  $+SH = -LU - KI$ . In this case, the traditional rule is not biophysically supported and testifies to the existence of other laws (fig. 9.12).

**Conclusion:** The usage of the rule GRANDFATHER-GRANDSON is not appropriate in the triad.

According to the rule, increased activity of LI (in the group LI-BL-GB) must provide excitation of BL (Father-Son relation) and oppression of GB (Grandfather-Grandson relation). In reality, we have the following system dependency:  $+LI = -BL - GB$ . In this case, the traditional rule is not biophysically supported and testifies to the existence of other laws (fig. 9.13).

**Вывод:** Использование правила ДЕД-ВНУК в указанной триаде не целесообразно.

**Conclusion:** The usage of the rule GRANDFATHER-GRANDSON is not appropriate in the triad.



Рис.9.12 Функциональная зависимость в триаде SP-LU-KI



Fig.9.12 Functional dependence in the triad of SP-LU-KI



Рис.9.13 Функциональная зависимость в триаде LI-BL-GB



Fig.9.13 Functional dependence in the triad of LI-BL-GB



Согласно правилу, рост активности LU в группе LU-KI-LR должно обеспечить возбуждение KI (по линии ОТЕЦ-СЫН) и угнетение LR (по линии ДЕД-ВНУК). В реальности мы имеем следующую системную зависимость:  $+LU = -KI - LR$ . В данном случае традиционное правило *не имеет биофизической поддержки* и свидетельствует о других закономерностях (рис. 9.14).

According to the rule, increased activity of LU (in the group LU-KI-LR) must provide excitation of KI (Father-Son relation) and oppression of LR (Grandfather-Grandson relation). In reality, we have the following system dependency:  $+LU = -KI - LR$ . In this case, the traditional rule is not biophysically supported and testifies to the existence of other laws (fig. 9.14).

**Вывод:** Использование правила в указанной триаде не целесообразно.

**Conclusion:** The usage of the rule GRANDFATHER-GRANDSON is not appropriate in the triad.

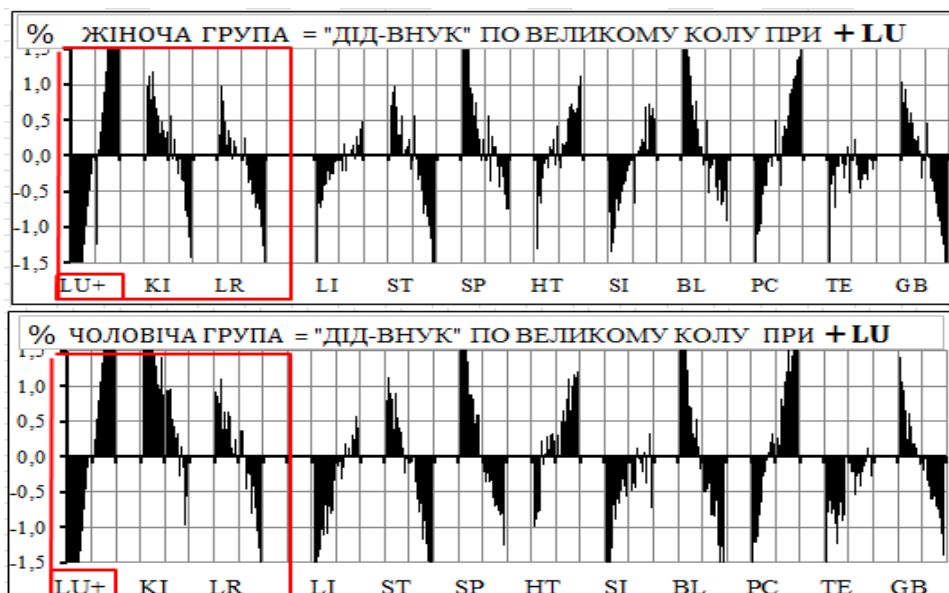


Рис.9.14 Функціональна залежність в триаді LU-KI-LR



Fig.9.14 Functional dependence in the triad of LU-KI-LR



### ВЫВОДЫ.

1. Традиційне правило ДЕД-ВНУК, обумовлене теорією У-СИН і концепцією ЧЖАН-ФУ, не має біофізичної підтримки і не повинно використовуватися в медичній і реабілітаційній практиці. Ісключенням, де прослідковується мало ймовірна тенденція гіпотетично-традиційної взаємозалежності (16,3%), виступає ІНЬ-триада KI-LR-PC (KI-LR-HT) ...

2. Виявлене біофізичне несоответствие указує на існування інших законів системної взаємозалежності, що вимагає відповідної перепідготовки.

### CONCLUSION.

1. The traditional rule Grandfather-Grandson, which is conditioned by the theory *Wu-Xing and the concept Zhang-fu*, has no biophysical support and should not be used in medical and rehabilitation practices. The exception, where we observed poor tendency of hypothetically-traditional interdependency (16.3%), is the *YIN* triad **KI-LR-PC** (**KI-LR-HT**) ...

2. The discovered biophysical discrepancy points to the existence of other laws of systemic interdependency, which requires appropriate retraining.





**10-я проблема традиционной Чжень-цзю терапии**

**БИОФИЗИЧЕСКАЯ РЕАЛЬНОСТЬ ТРАДИЦИОННОГО ПРАВИЛА "ЛЕВЫЙ-ПРАВЫЙ (МУЖЧИНА-ЖЕНЩИНА)"**

**10-th Issue of traditional Zhenjiu Therapy**

**BIOFIZYCHNA REALITY TRADITIONAL RULES "LEFT-RIGHT (MAN-WOMAN)"**

**ЭМПИРИЧЕСКИЕ ОСНОВЫ ПРАВИЛА "ЛЕВЫЙ - ПРАВЫЙ (МУЖЧИНА-ЖЕНЩИНА)"**

Традиционное правило ЛЕВЫЙ-ПРАВЫЙ "МУЖЧИНА-ЖЕНЩИНА" (рис. 10.1).

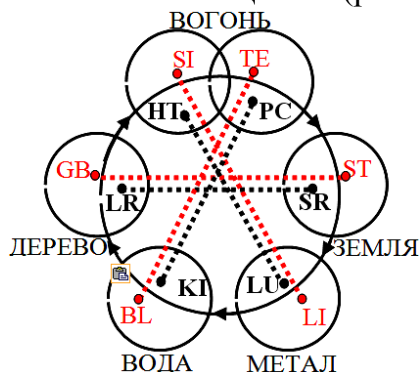


Рис.10.1 Традиционное правило ЛЕВЫЙ-ПРАВЫЙ (асинхронные реакции ЯН-группы ..... и ИНЬ-группы .....).

Согласно правилу шесть пар каналов левой (мужской, ЯН) и правой (женской, ИНЬ) половин тела одновременно находятся в постоянной асинхронной зависимости. К этим комплексам относятся функциональные пары **LI-SI**, **ST-GB**, **BL-TE** (ЯН группа) и **LU-HT**, **SP-LR**, **PC-KI** (группа ИНЬ). Практически это означает, что активация канала LU (легкие) одновременно обусловит угнетение канала HT (сердце) и, наоборот, а активация канала LI (толстый кишечник) - угнетение канала SI (тонкий кишечник), и наоборот (рис.10.1) ...

**THE EMPIRICAL BASES OF THE RULE "LEFT - RIGHT (MAN-WOMAN)"**

Traditional rule LEFT-RIGHT "MAN-WOMAN" (fig.10.1).

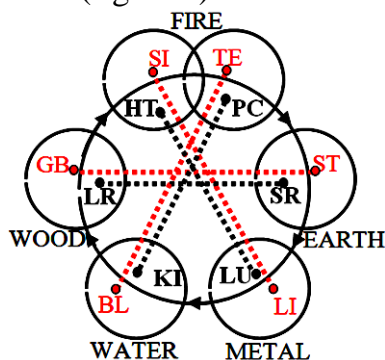


Fig.10.1 Traditional rule LEFT-RIGHT (асинхронные реакции ЯН-группы ..... and YIN group .....).

It is considered, that six pairs of channels of left (male, *YANG*) and right (female, *YIN*) parts of body are in continuous contrast-opposite (asynchronous) dependency: **LI-SI**, **ST-GB**, **BL-TE** (*YANG group*) and **LU-HT**, **SP-LR**, **PC-KI** (*YIN group*). It practically means, that activation of the channel LU (Lungs) simultaneously conditions oppression of the channel HT (Heart) and vice versa, activation of the channel LI (Large intestine) – oppression of the channel SI (Small intestine), and vice versa (fig.10.1).

**БИОФИЗИЧЕСКАЯ РЕАЛЬНОСТЬ ПРАВИЛА "ЛЕВЫЙ - ПРАВЫЙ (МУЖЧИНА-ЖЕНЩИНА)"**

Имея в виду проблемный характер вопроса, биофизическую реальность правила рассмотрим в виде системной зависимости при возбуждении отдельных каналов (их угнетение обуславливает об-

**BIOPHYSICAL REALITY RULES "LEFT - RIGHT (MAN-WOMAN)"**

Keeping in mind the problematic character of the issue, the biophysical reality of the rule will be considered as a systemic dependency under the excitation separate channels (their oppression conditions the

ратную системную зависимость).

Проведенный биофизический анализ свидетельствует о следующем ...

Традиционное правило "ЛЕВЫЙ-ПРАВЫЙ (мужчина-женщина)" в комплексах **BL-TE** (**TE-BL**) по всем группам наблюдения биофизически реально, на что указывает асинхронность их системно-функциональной зависимости (рис.10.2а,б).

opposite systemic dependency).

The conducted biophysical analysis testifies to the following ...

The traditional rule "LEFT-RIGHT (MAN-WOMAN)" in the complexes **BL-TE** (**TE-BL**) through all groups of observations is biophysically real, which is indicated by the asynchronicity of its system-functional dependency (fig. 10.2a,b).



Рис.10.2а Функціональна залежність в комплексі **BL-TE**



Fig.10.2a Functional dependence in complex **BL-TE**



Рис.10.2б Функціональна залежність в комплексі **TE-BL**



Fig.10.2b Functional dependence in complex **TE-BL**



Традиционное правило "ЛЕВЫЙ-ПРАВЫЙ (мужчина-женщина)" в комплексах **KI-PC** (**PC-KI**) биофизически реально, на что указывает асинхронность их системно-функциональной за-

The traditional rule "LEFT-RIGHT (MAN-WOMAN)" in the complexes **KI-PC** (**PC-KI**) through all groups of observations is biophysically real, which is indicated by the asynchronicity of its system-functional

висимости (рис.10.3а,б).

dependency (fig. 10.3a, b).



Рис.10.3а Функціональна залежність в комплексі КІ-РС



Fig.10.3a Functional dependence in complex KI-PC



Рис.10.3б Функціональна залежність в комплексі РС-КІ



Fig.10.3б Functional dependence in complex PC-KI



Традиционное правило "ЛЕВЫЙ-ПРАВЫЙ (мужчина-женщина)" в комплексах SP-LR (LR-SP) биофизически реально, на что указывает асинхронность их системно-функциональной зависимости (рис. 10.4а,б).

The traditional rule "LEFT-RIGHT (MAN-WOMAN)" in the complexes SP-LR (LR-SP) is biophysically real, which is indicated by the asynchronicity of its system-functional dependency (fig. 10.4a,b).



Рис.10.4а Функціональна залежність в комплексі СП-ЛР





Fig.10.4a Functional dependence in complex SP-LR



Рис.10.4б Функціональна залежність в комплексі LR-SP



Fig.10.4b Functional dependence in complex LR-SP



Традиційне правило "ЛЕВІЙ-ПРАВІЙ (мужчина-женщина)" в комплексах ST-GB (GB-ST) біофізички не реально, на що указує синхронність їх системно-функціональної залежності (рис.10.5а,б).

The traditional rule "LEFT-RIGHT (MAN-WOMAN)" in the complexes ST-GB (GB-ST) through all groups of observations is biophysically not real, which is indicated by the synchronicity of its system-functional dependency (fig.10.5a,b).



Рис.10.5а Функціональна залежність в комплексі ST-GB



Fig.10.5a Functional dependence in complex ST-GB





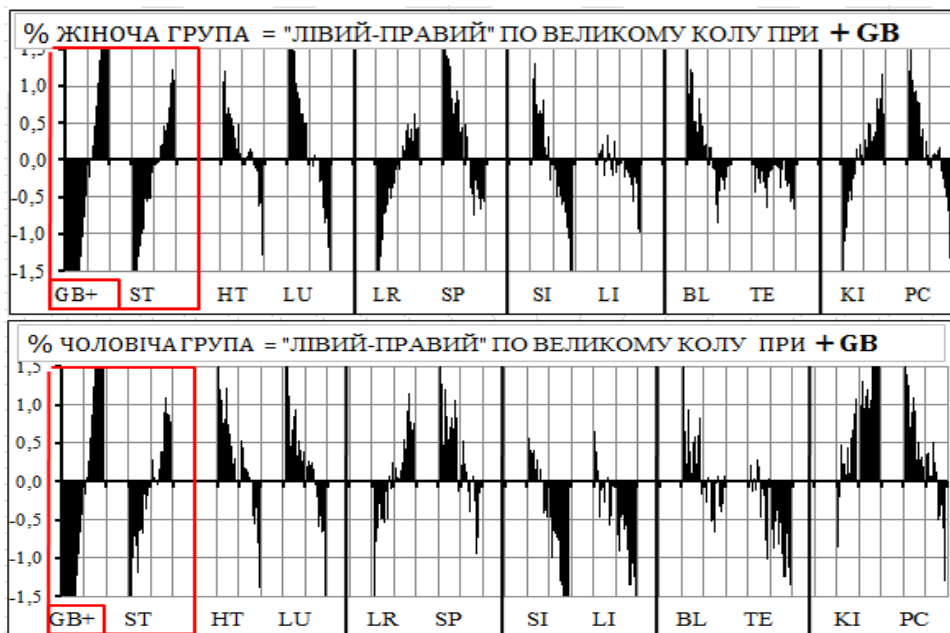


Рис.10.5б Функціональна залежність в комплексі GB-ST



Fig.10.5b Functional dependence in complex GB-ST



Традиційне правило "ЛІВІЙ-ПРАВІЙ (мужчина-жінка)" в комплексах LI-SI (SI-LI) біофізичних не реально, на що вказує синхронність їх системно-функціональної залежності (рис.10.6, б).

The traditional rule "LEFT-RIGHT (MAN-WOMAN)" in the complexes LI-SI (SI-LI) through all groups of observations is biophysical not real, which is indicated by the synchronicity of its system-functional dependency (fig.10.6a, b).

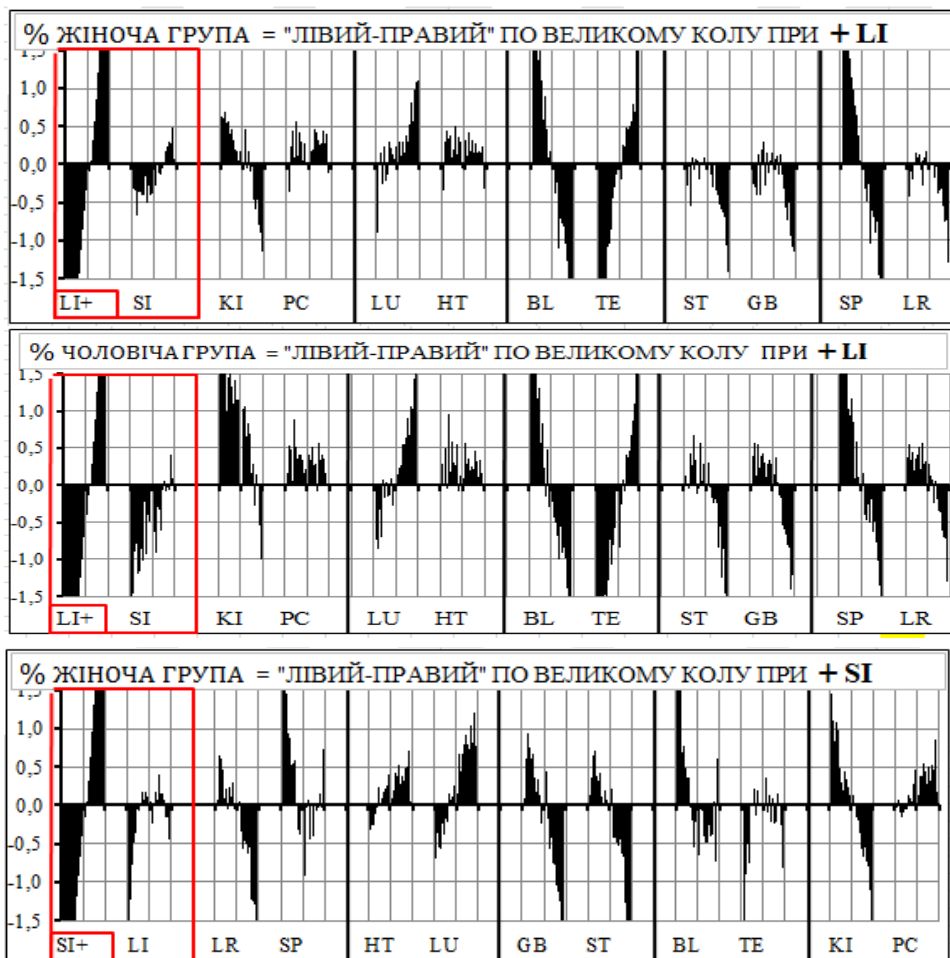


Рис.10.6а Функціональна залежність в комплексі LI-SI



Fig.10.6a Functional dependence in complex LI-SI



Рис.10.6б Функціональна залежність в комплексі SI-LI





Fig.10.6b Functional dependence in complex SI-LI



Традиційне правило "ЛЕВІЙ-ПРАВІЙ (мужчина-женщина)" в комплексах HT-LU (LU-HT) біофізично не реально, на що вказує синхронність їх системно-функціональної залежності (рис.10.7, б).

The traditional rule "LEFT-RIGHT (MAN-WOMAN)" in the complexes HT-LU (LU-HT) through all groups of observations is biophysically not real, which is indicated by the synchronicity of its system-functional dependency (fig.10.7a, b).



Рис. 10.7 а Функціональна залежність в комплексі HT-LU



Fig.10.7a functional dependence in complex HT-LU



Рис.10.7б Функціональна залежність в комплексі LU-HT



Fig.10.7b Functional dependence in complex LU-HT



### Выводы:

1. В 50% наблюдений традиционное правило ЛЕВЫЙ-ПРАВЫЙ (мужчина-женщина) не имеет биофизической поддержки. В гипотетических парах **ST-GB (GB-ST)**, **LI-SI (SI-LI)** и **LI-LU (LU-LI)** возбуждения одной из систем сопровождается не угнетением противоположной, а ее возбуждением.

2. Асинхронная взаимозависимость существует только в комплексах **BL-TE (TE-BL)**, **KI-PC (PC-KI)** и **SP-LR (LR-SP)**, что обуславливает возможность выборочного использования гипотетического влияния ...

3. Выявленное биофизическое несоответствие указывает на существование других законов системной взаимозависимости, что требует соответствующей переподготовки.

### CONCLUSION.

1. In 50% of cases the traditional rule LEFT-RIGHT RULE (MAN-WOMAN) has no biophysical support. In the hypothetical pairs **ST-GB (GB-ST)**, **LI-SI (SI-LI)** and **LI-LU (LU-LI)** excitation of one of the systems is not accompanied by oppression of the opposite one, but by its excitation.

2. Asynchronous interdependency exists only in the complexes **BL-TE (TE-BL)**, **KI-PC (PC-KI)**, and **SP-LR (LR-SP)**, which conditions the possibility of selective usage of the hypothetical influence ...

3. The discovered biophysical discrepancy points to the existence of other laws of systemic dependency, which requires appropriate retraining.





**11-я проблема традиционной Чжень-цзю терапии**

**БИОФИЗИЧЕСКАЯ РЕАЛЬНОСТЬ ТРАДИЦИОННОГО ПРАВИЛА "СПАРЕННЫЕ КАНАЛЫ"**

**11-th Issue of traditional Zhenjiu Therapy**

**BIOPHYSICAL REALITY OF THE TRADITIONAL RULE "PAIRED CHANNELS"**

**ЭМПИРИЧЕСКИЕ ОСНОВЫ ПРАВИЛА "СПАРЕННЫЕ КАНАЛЫ"**

**Пятое традиционное правило СПАРЕННЫЕ КАНАЛЫ** (рис.11.1) представляет функциональные ИНЬ-ЯН комплексы в виде отдельных системных групп **LU-LI**, **SP-ST**, **PC-TE**, **LR-GB** и **KI-BL**, расположенных в системе элементов цикла ЗВЕЗДА. Спецификой их гипотетической зависимости является контрастно-противоположные (асинхронные) реакции с двухчасовой периодами максимальной и минимальной активности.

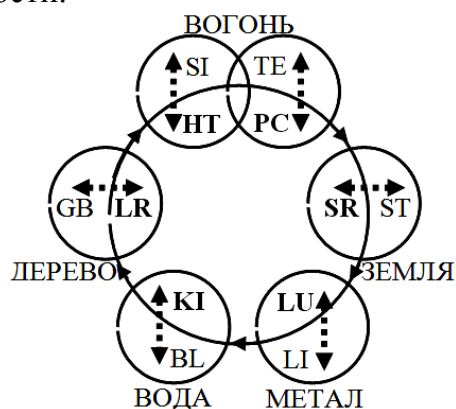


Рис. 11.1 Традиционное правило спаренные КАНАЛЫ

**EMPIRICAL BASES OF THE RULE "PAIRED CHANNELS"**

**Traditional rule PAIRED CHANNELS** (Fig. 11.1). These are functional *YIN-YANG* complexes in the form of paired system groups **LU-LI**, **SP-ST**, **PC-TE**, **LR-GB** and **KI-BL**. The specificity of their hypothetical activity is represented by mutual contrast-opposite (asynchronous) reactions within two-hour periods of maximal and minimal activity.

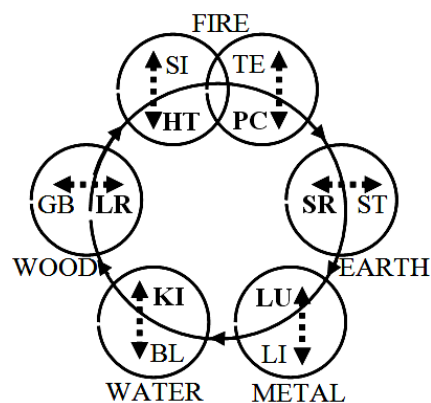


Fig. 11.1 Traditional rule PAIRED CHANNELS

**БИОФИЗИЧЕСКАЯ РЕАЛЬНОСТЬ ПРАВИЛА "СПАРЕННЫЕ КАНАЛЫ"**

Имея в виду проблемный характер вопроса, биофизическую реальность правила рассмотрим в виде системной зависимости при возбуждении отдельных каналов (их угнетение обуславливает обратную системную зависимость).

Проведенный биофизический анализ свидетельствует о следующем ...

Традиционное правило "СПАРЕННЫЕ КАНАЛЫ" в комплексе **BL-KI (KI-BL)** по всем группам наблюдения биофизиче-

**BIOPHYSICAL REALITY OF THE RULE "PAIRED CHANNELS"**

Keeping in mind the problematic character of the issue, the biophysical reality of the rule will be considered as a systemic dependency under the excitation of separate channels ( their oppression conditions the opposite systemic dependency).

The conducted, biophysical analysis testifies to the following...

The traditional rule " PAIRED CHANNEL" in the complex **BL-KI (KI-BL)** through all groups of observations is biophysically re-

ски реально, на что указывает асинхронность системно-функциональной зависимости (рис.11.2а,б).

al, which is indicated by the asynchronicity of its system-functional dependency (fig. 11.2a,b).



Рис.11.2а Асинхронная зависимость комплекса BL-KI

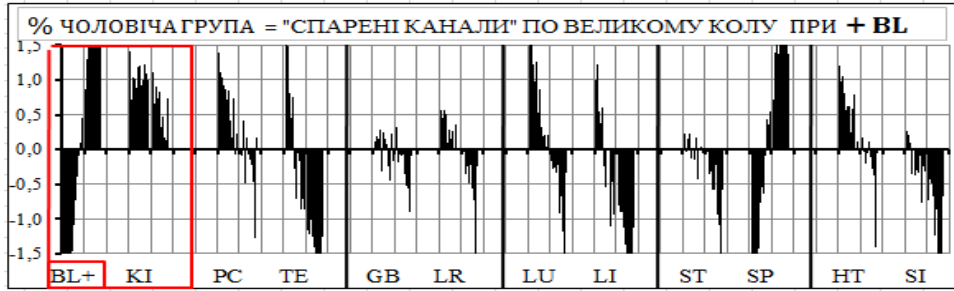


Fig.11.2a Asynchronous dependence of the complex BL-KI



Рис.11.2б Асинхронная зависимость комплекса KI-BL



Fig.11.2б Asynchronous dependence of the complex KI-BL



Традиционное правило "Спаренные каналы" в комплексе LU-LI (LI-LU) биофизически не поддержано, на что указывает синхронность системно-функциональной зависимости (рис.11.3а,б).

The traditional rule "Paired Channels" in the complex LU-LI (LI-LU) is biophysically unsupported, which is indicated by the synchronicity of its system-functional dependency (Fig. 11.3a,b).



Рис.11.3а Синхронная зависимость комплекса LI-LU





Fig.11.3a Synchronous dependence of the complex LI-LU



Рис.11.36 Синхронная зависимость комплекса LU-LI



Fig.11.36 Synchronous dependence of the complex LI-LU



Традиционное правило "Спаренные каналы" в комплексе **BL-KI (KI-BL)** по всем группам наблюдения биофизически реально, на что указывает асинхронность системно-функциональной зависимости (рис.11.4, б).

The traditional rule " **PAIRED CHANNELS**" in the complex **BL-KI (KI-BL)** through all groups of observations is bio-physical real, which is indicated by the asynchronicity of system-functional dependency (fig.11.4a, b).



Рис.11.4а Асинхронная зависимость комплекса ST-SP



Fig.11.4a Asynchronous dependence of the complex ST-SP



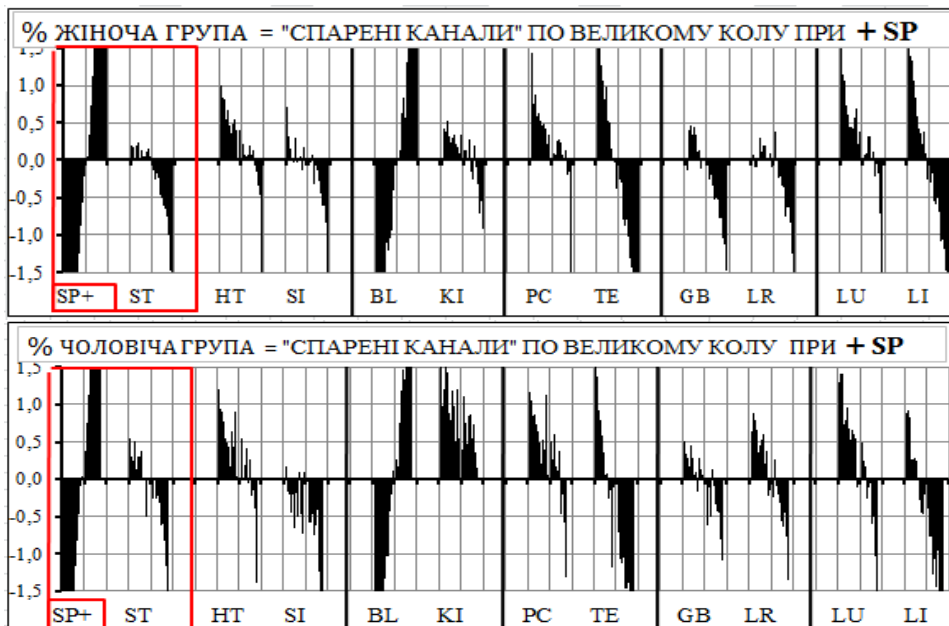


Рис.11.46 Асинхронная зависимость комплекса SP-ST



Fig.11.46 Asynchronous dependence of the complex SP-ST



Традиционное правило "Спаренные каналы" в комплексе TE-PC (PC-TE) по всем группам наблюдения биофизически не поддержано, на что указывает синхронность системно-функциональной зависимости (рис.11.5, б).

The traditional rule "Paired Channels" in the complex TE-PC (PC-TE) through all groups of observations is biophysically unsupported, which is indicated by the synchronicity of system-functional dependency (Fig.11.5a,b).

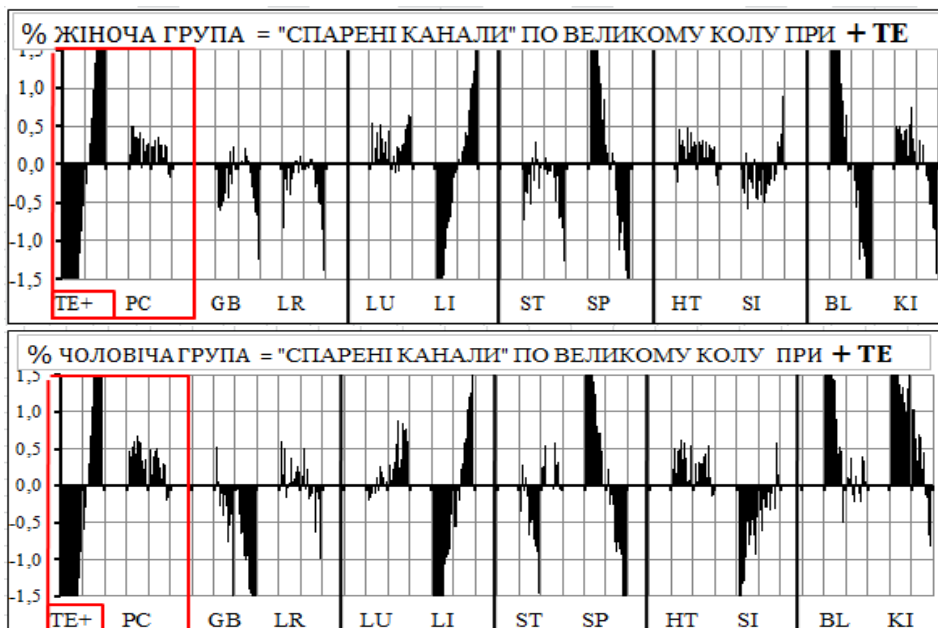


Рис.11.5а Асинхронная зависимость комплекса TE-PC



Fig.11.5a Asynchronous dependence of the complex TE-PC



Рис.11.5б Асинхронная зависимость комплекса PC-TE



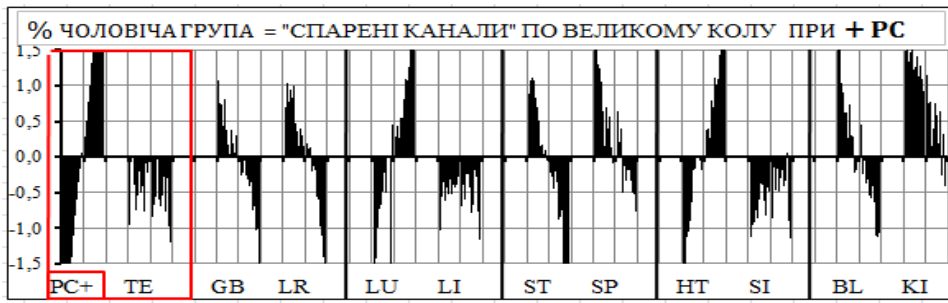


Fig.11.56 Asynchronous dependence of the complex PC-TE



Традиционное правило "Спаренные каналы" в комплексе SI-HT (HT-SI) по всем группам наблюдения биофизически не поддержано, на что указывает синхронность системно-функциональной зависимости (рис. 11.6, б).

The traditional rule "Paired Channels" in the complex SI-HT (HT-SI) through all groups observations is biophysically unsupported, which is indicated by the synchronicity of system-functional dependency (Fig. 11.6a,b).



Рис.11.6а Синхронная зависимость комплекса SI-HT



Fig.11.6а Synchronous dependence of the complex SI-HT



Рис.11.6б Синхронная зависимость комплекса HT-SI

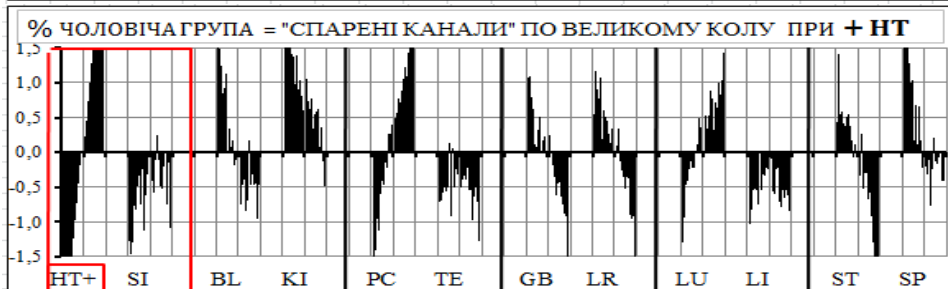


Fig.11.6б Synchronous dependence of the complex HT-SI



Традиционное правило "Спаренные каналы" в комплексе GB-LR (LR-GB) биофизически не поддержано, на что

The traditional rule "Paired Channels" in the complex GB-LR (LR-GB) is biophysically unsupported, which is indicated



указывает синхронность системно-функциональной зависимости (рис.11.7, б).

by the synchronicity of system-functional dependency (Fig.11.7a, b).



Рис.11.7а Синхронная зависимость комплекса GB-LR



Fig.11.7а Synchronous dependence of the complex GB-LR



Рис, 11.7б Синхронная зависимость комплекса LR-GB



Fig.11.7б Synchronous dependence of the complex LR-GB



**Выводы:**

1. В большинстве наблюдений (77%) традиционное правило "Спаренные каналы" не имеет биофизической поддержки (в комплексах наблюдается синхронная и парадоксальная системная зависимость). Задекларированная асинхронная зависимость отмечена только в гипотетических парах BL-KI и ST-SP. Таким образом указанное правило в его гипотетической интерпретации не может использоваться ...

2. Виявлене биофизическое несоответствие указывает на существование

**CONCLUSION.**

1. In the majority (77%) of observations, the traditional rule Paired Channels has no biophysical support (the pairs demonstrate synchronous and paradoxical systemic relationship). The declared dependency has been marked only in hypothetical pairs BL-KI and ST-SP. In this view, the mentioned rule cannot be used in its hypothetical interpretation...

2. The discovered biophysical discrepancy points to the existence of other laws

иных законов системной взаимозависимости, что требует соответствующей переподготовки.

of systemic dependency, which requires appropriate retraining.





**12-я проблема традиційної Чжень-цзю терапії**

**БИОФИЗИЧЕСКАЯ РЕАЛЬНОСТЬ ТРАДИЦИОННОГО ПРАВИЛА “ПОЛДЕНЬ-ПОЛНОЧЬ”**

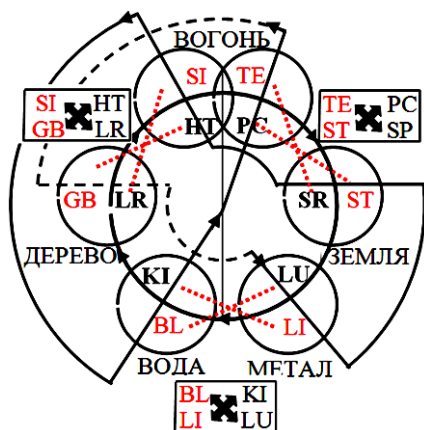
**12-th Issue of traditional Zhenjiu Therapy**

**BIOPHYSICAL REALITY OF THE TRADITIONAL RULE "MIDDAY – MIDNIGHT"**

**Эмпирической основой ПРАВИЛА “ПОЛДЕНЬ-ПОЛНОЧЬ”**

Шестое традиционное правило ПОЛДЕНЬ-ПОЛНОЧЬ декларирует следующее (рис.12.1). Периоды максимальной и минимальной активности в парах ИНЬ-ЯН органов асинхронны во времени и через 12-ть часов проявляют противоположную активность. Таких пар шесть (LU-BL, LI-KI, ST-PC, SP-TE, HT-GB и SI-LR).

При этом время максимальной активности одного из каналов функциональной пары будет временем минимальной активности другого. Например, в паре LU-BL период с 3 до 5 часов утра будет временем максимальной активности Легких (LU) и минимальной активности мочевого пузыря (BL).



Майл.12.1 Традиционное правило ПОЛДЕНЬ-ПОЛНОЧЬ

Гипотетическое значение правила ПОЛДЕНЬ-ПОЛНОЧЬ заключается в следующем. Возбуждение (угнетение) любой функциональной системы через 12-ть часов обусловит угнетение (возбуждение) своей контрастно-противоположной пары. Иными словами, для угнетения функциональной активности Легких

**RULES EMPIRICAL BASIS "SOUTH-NORTH"**

Traditional rule MIDDAY-MIDNIGHT (fig.12.1). Periods of maximal and minimal activity of certain pairs of Main YIN-YANG organs are asynchronous in time and in 12-hour interval have opposite activity. There are six such pairs (LU-BL, LI-KI, ST-PC, SP-TE, HT-GB and SI-LR).

At the same time, time of maximal activity of one of channels of functional pair will simultaneously be the time of minimal activity of its opposition. For example, from 3 to 5 morning hours will be the time of maximal activity of Lungs (LU) and minimal for Urinary bladder (BL) in the pair LU-BL.

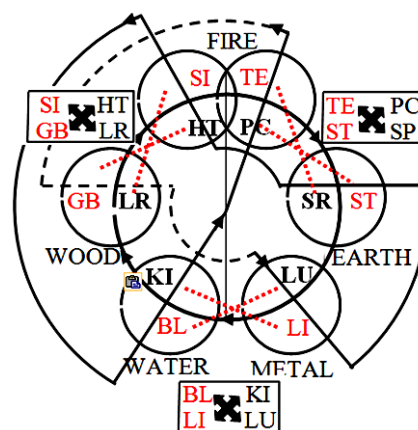


Fig.12.1 Traditional rule MIDDAY-MIDNIGHT

Practical meaning of the rule MIDDAY-MIDNIGHT is in the following: excitation (oppression) of functional system in 12 hours will condition oppression (excitation) of activity of contrast-opposite pair. From other side, in order to oppress functional activity of Lungs (LU) at 3-5 hours in the morning, it is necessary to excite Urinary

(LU) в 3-5 часов утра, правило позволяет в 15-17 часов предыдущего дня активировать Мочевой пузырь (BL)...

Bladder at 15-17 hours of the previous days, and vice versa (BL).

**БИОФИЗИЧЕСКАЯ РЕАЛЬНОСТЬ ПРАВИЛА "ПОЛДЕНЬ-ПОЛНОЧЬ"**

**BIOPHYSICAL REALITY OF THE RULE "MIDDAY – MIDNIGHT"**

Имея в виду проблемный характер вопроса, биофизическую реальность правила рассмотрим в виде системной зависимости при возбуждении отдельных каналов (их угнетение обуславливает обратную системную зависимость).

Keeping in mind the problematic character of the issue, let us observe biophysical reality of the rule in the form of systemic dependency under excitation of individual channels (their oppression conditions the opposite systemic dependency).

Проведенный биофизический анализ свидетельствует о следующем ...

The conducted biophysical analysis testifies to the following...

Традиционное правило "ПОЛДЕНЬ-ПОЛНОЧЬ" предусматривает асинхронную реакцию зависимой системы через 12-ть часов после направленного воздействия на ведущий канал. Но, по всем группам наблюдения системная асинхронная реакция в комплексе BL-LU (LU-BL) формируется сразу (рис.12.2а, б). Это биофизически противоречит традиционному правилу.

The traditional rule of "MIDDAY-MIDNIGHT" is expected to provide an asynchronous response of the dependent system in 12 hours after the directed influence on the leading channel. Through all groups of observations of the complex BL-LU (LU-BL), asynchronous reaction occurs simultaneously with the excitation (oppression) of the leading channel (fig.12.2a,b). This biophysically contradicts the traditional rule.



Рис.12.2а Асинхронная зависимость в комплексе BL-LU



Fig.12.2a Asynchronous dependence in complex BL-LU



Рис.12.2б Асинхронная зависимость в комплексе LU-BL





Fig.12.2b Asynchronous dependence in complex LU-BL



Традиційне правило "ПОЛДЕНЬ-ПОЛНОЧЬ" передбачає асинхронну реакцію залежної системи через 12-ть годин після направленої дії на ведучий канал. По всіх групах спостереження за комплексом **LI-KI** (**KI-LI**), системна асинхронна реакція формується одразу (рис.12.3а, б). Це біофізично суперечить традиційному правилу.

The traditional rule of "MIDDAY-MIDNIGHT" is expected to provide an asynchronous response of the dependent system in 12 hours after the directed influence on the leading channel. Through all groups of observations of the complex **LI-KI** (**KI-LI**), asynchronous reaction occurs simultaneously with the excitation (oppression) of the leading channel (fig.12.3a b). This biophysically contradicts the traditional rule.



Рис.12.3а Асинхронна залежність в комплексі LI-KI



Fig.12.2a Asynchronous dependence in complex LI-KI



Рис.12.3б Асинхронна залежність в комплексі KI-LI



Fig.12.2b Asynchronous dependence in complex KI-LI



Традиционное правило "ПОЛДЕНЬ-ПОЛНОЧЬ" предусматривает асинхронную реакцию зависимой системы через 12-ть часов после направленного воздействия на ведущий канал. В комплексе **ST-PC** (**PC-ST**), системная асинхронная реакция формируется сразу (рис.12.4а,б). Это биофизически противоречит традиционному правилу.

Традиционное правило "ПОЛДЕНЬ-ПОЛНОЧЬ" предусматривает асинхронную реакцию зависимой системы через 12-ть часов после направленного воздействия на ведущий канал. В комплексе **TE-SP** (**SP-TE**), системная асинхронная реакция формируется сразу (рис.12.5а, б). Это биофизически противоречит традиционному правилу.

The traditional rule of "MIDDAY-MIDNIGHT" is expected to provide an asynchronous response of the dependent system in 12 hours after the directed influence on the leading channel. In the complex **ST-PC** (**PC-ST**) asynchronous reaction occurs simultaneously with the excitation (oppression) of the leading channel (fig.12.4a b). This biophysically contradicts the rule.

The traditional rule of "MIDDAY-MIDNIGHT" is expected to provide an asynchronous response of the dependent system in 12 hours after the directed influence on the leading channel. In the complex **TE-SP** (**SP-TE**), asynchronous reaction occurs simultaneously with the excitation (oppression) of the leading channel (fig.12.5a b). This biophysically contradicts the rule.

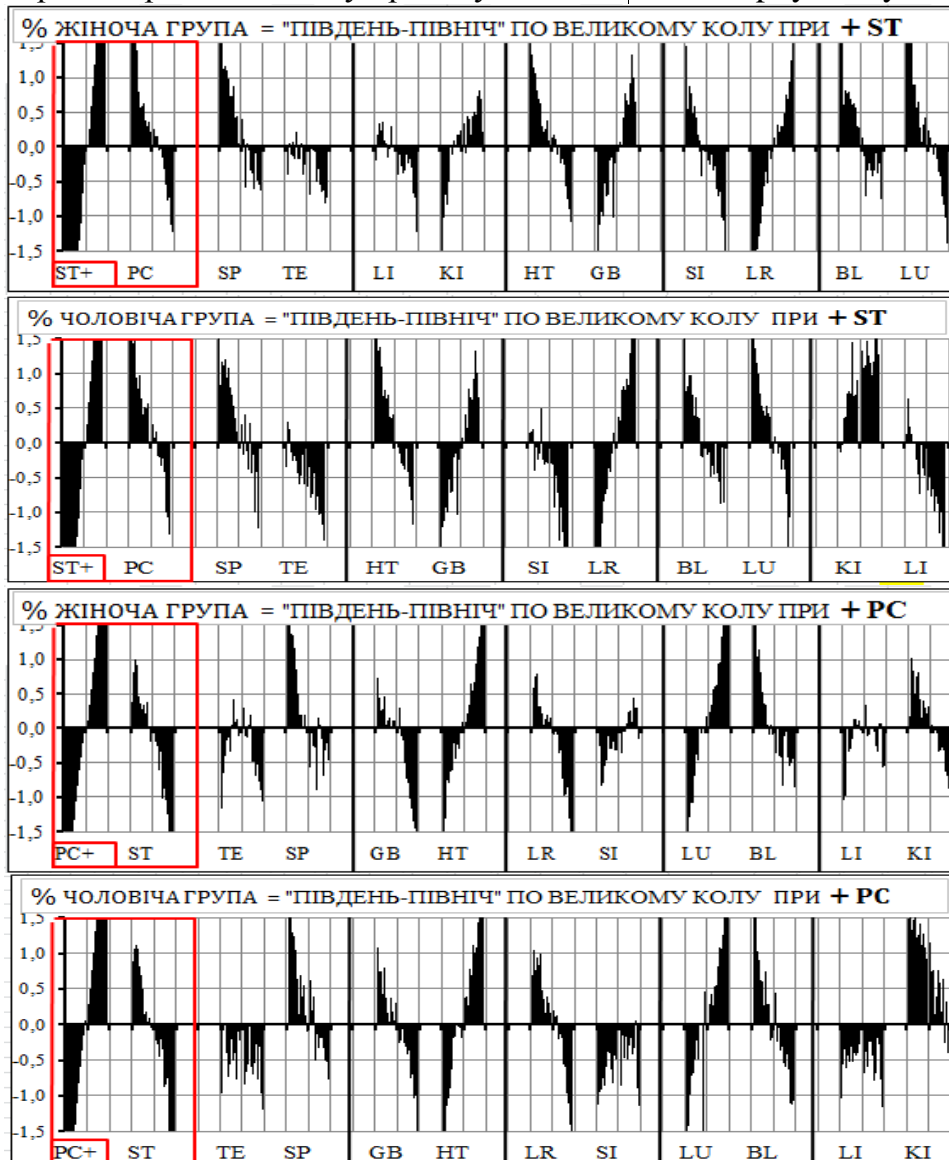


Рис.12.4а Асинхронная зависимость в комплексе ST-PC



Fig.12.4a Asynchronous dependence in complex ST-PC



Рис.12.4б Асинхронная зависимость в комплексе PC-ST



Fig.12.4b Asynchronous dependence in complex PC-ST





Рис.12.5а Асинхронная зависимость в комплексе TE-SP



Fig.12.5a Asynchronous dependence in complex TE-SP



Рис.12.5б Асинхронная зависимость в комплексе SP-TE

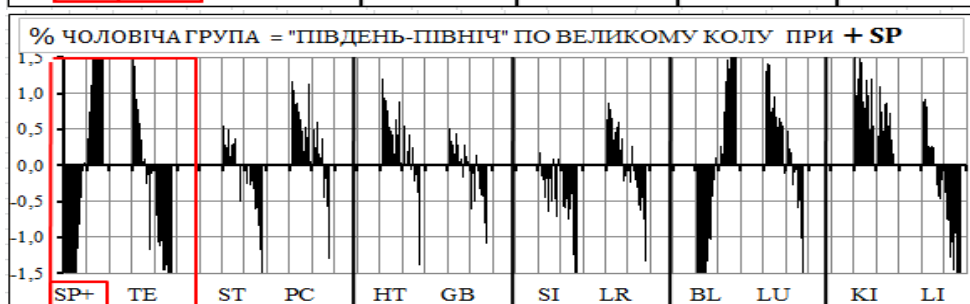


Fig.12.5b Asynchronous dependence in complex SP-TE



Традиционное правило "ПОЛДЕНЬ-ПОЛНОЧЬ" предусматривает асинхронную реакцию зависимой системы через 12-ть часов после направленного воздействия на ведущий канал. По всем группам наблюдения за комплексом SI-LR (LR-SI), системная асинхронная реакция формируется сразу (рис.12.6а, б). Это биофизически противоречит традиционному правилу.

The traditional rule of "MIDDAY-MIDNIGHT" is expected to provide an asynchronous response of the dependent system in 12 hours after the directed influence on the leading channel. In the complex SI-LR (LR-SI) asynchronous reaction occurs simultaneously with the excitation (oppression) of the leading channel (fig.12.6a b). This biophysically contradicts the traditional rule.



Рис.12.6а Асинхронная зависимость в комплексе SI-LR





Fig.12.6a Asynchronous dependence in complex SI-LR



Рис.12.6б Асинхронная зависимость в комплексе LR-SI



Fig.12.6b Asynchronous dependence in complex LR-SI



Традиционное правило "ПОЛДЕНЬ-ПОЛНОЧЬ" предусматривает асинхронную реакцию зависимой системы через 12-ть часов после направленного воздействия на ведущий канал. В комплексе **GB-HT** (**HT-GB**), системная асинхронная реакция формируется сразу (рис.12.7а, б). Это биофизически противоречит традиционному правилу.

The traditional rule of "MIDDAY-MIDNIGHT" is expected to provide an asynchronous response of the dependent system in 12 hours after the directed influence on the leading channel. In the complex **GB-HT** (**HT-GB**), asynchronous reaction occurs simultaneously with the excitation (oppression) of the leading channel (fig.12.7a,b). This biophysically contradicts the rule.



Рис.12.7а Асинхронная зависимость в комплексе GB-HT



Fig.12.7a Asynchronous dependence in complex GB-HT





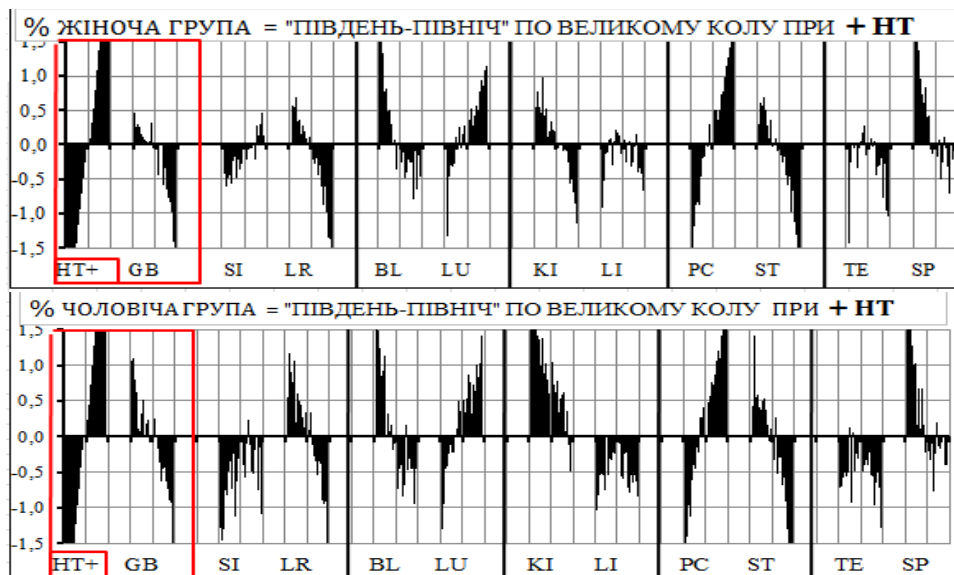


Рис.12.7б Асинхронная зависимость в комплексе HT-GB



Fig.12.7b Asynchronous dependence in complex HT-GB



### Выводы.

1. По всем группам наблюдения традиционное правило "ПОЛДЕНЬ-ПОЛНОЧЬ" не получило биофизической поддержки. В парах функциональных каналов наблюдается одновременная системно-Асинхронная зависимость, противоречит гипотетическому правилу и обуславливает нецелесообразность его использования.

2. Выявлена биофизическая несоответствие указывает на существование других законов системной взаимозависимости, что требует соответствующей переподготовки.

### CONCLUSION.

1. Through all groups of observations, the traditional rule Midday-Midnight has not been biophysically supported. In the pairs of functional channels, we observe simultaneous systemic-asynchronous dependency, which contradicts the hypothetical rule and makes it inappropriate for usage.

2. The observed biophysical discrepancy points to the existence of other laws of systemic dependency, which requires the appropriate retraining.





**13-я проблема традиционной Чжень-цзю терапии**

**БИОФИЗИЧЕСКАЯ РЕАЛЬНОСТЬ ТРАДИЦИОННОГО ПРАВИЛА  
"ПРОТИВ УГНЕТЕНИЯ"**

**13-th Issue of traditional Zhenjiu Therapy**

**BIOFIZYCHNA REALITY OF THE TRADITIONAL RULES  
"ANTI OPPRESSION"**

**ЭМПИРИЧЕСКИЕ ОСНОВЫ  
"ПРОТИВ УГНЕТЕНИЯ"**

Восьмое традиционное правило "ПРОТИВ УГНЕТЕНИЯ". Откровенно говоря, информацию о нём мы получили недавно в виде перевода известного специалиста китайской иероглифики В.П.Белусова.

Согласно перевода, "взаимоотношения Пяти элементов (рис.13.1) проявляются в пяти основных направлениях: активация (生 шен), угнетение (克 ке), избыточное угнетение (乘 чен),"против угнетения" (侮 ву) и нарушении взаимозависимости по принципу СЫН-МАТЬ (子母相及) ... "

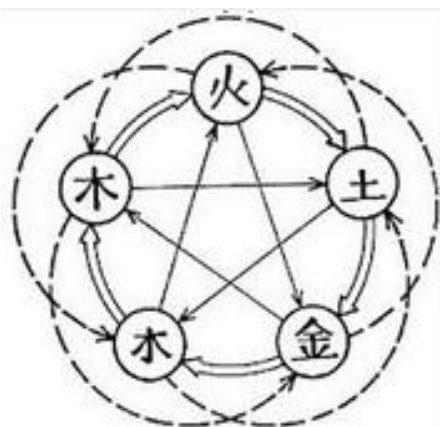


Рис.13.1

**EMPIRICAL BASIS OF THE RULE  
"ANTI-OPPRESSION"**

**The eighth traditional rule "ANTI-OPPRESSION".** Frankly speaking, the information we have recently got in the form of translation, made by well-known specialist in Han characters V. P. Belousov.

According to the translation, "interrelation of Five elements (fig.13.1) appears in five main directions: activation (生 sheng), oppression (克 kha), and excessive oppression (乘 cheng), anti-oppression (侮 wu), and also disorder of the interdependency according to the principle Son-Mother (子母相及)..."

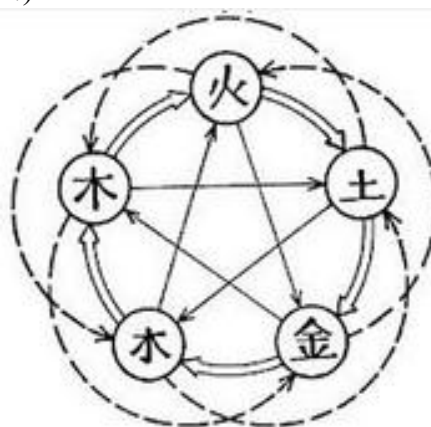


Fig.13.1

**1-й вариант "Против угнетения"  
(при чрезмерном угнетении канала)**

При этом чрезмерное угнетение (乘) идет обычным путем, но в отличие от него является патологическим и обуславливает реакцию "против угнетения" (侮). Согласно традиционной теории, последняя направлена на активацию Элемента угнетения (ДЕД) "угнетённым Элементом" (ВНУК).

**1-st Variant "Anti-oppression" (under  
excessive suppression of a channel)**

At the same time, surplus oppression (乘) follows the usual way, but, in opposition to it, is pathological and conditions reaction of anti oppression (侮). According to traditional theory, the latter is targeted at activation of the element of oppression (GRANDFATHER) by the oppressed element (GRAND-SON).

Ожидаемые последствия системного зависимости должны быть в следующих комплексах (мал.13.2).

По ЯН-группе:

-GB=BL+LI+(ST+); -SI=GB+BL+(LI+)  
 -TE=GB+BL+(LI+); -ST=TE+GB+(BL+)  
 -ST=SI+GB+(BL+); -LI=ST+TE+(GB+)  
 -LI=ST+SI+(GB+); -BL=LI+ST+(TE+)

По ИНЬ-группе:

-LR=KI+LU+(SP+); -HT=LR+KI+(LU+)  
 -PC=LR+KI+(LU+); -SP=PC+LR+(KI+)  
 -SP=HT+LR+(KI+); -LU=SP+PC+(LR+)  
 -LU=SP+HT+(LR+); -KI=LU+SP+(PC+)  
 -KI=LU+SP+(HT+).

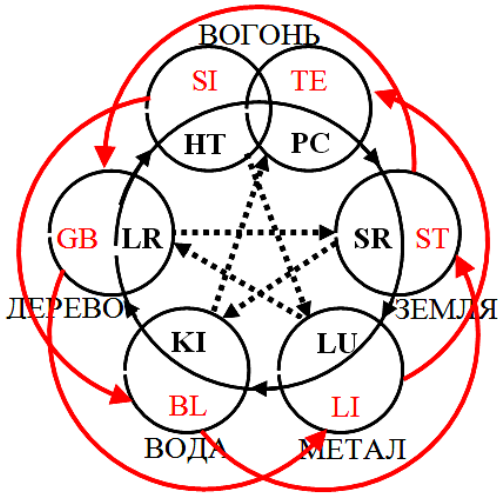


Рис.13.2 Традиционные влияния "Против угнетения" по В.П.Белову ( —> синхронные, ...> асинхронные и —> "Против угнетения" реакции).

The expected effects of systemic dependency on the system should be in the following complexes (mal.13.2).

Through YANG-group:

-GB=BL+LI+(ST+); -SI=GB+BL+(LI+);  
 -TE=GB+BL+(LI+); -ST=TE+GB+(BL+);  
 -ST=SI+GB+(BL+); -LI=ST+TE+(GB+);  
 -LI=ST+SI+(GB+); -BL=LI+ST+(TE+).

Through YIN-group:

-LR=KI+LU+(SP+); -HT=LR+KI+(LU+);  
 -PC=LR+KI+(LU+); -SP=PC+LR+(KI+);  
 -SP=HT+LR+(KI+); -LU=SP+PC+(LR+);  
 -LU=SP+HT+(LR+); -KI=LU+SP+(PC+);  
 -KI=LU+SP+(HT+).

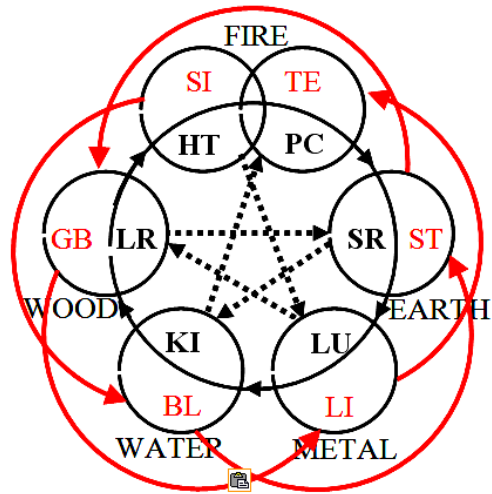


Fig.13.2 Traditional influences "anti oppression" according to V.P. Belousov (synchronous —>, asynchronous ...> and "anti oppression reaction —>).

**2-й вариант "Против угнетения" (при чрезмерном возбуждении канала)**

Есть еще одна, более логичная концепция теории "Против угнетения". Когда один из пяти Элементов чрезмерно сильный, он не подвергается угнетению по правилу ДЕД-ВНУК и начинает сам его угнетать. Одновременно, являясь ДЕДОМ в следующей триаде, он угнетает уже своего ВНУКА.

Например, элемент МЕТАЛЛ (в триаде МЕТАЛЛ-ВОДА-ДЕРЕВО) угнетает ДЕРЕВО. Но, когда ДЕРЕВО чрезмерно сильное, оно в этой триаде начинает подавлять МЕТАЛЛ (против угнетения; 木侮金). При этом чрезмерное возбуждение ДЕРЕВА в этой триаде обуславлива-

**2-nd variant " anti-oppression" (during excessive excitation of a channel)**

There is another, more logical concept of the theory "Anti-oppression." When one of the five elements is too strong, it is not exposed to oppression employing the rule Grandfather-Grandson and it begins to suppress it. At the same time, being a Grandfather in the next triad, it already inhibits its Grandson.

For example, the elements Metal (in the triad METAL-WATER-WOOD) inhibits the WOOD. However, when the WOOD is too strong, it starts to inhibit METAL in this triad (anti-oppression; 木侮金). In addition, excessive excitation of WOOD in this triad, causes inhibition of the element

ет угнетение Элемента ВОДА и в следующей триаде (ДЕРЕВО-ОГОНЬ-ЗЕМЛЯ) - угнетение Элемента ЗЕМЛЯ.

То есть ожидаемые последствия в приведенных выше триадах должны быть противоположно направлены первому варианту системной зависимости - чрезмерного угнетения (рис.13.2).

По ЯН-группе:

+GB = BL-LI- (ST-); +SI = GB-BL-(LI-);  
 +TE = GB-BL-(LI-); +ST = TE-GB-(BL-);  
 +ST = SI-GB-(BL-); +LI = ST-TE-(GB);  
 +LI = ST-SI-(GB); +BL = LI-ST-(TE-).

По ИНЬ-группе:

+LR = KI-LU- (SP-); +HT = LR-KI- (LU-);  
 +PC = LR-KI- (LU-); +SP = PC-LR- (KI-);  
 +SP = HT-LR- (KI-); +LU = SP-PC- (LR-);  
 +LU = SP-HT- (LR-); +KI = LU-SP- (PC-);  
 +KI = LU-SP- (HT-).

WATER in the next triad (FIRE-WOOD-EARTH) - inhibiting the element EARTH.

That is, the expected consequences of the mentioned triads must be oppositely directed to the first variant of the system dependency - excessive inhibition (fig.13.2).

Through the YANG-group:

+GB=BL-LI-(ST-); +SI=GB-BL-(LI-);  
 +TE=GB-BL-(LI-); +ST=TE-GB-(BL-);  
 +ST=SI-GB-(BL-); +LI=ST-TE-(GB);  
 +LI=ST-SI-(GB); +BL=LI-ST-(TE-).

Through the YIN-group:

+LR=KI-LU-(SP-); +HT=LR-KI-(LU-);  
 +PC=LR-KI-(LU-); +SP=PC-LR-(KI-);  
 +SP=HT-LR-(KI-); +LU=SP-PC-(LR-);  
 +LU=SP-HT-(LR-); +KI=LU-SP-(PC-);  
 +KI=LU-SP-(HT-).

**БИОФИЗИЧЕСКИЙ РЕАЛЬНОСТЬ ПРАВИЛА  
 "ПРОТИВ УГНЕТЕНИЯ"  
 (ПРИ ЧРЕЗМЕРНОМ УГНЕТЕНИИ КАНАЛА)**

Имея в виду проблемный характер вопроса, биофизическую реальность Правила рассмотрим в виде системно-комплексной зависимости при чрезмерном угнетении отдельных каналов (их возбуждения обуславливает обратную системную зависимость).

Проведенный биофизический анализ свидетельствует о следующем ...

Чрезмерное угнетение **BL** обуславливает следующую системную зависимость: -BL = + LI, + ST- (+ TE). В данном случае она биофизически поддерживает традиционное правило "ПРОТИВ УГНЕТЕНИЯ" (рис.13.3).

**BIOPHYSICAL REALITY OF THE RULES  
 "ANTI OPPRESSION" (DURING  
 EXCESSIVE OPPRESSION OF A CHANNEL)**

Keeping in mind the problematic character of the issue, we will consider the biophysical reality of the rule systemic-complex dependency under excessive oppression of separate channels (their excitation causes the opposite systemic dependency).

Biophysical analysis testifies to the following...

Excessive oppression of **BL** conditions the following dependency: -BL = + LI, + ST- (+ TE). In this case, it biophysically supports the traditional rule "ANTI-OPPRESSION" (mal.13.3).



Рис.13.3 Функциональная зависимость в комплексе BL=LI,ST(TE).





Fig..13.3 Functional dependence of the complex  $-BL=LI.ST(TE)$ .



Чрезмерное угнетение **KI** обуславливает следующую системную зависимость:  $-KI = +LU, +SP (+PC)$ . В данном случае она биофизически поддерживает традиционное правило "ПРОТИВ УГНЕТЕНИЯ" (рис.13.4).

Excessive oppression of **KI** conditions the following dependency:  $-KI = +LU, +SP (+PC)$ . In this case, it biophysically supports the traditional rule "ANTI-OPPRESSION" (mal.13.4).

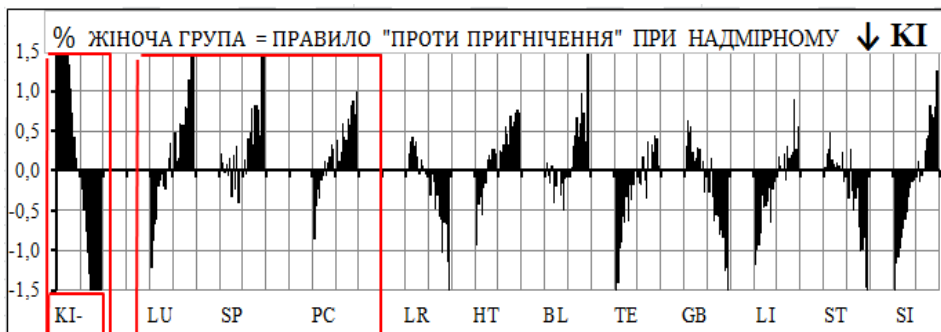


Рис.13.4 Функциональная зависимость в комплексе  $-KI=LU.SP(PC)$ .



Fig..13.4 Functional dependence of the complex  $-KI=LU.SP(PC)$ .



Чрезмерное угнетение **GB** обуславливает следующую зависимость:  $-GB = +LI, +ST (-TE)$ . В данном случае традиционное правило "ПРОТИВ угнетения" не получило биофизической поддержки (рис.13.5).

Excessive oppression of **GB** conditions the following dependency:  $-GB = +LI, +ST (-TE)$ . In this case, the traditional rule "ANTI-OPPRESSION" has not received the biophysical support (fig.13.5).

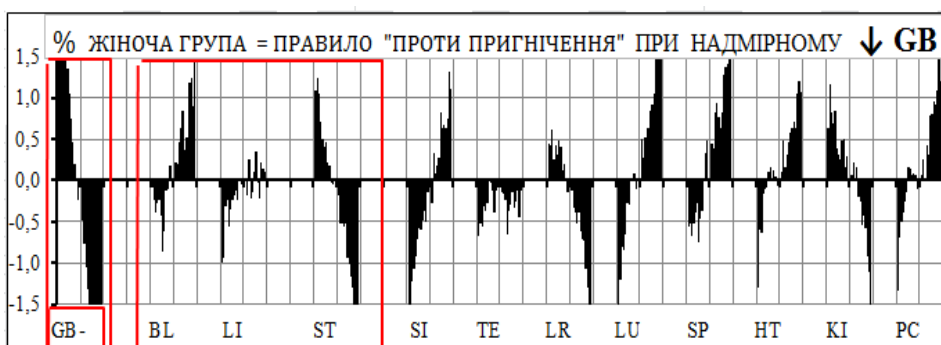


Рис.13.5 Функциональная зависимость в комплексе  $-GB=BL.LI(ST)$



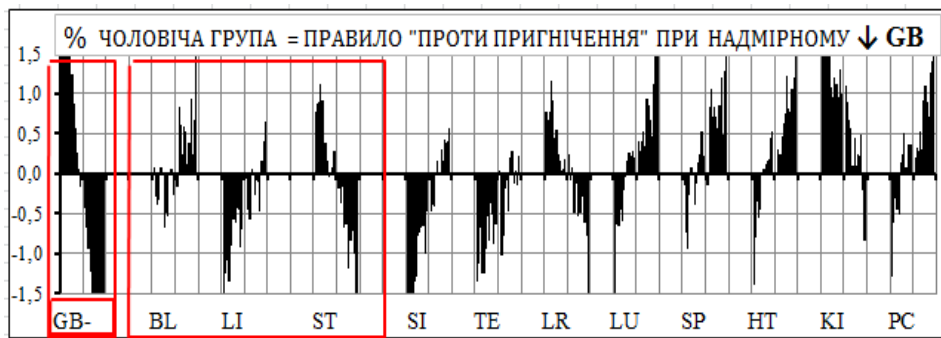


Fig.13.5 Functional dependence of the complex  $-GB=BL.LI (ST)$



Чрезмерное угнетение **LR** обуславливает следующую зависимость:  $-LR = -KI, +LU (+SP)$ . В данном случае традиционное правило "ПРОТИВ УГНЕТЕНИЯ" не получило биофизической поддержки (рис.13.6).

Excessive oppression of **LR** conditions the following dependency:  $-LR = -KI, +LU (+SP)$ . In this case, the traditional rule "ANTI-OPPRESSION" has not received the biophysical support (fig.13.6).



Рис.13.6 Функциональная зависимость в комплексе  $-LR=KI.LU (SP)$

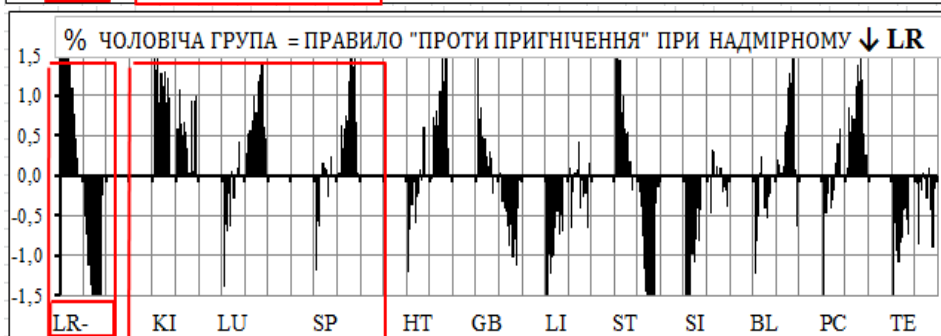


Fig.13.6 Functional dependence of the complex  $-LR=LI.PC (KI)$



Чрезмерное угнетение **SI** обуславливает следующую зависимость:  $-SI = +GB, +BL (-LI)$ . В данном случае традиционное правило "ПРОТИВ УГНЕТЕНИЯ" не получило биофизической поддержки (рис.13.7).

Excessive oppression of **SI** conditions the following dependency:  $-SI = +GB, +BL (-LI)$ . In this case, the traditional rule "ANTI-OPPRESSION" has not received the biophysical support (fig.13.7).

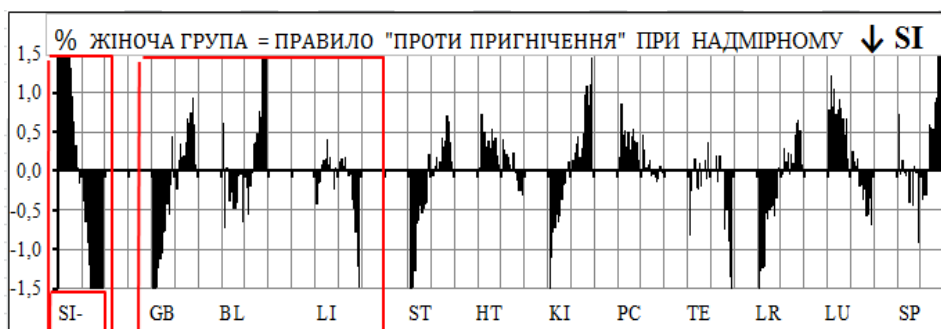


Рис.13.7 Функциональная зависимость в комплексе  $-SI=GB, BL (LI)$ .





Fig.13.7 Functional dependence of the complex  $-SI = GB.BL (LI)$ .



Чрезмерное угнетение **HT** обуславливает следующую зависимость:  $-HT = +LR, +KI (-LU)$ . В данном случае традиционное правило "ПРОТИВ УГНЕТЕ-НИЯ" не получило биофизической поддержки (рис.13.8).

Excessive oppression of **HT** conditions the following dependency:  $-HT = +LR, +KI (-LU)$ . In this case, the traditional rule "ANTI-OPPRESSION" has not received the biophysical support (fig.13.8).

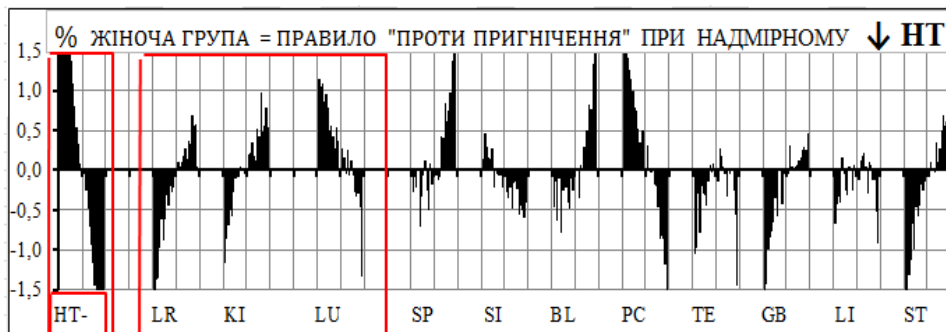


Рис.13.8 Функциональная зависимость в комплексе  $-HT = LR.KI (LU)$

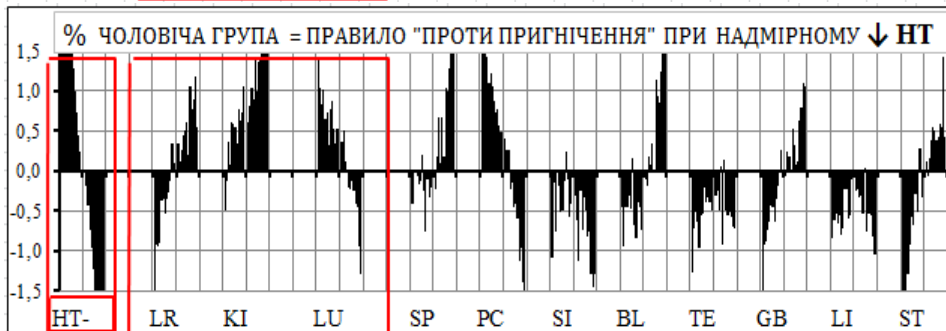


Fig.13.8 Functional dependence of the complex  $-HT = LR.KI (LU)$



Чрезмерное угнетение **TE** обуславливает следующую зависимость:  $-TE = \cap -GB, +BL (-LI)$ . В данном случае традиционное правило "ПРОТИВ УГНЕТЕ-НИЯ" не получило биофизической поддержки (рис.13.9).

Excessive oppression of **TE** conditions the following dependency:  $-TE = -GB, +BL (-LI)$ . In this case, the traditional rule "ANTI-OPPRESSION" has not received the biophysical support (fig.13.9).

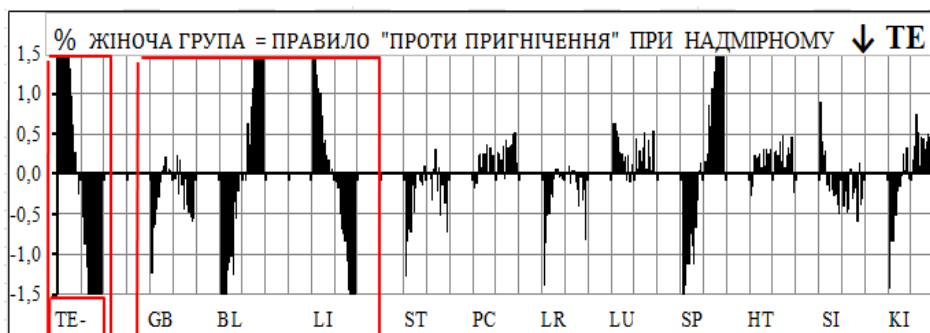


Рис.13.9 Функциональная зависимость в комплексе  $-TE = GB.BL (LI)$





Fig..13.9 Functional dependence of the complex  $-TE=GB.BI.(LI)$



Чрезмерное угнетение **PC** обуславливает следующую зависимость:  $-PC = +LR, +KI -LU$ ). В данном случае традиционное правило "ПРОТИВ УГНЕТЕНИЯ" не получило биофизической поддержки (рис.13.10).

Excessive oppression of **PC** conditions the following dependency:  $-PC = +LR, +KI -LU$ ). In this case, the traditional rule "ANTI-OPPRESSION" has not received the biophysical support (fig.13.10).

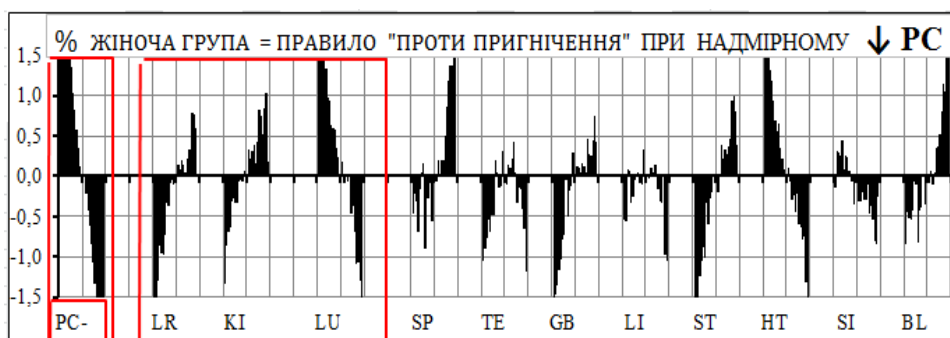


Рис.13.10 Функциональная зависимость в комплексе  $-PC = LR.KI(LU)$

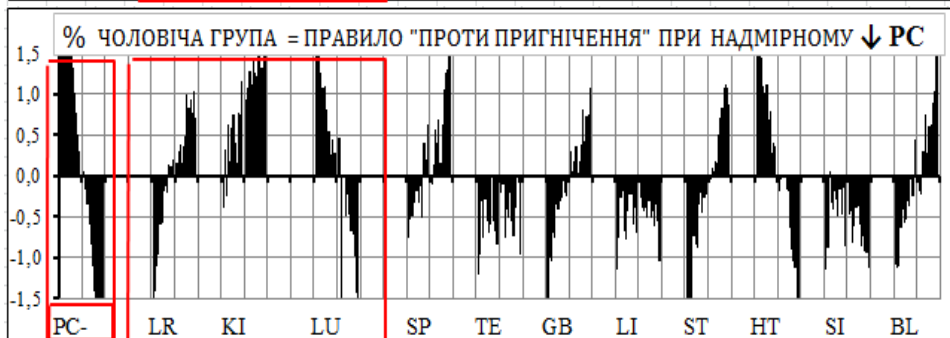


Fig..13.10 Functional dependence of the complex  $-PC = LR.KI(LU)$



Чрезмерное угнетение **ST** обуславливает следующую зависимость:  $-ST = +TE, -GB (U+ BL)$ ). В данном случае традиционное правило "ПРОТИВ УГНЕТЕНИЯ" не получило биофизической поддержки (рис.13.11).

Excessive oppression of **ST** conditions the following dependency:  $-ST = +TE, -GB (+BL)$ . In this case, the traditional rule "ANTI-OPPRESSION" has not received the biophysical support (fig.13.11).

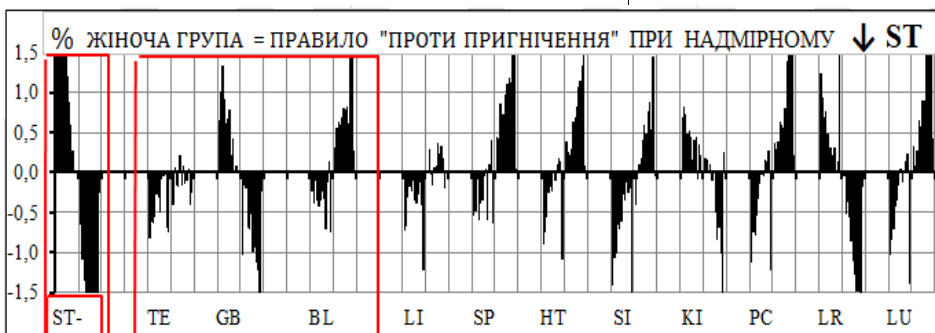


Рис.13.11 Функциональная зависимость в комплексе  $-ST=TE, GB (BL)$







Fig..13.11 Functional dependence of the complex  $-ST=TE, GB (BL)$



Чрезмерное угнетение **SP** обуславливает следующую системную зависимость:  $-SP = +PC, +LR (+KI)$ . В данном случае она биофизически поддерживает традиционное правило "ПРОТИВ УГНЕТЕНИЯ" (рис. 13.12).

Excessive oppression of **SP** conditions the following systemic dependency:  $-SP = +PC, +LR (+KI)$ . In this case, it biophysically supports the traditional rule "ANTI-OPPRESSION" (fig.13.12).

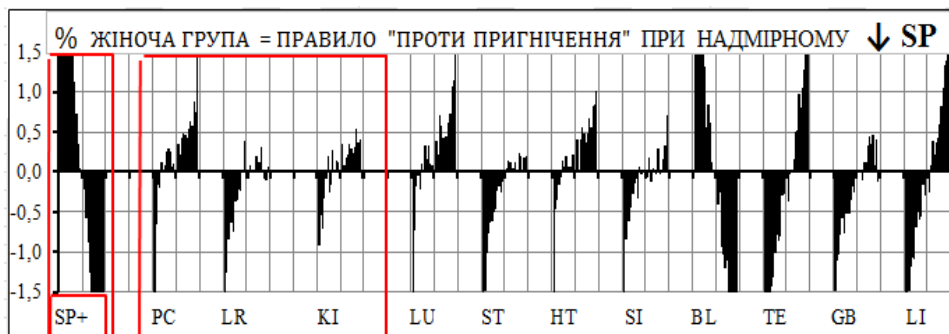


Рис.13.12 Функциональная зависимость в комплексе  $-SP=PC.LR (KI)$ .

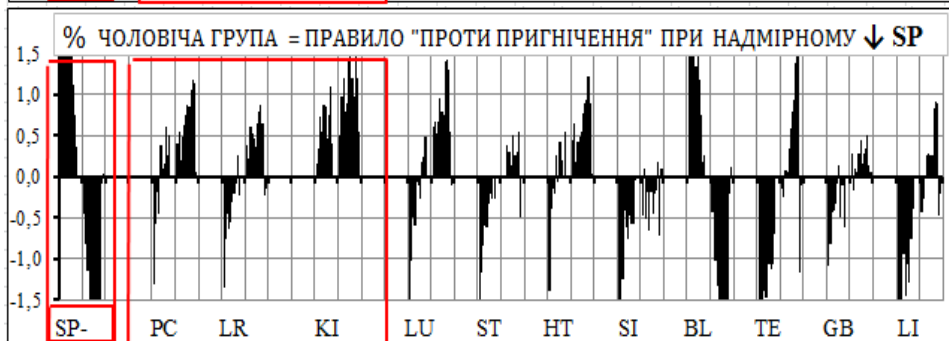


Fig..13.12 Functional dependence of the complex  $-SP=PC.LR (KI)$ .



Чрезмерное угнетение **LI** обуславливает следующую зависимость:  $-LI = +ST, -TE (\cap +GB)$ . В данном случае традиционное правило "ПРОТИВ УГНЕТЕНИЯ" не получило биофизической поддержки (рис.13.13).

Excessive oppression of **LI** conditions the following dependency:  $-LI = +ST, -TE (+GB)$ . In this case, the traditional rule "ANTI-OPPRESSION" not received biophysical support (fig.13.13).

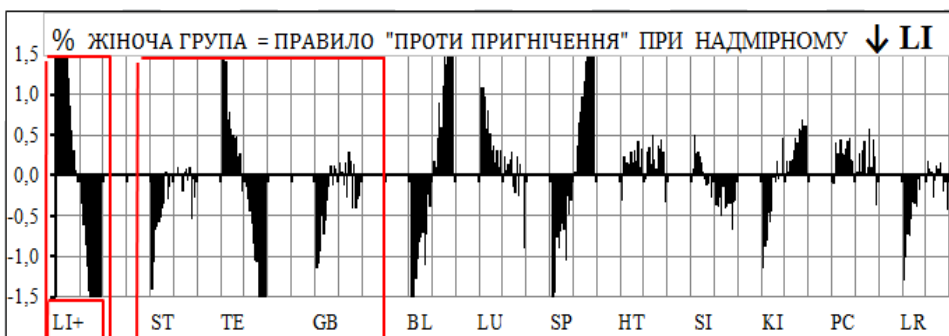


Рис.13.13 Функциональная зависимость в комплексе  $-LI=ST, TE (GB)$ .



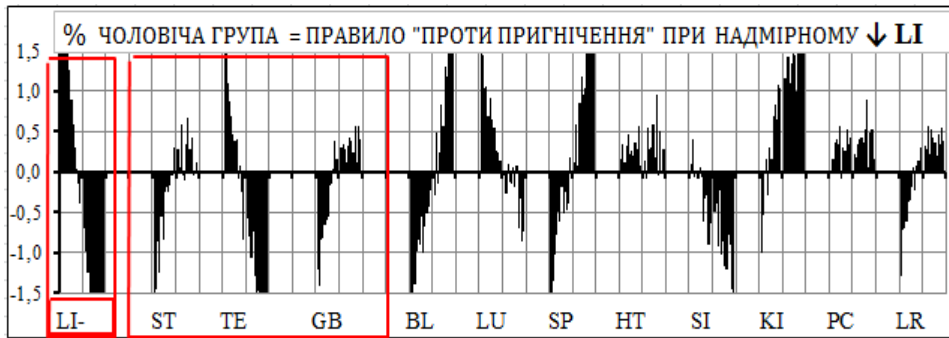


Fig..13.13 Functional dependence of the complex  $-LI = ST, TE (GB)$ .



Чрезмерное угнетение LU обуславливает следующую зависимость:  $-LU = +SP, -PC (+LR)$ . В данном случае традиционное правило "ПРОТИВ УГНЕТЕ-НИЯ" не получило биофизической поддержки (рис. 13.14).

Excessive oppression of LU conditions the following dependency:  $-LU = +SP, -PC (+LR)$ . In this case, the traditional rule "ANTI-OPPRESSION" has not received the biophysical support (fig.13.14).



Рис.13.14 Функциональная зависимость в комплексе  $-LU = SP, PC (LR)$

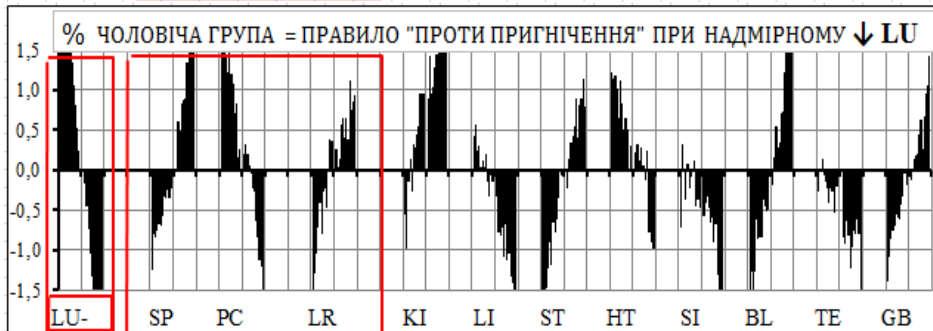


Fig..13.14 Functional dependence of the complex  $-LU = SP, PC (LR)$



### Выводы.

1. Традиционное правило ПРОТИВ УГНЕТЕ-НИЯ, обусловлено теории У-СИН и концепцией ЧЖАН-ФУ, не получило биофизической поддержки. Исключением, где прослеживается традиционная взаимозависимость (25%) выступают комплексы  $-BL = LI, ST (TE), -SP = PC, LR (KI)$  и  $-KI = LU, SP (PC)$ .

2. Выявлена биофизическая несоответствие указывает на существование других законов системной взаимозависимости, что требует соответствующей переподготовки.

### CONCLUSION.

1. The traditional rule ANTI-OPPRES-SION, which is conditioned by the theory *WU XING* and the conception of *ZHANG FU* has not received the biophysical support. The exceptions, where traditional interdependence is evident (25%), are the complexes  $-BL = LI, ST (TE), -SP = PC, LR (KI)$  and  $-KI = LU, SP (PC)$ .

2. The observed biophysical discrepancy points to the existence of other laws of systemic dependency, which requires appropriate retraining.

**БИОФИЗИЧЕСКАЯ РЕАЛЬНОСТЬ ПРАВИЛА "ПРОТИВ УГНЕТЕНИЯ" (ПРИ ЧРЕЗМЕРНОЕ ВОЗБУЖДЕНИЕ КАНАЛА)**

**BIOPHYSICAL REALITY OF RULE "ANTI-OPPRESSION" (UNDER EXCESSIVE EXCITATION OF A CHANNEL)**

Имея в виду проблемный характер вопроса, биофизическую реальность правила рассмотрим в виде системно-комплексной зависимости при чрезмерном возбуждении отдельных каналов (их угнетение обуславливает обратную системную зависимость).

Keeping in mind the problematic character of the issue, the biophysical reality of the rule will be considered as an integrated systemic-complex dependency under excessive excitation of separate channels (their oppression conditions the opposite systemic dependency).

Проведенный биофизический анализ свидетельствует о следующем ...

The conducted biophysical analysis testifies to the following...

Чрезмерное возбуждение **BL** обуславливает следующую системную зависимость:  $+BL = -LI, -ST (-TE)$ . В данном случае она биофизически поддерживает традиционное правило "ПРОТИВ угнетения" (рис. 13.15).

Excessive excitation of **BL** conditions the following systemic dependency  $+BL = -LI, -ST (-TE)$ . In this case, it biophysically supports the traditional rule "Anti-oppression" (fig.13.15).

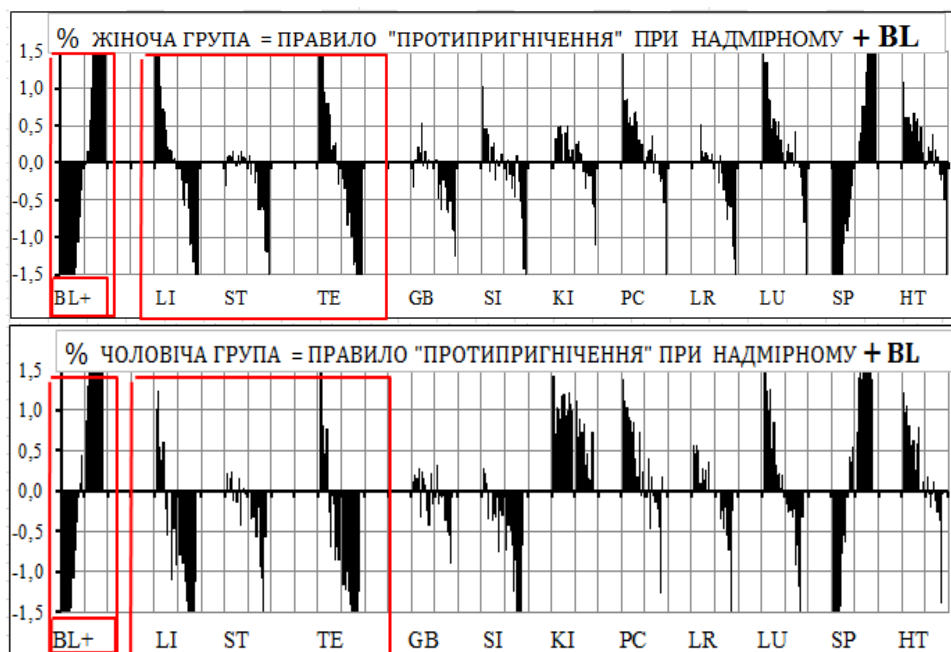


Рис.13.15 Функциональная зависимость в комплексе  $+BL=LI.ST (TE)$ .



Fig.13.15 Functional dependence of the complex  $+BL=LI.ST (TE)$ .



Чрезмерное возбуждение **KI** обуславливает следующую зависимость:  $+KI = -LU, -SP (-PC)$ . В данном случае традиционное правило "Против угнетения" не получило биофизической поддержки (рис.13.16).

Excessive excitation of **KI** conditions the following dependency :  $+KI = -LU, -SP (-PC)$ . In this case, the traditional rule "Anti-oppression" has not received the biophysical support (fig.13.16).

Чрезмерное возбуждение **GB** обуславливает следующую зависимость:  $+GB = -BL, -LI (+ST)$ . В данном случае традиционное правило "Против угнетения" не получило биофизической поддержки (рис.13.17).

Excessive excitation of **GB** conditions the following dependency  $+GB = -BL, -LI (+ST)$ . In this case, the traditional rule "ANTI-OPPRESSION" has not received the biophysical support (fig.13.17).

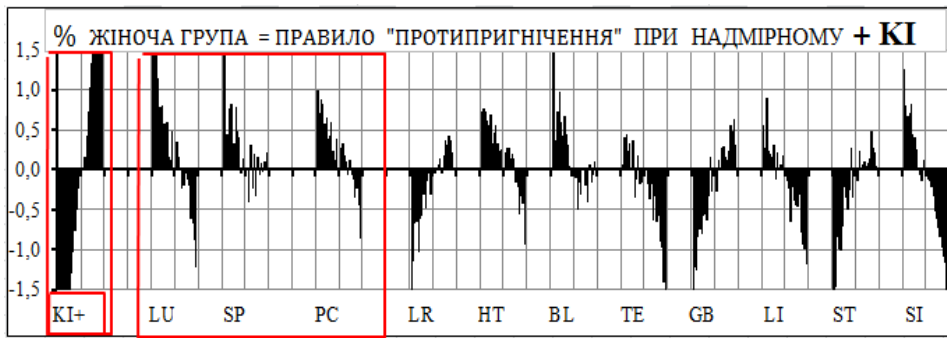


Рис.13.16 Функціональна залежність в комплексі +KI=LU,SP (PC).



Fig..13.16 Functional dependence of the complex +KI=LU,SP (PC).



Рис.13.17 Функціональна залежність в комплексі +GB=BL, LI (ST).



Fig..13.17 Functional dependence of the complex +GB=BL, LI (ST).



Чрезмерное возбуждение **LR** обуславливает следующую зависимость: +LR = +KI, -LU (-SP). В данном случае традиционное правило "Против угнетения" не получило биофизической поддержки (рис.13.18).

Excessive excitation of **LR** conditions the following dependency +LR= +KI, -LU (-SP). In this case, the traditional rule "ANTI-OPPRESSION" has not received the biophysical support (fig.13.18).

Чрезмерное возбуждение **SI** обуславливает следующую зависимость: +SI = -GB, -BL (∩ +TE). В данном случае традиционное правило "Против угнетения" не получило биофизической поддержки (рис.13.19).

Excessive excitation of **SI** conditions the following dependency: +SI= -GB, -BL (+TE). In this case, the traditional rule "ANTI-OPPRESSION" has not received the biophysical support (fig.13.19).

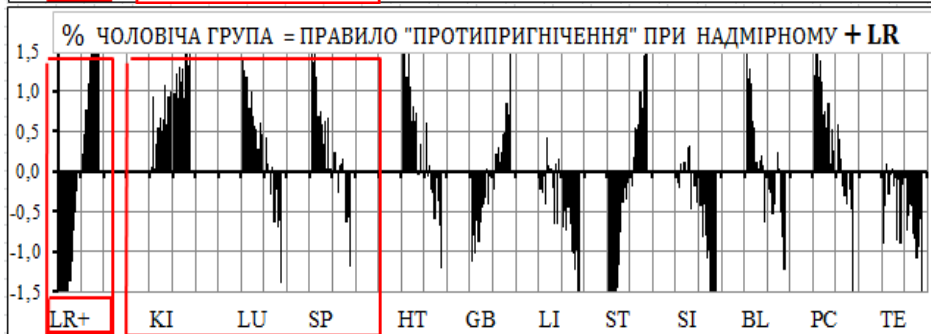
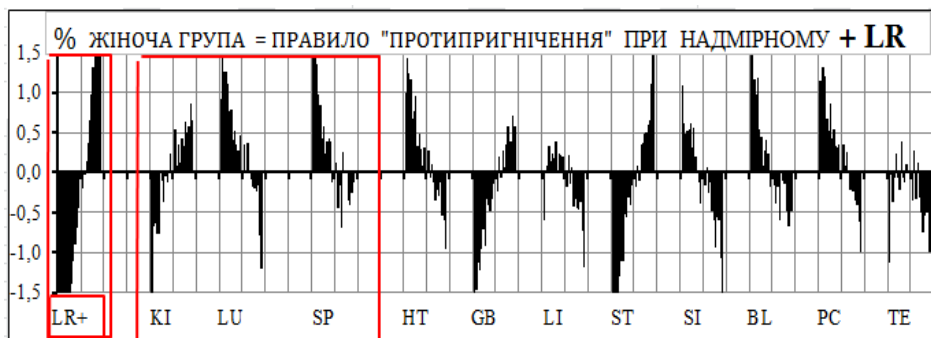


Рис.13.18 Функціональна залежність в комплексі +LR=LI. PC (KI).



Fig.13.18 Functional dependence of the complex +LR=LI. PC (KI)



Рис.13.19 Функціональна залежність в комплексі +SI=GB. BL (LI).



Fig.13.19 Functional dependence of the complex +SI=GB. BL (LI)



Чрезмерное возбуждение **HT** обуславливает следующую зависимость: +HT = -LR, -KI (+LU). В данном случае традиционное правило "Против угнетения" не получило биофизической поддержки (рис. 13.20).

Чрезмерное возбуждение **TE** обуславливает следующую зависимость: +TE = +GB, -BL (+LI). В данном случае традиционное правило "Против угнетения" не получило биофизической поддержки (рис.13.21).

Excessive excitation of **HT** conditions the following dependency: +HT= -LR, -KI (+LU). In this case, the traditional rule "ANTI-OPPRESSION" has not received the biophysical support (fig.13.20).

Excessive excitation of **TE** conditions the following dependency: +TE= +GB, -BL (+LI). In this case, the traditional rule "ANTI-OPPRESSION" has not received the biophysical support (fig.13.21).

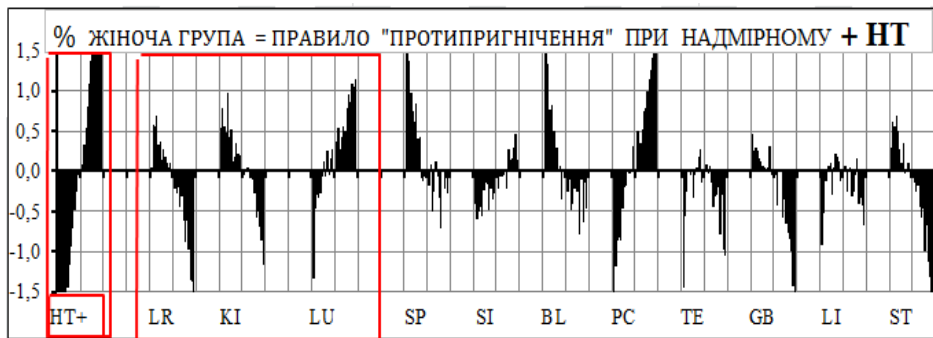


Рис.13.20 Функціональна залежність в комплексі +HT= LR, KI (LU).

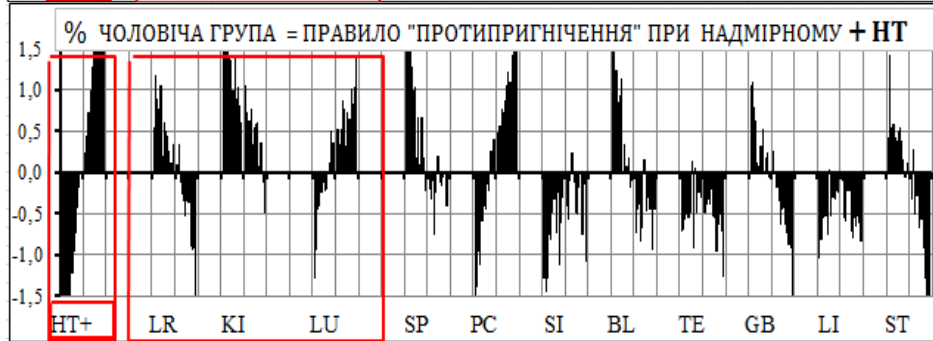


Fig.13.20 Functional dependence of the complex +HT= LR, KI (LU).

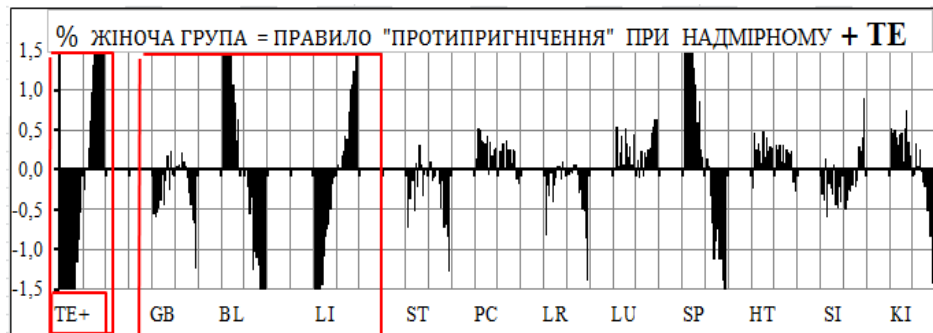


Рис.13.21 Функціональна залежність в комплексі +TE= GB, BL, (LI).



Fig.13.1 Functional dependence of the complex +TE= GB, BL, (LI).



Чрезмерное возбуждение **PC** обуславливает следующую зависимость: +PC = -LR, -KI (+LU). В данном случае традиционное правило "Против угнетения" не получило биофизической поддержки (рис. 13.22).

Excessive excitation of **PC** conditions the following dependency: +PC= -LR, -KI (+LU). In this case, the traditional rule "ANTI-OPPRESSION" has not received the biophysical support (fig.13.22).

Чрезмерное возбуждение **ST** обуславливает следующую зависимость: +ST = -TE, +GB (-BL). В данном случае традиционное правило "Против угнетения" не получило биофизической поддержки (рис.13.23).

Excessive excitation of **ST** conditions the following dependency: +ST= -TE, +GB (-BL). In this case, the traditional rule "ANTI-OPPRESSION" has not received the biophysical support (fig.13.23).

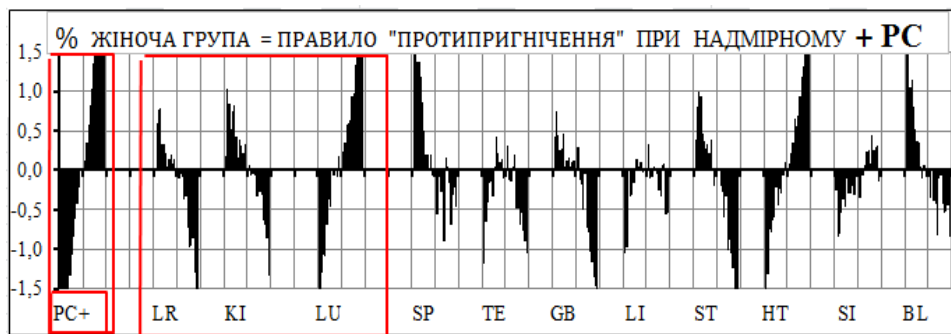


Рис.13.22 Функціональна залежність в комплексі +GB=BL, LI (ST).



Fig..13.22 Functional dependence of the complex +GB=BL, LI (ST).

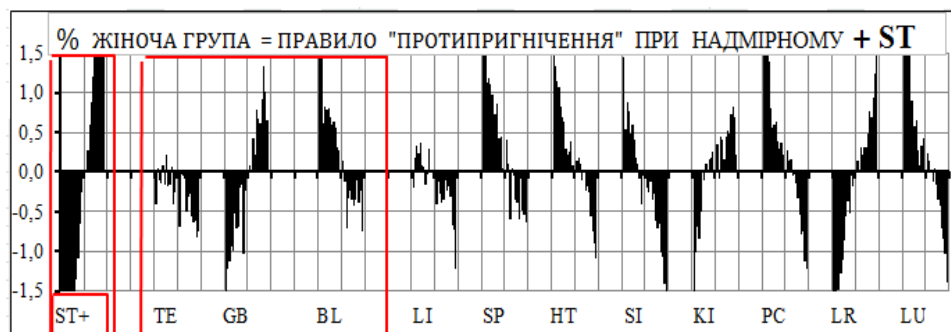


Рис.13.23 Функціональна залежність в комплексі +ST=TE, BL (GB).



Fig..13.23 Functional dependence of the complex +ST=TE, BL (GB)



Чрезмерное возбуждение **SP** обуславливает следующую системную зависимость:  $-SP = -PC, -LR (-KI)$ . В данном случае она биофизически поддерживает традиционное правило "Против угнетения" (рис.13.24).

Excessive excitation of **SP** conditions the following systemic dependency:  $+SP = -PC, -LR (-KI)$ . In this case, it biophysically supports the traditional rule "ANTI-OPPRESSION" (fig.13.24).

Чрезмерное возбуждение **LI** обуславливает следующую зависимость:  $+LI = \cap + ST, + TE (\cap-GB)$ . В данном случае традиционное правило "Против угнетения" не получило биофизической поддержки (рис.13.25).

Excessive excitation of **LI** conditions the following dependency:  $+LI = \cap + ST, + TE (-GB)$ . In this case, the traditional rule "ANTI-OPPRESSION" has not received the biophysical support (fig.13.25).

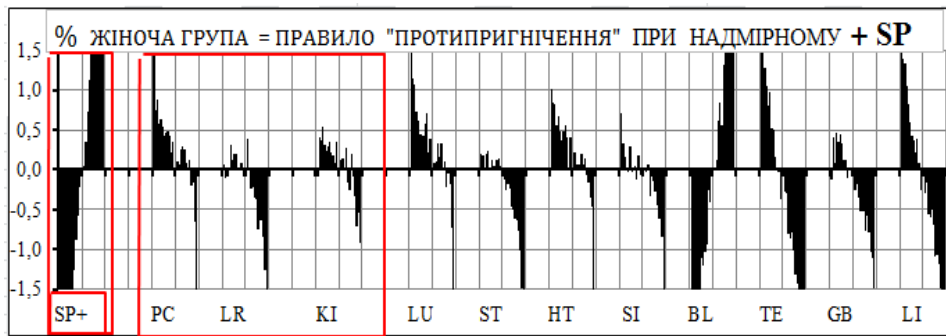


Рис.13.24 Функціональна залежність в комплексі +SP= PC.LR (KI).

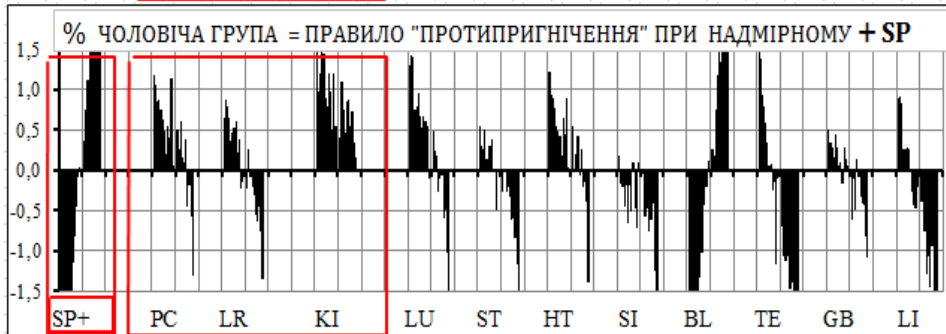


Fig.13.24 Functional dependence of the complex +SP= PC.LR (KI).

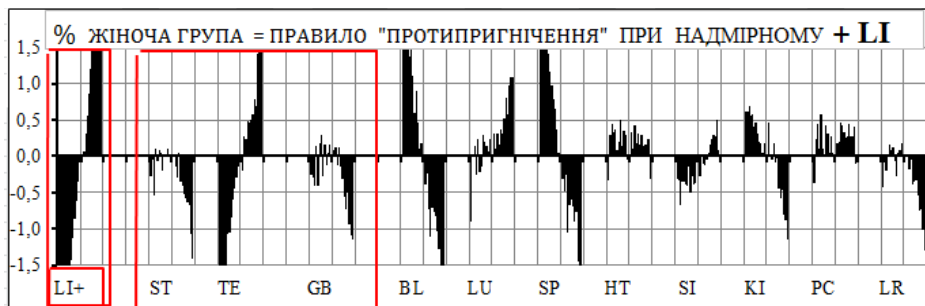


Рис.13.25 Функціональна залежність в комплексі +LI= ST.TE (GB)



Fig.13.25 Functional dependence of the complex +LI= ST.TE (GB)



Чрезмерное возбуждение LU обуславливает следующую зависимость: +LU = -SP, +PC (-LR). В данном случае традиционное правило "Против угнетения" не получило биофизической поддержки (рис.13.26).

Excessive excitation of LU conditions the following dependency: +LU= -SP, +PC (-LR). In this case, the traditional rule "ANTI-OPPRESSION" has not received the biophysical support (fig.13.26).



Рис.13.26 Функціональна залежність в комплексі +LU= SP.PC (LR)







Fig..13.26 Functional dependence of the complex +LU= SP.PC (LR)



### **Выводы.**

1. Традиційне правило ПРОТИВ УГНЕТЕННЯ не получило біофізическої підтримки. Ісключенням, де прослідковується традиційна взаємозалежність (25%) виступають комплекси +**BL**= LI, ST (TE), +**SP**= PC, LR (KI) и + **KI**= LU, SP (PC).

2. Виявлена біофізическа невідповідність вказує на існування інших законів системної взаємозалежності, що вимагає відповідної перепідготовки.

### **Conclusion.**

1. The traditional rule ANTI-OPPRESSION has not received the biophysical support. The exceptions, where the traditional dependency is evident (25%), are the complexes +**BL**= LI, ST (TE), +**SP** = PC, LR (KI) and +**KI**= LU, SP (PC).

2. The observed biophysical discrepancy points to the existence of other laws of systemic interdependency, which requires the appropriate retraining.





#### 14-я проблема традиционной Чжень-цзю терапии

БИОФИЗИЧЕСКАЯ РЕАЛЬНОСТЬ ТРАДИЦИОННОГО ПРАВИЛА  
"ЭНЕРГЕТИЧЕСКАЯ НАПРАВЛЕННОСТЬ КАНАЛОВ".

#### 14-th Issue of traditional Zhenjiu Therapy

BIOPHYSICAL REALITY OF THE TRADITIONAL RULE  
"ENERGY ORIENTATION OF CHANNELS"

Концепция Цзин-ЛО утверждает не только реальность "акупунктурных каналов", но и их центростремительную и центробежную энергетическую направленность.

Мы попытались выяснить направленность канальной электропроводности и его биоэлектрической активности. Имея в виду принципиальность вопроса, приводим технические условия исследования электропроводности канала.

Параметры тестирующего сигнала (ТС): синусоидальная форма, равнопеременный, 1В, 2,5 Гц при чувствительности самописца 0,5 В/см и скорости продвигаемого механизма 1 мм/сек. Перед каждым тестированием на ленте самописца фиксировали амплитуду ТС (тестирующего сигнала), которую принимали за 100%. Электропроводность акупунктурных зон рассчитывалась в% от величины ТС.

На первом этапе ТС подавали на LU-11 (Шао-шан), а зоны канала тестировали в порядке от LU-10 до LU-3 (против канонической направленности ЧИ, на графике представлено черной линией).

На втором этапе ТС подавали на LU-3 (Тянь-фу), а порядок тестирования был направлен от LU-4 в LU-11 (соответствовал канонической центробежной направленности, на графике указано красной линией; рис.14.1).

Как видно из приведенного материала, экспериментальные данные биофизических поддерживают каноническое утверждение о центробежную энергетическую направленность акупунктурного канала LU (Легкие).

Conception JING LUO asserts not only reality of "acupunctural channels", but also their cenripetal and centrifugal direction of energy.

We made an attempt to study the direction of channel electro-conductivity and its bioelectric activity. Taking into account the principle character of the issue, we provide technical conditions of the research of electro-conductivity of a channel.

Parameters of testing signal (TS) were optimal for graphical objectivization: sinusoid form, equally variable, 1V, 2,5 Hz with sensitivity of grapher 0,5 V/cm and speed of tape drive 1 mm/sec. Before every test, amplitude of TS was fixed on grapher tape, which was accepted as 100%. Electro conductivity of acupunctural zones was calculated in % from the magnitude of TS.

At the initial stage of examination of electro conductivity, TS was sent to LU-11 (Shao-shang), and zones of channel were tested from LU-10 to LU-3 (*centripetal, against canonical direction of QI (in graphics is represented by the black line)*).

At the second stage TS was sent to LU-3 (Tian-fu), and order of testing from LU-4 to LU-11 was due to the canonical direction (*centrifugal, in graphics is represented by the red line; fig.14.1*).

As it is seen from the material, experimental data biophysically support the canonical statement about centrifugal energy direction of the acupunctural channel LU (Lungs).

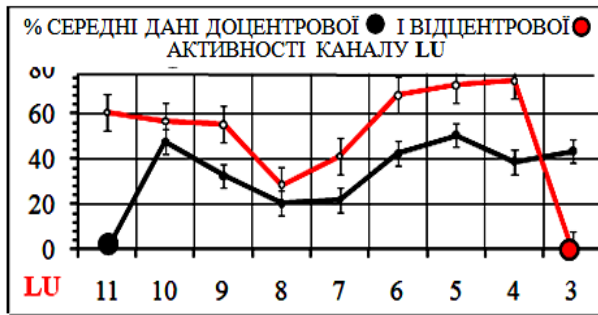


Рис.14.1 Средние данные направленной электропроводности канала LU

В зависимости от направленности энергоносителей (центростремительно или центробежно) активность во внешнем контуре канала значительно возрастает при совпадении традиционного и искусственного направления. Обнаруженный феномен свидетельствует о биофизической реальности вентильного механизма, то есть о реальности центробежной направленности энергоносителей по указанному каналу.

Кроме того 297 наблюдений свидетельствуют о следующем: а) акупунктурные зоны канала LU проводят сигналы различными по амплитуде, не трансформируя их форму и частотные характеристики; б) выход донорного электрода из зоны ведет к уменьшению величины начальной амплитуды ТС на 90,2-98,5% ...

Феномен направленного транспорта энергоносителей реальный и при использовании электродной пары "донор - акцептор электронов" (ДЭ-АЭ). При этом максимальная направленность биоэлектрической активности была при позиции электрода донора электронов (ДЭ) на LU-3, а акцептора электронов (АЭ) по очереди от LU-4 в LU-11 (то есть при совпадении традиционного и искусственно созданного направления).

Аналогичные данные получены и при исследовании направленной активности центробежного канала ST (Желудок). Электропроводность между зонами ST5 - ST7 и ST6 - ST7 также свидетельствует о реальности канонической центробежной направленности (рис.14.2).

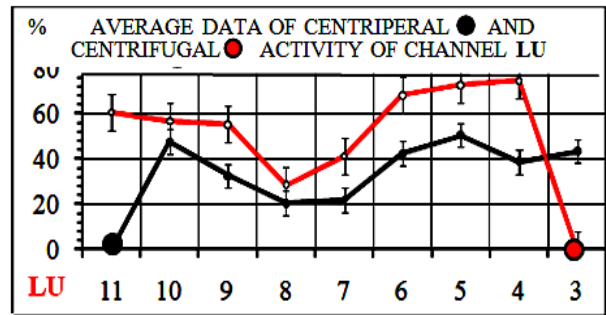


Fig.14.1 Average data of directed electroconductivity of the channel LU

Depending on artificial direction of energy bearers (*centripetal or centrifugal*) activity of external cycle at concurrence of traditional and artificially created direction significantly grows. The discovered phenomenon testifies to the biophysical reality of valvular mechanism, in other words about the reality of centrifugal direction of charge bearers in the mentioned system.

In addition, 297 observations testify: a) acupunctural zones of the channel LU conduct signals that are different by amplitude, without transformation of their form and frequency characteristics; b) withdrawal of donor electrode from acupunctural zone leads to the decrease of magnitude of the initial amplitude of TS to 90,2-98,5%.

Phenomenon of directed transport of charge bearers is real also with usage of electrode pair "donor - acceptor of electrons" (DE-AE). At the same time, maximal direction of bioelectric activity was when the position of electrode donor of electrons (DE) to LU-3, and acceptor of electrons (AE) - in turn from LU-4 to LU-11 (*i. e. at concurrence of traditional and artificially created direction*).

Analogical data received from researches of directed activity of centrifugal channel ST (Stomach). Electro conductivity between the zones ST5 - ST7 and ST6- ST7 also testify to the reality of canonical centrifugal direction (fig.14.2).

Виявленна специфика електропроводності между симметричними (правой и левой) одноканальними зонами в дальнейшем оказалась неизвестним феноменом: асинхронною активністю симметричних зон (рис.14.3).

The discovered, at the same time, directed electro-conductivity between symmetric (right and left) single-channel zones turned out to be the manifestation of unknown phenomenon – asynchronous activity of symmetric zones (fig.14.3).

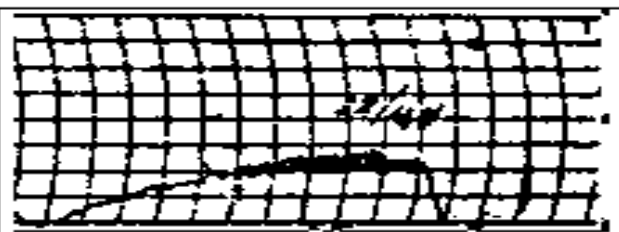


Відцентрово  
● з ST5-лівої до ST7-лівої

Доцентрово  
● з ST7-лівої до ST5-лівої

CENTRIFUGAL  
From ST-5 left to ST-7 left

CENTRIPETAL  
From ST-7 left to ST-5 left.



Відцентрово  
● з ST6-лівої до ST7-лівої

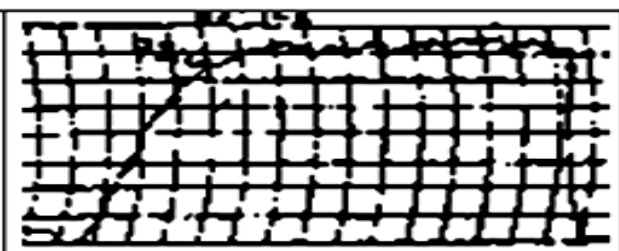
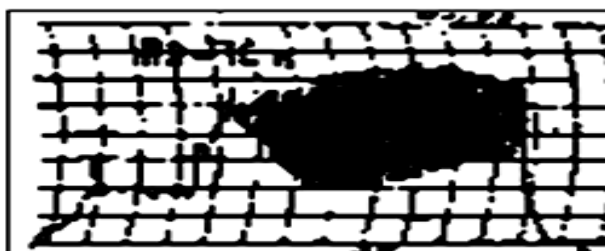
Доцентрово  
● з ST7-лівої до ST6-лівої

CENTRIFUGAL  
From ST-6 left to ST-7 left.

CENTRIPETAL  
From ST-7 left to ST-6 left.

Рис.14.2 Вентильный эффект направленной проводимости канала ST

Fig.14.2 Valvular effect of directed conductivity of the channel ST

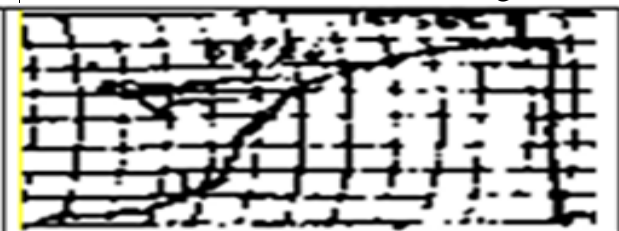


● ВІД ST7 ПРАВОЇ ДО ST7 ЛІВОЇ

● ВІД ST7 ЛІВОЇ ДО ST7 ПРАВОЇ

From ST-7 right to ST-7 left

From ST-7 left to ST-7 right.



● ВІД ST6 ПРАВОЇ ДО ST6 ЛІВОЇ

● ВІД ST6 ЛІВОЇ ДО ST6 ПРАВОЇ

From ST-6 right to ST-6 left.

From ST-6 left to ST-6 right.

Рис.14.3 Феномен асинхронной активности симметричных зон канала ST

Fig.14.3 Phenomenon of asynchronous activity of symmetric zones of the channel ST

### **Выводы.**

Традиционная концепция Цзин-ЛО перспективна для исследований...

Работа была прервана по независящим от нас причинам. Поэтому считаем необходимым обратить внимание на перспективность дальнейшего изучения канальных вентильных феноменов (нашу поисковую работу следует рассматривать как методологический аспект проблемы).

Так что поле для исследований открыто ...

### **CONCLUSION.**

Traditional conception *JING LUO* is prospective for...

Researches were withdrawn because of the reasons that did not depend on us. That is why we believe that it is necessary to take attention of the prospectiveness of further study of channel valvular phenomena (*our researches should be observed as the methodological aspect of the issue*). So, the field for researches has been opened...





*15-я проблема традиционной Чжень-цзю терапии*

КОМПЛЕКСЫ АКУПУНКТУРНЫХ КАНАЛОВ КАК  
БИОФИЗИЧЕСКАЯ ПРОБЛЕМА

*15-th Issue of traditional Zhenjiu Therapy*

COMPLEXES OF ACUPUNCTURAL CHANNELS AS  
A BIOPHYSICAL ISSUE

Биофизическая реальность  
"Функциональных комплексов"

COMPLEXES OF ACUPUNCTURAL  
CHANNELS AS A BIOPHYSICAL ISSUE

На сегодняшний день классические физиология и патофизиология постепенно теряют ведущее значение в современном естествознании. Заслуженно став научным (в т.ч. информационным) двигателем 19-20 веков, в 21 в. они тормозят инновационные разработки, которые не вписываются в устаревшие парадигмы.

Ярким примером служит двадцатилетняя официально научная блокада недавно открытой функционально-вегетативной системы человека. Последняя подтвердила биофизическую реальность акупунктурных каналов традиционной Чжень-цзю терапии, её непосредственное отношение к вегетативному гомеостазу и аргументировано требует своего места в современной системной физиологии.

Сегодня понятно, что системные реакции является отражением функционально-информационной взаимозависимости, отдельными звеньями которой выступает необходимость направленной поддержки влияния, его ликвидации и постоянного контроля за динамичной вегетативной устойчивостью.

Данное положение предусматривает наличие отдельных функциональных групп (комплексов), направленных на обеспечение (функциональную поддержку) прогнозируемого воздействия. Иными словами, акупунктурные каналы должны иметь информационно-взаимосвязанную комплексную структуру. Последняя контролируется космофизической зависимостью (функциональным

Today, classical physiology and pathophysiology are gradually losing their leading value in the contemporary natural science. Deservedly becoming a scientific (including informational) engine of the 19-20 centuries, in the 21 century they inhibit innovations that do not fit into the old paradigm.

A striking example of the above is officially twenty-year old official-scientific blockade of the recently discovered human functional-vegetative system. The latter has confirmed the biophysical reality of acupunctural channels of the traditional *Zhenjiu* therapy, its direct relation to the vegetative homeostasis, and reasonably requires its place in the modern system of physiology.

Today it is clear that the systemic responses are a reflection of functional and informational interdependence. This interdependence requires focused maintenance of influence, its elimination and permanent control of dynamic autonomic stability.

This provision provides for the existence separate functional groups (complexes), oriented at maintenance (functional support) of the prognosed influence. In other words, acupunctural channels must have informational-interdependent complex structure. The latter is being controlled by cosmophysical dependency (functional two-hour rhythm) and three types of systemic reactions: synchronous, asynchro-

двух часовым биоритмом) и тремя типами системных реакций: синхронной, асинхронной и парадоксальной.

Указанные типы взаимодействия постоянно сопровождают любые функциональные изменения на протяжении существования биологического объекта (включая периодические изменения активного образа жизни на пассивный и, наоборот). При этом парадоксальные реакции выступают неизвестным ранее информационным фактором, который контролирует динамику функционально-вегетативного гомеостаза и направлен на нормализацию его патологических отклонений.

Какие же акупунктурные каналы формируют функциональные комплексы (ФК)? Сегодня мы выделяем четыре системных образований. При этом ФК-1 и ФК-2 объединены синхронной взаимозависимостью своих базовых функциональных систем BL-SP.

Первый базовый комплекс (ФК-1) формируют традиционные акупунктурные каналы BL-ST-GB (ЯН группа). При этом преобладание активности BL (в системном соотношении BL-SP) обуславливает соответствующую вегетативную направленность (ЯН, преимущество симпатической активности) в общей системной взаимозависимости.

Второй базовый комплекс (ФК-2) формируют традиционные акупунктурные каналы SP-KI-LR (ИНЬ группа). При этом преобладание активности SP (в системном соотношении SP-BL) обуславливает соответствующую вегетативную реакцию (ИНЬ, преобладание парасимпатической активности) в общей системной взаимозависимости.

Третий базовый комплекс (ФК-3) формируют традиционные акупунктурные каналы LI-TE-SI (ЯН группа) - основная активность которых обуславливает симпатичную (ЯН) направленность вегетативного гомеостаза. При этом в ФК-3 пейсмекером (водителем ритма)

nous and paradoxical.

The specified types of interaction always accompany any functional changes during the existence of a biological object (including periodic changes in the active lifestyle to passive and vice versa). At the same time, paradoxical reactions appear as previously unknown informational factor that controls the dynamics of functional-vegetative homeostasis and is targeted to normalize its pathological deviations.

What acupunctural channels form functional complexes (FC)? Today we highlight four systemic structures. In addition, FC-1 and FC-2 are combined with synchronous interdependency of their basic functional systems BL-SP.

*The first basic complex (FC-1) is formed by the traditional acupunctural channels BL-ST-GB (YANG group). At the same time, the dominant activity of BL (within the systemic correlation of BL-SP) conditions the corresponding vegetative orientation (YANG, the dominance of sympathetic activity) in the overall systemic interdependency.*

*The second basic complex (FC-2) is formed by the traditional acupunctural channels SP-KI-LR (YIN group). At the same time, the dominant activity of SP (within the systemic correlation of SP-BL) conditions the corresponding vegetative response (YIN, the dominance of parasympathetic activity) in the overall systemic interdependency.*

*The third basic complex (FC-3) is formed by the traditional acupunctural channels LI-TE-SI (YANG group) - the dominant activity of which causes the sympathetic (YANG) orientation of the vegetative homeostasis. At the same time, in the FC-3 the pacemaker (rhythm driver) is the*

выступает функциональная система TE.

Четвертый комплекс (ФК-4) формируют акупунктурные каналы LU-PC-ST (ИНЬ группа). – Преобладание их активности обуславливает парасимпатическую (ИНЬ) направленность вегетативного гомеостаза. При этом в ФК-4 пейсмекером (водителем ритма) выступает функциональная система PC.

Перед рассмотрением доказательного материала напомним, что специфическим признаком отдельных ФК является однотипные (синхронные, асинхронные или парадоксальные) реакции, обусловленные динамикой возбуждения (угнетения) ведущей системы воздействия.

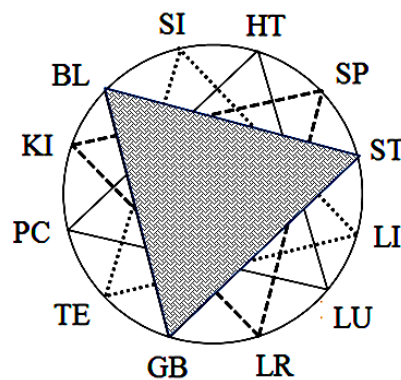
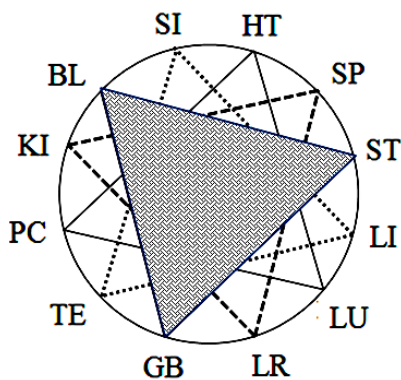
functional system TE.

*The fourth complex (FC-4) is formed by the acupunctural channels LU-PC-ST (YIN group), the dominant activity of which causes parasympathetic (YIN) orientation of vegetative homeostasis. In the FC-4 the pacemaker (rhythm driver) is the functional system PC.*

Before considering the presented material, let us recall that specific feature of separate FC are the same type (synchronous, asynchronous or paradoxical) responses, conditioned by the dynamics of excitation (oppression) of the leading system of influence.

**ПЕРВЫЙ ФУНКЦИОНАЛЬНЫЙ КОМПЛЕКС (ФК-1) BL-ST-GB (ЯН).**

**FIRST FUNCTIONAL COMPLEX (FC-1) BL-ST-GB (YANG group).**



Возбуждение базовой системы **BL** (до- и выше зоны функциональной нормы) обуславливает реакцию синхронного возбуждения канала SP (главный признак) и асинхронное угнетением других функциональных систем. При этом по всем группам наблюдения сохраняются типичные признаки отдельных функциональных комплексов (мал.15.1а).

Excitation of the basic system **BL** (before- and after the zone of functional norm) conditions the response of synchronous excitation of the channel SP (main feature) and asynchronous oppression of the other functional systems. At the same time, typical features of separate functional systems preserve through all groups of observation (fig.15.1a).

Возбуждение **ST** (до- и выше зоны функциональной нормы) обуславливает реакцию синхронного возбуждения канала GB и асинхронного угнетением BL. При этом по всем группам наблюдения сохраняются типичные признаки отдельных функциональных комплексов, в том числе и синхронное подавления каналов BL-SP (рис. 15.1б).

Excitation of **ST** (before- and after the zone of functional norm) conditions the response of synchronous excitation of the channel GB and asynchronous oppression of BL. At the same time, typical features of separate functional systems preserve through all groups of observation, including synchronous oppression of the channels BL-SP (fig.15.1b).



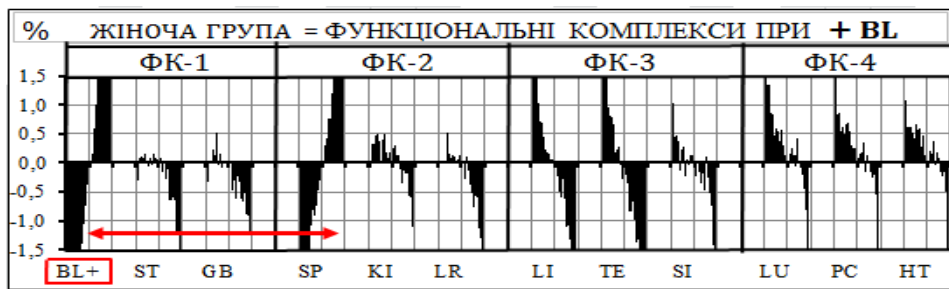


Рис.15.1а Комплексная зависимость при возбуждении **BL**

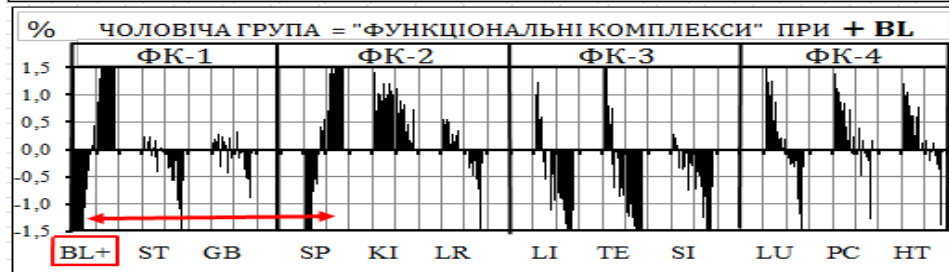


Fig.15.1a Complex dependency under the excitation of **BL**

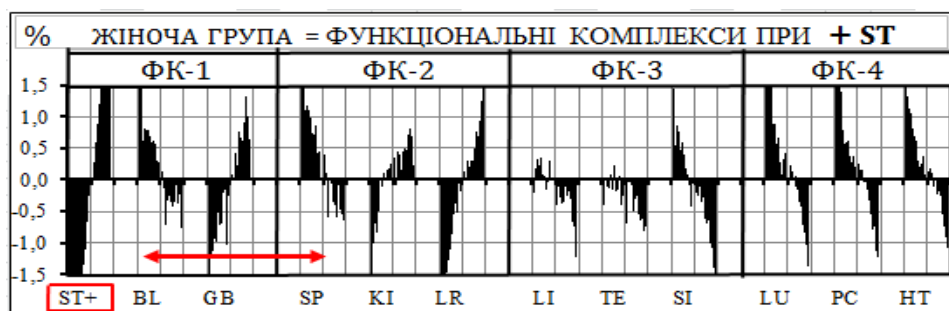


Рис.15.1б Комплексная зависимость при возбуждении **ST**



Fig.15.1b Complex dependency under the excitation of **ST**



Возбуждение **GB** (до- и выше зоны функциональной нормы) обуславливает реакцию синхронного возбуждения канала **ST** и асинхронного угнетением **BL**. При этом по всем группам наблюдения сохраняются типичные признаки отдельных функциональных комплексов, в том числе и синхронное подавления каналов **BL-SP** (рис. 15.1в).

Excitation of **GB** (before- and after the zone of functional norm) conditions the response of synchronous excitation of the channel **ST** and asynchronous oppression of **BL**. At the same time, typical features of separate functional systems preserve through all groups of observation, including synchronous oppression of the channels **BL-SP** (fig. 15.1c).

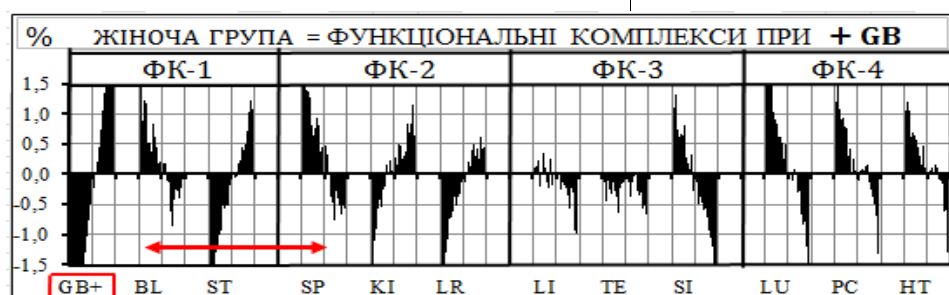


Рис. 15.1в Комплексная зависимость при возбуждении **GB**

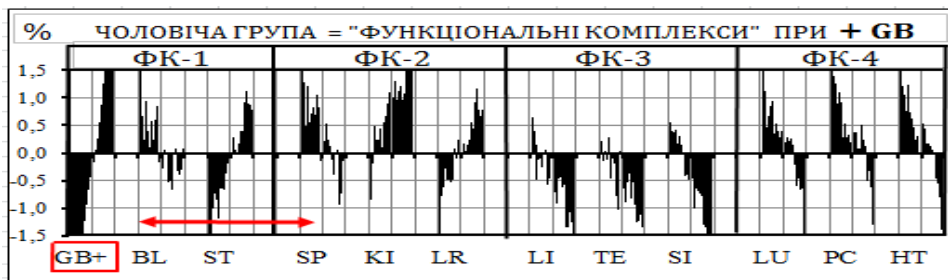
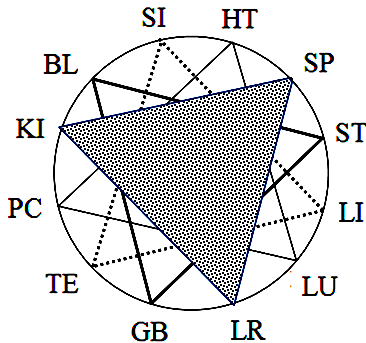


Fig.15.1v  
Complex  
dependency un-  
der the excitation  
of GB

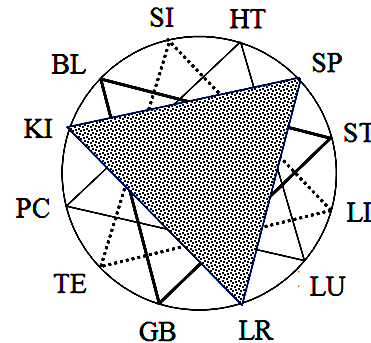


**ВТОРОЙ ФУНКЦИОНАЛЬНЫЙ КОМПЛЕКС  
(ФК-2) SP-KI-LR (ЯНЬ ГРУППА).**



Возбуждение базовой системы **SP** (до- и выше зоны функциональной нормы) обуславливает реакцию синхронного возбуждения канала **BL** (главный признак) и асинхронное угнетением других функциональных систем. При этом по всем группам наблюдения сохраняются типичные признаки отдельных функциональных комплексов (рис. 15.2).

**SECOND FUNCTIONAL COMPLEX (FC-2)  
SP-KI-LR (YIN group).**



Excitation of the basic system **SP** (before- and after the zone of functional norm) conditions the response of synchronous excitation of the channel **BL** (main feature) and asynchronous oppression of the other functional systems. At the same time, typical features of separate functional systems preserve through all groups of observation (fig. 15.2a).

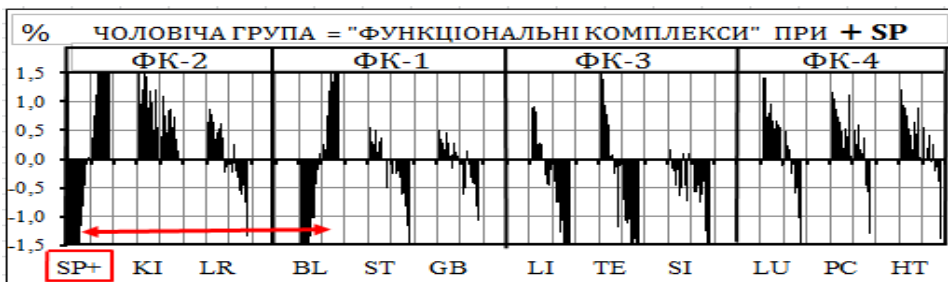


Рис.15.2а Ком-  
плексная зависи-  
мость при воз-  
буждении **SP**

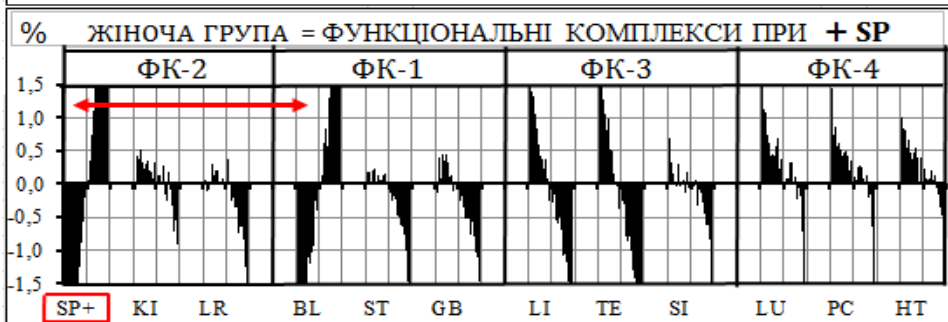


Fig.15.2a Comp-lex  
dependency un-der  
the excitation of **SP**



Возбуждение **KI** (до- и выше зоны функциональной нормы) обуславливает реакцию синхронного возбуждения ка-

Excitation of **KI** (before- and after the zone of functional norm) conditions the response of synchronous excitation of the

нала LR и асинхронного угнетением SP. При этом по всем группам наблюдения сохраняются типичные признаки отдельных функциональных комплексов, в том числе и синхронное подавления каналов BL-SP (мал.15.2б).

channel LR and asynchronous oppression of SP. At the same time, typical features of separate functional systems preserve through all groups of observation, including synchronous oppression of the channels BL-SP (Fig.15.2b).

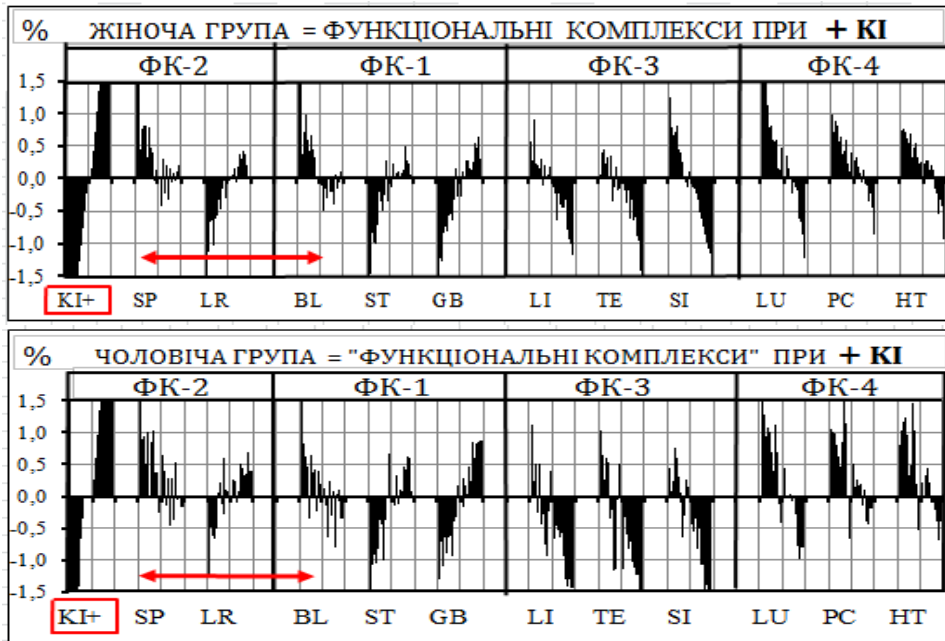


Рис.15.2б Комплексная зависимость при возбуждении KI

Fig.15.2б Complex dependency under the excitation of KI



Возбуждение LR (до- и выше зоны функциональной нормы) обуславливает реакцию синхронного возбуждения канала KI и асинхронного угнетением SP. При этом по всем группам наблюдения сохраняются типичные признаки отдельных функциональных комплексов, в том числе и синхронное подавления каналов BL-SP (рис. 15.2в).

Excitation of LR (before- and after the zone of functional norm) conditions the response of synchronous excitation of the channel KI and asynchronous oppression of SP. At the same time, typical features of separate functional systems preserve through all groups of observation, including synchronous oppression of the channels BL-SP (mal.15.2c).

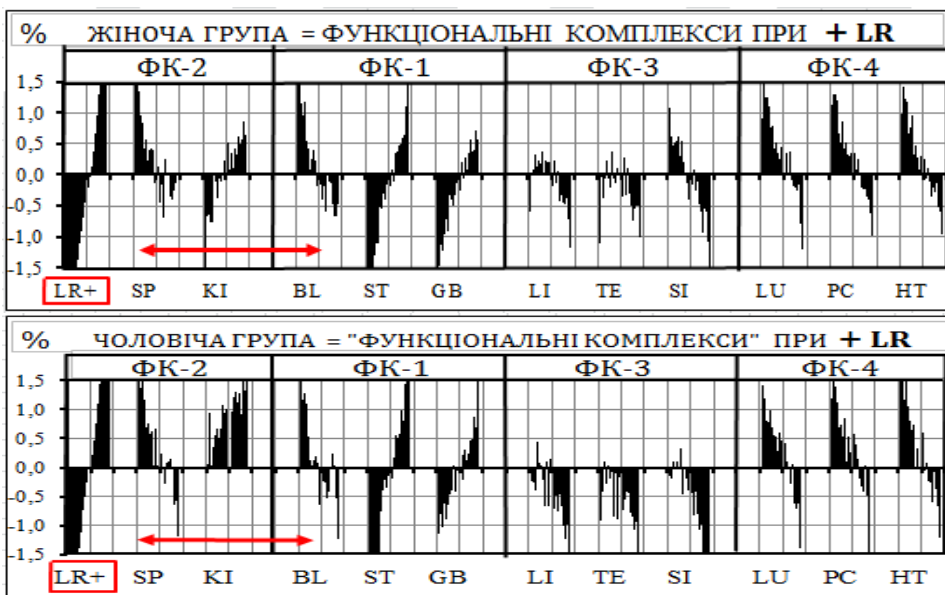


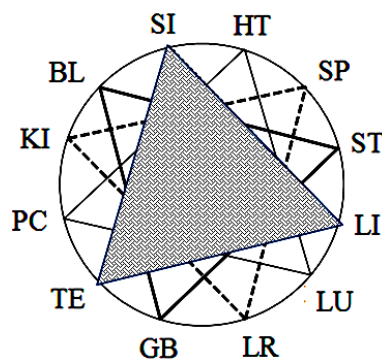
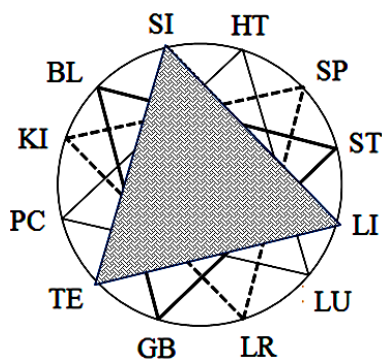
Рис.15.2в Комплексная зависимость при возбуждении LR

Fig.15.2в Complex dependency under the excitation of LR



**ТРЕТИЙ ФУНКЦИОНАЛЬНЫЙ КОМПЛЕКС (ФК-3) LI-TE-SI (ЯН группа).**

**THIRD FUNCTIONAL COMPLEX (FC-3) LI-TE-SI (YANG group).**



Возбуждение канала **LI** (до- и выше зоны функциональной нормы) обуславливает реакцию системного синхронного возбуждения TE-SI (главный признак ФК-3) и асинхронное угнетением функциональных систем ФК-1 (BL-ST-GB) и ФК-2 (SP-KI -LR). Четвертый функциональный комплекс (LU-PC-HT) реагирует синхронным возбуждением LU и парадоксальными реакциями PC-HT. При этом по всем группам наблюдения сохраняются типичные признаки отдельных функциональных комплексов (рис. 15.3).

Excitation of the channel **LI** (before- and after the zone of functional norm) conditions the response of synchronous excitation of the channel TE-SI (main feature of FC-3) and asynchronous oppression of the functional systems of FC-1 (BL-ST-GB) and FC-2 (SP-KI -LR). The fourth functional complex (LU-PC-HT) responds with synchronous excitation of LU and paradoxical reactions of PC-HT. At the same time, typical features of separate functional systems preserve through all groups of observation (fig.15.3a).

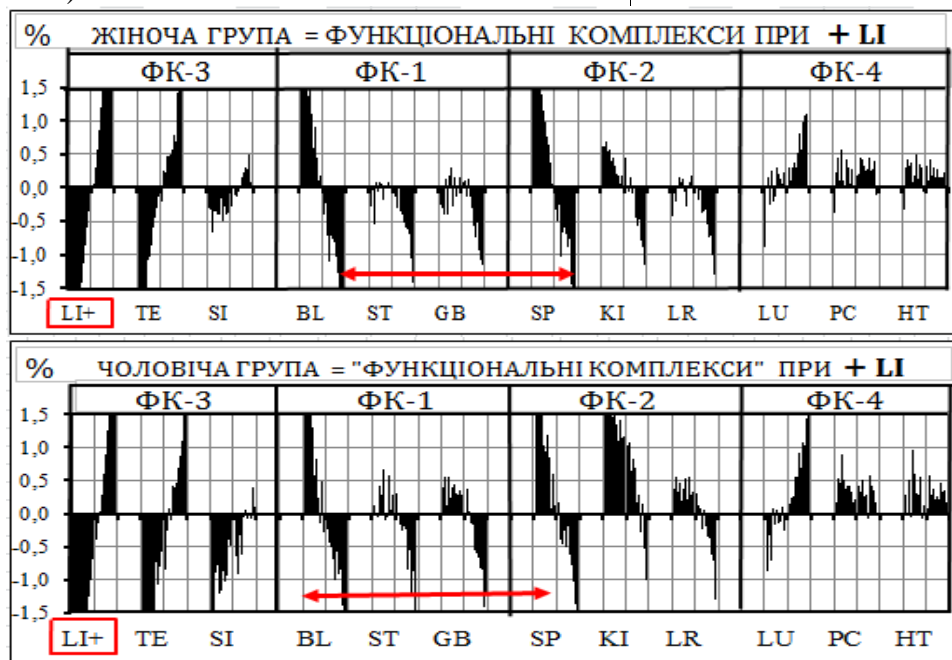


Рис.15.3а Комплексная зависимость при возбуждении **LI**

Fig.15.3a Complex dependency under the excitation of **LI**



Возбуждение **TE** (до- и выше зоны функциональной нормы) обуславливает реакцию синхронного возбуждения каналов LI-SI (главный признак ФК-3) и парадоксальные реакции со стороны ST-

Excitation of **TE** (before- and after the zone of functional norm) conditions the response of synchronous excitation of the channels LI-SI (main feature of FC-3) and paradoxical reactions of the ST-

GB (ФК-1), LR (ФК-2) и LU-PC -HT (ФК-4) При этом по всем группам наблюдения сохраняются типичные признаки отдельных функциональных комплексов (рис.15.3б).

LR (FC-2) and LU-PC -HT (FC-4). At the same time, typical features of separate functional systems preserve through all groups of observation (fig. 15.3b).

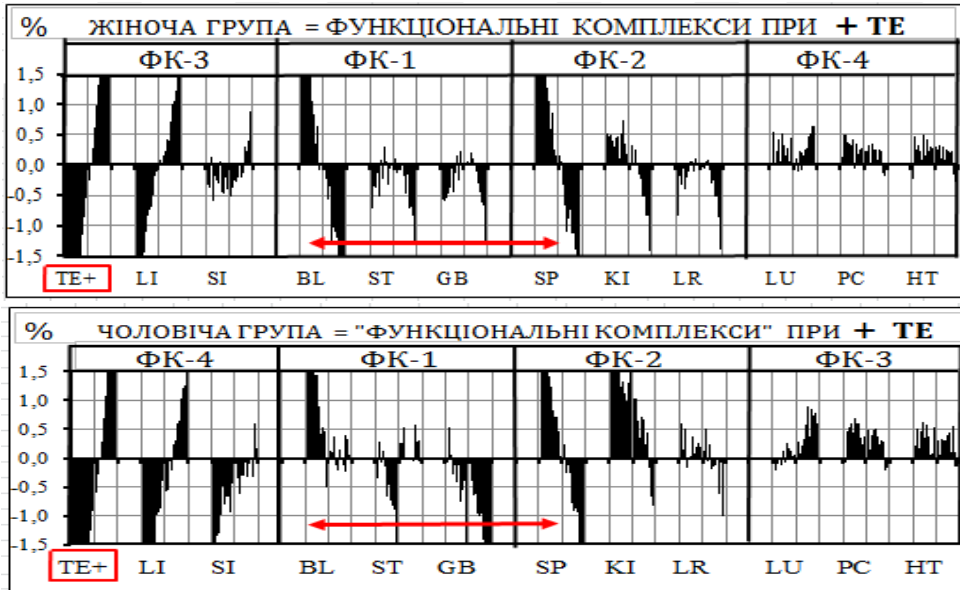


Рис.15.3б Комплексная зависимость при возбуждении TE



Fig.15.3b Complex dependency under the excitation of TE



Возбуждение канала SI (до- и выше зоны функциональной нормы) обуславливает парадоксальные реакции каналов LI-TE (главный признак ФК-3), асинхронное угнетением функциональных систем ФК-1 (BL-ST-GB) и ФК-2 (SP-KI- LR) и синхронное возбуждением LU-PC-HT (ФК-4). При этом по всем группам наблюдения сохраняются типичные признаки отдельных функциональных комплексов (рис.15.3в).

Excitation of the channel SI (before- and after the zone of functional norm) conditions paradoxical reactions of the channels LI-TE (main feature of FC-3), asynchronous oppression of the functional systems of FC-1 (BL-ST-GB) and FC-2 (SP-KI- LR) and synchronous excitation of LU-PC-HT (FC-4). At the same time, typical features of separate functional systems preserve through all groups of observation (fig.15.3c).

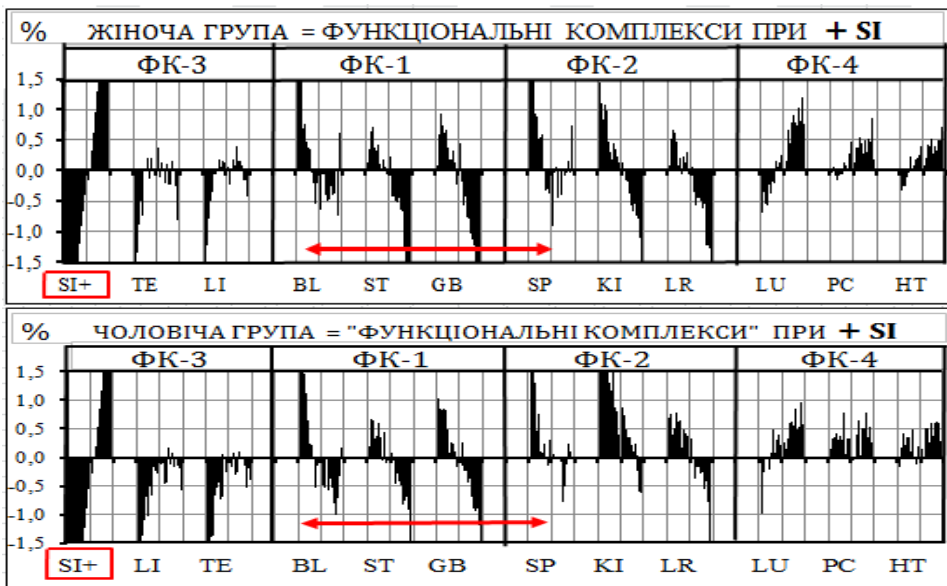


Рис.15.3в Комплексная зависимость при возбуждении SI

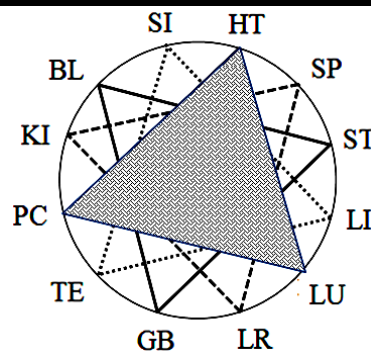
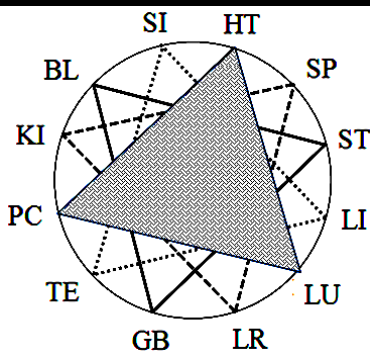


Fig.15.3v Complex dependency under the excitation of SI



**ЧЕТВЕРТЫЙ ФУНКЦИОНАЛЬНЫЙ КОМПЛЕКС (ФК-2) LU-PC-HT (Инь группа)**

**FOURTH FUNCTIONAL COMPLEX (FC-4) LU-PC-HT (YIN group)**



Возбуждение канала **LU** (до- и выше зоны функциональной нормы) обуславливает синхронное возбуждением PC-HT (главный признак ФК-4) и LI-TE-SI (ФК-3) и асинхронное угнетением функциональных систем ФК-1 (BL-ST-GB) и ФК-2 (SP-KI-LR), при этом по всем группам наблюдения сохраняются типичные признаки отдельных функциональных комплексов (рис.15.4а).

Excitation of the channel **LU** (before and after the zone of functional norm) conditions the response of synchronous excitation of PC-HT (main feature of FC-4) and LI-TE-SI (FC-3) and asynchronous oppression of the functional systems of FC-1 (BL-ST-GB) and FC-2 (SP-KI-LR). At the same time, typical features of separate functional systems preserve through all groups of observation (fig.15.4).

Возбуждение канала **PC** (до- и выше зоны функциональной нормы) обуславливает синхронное возбуждением PC-HT (главный признак ФК-4), парадоксальные реакции LI-TE-SI (ФК-3) и асинхронное угнетением функциональных систем ФК-1 (BL-ST-GB) и ФК-2 (SP-KI-LR), при этом по всем группам наблюдения сохраняются типичные признаки отдельных функциональных комплексов (рис.15.4б).

Excitation of the channel **PC** (before and after the zone of functional norm) conditions the response of synchronous excitation of PC-HT (main feature of FC-4), paradoxical reactions of LI-TE-SI (FC-3) and asynchronous oppression of the functional systems of FC-1 (BL-ST-GB) and FC-2 (SP-KI-LR). At the same time, typical features of separate functional systems preserve through all groups of observation (fig. 15.4b).

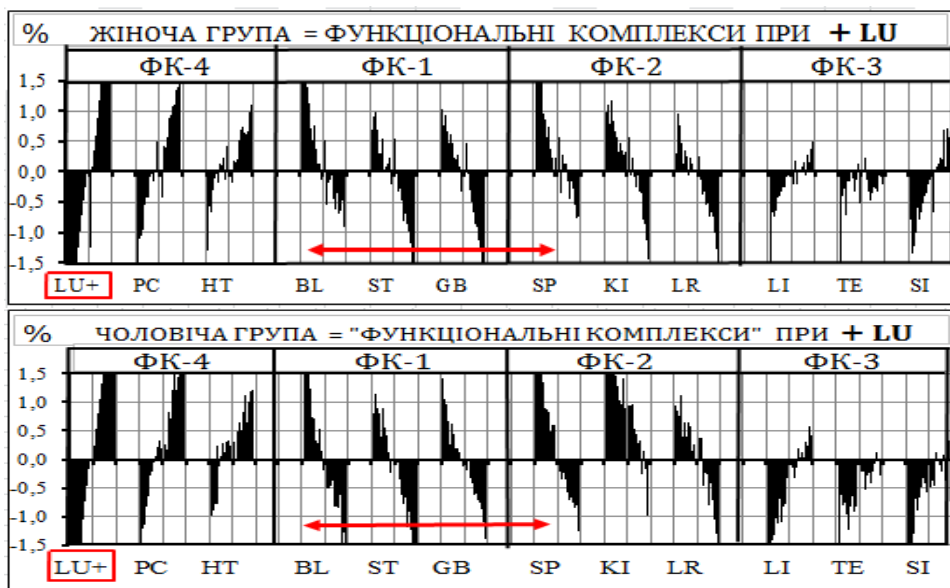


Рис.15.4а Комплексная зависимость при возбуждении LU

Fig.15.4a Complex dependency under the excitation of LU



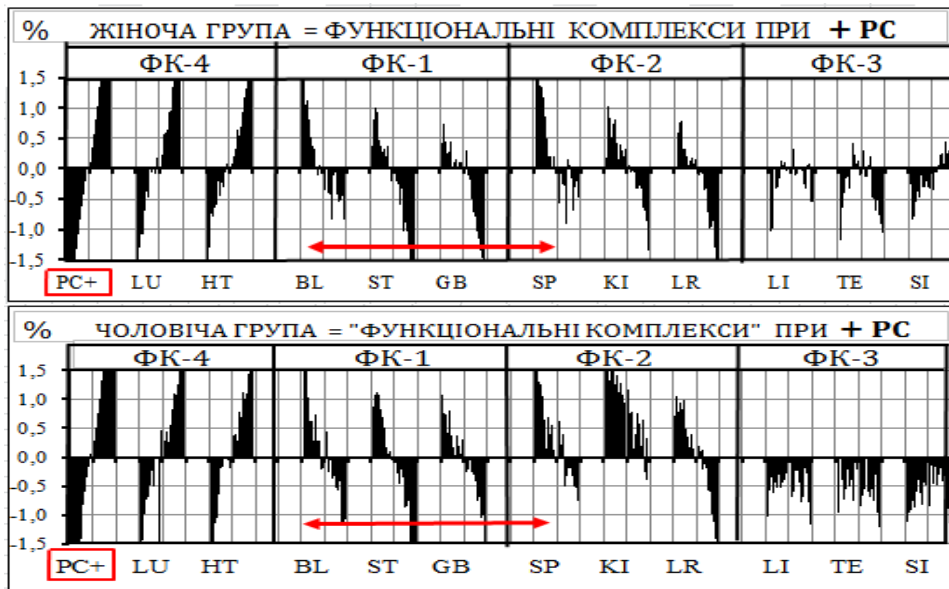


Рис.15.4б Комплексная зависимость при возбуждении РС

Fig.15.4б Complex dependency under the excitation of РС



Возбуждение канала **HT** (до- и выше зоны функциональной нормы) обуславливает синхронное возбуждением **LU-PC** (главный признак **ФК-4**), парадоксальные реакции **LI-TE-SI** (**ФК-3**) и асинхронное угнетением функциональных систем **ФК-1** (**BL-ST-GB**) и **ФК-2** (**SP-KI-LR**), при этом по всем группам наблюдения сохраняются типичные признаки отдельных функциональных комплексов (рис.15.4в).

Excitation of the channel **HT** (before and after the zone of functional norm) conditions synchronous excitation of **LU-PC** (main feature of **FC-4**), paradoxical reactions of **LI-TE-SI** (**FC-3**) and asynchronous oppression of the functional systems of **FC-1** (**BL-ST-GB**) and **FC-2** (**SP-KI-LR**). At the same time, typical features of separate functional systems preserve through all groups of observation (fig. 15.4c).

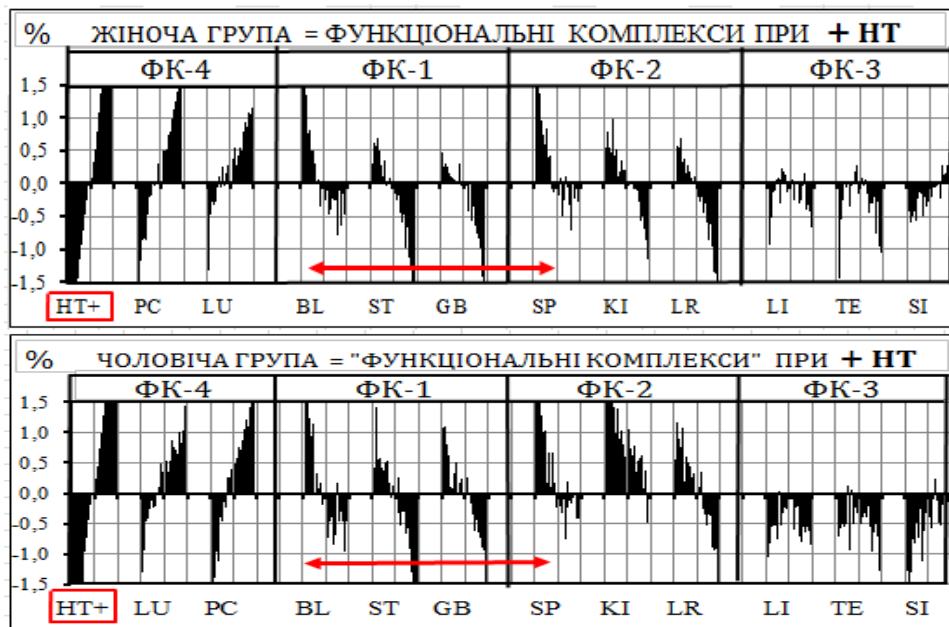


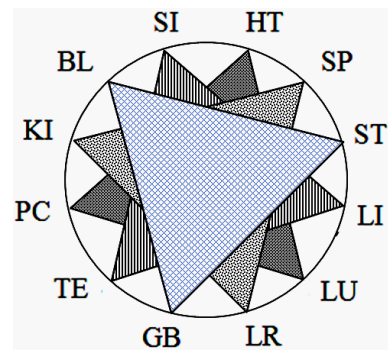
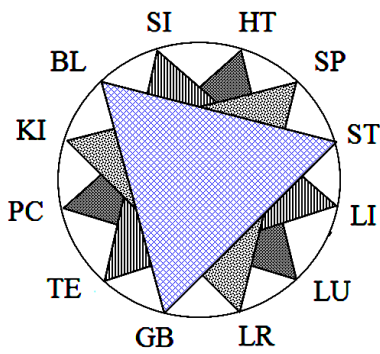
Рис.15.4в Комплексная зависимость при возбуждении HT

Fig.15.4в Complex dependency under the excitation of HT



В конце концов, взаимно зависящее расположения отдельных комплексов формирует своеобразный "Цикл Звезды", или "Функционально-вегетативный цветок Жизни" ...

Finally, mutually dependent arrangement of separate systems forms the original "Star Cycle" or "Functional-vegetative Flower of Life" ...



**Выводы.**

1. Специфично-типичная системная зависимость в отдельных группах акупунктурных каналов формирует четыре функционально-вегетативные комплексы: ФК-1 (BL-ST-GB), ФК-2 (SP-KI-LR), ФК-3 (LI-TE-SI) и ФК-4 (LU-PC-HT). Их биофизическая реальность подтверждена по всем группам наблюдения.

**Conclusion.**

1. Specifically-typical systemic dependency in separate groups of acupunctural channels forms **four functional-vegetative complexes**: FC-1 (BL-ST-GB), FC-2 (SP-KI-LR), FC-3 (LI-TE-SI) and FC-4 (LU-PC-HT). Their biophysical reality has been confirmed through all groups of observation.





## Шок!

На глазах рассыпалась фундаментальная основа Восточной терапевтической философии - эмпирическая теория китайской Чжень-цзю терапии. Ни одно из её положений не получило биофизической поддержки!

При этом шокирующая информация указывает на реальность неизвестных современным апологетам законов системной функционально-вегетативной зависимости.

Реальным выходом из теоретического кризиса Чжень-цзю терапии стала "ВЕГЕТАТИВНАЯ МАТРИЦА МАКАЦА". Универсальность ее графологической структуры поражает и обуславливает новые терапевтические, реабилитационные и прогностические возможности.

Приводим разработанную Модель и обращаем внимание, что её графологическая структура идентифицирует всю системную взаимозависимость. При этом она переводит традиционную Чжень-цзю терапии в статус доказательной медицины и обуславливает её научное значение в терапевтической и реабилитационной практике ...

... А заинтересованных в информации по проблеме функциональной реабилитации вегетативных расстройств приглашаем на курсы дистанционного обучения "Школа профессора В.Г.Макаца" (Украина, Винница – Европейский центр последипломной образования врачей).

## SHOCK!

In front of our eyes fundamental basis of the Eastern therapeutic philosophy – empirical theory of the Chinese Zhenjiu therapy has fallen apart. None of its provisions has received biophysical support!

This shocking information points to the existence of unknown, to modern apologists, Laws of systemic functional-autonomic dependency.

The real way out of the crisis of theoretical Zhenjiu therapy has become the "Makats's AUTONOMIC MATRIX". Universality of its graphological structure is impressive and conditions new therapeutic, rehabilitational and prognostic possibilities of the future.

Here, we introduce the developed Model and draw your attention to the fact that its graphological structure biophysically identifies the entire systemic interdependency. At the same time, it transforms traditional Acupuncture therapy into the status of evidence-based medicine and conditions its scientific value in therapeutic and rehabilitation practice ...

...Those who are interested in obtaining further information on the problem of rehabilitation of child autonomic disorders are welcome to courses of distance education "School of professor V. G. Makats" (Vinnytsia, Ukraine; European center of postgraduate preparation of doctors).





**16-я проблема традиционной Чжень-цзю терапии**

**“ВЕГЕТАТИВНАЯ МАТРИЦА МАКАЦА” КАК БИОФИЗИЧЕСКАЯ ПРОБЛЕМА ТРАДИЦИОННОЙ ЧЖЕНЬ-ЦЗЮ ТЕРАПИИ**

**16-th Issue of traditional Zhenjiu Therapy**

**"MAKATS'S AUTONOMIC MATRIX" AS A BIOPHYSICAL ISSUE OF TRADITIONAL ACUPUNCTURE THERAPY**

**ПЯТЬ ШАГОВ К  
"ВЕГЕТАТИВНОЙ МАТРИЦЕ"**

Неизвестные ранее системные биофизические феномены указали на геометрическую структуру внутреннего энергоинформационного поля человека: функциональную Матрицу Живого ("Вегетативная матрица Макаца»). Закономерность её связей вступила в противоречие с гипотетическими канонами классической Чжень-цзю и выявила ряд её теоретических и практических ошибок. При этом графологическая структура Матрицы отражает биофизически реальную системно-комплексную зависимость и впервые сближает теоретические концепции Восточной и Западной терапевтических философий.

Сегодня, на основе неизвестных ранее биофизических феноменов ситуация в корне изменилась. В первую очередь это касается открытия вегетативной Матрицы. Давайте доказательно, отдельными шагами рассмотрим процесс ее формирования (рис.16.1-9).

Начнем с того, что первые признаки Матрицы пришли к нам от китайских Учителей в виде концепции Пяти элементов цикла Звезда (рис.16.1) и Большого Круга циркуляции энергии ЧИ по системе каналов LU-LI-ST-SP-HT-SI-BL-KI PC-TE-GB-LR-LU (рис.16.2).

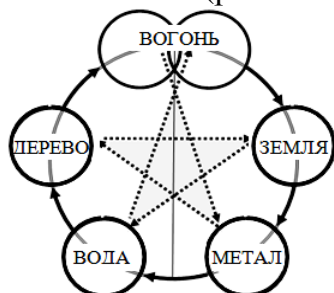


Рис.16.1 Эмпирическая Матрица

**FIVE STEPS TO  
"AUTONOMIC MATRIX"**

Previously unknown systemic biophysical phenomena point to geometric structure of the internal power-informational field of human beings: functional Matrix of Alive. The pattern of its connections appeared in opposition with the hypothetical channels of the classical acupuncture and disclosed a number of its theoretical and practical mistakes. At the same time, graphological structure of the Matrix reflects biophysically real system-complex interdependency and for the first time brings closer theoretical concepts of the Eastern and Western therapeutic philosophies.

Today, on the basis of previously unknown phenomena, the situation has significantly changed. First of all, because of the discovery of the autonomic Matrix of Alive! Let us do it evidentially in step-by-step and observe the process of its development (fig. 16.1–9).

We will start with the fact that the initial features of the Matrix came to us from the Chinese Teachers in the form of the conception of Five elements of the Star cycle (fig.16.1).

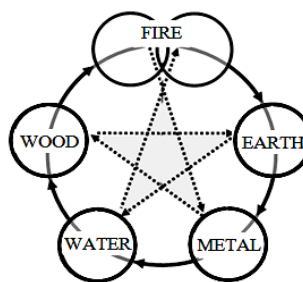


Fig.16.1 Empirical Matrix

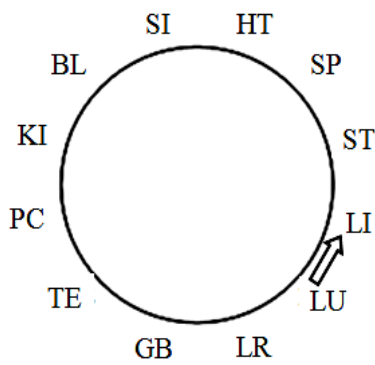


Рис.16.2

**ШАГ-1.** Вопреки ожиданию, каждый канал неизвестных ранее функциональных комплексов (ФК) BL-ST-GB, SP-KI-LR, LI-TE-SI, LU-PC-HT (см. Следующий раздел), без нарушения гипотетической системной последовательности по Большому кругу занял в нем топографически совпадающие места (рис.16.3)!

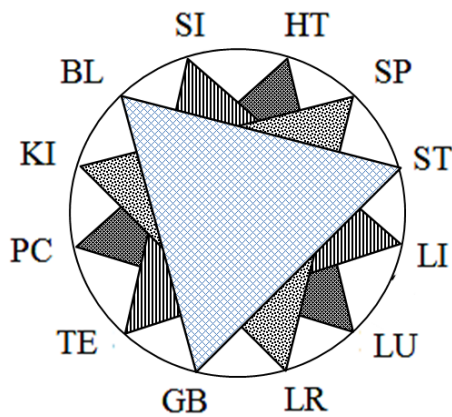


Рис. 16.3

Стало очевидным, что традиционный Большой круг сформирован функциональными комплексами, неизвестными восточным апологетами (BL-ST-GB, SP-KI-LR, LI-TE-SI, LU-PC-HT). При этом стало ясно, что синхронно-асинхронная активность отдельных комплексов и их парадоксальные реакции биофизически противоречат традиционной последовательности "энергетической циркуляции" по Большому кругу и гипотетическому правилу "Биологические часы"!

**ШАГ-2.** Изучение системной зависимости в отдельных функциональных комплексах выявило её биофизические особенности. Последние обусловлены

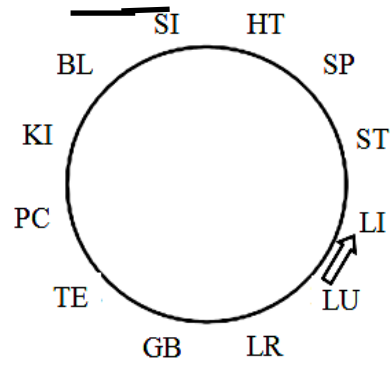


Fig.16.2

**STEP-1.** In opposition to expectations, every channel of the previously unknown functional complexes (FC) BL-ST-GB, SP-KI-LR, LI-TE-SI, LU-PC-HT (see in the next chapter), without disturbance of hypothetical topography of sequential location in the system of the Big cycle, has captured in it topographically concurring places (fig. 16.3)!

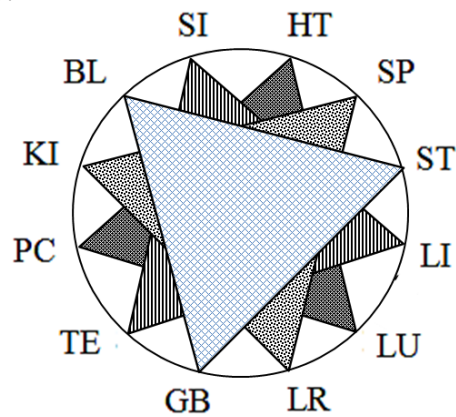


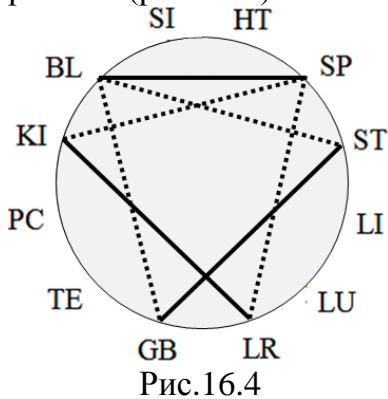
Fig. 16.3

It became obvious, that the traditional Big cycle is formed by functional complexes by unknown Eastern apologists BL-ST-GB, SP-KI-LR, LI-TE-SI, LU-PC-HT. At the same time, it has become evident that synchronous-asynchronous activity of separate complexes and their paradoxical reactions, biophysically contradict the traditional succession of "energy circulation" through the Big cycle, and the hypothetical rule of "Biological clock"!

**STEP-2.** The study of systemic dependency in separate functional complexes revealed its biophysical peculiarities. The peculiarities are conditioned by synchro-

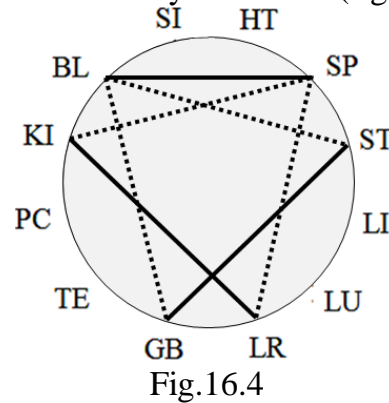
синхронной (—) и асинхронной (· · · · ·) системной зависимостью при возбуждении (угнетении) отдельных акупунктурных каналов и имеют следующий вид.

Первый (BL-ST-GB) и второй (SP-KI-LR) комплексы (ФК-1 и ФК-2) синхронно-асинхронные (рис.16.4)

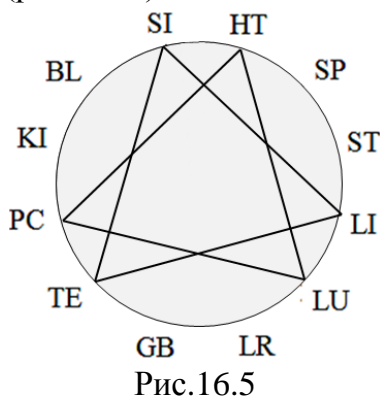


nous (—) and asynchronous (· · · · ·) systemic dependency during excitation (inhibition) of separate acupuncture channels and are as follows.

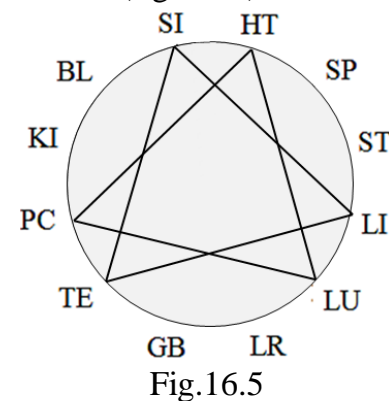
The first (BL-ST-GB) and the second (SP-KI-LR) complexes (FC-1 and FC-2) are synchronous-asynchronous (fig.16.4)



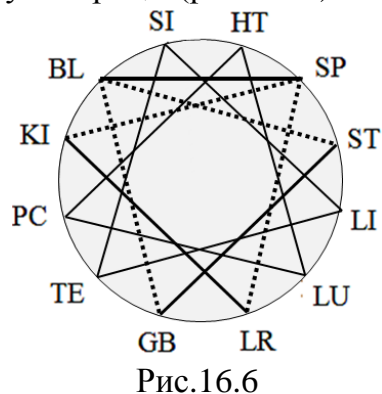
Третий (LI-TE-SI) и четвертый (LU-PC-HT) комплексы синхронно-парадоксальные и зависят от активности ФК-1 и ФК-2 (рис. 16.5)



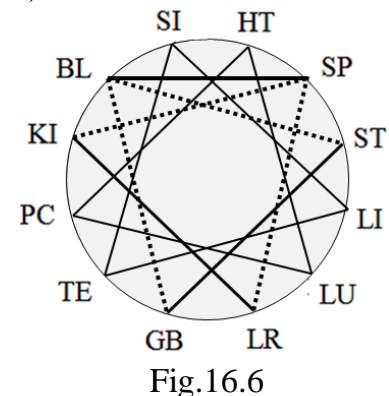
The third (LI-TE-SI) and the fourth (LU-PC-HT) complexes are synchronous-paradoxical and depend on the activity of FC-1 and FC-2 (fig. 16.5)



В совокупности внутренне комплексные связи формируют графологическую структуру Матрицы (рис.16.6.)



Together, internal-complex connections form graphological structure of the Matrix (fig. 16.6).



**ШАГ-3.** Изучение внешней и внутренней между комплексной зависимости привело графологическую структуру

**STEP-3.** The study of external and internal intercomplex dependency has led the graphological structure of the Matrix to

Матрицы к логическому совершенству. При этом выявлены специфические зоны биофизического конфликта, обеспечивающих фрактальность (незавершенность) биофизических трансформаций: SI-HT, GB-LR, LU-LI (рис.16.7).

Указанные элементы зависимости существенно дополняют достойную внимания геометрическую структуру вегетативной Матрицы Живого

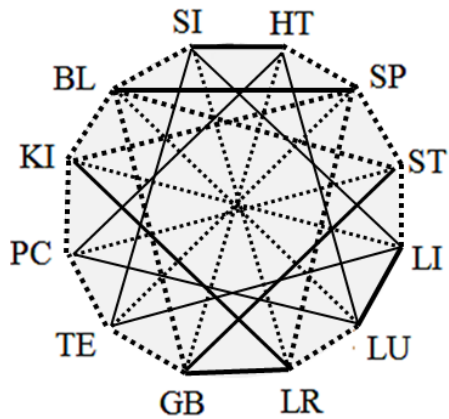


Рис.16.7

**ШАГ-4** Внешняя и внутренняя синхронно-асинхронная зависимость между системами отдельных комплексов обуславливает биофизические конфликты - феномены парадоксальных реакций ( $\cap \cup$ ). Последние доводят топографическую структуру вегетативной Матрицы к геометрическому совершенству (рис. 16.8).

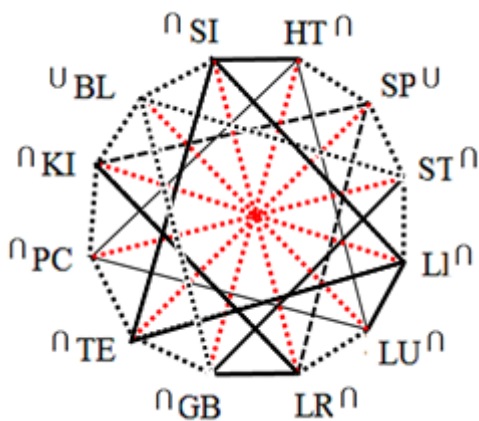


Рис.16.8

**ШАГ-5.** Был обнаружен биофизический пейсмейкер (водитель ритма) вегетативной Матрицы. Им оказались системы первого и второго функциональ-

logical perfection. At the same time, we discovered specific zones of biophysical conflict provide fractality (incomplete) of biophysical transformations: SI-HT, GB-LR, LU-LI (fig.16.7).

The specified elements of dependency significantly add the attention-worthy geometric structure of autonomic Matrix of Alive.

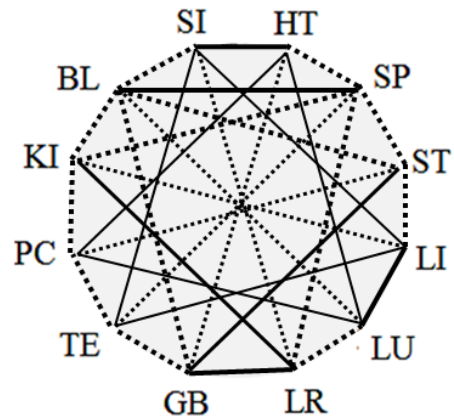


Fig.16.7

**STEP-4.** External and internal synchronous-asynchronous dependency between the systems of separate complexes conditions biophysical conflicts - phenomena of Paradoxical reactions ( $\cap \cup$ ). These reactions lead the topographical structure of the autonomic Matrix to geometric perfection (fig.16.8).

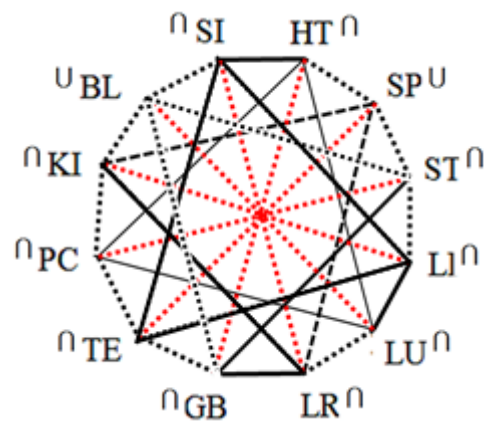
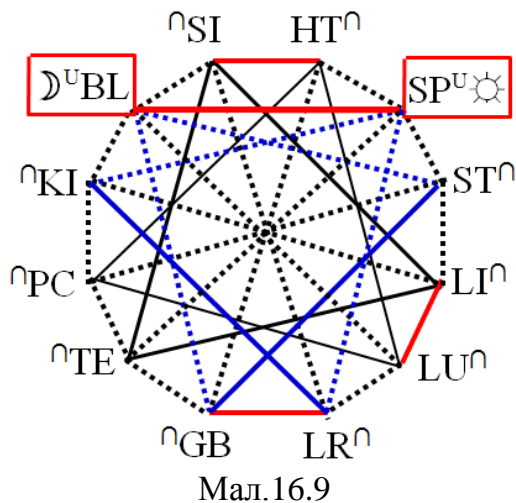


Fig.16.8

**STEP-5.** There has been discovered a biophysical pacemaker (*driver of rhythm*) of the autonomic Matrix. It is composed of the systems of the first and the second

ных комплексов BL-SP, специфическая активность которых (в виде двух часового функционального биоритма) напрямую зависит от фазы Лунной активности и УФ-радиации (рис.16.9).

Последняя особенность довела структуру Матрицы до функционального совершенства ...



При этом обращаем внимание на следующие важные положения.

1)Графологическая структура функционально-вегетативной Матрицы Макаца (рис.16.9) является патогенетической основой восточной Чжень-цзю терапии и западной "Функциональной вегетологии".

2)Структурно-функциональная активность вегетативной Матрицы постоянно направлена на поддержку динамической стабильности функционально-вегетативного гомеостаза.

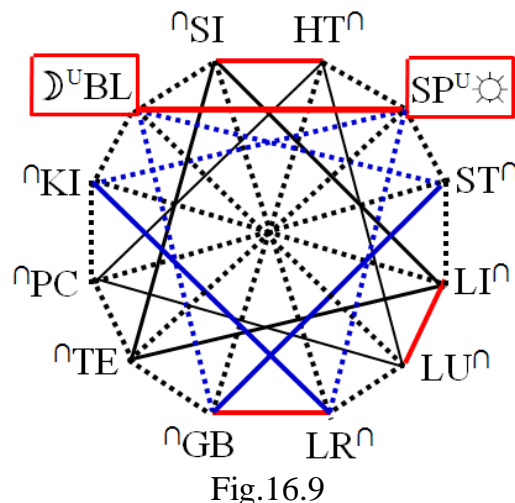
3)Теоретические и практические ошибки китайской Чжень-цзю терапии обусловлены отсутствием знаний о её вегетативной сущности и биофизической реальности функционально-вегетативной Матрицы.

4)Рецептура терапевтической акупунктуры должна быть обусловлена структурой матричных вегетативных ключей (комплексов).

5)Правомерность использования вегетативной Матрицы для функционального прогноза и коррекции вегетативных нарушений биофизических обусловлена

functional complexes SP-BL, specific activity of which (in the form of two-hour functional biorhythm) directly depends on the phase of the Moon activity and UV - radiation (fig.16.9).

This peculiarity has led the structure of the Matrix to functional perfection ...



In addition, we draw your attention to the following important positions.

1) Structure of Makats's functional-autonomic Matrix (fig.16.9) is a pathogenetic basis of the Eastern Zhenjiu therapy and the Western "Functional vegetology".

2)Structural-functional activity of the autonomic Matrix is constantly aimed at maintenance of dynamic stability of functional-autonomic homeostasis.

3)Theoretical and practical mistakes of the Chinese Zhenjiu therapy are conditioned by the absence of knowledge of its autonomic orientation and biophysical reality of functional-autonomic Matrix;

4)Formulation of therapeutic acupuncture must be conditioned by the structure of Matrix autonomic keys (complexes).

5)Appropriateness of the usage of the Autonomic Matrix for functional prognosis and correction of autonomic disorders is biophysically conditioned and justified

и реабилитационно оправдана.

По большому счёту Матрично-вегетативные комплексы учитывают практически все биофизически реальные формы системной взаимозависимости, которая ранее была известна в виде традиционных гипотетических правил. При случае напомним, что ни одно гипотетическое правило китайской Чжень-цзю терапии не получило биофизической поддержки, что указывает на несовершенство её теоретической базы.

Имея в виду принципиальное теоретическое и практическое значение вегетативной Матрицы, рассмотрим структуру каждого матричного (вегетативного) ключа и его соответствие с системной взаимозависимостью.

from the point of view of rehabilitation;

To the greatest extent, Matrix-autonomic complexes take into account almost all biophysically real forms of systemic interdependency, which was formerly known as traditional hypothetical rules. On occasion, we remind that none of the hypothetical rules of the Chinese Acupuncture therapy has received biophysical support, which points to the imperfection of its theoretical framework.

Bearing in mind the fundamental theoretical and practical importance of the autonomic Matrix, let us consider the structure of every Matrix (autonomic) key and its correspondence to the systemic dependencies.

<b>МАТРИЧНЫЕ КОМПЛЕКСЫ (ВЕГЕТАТИВНЫЕ КЛЮЧИ).</b>	<b>MATRIX COMPLEXES (AUTONOMIC KEYS).</b>
--	---

Сегодня нами выделено 12 функциональных групп, обусловленных синхронно-асинхронной и парадоксальной зависимостью базовых элементов Матрицы и её функциональных комплексов: **BL**= LU-ST-GB SI-KI-SP, **SP**=TE-KI-LR-ST-HT-BL, **LI**=KI-SI-TE-ST-LU, **TE**=SP-SI-LI-PC-GB, **SI**= LR-TE-LI-BL-HT, **LU**= BL-HT-PC-LI-LR, **PC**= ST-HT-LU-KI-TE, **HT**= GB-PC-LU-SI-SP, **ST**= PC-BL-GB-SP-LI, **GB**= HT-BL-ST-TE-LR, **KI**= LI-SP-LR-BL-PC, **LR**= SI-KI-SP-LU-GB (рис.16.10-21).

Today, we have distinguished 12 functional groups that are conditioned by synchronous-asynchronous and paradoxical dependency of the basic elements of the Matrix and its the functional complexes: **BL**= LU-ST-GB SI-KI-SP, **SP**=TE-KI-LR-ST-HT-BL, **LI**=KI-SI-TE-ST-LU, **TE**=SP-SI-LI-PC-GB, **SI**= LR-TE-LI-BL-HT, **LU**= BL-HT-PC-LI-LR, **PC**= ST-HT-LU-KI-TE, **HT**= GB-PC-LU-SI-SP, **ST**= PC-BL-GB-SP-LI, **GB**= HT-BL-ST-TE-LR, **KI**= LI-SP-LR-BL-PC, **LR**= SI-KI-SP-LU-GB (fig.16.10-21)

Теперь рассмотрим системную взаимозависимость матричных вегетативных ключей (комплексов) и их биофизическую реальность. При этом будем знать, что изменение направленной динамической активности Ключа обусловит противоположную системно-матричную зависимость.

Now, let us consider the systemic dependency of the Matrix autonomic keys (complexes) and its biophysical reality. At the same time, we know that a change in the orientation of dynamic activity of a Key will cause a reverse system-matrix dependency.

Согласно вегетативной Матрицы (**BL** = LU-ST-GB-SI-KI-SP) возбуждение матричного ключа **+BL** обуславливает следующую системную зависимость: **+BL** = + SP -LU -SI -KI  $\cap$  -ST  $\cap$  -GB. По-

According to the autonomic Matrix (**BL**=LU-ST-GB-SI-KI-SP), excitation of the matrix key **+BL** conditions the following systemic dependency: **+BL**= + SP -LU -SI -KI  $\cap$  -ST  $\cap$  -GB. This biophysical

добная биофизическая зависимость наблюдается по всем группам наблюдения (рис.16.10). **Матричный прогноз биофизически реальный.**

dependency is observed in all groups of observation (fig.16.10).

**Matrix prognosis is biophysically real.**

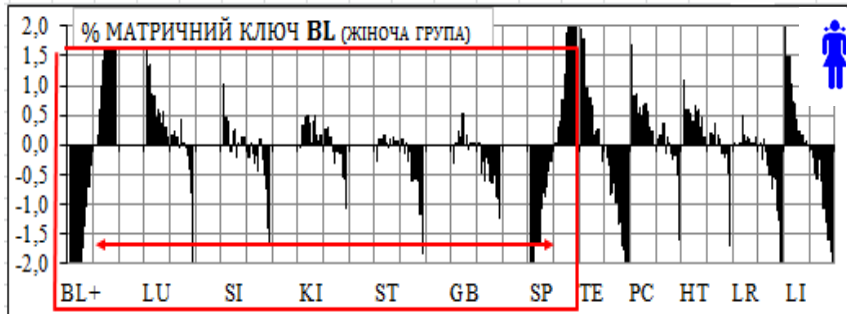
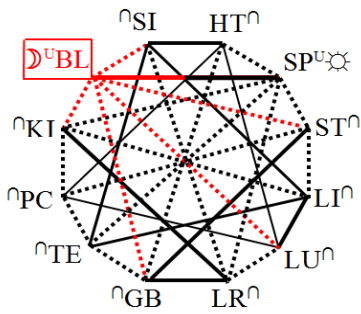
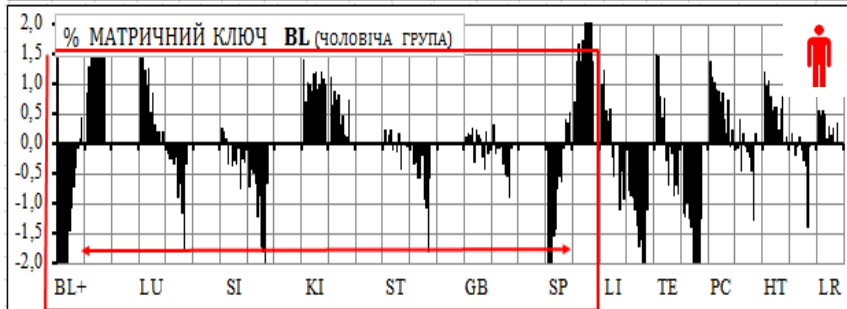


Рис.16.10 Биофизическая реальность Матричного прогноза при +BL

Fig.16.10 Biophysical reality of the Matrix prognosis with +BL



Согласно вегетативной Матрицы (SP = TE-KI-LR-ST-HT-BL) возбуждение матричного ключа +SP обуславливает следующую системную зависимость: +SP = +BL -TE -KI -LR -ST -HT. Подобная биофизическая зависимость наблюдается по всем группам наблюдения (рис.16.11). **Матричный прогноз биофизически реальный.**

According to the autonomic Matrix (SP=TE-KI-LR-ST-HT-BL), excitation of the matrix key +SP conditions the following systemic dependency: +SP= +BL -TE -KI -LR -ST -HT This biophysical dependency is observed in all groups of observation (fig.16.11).

**Matrix prognosis is biophysically real.**

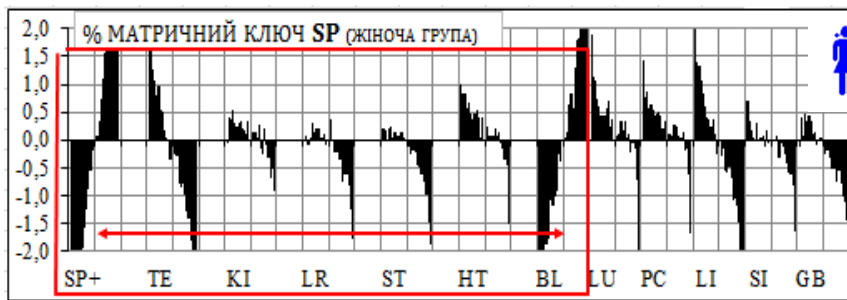
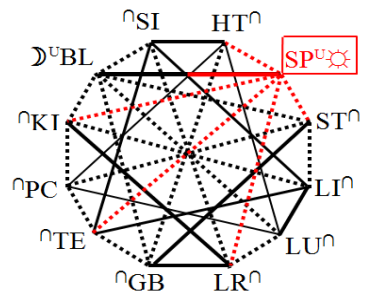
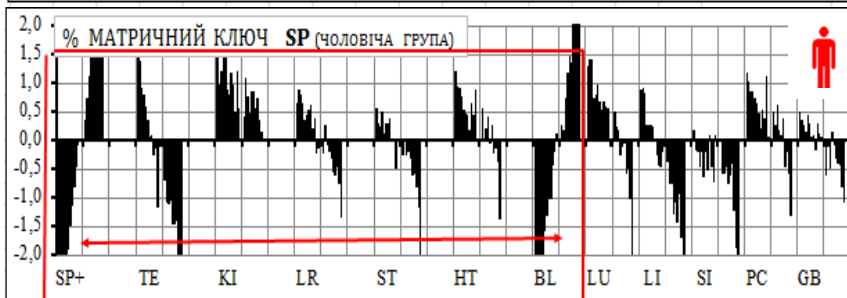


Рис.16.11 Биофизическая реальность Матричного прогноза при +SP

Fig.16.11 Biophysical reality of the Matrix prognosis with +SP



Согласно вегетативной Матрицы (LI = KI-SI-TE-ST-LU) возбуждение матричного ключа +LI обуславливает сле-

According to the autonomic Matrix (LI=KI-SI-TE-ST-LU), excitation of the matrix key +LI conditions the following



дующую системную зависимость:  $+LI = +TE + SI -KI + LU \cap -ST$ . Подобная биофизическая зависимость наблюдается по всем группам наблюдения (рис. 16.12). **Матричный прогноз биофизически реальный.**

systemic dependency:  $+LI = +TE + SI -KI + LU \cap -ST$ . This biophysical dependency is observed in all groups of observation (fig.16.12).

**Matrix prognosis is biophysically real.**

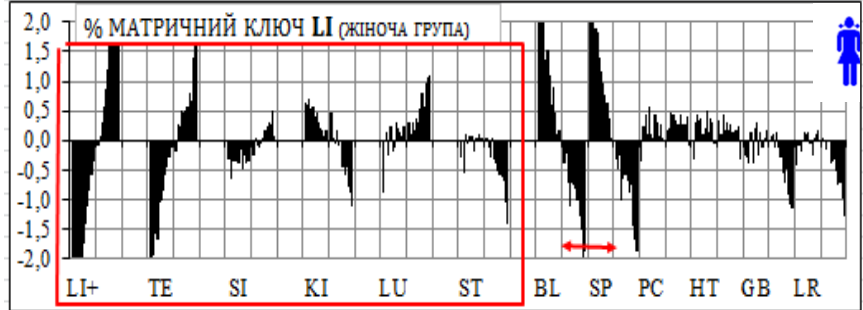
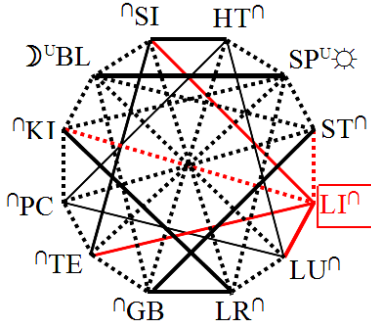
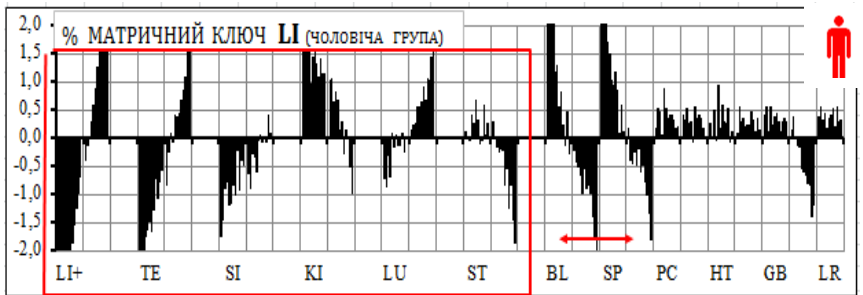


Рис.16.12 Биофизическая реальность Матричного прогноза при  $+LI$

Fig.16.12 Biophysical reality of the Matrix prognosis with  $+LI$



Согласно вегетативной Матрицы ( $TE = SP-SI-LI PC-GB$ ) возбуждение матричного ключа  $+TE$  обуславливает следующую системную зависимость:  $+TE = U + SI + LI -SP -PC \cap -GB$ . Подобная биофизическая зависимость наблюдается по всем группам наблюдения (рис.16.13). **Матричный прогноз биофизически реальный.**

According to the autonomic Matrix ( $TE=SP-SI-LI-PC-GB$ ), excitation of the matrix key  $+TE$  conditions the following systemic dependency:  $+TE = U + SI + LI - SP -PC \cap -GB$ . This biophysical dependency is observed in all groups of observation (fig.16.13).

**Matrix prognosis is biophysically real.**

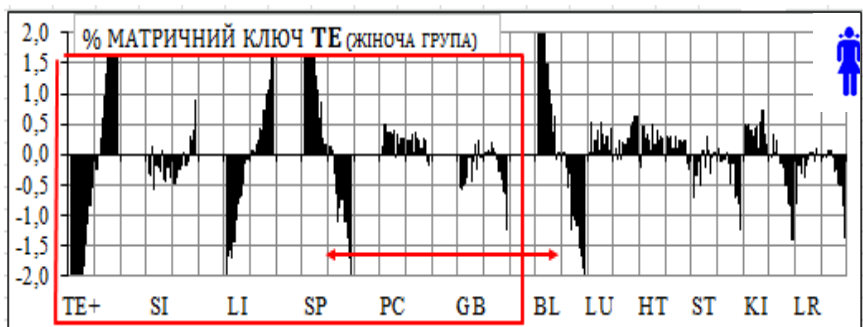
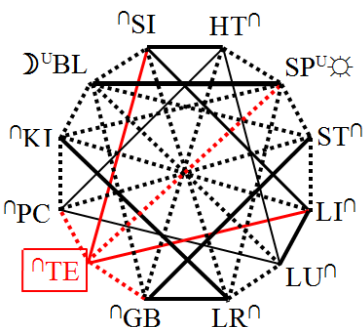
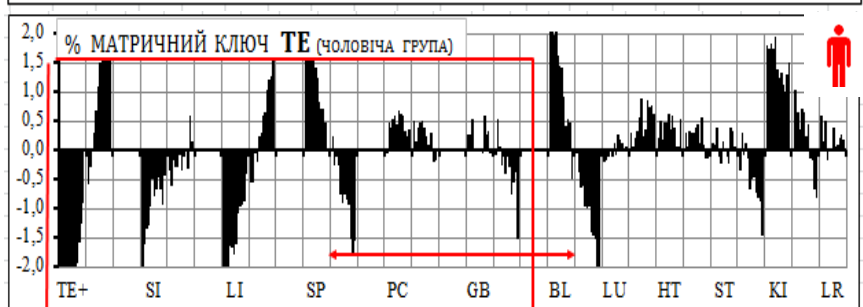


Рис.16.13 Биофизическая реальность Матричного прогноза при  $+TE$

Fig.16.13 Biophysical reality of the Matrix prognosis with  $+TE$



Согласно вегетативной Матрицы (SI = LR-TE-LI-BL-HT) возбуждение матричного ключа +SI обуславливает следующую системную зависимость: +SI =  $\cap +LI \cap +TE -LR \cup -BL +HT$ . Подобная биофизическая зависимость наблюдается по всем группам наблюдения (рис.16.14). **Матричный прогноз биофизически реальный.**

According to the autonomic Matrix (SI=LR-TE-LI-BL-HT), excitation of the matrix key +SI conditions the following systemic dependency: +SI=  $\cap +LI \cap +TE -LR \cup -BL +HT$ . This biophysical dependency is observed in all groups of observation (fig.16.14).

**Matrix prognosis is biophysically real.**

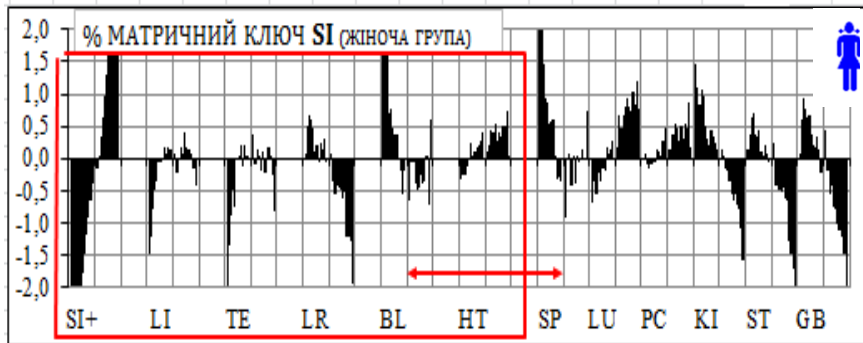
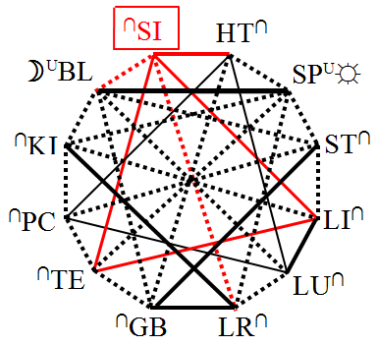
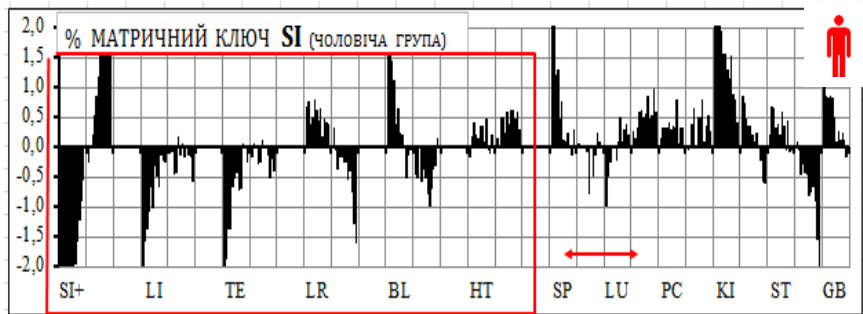


Рис.16.14 Биофизическая реальность Матричного прогноза при +SI

Fig.16.14 Biophysical reality of the Matrix prognosis with +SI



Согласно вегетативной Матрицы (LU = BL-HT-PC-LI-LR) возбуждение матричного ключа +LU обуславливает следующую системную зависимость: +LU = +PC +HT -BL +LI -LR. Подобная биофизическая зависимость наблюдается по всем группам наблюдения (рис.16.15). **Матричный прогноз биофизически реальный.**

According to the autonomic Matrix (LU=BL-HT-PC-LI-LR), excitation of the matrix key +LU conditions the following systemic dependency: +LU= +PC +HT -BL +LI -LR. This biophysical dependency is observed in all groups of observation (fig.16.15).

**Matrix prognosis is biophysically real.**

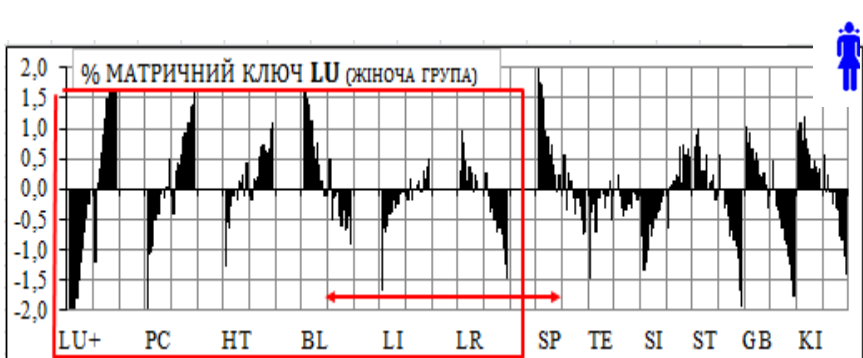
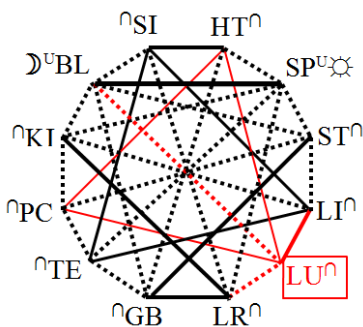
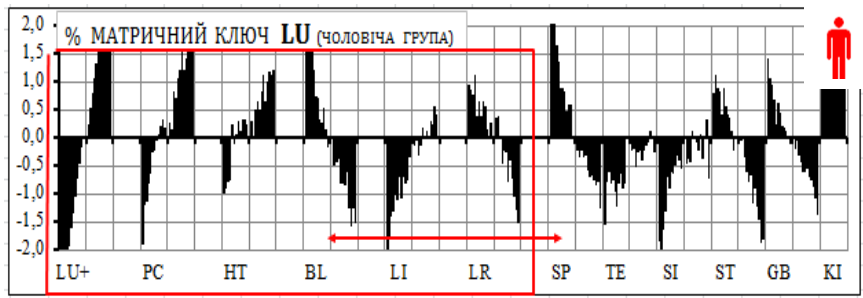


Рис.16.15 Биофизическая реальность Матричного прогноза при +LU

Fig.16.15 Biophysical reality of the Matrix prognosis with +LU



Согласно вегетативной Матрицы (PC = ST-HT-LU-KI-TE) возбуждения матричного ключа +PC обуславливает следующую системную зависимость: +PC = +HT +LU -ST -KI ∩ -TE. Подобная биофизическая зависимость наблюдается по всем группам наблюдения (рис.16.16). Матричный прогноз биофизически реальный.

According to the autonomic Matrix (PC= ST-HT-LU-KI-TE), excitation of the matrix key +PC conditions the following systemic dependency: +PC= +HT +LU -ST -KI ∩ -TE. This biophysical dependency is observed in all groups of observation (fig.16.16).

**Matrix prognosis is biophysically real.**

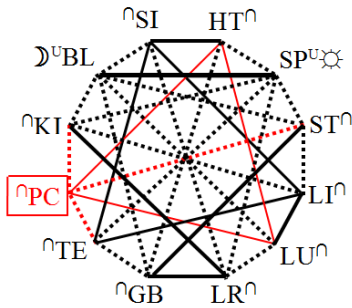
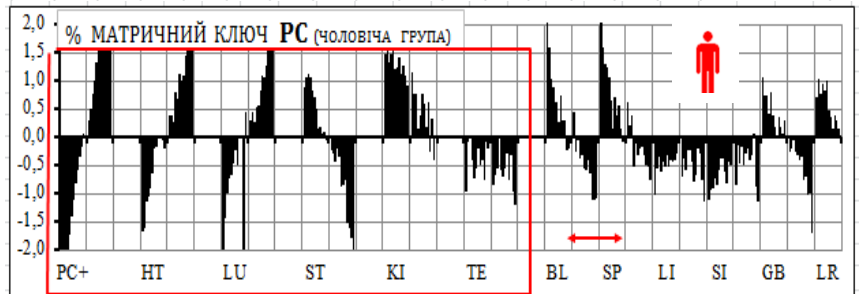
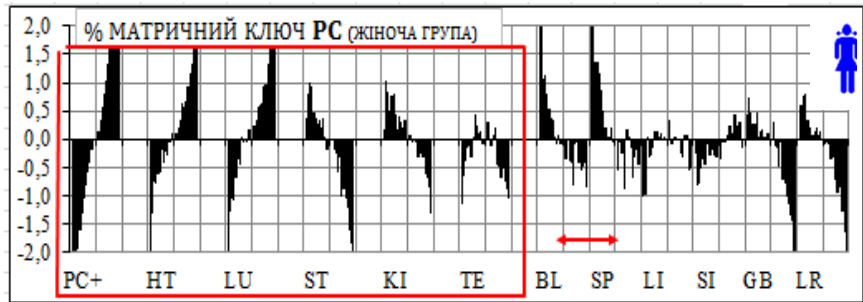


Рис.16.16 Биофизическая реальность Матричного прогноза при +PC

Fig.16.16 Biophysical reality of the Matrix prognosis with +PC



Согласно вегетативной Матрицы (HT = GB PC-LU-SI-SP) возбуждения матричного ключа +HT обуславливает следующую системную зависимость: +HT = +LU +PC -GB +SI ∩ -SP. Подобная биофизическая зависимость наблюдается по всем группам наблюдения (рис. 16.17). Матричный прогноз биофизически реальный.

According to the autonomic Matrix (HT=GB-PC-LU-SI-SP), excitation of the matrix key +HT conditions the following systemic dependency: +HT= +LU +PC -GB +SI ∩ -SP. This biophysical dependency is observed in all groups of observation (fig.16.17).

**Matrix prognosis is biophysically real.**

Согласно вегетативной Матрицы (ST = PC-BL-GB-SP-LI) возбуждение матричного ключа +ST обуславливает следующую системную зависимость: +ST = -BL +GB -PC -SP -LI. Подобная биофизическая зависимость наблюдается по

According to the autonomic Matrix (ST=PC-BL-GB-SP-LI), excitation of the matrix key +ST conditions the following systemic dependency: +ST= -BL +GB -PC -SP -LI. This biophysical dependency is observed in all groups of observation

всем группам наблюдения (рис.16.18).  
**Матричный прогноз биофизически реальный.**

(fig.16.18).

**Matrix prognosis is biophysically real.**

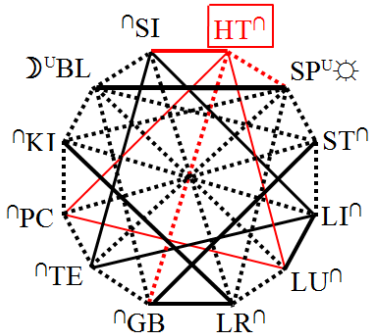


Рис.16.17 Биофизическая реальность Матричного прогноза при **+HT**

Fig.16.17 Biophysical reality of the Matrix prognosis with **+HT**

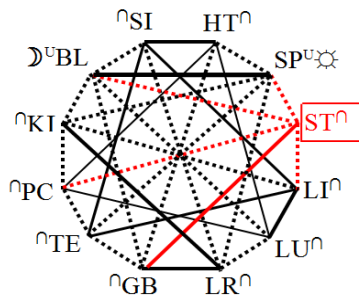
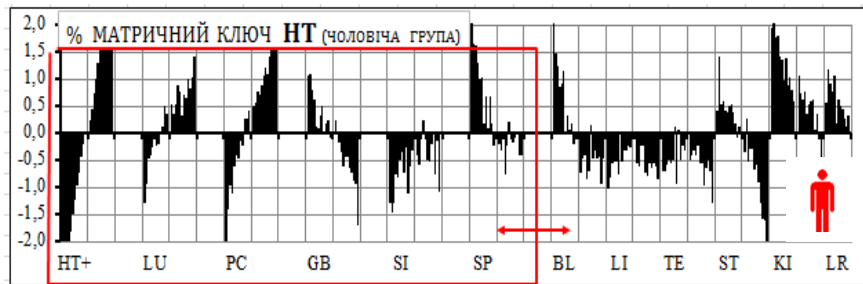
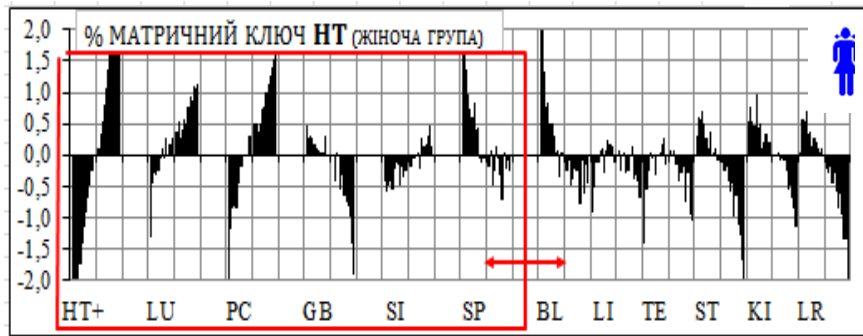
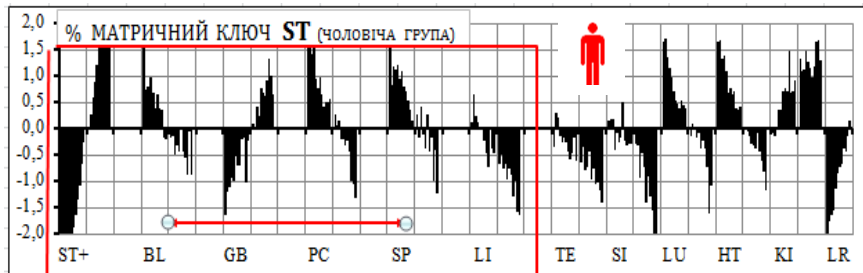
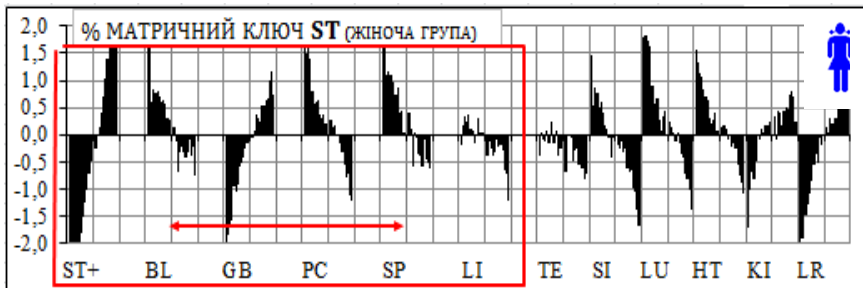


Рис.16.18 Биофизическая реальность Матричного прогноза при **+ST**

Fig.16.18 Biophysical reality of the Matrix prognosis with **+ST**



Согласно вегетативной Матрицы (GB = HT-BL-ST-TE-LR) возбуждение матричного ключа **+GB** обуславливает следующую системную зависимость:  $+GB = -BL + ST - HT \cap +TE + LR$ . Подобная биофизическая зависимость наблюдается по всем группам наблюдения (рис.16.19). **Матричный прогноз биофизически реальный.**

According to the autonomic Matrix (**GB=HT-BL-ST-TE-LR**), excitation of the matrix key **+GB** conditions the following systemic dependency:  $+GB = -BL + ST - HT \cap +TE + LR$ . This biophysical dependency is observed in all groups of observation (fig.16.19).

**Matrix prognosis is biophysically real.**

Согласно вегетативной Матрицы (KI = LI-SP-LR-BL-PC) возбуждение матричного ключа **+KI** обуславливает сле-

According to the autonomic Matrix (**KI=LI-SP-LR-BL-PC**), excitation of the matrix key **+KI** conditions the following

дующую системную зависимость:  $+KI = U-SP + LR -LI U-BL -PC$ . Подобная биофизическая зависимость наблюдается по всем группам наблюдения (рис.16.20). Матричный прогноз биофизически реальный.

systemic dependency:  $+KI = U-SP + LR -LI U-BL -PC$ . This biophysical dependency is observed in all groups of observation (fig.16.20).

**Matrix prognosis is biophysically real.**

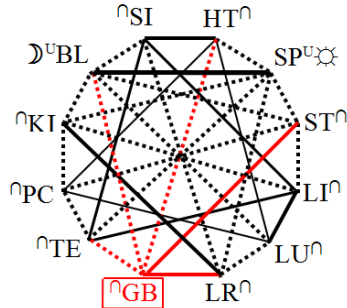


Рис.16.19 Биофизическая реальность Матричного прогноза при  $+GB$

Fig.16.19 Biophysical reality of the Matrix prognosis with  $+GB$

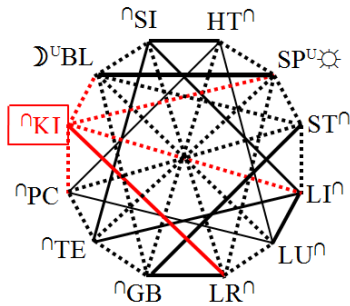
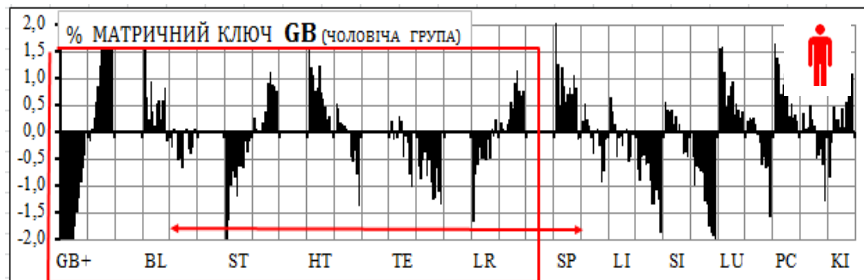
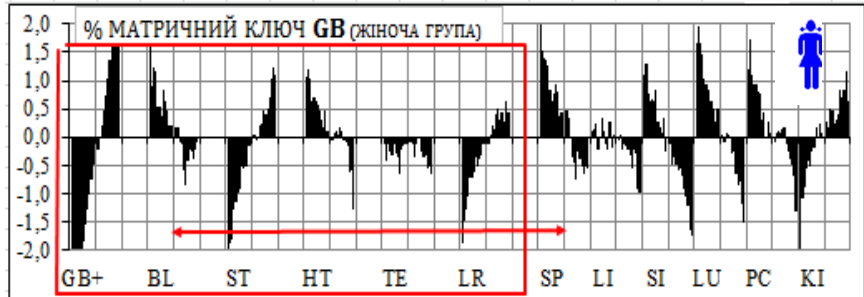
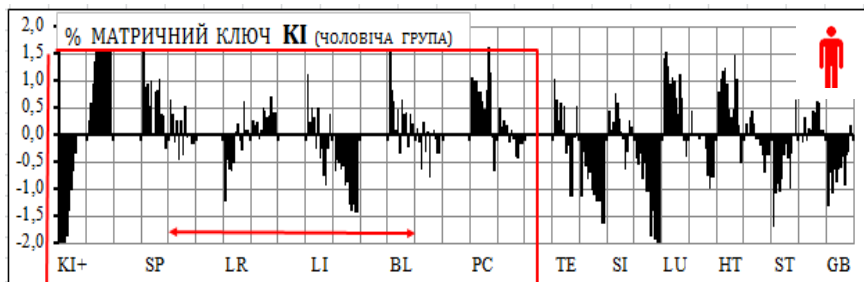
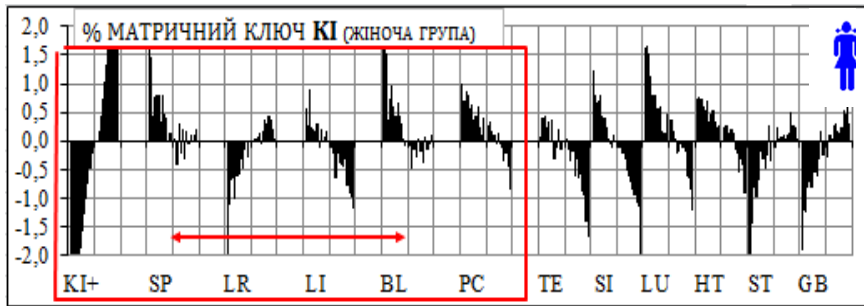


Рис.16.20 Биофизическая реальность Матричного прогноза при  $+KI$

Fig.16.20 Biophysical reality of the Matrix prognosis with  $+KI$



Согласно вегетативной Матрицы (LR = SI-KI-SP-LU-GB) возбуждение матричного ключа  $+LR$  обуславливает следующую системную зависимость:  $+LR = -SP + KI -LI -SI + GB -LU$ . Подобная биофизическая зависимость наблюдается по всем группам наблюдения (рис.16.21). Матричный прогноз биофизически реальный.

According to the autonomic Matrix (LR=SI-KI-SP-LU-GB), excitation of the matrix key  $+LR$  conditions the following systemic dependency:  $+LR = -SP +KI -LI -SI +GB -LU$ . This biophysical dependency is observed in all groups of observation (fig.16.21).

**Matrix prognosis is biophysically real.**

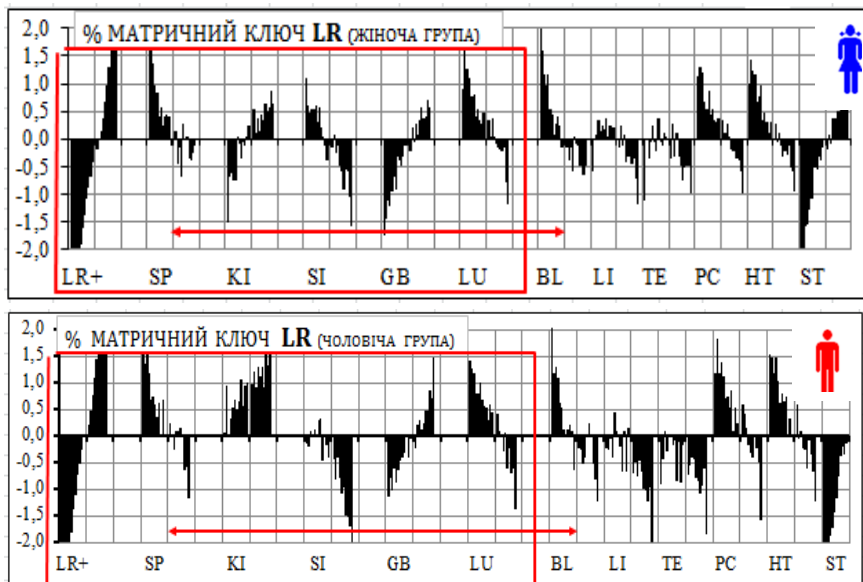
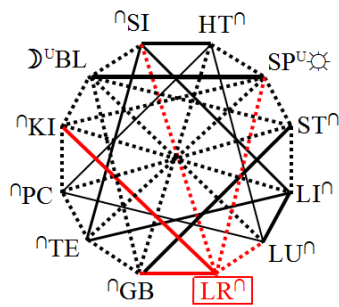


Рис.16.21 Биофизическая реальность Матричного прогноза при +KI

Fig.16.21 Biophysical reality of the Matrix prognosis with +KI

### Выводы

1. Представленные материалы свидетельствуют о биофизической реальности Матричного прогноза.

2. Вегетативна матрица Макаца биофизически объединяет Восточную теоретическую базу Чжень-цзю терапии и переводит её в реально существующую Западную "Функциональную вегетологию".

### CONCLUSION.

1. These materials show biophysical reality of the Matrix prognosis.

2. Makats's autonomic matrix biophysically combines Eastern theoretical basis of acupuncture therapy and translates it into a really existing Western "Functional vegetology."





**17-я проблема традиционной Чжень-цзю терапии**

**МАТРИЧНАЯ ИДЕНТИФИКАЦИЯ СИСТЕМНОЙ ЗАВИСИМОСТИ  
КАК ПРОБЛЕМА ТРАДИЦИОННОЙ ЧЖЕНЬ-ЦЗЮ ТЕРАПИИ**

**17-th Issue of traditional Acupuncture Therapy**

**MATRIX IDENTIFICATION SYSTEM DEPENDENCE  
AS A PROBLEM OF TRADITIONAL MEDICINE ACUPUNCTURE**

Одной из проблем Чжень-цзю терапии является необходимость прогноза последствий терапевтических и реабилитационных алгоритмов на основе матричной экспертизы системной зависимости. При этом необходимо доказательно решить следующие вопросы.

- Можно на основе графологической структуры Матрицы предусмотреть динамику системной зависимости?
- Установить степень достоверности Матричной "идентификации системной зависимости"?
- Доказать соответствие Матричной идентификации системной зависимости с её биофизической реальностью?

В качестве доказательной базы мы выбрали Матричный анализ выявленных практических ошибок традиционной акупунктуры. Они прошли предварительную биофизическую экспертизу и уже известные нашим оппонентам ...

Имея в виду отсутствие существенных половозрастных особенностей, рассмотрим проблемные вопросы на примерах женской группы. При этом напомним, что сплошными линиями Матрицы определены направления синхронной системной зависимости, а пунктирными - асинхронной.

One of the issues of acupuncture therapy is the need for valid prognosis of the effects of therapeutic and rehabilitation algorithms based on Matrix expertise of systemic dependency. At the same time, it is necessary to empirically resolve the following issues:

- is it possible to predict future dynamics of systemic dependency on the basis of graphological structure of the Matrix?
- to determine the level of reliability of Matrix "identification of systemic dependency"?
- to prove the correlation of Matrix identification of systemic dependency with its biophysical reality?

As the evidence, we have chosen Matrix analysis of the revealed practical mistakes of traditional acupuncture. They have not passed the preliminary biophysical examination and have been already known to our possible opponents ...

Bearing in mind the lack of significant gender-age peculiarities, let us view the problematic questions on the example of the female group. At the same time, let us remind, that the unsplit lines of the Matrix define the synchronous systemic dependency, while dashed lines determine asynchronous ones.



**17.1 – БИОФИЗИЧЕСКАЯ РЕАЛЬНОСТЬ МАТРИЧНОГО ПРОГНОЗА  
ПО ПРАВИЛАМИ "ПЯТИ ЭЛЕМЕНТОВ (ЦИКЛ ЗВЕЗДЫ)"**

**17.1 – BIOPHYSICAL REALITY OF THE MATRIX PROGNOSIS  
ACCORDING TO THE RULES OF "FIVE ELEMENTS (THE STAR CYCLE)"**

Матричная экспертиза теоретических положений Цикла ЗВЕЗДА свидетельствует о полном соответствии биофизической реальности с Графологической структурой Матрицы. Рассмотрим про-

Matrix examination of theoretical provisions of the STAR Cycle provides evidence of complete compliance of biophysical reality with graphological structure of the Matrix. Let us observe the issue on separate

блему на отдельных примерах.

Рост активности **BL** ведет к угнетению акупунктурных каналов GB-TE (рис.17.1.1). В данном случае Матричные связи указывают пути биофизической трансформации каналов. Для "-GB" (+ BL = -GB), для "-TE" (+ BL = + SP - TE). Указанным путем можно предположить активность любого из приведенных каналов ...

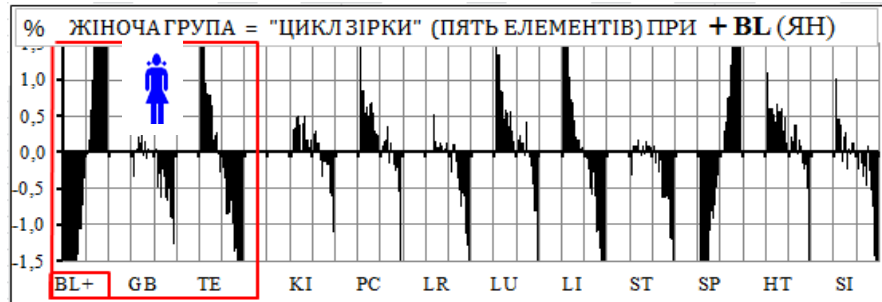
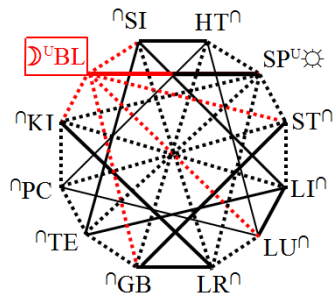


Рис.13.1.1 Матричная идентификация системной зависимости (Цикл ЗВЕЗДА) при **+BL**  
Fig. 17.1.1 Matrix identification of systemic dependency (STAR Cycle) under **+BL**

Рост активности **SP** ведет к угнетению акупунктурных каналов LU-KI (рис.17.1.2). В данном случае Матричные связи указывают пути биофизической трансформации каналов. Для "-LU" (+ SP = + BL-LU), для "-KI" (+ SP = -KI). Указанным путем можно спрогнозировать динамику любого канала...

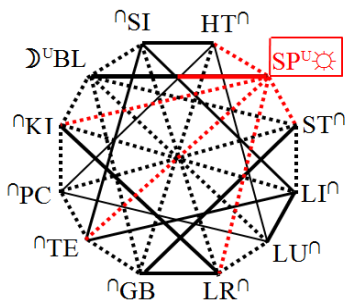


Рис. 17.1.2 Матричная идентификация системной зависимости (Цикл ЗВЕЗДА) при **+SP**  
Fig. 17.1.2 Matrix identification of systemic dependency (STAR Cycle) under **+SP**

Рост активности **LI** ведет к угнетению акупунктурных каналов BL-GB (рис.17.1.3). В данном случае Матричные связи указывают пути биофизической трансформации каналов. Для "-BL" (+ LI = + LU-BL), для "-GB" (+ LU = + TE ∩ -GB). Указанным путем можно

examples.

Growth of **BL** activity leads to oppression of the acupuncture channels GB-TE (fig.17.1.1). In this case, Matrix connections indicate the ways of biophysical transformation of the channels. For "-GB" (+ BL = -GB), for "-TE" (+ BL = + SP - TE). In this way we can predict the activity of any of the introduced channels ...

Growth of **SP** activity leads to oppression of the acupuncture channels LU-KI (fig.17.1.2). In this case, Matrix connections indicate the ways of biophysical transformation of the channels. For "-LU" (+ SP = + BL-LU), for "-KI" (+ SP = -KI).

In this way we can predict the activity of any of the introduced channels...

Growth of **LI** activity leads to oppression of the acupuncture channels BL-GB (fig.17.1.3). In this case, Matrix connections indicate the ways of biophysical transformation of the channels. For "-BL" (+ LI = + LU-BL), for "-GB" (+ LU = + TE ∩ -GB). In this way we can predict the



спрогнозировать динамику любого канала...

activity of any of the introduced channels...

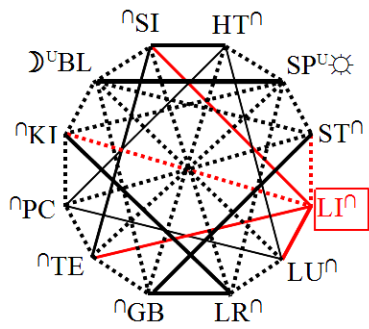


Рис. 17.1.3 Матричная идентификация системной зависимости (Цикл ЗВЕЗДА) при +LI  
 Fig. 17.1.3 Matrix identification of systemic dependency (STAR Cycle) under +LI

Рост активности **TE** ведет к  $\cap$ -ST и +LI (рис.17.1.4). В данном случае Матричные связи указывают пути биофизической трансформации каналов. Для " $\cap$ -ST" (+TE =  $\cap$ -ST + LI), для "+LI" (+TE = +LI). Указанным путем можно спрогнозировать динамику любого канала...

Growth of **TE** activity leads to  $\cap$ -ST and +LI (fig.17.1.4). In this case, Matrix connections indicate the ways of biophysical transformation of the channels. For " $\cap$ -ST" (+TE =  $\cap$ -ST + LI), for "+LI" (+TE = +LI). In this way we can predict the activity of any of the introduced channels...

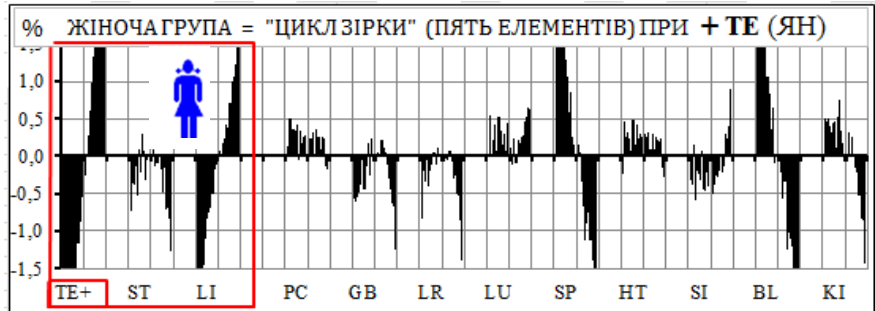
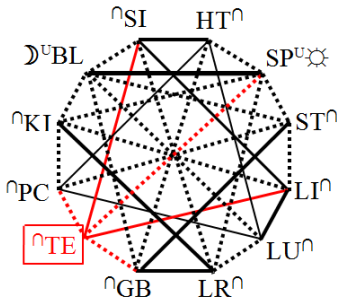


Рис. 17.1.4 Матричная идентификация системной зависимости (Цикл ЗВЕЗДА) при +TE  
 Fig. 17.1.4 Matrix identification of systemic dependency (STAR Cycle) under +TE

Рост активности **SI** ведет к -ST и +LI (рис.17.1.5). В данном случае Матричные связи указывают пути биофизической трансформации каналов. Для "-ST" (+SI = +LI  $\cap$  -ST), для "+LI" (+SI = +LI). Указанным путем можно спрогнозировать динамику любого канала...

Growth of **SI** activity leads to -ST and +LI (fig.17.1.5). In this case, Matrix connections indicate the ways of biophysical transformation of the channels. For "-ST" (+SI = +LI  $\cap$  -ST), for "+LI" (+SI = +LI). In this way we can predict the activity of any of the introduced channels...

Рост активности **LU** ведет к угнетению акупунктурных каналов KI-LR (рис.17.1.6). В данном случае Матричные связи указывают пути биофизической трансформации каналов. Для "-KI" (+LU = +PC-KI), для "-LR" (+LU = -LR). Указанным путем можно спрогнозировать динамику любого канала...

Growth of **LU** activity leads to oppression of the acupuncture channels KI-LR (fig. 17.1.6). In this case, Matrix connections indicate the ways of biophysical transformation of the channels. For "-KI" (+LU = +PC-KI), for "-LR" (+LU = -LR). In this way we can predict the activity of any of the introduced channels...

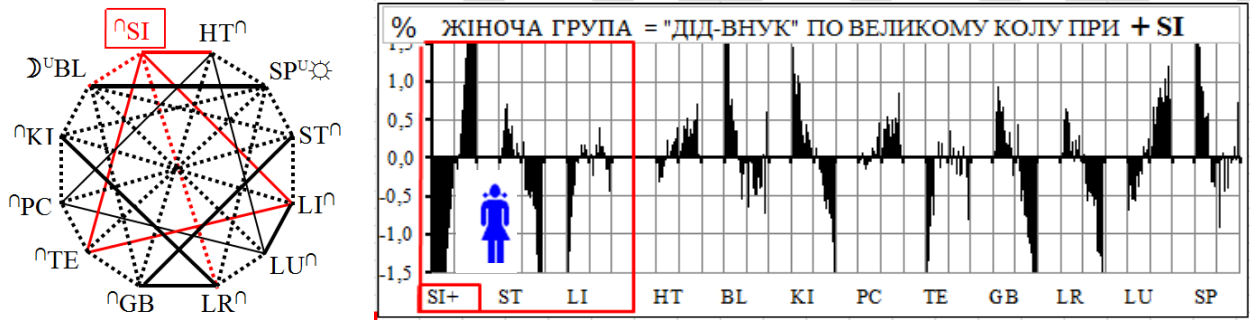


Рис. 17.1.5 Матричная идентификация системной зависимости (Цикл ЗВЕЗДА) при **+SI**  
 Fig. 17.1.5 Matrix identification of systemic dependency (STAR Cycle) under **+SI**

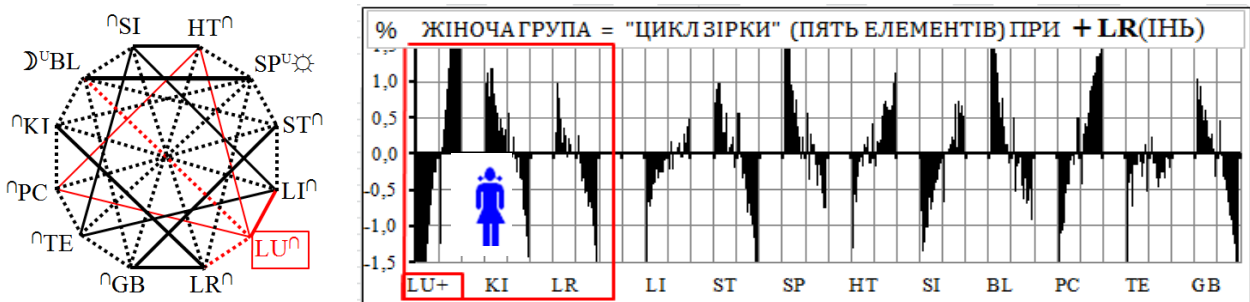


Рис. 17.1.6 Матричная идентификация системной зависимости (Цикл ЗВЕЗДА) при **+LU**  
 Fig. 17.1.6 Matrix identification of systemic dependency (STAR Cycle) under **+LU**

Рост активности **PC** ведет к  $-SP$  и  $+LU$  (рис.17.1.7). В данном случае Матричные связи указывают пути биофизической трансформации каналов. Для " $-SP$ " ( $+PC = +HT-SP$ ), для " $+LU$ " ( $+PC = +LU$ ). Указанным путем можно спрогнозировать динамику любого канала...

Growth of **PC** activity leads to  $-SP$  and  $+LU$  (fig.17.1.7). In this case, Matrix connections indicate the ways of biophysical transformation of the channels. For " $-SP$ " ( $+PC = +HT-SP$ ), for " $+LU$ " ( $+PC = +LU$ ).

In this way we can predict the activity of any of the introduced channels...

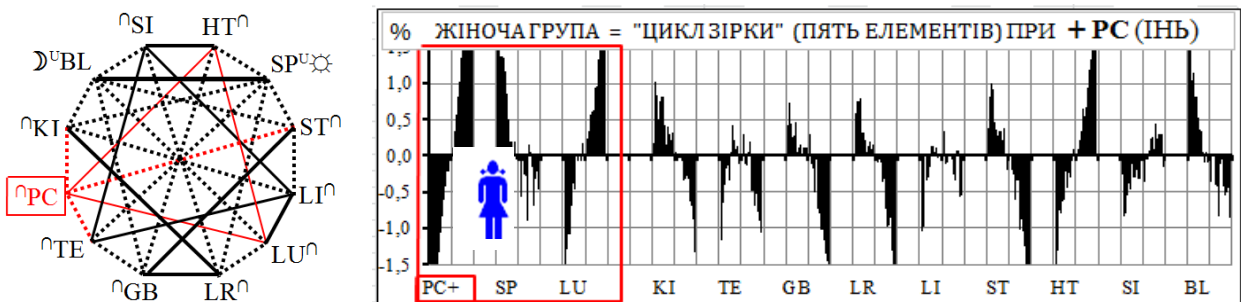


Рис. 17.1.7 Матричная идентификация системной зависимости (Цикл ЗВЕЗДА) при **+PC**  
 Fig. 17.1.7 Matrix identification of systemic dependency (STAR Cycle) under **+PC**

Рост активности **HT** ведет к  $U-SP$  и  $+LU$  (рис.17.1.8). В данном случае Матричные связи указывают пути биофизической трансформации каналов. Для " $U-SP$ " ( $+HT = -SP$ ), для " $+LU$ " ( $+HT = +LU$ ). Указанным путем можно прогнозировать динамику любого канала...

Growth of **HT** activity leads to  $U-SP$  and  $+LU$  (fig.17.1.8). In this case, Matrix connections indicate the ways of biophysical transformation of the channels. For " $U-SP$ " ( $+HT = -SP$ ), for " $+LU$ " ( $+HT = +LU$ ). In this way we can predict the activity of any of the introduced channels...

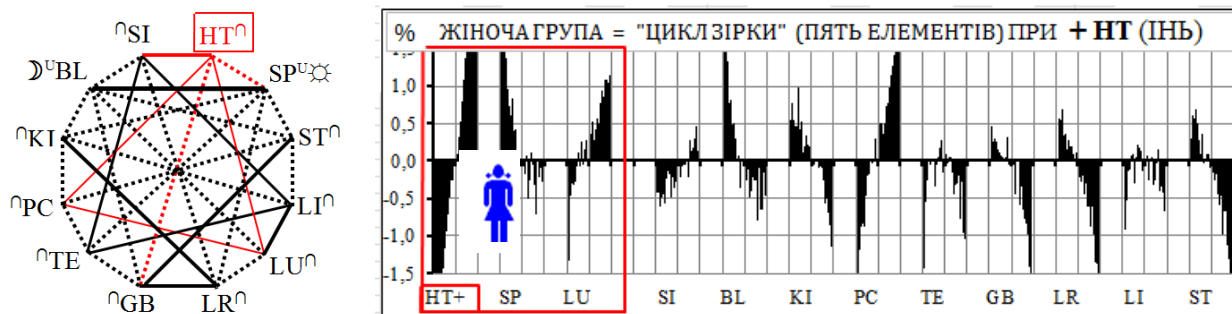


Рис. 17.1.8 Матричная идентификация системной зависимости (Цикл ЗВЕЗДА) при **+HT**  
 Fig. 17.1.8 Matrix identification of systemic dependency (STAR Cycle) under **+HT**

Рост активности **ST** ведет к угнетению акупунктурных каналов **LI-BL** (рис.17.1.9). В данном случае Матричные связи указывают пути биофизической трансформации каналов. Для "-LI" (+ ST = -LI), для "-BL" (+ ST = -BL). Указанным путем можно спрогнозировать динамику любого канала...

Growth of **ST** activity leads to oppression of the acupuncture channels **LI-BL** (fig. 17.1.9). In this case, Matrix connections indicate the ways of biophysical transformation of the channels. For "-LI" (+ST=-LI), for "-BL" (+ST=-BL). In this way we can predict the activity of any of the introduced channels...

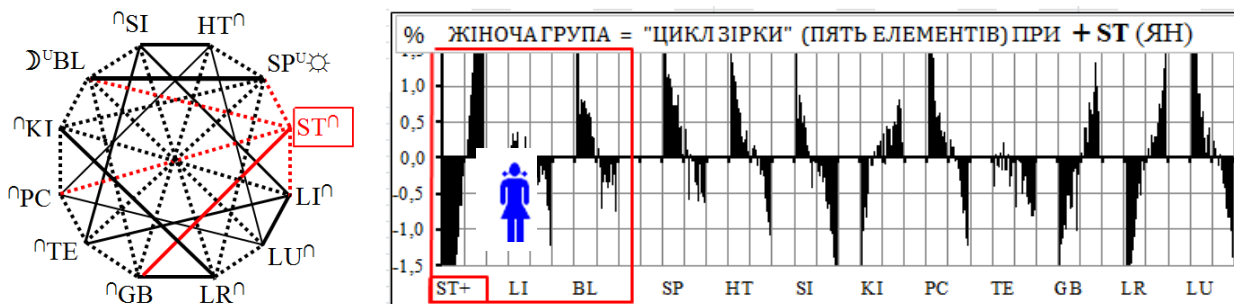


Рис. 17.1.9 Матричная идентификация системной зависимости (Цикл ЗВЕЗДА) при **+ST**  
 Fig. 17.1.9 Matrix identification of systemic dependency (STAR Cycle) under **+ST**

Рост активности **GB** ведет к -SI и +ST (рис.17.1.10). В данном случае Матричные связи указывают пути биофизической трансформации каналов. Для "-SI" (+ GB = +LR-SI), для "+ST" (+ GB = +ST). Указанным путем можно спрогнозировать динамику любого канала...

Growth of **GB** activity leads to -SI and +ST (fig.17.1.10). In this case, Matrix connections indicate the ways of biophysical transformation of the channels. For "-SI" (+GB=+LR-SI), for "+ST" (+GB=+ST). In this way we can predict the activity of any of the introduced channels...

Рост активности **GB** ведет к  $\cap$ -TE и +ST (рис.17.1.11). В данном случае Матричные связи указывают пути биофизической трансформации каналов. Для " $\cap$ -TE" (+ GB =  $\cap$ -TE), для "+ST" (+ GB = +ST). Указанным путем можно спрогнозировать динамику любого канала...

Growth of **GB** activity leads to  $\cap$ -TE and +ST (fig.17.1.11). In this case, Matrix connections indicate the ways of biophysical transformation of the channels. For " $\cap$ -TE" (+GB=  $\cap$ -TE), for "+ST" (+GB=+ST). In this way we can predict the activity of any of the introduced channels...

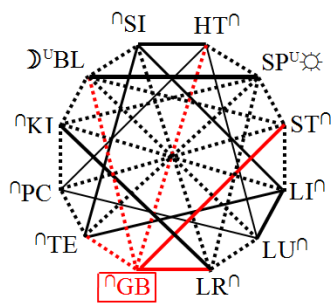


Рис.17.1.10 Матричная идентификация системной зависимости (Цикл ЗВЕЗДА) при **+GB**  
 Fig. 17.1.10 Matrix identification of systemic dependency (STAR Cycle) under **+GB**

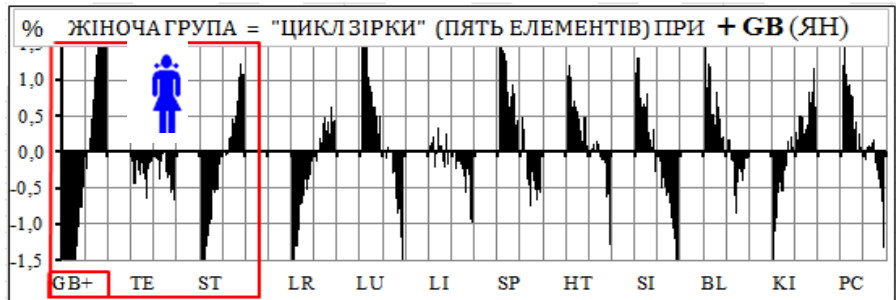
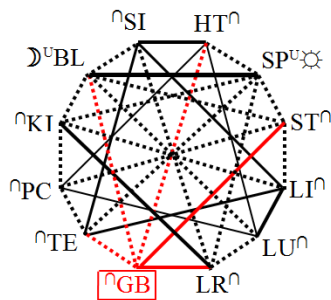


Рис.17.1.11 Матричная идентификация системной зависимости (Цикл ЗВЕЗДА) при **+GB**  
 Fig. 17.1.11 Matrix identification of systemic dependency (STAR Cycle) under **+GB**

Рост активности **KI** ведет к **+LR** и **-HT** (рис.17.1.12). В данном случае Матричные связи указывают пути биофизической трансформации каналов. Для "+LR" ( $+KI = +LR$ ), для "-HT" ( $+KI = -PC-HT$ ). Указанным путем можно спрогнозировать динамику любого канала...

Growth of **KI** activity leads to **+LR** and **-HT** (fig.17.1.12). In this case, Matrix connections indicate the ways of biophysical transformation of the channels. For "+LR" ( $+KI = +LR$ ), for "-HT" ( $+KI = -PC-HT$ ). In this way we can predict the activity of any of the introduced channels...

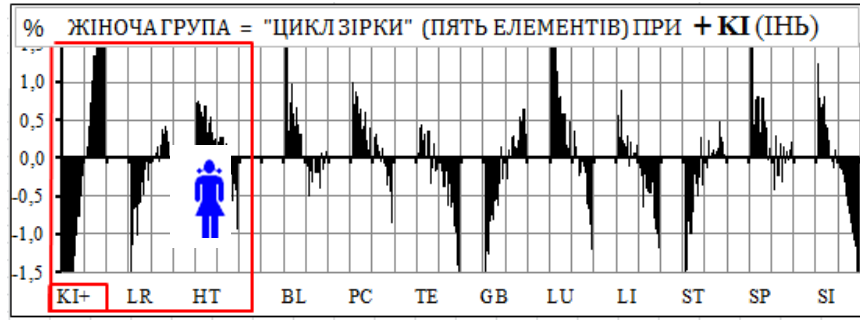
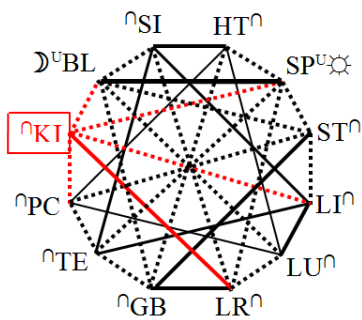


Рис. 17.1.12 Матричная идентификация системной зависимости (Цикл ЗВЕЗДА) при **+KI**  
 Fig. 17.1.12 Matrix identification of systemic dependency (STAR Cycle) under **+KI**

Рост активности **KI** ведет к **+LR** и **-PC** (рис.17.1.13). В данном случае Матричные связи указывают пути биофизической трансформации каналов. Для "+LR" ( $+KI = +LR$ ), для "-PC" ( $+KI = -PC$ ). Указанным путем можно спрогнозировать динамику любого канала...

Growth of **KI** activity leads to **+LR** and **-PC** (fig.17.1.13). In this case, Matrix connections indicate the ways of biophysical transformation of the channels. For "+LR" ( $+KI = +LR$ ), for "-PC" ( $+KI = -PC$ ). In this way we can predict the activity of any of the introduced channels...

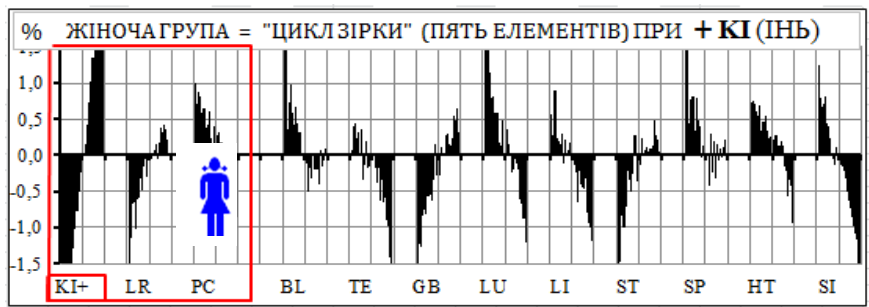
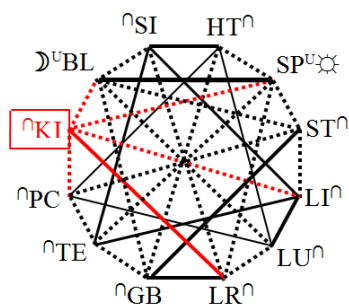


Рис. 17.1.13 Матричная идентификация системной зависимости (Цикл ЗВЕЗДА) при **+KI**  
 Fig. 17.1.13 Matrix identification of systemic dependency (STAR Cycle) under **+KI**

Рост активности **LR** ведет к угнетению акупунктурных каналов **HT-SP** (рис.17.1.14). В данном случае Матричные связи указывают пути биофизической трансформации каналов. Для "-HT" (+LR = +GB-HT), для "-SP" (+LR = -SP). Указанным путем можно спрогнозировать динамику любого канала...

Growth of **LR** activity leads to oppression of the acupuncture channels **HT-SP** (fig. 17.1.14). In this case, Matrix connections indicate the ways of biophysical transformation of the channels. For "-HT" (+LR= +GB-HT), for "-SP" (+LR= -SP). In this way we can predict the activity of any of the introduced channels...

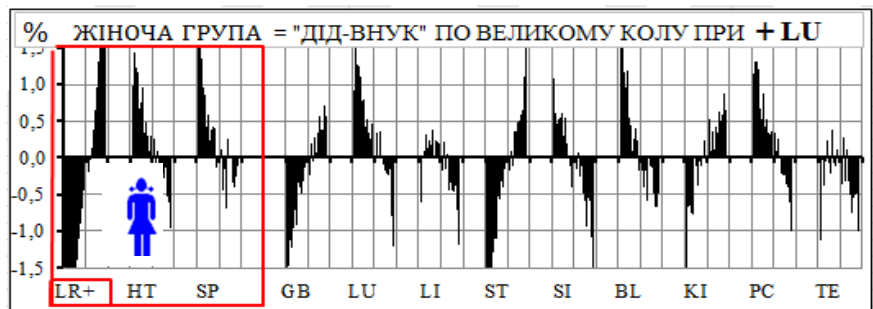
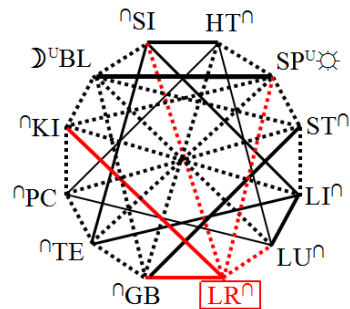


Рис.17.1.14 Матричная идентификация системной зависимости (Цикл ЗВЕЗДА) при **+LR**  
 Fig. 17.1.14 Matrix identification of systemic dependency (STAR Cycle) under **+LR**

Рост активности **LR** ведет к угнетению акупунктурных каналов **PC-SP** (рис.17.1.15). В данном случае Матричные связи указывают пути биофизической трансформации каналов. Для "-PC" (+LR = -LU-PC), для "-SP" (+LR = -SP). Указанным путем можно спрогнозировать динамику любого канала...

Growth of **LR** activity leads to oppression of the acupuncture channels **PC-SP** (fig. 17.1.15). In this case, Matrix connections indicate the ways of biophysical transformation of the channels. For "-PC" (+LR= -LU-PC), for "-SP" (+LR= -SP). In this way we can predict the activity of any of the introduced channels ...

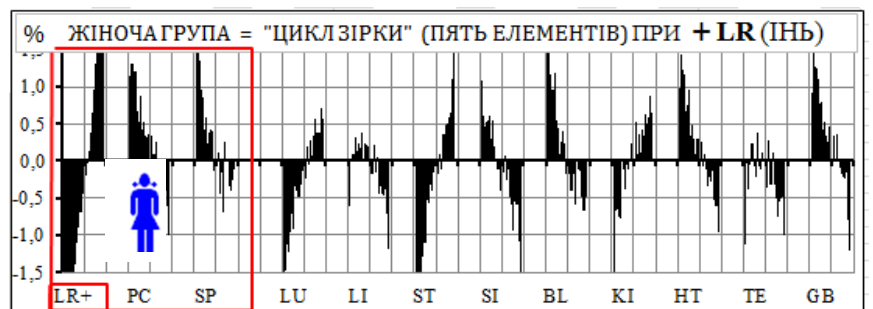
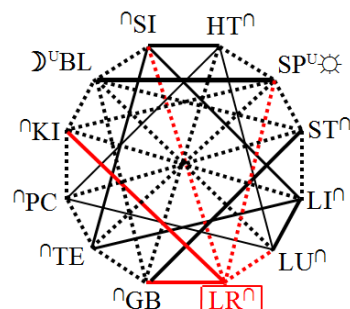


Рис.17.1.15 Матричная идентификация системной зависимости (Цикл ЗВЕЗДА) при **+LR**  
 Fig. 17.1.15 Matrix identification of systemic dependency (STAR Cycle) under **+LR**

## ВЫВОДЫ

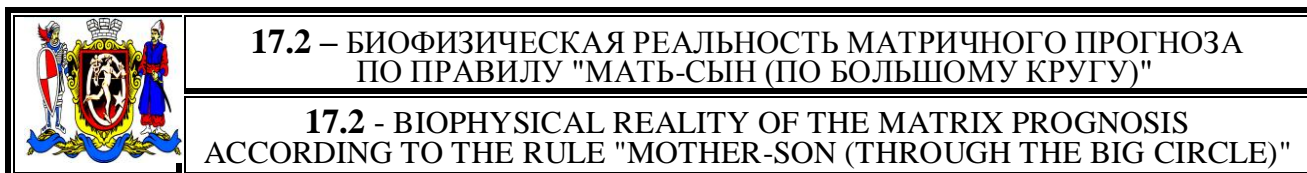
1. Матричная экспертиза системной биофизической зависимости по правилам цикла "ЗВЕЗДА" подтверждает экспериментальные данные и структурную логичность "вегетативной матрицы Макац".

2. Обращает на себя внимание функциональная универсальность Матрицы.

## CONCLUSION.

1. Matrix examination of systemic biophysical dependency on the basis of the rules of the cycle of "STAR" confirms experimental data and structural consistency "Makats's autonomic matrix".

2. The introduced Matrix is functionally universal.



Матричная экспертиза теоретических положений по правилу МАТЬ-СЫН (по Большому кругу) свидетельствует о полном соответствии графологической структуры Матрицы с биофизической реальностью системной зависимости.

Рассмотрим проблему на отдельных примерах.

Рост активности **BL** ведет к угнетению **SI** и **KI** (рис.17.2.1). В данном случае Матричные связи указывают пути биофизической трансформации каналов. Для "-SI" (+ BL = -SI), для "-KI" (+ BL = -KI). Указанным путем можно спрогнозировать динамику любого канала...

Рост активности **SP** ведет к -ST и -HT (рис.17.2.2). В данном случае Матричные связи указывают пути биофизической трансформации каналов. Для "-ST" (+ SP = -ST), для "-HT" (+ SP = -HT). Указанным путем можно спрогнозировать динамику любого канала...

Matrix examination of theoretical propositions according to the rule MOTHER-SON (through the Big circle) indicates complete compliance of biophysical reality with the graphological structure of the Matrix. Let us observe the issue on separate examples.

Growth of **BL** activity leads to -SI and -KI (fig.17.2.1). In this case, Matrix connections indicate the ways of biophysical transformation of the channels. For "-SI" (+BL=SI), for "-KI" (+BL=-KI). In this way we can predict the activity of any of the introduced channels...

Growth of **SP** activity leads to -ST and -HT (fig.17.2.2). In this case, Matrix connections indicate the ways of biophysical transformation of the channels. For "-ST" (+SP=-ST), for "-HT" (+SP=-HT).

In this way we can predict the activity of any of the introduced channels...

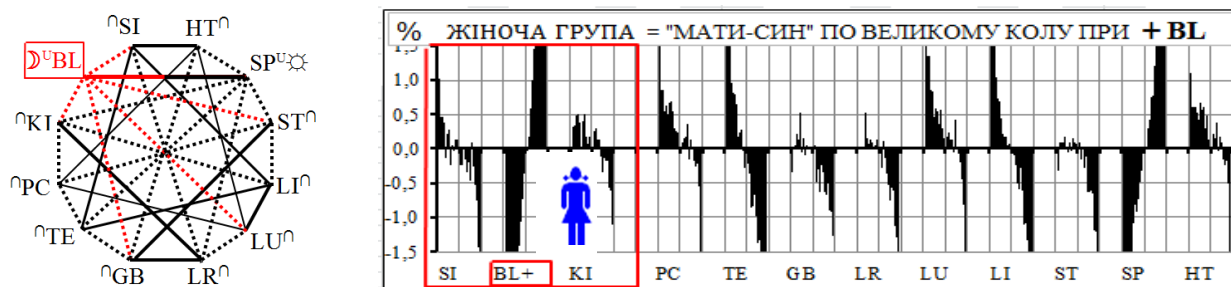


Рис.17.2.1 Матричная идентификация системной зависимости (МАТЬ-СЫН) при +BL  
Fig.17.2.1 Matrix identification of systemic dependency (MOTHER-SON) under +BL

Рост активности **SP** ведет к  $-ST$  и  $-HT$  (рис.17.2.2). В данном случае Матричные связи указывают пути биофизической трансформации каналов. Для " $-ST$ " ( $+ SP = -ST$ ), для " $-HT$ " ( $+ SP = -HT$ ). Указанным путем можно спрогнозировать динамику любого канала...

Growth of **SP** activity leads to  $-ST$  and  $-HT$  (fig.17.2.2). In this case, Matrix connections indicate the ways of biophysical transformation of the channels. For " $-ST$ " ( $+SP = -ST$ ), for " $-HT$ " ( $+SP = -HT$ ). In this way we can predict the activity of any of the introduced channels...

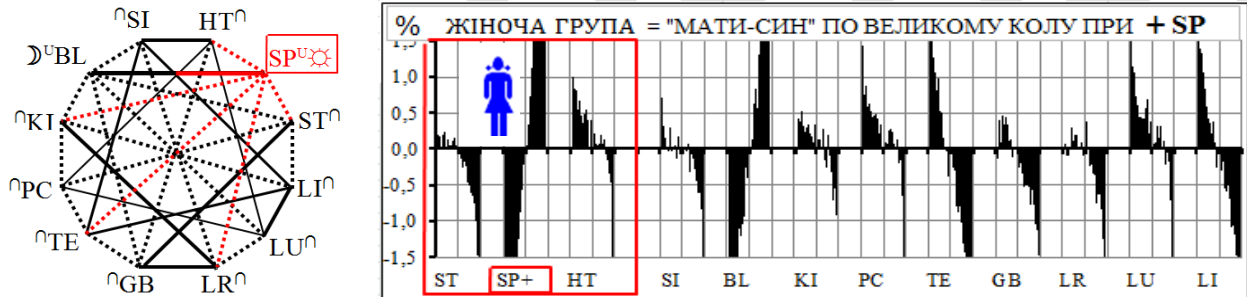


Рис.17.2.2 Матричная идентификация системной зависимости (МАТЬ-СЫН) при  $+ SP$   
Fig.17.2.2 Matrix identification of systemic dependency (MOTHER-SON) under  $+SP$

Рост активности **LI** ведет к  $+LU$  и  $\cap-ST$  (рис.17.2.3). В данном случае Матричные связи указывают пути биофизической трансформации каналов. Для " $+LU$ " ( $+ LI = +LU$ ), для " $\cap-ST$ "  $ST (+LI = -ST)$ . Указанным путем можно спрогнозировать динамику любого канала...

Growth of **LI** activity leads to  $+LU$  and  $\cap-ST$  (fig.17.2.3). In this case, Matrix connections indicate the ways of biophysical transformation of the channels. For " $+LU$ " ( $+LI = +LU$ ), for " $\cap-ST$ "  $ST (+LI = -ST)$ . In this way we can predict the activity of any of the introduced channels...

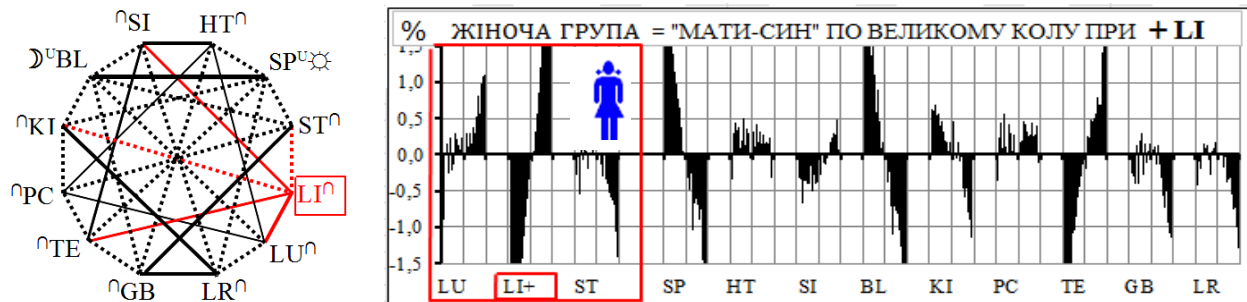


Рис.17.2.3 Матричная идентификация системной зависимости (МАТЬ-СЫН) при  $+ LI$   
Fig.17.2.3 Matrix identification of systemic dependency (MOTHER-SON) under  $+LI$

Рост активности **TE** ведет к  $-PC$  и  $\cap-GB$  (рис.17.2.4). В данном случае Матричные связи указывают пути биофизической трансформации каналов. Для " $-PC$ " ( $+ TE = -PC$ ), для " $\cap-GB$ " ( $+ TE = \cap GB$ ). Указанным путем можно спрогнозировать динамику любого канала...

Growth of **TE** activity leads to  $-PC$  and  $\cap-GB$  (fig.17.2.4). In this case, Matrix connections indicate the ways of biophysical transformation of the channels. For " $-PC$ " ( $+TE = -PC$ ), for " $\cap-GB$ " ( $+TE = \cap GB$ ). In this way we can predict the activity of any of the introduced channels ...

Рост активности **SI** ведет к  $+HT$  и  $\cup-BL$  (рис.17.2.5). В данном случае Матричные связи указывают пути биофизи-

Growth of **SI** activity leads to  $+HT$  and  $\cup-BL$  (fig.17.2.5). In this case, Matrix connections indicate the ways of биофизи-

ческой трансформации каналов. для "+HT" (+SI = +HT), для "Y-BL" (+SI = -BL). Указанным путем можно спрогнозировать динамику любого канала...

cal transformation of the channels. For "+HT" (+SI= +HT), for "Y-BL" (+SI= -BL). In this way we can predict the activity of any of the introduced channels...

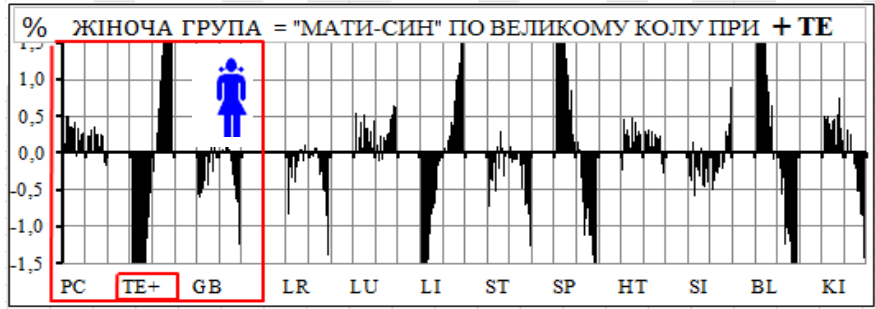
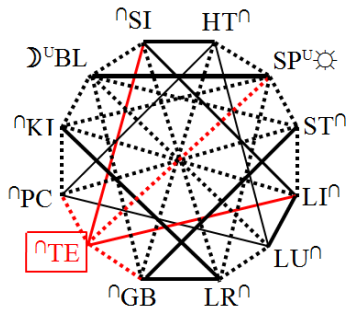


Рис.17.2.4 Матричная идентификация системной зависимости (МАТЬ-СЫН) при +TE  
Fig.17.2.4 Matrix identification of systemic dependency (MOTHER-SON) under +TE

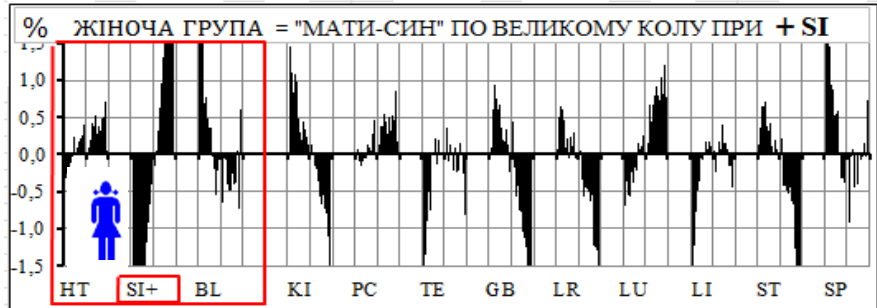
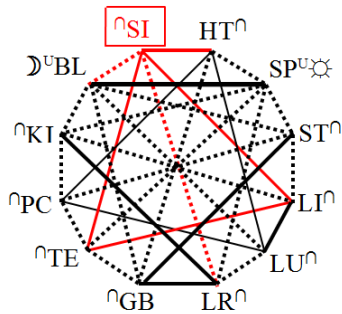


Рис.17.2.5 Матричная идентификация системной зависимости (МАТЬ-СЫН) при +SI  
Fig.17.2.5 Matrix identification of systemic dependency (MOTHER-SON) under +SI

Рост активности LU ведет к -LR и +LI (рис.17.2.6). В данном случае Матричные связи указывают пути биофизической трансформации каналов. Для "-LR" (+LU = -LR), для "+LI" (+LU = +LI). Указанным путем можно спрогнозировать динамику любого канала...

Growth of LU activity leads to -LR and +LI (fig.17.2.6). In this case, Matrix connections indicate the ways of biophysical transformation of the channels. For "-LR" (+LU= -LR), for "+LI" (+LU= +LI).

In this way we can predict the activity of any of the introduced channels...

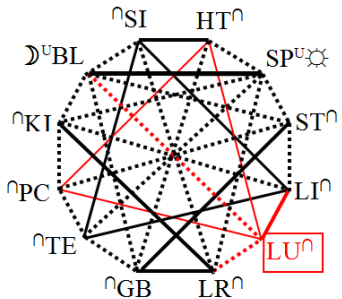


Рис.17.2.6 Матричная идентификация системной зависимости (МАТЬ-СЫН) при +LU  
Fig.17.2.6 Matrix identification of systemic dependency (MOTHER-SON) under +LU

Рост активности PC ведет к -KI и -TE (рис.17.2.7). В данном случае Мат-

Growth of PC activity leads to -KI and -TE (fig.17.2.7). In this case, Mat-



ричные связи указывают пути биофизической трансформации каналов. для "-KI" (+PC = -KI), для "∩-TE" (+PC = ∩TE). Указанным путем можно спрогнозировать динамику любого канала...

connections indicate the ways of biophysical transformation of the channels. For "-KI" (+PC = -KI), for "∩-TE" (+PC = ∩TE). In this way we can predict the activity of any of the introduced channels...

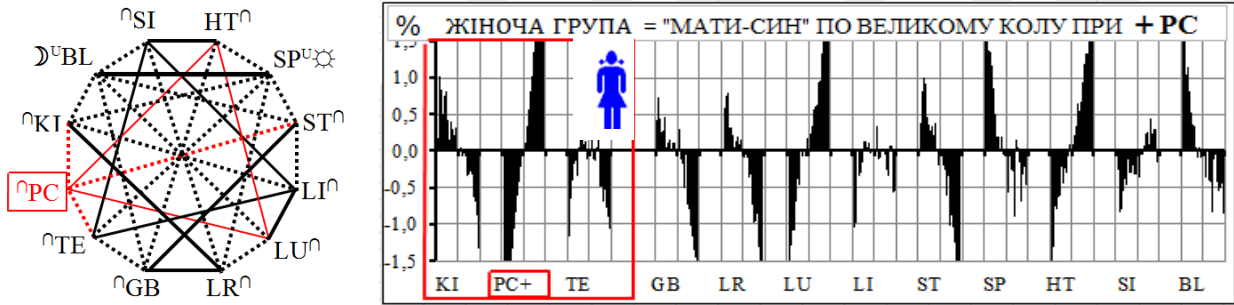


Рис.17.2.7 Матричная идентификация системной зависимости (МАТЬ-СЫН) при +PC  
Fig.17.2.7 Matrix identification of systemic dependency (MOTHER-SON) under +PC

Рост активности HT ведет к ∩-SP и +SI (рис.17.2.8). В данном случае Матричные связи указывают пути биофизической трансформации каналов. для "∩-SP" (+HT = ∩-SP), для "+SI" (+HT = +SI) .. Указанным путем можно спрогнозировать динамику любого канала...

Growth of HT activity leads to ∩-SP and +SI (fig.17.2.8). In this case, Matrix connections indicate the ways of biophysical transformation of the channels. For "∩-SP" (+HT = ∩-SP), for "+SI" (+HT = +SI). In this way we can predict the activity of any of the introduced channels...

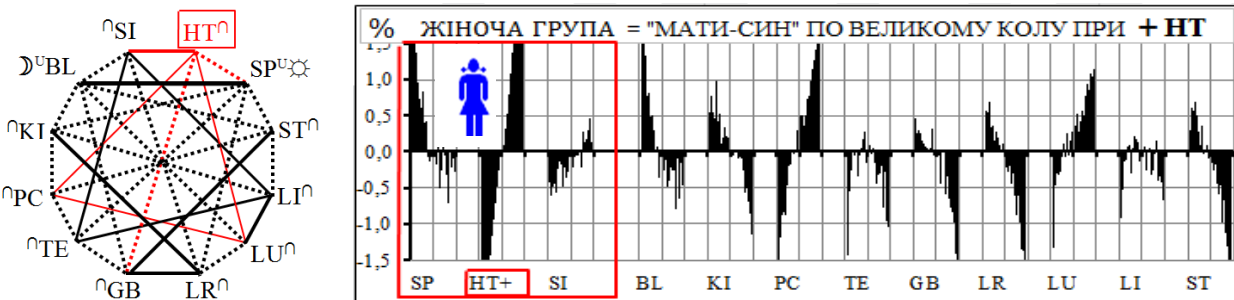


Рис.17.2.8 Матричная идентификация системной зависимости (МАТЬ-СЫН) при +HT  
Fig.17.2.8 Matrix identification of systemic dependency (MOTHER-SON) under +HT

Рост активности ST ведет к -LI и -SP (рис.17.2.9). В данном случае Матричные связи указывают пути биофизической трансформации каналов. для "-LI" (+ST = -LI), для "-SP" (+ST = -SP). Указанным путем можно спрогнозировать динамику любого канала...

Growth of ST activity leads to -LI and -SP (fig.17.2.9). In this case, Matrix connections indicate the ways of biophysical transformation of the channels. For "-LI" (+ST = -LI), for "-SP" (+ST = -SP). In this way we can predict the activity of any of the introduced channels ...

Рост активности GB ведет к ∩ + TE и +LR (рис.17.2.10). В данном случае Матричные связи указывают пути биофизической трансформации каналов. Для "+LR" (+GB = +LR), для "∩ +TE" (+GB = -TE). Указанным путем можно

Growth of GB activity leads to ∩ +TE and +LR (fig.17.2.10). In this case, Matrix connections indicate the ways of biophysical transformation of the channels. For "+LR" (+GB = +LR), for "∩ +TE" (+GB = -TE). In this way we can predict the activity

спрогнозировать динамику любого канала...

of any of the introduced channels ...

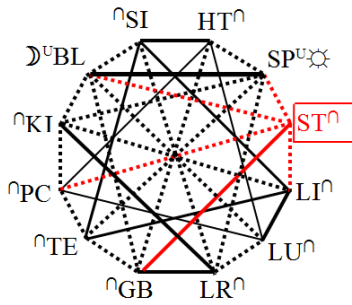


Рис.17.2.9 Матричная идентификация системной зависимости (МАТЬ-СЫН) при + ST  
Fig.17.2.9 Matrix identification of systemic dependency (MOTHER-SON) under +ST

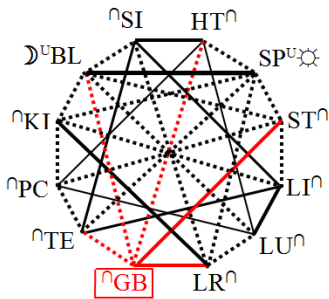


Рис.17.2.10 Матричная идентификация системной зависимости (МАТЬ-СЫН) при +GB  
Fig.17.2.10 Matrix identification of systemic dependency (MOTHER-SON) under +GB

Рост активности **KI** ведет к  $\cup$ -BL и -PC (рис.17.2.11). В данном случае Матричные связи указывают пути биофизической трансформации каналов. для " $\cup$ -BL" (+ KI =  $\cup$ -BL), для "-PC" (+ KI = -PC). Указанным путем можно спрогнозировать динамику любого канала...

Growth of **KI** activity leads to  $\cup$ -BL and -PC (fig.17.2.11). In this case, Matrix connections indicate the ways of biophysical transformation of the channels. For " $\cup$ -BL" (+KI=  $\cup$ -BL), for "-PC" (+KI= -PC). In this way we can predict the activity of any of the introduced channels...

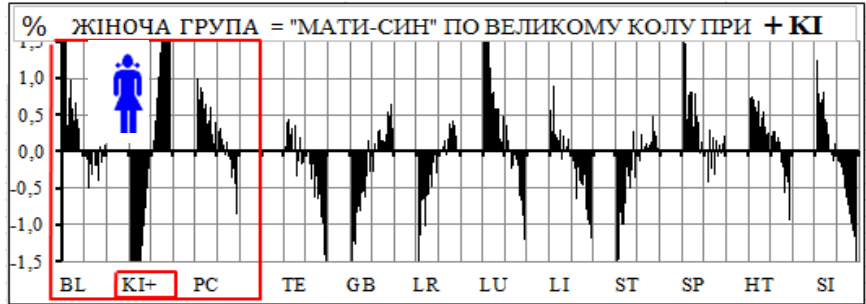
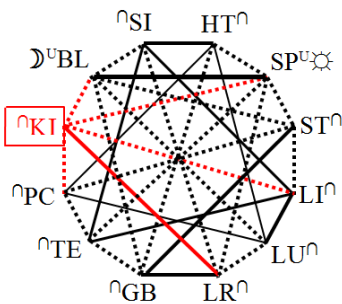


Рис.17.2.11 Матричная идентификация системной зависимости (МАТЬ-СЫН) при + KI  
Fig.17.2.11 Matrix identification of systemic dependency (MOTHER-SON) under +KI

Рост активности **LR** ведет к + GB и -LU (рис.17.2.12). В данном случае Матричные связи указывают пути биофизической трансформации каналов. для "+ GB" (+ LR = + GB), для "-LU" (+ LR = + SP-LU). Указанным путем можно

Growth of **LR** activity leads to +GB and -LU (fig.17.2.12). In this case, Matrix connections indicate the ways of biophysical transformation of the channels. For "+GB" (+LR= +GB), for "-LU" (+LR= +SP-LU). In this way we can predict the

спрогнозировать динамику любого канала...

activity of any of the introduced channels...

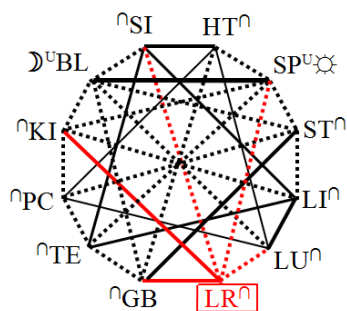


Рис.17.2.12 Матричная идентификация системной зависимости (МАТЬ-СЫН) при +LR  
Fig.17.2.12 Matrix identification of systemic dependency (MOTHER-SON) under +LR

### ВЫВОДЫ.

1. Матричный прогноз системной зависимости по правилу "МАТЬ-СЫН (по большому кругу)" биофизически подтверждён, что указывает на структурную логичность "вегетативной матрицы Макац".

2. Обращает на себя внимание функциональная универсальность Матрицы.

### CONCLUSION.

1. Matrix examination of the systemic biophysical dependency according to the rule "Mother-Son (through the big circle)" confirms experimental data and structural consistency of "Makats's autonomic matrix."

2. The Matrix is functionally universal.



### 17.3 – БИОФИЗИЧЕСКАЯ РЕАЛЬНОСТЬ МАТРИЧНОГО ПРОГНОЗА ПО ПРАВИЛУ "ДЕД-ВНУК (ОТЕЦ-СЫН)"

### 17.3 - BIOPHYSICAL REALITY OF THE MATRIX PROGNOSIS ACCORDING TO THE RULE "GRANDFATHER-GRANDSON"

Матричная экспертиза теоретических положений по правилу "ДЕД-ВНУК (ОТЕЦ-СЫН)" свидетельствует о полном соответствии биофизической реальности с Графологической структурой Матрицы. Рассмотрим проблему на отдельных примерах.

Рост активности **BL** ведет к угнетению акупунктурных каналов **GB-SI** (рис.17.3.1). В данном случае Матричные связи указывают пути биофизической трансформации каналов. Для "-GB" (+ BL = -GB), для "-SI" (+ BL = -SI). Указанным путем можно спрогнозировать динамику любого канала...

Рост активности **SP** ведет к угнетению акупунктурных каналов **LU-KI** (рис.17.3.2). В данном случае Матричные связи указывают пути биофизической

Matrix examination of theoretical provisions according to the rule "GRANDFATHER-GRAND-SON (FATHER-SON)" indicates complete compliance of biophysical reality with the graphological structure of the Matrix. Let us observe the issue on separate examples..

Growth of **BL** activity leads to oppression of the acupuncture channels **GB-SI** (fig. 17.3.1). In this case, Matrix connections indicate the ways of biophysical transformation of the channels. For "-GB" (+BL=-GB), for "-SI" (+BL=-SI). In this way we can predict the activity of any of the introduced channels ...

Growth of **SP** activity leads to oppression of the acupuncture channels **LU-KI** (fig.17.3.2). In this case, Matrix connections indicate the ways of biophysical

ской трансформации каналов. Для "-LU" (+ SP = -HT-LU), для "-KI" (+ SP = -KI). Указанным путем можно спрогнозировать динамику любого канала...

transformation of the channels. For "-GB" (+BL=-GB), for "-SI" (+BL=-SI). In this way we can predict the activity of any of the introduced channels ...

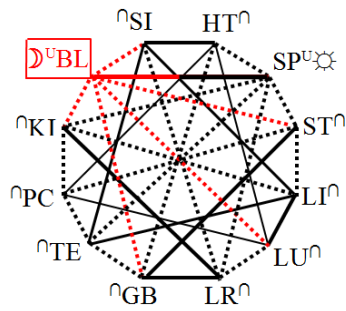


Рис.17.3.1 Матричная идентификация системной зависимости (ДЕД-ВНУК) при + BL  
Fig.17.3. Matrix identification system dependencies "GRANDFATHER-GRANDSON" at +BL

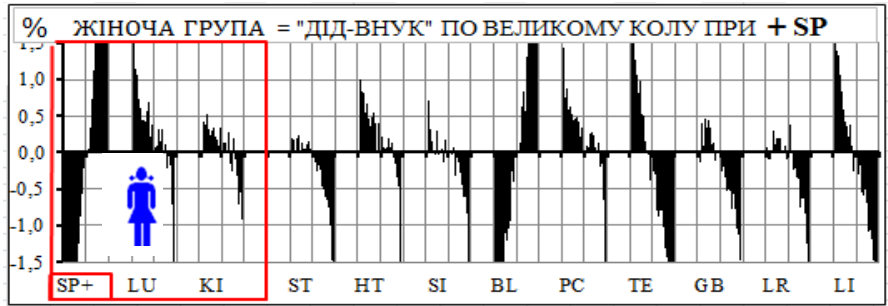
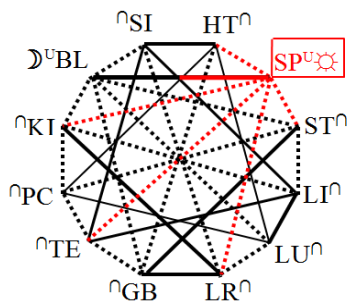


Рис.17.3.2 Матричная идентификация системной зависимости (ДЕД-ВНУК) при + SP  
Fig.17.3.2 Matrix identification system dependencies "GRANDFATHER-GRANDSON" at +SP

Рост активности **LI** ведет к подавлению акупунктурных каналов BL-GB (рис.17.3.3). В данном случае Матричные связи указывают пути биофизической трансформации каналов. Для "-BL" (+ LI = -BL), для "GB" (+ LI = + TE GB). Указанным путем можно спрогнозировать динамику любого канала...

Growth of **LI** activity leads to oppression of the acupuncture channels BL-GB (fig. 17.3.3). In this case, Matrix connections indicate the ways of biophysical transformation of the channels. For "-BL" (+LI= -BL), for "GB" (+LI= +TE GB). In this way we can predict the activity of any of the introduced channels.....

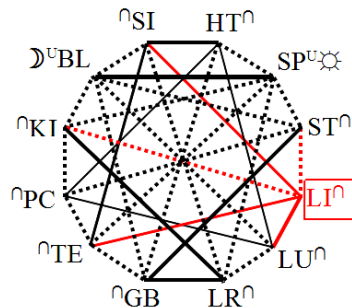


Рис.17.3.3 Матричная идентификация системной зависимости (ДЕД-ВНУК) при + LI  
Fig.17.3.3 Matrix identification system dependencies "GRANDFATHER-GRANDSON" at +LI

Рост активности **TE** ведет к + ST и + LI (рис.17.3.4). В данном случае Мат-

Growth of **TE** activity leads to +ST and +LI (fig.17.3.4). In this case, Мат-

ричные связи указывают пути биофизической трансформации каналов. для " $\cap + ST$ " ( $+ TE = -PC \cap + ST$ ), для "+ LI" ( $+ TE = + LI$ ). Указанным путем можно спрогнозировать динамику любого канала...

connections indicate the ways of biophysical transformation of the channels. For " $\cap + ST$ " ( $+ TE = -PC \cap + ST$ ), for "+ LI" ( $+ TE = + LI$ ). In this way we can predict the activity of any of the introduced channels...

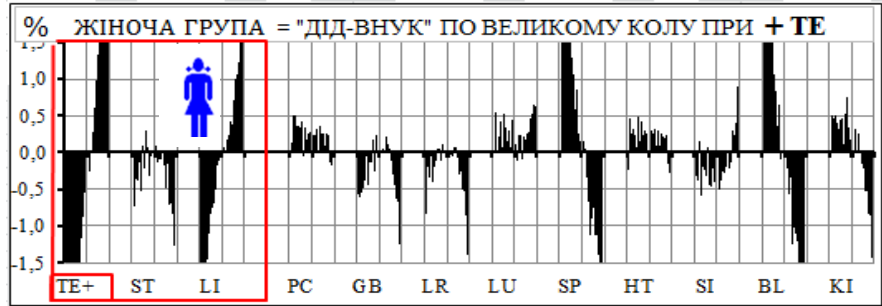
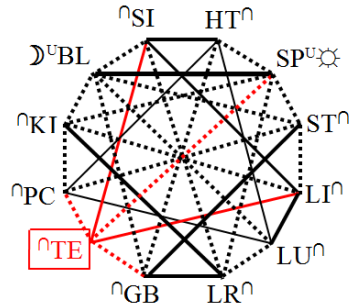


Рис.17.3.4 Матричная идентификация системной зависимости (ДЕД-ВНУК) при + TE  
Fig.17.3.4 Matrix identification system dependencies "GRANDFATHER-GRANDSON" at + TE

Рост активности SI ведет к -ST и  $\cap + LI$  (рис.17.3.5). В данном случае Матричные связи указывают пути биофизической трансформации каналов. Для "-ST" ( $+ SI = + LI - ST$ ), для " $\cap + LI$ " ( $+ SI = \cap + LI$ ). Указанным путем можно спрогнозировать динамику любого канала...

Growth of SI activity leads to -ST and  $\cap + LI$  (fig.17.3.5). In this case, Matrix connections indicate the ways of biophysical transformation of the channels. For "-ST" ( $+ SI = + LI - ST$ ), for " $\cap + LI$ " ( $+ SI = \cap + LI$ ). In this way we can predict the activity of any of the introduced channels...

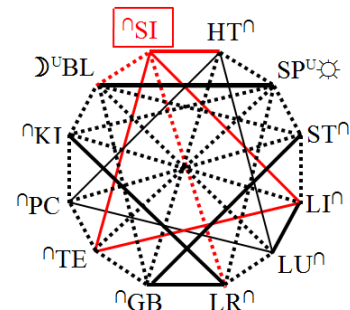


Рис.17.3.5 Матричная идентификация системной зависимости (ДЕД-ВНУК) при + SI  
Fig.17.3.5 Matrix identification system dependencies "GRANDFATHER-GRANDSON" at + SI

Рост активности LU ведет к угнетению KI и LR (рис.17.3.6). В данном случае Матричные связи указывают пути биофизической трансформации каналов. Для "-KI" ( $+ LU = + BL - KI$ ), для "-LR" ( $+ LU = -LR$ ). Указанным путем можно спрогнозировать динамику любого канала...

Growth of LU activity leads to -ST and -LR (fig.17.3.6). In this case, Matrix connections indicate the ways of biophysical transformation of the channels. For "-KI" ( $+ LU = + BL - KI$ ), for "-LR" ( $+ LU = -LR$ ). In this way we can predict the activity of any of the introduced channels ...

Рост активности PC ведет к  $\cup - SP$  и + LU (рис.17.3.7). В данном случае Матричные связи указывают пути биофизической трансформации каналов. для

Growth of PC activity leads to  $\cup - SP$  and +LU (fig.17.3.7). In this case, Matrix connections indicate the ways of biophysical transformation of the channels. For " $\cup - SP$ "

"U-SP" (+ PC = + HT U-SP), для "+ LU" (+PC= +HT U-SP), for "+LU" (+PC= +LU). Указанным путем можно спрогнозировать динамику любого канала...  
 (+ PC = + LU). In this way we can predict the activity of any of the introduced channels...

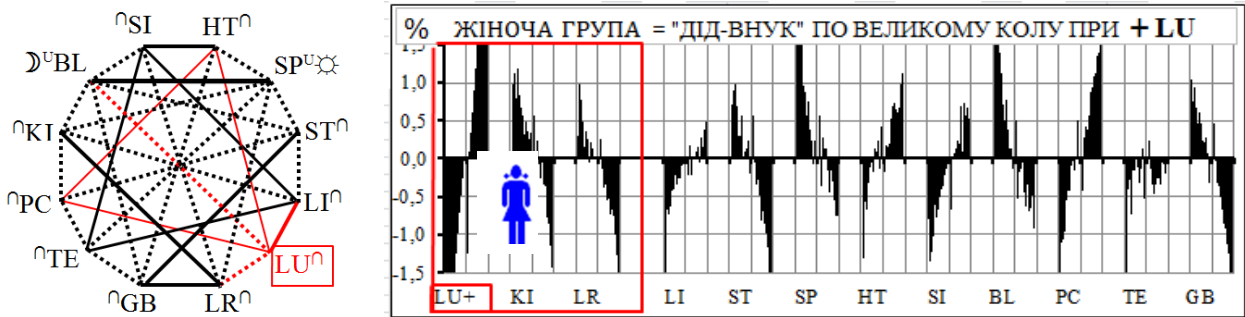


Рис.17.3.6 Матричная идентификация системной зависимости (ДЕД-ВНУК) при + LU  
 Fig.17.3.6 Matrix identification system dependencies "GRANDFATHER-GRANDSON" at + LU

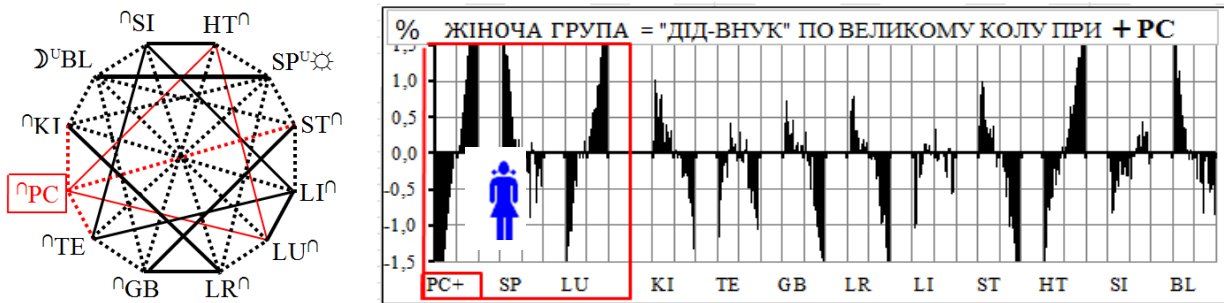


Рис.17.3.7 Матричная идентификация системной зависимости (ДЕД-ВНУК) при + PC  
 Fig.17.3.7 Matrix identification system dependencies "GRANDFATHER-GRANDSON" at + PC

Рост активности **HT** ведет к U-SP и + LU (рис.17.3.8). В данном случае Матричные связи указывают пути биофизической трансформации каналов. для "U-SP" (+ HT = U-SP), для "+ LU" (+ HT = + LU). Указанным путем можно спрогнозировать динамику любого канала...

Growth of **HT** activity leads to U-SP and +LU (fig.17.3.8). In this case, Matrix connections indicate the ways of biophysical transformation of the channels. For "U-SP" (+HT= U-SP), for "+LU" (+HT= +LU). In this way we can predict the activity of any of the introduced channels...

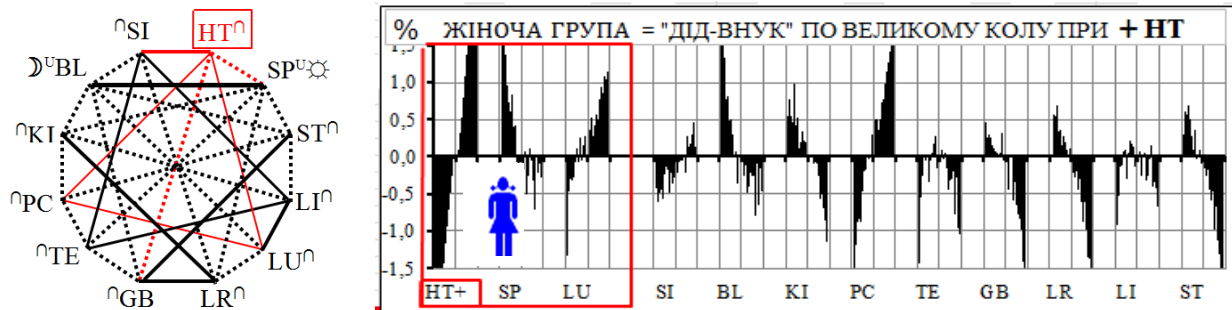


Рис.17.3.8 Матричная идентификация системной зависимости (ДЕД-ВНУК) при + HT  
 Fig.17.3.8 Matrix identification system dependencies "GRANDFATHER-GRANDSON" at + HT

Рост активности **ST** ведет к угнетению LI и BL (рис.17.3.9). В данном случае Матричные связи указывают пути

Growth of **ST** activity leads to -LI and -BL (fig.17.3.9). In this case, Matrix connections indicate the ways of biophysical

биофизической трансформации каналов. Для "-LI" (+ ST = -LI), для "-BL" (+ ST = -BL). Указанным путем можно спрогнозировать динамику любого канала...

transformation of the channels. For "-LI" (+ST= -LI), for "-BL" (+ST= -BL). In this way we can predict the activity of any of the introduced channels ...

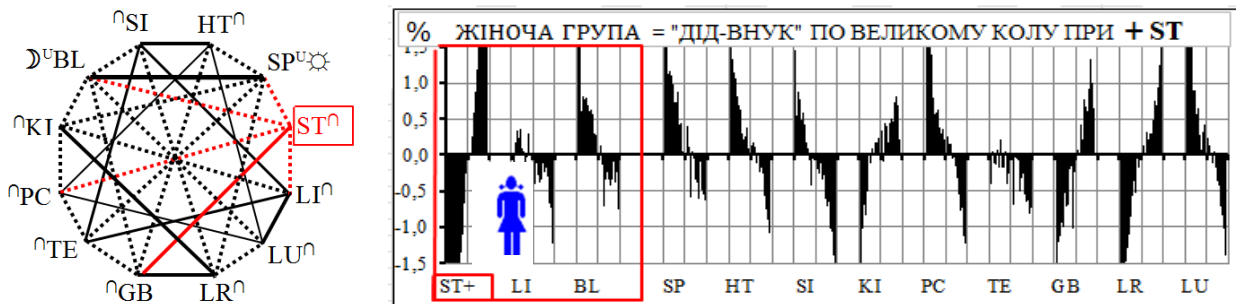


Рис.17.3.9 Матричная идентификация системной зависимости (ДЕД-ВНУК) при + ST  
Fig.17.3.9 Matrix identification system dependencies "GRANDFATHER-GRANDSON" at + ST

Рост активности **GB** ведет к -SI и + ST (рис.17.3.10). В данном случае Матричные связи указывают пути биофизической трансформации каналов. для "-SI" (+ GB = + LR-SI), для "+ ST" (+ GB = + ST). Указанным путем можно спрогнозировать динамику любого канала...

Growth of **GB** activity leads to -SI and +ST (fig.17.3.10). In this case, Matrix connections indicate the ways of biophysical transformation of the channels. For "-SI" (+GB= +LR-SI), for "+ST" (+GB= +ST). In this way we can predict the activity of any of the introduced channels...

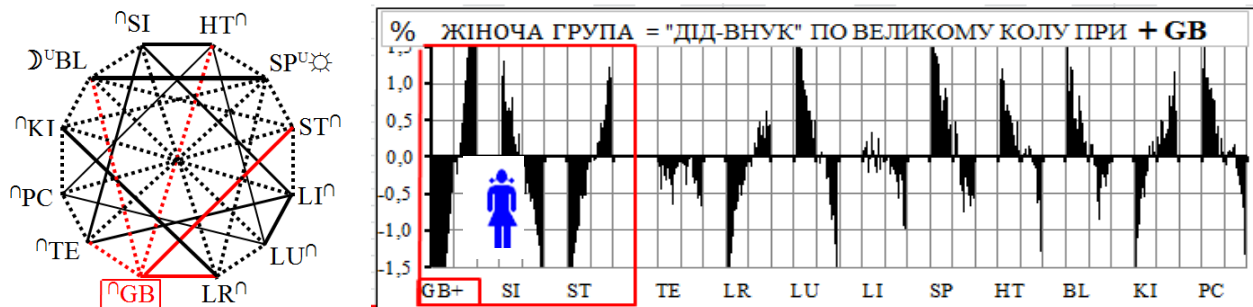


Рис.17.3.10 Матричная идентификация системной зависимости (ДЕД-ВНУК) при + GB  
Fig.17.3.10 Matrix identification system dependencies "GRANDFATHER-GRANDSON" at + GB

Рост активности **KI** ведет к + LR и - HT (рис.17.3.11). В данном случае Матричные связи указывают пути биофизической трансформации каналов. Для "+ LR" (+ KI = + LR), для "-HT" (+ KI = -PC-HT). Указанным путем можно спрогнозировать динамику любого канала...

Growth of **KI** activity leads to +LR and -HT (fig.17.3.11). In this case, Matrix connections indicate the ways of biophysical transformation of the channels. For "+LR" (+KI= +LR), for "-HT" (+KI= -PC-HT). In this way we can predict the activity of any of the introduced channels...

Рост активности **LR** ведет к -HT и - SP (рис.17.3.12). В данном случае Матричные связи указывают пути биофизической трансформации каналов. для "-HT" (+ LR = + GB-HT), для "-SP" (+ LR = -SP). Указанным путем можно

Growth of **LR** activity leads to -HT and -SP (fig.17.3.12). In this case, Matrix connections indicate the ways of biophysical transformation of the channels. For "-HT" (+LR= +GB-HT), for "-SP" (+LR= -SP). In this way we can predict the activi-

спрогнозировать динамику любого канала...

ty of any of the introduced channels...

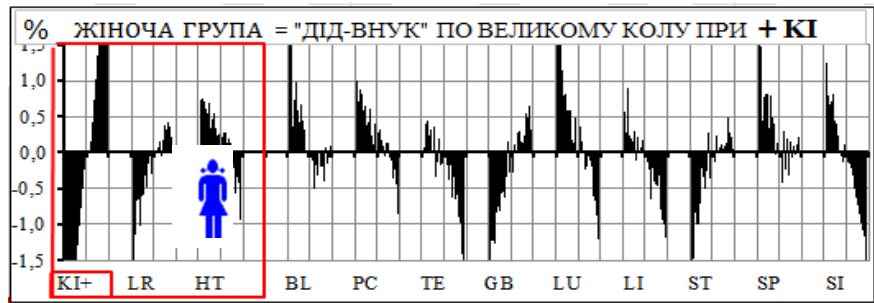
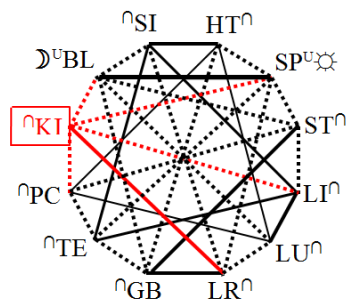


Рис.17.3.11 Матричная идентификация системной зависимости (ДЕД-ВНУК) при + KI  
Fig.17.3.11 Matrix identification system dependencies "GRANDFATHER-GRANDSON" at + KI

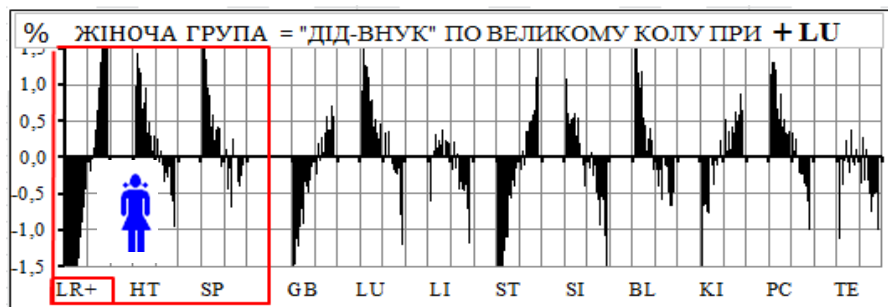
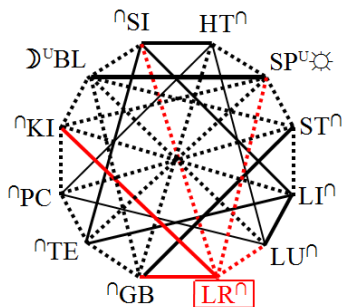


Рис.17.3.12 Матричная идентификация системной зависимости (ДЕД-ВНУК) при + LR  
Fig.17.3.12 Matrix identification system dependencies "GRANDFATHER-GRANDSON" at + LR

**ВЫВОДЫ.**

1. Матрична експертиза системної біофізическої залежності по правилу "ДЕД-ВНУК (ОТЕЦ-СЫН)" підтверджує експериментальні дані і структурну логічність "вегетативної матриці Макаца".

2. Обращает на себя внимание функциональная универсальность Матрицы.

**CONCLUSION.**

1. Matrix examination of systemic biophysical dependency according to the rule "Grandfather-Grandson (Father-Son)" confirms experimental data and structural consistency of "Makats's autonomic matrix."

2. The Matrix is functionally universal.



**17.4 – БИОФИЗИЧЕСКИЙ РЕАЛЬНОСТЬ МАТРИЧНЫХ ПРОГНОЗА ПО ПРАВИЛАМ "ПОЛДЕНЬ-ПОЛНОЧЬ"**

**17.4 – BIOPHYSICAL REALITY OF THE MATRIX PROGNOSIS ACCORDING TO THE RULE "MIDDAY-MIDNIGHT"**

Матричная експертиза теоретических положений по правилу "ПОЛДЕНЬ-ПОЛНОЧЬ" свидетельствует о полном соответствии биофізическої реальності с Графологической структурой Матрицы. Рассмотрим проблему на отдельных примерах.

Рост активности **BL** ведет к -LU (рис.

Matrix examination of theoretical provisions of the rule "MIDDAY-MIDNIGHT" indicates complete compliance of biophysical reality with the graphological structure of the Matrix. Let us observe the issue on separate examples..

Growth of **BL** activity leads to -LU



17.4.1). В данном случае Матричные связи указывают путь биофизической трансформации каналов. Для "-LU" (+BL = -LU). Указанным путем можно спрогнозировать динамику любого канала...

(fig.17.4.1). In this case, Matrix connections indicate the ways of biophysical transformation of the channels. For "-LU" (+BL=-LU). In this way we can predict the activity of any of the introduced channels...

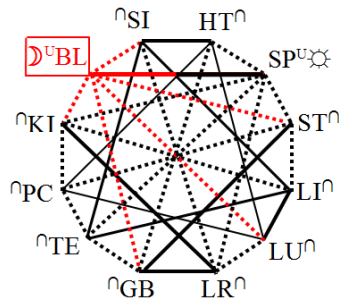


Рис.17.4.1 Матричная системная идентификация (ПОЛДЕНЬ-ПОЛНОЧЬ) при +BL  
Fig.17.4.1 Matrix identification of systemic dependency (MIDDAY-MIDNIGHT) under +BL

Рост активности LU ведет к -BL (рис.17.4.2). В данном случае Матричные связи указывают путь биофизической трансформации каналов. для "-BL" (+LU = -BL). Указанным путем можно спрогнозировать динамику любого канала...

Growth of BL activity leads to -LU (fig.17.4.1). In this case, Matrix connections indicate the ways of biophysical transformation of the channels. For "-LU" (+BL=-LU). In this way we can predict the activity of any of the introduced channels...

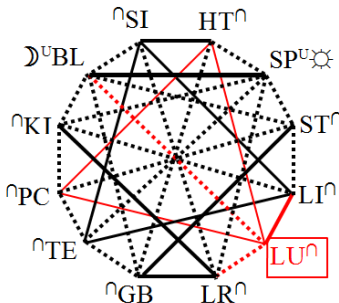


Рис.17.4.2 Матричная системная идентификация (ПОЛДЕНЬ-ПОЛНОЧЬ) при +LU  
Fig.17.4.2 Matrix systemic identification (MIDDAY-MIDNIGHT) under +LU

Рост активности LI ведет к -KI (рис.17.4.3). В данном случае Матричные связи указывают путь биофизической трансформации каналов. для "-KI" (+LI = -KI). Указанным путем можно спрогнозировать динамику любого канала...

Growth of LI activity leads to -KI (fig.17.4.3). In this case, Matrix connections indicate the ways of biophysical transformation of the channels. For "-KI" (+LI=-KI). In this way we can predict the activity of any of the introduced channels...

Рост активности KI ведет к -LI (рис.17.4.4). В данном случае Матричные связи указывают путь биофизической трансформации каналов. для "-LI" (+KI = -LI). Указанным путем

Growth of KI activity leads to -LI (fig.17.4.4). In this case, Matrix connections indicate the ways of biophysical transformation of the channels. For "-LI" (+KI=-LI). In this way we can predict the

можно спрогнозировать динамику любого канала...

activity of any of the introduced channels...

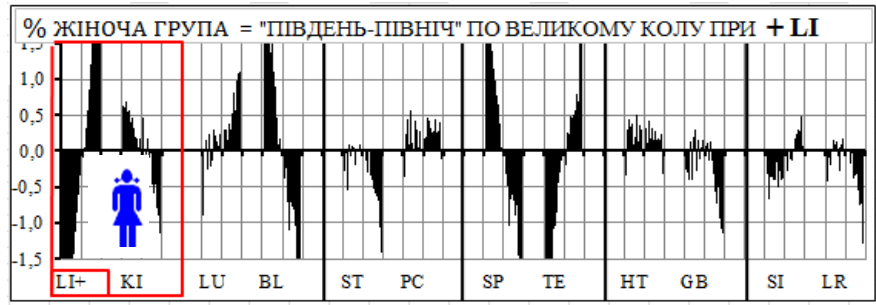
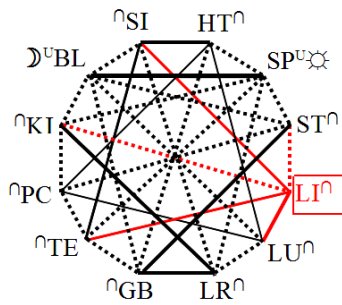


Рис.17.4.3 Матричная системная идентификация (ПОЛДЕНЬ-ПОЛНОЧЬ) при + LI  
Fig.17.4.3 Matrix systemic identification (MIDDAY-MIDNIGHT) under +LI

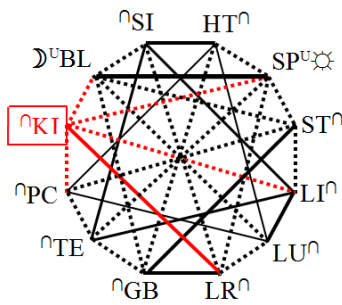


Рис.17.4.4 Матричная системная идентификация (ПОЛДЕНЬ-ПОЛНОЧЬ) при + KI  
Fig.17.4.4 Matrix systemic identification (MIDDAY-MIDNIGHT) under +KI

Рост активности SI ведет к -LR (рис.17.4.5). В данном случае Матричные связи указывают путь биофизической трансформации каналов. для "-LR" (+ SI = -LR). Указанным путем можно спрогнозировать динамику любого канала...

Growth of SI activity leads to -LR (fig.17.4.5). In this case, Matrix connections indicate the ways of biophysical transformation of the channels. For "-LR" (+SI= -LR). In this way we can predict the activity of any of the introduced channels...

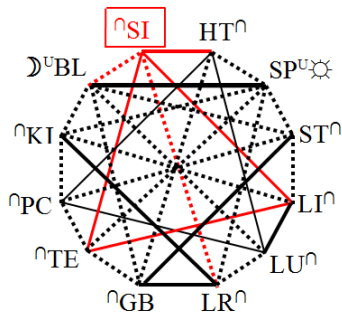


Рис.17.4.5 Матричная системная идентификация (ПОЛДЕНЬ-ПОЛНОЧЬ) при + SI  
Fig.17.4.5 Matrix systemic identification (MIDDAY-MIDNIGHT) under +SI

Рост активности LR ведет к -SI (рис.17.4.6). В данном случае Матричные связи указывают путь биофизической трансформации каналов. для "-SI" (+ LR = -SI). Указанным путем можно спрогнозировать динамику лю-

Growth of LR activity leads to -SI (fig.17.4.6). In this case, Matrix connections indicate the ways of biophysical transformation of the channels. For "-SI" (+LR= -SI). In this way we can predict the activity of any of the introduced channels...

бого канала...

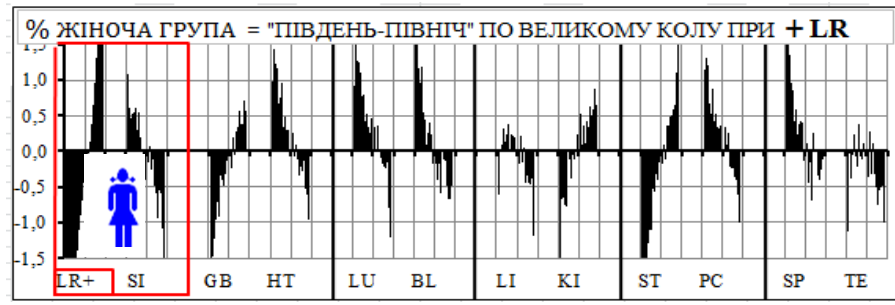
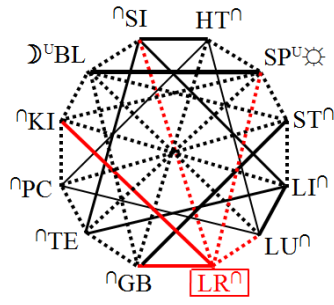


Рис.17.4.6 Матричная системная идентификация (ПОЛДЕНЬ-ПОЛНОЧЬ) при **+LR**  
 Fig.17.4.6 Matrix systemic identification (MIDDAY-MIDNIGHT) under **+LR**

Рост активности **GB** ведет к **-HT** (рис.17.4.7). В данном случае Матричные связи указывают путь биофизической трансформации каналов. для "-HT" (+GB = -HT). Указанным путем можно спрогнозировать динамику любого канала...

Growth of **GB** activity leads to **-HT** (fig.17.4.7). In this case, Matrix connections indicate the ways of biophysical transformation of the channels. For "-HT" (+GB = -HT). In this way we can predict the activity of any of the introduced channels...

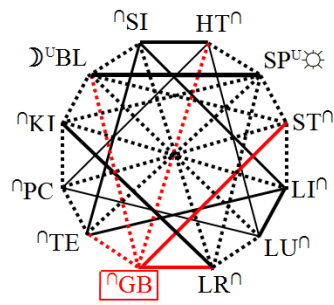


Рис.17.4.7 Матричная системная идентификация (ПОЛДЕНЬ-ПОЛНОЧЬ) при **+GB**  
 Fig.17.4.7 Matrix systemic identification (MIDDAY-MIDNIGHT) under **+GB**

Рост активности **HT** ведет к **-GB** (рис.17.4.8). В данном случае Матричные связи указывают путь биофизической трансформации каналов. для "-GB" (+HT = -GB). Указанным путем можно спрогнозировать динамику любого канала...

Growth of **HT** activity leads to **-GB** (fig.17.4.8). In this case, Matrix connections indicate the ways of biophysical transformation of the channels. For "-GB" (+HT = -GB). In this way we can predict the activity of any of the introduced channels...

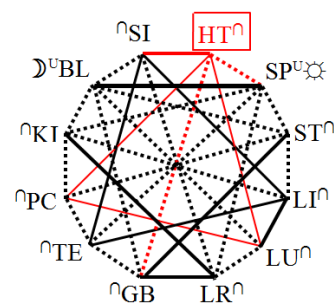


Рис.17.4.8 Матричная системная идентификация (ПОЛДЕНЬ-ПОЛНОЧЬ) при **+HT**  
 Fig.17.4.8 Matrix systemic identification (MIDDAY-MIDNIGHT) under **+HT**

Рост активности **SP** ведет к **-TE** (рис.17.4.9). В данном случае Матричные связи указывают путь биофизической трансформации каналов. для "-TE" (+ SP = -TE). Указанным путем можно спрогнозировать динамику любого канала...

Growth of **SP** activity leads to **-TE** (fig.17.4.9). In this case, Matrix connections indicate the ways of biophysical transformation of the channels. For "-TE" (+SP= -TE). In this way we can predict the activity of any of the introduced channels...

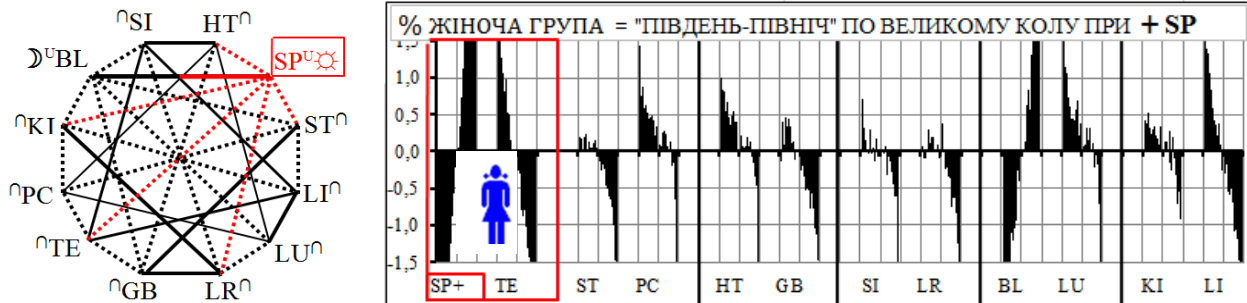


Рис.17.4.9 Матричная системная идентификация (ПОЛДЕНЬ-ПОЛНОЧЬ) при **+ SP**  
Fig.17.4.9 Matrix systemic identification (MIDDAY-MIDNIGHT) under **+SP**

Рост активности **TE** ведет к **-SP** (рис.17.4.10). В данном случае Матричные связи указывают путь биофизической трансформации каналов. для "-SP" (+ TE = -TE). Указанным путем можно спрогнозировать динамику любого канала...

Growth of **TE** activity leads to **-SP** (fig.17.4.10). In this case, Matrix connections indicate the ways of biophysical transformation of the channels. For "-SP" (+TE= -TE). In this way we can predict the activity of any of the introduced channels...

Рост активности **PC** ведет к **-ST** (рис.17.4.11). В данном случае Матричные связи указывают путь биофизической трансформации каналов. Для "-ST" (+ PC = -ST). Указанным путем можно спрогнозировать динамику любого канала...

Growth of **PC** activity leads to **-ST** (fig.17.4.11). In this case, Matrix connections indicate the ways of biophysical transformation of the channels. For "-ST" (+PC= -ST). In this way we can predict the activity of any of the introduced channels...

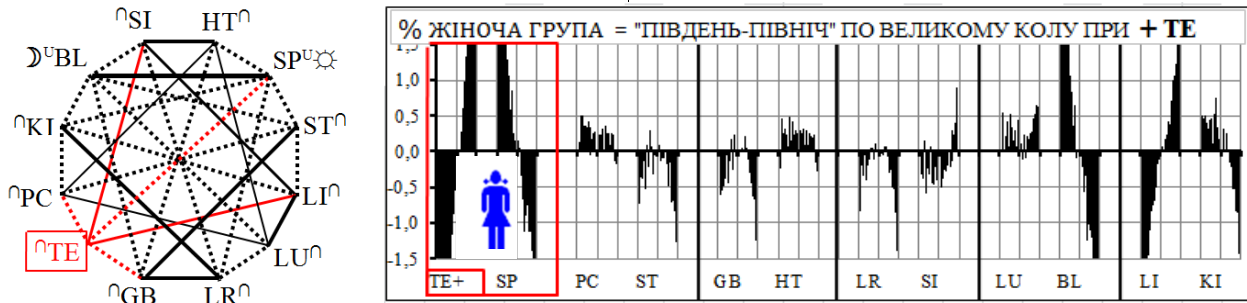


Рис.17.4.10 Матричная системная идентификация (ПОЛДЕНЬ-ПОЛНОЧЬ) при **+ TE**  
Fig.17.4.10 Matrix systemic identification (MIDDAY-MIDNIGHT) under **+TE**

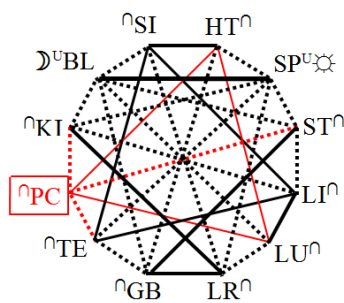


Рис.17.4.11 Матричная системная идентификация (ПОЛДЕНЬ-ПОЛНОЧЬ) при + PC  
 Fig.17.4.11 Matrix systemic identification (MIDDAY-MIDNIGHT) under +PC

Рост активности **ST** ведет к **-PC** (рис.17.4.12). В данном случае Матричные связи указывают путь биофизической трансформации каналов. Для "-PC" (+ ST = -PC). Указанным путем можно спрогнозировать динамику любого канала...

Growth of **ST** activity leads to **-PC** (fig.17.4.12). In this case, Matrix connections indicate the ways of biophysical transformation of the channels. For "-PC" (+ST= -PC). In this way we can predict the activity of any of the introduced channels...

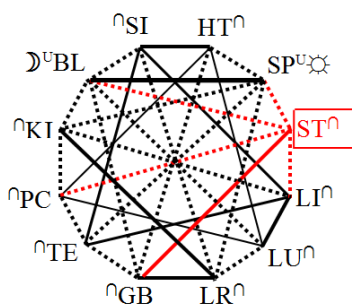


Рис.17.4.12 Матричная системная идентификация (ПОЛДЕНЬ-ПОЛНОЧЬ) при + ST  
 Fig.17.4.12 Matrix systemic identification (MIDDAY-MIDNIGHT) under +ST

**ВЫВОДЫ.**

1. Матричная экспертиза системной биофизической зависимости по правилу "ПОЛДЕНЬ-ПОЛНОЧЬ" подтверждает экспериментальные данные и структурную логичность "вегетативной матрицы Макаца".
2. Обращает на себя внимание функциональная универсальность Матрицы.

**CONCLUSION.**

1. Matrix examination of systemic biophysical dependency according to the rule "MIDDAY-MIDNIGHT" confirms experimental data and structural consistency of "Makats's autonomic matrix".
2. The Matrix is functionally universal.

	<b>17.5 – БИОФИЗИЧЕСКАЯ РЕАЛЬНОСТЬ МАТРИЧНОГО ПРОГНОЗА ПО ПРАВИЛУ "ЛЕВЫЙ-ПРАВЫЙ (МУЖЧИНА-ЖЕНЩИНА)"</b>
	<b>17.5 – BIOPHYSICAL REALITY OF THE MATRIX PROGNOSIS ACCORDING TO THE RULE "LEFT-RIGHT (MAN-WOMAN)"</b>

Матричная экспертиза теоретических положений по правилу "ЛЕВЫЙ-ПРАВЫЙ (мужчина-женщина)" свидетель-

Matrix examination of theoretical provisions of the rule "Left-Right (Man-Woman)" indicates complete compliance

стует о полном соответствии биофизической реальности с Графологической структурой Матрицы. Рассмотрим проблему на отдельных примерах.

Рост активности **BL** ведет к **-TE** (рис.17.5.1). В данном случае Матричные связи указывают путь биофизической трансформации каналов. Для **"-TE"** ( $+BL = +SP-TE$ ). Указанным путем можно спрогнозировать динамику любого канала...

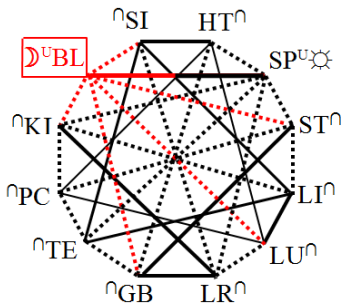


Рис.17.5.1 Матричная системная идентификация (ЛЕВЫЙ-ПРАВЫЙ) при **+BL**  
 Fig.17.5.1 Matrix identification of systemic dependency (LEFT-RIGHT) under **+BL**

Рост активности **TE** ведет к **-BL** (рис.17.5.2). В данном случае Матричные связи указывают путь биофизической трансформации каналов. для **"-BL"** ( $+TE = +SI-BL$ ). Указанным путем можно спрогнозировать динамику любого канала...

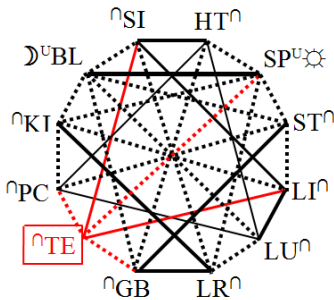


Рис.17.5.2 Матричная системная идентификация (ЛЕВЫЙ-ПРАВЫЙ) при **+TE**  
 Fig.17.5.2 Matrix identification of systemic dependency (LEFT-RIGHT) under **+TE**

Рост активности **KI** ведет к **-PC** (рис.17.5.3). В данном случае Матричные связи указывают путь биофизической трансформации каналов. Для **"-PC"** ( $+KI = -PC$ ). Указанным путем можно спрогнозировать динамику любого канала...

of biophysical reality with the graphological structure of the Matrix. Let us observe the issue on separate examples.

Growth of **BL** activity leads to **-TE** (fig.17.5.1). In this case, Matrix connections indicate the ways of biophysical transformation of the channels. For **"-TE"** ( $+BL=+SP-TE$ ). In this way we can predict the activity of any of the introduced channels...

Growth of **TE** activity leads to **-BL** (fig.17.5.2). In this case, Matrix connections indicate the ways of biophysical transformation of the channels. For **"-BL"** ( $+TE=+SI-BL$ ). In this way we can predict the activity of any of the introduced channels...

Growth of **KI** activity leads to **-PC** (fig.17.5.3). In this case, Matrix connections indicate the ways of biophysical transformation of the channels. For **"-PC"** ( $+KI = -PC$ ). In this way we can predict the activity of any of the introduced channels...

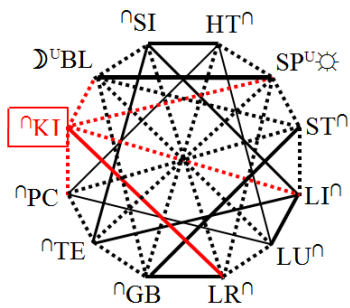


Рис.17.5.3 Матричная системная идентификация (ЛЕВЫЙ-ПРАВЫЙ) при **+ KI**  
 Fig.17.5.3 Matrix identification of systemic dependency (LEFT-RIGHT) under **+KI**

Рост активности **PC** ведет к **-KI** (рис.17.5.4). В данном случае Матричные связи указывают путь биофизической трансформации каналов. Для "-KI" (+PC = -KI). Указанным путем можно спрогнозировать динамику любого канала...

Growth of activity **PC** leads to **-KI** (fig.17.5.4). In this case, Matrix connections indicate the ways of biophysical transformation of the channels. For "-KI" (+PC=-KI). In this way we can predict the activity of any of the introduced channels...

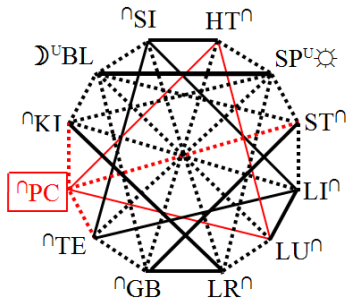


Рис.17.5.4 Матричная системная идентификация (ЛЕВЫЙ-ПРАВЫЙ) при **+ PC**  
 Fig.17.5.4 Matrix identification of systemic dependency (LEFT-RIGHT) under **+PC**

Рост активности **SP** ведет к **∩-LR** (рис.17.5.5). В данном случае Матричные связи указывают путь биофизической трансформации каналов. для "∩-LR" (+SP = ∩-LR). Указанным путем можно спрогнозировать динамику любого канала...

Growth of **SP** activity leads to **∩-LR** (fig.17.5.5). In this case, Matrix connections indicate the ways of biophysical transformation of the channels. For "∩-LR" (+SP=∩-LR). In this way we can predict the activity of any of the introduced channels...

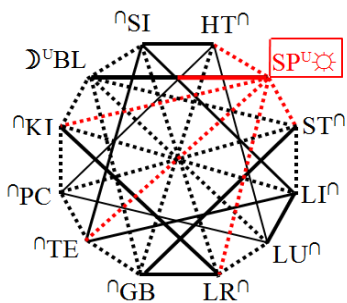


Рис.17.5.5 Матричная системная идентификация (ЛЕВЫЙ-ПРАВЫЙ) при **+ SP**  
 Fig.17.5.5 Matrix identification of systemic dependency (LEFT-RIGHT) under **+SP**

Рост активности **LR** ведет к **U-SP** (рис.17.5.6). В данном случае Матричные связи указывают путь биофизической трансформации каналов. для "**U-SP**" (+ **LR** = **U-SP**). Указанным путем можно спрогнозировать динамику любого канала...

Growth of **LR** activity leads to **U-SP** (fig.17.5.6). In this case, Matrix connections indicate the ways of biophysical transformation of the channels. For "**U-SP**" (+**LR**=**U-SP**). In this way we can predict the activity of any of the introduced channels...

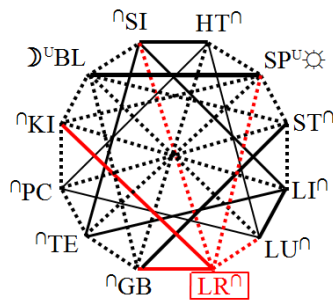


Рис.17.5.6 Матричная системная идентификация (ЛЕВЫЙ-ПРАВЫЙ) при + **LR**  
Fig.17.5.6 Matrix identification of systemic dependency (LEFT-RIGHT) under +**LR**

Рост активности **GB** ведет к + **ST** (рис.17.5.7). В данном случае Матричные связи указывают путь биофизической трансформации каналов. для "+ **ST**" (+ **GB** = + **ST**). Указанным путем можно спрогнозировать динамику любого канала...

Growth of **GB** activity leads to +**ST** (fig.17.5.7). In this case, Matrix connections indicate the ways of biophysical transformation of the channels. For "+**ST**" (+**GB**=+**ST**). In this way we can predict the activity of any of the introduced channels...

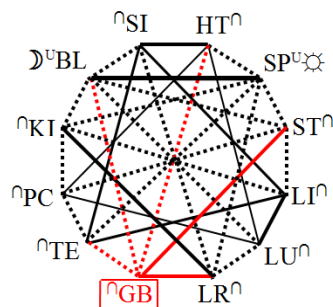


Рис.17.5.7 Матричная системная идентификация (ЛЕВЫЙ-ПРАВЫЙ) при + **GB**  
Fig.17.5.7 Matrix identification of systemic dependency (LEFT-RIGHT) under +**GB**

Рост активности **ST** ведет к +**GB** (рис.17.5.8). В данном случае Матричные связи указывают путь биофизической трансформации каналов. для "+ **GB**" (+ **ST** = + **GB**). Указанным путем можно спрогнозировать динамику любого канала...

Growth of **ST** activity leads to +**GB** (fig.17.5.8). In this case, Matrix connections indicate the ways of biophysical transformation of the channels. For "+**GB**" (+**ST**=+**GB**). In this way we can predict the activity of any of the introduced channels...



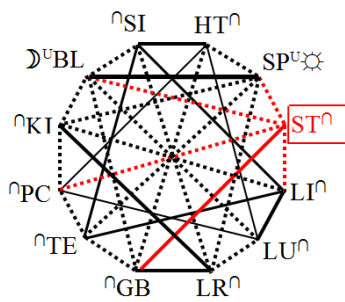


Рис.17.5.8 Матричная системная идентификация (ЛЕВЫЙ-ПРАВЫЙ) при + ST  
 Fig.17.5.8 Matrix identification of systemic dependency (LEFT-RIGHT) under +ST

Рост активности **LI** ведет к +SI (рис.17.5.9). В данном случае Матричные связи указывают путь биофизической трансформации каналов. Для "+ SI" (+ LI = + SI). Указанным путем можно спрогнозировать динамику любого канала...

Growth of **LI** activity leads to +SI (fig.17.5.9). In this case, Matrix connections indicate the ways of biophysical transformation of the channels. For "+SI" (+LI=+SI). In this way we can predict the activity of any of the introduced channels...

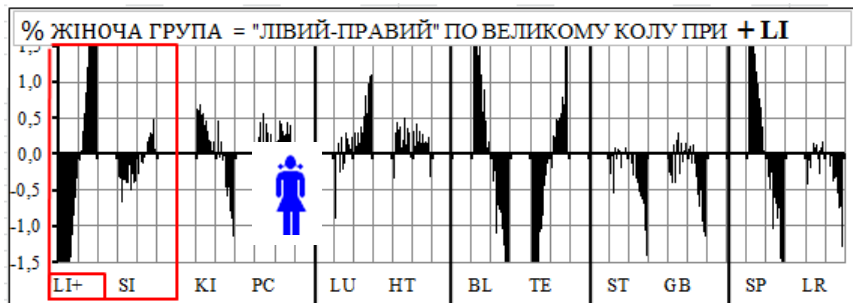
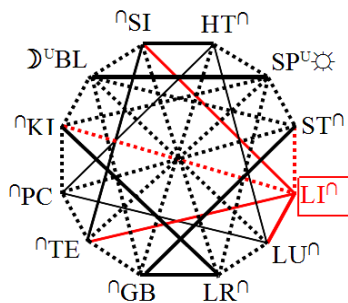


Рис.17.5.9 Матричная системная идентификация (ЛЕВЫЙ-ПРАВЫЙ) при + LI  
 Fig.17.5.9 Matrix identification of systemic dependency (LEFT-RIGHT) under +LI

Рост активности **SI** ведет к ∩+LI (рис.17.5.10). В данном случае Матричные связи указывают путь биофизической трансформации каналов. для "∩ + LI" (+ SI = ∩ + LI). Указанным путем можно спрогнозировать динамику любого канала...

Growth of **SI** activity leads to ∩+LI (fig.17.5.10). In this case, Matrix connections indicate the ways of biophysical transformation of the channels. For "∩+LI" (+SI= ∩+LI). In this way we can predict the activity of any of the introduced channels..

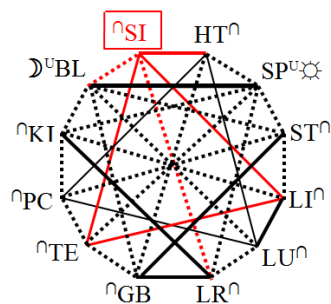


Рис.17.5.10 Матричная системная идентификация (ЛЕВЫЙ-ПРАВЫЙ) при + SI  
 Fig.17.5.10 Matrix identification of systemic dependency (LEFT-RIGHT) under +SI

Рост активности **HT** ведет к +LU (рис.17.5.11). В данном случае Матричные связи указывают путь биофизической трансформации каналов. для "+LU" (+HT = +LU). Указанным путем можно спрогнозировать динамику любого канала...

Growth of **HT** activity leads to +LU (fig.17.5.11). In this case, Matrix connections indicate the ways of biophysical transformation of the channels. For "+LU" (+HT= +LU). In this way we can predict the activity of any of the introduced channels...

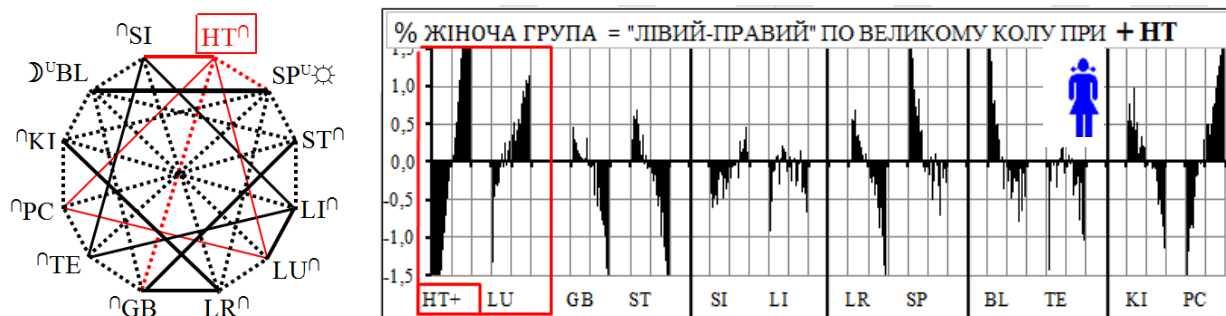


Рис.17.5.11 Матричная системная идентификация (ЛЕВЫЙ-ПРАВЫЙ) при **+HT**  
Fig.17.5.11 Matrix identification of systemic dependency (LEFT-RIGHT) under **+HT**

Рост активности **LU** ведет к +HT (рис.17.5.12). В данном случае Матричные связи указывают путь биофизической трансформации каналов. для "+HT" (+LU = +HT). Указанным путем можно спрогнозировать динамику любого канала...

Growth of **LU** activity leads to +HT (fig.17.5.12). In this case, Matrix connections indicate the ways of biophysical transformation of the channels. For "+HT" (+LU=+HT). In this way we can predict the activity of any of the introduced channels...

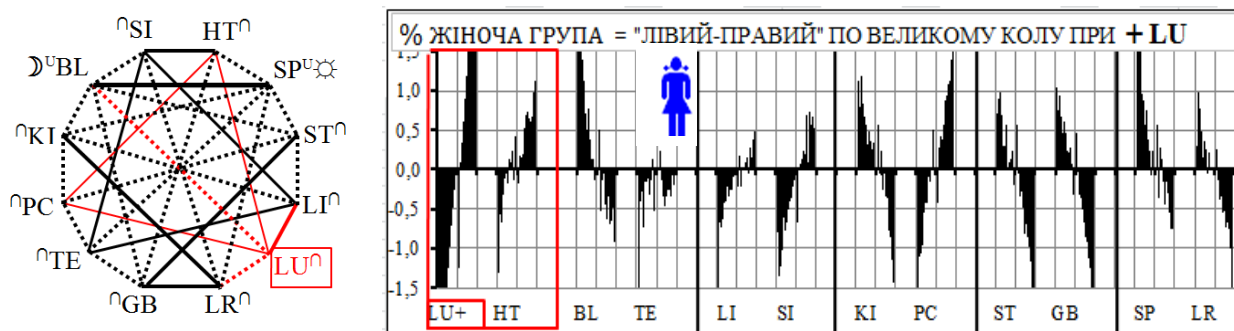


Рис.17.5.12 Матричная системная идентификация (ЛЕВЫЙ-ПРАВЫЙ) при **+LU**  
Fig.17.5.12 Matrix identification of systemic dependency (LEFT-RIGHT) under **+LU**

### Выводы.

1. Матричная экспертиза системной биофизической зависимости по правилу "ЛЕВЫЙ-ПРАВЫЙ (МУЖЧИНА-ЖЕНЩИНА)" подтверждает экспериментальные данные и структурную логичность "вегетативной матрицы Макац".

2. Обращает на себя внимание функциональная универсальность Матрицы.

### CONCLUSION.

1. Matrix examination of systemic dependency according to the rule "LEFT-RIGHT (MAN-WOMAN)" confirms experimental data and structural consistency of "Makats's autonomic matrix."

2. The Matrix is functionally universal.



## 17.6 – БИОФИЗИЧЕСКАЯ РЕАЛЬНОСТЬ МАТРИЧНОГО ПРОГНОЗА ПО ПРАВИЛУ "СПАРЕННЫЕ КАНАЛЫ"

### 17.6 - BIOPHYSICAL REALITY OF THE MATRIX PROGNOSIS ACCORDING TO THE RULE "PAIRED CHANNELS"

Матричная экспертиза теоретических положений по правилу "СПАРЕННЫЕ КАНАЛЫ" свидетельствует о полном соответствии биофизической реальности с Графологической структурой Матрицы. Рассмотрим проблему на отдельных примерах.

Рост активности **BL** ведет к  $-KI$  (рис.17. 6.1). В данном случае Матричные связи указывают путь биофизической трансформации каналов. Для " $-KI$ " ( $+BL = -KI$ ). Указанным путем можно спрогнозировать динамику любого канала...

Matrix examination of theoretical provisions of the rule "PAIRED CHANNELS" indicates full compliance of biophysical reality with the graphological structure of the Matrix. Let us observe the issue on separate examples.

Growth of **BL** activity leads to  $-KI$  (fig.17.6.1). In this case, Matrix connections indicate the ways of biophysical transformation of the channels. For " $-KI$ " ( $+BL = -KI$ ). In this way we can predict the activity of any of the introduced channels...

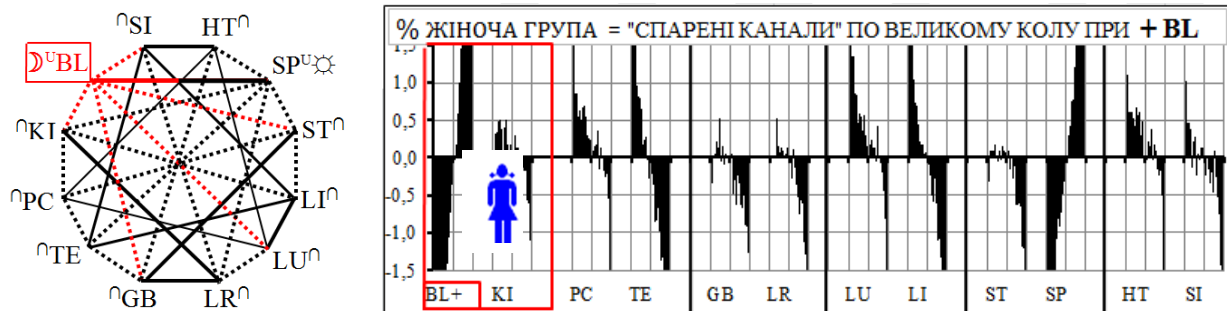


Рис.17.6.1 Матричная системная идентификация (СПАРЕННЫЕ КАНАЛЫ) при **+BL**  
Fig.17.6.1 Matrix systemic identification (PAIRED CHANNELS) under **+BL**

Рост активности **KI** ведет к  $Y-BL$  (рис.17.6.2). В данном случае Матричные связи указывают путь биофизической трансформации каналов. для " $Y-BL$ " ( $+KI = Y-BL$ ). Указанным путем можно спрогнозировать динамику любого канала...

Growth of **KI** activity leads to  $Y-BL$  (fig.17.6.2). In this case, Matrix connections indicate the ways of biophysical transformation of the channels. For " $Y-BL$ " ( $+KI = Y-BL$ ). In this way we can predict the activity of any of the introduced channels...

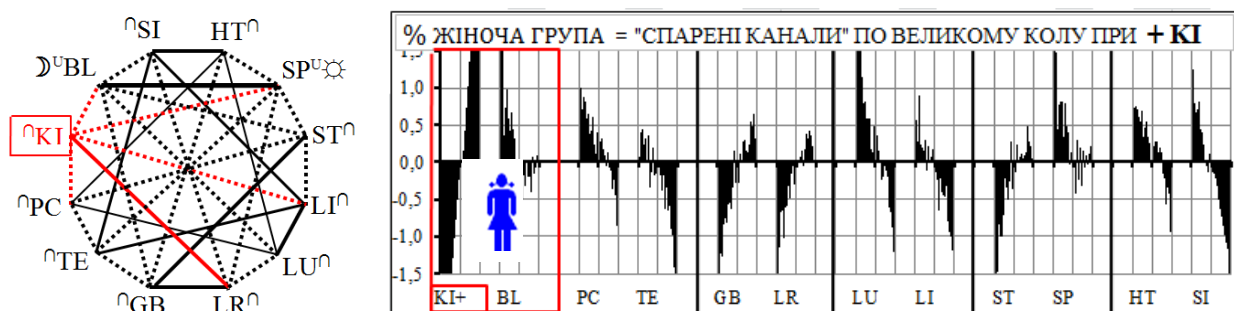


Рис.17.6.2 Матричная системная идентификация (СПАРЕННЫЕ КАНАЛЫ) при **+KI**  
Fig.17.6.2 Matrix systemic identification (PAIRED CHANNELS) under **+KI**

Рост активности **SP** ведет к **-ST** (рис.17. 6.3). В данном случае Матричные связи указывают путь биофизической трансформации каналов. Для "-ST" (+ SP = -ST). Указанным путем можно спрогнозировать динамику любого канала...

Growth of **SP** activity leads to **-ST** (fig.17.6.3). In this case, Matrix connections indicate the ways of biophysical transformation of the channels. For "-ST" (+SP=-ST). In this way we can predict the activity of any of the introduced channels...

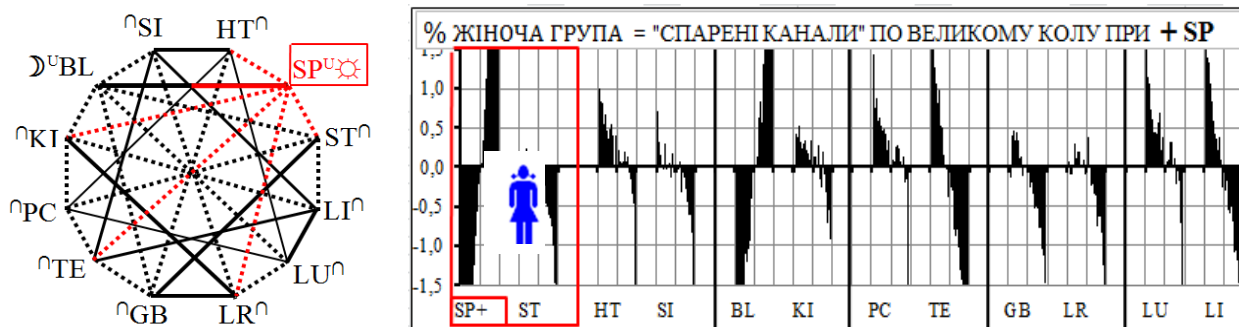


Рис.17.6.3 Матричная системная идентификация (СПАРЕННЫЕ КАНАЛЫ) при + SP  
Fig.17.6.3 Matrix systemic identification (PAIRED CHANNELS) under + SP

Рост активности **ST** ведет к **-SP** (рис.17. 6.4). В данном случае Матричные связи указывают путь биофизической трансформации каналов. для "-SP" (+ ST = -SP). Указанным путем можно спрогнозировать динамику любого канала...

Growth of **ST** activity leads to **-SP** (fig.17.6.4). In this case, Matrix connections indicate the ways of biophysical transformation of the channels. For "-SP" (+ST=-SP). In this way we can predict the activity of any of the introduced channels...

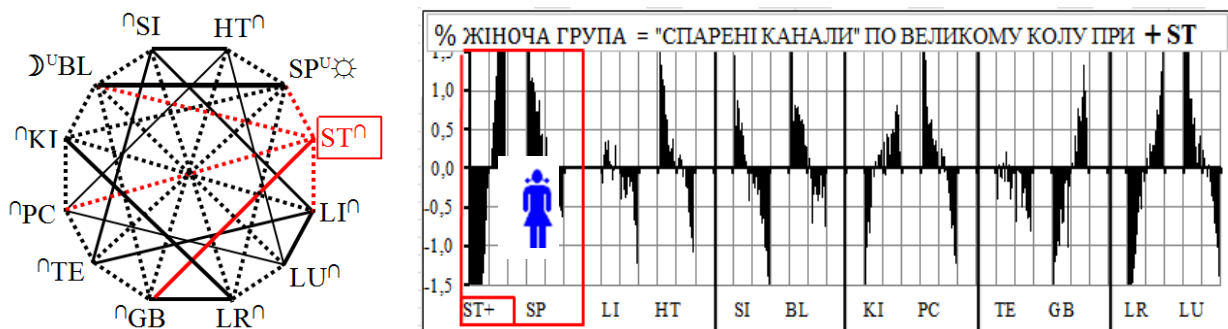


Рис.17.6.4 Матричная системная идентификация (СПАРЕННЫЕ КАНАЛЫ) при + ST  
Fig.17.6.4 Matrix systemic identification (PAIRED CHANNELS) under + ST

Рост активности **LI** ведет к **+LU** (рис.17.6.5). В данном случае Матричные связи указывают путь биофизической трансформации каналов. для "+LU" (+ ST = -SP). Указанным путем можно спрогнозировать динамику любого канала...

Growth of **LI** activity leads to **+LU** (fig.17.6.5). In this case, Matrix connections indicate the ways of biophysical transformation of the channels. For "+LU" (+ST=-SP). In this way we can predict the activity of any of the introduced channels...

Рост активности **LU** ведет к **+LI** (рис.17.6.6). В данном случае Матрич-

Growth of **LU** activity leads to **+LI** (fig.17.6.6). In this case, Matrix connec-

ные связи указывают путь биофизической трансформации каналов. для "+ LI" (+ LU = + LI). Указанным путем можно спрогнозировать динамику любого канала...

tions indicate the ways of biophysical transformation of the channels. For "+LI" (+LU=+LI). In this way we can predict the activity of any of the introduced channels..

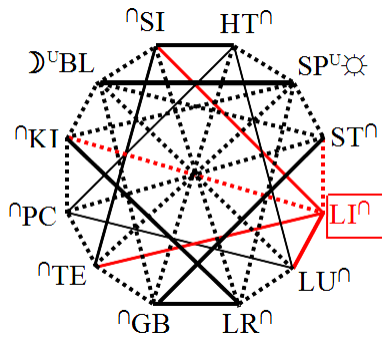


Рис.17.6.5 Матричная системная идентификация (СПАРЕННЫЕ КАНАЛЫ) при + LI  
Fig.17.6.5 Matrix systemic identification (PAIRED CHANNELS) under + LI

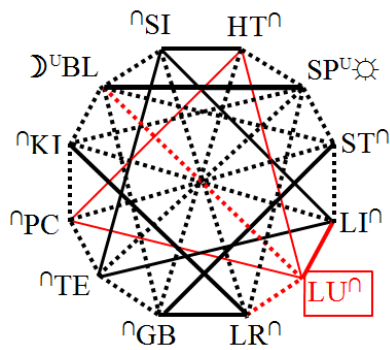


Рис.17.6.6 Матричная системная идентификация (СПАРЕННЫЕ КАНАЛЫ) при + LU  
Fig.17.6.6 Matrix systemic identification (PAIRED CHANNELS) under + LU

Рост активности TE ведет к -PC (рис.17.6.7). В данном случае Матричные связи указывают путь биофизической трансформации каналов. Для "-PC" (+ TE = -PC). Указанным путем можно спрогнозировать динамику любого канала...

Growth of activity TE leads to -PC (fig.17.6.7). In this case, Matrix links indicate ways biophysical transformation channels. For "-PC" (+TE= -PC). The specified can be predicted by the activity of any of the channels ...

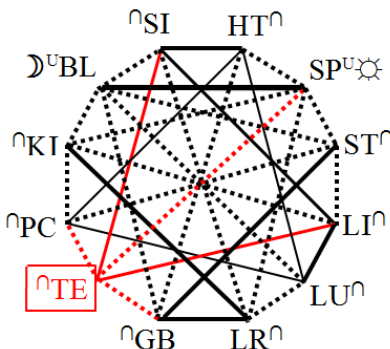


Рис.17.6.7 Матричная системная идентификация (СПАРЕННЫЕ КАНАЛЫ) при + TE  
Fig.17.6.7 Matrix systemic identification (PAIRED CHANNELS) under + TE

Рост активности **PC** ведет к  $\cap + TE$  (рис.17.6.8). В данном случае Матричные связи указывают путь биофизической трансформации каналов. для " $\cap + TE$ " ( $+ PC = \cap + TE$ ). Указанным путем можно спрогнозировать динамику любого канала...

Growth of **PC** activity leads to  $\cap + TE$  (fig.17.6.8). In this case, Matrix connections indicate the ways of biophysical transformation of the channels. For " $\cap + TE$ " ( $+ PC = \cap + TE$ ). In this way we can predict the activity of any of the introduced channels...

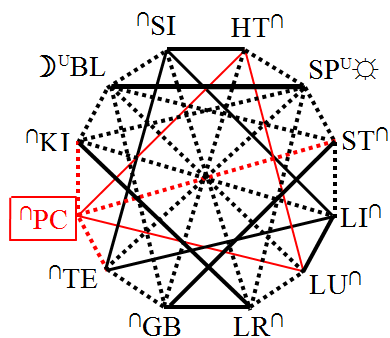


Рис.17.6.8 Матричная системная идентификация (СПАРЕННЫЕ КАНАЛЫ) при **+ PC**  
Fig.17.6.8 Matrix systemic identification (PAIRED CHANNELS) under **+ PC**

Рост активности **SI** ведет к  $+HT$  (рис.17.6.9). В данном случае Матричные связи указывают путь биофизической трансформации каналов. для " $+ HT$ " ( $+ SI = + HT$ ). Указанным путем можно спрогнозировать динамику любого канала...

Growth of **SI** activity leads to  $+HT$  (fig.17.6.9). In this case, Matrix connections indicate the ways of biophysical transformation of the channels. For " $+ HT$ " ( $+ SI = + HT$ ). In this way we can predict the activity of any of the introduced channels...

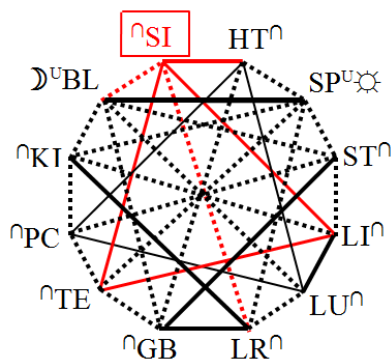


Рис.17.6.9 Матричная системная идентификация (СПАРЕННЫЕ КАНАЛЫ) при **+ SI**  
Fig.17.6.9 Matrix systemic identification (PAIRED CHANNELS) under **+ SI**

Рост активности **HT** ведет к  $+ SI$  (рис.17.6.10). В данном случае Матричные связи указывают путь биофизической трансформации каналов. для " $+ SI$ " ( $+ HT = + SI$ ). Указанным путем можно спрогнозировать динамику любого канала...

Growth of **HT** activity leads to  $+SI$  (fig.17.6.10). In this case, Matrix connections indicate the ways of biophysical transformation of the channels. For " $+ SI$ " ( $+ HT = + SI$ ). In this way we can predict the activity of any of the introduced channels...

Рост активности **GB** ведет к  $-LR$

Growth of **GB** activity leads to  $-LR$

(рис.17.6.11). В данном случае Матричные связи указывают путь биофизической трансформации каналов. для "-LR" (+ GB = + LR). Указанным путем можно спрогнозировать динамику любого канала...

(fig.17.6.11). In this case, Matrix connections indicate the ways of biophysical transformation of the channels. For "-LR" (+GB=+LR). In this way we can predict the activity of any of the introduced channels...

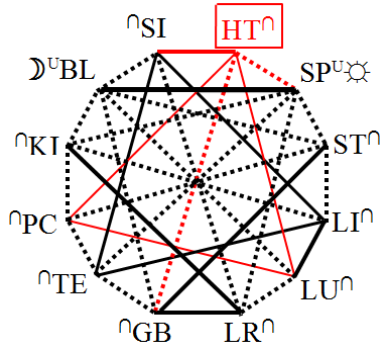


Рис.17.6.10 Матричная системная идентификация (СПАРЕННЫЕ КАНАЛЫ) при +HT  
Fig.17.6.10 Matrix systemic identification (PAIRED CHANNELS) under + HT

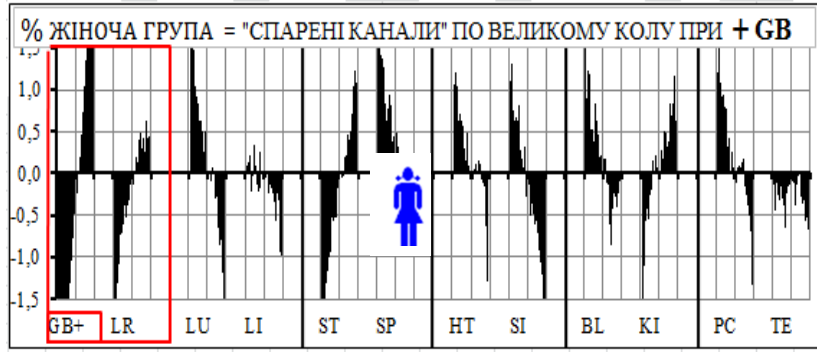
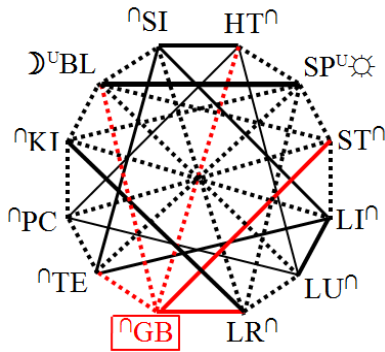


Рис.17.6.11 Матричная системная идентификация (СПАРЕННЫЕ КАНАЛЫ) при +GB  
Fig.17.6.11 Matrix systemic identification (PAIRED CHANNELS) under + GB

Рост активности LR ведет к + GB (рис.17.6.12). В данном случае Матричные связи указывают путь биофизической трансформации каналов. для "+ GB" (+ LR = + GB). Указанным путем можно спрогнозировать динамику любого канала...

Growth of LR activity leads to +LR (fig.17.6.12). In this case, Matrix connections indicate the ways of biophysical transformation of the channels. For "+GB" (+LR=+GB). In this way we can predict the activity of any of the introduced channels...

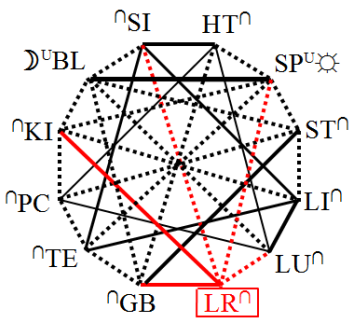


Рис.17.6.12 Матричная системная идентификация (СПАРЕННЫЕ КАНАЛЫ) при +LR  
Fig.17.6.12 Matrix systemic identification (PAIRED CHANNELS) under + LR

### ***Выводы.***

1. Матричная экспертиза системной биофизической зависимости по правилу "спаренных КАНАЛЫ" подтверждает экспериментальные данные и структурную логичность "вегетативной матрицы Макац".

2. Обращает на себя внимание функциональная универсальность Матрицы.

### ***Conclusion.***

1. Matrix examination of systemic biophysical dependency according to the rule "PAIRED CHANNELS" confirms experimental data and structural consistency of "Makats's autonomic matrix".

2. The Matrix is functionally universal.







*18-я проблема традиционной Чжень-цзю терапии*

ВЕГЕТАТИВНАЯ СУЩНОСТЬ ЧЖЕНЬ-ЦЗЮ ТЕРАПИИ  
КАК ПРОБЛЕМА “ФУНКЦИОНАЛЬНОЙ ВЕГЕТОЛОГИИ”

*18-th issue of traditional Acupuncture Therapy*

VEGETATIVE ESSENCE OF ZHENJIU THERAPY AS AN  
ISSUE OF “FUNCTIONAL VEGETOLOGY”

Данный раздел принципиально актуален. В нем впервые ставится вопрос о вегетативной направленности репрезентативных ФАЗ и проводится биофизическая параллель между восточными синдромами ЯН-ИНЬ (возбуждение - угнетение) и западным пониманием симпатической и парасимпатической активности ВНС, обеспечивающих вегетативный гомеостаз.

Исследование материалистов-органиков показали, что симпатический и парасимпатический отделы вегетативной нервной системы находятся в постоянном взаимодействии. При этом базовую биологическую функцию ВНС делят на:

а) *трофотропную* - направленную на поддержку динамической стабильности внутренней среды организма, его физико-химических, биохимических, ферментативных, гуморальных и др. констант;

б) *эрготропную* - направленную на вегетативно-метаболическое обеспечение различных форм адаптивного поведения, умственной и физической деятельности, реализацию биологических мотиваций к условиям изменяющейся внешней среды.

При этом имеется в виду, что ВНС реализует свои функции изменением сосудистого тонуса, адаптационных и трофических реакций и функциональным управлением внутренних органов (что, кстати, соответствует традиционным положением идеологии восточной философии).

На основе морфологических и функциональных особенностей ВНС разделили на: а) *симпатическую*, которая активизирует эрготропную функцию, кор-

The chapter is principally urgent. It contains the issue of vegetative orientation of the traditional Zhenjiu therapy and biophysical parallel between the eastern concept of YIN-YANG syndrome and the Western concept of sympathetic and parasympathetic activity of VNS, which is responsible for vegetative equilibrium (vegetative homeostasis).

Researches of materialists-organists have shown that sympathetic and parasympathetic divisions of vegetative nervous system are in constant interaction. At the same time the biological function of VNS was divided into:

а) *trophotropic* – oriented at maintenance of dynamic stability of the internal environment of organism, its physicochemical, biochemical, enzymatic, humoral and other constants;

б) *ergotropic* – oriented at vegetative-metabolic maintenance of various forms of adaptive behavior, mental and physical activity, realization of biological motivations according to the conditions of external environment, which is constantly changing.

At the same time, it is understood, that VNS performs its functions by the change of vascular tone, adaptive and trophic reactions and functional control over internal organs (which, by the way, is compatible with traditional positions of the ideology of the eastern philosophy).

On the basis of morphological and functional peculiarities VNS was divided into: а) *sympathetic* – that activates the ergotropic function, corrects standard condi-

ректирует стандартные условия внутренней среды, обуславливает исполнительную функцию, тормозит анаболические и активирует катаболические процессы; б) *парасимпатическую*, которая больше направлена на поддержку гомеостаза (то есть трофотропную функцию), стимулирует анаболические и угнетает катаболические процессы.

Оба отдела ВНС функционируют как антагонисты и за счет двойной иннервации большинства внутренних органов обеспечивают динамическое равновесие соответствующих функций. В отличие от парасимпатического, функция симпатического отдела ВНС больше зависит от центральной нервной и эндокринной систем и процессов, происходящих на периферии и в висцеральной сфере. Поэтому её тонус неустойчив, требует постоянных приспособительных и компенсаторных реакций.

В общем органная ВНС обеспечивает периодичность большинства биохимических и физиологических процессов, поддерживая в пределах нормы биологические константы и адаптацию организма к условиям внешней среды (последнее контролируется двойной иннервацией большинства внутренних органов). Подобная симпатическая и парасимпатическая иннервация обуславливает контроль и регуляцию процессов возбуждения и угнетения органов и функциональных систем, обеспечивая постоянство динамического равновесия соответствующих функций.

Теоретическая база Восточной терапевтической философии базируется на гармонии в организме двух противоположных сил (ИНЬ - угнетение и ЯН - возбуждение), которые контролируют функциональную устойчивость организма. При этом подчеркивается её непосредственная зависимость от космофизических факторов. Нарушение гармонии ведет к патологии, которая выражается в ослаблении или усилении

of the internal environment, conditions executive function, inhibits anabolic and activates catabolic processes; b) *parasympathetic* – which is mostly oriented at maintenance of homeostatic equilibrium (i.e. trophotropic function), stimulates anabolic and inhibits catabolic processes.

The two divisions of VNS are functioning like antagonists, and at the expense of double innervations of the majority of the internal organs, ensure stability of the dynamic equilibrium of the appropriate functions. Unlike parasympathetic, the function of sympathetic division of VNS depends mostly on central nervous and endocrine systems and processes that occur at the periphery and in visceral sphere. That is why its tone is unstable, needs constant adaptive and compensatory reactions.

Generally, organ VNS provides periodicity of the majority of biochemical and physiological processes, maintaining in the zone of norm the biological constants and adaptation of organism to the conditions of external environment (the latter is controlled by the double innervations of the majority of internal organs). Similar sympathetic and parasympathetic innervations condition the control and regulation of the processes of excitation and oppression of organs and functional systems, providing stability of dynamic equilibrium of the appropriate functions.

Theoretical basis of the eastern therapeutic philosophy is grounded on the harmony within organism of two opposite powers (*YIN* – oppression and *YANG* - excitation), that control dynamic-functional stability of organism. At the same time there is a trace of its direct dependency on cosmophysical factors. Disorder of harmony leads to pathology, which appears in the form of oppression or activation of functional *YIN* and *YANG* activity (by the way, the basis of the

функциональной ИНЬ или ЯН активности (кстати, основа пульсовой диагностики – определение соотношения ЯН-ИНЬ синдромов, с целью восстановления их функционального равновесия).

Такое понимание, несмотря на его метафизическую интерпретацию, вызывает у некоторых западных специалистов обоснованные аналогии. Ведь функциональное равновесие организма, вследствие гармонии двух противоположностей, должна рассматриваться как динамическая постоянство его внутренней среды - вегетативный гомеостаз, который обеспечивают симпатичный и парасимпатический отделы ВЭС. Однако, большинство продолжает стоять на позициях нервизма и рефлекторных теорий и уверена, что вегетативный гомеостаз обеспечивается исключительно активностью симпатического и парасимпатического отделов ВНС, соматовисцеральной интеграцией и нейроэндокринным соотношением.

Но возникает вопрос: имеют ли указанные механизмы самостоятельное значение, или ВНС являются функциональным исполнителем индивидуального уровня? Ведь известно, что ряд биохимических и физиологических процессов обусловлены фото-энергетической регуляцией. Благодаря последней свет (как часть электромагнитного спектра) через зрительный орган влияет на вегетативные центры гипоталамуса и гипофиза. Кроме того, сегодня известно о биофизической реальности репрезентативных ФАЗ и их, неизвестных ранее, биофизических феноменах.

То есть для специалистов открывается "не начатый край работы" по переосмыслению теоретических положений западной терапевтической философии. Поэтому еще раз обращаем их внимание на следующее.

1) Восточная медицина разделила функциональные системы организма человека на две группы, подчеркивая при

pulse diagnostics is the definition of *YIN-YANG* syndromes, in order to recover the disordered functional equilibrium).

This kind of understanding, not taking into account its metaphysical interpretation, may inspire the western scientists to find analogues. It is because functional equilibrium of organism, which is achieved with the harmony of two oppositions, should be viewed as a dynamic stability of its internal environment – vegetative homeostasis, which is sustained by sympathetic and parasympathetic divisions of vegetative nervous system. However, the majority keeps on standing on the positions of nervism and reflex theories and sure that vegetative homeostasis is sustained exclusively by the activity of sympathetic and parasympathetic divisions of VNS, somato-visceral integration and neuro-endocrinous correlation.

But there is a question: do the mentioned mechanisms have initial (independent) value, or VNS is simply a functional executive of local individual level? It is known that a range of biophysical and biochemical processes are conditioned by photo-power regulation. Because of the latter, light (as a part of electromagnetic spectrum) influences the vegetative centers of hypothalamus and hypothysis through optic canal. Decides, it is known today about the biophysical reality of functional-vegetative system and its cosmophysical dependency!

In other words, for thinking specialists it is a start of "a huge work", which requires reconsideration of theoretical positions of the western therapeutic philosophy that is why we draw attention to the following.

1) Eastern medicine divided functional systems of human organism into two groups, underlining the integrity and inter-

этом целостность и взаимозависимость внутренней и внешней среды.

*Первая группа* - функциональные системы ЯН (LI - толстый кишечник, ST - желудок, TE - тройной обогреватель, лимфатическая система, SI - тонкий кишечник, GB - желчный пузырь и BL - мочевого пузыря). Они обеспечивают исполнительную функцию, процессы возбуждения и согласно материалистическому пониманию аналогичны с функцией симпатического отдела ВНС,

*Вторая группа* - функциональные системы ИНЬ (LU - легкие, SP - селезенка - поджелудочная железа, PC - перикард, HT - сердце, LR - печень и KI - почки). Они обеспечивают процессы накопления энергии, обуславливают состояние покоя (унетение) и согласно материалистическому пониманию аналогичны с функцией парасимпатической нервной системы.

2) Разработана методология функционально-вегетативной диагностики (ФВД) обусловлена следующими принципиальными положениями:

- показатели функциональной активности репрезентативных ФАЗ ЯН и ИНЬ групп, следует оценивать с позиции понимания функциональной активности симпатического и парасимпатического отделов ВНС;

- симпатический и парасимпатический отделы ВНС обеспечивают, соответственно, активацию и угнетение функциональной активности органов и систем (в обычных условиях динамично стабильны, взаимосвязаны, нарушение равновесия обусловлено преобладанием активности одного из отделов ВНС);

- синдромы ЯН и ИНЬ характеризуют, соответственно, состояния возбуждения и угнетения органов, отражая системное равновесие организма (в обычных условиях динамично стабильное, нарушение равновесия обусловлено преобладанием того или иного процесса);

dependency of internal and external environments.

The first group – functional systems of YANG (LI - large intestine, ST – stomach, TE – triple energizer (lymphatic system), SI – small intestine, GB – gall bladder and BL – urinary bladder). They perform executive function, processes of excitation and according to materialistic understanding are analogical with the function of sympathetic nervous system.

The second group – functional systems of YIN (LU – lungs, SP – spleen, pancreas, PC – pericardium, HT – heart, LR – liver and KI - kidneys). They ensure the processes of energy accumulation, condition the state of rest (oppression) and according to materialistic understanding are analogical to the function of parasympathetic nervous system.

2) Our elaborated methodology of functional-vegetative diagnostics (FVD) is conditioned by the following principle positions:

- the indexes of functional activity of the representative FAZ YANG and YIN groups, should be assessed from the position of understanding of the functional activity of sympathetic and parasympathetic divisions of VNS;

- sympathetic and parasympathetic divisions of VNS ensure, accordingly, activation and oppression of the functional activity of organs and systems (in ordinary conditions dynamically stable, interdependent, disorder of equilibrium is conditioned by the prevalence of the activity of one of VNS divisions);

- syndromes YANG - YIN characterize, accordingly, states of excitation and oppression of organs, reflecting the systemic equilibrium of organism (in ordinary conditions dynamically stable, disorder of equilibrium is conditioned by the prevalence of this or that process);

- по своему функциональному назначению органы системы ЯН являются органами активного действия, а органы системы ИНЬ - органами накопления (покоя);

- динамично-стабильное соотношение активности ЯН и ИНЬ коррелирует с динамично-стабильной устойчивостью ВНС (по состоянию баланса взаимозависимой активностью её симпатического и парасимпатического отделов, то есть вегетативным равновесием);

- преобладание ЯН синдрома над ИНЬ синдромом свидетельствует о нарушении вегетативного равновесия с преобладанием симпатической активности ВНС;

- преобладание ИНЬ синдрома над ЯН синдромом свидетельствует о нарушении вегетативного равновесия с преобладанием парасимпатической активности ВНС;

3) В методологию формирования доказательной базы мы включили вегетативные коэффициенты (**к**). Они указывают на соотношение суммарной ЯН-ИНЬ (симпатической – парасимпатической) активности, которое определяется по формуле  $k-VP = \Sigma ЯН : \Sigma ИНЬ$  и формирует следующие варианты функционально-вегетативного диагноза:

**к** (до 0,75) = синдром значительной парасимпатической активности (**ПА-зн**)

**к** (0,76-0,86) = синдром выраженной парасимпатической активности (**ПА-в**)

**к** (0,87-0,94) = зона функциональной компенсации парасимпатической активности (**ФкП**)

**к** (0,95-1,05) = зона вегетативного равновесия (**ВР**)

**к** (1,06-1,13) = зона функциональной компенсации симпатической активности (**ФкС**);

**к** (1,14-1,26) = синдром выраженной симпатической активности (**СА-в**)

**к** (1,26 и >) = синдром значительной симпатической активности (**СА-зн**).

- according to the functional purpose organs of *YANG* system are organs of active action, while organs of the system *YIN* – are organs of accumulation (rest);

- dynamically-stable correlation of activity of *YANG* and *YIN* states, which is compatible with dynamically-stable constancy of VNS, state of balance of interdependent activity of its sympathetic and parasympathetic divisions, i.e. vegetative equilibrium;

- prevalence of *YANG* syndrome over *YIN* syndrome testifies to the disorder of vegetative equilibrium with the prevalence of sympathetic activity of VNS;

- prevalence of *YIN* syndrome over *YANG* syndrome testifies to the disorder of vegetative equilibrium with the prevalence of parasympathetic activity of VNS;

3) We included vegetative coefficients (**k**), which were elaborated by us, to the methodology of case-base reasoning. The reflect interdependent correlation of the total *YANG-YIN* (sympathetic and parasympathetic) activity, are determined by the formula  $k = \Sigma YANG : \Sigma YIN$  and form the following variants of functional-vegetative diagnosis:

**k** (to 0,75) = syndrome of significant prevalence of parasympathetic activity (**PA-s**);

**k** (0,76-0,86) = syndrome of expressed prevalence of parasympathetic activity (**PA-e**);

**k** (0,87-0,94) = zone of functional compensation of parasympathetic activity (**FcP**);

**k** (0,95-1,05) = zone of vegetative equilibrium (**VE**);

**k** (1,06-1,13) = zone of functional compensation of sympathetic activity (**FcS**);

**k** (1,14-1,26) = syndrome of expressed prevalence of sympathetic activity (**SA-e**);

**k** (1,26 and >) = syndrome of significant prevalence of sympathetic activity (**SA-s**).

А теперь попробуем убедить уважаемых специалистов в непосредственном отношении репрезентативных ФАЗ (точек традиционной акупунктуры) к вегетативному гомеостазу и доказать функциональную сопоставимость восточных ЯН-ИНЬ синдромов с западным пониманием симпатической и парасимпатической активности ВНС. И прежде всего рассмотрим зависимость синдромов ЯН-ИНЬ от активности отдельных систем...

Учитывая аналогию синдрома ЯН (возбуждение) с симпатической активностью ВНС, а синдрома ИНЬ (угнетение) с парасимпатической, следует рассмотреть их количественную зависимость от активности отдельных ФС.

And now let us try to persuade honorable experts in direct relation of the traditional Chinese *Zhenjiu* therapy to vegetative homeostasis and prove functional analogy of the Eastern *YANG-YIN* syndromes and the Western understanding of sympathetic and parasympathetic activity of VNS. At first, let us observe the dependency of the syndromes *YANG-YIN* on the activity of separate systems...

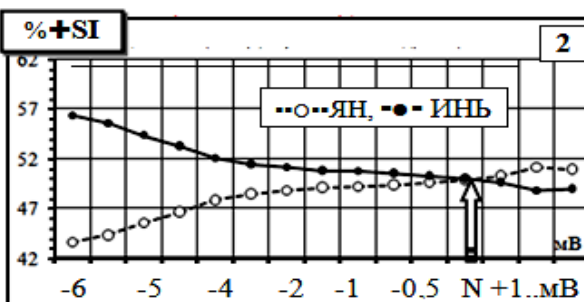
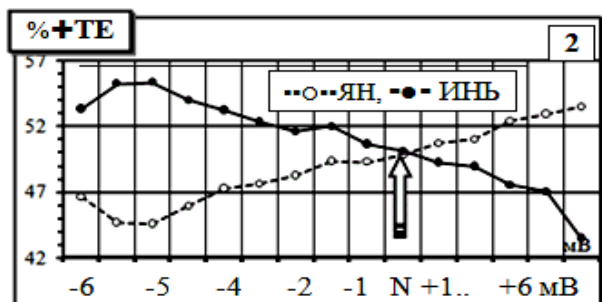
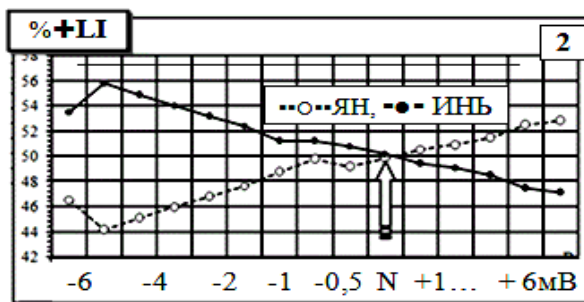
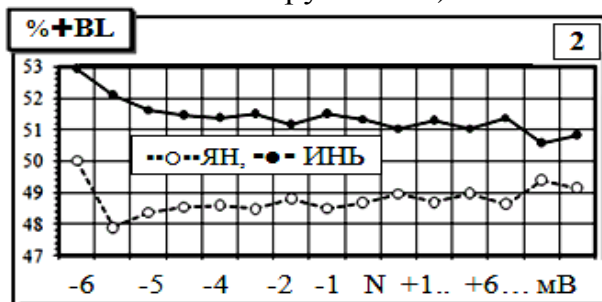
Taking into account the analogy of the syndrome *YANG* (excitation) with sympathetic activity of VNS, and syndrome *YIN* (oppression) with parasympathetic, we should observe their quantitative dependency on the activity of separate functional systems FS.

### 1. ЗАВИСИМОСТЬ ИНЬ-ЯН СИНДРОМОВ ОТ АКТИВНОСТИ ЯН-СИСТЕМ.

Возбуждение (до- и выше зоны нормы) любой из репрезентативных ФАЗ группы ЯН (LI-ST-TE-SI-GB-BL) обуславливает рост суммарной активности ЯН и угнетение суммарной активности ИНЬ (рис.18.1). Полученные результаты указывают на преимущество процессов возбуждения (симпатической направленности каналов группы ЯН).

### 1.DEPENDENCY OF YIN-YANG SYNDROMES ON THE ACTIVITY OF YANG-SYSTEMS.

Excitation (to- and higher of the zone of norm) of any of functional systems of the group *YANG* (LI-ST-TE-SI-GB-BL) conditions growth of total activity of *YIN* (fig.18.1). The received results point to the prevalence of the processes of excitation – sympathetic orientation of the channels of group *YANG*.



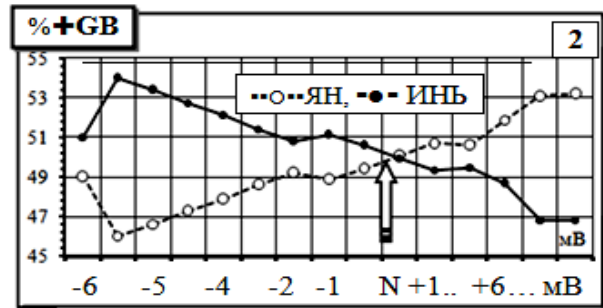
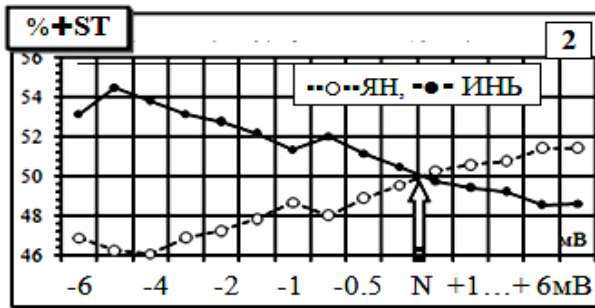


Рис.18.1 Преобладание ЯН-синдрома при возбуждении каналов ЯН-группы.  
 Fig.18.1 Prevalence of YANG-syndrome during excitation of the channels of YANG-group

**ЗАВИСИМОСТЬ ИНЬ-ЯН СИНДРОМОВ ОТ АКТИВНОСТИ ИНЬ-СИСТЕМ**

**DEPENDENCY OF YIN-YANG SYNDROMES ON THE ACTIVITY OF YIN-SYSTEMS**

Возбуждение (до- и выше зоны нормы) любой из функциональных систем группы Инь (LU-SP-PC-HT-LR-KI), обуславливает рост суммарной активности Инь и угнетение суммарной активности Ян (рис.18.2). Полученные результаты указывают на преобладание процессов угнетения - парасимпатической активности каналов группы Инь.

Excitation (to- and higher of the zone of norm) of any of functional systems of the group *YIN* (LU-SP-PC-HT-LR-KI) conditions growth of total activity of *YANG* (fig.18.2). The received results point to the prevalence of the processes of oppression – parasympathetic orientation of the channels of group *YIN*.

And now let us compare sympathetic

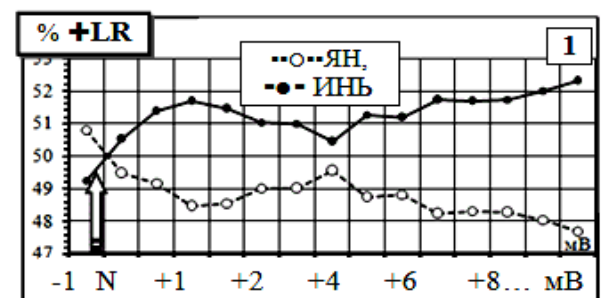
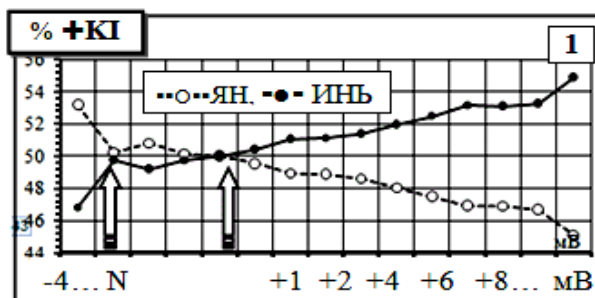
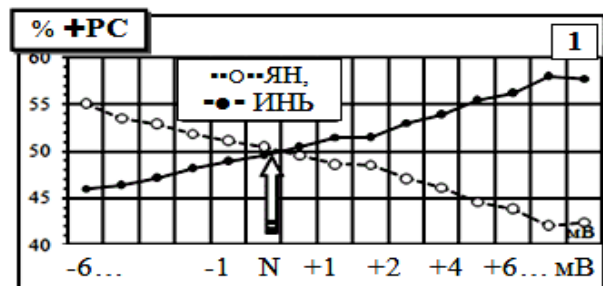
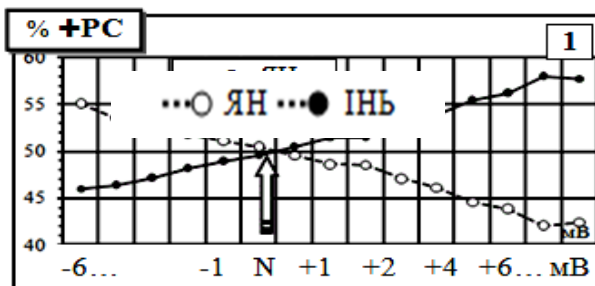
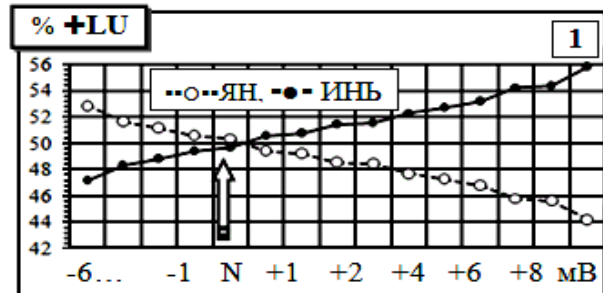
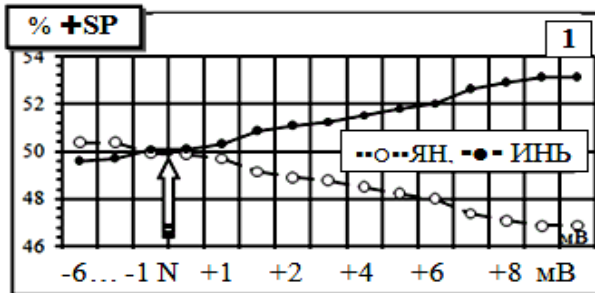


Рис.18.2 Преимущество Инь-синдрома при возбуждении каналов Инь-группы.  
 Fig.18.2 Prevalence of YIN -syndrome during excitation of the channels of YIN - group.

А теперь сравним симпатическую (ЯН) и парасимпатическую (ИНЬ) активность по отдельным каналам ЯН-ИНЬ групп и сделаем вывод о вегетативной направленности традиционных ЯН-ИНЬ синдромов (рис.18.3).

При этом обращает на себя внимание специфика ЯН-ИНЬ активности при возбуждении репрезентативных ФАЗ BL (ЯН) и LR (ИНЬ). Им присущи буферные свойства в механизмах симпатической и парасимпатической регуляции функционального равновесия.

(YANG) and parasympathetic (YIN) activity through separate channels of YANG-YIN groups and make the conclusion of vegetative orientation of the traditional YANG-YIN syndromes (fig.18.3).

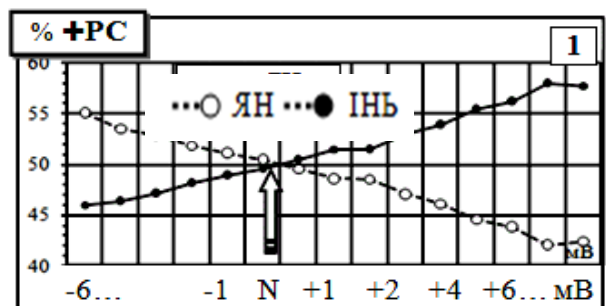
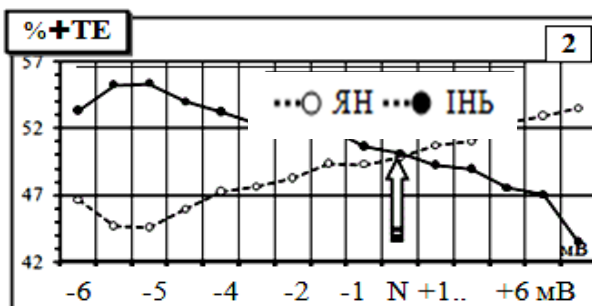
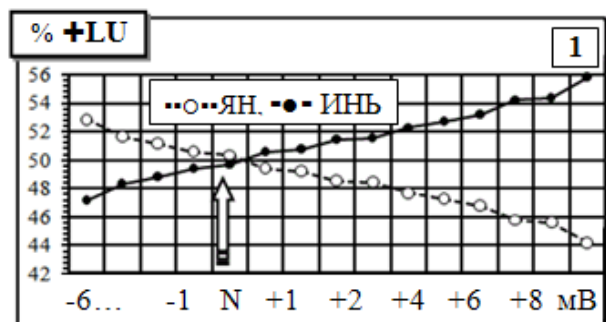
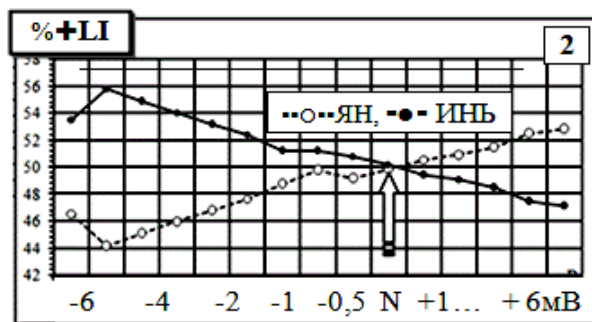
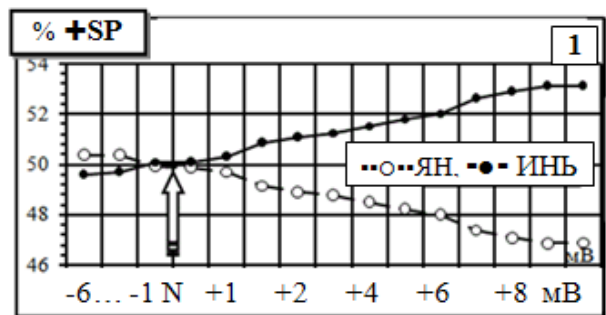
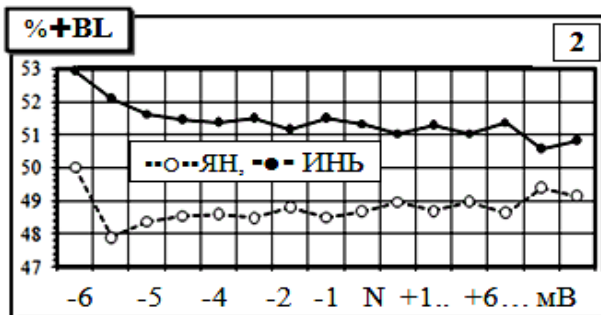
It is interesting to note the specificity of YANG-YIN activity during excitation of the functional system BL (YANG) and LR (YIN). It looks like buffer features are inherent in the mechanisms of sympathetic and parasympathetic regulation of functional equilibrium.

**Репрезентативная динамика ЯН-ИНЬ активности по группам (рис.18.3).**

**Representative dynamics YANG-YIN activity by groups (fig.18.3)**

Парасимпатическая направленность каналов группы ИНЬ (1) - **ИНЬ-индром**.  
Симпатическая направленность каналов группы ЯН (2) - **ЯН-синдром**.

*Parasympathetic orientation of channels of the group YIN (1) - **YIN-syndrome**.*  
*Sympathetic orientation of channels of the group YANG (2) - **YANG-syndrome**.*





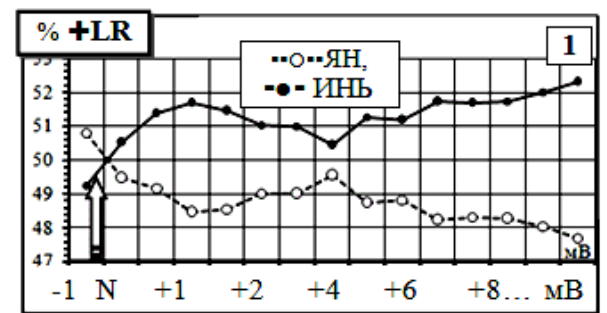
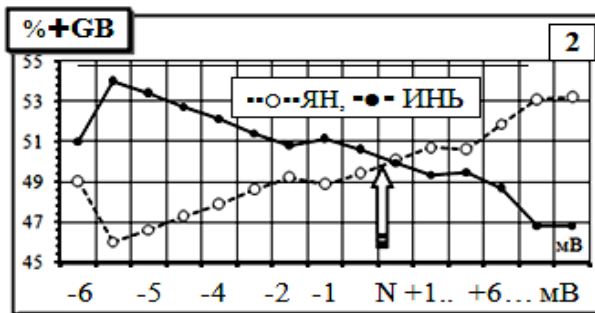
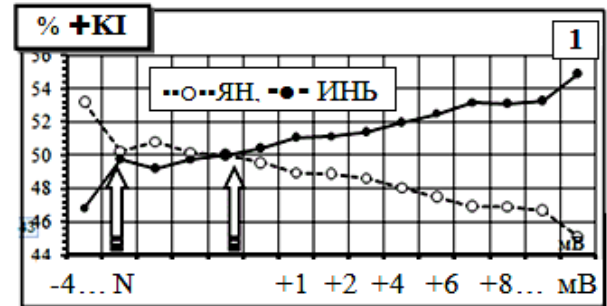
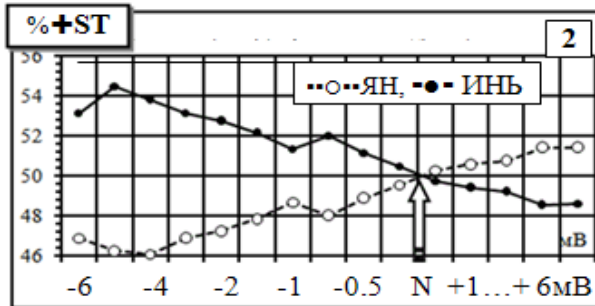
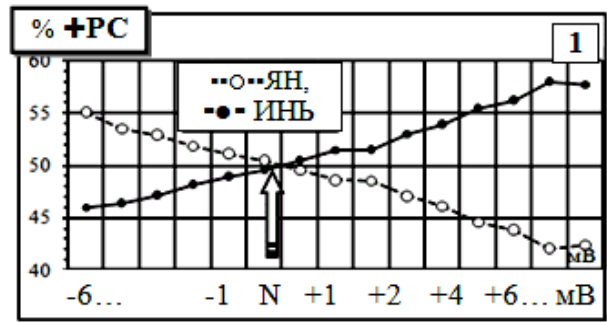
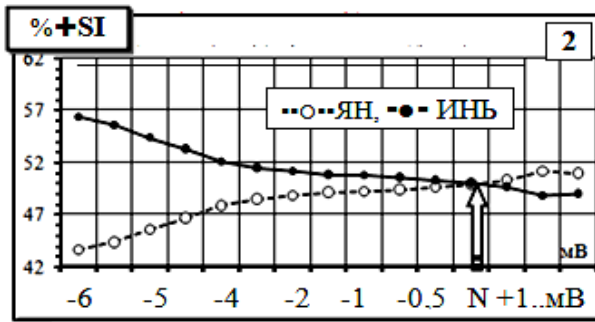


Рис.18.3 Спецификация ЯН-Инь синдромов при возбуждении отдельных каналов.  
 Fig. 18.3 Specification of YANG-YIN syndromes during excitation of separate channels.

**ВЫВОДЫ.**

1. Увеличение активности отдельных каналов группы Инь обуславливает рост количества случаев парасимпатической активности...

2. Увеличение активности отдельных каналов группы Ян обуславливает рост количества случаев симпатической активности ...

**CONCLUSION.**

1. The increase of activity of separate channels of the YIN group conditions the increase of the number of cases of parasympathetic activity...

2. The increase of activity of separate channels of the YANG group conditions the increase of the number of cases of sympathetic activity...

**2. СИСТЕМНАЯ ЗАВИСИМОСТЬ ВЕГЕТАТИВНЫХ КОЭФФИЦИЕНТОВ**

**2. SYSTEMIC DEPENDENCY OF VEGETATIVE COEFFICIENTS**

**Симпатичная направленность вегетативных коэффициентов при возбуждении каналов ЯН-группы**

**Sympathetic orientation of vegetative coefficients during excitation of the channels of YANG-group**

Возбуждение репрезентативных ФАЗ ЯН-группы (LI-ST-TE-SI-GB-BL) обу-

Excitation of the channels of YANG-group (LI-ST-TE-SI-GB-BL) conditions

словливает развитие ЯН-синдрома и сопровождается ростом вегетативных коэффициентов  $k$ -BP (рис.18.4). Последнее указывает на нарушение вегетативного равновесия (BP) и диагностическое значение  $k$ -BP для оценки уровней симпатической активности (12.347 наблюдений).

development of YANG-syndrome and is accompanied by the growth of vegetative coefficients  $k$ -VE (fig.18.4). The latter points to the disorder of vegetative equilibrium (VE) and diagnostic value  $k$ -VE for the assessment of the levels of sympathetic activity (12.347 observations).

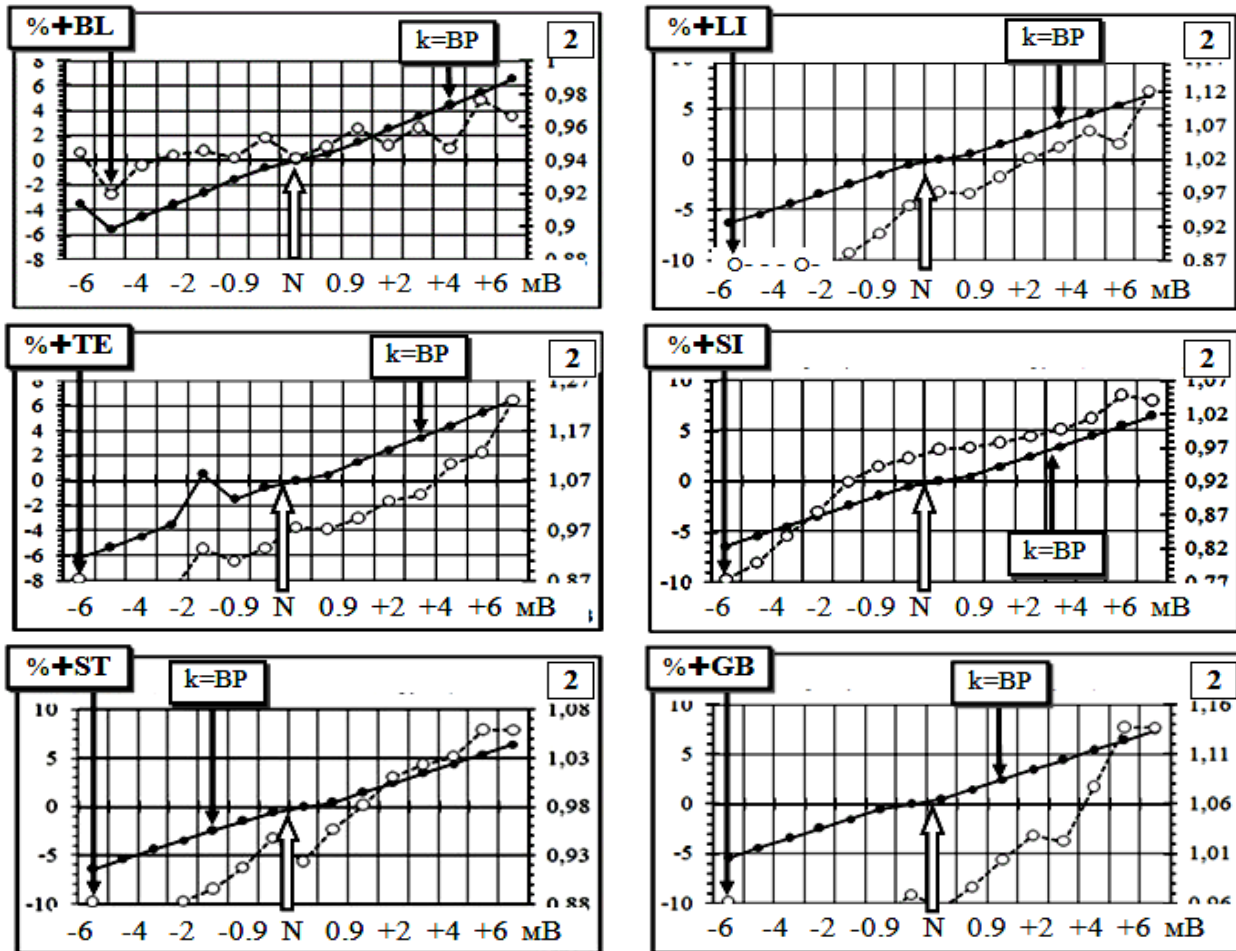


Рис.18.4 Динамика  $k$ -BP при возбуждении ЯН-систем.  
Fig.18.4 Dynamics of  $k$ -VE during excitation of YANG-systems.

**Парасимпатическая направленность вегетативных коэффициентов при возбуждении каналов ИНЬ-группы**

**Parasympathetic orientation of vegetative coefficients during excitation of the channels of YIN-group**

Возбуждение каналов ИНЬ-группы (LU-SP-PC-HT-LR-KI) обуславливает развитие ИНЬ-синдрома и сопровождается снижением вегетативных коэффициентов  $k$ -BP (рис. 18.5). Последнее указывает на нарушение вегетативного равновесия (BP) и диагностическое значение  $k$ -BP для оценки уровней парасимпатической активности (12.347 наблюдений).

Excitation of the channels of YIN-group (LU-SP-PC-HT-LR-KI) conditions development of YIN-syndrome and is accompanied by the growth of vegetative coefficients  $k$ -VE (fig.18.5). The latter points to the disorder of vegetative equilibrium (VE) and diagnostic value  $k$ -VE for the assessment of the levels of sympathetic activity (12.347 observations).

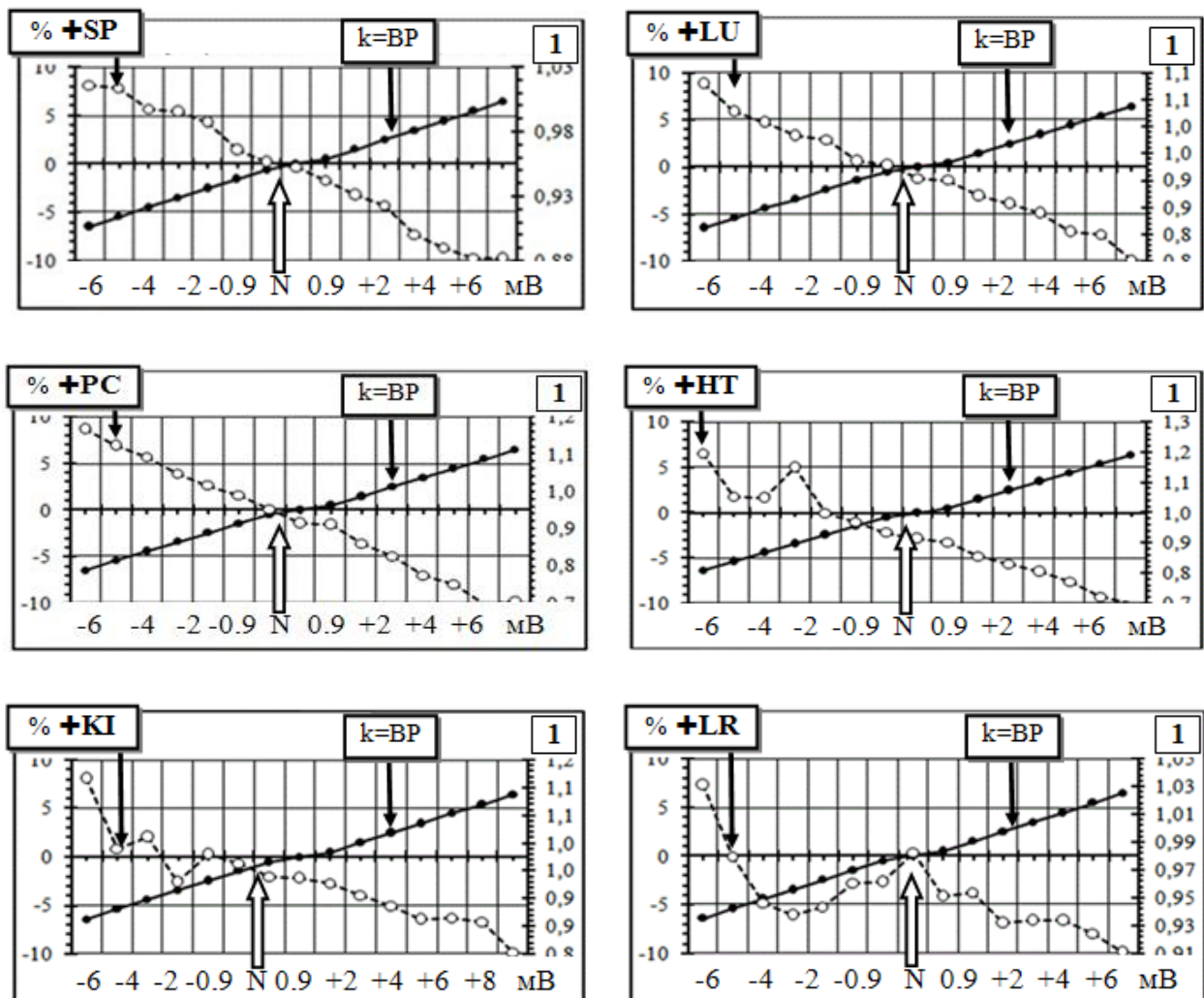


Рис.18.5 Динамика k-ВР при возбуждении ИНЬ-систем.  
 Fig.18.5 Dynamics of k-VE during excitation of YIN-systems.

**Динамика k-ВР по системным ЯН-ИНЬ группам**

**Dynamics of k-VE through the Systemic YANG-YIN groups**

А теперь сравним динамику системных вегетативных коэффициентов по отдельным ЯН-ИНЬ группам (рис.18.6) и убедимся в следующем.

Рост k-ВР сопровождается симпатическую направленность каналов ЯН, а их угнетение, наоборот, парасимпатическую направленность каналов ИНЬ-группы. Полученные результаты указывают на диагностическое значение k-ВР при оценке уровней функционально-вегетативных нарушений. При этом обращает на себя внимание специфическая синхронно-асинхронная динамика k-ВР при возбуждении функциональных систем BL-ЯН и LR-ИНЬ.

And now let us compare the dynamics of systemic vegetative coefficients through separate YANG-YIN groups (fig.18.6) and become confident in the following.

Growth of k-VE accompanies sympathetic orientation of YANG channels, and their oppression, on the contrary – parasympathetic orientation of YIN-group channels. The received results point to the diagnostic value of k-VE during assessment of the levels of functional-vegetative disorders. At the same time it is interesting to note the specific synchronous-asynchronous dynamics of k-VE during excitation of functional systems BL-YANG and LR-YIN.

Парасимпатический характер k-ВР при возбуждении каналов ИНЬ (1).  
Симпатический характер k-ВР при возбуждении каналов ЯН (2).

Parasympathetic orientation of k-VE during excitation of YIN channels (1).  
Sympathetic orientation of k-VE during excitation of YANG channels (2)

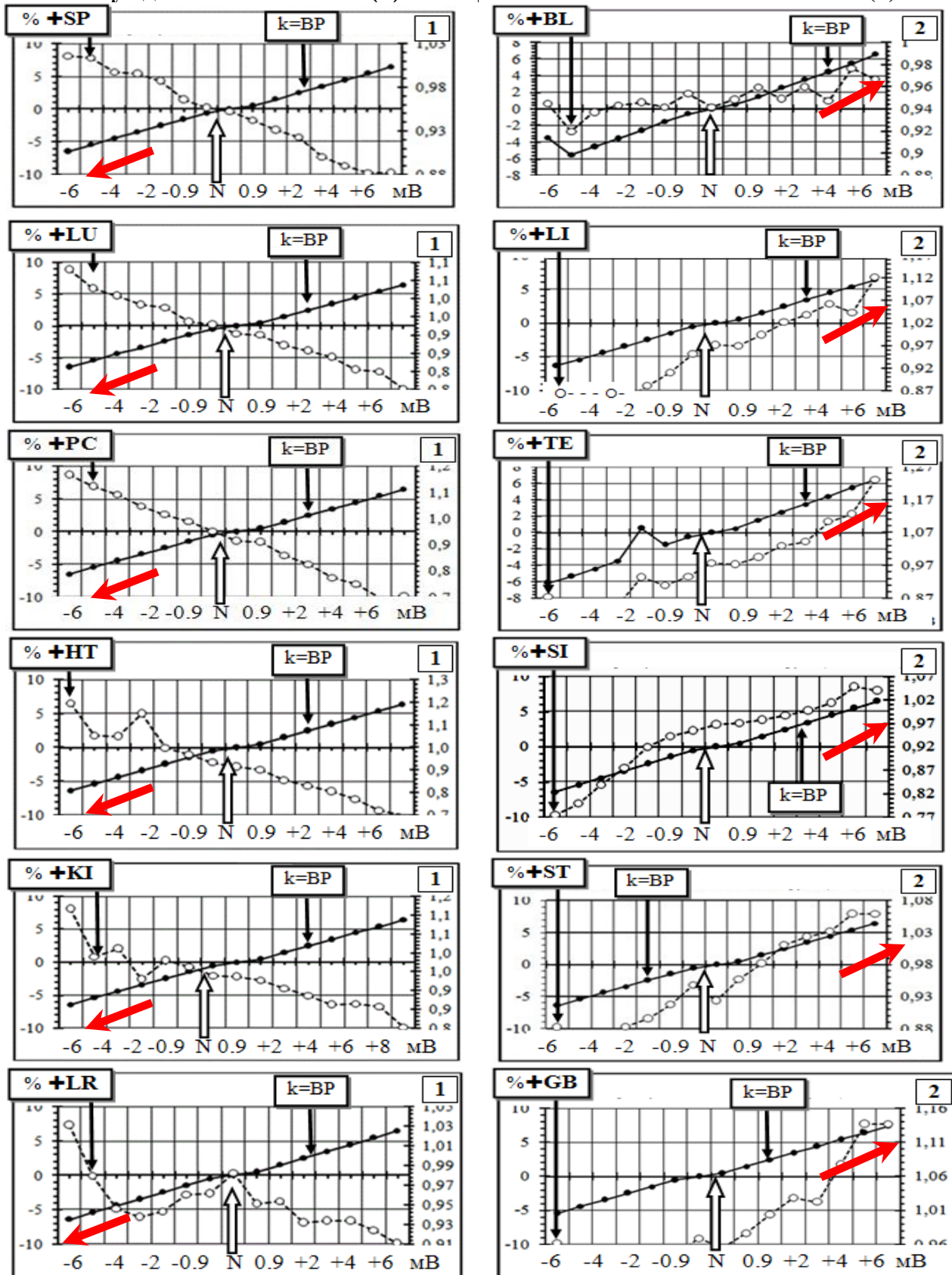


Рис.18.6 Симпатическая (2) и парасимпатическая (1) динамика k-ВР.  
Fig.18.6 Sympathetic (2) and parasympathetic (1) dynamics k-VE.

### 3. ВЕГЕТАТИВНЫЕ ПОКАЗАТЕЛИ И ЗАВИСИМОСТЬ ЯН-ИНЬ СИСТЕМ

Динамика  $k$ -BP в женской и мужской группах не имеет половых особенностей. Примером служат синхронные с динамикой вегетативных коэффициентов ( $k$ ) функциональные реакции со стороны LI-TE-SI, ST-GB (группа ЯН), асинхронные со стороны LU-PC-HT, KI (группа ИНЬ) и парадоксальные системные реакции со стороны BL (ЯН) и LR (ИНЬ; рис.18.7). Последнее опять говорит о их специфической активности.

### 3. VEGETATIVE INDEXES AND THE DEPENDENCE OF YANG-YIN SYSTEMS

Increasing dynamics of  $k$ -VE in female and male groups has no gender peculiarities. The examples are synchronous with dynamics of vegetative coefficients ( $k$ ) functional reactions of LI-TE-SI, ST-GB (YANG group), asynchronous of LU-PC-HT, KI (YIN group) and paradoxical system reactions of BL (YANG) and LR (YIN; fig.18.7). The latter distinguishes the specific activity of the mentioned systemic groups.

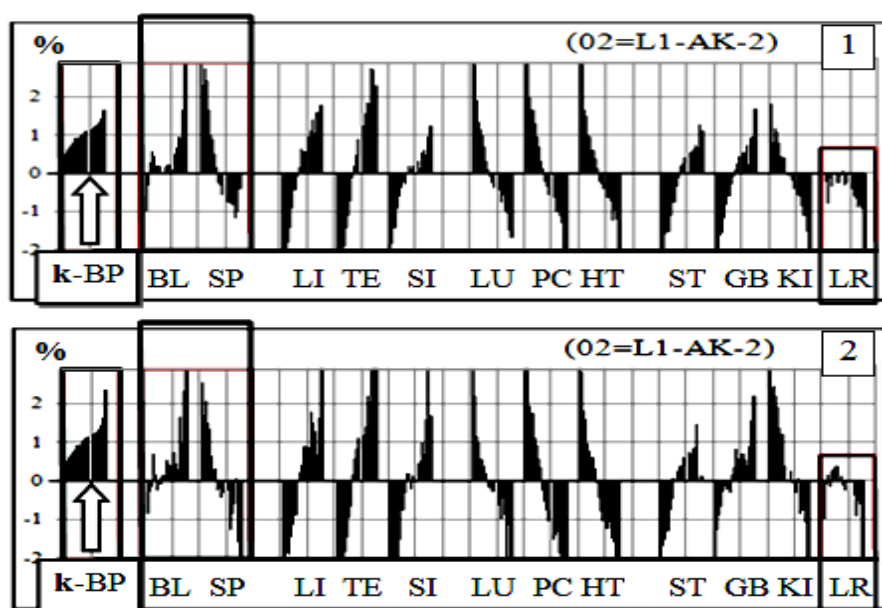


Рис.18.7 Аналогичная системная зависимость в женской (1) и мужской (2) группах при возрастающей динамике  $k$ -BP.



Fig.18.7 Analogical systemic dependency in female (1) and male (2) groups during growing dynamics of  $k$ -VE.



Рассмотрим теперь нашу проблему под другим углом зрения: как зависят показатели вегетативного гомеостаза [количество случаев симпатической (СА) и парасимпатической (ПА) активности] от возбуждения отдельных систем ЯН и ИНЬ групп?

Стал вопрос о зависимости отдельных вегетативных показателей от возбуждения функциональных систем ЯН и ИНЬ групп.

And now let us observe our issue from different point of view: how do indexes of vegetative homeostasis [quantity of cases of sympathetic (SA) and parasympathetic (PA) activity] depend on excitation of separate systems of YANG and YIN groups?

There is an issue of the dependency of separate vegetative indexes on excitation of functional systems of YANG and YIN groups.

#### Вегетативная зависимость от активности каналов ЯН-группы

Биофизическая реальность свидетельствует, что нарастающее возбуждение (энергетическая активность) функцио-

#### Vegetative dependency on the activity of the channels of YANG-group

Biophysical reality unambiguously testifies that the growing excitation (energy activation) of the functional systems of

нальных систем ЯН-группы LI-ST-TE-SI-GB-BL обуславливает увеличение количества случаев симпатической активности (СА) и уменьшение количества случаев парасимпатической (ПА) активности [12.347 наблюдений; рис.18.8].

YANG-group (LI-ST-TE-SI-GB-BL) conditions possible growth of the number of cases of sympathetic activity (SA) and decrease of the number of cases of parasympathetic (PA) activity [12.347 observations; fig.18.8].

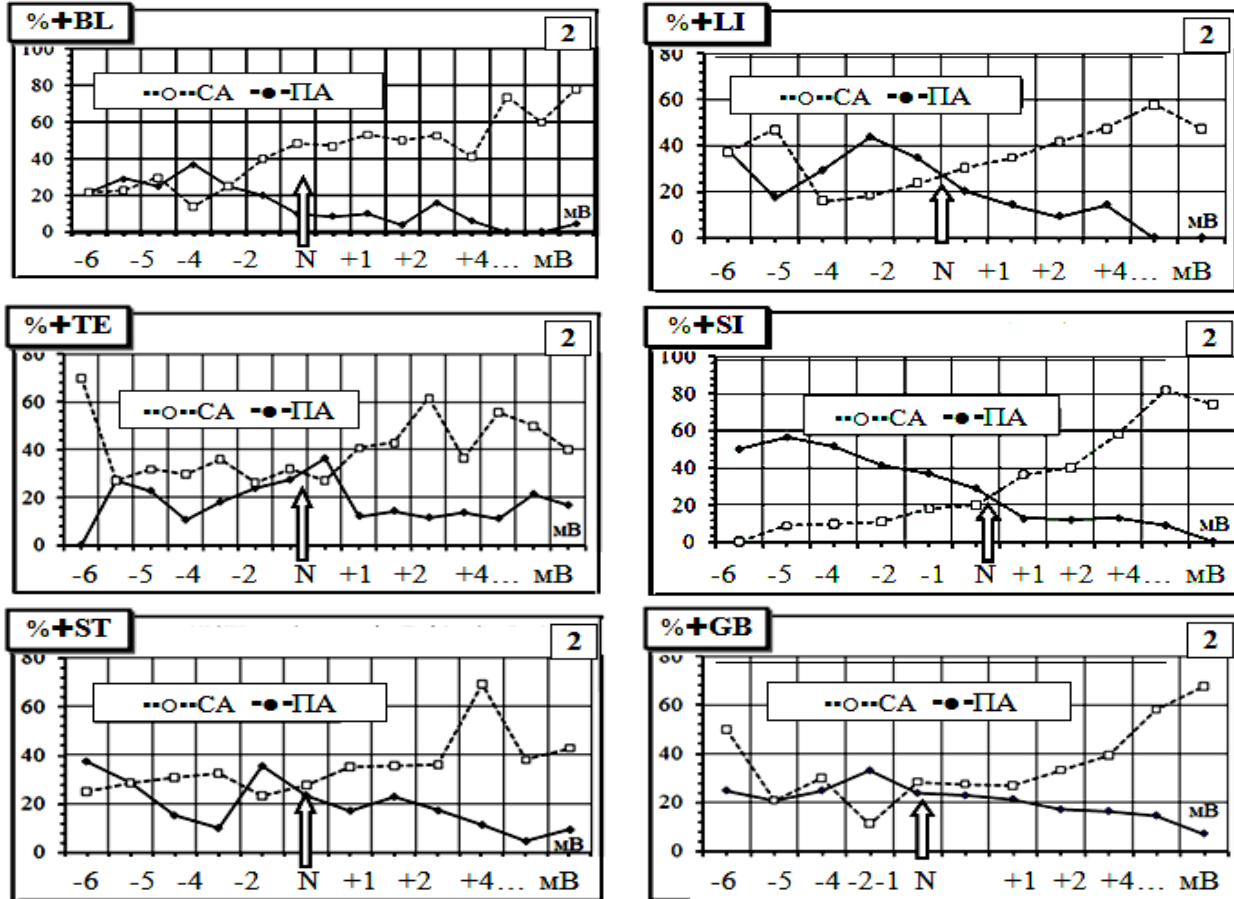


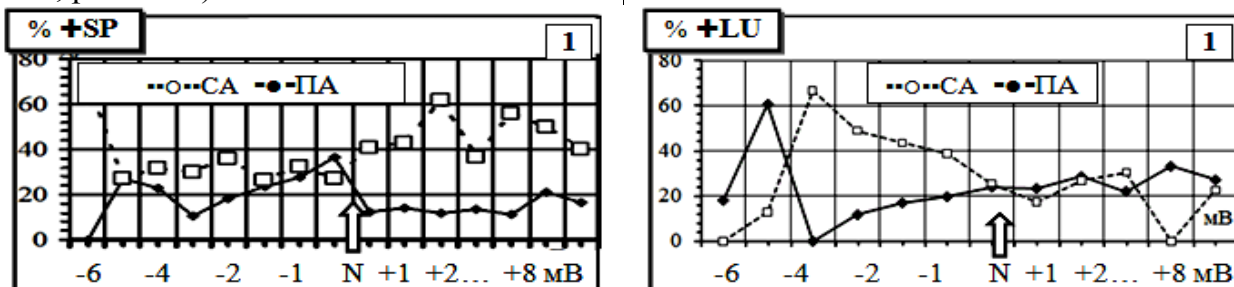
Рис.18.8 Симпатичная направленность возбуждения каналов ЯН-группы  
Fig.18.8 Sympathetic orientation of excitation of YANG channels

**Вегетативная зависимость от активности каналов ИНЬ-группы**

**Vegetative dependency on the activity of the channels of YIN-group**

Нарастающее возбуждение функциональных систем ИНЬ-группы (LU-SP-PC-HT-LR-KI) обуславливает вероятен рост количества случаев парасимпатической (ПА) и уменьшение симпатической (СА) активности (12.347 наблюдений; рис. 18.9).

Growing excitation of the functional systems of YIN-group (LU-SP-PC-HT-LR-KI) conditions possible growth of the number of cases of parasympathetic activity (SA) and decrease of parasympathetic (PA) activity [12.347 observations; fig.18.9].



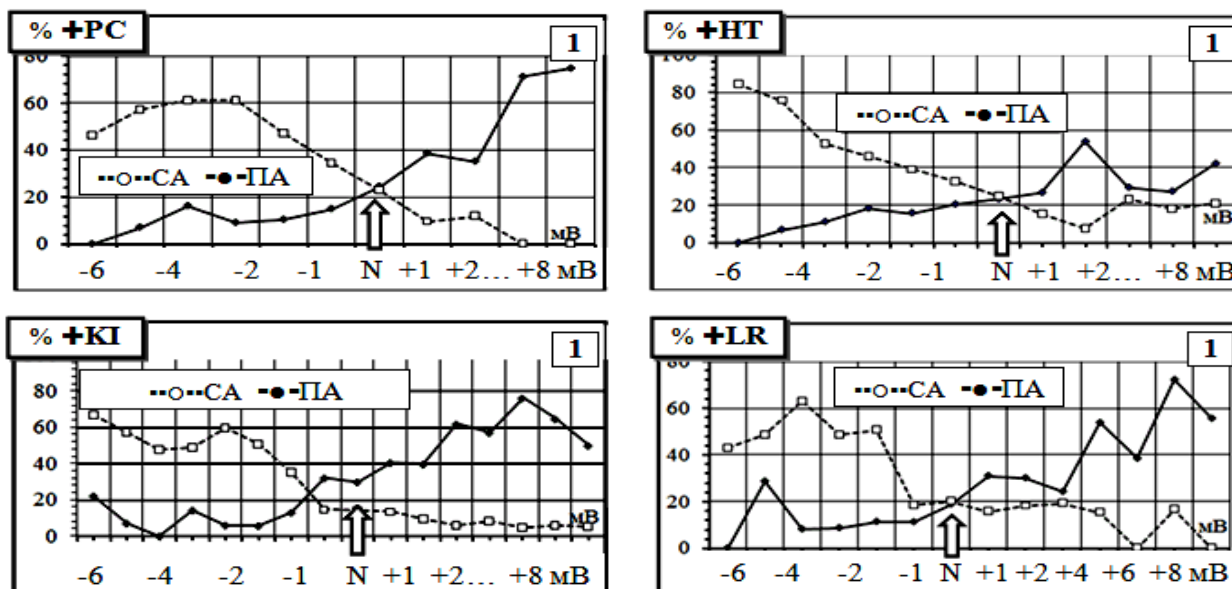


Рис.18.9 Парасимпатическая направленность возбуждения каналов ИНЬ-группы  
 Fig.18.9 Parasympathetic orientation of excitation of YIN channels

<b>СА и ПА по ЯН-ИНЬ группам</b>	<b>SA and PA on YANG-YIN groups</b>
----------------------------------	-------------------------------------

А теперь сравним динамику симпатической (СА) и парасимпатической (ПА) зависимости от возбуждения отдельных каналов ЯН и ИНЬ групп (рис.18.10). Анализ приведенного материала говорит.

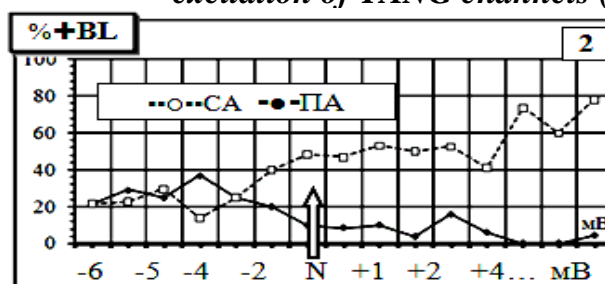
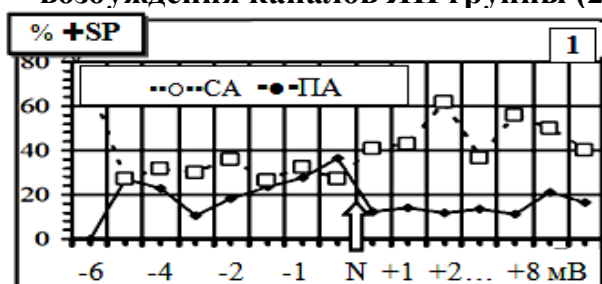
- 1) Нарастающее возбуждение отдельных систем ЯН-группы обуславливает рост количества случаев симпатической активности.
- 2) Нарастающее возбуждение отдельных систем ИНЬ-группы обуславливает рост количества случаев парасимпатической активности.
- 3) Активность каналов ЯН-ИНЬ групп имеет четко выраженную вегетативную направленность.

And now let us compare the dynamics of sympathetic (SA) and parasympathetic (PA) dependency on excitation of separate channels YANG and YIN groups (fig.18.10). Analysis of the represented material testifies to the following.

- 1) Growing excitation of separate systems of YANG-group conditions the increase of a number of cases of sympathetic activity.
- 2) Growing excitation of separate systems of YIN-group conditions the increase of a number of cases of parasympathetic activity.
- 3) Activity of the channels of YANG-YIN groups has clearly expressed vegetative orientation.

**Парасимпатическая направленность возбуждения каналов ИНЬ группы (1)**  
**Симпатичная направленность возбуждения каналов ЯН группы (2)**

**Parasympathetic orientation of excitation of YIN channels (1)**  
**Sympathetic orientation of excitation of YANG channels (2)**



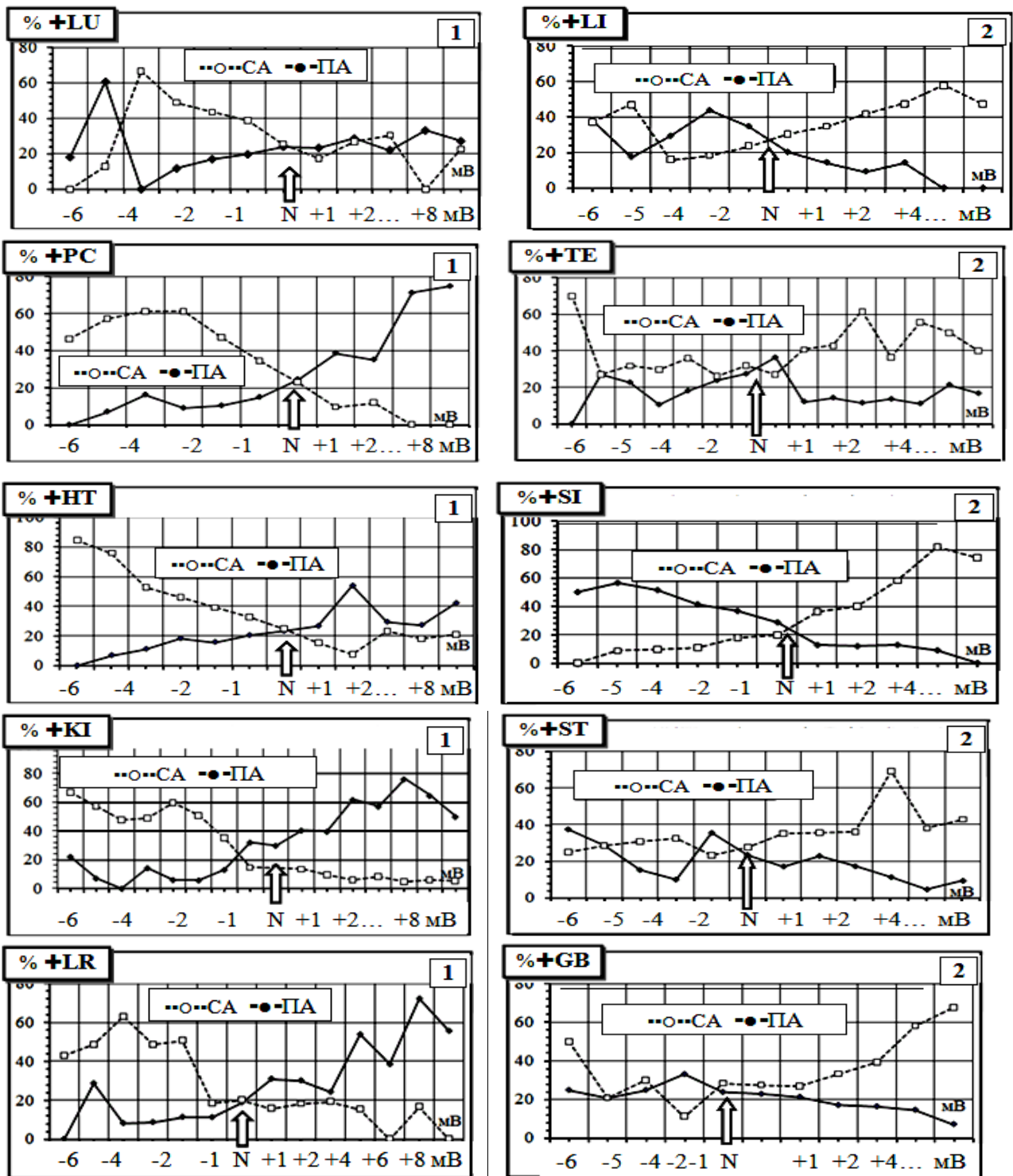


Рис.18.10 Системная симпатическая (2) и парасимпатическая (1) направленность.  
 Fig.8.10 Systemic sympathetic (2) and parasympathetic (1) orientation.

Анализ предыдущего материала свидетельствует, что количество случаев симпатической активности достоверно зависит от роста активности функциональных систем ЯН-группы, а парасимпатической - от роста активности функциональных систем группы ИНЬ.

Стал вопрос о зависимости динамики

Analysis of the previous material unambiguously testifies that a number of cases of sympathetic activity can possibly depend on the growth of activity of the functional systems of YANG-group, and parasympathetic – on the growth of activity of the functional systems of YIN-group.

There is an issue of interdependent dy-



вегетативных показателей (СА и ПА) от зоны вегетативного равновесия.

namics of vegetative indexes of (SA and PA) with the indexes of the zone of vegetative equilibrium.

**4. ВЕГЕТАТИВНАЯ ДИСПЕРСИЯ ПРИ ВОЗБУЖДЕНИИ ОТДЕЛЬНЫХ РЕПРЕЗЕНТАТИВНЫХ "ФАЗ"**

**4. VEGETATIVE DISPERSION FOR EXCITATION OF THE SEPARATE REPRESENTATIVE OF "FAZ"**

**Симпатическая вегетативная дисперсия при возбуждении ЯН-группы**

**Sympathetic vegetative dispersion during excitation of YANG-group**

Рост активности любой ФАЗ группы ЯН (LI-ST-TE-SI-GB-BL) до- и выше зоны своей функциональной нормы обуславливает закономерную симпатическую динамику функционально-вегетативного гомеостаза. Последняя сопровождается уменьшением случаев парасимпатической активности (ПА), увеличение случаев вегетативного равновесия (BP) и симпатической (СА) активности (12 347 наблюдений, рис.18.11).

Growth of activity of any of YANG systems (LI-ST-TE-SI-GB-BL) to- and higher of the zone of individual functional norm conditions regular sympathetic dynamics of functional-vegetative homeostasis. The latter is accompanied with the decrease of a number of cases of parasympathetic activity (PA), increase of cases of vegetative equilibrium (VE) and sympathetic (SA) activity (12. 347 observations, fig..18.11).

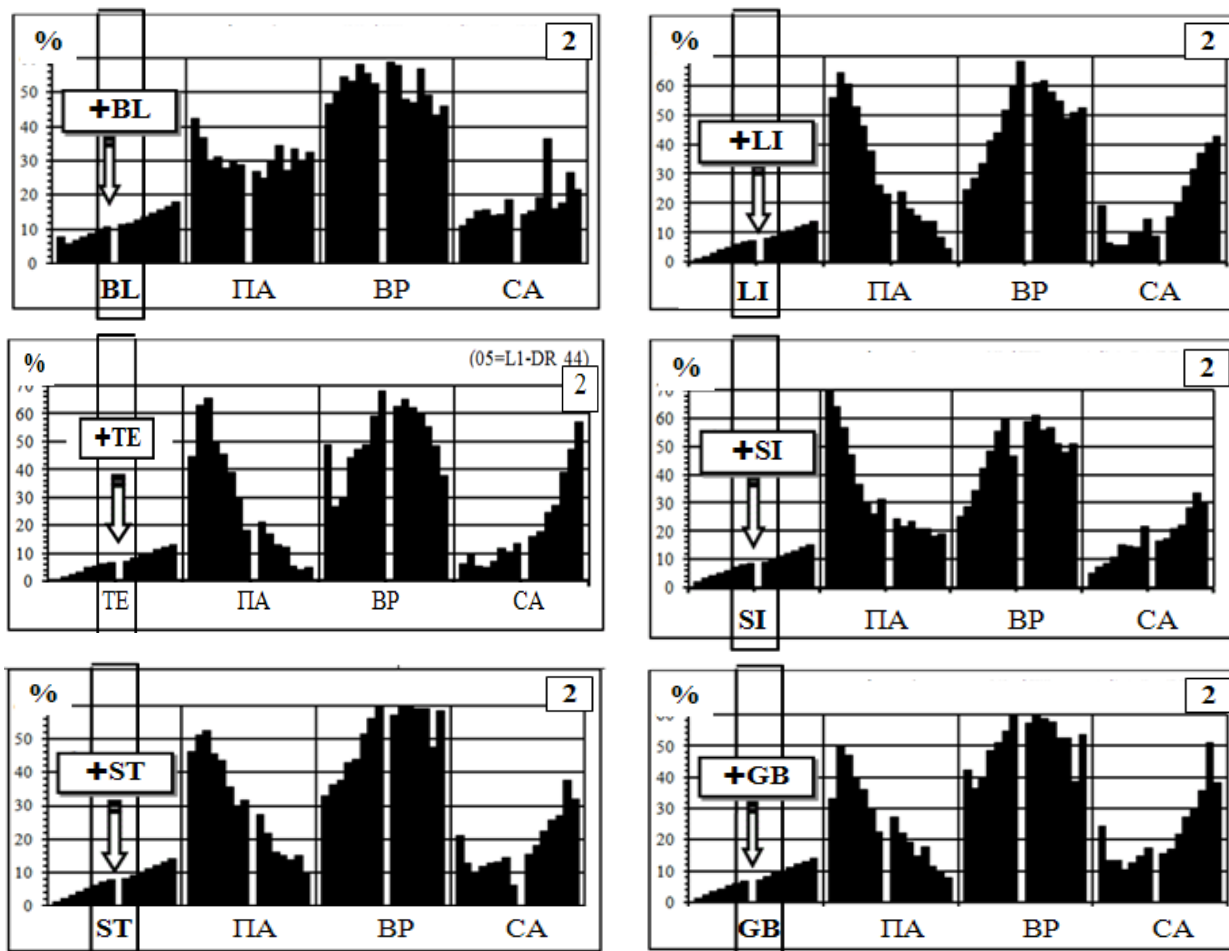


Рис.18.11 Симпатическая вегетативная дисперсия при + ЯН-группы  
Fig.18.11 Sympathetic vegetative dispersion during + of YANG-group

Обращает на себя внимание инертная динамика показателей симпатической и парасимпатической активности на возбуждение функциональной системы BL.

Interesting to note the inert dynamics of the indexes of sympathetic and parasympathetic activity during excitation of the functional system BL.

**Парасимпатическая вегетативная дисперсия при возбуждении ИНЬ-группы**

**Sympathetic vegetative dispersion during excitation of YIN systems**

Рост активности любой из систем группы ИНЬ (LU-SP-PC-HT-LR-KI) до- и выше зоны своей функциональной нормы обуславливает закономерную парасимпатическую динамику вегетативного гомеостаза: увеличение парасимпатической активности (ПА), уменьшение вегетативного равновесия (ВР) и симпатической (СА) активности (12.347 наблюдений, рис.18.12). Обращает на себя внимание парадоксальная парасимпатическая реакция функциональной активности LR.

Growth of activity of any YIN system (LU-SP-PC-HT-LR-KI) to- and higher of the zone of functional norm conditions regular parasympathetic dynamics of vegetative homeostasis: growth of parasympathetic activity (PA), decrease of vegetative equilibrium (VE) and sympathetic (SA) activity (12.347 observations, fig..18.12). Interesting to note the buffer relation of functional activity of LR to the indexes of vegetative homeostasis.

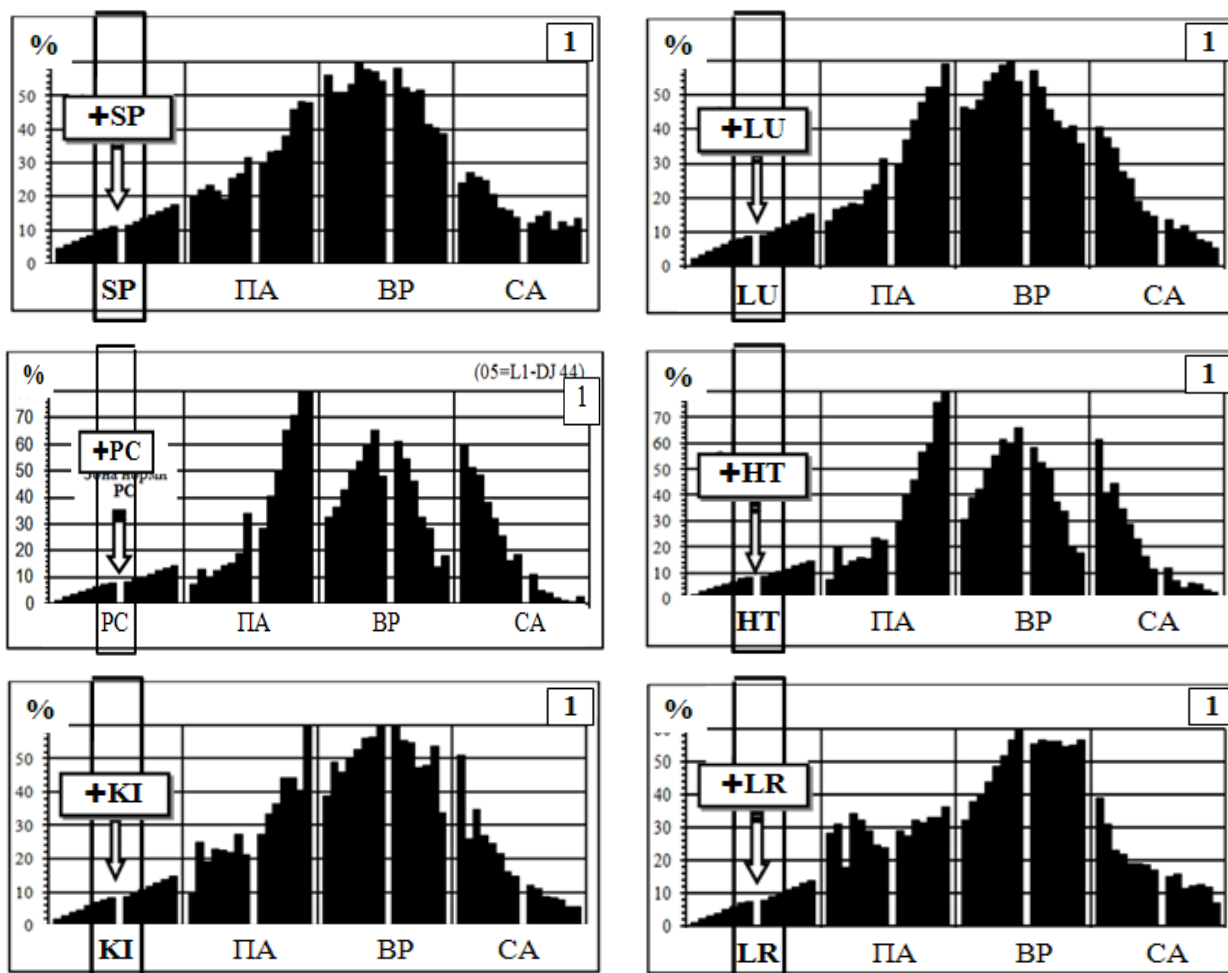


Рис.18.12 Парасимпатическая вегетативная дисперсия при + ИНЬ-группы  
Fig.18.12 Parasympathetic vegetative dispersion during + of YIN-group

А теперь сопоставим дисперсию вегетативных показателей при возбуждении отдельных каналов ЯН и ИНЬ групп и сравним их вегетативную направленность (мал.18.13) ...

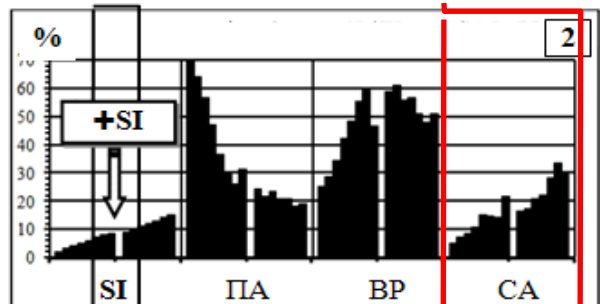
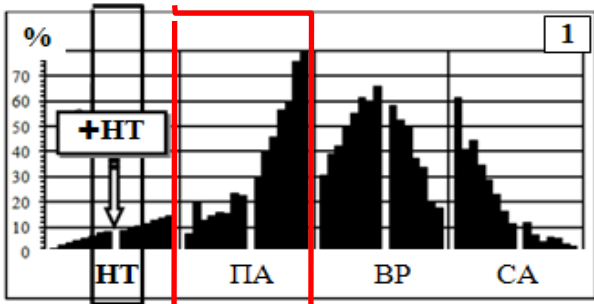
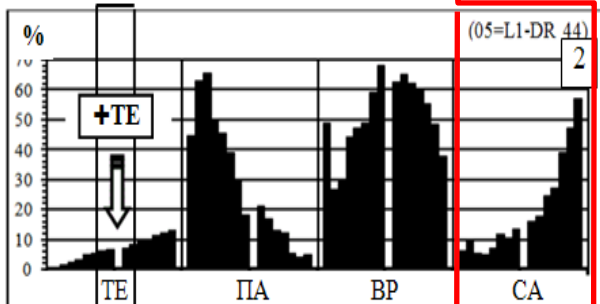
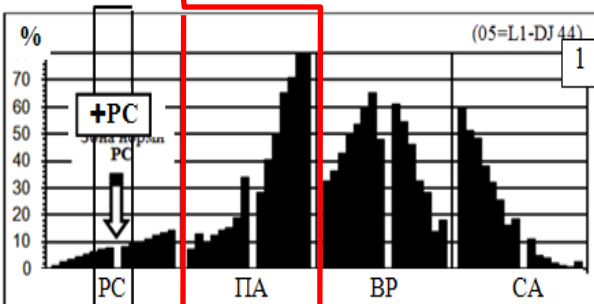
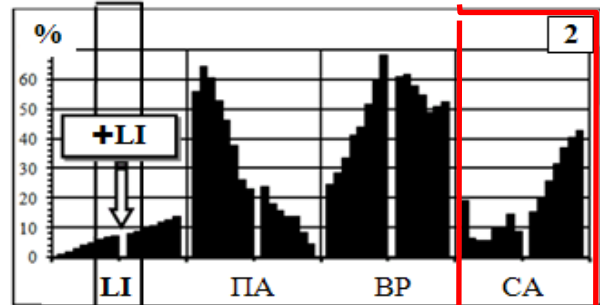
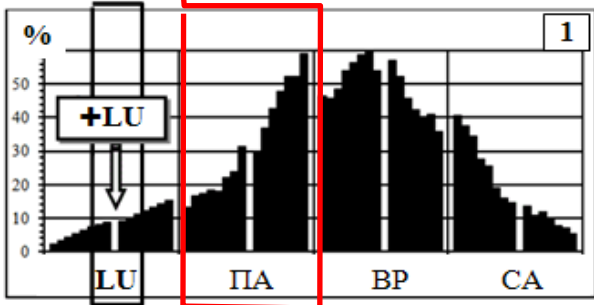
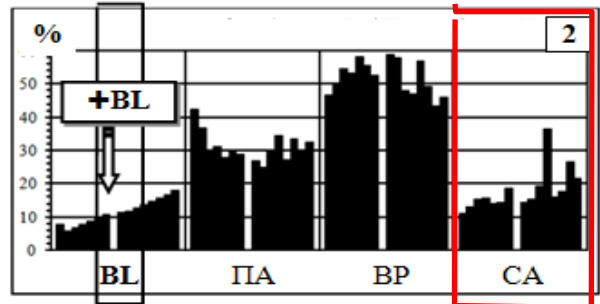
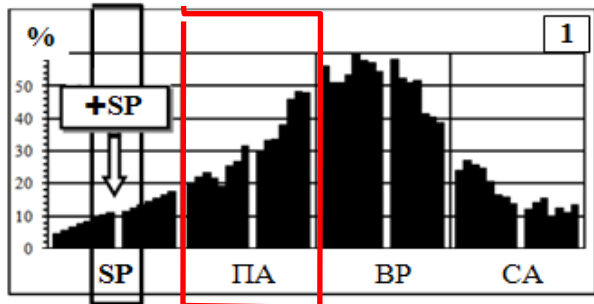
And now let us compare the dispersion of vegetative indexes during excitation of separate YANG and YIN channels and see their orientation (fig..18.13)...

**Дисперсия вегетативных показателей по ЯН-ИНЬ группам**

**Dispersion of vegetative indexes through YANG-YIN groups**

*ИНЬ-группа (1) - направленная ПА.  
ЯНЬ-группа (2) - направленная СА*

*YIN-group (1) - directed of PA.  
YANG-group (2) - directed of SA*



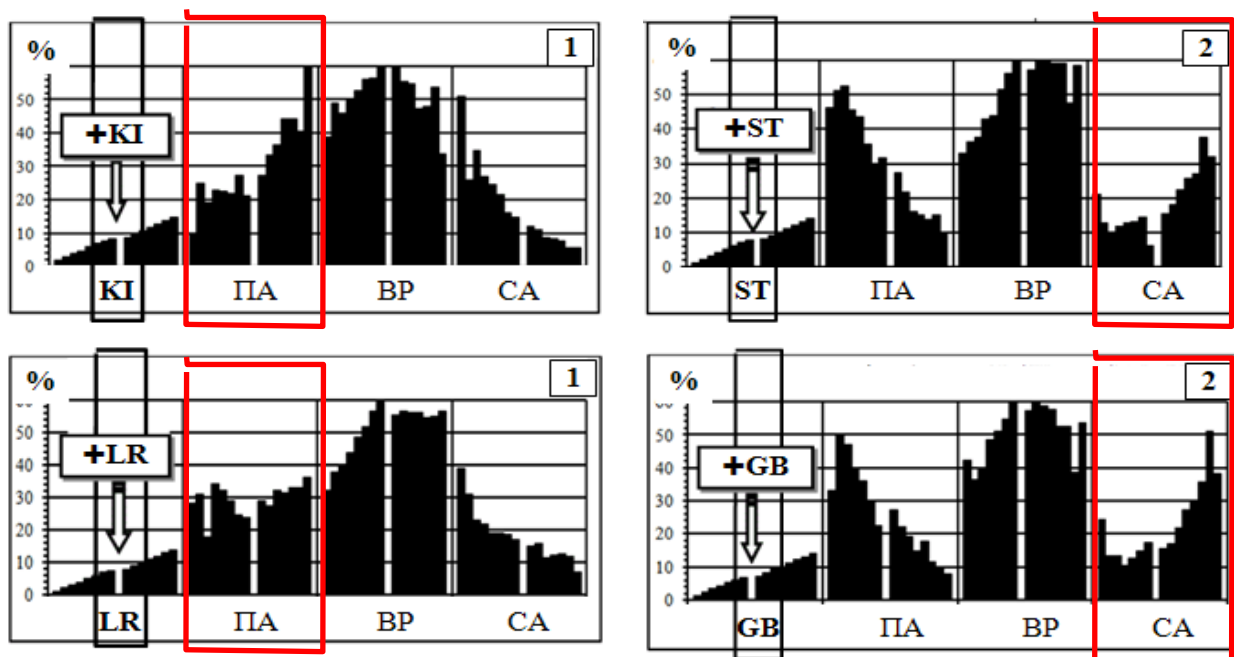


Рис.18.13 Дисперсия вегетативных показателей при + ЯН-Инь групп.  
 Fig..18.13 Dispersion of vegetative indexes during + of YANG-YIN groups.

#### 5. ВЕГЕТАТИВНЫЕ ПРОФИЛИ (ОП) КАК БИОФИЗИЧЕСКИХ РЕАЛЬНОСТЬ

Детальный анализ предыдущего материала позволил выявить феномен Вегетативных профилей (ВП). Его реальность свидетельствует о следующем.

1) Рост парасимпатического угнетения зависит от активности функциональных систем группы Инь (SP, LU-PC-HT, LR-KI). При этом ведущее значение имеет система SP.

2) Рост симпатического возбуждения зависит от активности функциональных систем группы Ян (BL, LI-TE-SI, ST-GB). При этом ведущее значение имеет система BL.

3) Структура функционально-вегетативных профилей симпатической и парасимпатической направленности зеркально противоположна.

4) Вегетативные профили женской и мужской групп идентичны, что свидетельствует о функциональной закономерности.

5) Структура функционально-вегетативных профилей указывает на уровень вегетативного нарушения.

#### 5. VEGETATIVE PROFILES (VP) AS BIOPHYSICAL REALITY

Detailed analysis of the previous material allowed discovering the phenomenon of Vegetative profiles (VP). Its reality testifies to the following.

1) Growth of parasympathetic oppression depends on excitation of the functional systems of YIN group (SP, LU-PC-HT, LR-KI). At the same time the leading role is of the system SP.

2) Growth of sympathetic excitation depends on excitation of the functional systems of YANG group (BL, LI-TE-SI, ST-GB). At the same time the leading role is of the system BL.

3) The structure of functional-vegetative profiles of sympathetic and parasympathetic orientation is mirror-opposite.

4) The forms of vegetative profiles of female and male groups are identical, which is the evidence of functional regularity.

5) The structure of functional-vegetative profile shows the level of vegetative disorder.

Теперь рассмотрим функционально-вегетативные профили (ФП) симпатической (СА) и парасимпатической (ПА) активности в женской (9.947 случаев) и мужской (5.492) группах (рис.5.1-7) ..

Now, let us view the functional-vegetative profiles (VP) of sympathetic (SA) and parasympathetic (PA) activity in female (9.947 observations) and male (5.492 observations) groups (fig.5.1-7).

**ПРОФИЛИ ВЕГЕТАТИВНОГО ГОМЕОСТАЗА В ЖЕНСКОЙ И МУЖСКОЙ ГРУППАХ**

**PROFILES OF VEGETATIVE HOMEOSTASIS IN FEMALE AND MALE GROUPS**

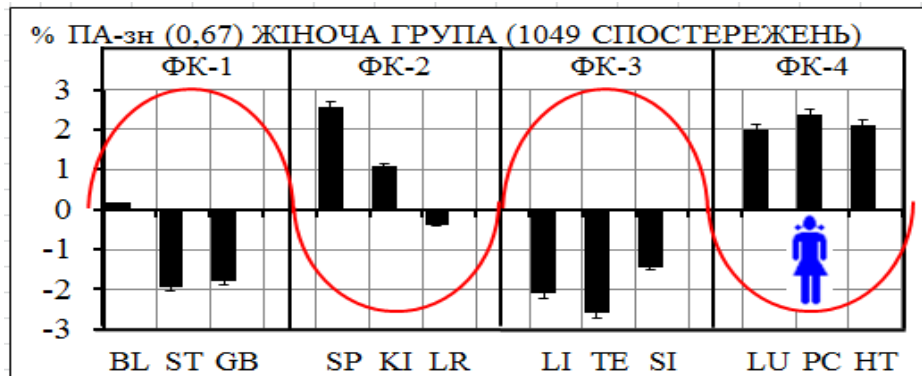


Рис.18.14 Вегетативный профиль значительной парасимпатической активности (ПА-зн) в женской и мужской группах

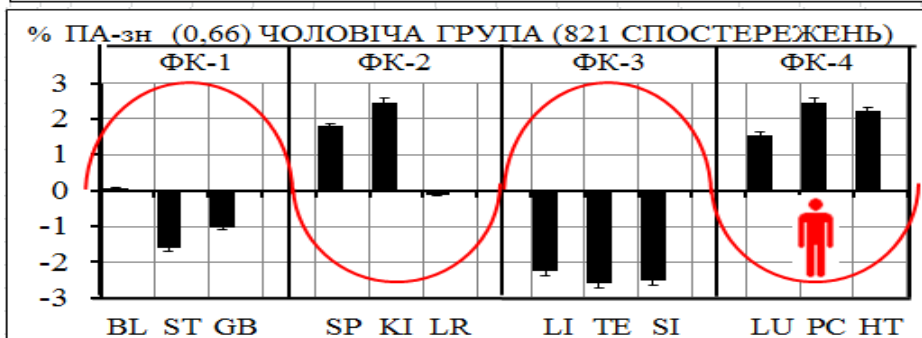


Fig.18.14 Vegetative profile of significant prevalence of parasympathetic activity (PA-s) in female and male groups.

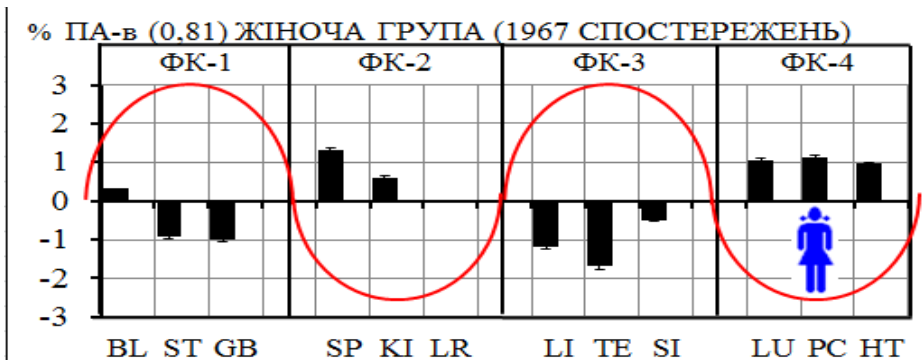


Рис.18.15 Вегетативный профиль выраженной парасимпатической активности (ПА-в) в женской и мужской группах

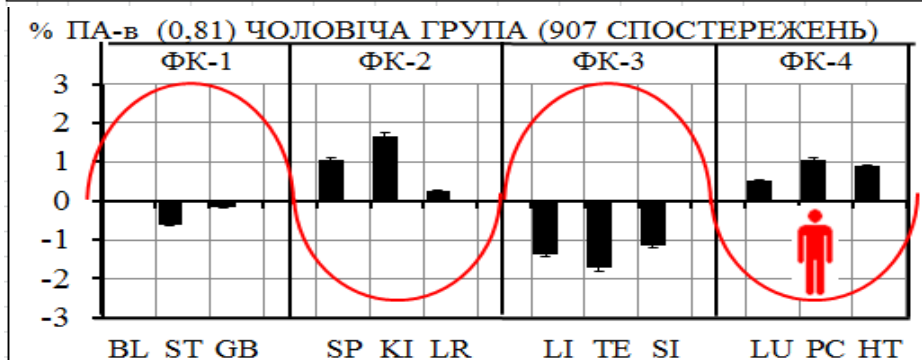


Fig.18.15 Vegetative profile of expressed prevalence of parasympathetic activity (PA-e) in female and male groups.

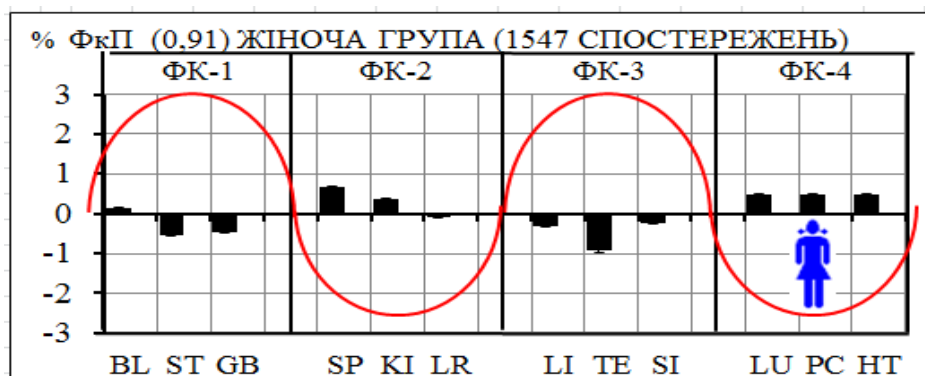


Рис.18.16 Вегетативный профиль функциональной компенсации парасимпатической активности (ФкП) в женской и мужской группах

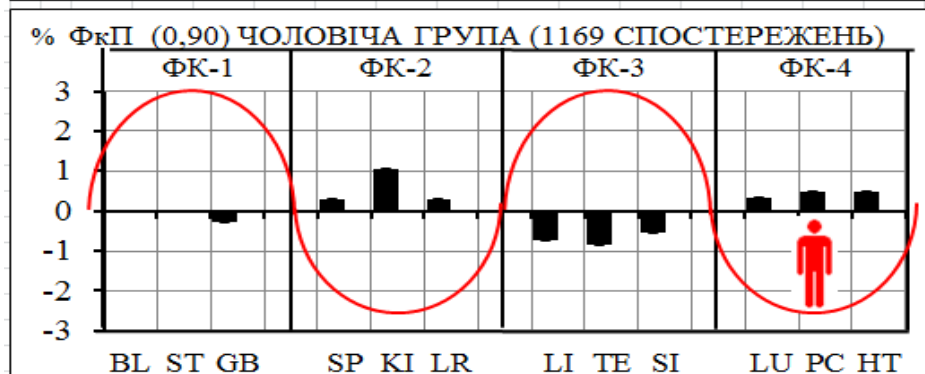


Fig.18.16 Vegetative profile of functional compensation of parasympathetic activity (FcP) in female and male groups.



Рис.18.17 Вегетативный профиль функциональной равновесия (ВР) - в женской и мужской группах

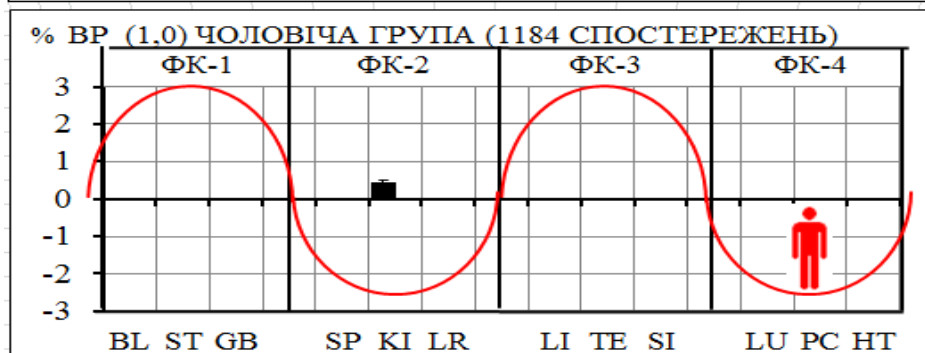


Fig.18.17 Vegetative profile of functional equilibrium (VE) in female and male groups.

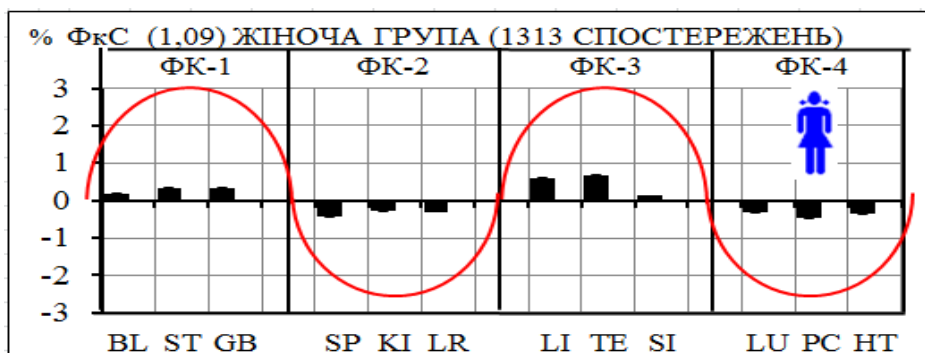


Рис.18.18 Вегетативный профиль функциональной компенсации симпатической активности (ФкС) в женской и мужской группах

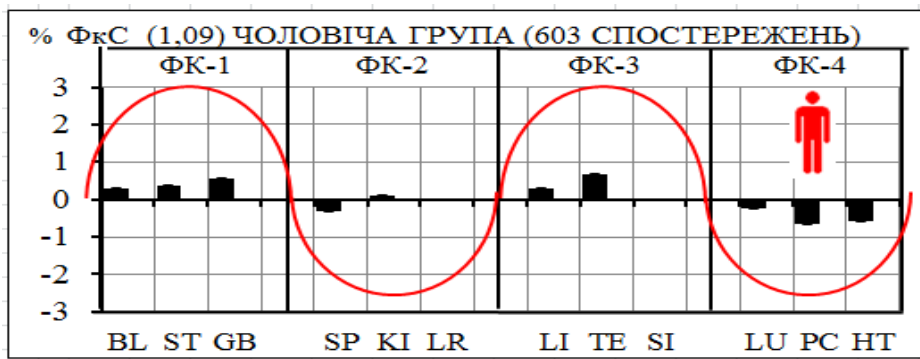


Fig.18.18 Vegetative profile of functional compensation of sympathetic activity (FcS) in female and male groups.

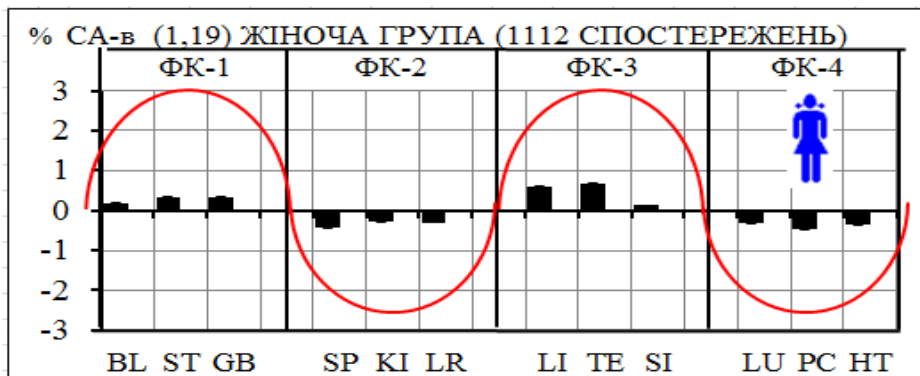


Рис.18.19 Вегетативный профиль выраженной преимущества симпатической активности (СА-в) в женской и мужской группах

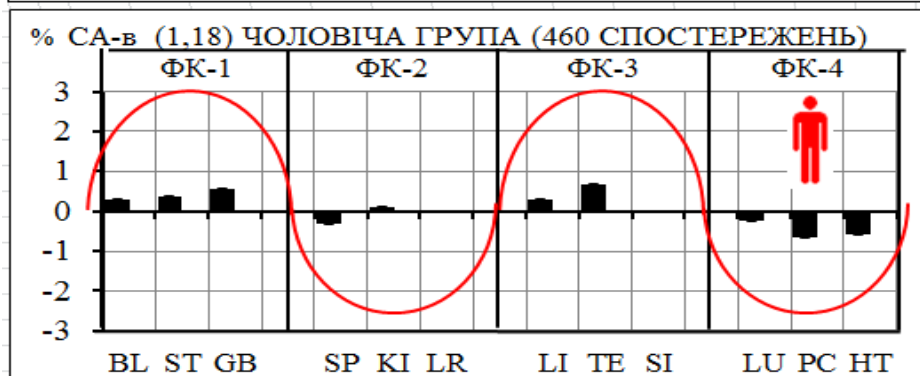


Fig.18.19 Vegetative profile of expressed prevalence of sympathetic activity (SA-e) in female and male groups.

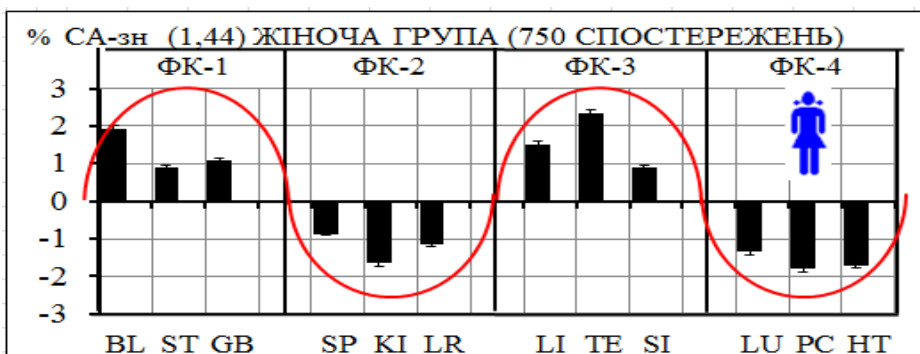


Рис.18.20 Вегетативный профиль значительного преимущества симпатической активности (СА-зн) в женской и мужской группах

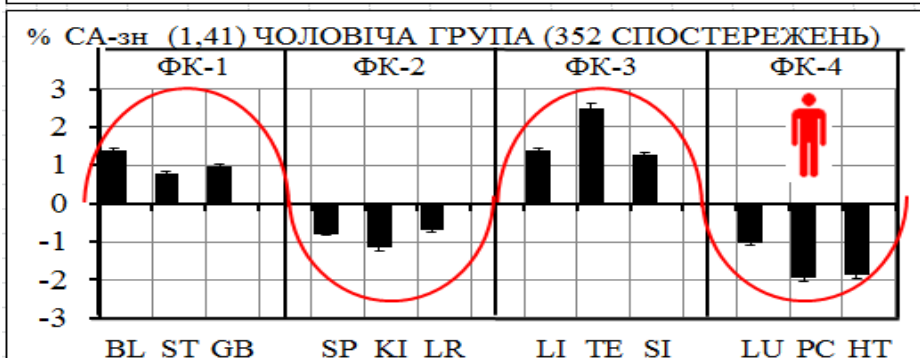


Fig.18.20 Vegetative profile of significant prevalence of sympathetic activity (SA-s) in female and male groups.

Сравнительный анализ приведенных гистограмм указывает на четыре существенные положения.

1. Парасимпатическую направленность вегетативного гомеостаза формирует преобладание активности SP над BL (рис.18.21, указано стрелкой).

2. Симпатичну направленность вегетативного гомеостаза формирует преобладание активности BL над SP (рис.18.22, указано стрелкой).

3. Вегетативни профили парасимпатической и симпатической активности диаметрально противоположные (рис. 18.21-22). Их вегетативные коэффициенты указывают на уровни вегетативных нарушений ...

4. В каждом функциональном комплексе (ФК) есть главные и подчиненные ведущие системы (рис.18.21-22). Главными являются BL (ФК-1) и SP (ФК-2), подчиненными - ST (ФК-1), KI (ФК-2), TE (ФК-3) и PC (ФК-4), на что указывает преобладание их внутрикомплексной активности.

The comparative analysis of the introduced histograms points to four substantial provisions.

1. Parasympathetic orientation of the vegetative homeostasis is formed by the prevalence of the activity of **SP** over **BL** (fig. 18.21, see arrow).

2. Sympathetic orientation of vegetative homeostasis is formed by the prevalence of the activity of **BL** over **SP** (fig. 18.22, see arrow).

3. Vegetative profiles of parasympathetic and sympathetic activity are diametrically opposite (fig. 18.21-22). Their vegetative coefficients point to the levels of vegetative disorders...

4. There are governing and subordinate leading systems in every functional complex (FC) (fig. 18.21-22). The governing are BL (FC-1) and SP (FC-2). The subordinate are - ST (FC-1), KI (FC-2), TE (FC-3) and PC (FC-4), which is pointed by the prevalence of their internal-complex activity.

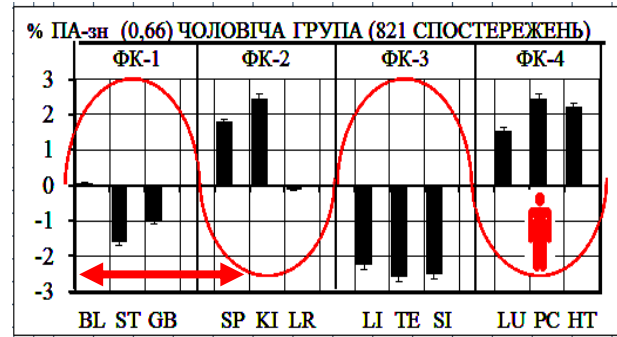
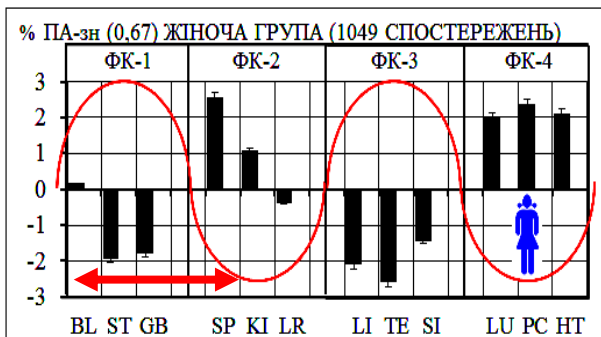


Рис.18.21 Fig.18.21

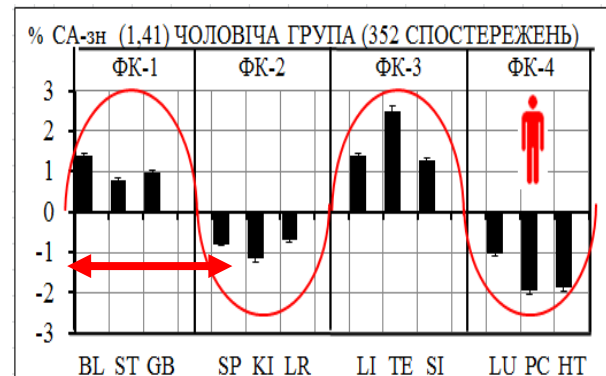
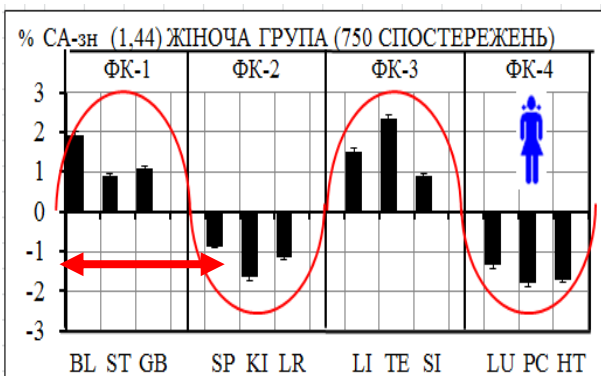


Рис.18.22 Fig.18.22



Имея в виду биофизические механизмы функционального патогенеза вегетативных нарушений, рассмотрим еще раз вегетативные профили (ВП) с точки зрения их идентичности в женской и мужской группах (рис.18.23).

При этом следует обратить внимание на следующее. Развитие симпатической активности обуславливает возбуждение BL и угнетение LR, при относительной нейтральности SP. Парасимпатическую активность, наоборот, обуславливает возбуждение SP и нейтральные реакции со стороны BL и LR.

Аналогичная зависимость наблюдается и в мужской группе. Здесь также развитие симпатической направленности обуславливает рост активности BL и угнетение активности LR, при относительной нейтральности SP.

Парасимпатическую направленность, наоборот, обуславливает рост активности SP и нейтральные реакции со стороны BL и LR.

Taking into account biophysical mechanisms of functional pathogenesis of vegetative disorders, let us observe one again vegetative profiles (VP), from the point of their identity in female and male groups (fig. 18.23).

At the same time the following should be noted. Development of sympathetic orientation conditions growth of activity of **BL** and oppression of **LR**, during the relative neutrality of **SP**. Parasympathetic orientation, on the contrary, conditions growth of activity of **SP** and neutral reactions of **BL** and **LR**.

Analogical dependency is observed also in male group. Here the development of sympathetic orientation also conditions growth of **BL** activity and oppression of **LR** activity, during a relative neutrality of **SP**.

Parasympathetic orientation, on the contrary, conditions growth of **SP** activity and neutral reactions of **BL** and **LR**.

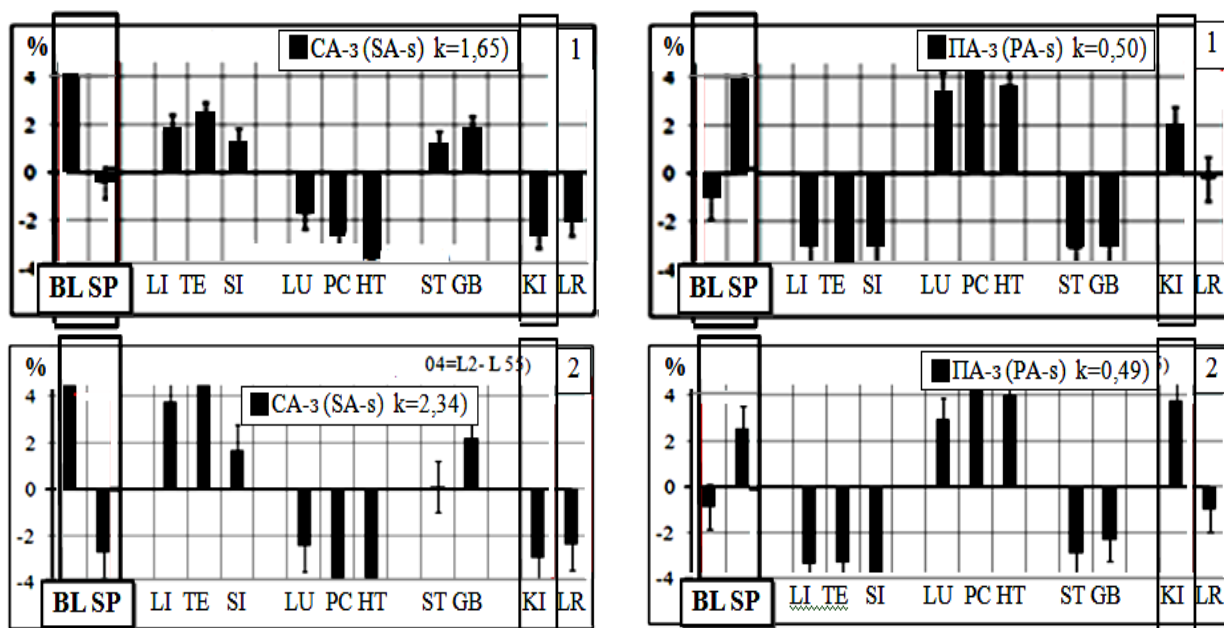


Рис.18.23 Вегетативные профили СА и ПА в женской (1) и мужской (2) группах.

Fig.18.23 Vegetative profiles of SA-e and PA-e in female (1) and male (2) group.

Обращаем внимание, что при полной идентичности вегетативных профилей обнаружены два (зависимые от k-ВР) специфических признака: парадоксальные реакции со стороны SP-BL (ФК 1-2)

We draw your attention, that during total identity of vegetative profiles we found two (dependent on k) specific features: paradoxical reactions of SP-BL (FC-1) in female group and LR in both groups under

в женской группе и LR в обеих группах наблюдения (рис.18.24).

observation (fig. 18.24).

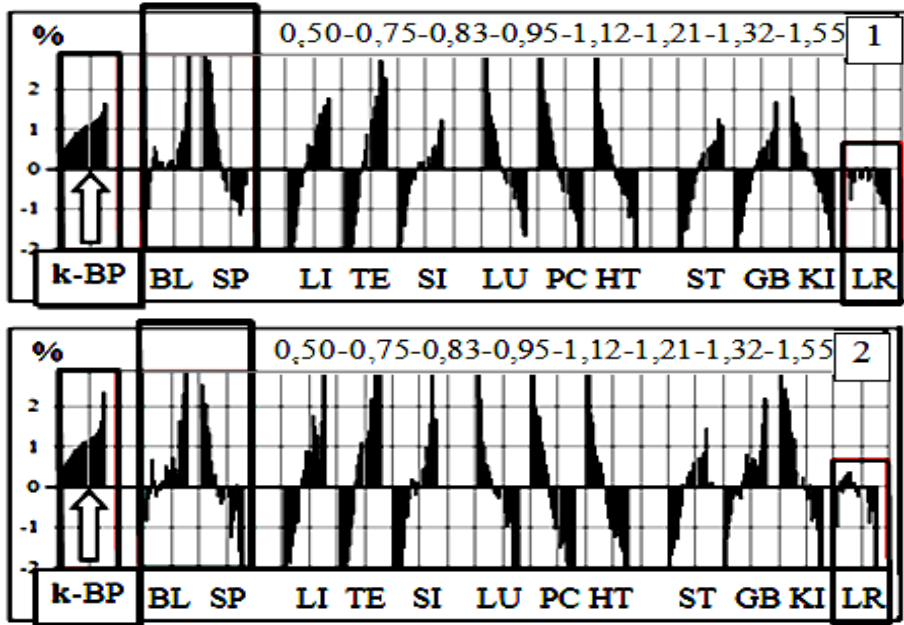


Рис.18.24 Аналогичная системная зависимость в женской (1) и мужской (2) группах при возрастающей динамике k-ВР.

Fig.18.24 Analogical systemic dependency in female (1) and male (2) groups during growing dynamics of k-VE.

<p><b>ФУНКЦИОНАЛЬНО-ВЕГЕТАТИВНЫЕ ЗАКОНЫ</b></p>	<p><b>FUNCTIONAL-VEGETATIVE LAWS</b></p>
<p>Выявленная зависимость вегетативных показателей от активности отдельных ЯН-ИНЬ систем и функциональная аналогичность ЯН-ИНЬ синдромов с симпатической и парасимпатической активностью обусловили открытие функционально-вегетативных законов.</p>	<p>The discovered dependencies of the basic vegetative indexes on the growing activity of separate <i>YANG-YIN</i> systems, and functional analogy of <i>YANG-YIN</i> syndromes with sympathetic and parasympathetic activity, have conditioned the discovery of functional-vegetative Laws.</p>
<p><b>ПЕРВЫЙ ФУНКЦИОНАЛЬНО ВЕГЕТАТИВНОЙ ЗАКОН (ФЕНОМЕН ВЕГЕТАТИВНЫХ КОЭФФИЦИЕНТОВ)</b></p> <p>"КОЭФФИЦИЕНТЫ ВЕГЕТАТИВНОГО РАВНОВЕСИЯ (k=BP) ВЫСТУПАЮТ ОБЪЕКТИВНЫМ ИНТЕГРАЛЬНЫМ ПОКАЗАТЕЛЕМ СООТНОШЕНИЯ СИМПАТИЧЕСКОЙ И ПАРАСИМПАТИЧЕСКОЙ АКТИВНОСТИ ВНС" (рис.18.25).</p> <p>При этом:</p> <p>1)Закон справедлив для вегетативных нарушений с преобладанием симпатической или парасимпатической активности;</p> <p>2)определяющей характеристикой является состояние суммарной активности (возбуждение или угнетение) в зоне "выше функциональную норму".</p>	<p><b>THE FIRST FUNCTIONAL-VEGETATIVE LAW (PHENOMENON OF VEGETATIVE COEFFICIENTS)</b></p> <p>"COEFFICIENT OF VEGETATIVE EQUILIBRIUM (k-VE) APPEARS AS AN OBJECTIVE INTEGRAL INDEX OF CORRELATION BETWEEN SYMPATHETIC AND PARASYMPATHETIC ACTIVITY OF VEGETATIVE NERVOUS SYSTEM (VNS)" (fig.18.25).</p> <p>At the same time:</p> <p>1)the Law is valid for vegetative disorders with the prevalence of sympathetic and parasympathetic activity;</p> <p>2)the key characteristic is the state of the total activity (excitation, or oppression) in the zone "higher than the functional norm".</p>

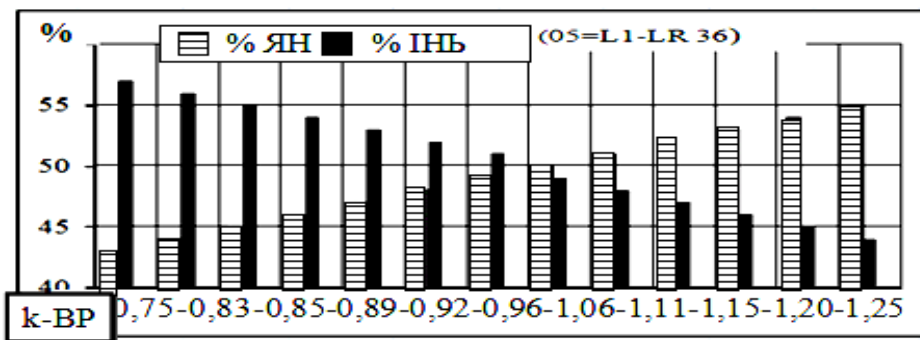


Рис.18.25 Вегетативные коэффициенты и зоны вегетативного равновесия.

Fig. 18.25 Vegetative coefficients and appropriate zones of vegetative equilibrium

<b>ВТОРОЙ ФУНКЦИОНАЛЬНО-ВЕГЕТАТИВНОЙ ЗАКОН (ФЕНОМЕН ВЕГЕТАТИВНОГО МАЯТНИКА).</b>	<b>THE SECOND FUNCTIONAL-VEGETATIVE LAW (PHENOMENON OF VEGETATIVE PENDULUM)</b>
--	---

"НА ИНФОРМАЦИОННОМ УРОВНЕ ДИНАМИЧЕСКОЕ ПОСТОЯНСТВО ВНУТРЕННЕЙ СРЕДЫ КОНТРОЛИРУЕТ СИСТЕМНЫЙ «ВЕГЕТАТИВНЫЙ МАЯТНИК» **BL (ФК-1) - SP (ФК-2)**. ЕГО СУТОЧНАЯ АКТИВНОСТЬ ЗАВИСИТ ОТ ФАЗЫ ЛУНЫ И ОБЕСПЕЧИВАЕТ СПЕЦИФИЧЕСКИЙ БИОРИТМ ПО ЧЁТНЫМ И НЕЧЁТНЫМ ЧАСАМ; рис.18.26)".

"AT INFORMATIONAL LEVEL THE DYNAMIC STABILITY OF VEGETATIVE HOMEOSTASIS IS CONTROLLED **BL-SP BY THE FIRST FUNCTIONAL COMPLEX (1-2)**. ITS DAILY ACTIVITY DEPENDS ON THE PHASE OF THE MOON AND IS THE "VEGETATIVE PENDULUM" (MAINTAINS A SPECIFIC BIORHYTHM BY EVEN AND ODD HOURS; fig.18.26).

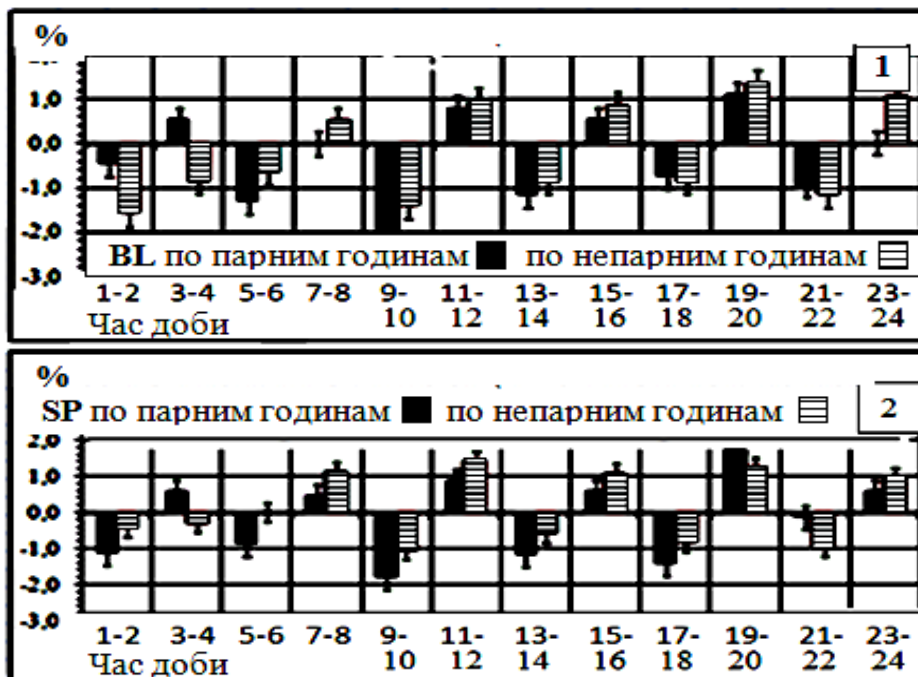


Рис.18.26 Феномен "вегетативного маятника" по чётным и нечётным часам [BL (1) -SP (2) ч в фазу полной Луны.

Fig.18.26 Phenomenon of daily "vegetative pendulum" at even and odd hours [BL (1)-SP (2)] during the phase of Full Moon.

<b>ТРЕТИЙ ФУНКЦИОНАЛЬНО-ВЕГЕТАТИВНОЙ ЗАКОН (ФЕНОМЕН ВЕГЕТАТИВНОГО ПЕЙСМЕКЕРА).</b>	<b>THE THIRD FUNCTIONAL-VEGETATIVE LAW (PHENOMENON OF VEGETATIVE PACEMAKER)</b>
--	---

АСИНХРОННАЯ АКТИВНОСТЬ **BL-SP** ФОРМИРУЕТ РАЗЛИЧНЫЕ УРОВНИ ФУНКЦИОНАЛЬНО-ВЕГЕТАТИВНЫХ НАРУШЕНИЙ. ПРИ ЭТОМ СИМПАТИЧЕСКУЮ НАПРАВЛЕННОСТЬ ВЕГЕТАТИВНОГО ГОМЕОСТАЗА ФОРМИРУЕТ ЧРЕЗМЕР-

ASYNCHRONOUS ACTIVITY OF **BL-SP** FORMS VARIOUS LEVELS OF FUNCTIONAL-VEGETATIVE DISORDERS. AT THE SAME TIME, SYMPATHETIC ORIENTATION OF VEGETATIVE HOMEOSTASIS FORMS EXCESSIVE EXCITATION OF **BL** (1), AND

НОЕ ВОЗБУЖДЕНИЕ **BL** (1), А ПАРАСИМПАТИЧЕСКУЮ - **SP** (2) рис.18.27.

PARASYMPATHETIC – **SP** (2); fig. 18.27.

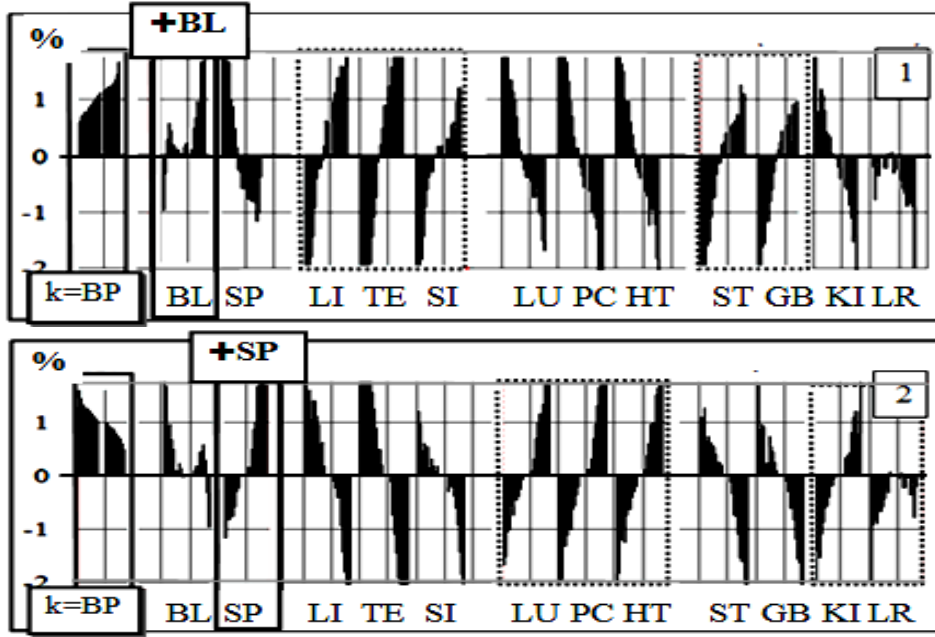


Рис.18.27 Симпатичная направленность при возбуждении BL (1) и парасимпатическая при возбуждении SP (2).

Fig. 18.27 Sympathetic orientation during excitation of BL (1) and parasympathetic during excitation of SP (2).

**ЧЕТВЕРТЫЙ ФУНКЦИОНАЛЬНО-ВЕГЕТАТИВНОЙ ЗАКОН (ФЕНОМЕН ВЕГЕТАТИВНЫХ ПРОФИЛЕЙ)**

**THE FOURTH FUNCTIONAL-VEGETATIVE LAW (PHENOMENON OF VEGETATIVE PROFILES)**

"АКТИВНОСТЬ ОТДЕЛЬНЫХ ФУНКЦИОНАЛЬНЫХ КОМПЛЕКСОВ ПРИ СИМПАТИЧЕСКОЙ И ПАРАСИМПАТИЧЕСКОЙ АКТИВНОСТИ ДИАМЕТРАЛЬНО ПРОТИВОПОЛОЖНЫХ И ЗАВИСИТ ОТ АСИНХРОННОСТИ **BL-SP** (ФК 1-2). ИХ ВЕГЕТАТИВНЫЕ ПРОФИЛИ УКАЗЫВАЕТ НА БИОФИЗИЧЕСКИЕ ОСНОВЫ ФУНКЦИОНАЛЬНО ВЕГЕТАТИВНОЙ ПАТОЛОГИИ" (рис.18.28).

"ACTIVITY OF SEPARATE FUNCTIONAL COMPLEXES DURING THE PREVALENCE OF SYMPATHETIC OR PARASYMPATHETIC ACTIVITY IS DIAMETRICALLY OPPOSITE AND DEPENDS ON ASYNCHRONICITY OF **BL-SP** (FC 1-2). THEIR VEGETATIVE PROFILES POINT TO THE BIOPHYSICAL BASIS OF FUNCTIONAL-VEGETATIVE PATHOLOGY" (fig. 18.28).

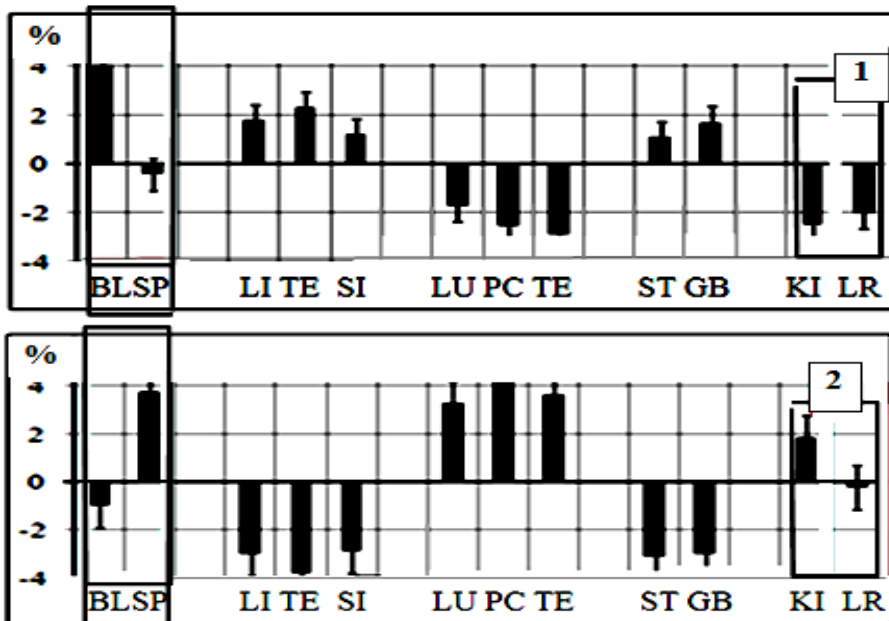


Рис.18.28 Противоположность системных вегетативных профилей при симпатичной (1) и парасимпатической (2) активности.

Fig.18.28 Opposition of systemic vegetative profiles during sympathetic (1) and parasympathetic (2) activity.

**ПЯТЫЙ ФУНКЦИОНАЛЬНО-ВЕГЕТАТИВНОЙ ЗАКОН (ФЕНОМЕН СУММАРНОЙ ЯН-ИНЬ АКТИВНОСТИ)**

**THE FIFTH FUNCTIONAL-VEGETATIVE LAW (PHENOMENON OF THE TOTAL YANG-YIN ACTIVITY)**

"В УСЛОВИЯХ ВЕГЕТАТИВНОГО РАВНОВЕСИЯ СУММАРНАЯ АКТИВНОСТЬ ВОЗБУЖДЕНИЯ ЯН (СА) СИСТЕМ КОМПЕНСИРУЕТСЯ СУММАРНЫМ УГНЕТЕНИЕМ АКТИВНОСТИ ИНЬ (ПА) СИСТЕМ И, НАОБОРОТ. НЕУРАВНОВЕШЕННЫЕ ПЕРЕКОСЫ ВЫШЕ ЗОНЫ ФУНКЦИОНАЛЬНОЙ НОРМЫ УКАЗЫВАЮТ НА РАЗВИТИЕ СООТВЕТСТВУЮЩИХ УРОВНЕЙ ФУНКЦИОНАЛЬНО-ВЕГЕТАТИВНОЙ ПАТОЛОГИИ" (рис.18.29).

"UNDER CONDITIONS OF VEGETATIVE EQUILIBRIUM, THE TOTAL ACTIVITY OF EXCITATION OF YANG (SA) SYSTEMS IS COMPENSATED BY THE TOTAL OPPRESSION OF THE ACTIVITY OF YIN (PA) SYSTEMS, AND VICE VERSA. DISBALANCE, HIGHER THAN THE ZONE OF FUNCTIONAL NORM, POINT TO THE DEVELOPMENT OF THE APPROPRIATE FUNCTIONAL-VEGETATIVE PATHOLOGY" (fig.18.29).

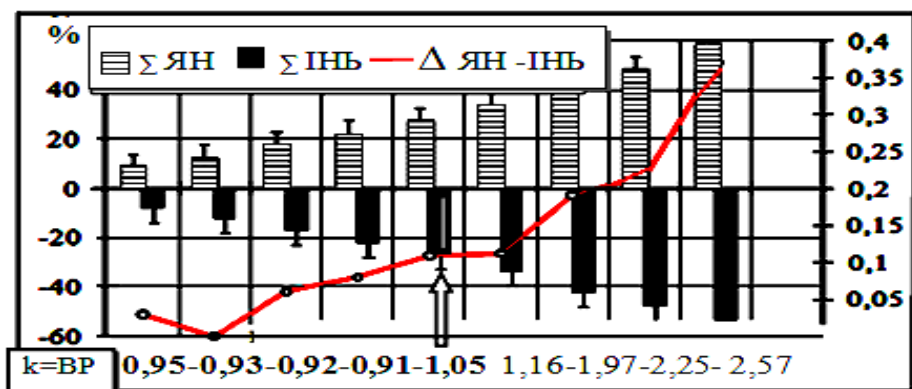


Рис.18.29 Феномен функционально-вегетативного равновесия.

Fig.18.29 Phenomenon of functional-vegetative equilibrium.

**ШЕСТОЙ ФУНКЦИОНАЛЬНО-ВЕГЕТАТИВНЫЙ ЗАКОН (ВЕГЕТАТИВНАЯ АКТИВНОСТЬ ЯН-ИНЬ СИНДРОМОВ)**

**THE SIXTH FUNCTIONAL-VEGETATIVE LAW (VEGETATIVE ACTIVITY OF YANG-YIN SYNDROMES)**

"СУММАРНАЯ АКТИВНОСТЬ СИСТЕМ ГРУППЫ ЯН ОБУСЛОВЛИВАЕТ СИМПАТИЧЕСКУЮ НАПРАВЛЕННОСТЬ ФУНКЦИОНАЛЬНО-ВЕГЕТАТИВНОГО ГОМЕОСТАЗА (СУММАРНАЯ АКТИВНОСТЬ СИСТЕМ ГРУППЫ ИНЬ - ПАРАСИМПАТИЧЕСКУЮ). ПРИ ЭТОМ КОЭФФИЦИЕНТ ВЕГЕТАТИВНОГО РАВНОВЕСИЯ (К=ВР) ВЫСТУПАЮТ ИНТЕГРАЛЬНЫМ ПОКАЗАТЕЛЕЕМ СИМПАТИЧЕСКОЙ (ЯН) И ПАРАСИМПАТИЧЕСКОЙ (ИНЬ) АКТИВНОСТИ" (рис. 18.30).

"TOTAL ACTIVITY OF YANG SYSTEMS CONDITIONS SYMPATHETIC ORIENTATION OF FUNCTIONAL-VEGETATIVE HOMEOSTASIS (TOTAL ACTIVITY OF YIN SYSTEMS - PARASYMPATHETIC). AT THE SAME TIME, COEFFICIENTS OF VEGETATIVE EQUILIBRIUM (K-VE) APPEAR AS INTEGRAL INDEXES OF CORRELATION BETWEEN SYMPATHETIC (YANG) AND PARASYMPATHETIC (YIN) ACTIVITY." (fig.18.30).

Как видно из гистограммы, изменение соотношение суммарного возбуждения систем ЯН и ИНЬ групп обуславливает рост значений вегетативных коэффициентов от 0,56 до 2,14. Их динамика отражает изменение функционально-вегетативного гомеостаза от значительной парасимпатической активности до значительной симпатической активности.

As it is seen from the graph, the change in correlation of the total excitation between YANG and YIN groups conditions the growth of the values of vegetative coefficients from 0,56 to 2,14. Their dynamics reflects the change of functional-vegetative homeostasis from significant prevalence of parasympathetic activity to significant prevalence of sympathetic activity.

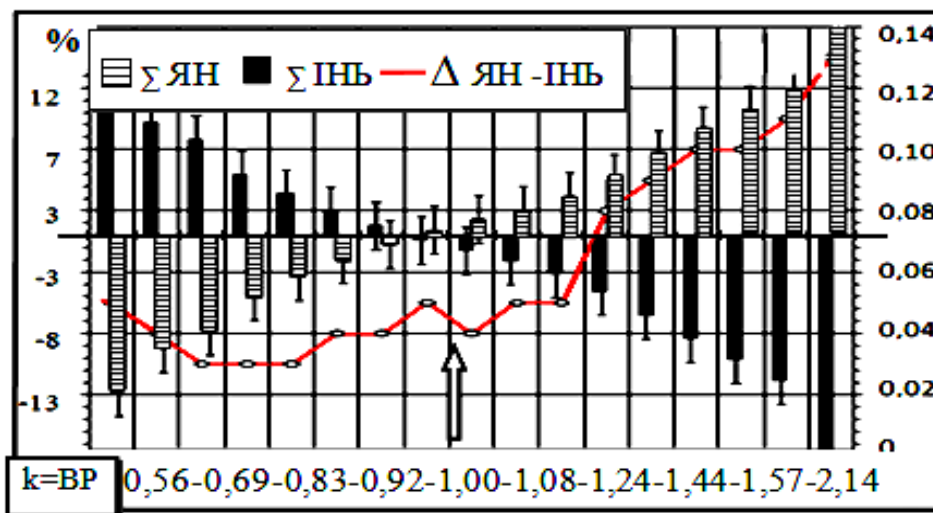


Рис.18.30 Вегетативная активность функциональных ЯН-ИНЬ синдромов.

Fig.18.30 Vegetative activity of functional YANG-YIN syndromes.

Выявленные закономерности однозначно указывают на вегетативную сущность неизвестной ранее функциональной системы человека и требуют специфического толкования. Попробуем дать его определение.

**"Функционально-вегетативная система человека - это биофизический комплекс, который, не имея под собой органической основы, подчинен космофизическим ритмам и на информационном уровне контролирует динамическую устойчивость вегетативно-адаптационного гомеостаза".**

При этом мы понимаем относительность приведенного определения... Время все поставит на свои места!

The discovered regularities directly point to the vegetative essence of the previously unknown human functional system and require a specific explanation. Let us try to define it...

**"Human functional-vegetative system of – is a biophysical complex, which, possessing no organ basis, is subordinated to cosmophysical rhythms and on informational level controls the dynamic stability of vegetative-adaptive homeostasis".**

Additionally, we understand that this definition may not be perfect. Nevertheless, the Time will make it clear!

**ТЕПЕРЬ МЫ ИМЕЕМ ВСЕ ОСНОВАНИЯ  
ДЛЯ ОДНОЗНАЧНЫХ ВЫВОДОВ.**

1)Традиционная Чжень-цзю терапия имеет непосредственное отношение к функционально-вегетативному гомеостазу.

2)Точки акупунктуры и акупунктурные каналы являются системой функционально-вегетативной информации.

3)Концепция ИНЬ-ЯН синдромов соответствует пониманию парасимпатической и симпатической активности ВНС.

4)Все остальные гипотезы о значении Восточной иглотерапии безоснователь-

**NOW WE HAVE REASONS FOR THE  
UNAMBIGUOUS CONCLUSION:**

1)Traditional *Zhenjiu* therapy has a direct relation to functional-vegetative homeostasis.

2) Traditional acupunctural channels are specific systems of functional-vegetative information.

3) Conception *YIN-YANG* syndromes is comparable with the understanding of parasympathetic and sympathetic activity of VNS.

4)All other hypotheses about the value of the Eastern acupuncture are groundless.

ны. Последнее требует коррекции соответствующих учебных программ. ...

The latter requires urgent correction of the appropriate educational programs...



**ЧТО КАСАЕТСЯ ОТКРЫТОГО НАМИ  
"УКРАИНСКОГО ЯЩИКА ПАНДОРЫ".**



"Открыть ящик Пандоры" означает совершить действие, последствия которого нельзя отменить ... "

На фоне современных биофизических знаний, весьма настороженно воспринимается ряд "восточных акупунктурных технологий" (приведенных на фотографиях)... Интересно было бы услышать "терапевтическую логику" авторов и их последователей!

**AS FOR THE DISCOVERED "UKRAINIAN  
PANDORA'S BOX"**



To open a Pandora's box is to make an action with irreversible consequences, which cannot be cancelled.

On the background of contemporary biophysical knowledge, a range of "Eastern acupunctural technologies" are perceived with great caution (see pictures)... It would be interesting to hear "therapeutic knowledge" of their authors and their followers!



**...С ИГЛОЙ  
НУЖНО ВЕСТИ СЕБЯ КАК  
С ВЫПУЩЕННЫМ НА  
ВОЛЮ ТИГРОМ ...!**



**...ONE SHOULD TREAT A  
NEEDLE AS A RELEASED  
TIGER... !**





*Згоджено*  
*Науково-методичний Центр*  
*Львівського державного університету імені Івана Франка*  
*Львів, Україна*  
*17 березня 2009 р.*

	<p>УКРАЇНСКА НАЦІОНАЛЬНА АКАДЕМІЯ          ПРИРОДОЗНАВСТВА (УНАП)          UKRAINIAN NATIONAL ACADEMY OF          NATURAL SCIENCE (UNANS)</p>		
		<p>ЄВРОПЕЙСЬКИЙ ЦЕНТР          ПІСЛЯДИПЛОМНОЇ ОСВІТИ ЛІКАРІВ          EUROPEAN CENTRE OF          POSTGRADUATE EDUCATION OF          DOCTORS</p>	
<p><b>НАПРЯМКИ ДИСТАНЦІЙНОЇ ОСВІТИ</b></p>		<p><b>AREAS OF DISTANCE EDUCATION</b></p>	
<p>1) НЕВІДОМА ЧЖЕНЬ-ЦЗЮ ТЕРАПІЯ (РЕАЛЬНІСТЬ, ПОМИЛКИ, ПРОБЛЕМИ)...</p> <p>2) ФУНКЦІОНАЛЬНО-ВЕГЕТАТИВНА СИСТЕМА ЛЮДИНИ ЯК БІОФІЗИЧНА РЕАЛЬНІСТЬ...</p> <p>3) ФУНКЦІОНАЛЬНА ДІАГНОСТИКА ВЕГЕТАТИВНИХ ПОРУШЕНЬ У ДІТЕЙ (за методом професора В.Г.МАКАЦА)...</p> <p>4) ФУНКЦІОНАЛЬНО-ВЕГЕТАТИВНА ЕКСПЕРТИЗА РЕГІОНІВ ЕКОЛОГІЧНОГО КОНТРОЛЮ...</p>		<p>1) UNKNOWN ZHENJU THERAPY (REALITY, MISTAKES, ISSUES)...</p> <p>2) HUMAN FUNCTIONAL-AUTONOMIC SYSTEM AS A BIOPHYSICAL REALITY ...</p> <p>3) FUNCTIONAL DIAGNOSTICS OF AUTONOMIC DISORDERS IN CHILDREN ( ACCORDING TO THE METHOD OF professor V.G. MAKATS) ...</p> <p>4) FUNCTIONAL-AUTONOMIC EXAMINATION OF THE REGIONS OF ENVIRONMENTAL CONTROL ...</p>	
<p><b>КОНТАКТНА ІНФОРМАЦІЯ:</b> <a href="mailto:dr.makats@gmail.com">dr.makats@gmail.com</a>          093-659-67-21, (0432)43-94-80</p>		<p><b>CONTACT INFORMATION:</b> <a href="mailto:dr.makats@gmail.com">dr.makats@gmail.com</a>          093-659-67-21, (0432)43-94-80</p>	





НАУКОВІ НАПРЯМКИ АКАДЕМІЇ  
SCIENTIFIC DIRECTIONS OF ACADEMY



**ТЕМАТИКА ДИСЕРТАЦІЙНИХ ДОСЛІДЖЕНЬ**  
(на основі невідомої раніше "функціонально-вегетативної системи").

1. БІОАКТИВАЦІЙНА І ФУНКЦІОНАЛЬНО-ВЕГЕТАТИВНА РЕАБІЛІТАЦІЯ В ТЕРАПІЇ.
2. БІОАКТИВАЦІЙНА І ФУНКЦІОНАЛЬНО-ВЕГЕТАТИВНА РЕАБІЛІТАЦІЯ В ПЕДІАТРІЇ.
3. БІОАКТИВАЦІЙНА І ФУНКЦІОНАЛЬНО-ВЕГЕТАТИВНА РЕАБІЛІТАЦІЯ В ХІРУРГІЇ.
4. БІОАКТИВАЦІЙНА І ФУНКЦІОНАЛЬНО-ВЕГЕТАТИВНА РЕАБІЛІТАЦІЯ В ГЕРОНТОЛОГІЇ.
5. ФУНКЦІОНАЛЬНО-ВЕГЕТАТИВНА ДІАГНОСТИКА ЯК КЛІНІЧНЕ ОБСТЕЖЕННЯ.
6. СТАТЕВОВІКОВІ ОСОБЛИВОСТІ ФУНКЦІОНАЛЬНО-ВЕГЕТАТИВНОГО ГОМЕОСТАЗУ.
7. ФУНКЦІОНАЛЬНО-ВЕГЕТАТИВНА ЕКСПЕРТИЗА РЕГІОНІВ ЕКОЛОГІЧНОГО КОНТРОЛЮ.
8. ЕКОЛОГІЧНА ПАСПОРТИЗАЦІЯ ДІТЯЧОГО НАСЕЛЕННЯ УКРАЇНИ.

**КОНТАКТНА ІНФОРМАЦІЯ:** [dr.makats@gmail.com](mailto:dr.makats@gmail.com)  
+380=093-659-67-21, (0432)43-94-80

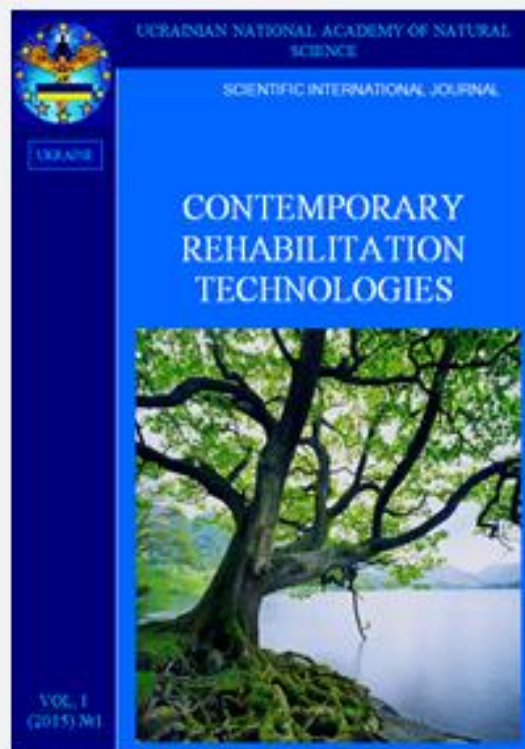
**TOPICS OF DISSERTATIONS**  
(based on the previously unknown "human functional-autonomic system").

1. BIOACTIVATIONAL AND FUNCTIONAL-AUTONOMIC REHABILITATION IN THERAPY.
2. BIOACTIVATIONAL AND FUNCTIONAL-VEGETATIVE REHABILITATION IN PEDIATRICS.
3. BIOACTIVATIONAL AND FUNCTIONAL-VEGETATIVE REHABILITATION IN SURGERY.
4. BIOACTIVATIONAL AND FUNCTIONAL-VEGETATIVE REHABILITATION IN GERONTOLOGY.
5. FUNCTIONAL-AUTONOMIC DIAGNOSTICS AS A CLINICAL EXAMINATION.
6. GENDER-AGE PECULIARITIES OF FUNCTIONAL-AUTONOMIC HOMOEOSTASIS.
7. FUNCTIONAL-ECOLOGICAL EXAMINATION OF THE REGIONS OF ENVIRONMENTAL CONTROL.
8. ENVIRONMENTAL REGISTRY OF THE CHILD POPULATION OF UKRAINE.

**CONTACT INFORMATION:** [dr.makats@gmail.com](mailto:dr.makats@gmail.com)  
+380=093-659-67-21, (0432)43-94-80



НАУКОВІ ЖУРНАЛИ АКАДЕМІЇ  
SCIENTIFIC MAGAZINES OF ACADEMY

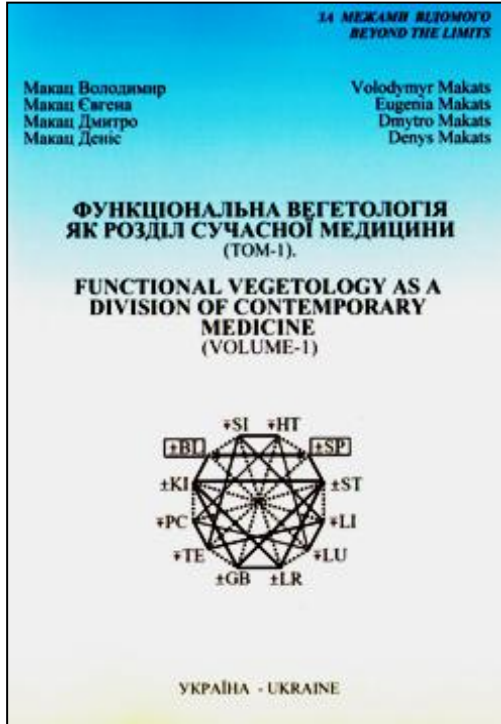


[vegetology\\_ua.vntu.edu.ua](http://vegetology_ua.vntu.edu.ua)

[dr.makats@gmail.com](mailto:dr.makats@gmail.com)

[vegetology.vntu.edu.ua](http://vegetology.vntu.edu.ua)

+380=093-659-67-21



*В.Макац, Є.Макац, Д.Макац, Д.Макац*  
**ФУНКЦІОНАЛЬНА ВЕГЕТОЛОГІЯ ЯК РОЗДІЛ СУЧАСНОЇ МЕДИЦИНИ (ТОМ-1) //**  
*Україна, Вінниця, 2012, 326 С. ISBN 978-966-2770-45-2*

Книга не має аналогів. На підставі здатності біологічних об'єктів генерувати струм в зовнішній контур, відкрита невідома раніше функціонально-вегетативна система людини і біофізична Матриця її патогенезу. Розроблена методологія функціональної діагностики вегетативних порушень (по В.Макацу) указує на біофізичну реальність традиційних акупунктурних каналів китайської Чженьцзю терапії, їх безпосереднє відношення до вегетативного гомеостазу і ряд теоретичних та практичних помилок. Відкриті патогенетичні механізми біофізичної регуляції функціонально-вегетативних порушень дозволили розробити високо-ефективні реабілітаційні алгоритми. Отримані результати свідчать про необхідність перегляду ряду

західних теоретичних і реабілітаційних концепцій і стають основою нового напрямку сучасної медицини - "Функціональна вегетологія".

***Пріоритет відкриття належить народу України.***

*V. Makats, E. Makats, D. Makats, D. Makats*

**FUNCTIONAL VEGETOLOGY AS A DIVISION OF CONTEMPORARY MEDICINE (VOLUME-1) // Ukraine, 2012, 236 P. ISBN 978-966-2770-45-2, ISBN 978-966-2770-45-2.**

The book has no analogues. Previously unknown functional-vegetative system of human and the biophysical Matrix of its pathogenesis have been discovered on the basis of the ability of biological objects to generate electric current into external circuit. The elaborated methodology of the functional diagnostics of vegetative disorders (according to V. Makats) points to the biophysical reality of traditional acupunctural channels of the Chinese *Zhenjiu* therapy, their direct relation to vegetative homeostasis, and a number of theoretical and practical mistakes. The revealed pathogenetic mechanisms of biophysical regulation of functional-vegetative disorders allowed elaborating highly effective rehabilitation algorithms. The received data testify to the necessity of revision of a number of the Western therapeutic and rehabilitation conceptions, and becomes the basis for the new trend of contemporary medicine – “Functional vegetology”.

***The priority of the scientific discovery belongs to the Ukrainian people.***

КОНТАКТНА ІНФОРМАЦІЯ:

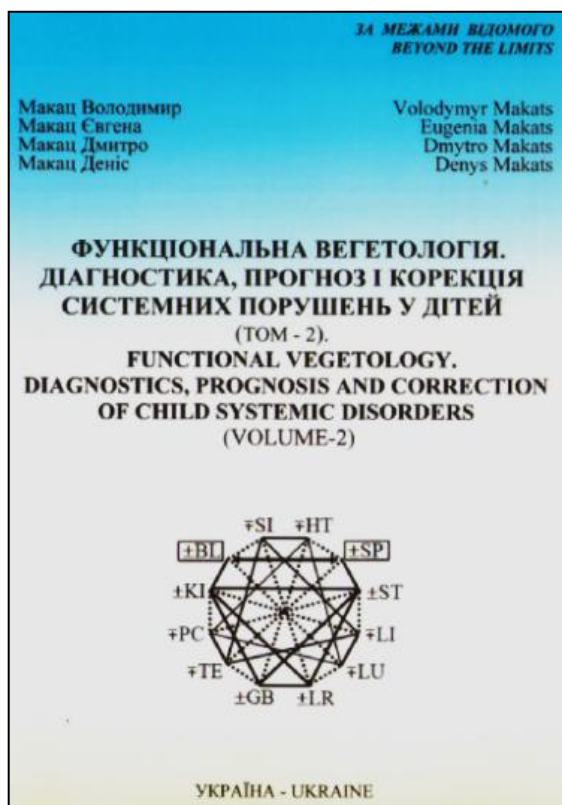
dr.makats@gmail.com

+380=093-659-67-21, (0432)43-94-80

CONTACT INFORMATION:

dr.makats@gmail.com

+380=093-659-67-21, (0432)43-94-80



В.Макац, С.Макац, Д.Макац, Д.Макац  
**ФУНКЦІОНАЛЬНА ВЕГЕТОЛОГІЯ. ДІАГНОСТИКА, ПРОГНОЗ І КОРЕКЦІЯ СИСТЕМНИХ ПОРУШЕНЬ У ДІТЕЙ (ТОМ-2).** Україна, Вінниця, 2012, 234 С. ISBN 978-966-2770-65-0

Написана книга являється заключним виданням і не має аналогів. На основі авторського напрямку "Функціональна вегетологія як розділ сучасної медицини" розглядаються проблеми екологічної паспортизації дитячого населення України і біоактиваційні технології корекцій вегетативних порушень у дітей. Книга адресована лікарям загальної практики, педіатрам, аспірантам та студентам старших курсів медичних навчальних закладів, бажаючим освоїти сучасні реабілітаційні технології, побудовані на принципах комплементарної медицини.

*Пріоритет відкриття належить народу України.*

V. Makats, E. Makats, D. Makats, D. Makats

**FUNCTIONAL VEGETOLOGY. DIAGNOSTICS, PROGNOSIS AND CORRECTION OF CHILD SYSTEMIC DISORDERS (VOLUME-2).** Ukraine, Vinnytsia, 2012, 234p. ISBN 978-966-2770-65-0

The book is the final edition and has no analogues. On the basis of the authentic trend "Functional vegetology as the division of contemporary medicine" the problems of ecological registry of child population of Ukraine and bioactivational technologies of correction of child vegetative disorders have been discussed. The book is addressed to general practitioners, pediatricians, postgraduate and senior students of medical schools, those who interested in acquisition of contemporary rehabilitation trends, created on the principles of complementary medicine. *The priority of the scientific discovery belongs to the Ukrainian people.*

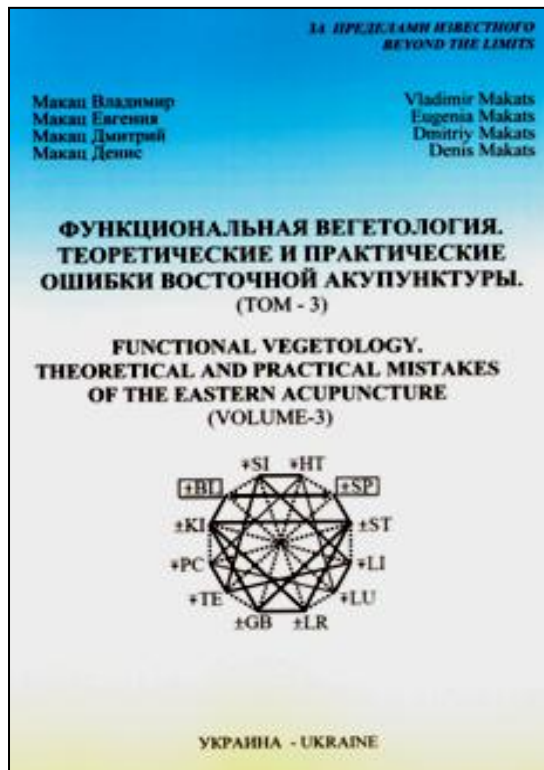
КОНТАКТНА ІНФОРМАЦІЯ:

dr.makats@gmail.com  
093-659-67-21, (0432)43-94-80

CONTACT INFORMATION:

dr.makats@gmail.com  
093-659-67-21, (0432)43-94-80





В.Макац, Є.Макац, Д.Макац, Д.Макац  
**ФУНКЦІОНАЛЬНА ВЕГЕТОЛОГІЯ. ТЕОРЕТИЧНІ І ПРАКТИЧНІ ПОМИЛКИ СХІДНОЇ АКУПУНКТУРИ (ТОМ-3).** Україна, Вінниця, 2012, 234 С. ISBN 978-966-2770-65-0

Написана книга являється заключним виданням і не має аналогів. На основі авторського напрямку "Функціональна вегетологія як розділ сучасної медицини" розглядаються проблеми екологічної паспортизації дитячого населення України і біоактиваційні технології корекції вегетативних порушень у дітей. Книга адресована лікарям загальної практики, педіатрам, аспірантам та студентам старших курсів медичних учбових закладів, бажаючим освоїти сучасні реабілітаційні технології, побудовані на принципах комплементарної медицини.

*Пріоритет відкриття належить народу України.*

V. Makats, E. Makats, D. Makats, D. Makats  
**FUNCTIONAL VEGETOLOGY.**

**DIAGNOSTICS, PROGNOSIS AND CORRECTION OF CHILD SYSTEMIC DISORDERS (VOLUME-3).** Ukraine, Vinnytsia, 2012, 234p. ISBN 978-966-2770-65-0

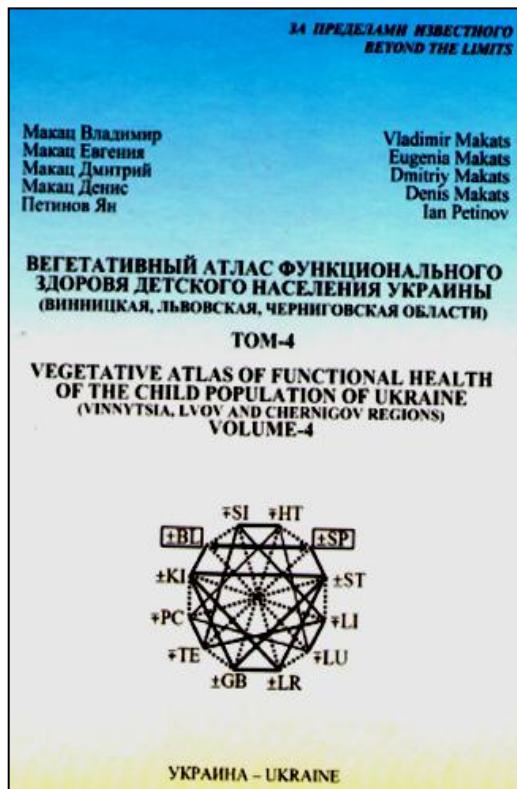
The book is the final edition and has no analogues. On the basis of the authentic trend "Functional vegetology as the division of contemporary medicine" the problems of ecological registry of child population of Ukraine and bioactivational technologies of correction of child vegetative disorders have been discussed. The book is addressed to general practitioners, pediatricians, postgraduate and senior students of medical schools, those who interested in acquisition of contemporary rehabilitation trends, created on the principles of complementary medicine.

*The priority of the scientific discovery belongs to the Ukrainian people.*

КОНТАКТНА ІНФОРМАЦІЯ: dr.makats@gmail.com  
093-659-67-21, (0432)43-94-80

CONTACT INFORMATION: dr.makats@gmail.com  
093-659-67-21, (0432)43-94-80





*В.Г.Макац, Є.Ф.Макац, Д.В.Макац,, Д.В.Макац, Я.М. Петінов*

**ВЕГЕТАТИВНИЙ АТЛАС ФУНКЦІОНАЛЬНОГО ЗДОРОВ'Я ДИТЯЧОГО НАСЕЛЕННЯ УКРАЇНИ** (Вінницька, Львівська, Чернігівська області). **ТОМ-4**//Вінниця, Нілан-ЛТД, 2013, 498С. ISBN 978-966-2770-96-4

Атлас функціонально-вегетативного здоров'я дітей, що проживають в регіонах радіаційного контролю України, є ініціативним виданням. Він свідчить про необхідність функціональної диспансеризації дитячого населення та проведення на її основі незалежної функціонально-екологічної експертизи конкретних регіонів. Атлас виданий в рамках програми Міждержавного форуму держав-учасників СНД "Здоров'я населення – основа процвітання держав Співдружності" (2013) і адресований керівництву європейських держав, для яких збереження власного Генотонду є пріоритетним напрямком.

*Пріоритет наукової розробки належить народу України.*

*V.G.Makats, E.F.Makats, D.V.Makats, D.V. Makats, I.M.Petinov*

**VEGETATIVE ATLAS OF FUNCTIONAL HEALTH OF THE CHILD POPULATION OF UKRAINE** (Vinnytsia, Lviv and Chernigiv regions). **VOLUME-4** // Vinnitsa, Nilan-Ltd, 2013, 498P. ISBN 978-966-2770-96-4

The Atlas of functional-vegetative health of children, who live in the regions of radiation control of Ukraine, is an unsolicited edition. It testifies to the necessity of functional dispensary examination of the child population and performance, on its basis, of an independent functional-ecological expertise of specific regions. The Atlas is published within the frames of the program of Interstate Forum of countries-members of the CIS "Healthy population – the basis of the Commonwealth countries prosperity" (2013) and is addressed to the authorities of the European states, for which preservation of their own Gene pool is a priority. *Priority scientific development belongs to the people of Ukraine.*

КОНТАКТНА ІНФОРМАЦІЯ: dr.makats@gmail.com  
093-659-67-21, (0432)43-94-80

CONTACT INFORMATION: dr.makats@gmail.com  
093-659-67-21, (0432)43-94-80

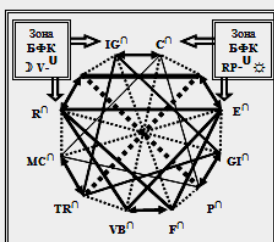




ЗА ПРЕДЕЛАМИ ИЗВЕСТНОГО  
**РЕАБИЛИТАЦИОННЫЕ ТЕХНОЛОГИИ  
XXI СТОЛЕТИЯ**

Владимир Макац  
Евгения Макац  
Дмитрий Макац  
Денис Макац

**ТАИНЫ КИТАЙСКОЙ ИГЛОТЕРАПИИ  
(ОШИБКИ, РЕАЛЬНОСТЬ,  
ПРОБЛЕМЫ)**



УКРАЇНА – ВІННИЦЯ – 2009...452 С.

В. Макац, Д.Макац, Є. Макац, Д.Макац  
**ТАЄМНИЦІ КИТАЙСЬКОЇ ГОЛКОТЕРАПІЇ  
(ПОМИЛКИ, РЕАЛЬНІСТЬ, ПРОБЛЕМИ).**  
Україна, Вінниця, 2009., 450 С. ISBN 978-966-2932-80-5

Монографія присвячена відкритій функціонально-вегетативній системі. Наводяться докази її біофізичної реальності і безпосереднього відношення до вегетативного гомеостазу. Розкриті біотизичні механізми його регуляції та контролю. Показані теоретичні і практичні помилки класичної (китайської) Чжень-цзю терапії. Звертається увага на реабілітаційне значення вегетативної діагностики (за методом В.Г.Макаца) і стабільність її показників. Книга рекомендована науковим працівникам, лікарям, студентам природничо-біологічних факультетів, всім бажаючим отримати знання по новій фундаментальній основі фізіології. **Пріоритет наукового відкриття належить народу України**

V.Makats, Dm.Makats, E.Makats, Den.Makats

**MYSTERIES OF CHINESE ACUPUNCTURE (MISTAKES, PRACTICE, PROBLEMS)**

// Ukraine, Vinnitsa, 2009, 450 P. ISBN 978-066-2932-80-5

*The monography is devoted to open functional - power system of the person. Furnished proofs of her biophysical reality and the direct attitude{relation} to vegetative regulation. Biophysical mechanisms of regulation and the control are opened. Theoretical and practical mistakes of classical (Chinese) therapy are shown by acupuncture and cauterization. It is paid attention to rehabilitation value of vegetative biodiagnostics (on V.Makats) and stability of her parameters. The book is recommended to science officers, doctors, students of natural - biological faculties, all wishing to receive knowledge on a new fundamental basis of biology. **The priority of a discovery belongs to Ukraine.***

КОНТАКТНА ІНФОРМАЦІЯ: dr.makats@gmail.com

093-659-67-21, (0432)43-94-80

CONTACT INFORMATION: dr.makats@gmail.com

093-659-67-21, (0432)43-94-80



1. Макац В.Г. Основы акупунктурной биоэнергодиагностики // Винница, 1991, 134С.
2. Макац В.Г. Основы биоэнерготерапии // Винница, 1991,166С.
3. Макац В.Г., Лапшин В.А., Григорчук В.В. Биоэлектростимуляция в рефлексотерапии // Одеса,1992, 175С.
4. Макац В.Г. Биогальванизация в физио- и рефлексотерапии (экспериментально-клинические исследования) // Автореферат диссертации на соискание учёной степени доктора медицинских наук (14.00.34–курортология и физиотерапия). Пятигорск. 1992. 47с.
5. Макац В.Г., Подколзин А.А., Донцов В.И., Гунько П.М. Старение и долголетие. Теория и практика биоактивации. Часть 1 // Винница, 1995, 253С.
6. Макац В.Г., Подколзин А.А., Донцов В.И., Гунько П.М. Старение и долголетие. Теория и практика биоактивации. Часть 2 // Винница, 1995, 210С.
7. Макац В., Макац Д., Ладуба Ю., Макац Є., Власюк А. Функціональна біоенергодіагностика стійкості вегетативної нервової системи і її біоактиваційна корекція (по В.Макацу) // УНІВЕРСУМ - Вінниця, 1997, 100С. ISBN 966-7199-06-1
8. Жученко П.Г., Лісовська Т.В. (консультант д.мед.н. Макац В.Г.) Біогальванізація, біоенергодіагностика та антибактеріальна терапія в вирішенні проблемі запальних захворювань в гінекології // УНІВЕРСУМ - Вінниця, 1997,127С. ISBN 966-7199-18-5
9. Макац В.Г., Нагайчук В.И., Макац Д.В., Макац Д.В. Основы биоактивационной медицины (открыта функционально-энергетическая система биологических объектов) // Винница. 2001. 315с. ISBN 966-7993-16-7 (на украинском языке)
10. Макац В.Г., Макац Д.В., Нагайчук В.И., Макац Д.В. Функционально-энергетическая система биологических объектов (теория и ошибки китайской Чжень-цзю терапии) // Винница, Велес, 2002, 156С. ISBN 966-7993-35-3
11. Макац В.Г., Макац Д.В. Функціонально-екологічна експертиза як розділ екології живих організмів // Навчально-методичний посібник, Вінниця, 2002, 144 С.
12. Макац В., Макац Д., Макац Д. Атлас функціонально-енергетичної системи біологічних об'єктів (теорія і помилки китайської Чжень-Цзю терапії) // Вінниця, 2002, 63 С.
13. Макац В.Г. та інші – Оцінка функціонального здоров'я і вегетативних порушень у дітей зони радіаційного контролю України при їх оздоровленні в умовах питного курорту Моршин (методичні рекомендації) // Вінниця, Баня-Лісовицька, 2003, 55 с.
14. Макац В., Макац Д., Макац Д. - Функціонально-енергетична система людини і вегетативний гомеостаз (енергетична матриця живого) // Вінниця, 2003, 235 С. ISBN 966-96143-5-X
15. Макац В.Г., Макац Є.Ф., Макац Д.В. Основи загальної екології. Функціонально-екологічна експертиза як розділ екології живих організмів // Вінниця, 2004, 193 С.
16. Макац Д.В., Макац Д.В., Макац Є.Ф., Макац В.Г. Енергоінформаційна система людини як невідомо біофізична реальність. Частина 1 // Україна-Вінниця-2005,214С. ISBN 966-821-3238
17. Makats V., Makats D., Makats E., Makats D. Power-informational system of the person (biophysical basics of Chinese Chzhen-tszju Therapy). // Vinnitsa. 2005. Part 1. 212p. ISBN 966-821-3238 (на англійском языке).
18. Макац В.Г., Макац Є.Ф., Макац Д.В., Макац Д.В. Энергоинформационная система человека (ошибки и реальность китайской Чжень-цзю терапии). // Винница. 2007. Том 1. 367с. ISBN 966-8300-27-0 966-8300-26-2 (на украинском языке).
19. Макац В.Г., Макац Є.Ф., Макац Д.В., Макац Д.В. Энергоинформационная система человека (биодиагностика и реабилитация вегетативных нарушений). // Винница. 2007. Том 2. 199с. ISBN 966-8300-27-0 966-8300-28-9 (на украинском языке).
20. Макац В.Г., Макац Є.Ф., Макац Д.В., Макац Д.В. Энергоинформационная система человека (вегетативная биодиагностика, основы функционально-экологической экспертизы). // Винница. 2009. Том 3. 175с. ISBN 978-966-2932-80-5 (на украинском языке).
21. Макац В.Г., Макац Д.В., Макац Є.Ф., Макац Д.В. Тайны китайской иглотерапии (ошибки, реальность, проблемы) // Винница. 2009. 450с. ISBN 978-966-2932-80-5 (на русском языке).
22. Макац В., Курик М., Годлевський А., Макац Є. Актуальні питання біоекології та екологічної безпеки // Вінниця, 2009,252С
23. Макац В.Г., Макац Є.Ф., Макац Д.В., Макац А.Д. Функциональная диагностика и коррекция вегетативных нарушений у детей // Винница, 2011. 155 с. ISBN 978-617-535-010-2 (на русском языке).
24. Makats V., Makats D., Makats E., Makats D. Pover-informational system of the person (biophysical basics of Tsen-Tsu Therapy). Part 1. // Ukraine - Vinnitsa - 2005 - 215 P.



25. Makats V., Makats E., Makats D., Makats D. Functional vegetology as a division of contemporary medicine (volume-1) // Ukraine, 2012, 236 P. ISBN 978-966-2770-45-2
26. Makats V., Makats E., Makats D., Makats D. Functional vegetology. Diagnostics, prognosis and correction of child systemic disorders (volume-2) // Ukraine, 2012, 234 P. ISBN 978-966-2770-65-0
27. Makats V., Makats E., Makats D., Makats D. Functional vegetology. Theoretical and practical mistakes of the eastern acupuncture (volume-3) // Ukraine, 2012, 102 P. ISBN 978-966-2770-45-2; 978-966-2770-46-9
28. Makats V., Makats E., Makats D., Makats D., Petinov I. Vegetative atlas of functional health of the child population of Ukraine [Vinnytsia, Lvov and Chernigov regions] (volume-4) // Ukraine, 2013, 496 P. ISBN 978-966-2770-96-4



СОДЕРЖАНИЕ	стор	
От авторов.....	6	From the author .....
Вместо рецензий.....	9	Instead reviews.....
Функционально-вегетативная диагностика как биофизическая проблема...	13	Functional diagnostics as vegetative biophysical problem .....
Методология акупунктурной диагностики.....	46	Methodology of acupuncture diagnostics .....
Гипотетические основы Чжень-цзю терапии как теоретическая проблема.	59	Hypothetical bases of the Zhenjiu therapy as a theoretical issue .....
Идентификация акупунктурных каналов, как проблема восточной Чжень-цзю терапии .....	75	Identification of acupunctural channels, as a problem of eastern Zhenjiu therapy .....
Биофизическая реальность традиционного правила положения “Большой энергетический круг” .....	83	Biophysical reality of the traditional provision of the “Big cycle” .....
Биофизическая реальность традиционного правила “Мать-сын (по Большому кругу)” .....	92	Biophysical reality of the rule “Mother-son (through the big cycle)” .....
Биофизическая реальность правила “Биологические часы” .....	100	Biophysical reality traditional rules “Biological clock” .....
Биофизическая реальность системной зависимости по циклу “Пять элементов (цикл Звезды)” .....	110	Biophysical reality system depending on cycle “The fifth element (Cycle stars)” .....
Биофизическая реальность традиционного правила “Дід-внук (бацько-син)” .....	123	Biophysical reality of the traditional rule “grandfather-grandson (father-son)” .....
Биофизическая реальность традиционного правила “Левый–правый (мужчина - женщина)” .....	133	Biophysical reality traditional rules “left-right (Man-woman)” .....
Биофизическая реальность традиционного правила “Спаренные каналы” .....	140	Biophysical reality of the traditional rule “Paired channels” .....
Биофизическая реальность традиционного правила “Подень-Полночь” ...	147	Biophysical reality of the traditional rule “Midday – midnight” .....
Биофизическая реальность традиционного правила “Против угнетения” .....	154	Biophysical reality of the traditional rule “Anti-oppression” .....
Биофизическая реальность традиционного правила “Энергетическая направленность каналов” .....	170	Biophysical reality of the traditional rule “Energy orientation of channels” ..
Комплексы акупунктурных каналов как биофизическая проблема .....	174	Complexes of acupuncture channels as a biophysical problem .....
“Вегетативная матрица Макаца” как биофизическая проблема традиционной Чжень-цзю терапии .....	185	“Makats’s vegetative matrix” as a biophysical issue of traditional acupuncture .....
Матричная идентификация системной зависимости как проблема традиционной Чжень-цзю терапии .....	199	Matrix identification of systemic dependency as an issue of traditional acupuncture .....
Вегетативная сущность Чжень-цзю терапии как проблема “функциональной вегетологии” .....	233	Vegetative essence of Acupuncture therapy as an issue of “functional vegetology” .....
Ненавязчивая реклама.....	265	Unobtrusive advertisement.....
Литература по направлению.....	272	Literature on the trend.....
Содержание.....	274	Contents.....

*В.Макац, Є.Макац, НЕВІДОМА ЧЖЕНЬ-ЦЗЮ ТЕРАПІЯ (РЕАЛЬНІСТЬ, ПОМИЛКИ, ПРОБЛЕМИ) ТОМ V Україна, Вінниця, 2016, 276 С.*

**ISBN 978-966-2932-80-5**

Підручник не має аналогів. Його друге перероблене і доповнене видання обумовлено відкриттям невідомих раніше “Функціонально-вегетативної системи людини” і “Функціонально-вегетативної Матриці”. Відкриті феномени указують на біофізичну реальність акупунктурних каналів Чжень-цзю терапії та її вегетативну сутність. Ідентифікація матричної системної та комплексної залежності виявила теоретичні і практичні помилки традиційного напрямку і вносить суттєву корекцію в основи Східної та Західної терапевтичних філософій...

Книга (біофізичний атлас) адресована бажаючим отримати неординарні знання по новій фундаментальній основі біології, здатним критично осмислити механістичні постулати європейської терапевтичної школи.

Пріоритет наукового відкриття належить народу України.

*В.Макац, Є.Макац, НЕИЗВЕСТНАЯ ЧЖЕНЬ-ЦЗЮ ТЕРАПИЯ (РЕАЛЬНОСТЬ, ОШИБКИ, ПРОБЛЕМЫ) ТОМ V – Украина, Винница, 2016, 276 С.*

**ISBN 978-966-2932-80-5**

Учебник не имеет аналогов. Его второе переделанное и дополненное издание обусловлено открытиями неизвестных раньше “Функционально вегетативной системы человека” и “Функционально “вегетативной Матрицы”. Открытые феномены указывают на биофизическую реальность акупунктурных каналов Чжень-цзю терапии и её вегетативную сущность. Идентификация матричной системной и комплексной зависимости обнаружила теоретические и практические ошибки традиционного направления и вносит существенную коррекцию в основы Восточной и Западной терапевтических философий.

Книга (биофизический атлас) адресована желающим получить неординарные знания по новой фундаментальной основе биологии, способным критически осмыслить механистические постулаты европейской терапевтической школы.

...Приоритет научного открытия принадлежит народу Украины.

*V.Makats, E.Makats, UNKNOWN ACUPUNCTURE THERAPY (REALITY, ERRORS, PROBLEMS). VOLUME V – Ukraine, Vinnytsia, 2016, P. 276*

**ISBN 978-966-2932-80-5**

The textbook had no analogues. Its second and revised edition is conditioned by the previously unknown “Human functional-vegetative system” and “Functional-vegetative Matrix”. The discovered phenomena point to the biophysical reality of acupuncture channels of the Acupuncture therapy and its vegetative essence. Identification of matrix systemic and complex dependency revealed theoretical and practical errors of the traditional trend and introduced a substantial correction into the bases of the Eastern and Western therapeutic philosophies...

The book (biophysical atlas) is addressed to those who are willing to get uncommon knowledge about the new fundamental basis in biology, and who are capable of critical assessment of the mechanistic postulates of the European therapeutic school.

...Priority of the scientific discovery belongs to the people of Ukraine.



УЧЕБНО-НАУЧНОЕ ИЗДАНИЕ  
Макац Владимир Геннадиевич,  
Макац Евгения Федоровна,  
Контакты: dr.makats@gmail.com

Educational-scientific publication  
**MAKATS VOLODYMYR HENNADIIPOVYCH**  
**MAKATS YEUVHENA FEDORIVNA**  
CONTACTS: dr.makats@gmail.com



НЕИЗВЕСТНАЯ ЧЖЕНЬ-ЦЗЮ ТЕРАПИЯ  
(РЕАЛЬНОСТЬ, ОШИБКИ, ПРОБЛЕМЫ)  
UNKNOWN ZHENJIU THERAPY  
(REALITY, ERRORS, PROBLEMS)

Издание второе, переработанное и дополненное (на русском и английском языках). Книга издается в авторской редакции с сохранением стилистики, орфографии и пунктуации.

Second edition, revised and supplemented (in the Ukrainian and the English languages). The book is edited by the authors, with preservation of stylistics, orthography and punctuation.

Оригинал-макет подготовлен авторским коллективом.  
The original model of the book was prepared by the authors.

Подписано к печати 19.06.2016г.  
Формат 29,7x42 ¼. Бумага офсетная.  
Печать ризографическая  
Услов. печат. лист 20,37. Уч.-издат. лист. 18,94  
Тираж 300 экз. Зак. №598

Отпечатано с оригиналов заказчика.  
ЧП Корзун Д.Ю.  
г. Винница, ул.600-летия, 21а.  
Тел. :( 0432) 69-67-69, 52-82-78  
E-mail: tvory2009 @ gmail / com